UNIVERSITAT POLITÈCNICA DE VALÈNCIA

Escuela Técnica Superior de Ingeniería de Caminos, Canales y Puertos

Memoria valorada del diseño y cálculo de la estructura metálica de un almacén de tableros de madera.

Trabajo Fin de Grado

Grado en Ingeniería Civil

AUTOR/A: Olmos Vila, Sergio

Tutor/a: López Desfilis, Vicente José

CURSO ACADÉMICO: 2022/2023

ÍNDICE

1 DOCUMENTO Nº1: MEMORIA Y ANEJOS 1

1.1 MEMORIA..... 1
1.2 ANEXO Nº1:GEOTECNIA..... 6
1.3 ANEXO Nº2: CÁLCULO ESTRUCTURAL 11

2 DOCUMENTO Nº 2: PLANOS 194

3 DOCUMENTO Nº3: PRESUPUESTO..... 225

DOCUMENTO Nº1: MEMORIA Y ANEXOS

MEMORIA

ÍNDICE

1 OBJETO 1
2 ANTECEDENTES Y CONDICIONANTES 1
3 MOTIVACIÓN DEL PRESENTE TRABAJO 1
4 SITUACIÓN Y EMPLAZAMIENTO 1
5 PROMOTOR 1
6 NORMATIVA 1
6.1 NORMATIVA TÉCNICA 1
6.2 NORMATIVA URBANÍSTICA 1
7 REQUISITOS DE DISEÑO 2
7.1 .REQUISITOS URBANÍSTICOS 2
7.2 REQUISITOS CONSTRUCTIVOS 2
8 ESTUDIO DE SOLUCIONES 2
9 DESCRIPCIÓN PREVIA AL PROYECTO 3
9.1 USOS PREVISTOS 3
9.2 ACCESOS 3
10 DESCRIPCIÓN DEL PROYECTO 3
10.1 ACONDICIONAMIENTO DEL TERRENO 3
10.1. CIMENTACIÓN 3
10.2. ESTRUCTURA METÁLICA 3
10.3. ARRIOSTRAMIENTOS 3
10.4. CUBIERTA 4
10.5. FACHADA 4
10.6. SOLERA 4
10.7. CARPINTERÍA METÁLICA 4
10.8. MATERIALES 4
11 PLAN DE OBRA 4
12 RESUMEN DEL PRESUPUESTO 5

1 OBJETO

El presente trabajo tiene como objeto la definición, diseño y cálculo de una nave industrial en el polígono industrial de Sedaví, en la población valenciana de Sedaví (46910) en Valencia. Dicha nave se proyecta con el objeto de almacenar y distribuir chapas y tableros de madera para la empresa Hermanos Tamarit Furió S.A, una empresa de la zona en pleno auge, fomentado así la economía local.

2 ANTECEDENTES Y CONDICIONANTES

La parcela en cuestión se halla en una antigua zona de cultivos de regadío por lo que la zona presenta una cartografía prácticamente plana y un nivel freático relativamente cerca de la superficie debido a la cercanía al mar y a la zona de marjales que rodean la población de Sedaví.

En el pasado no ha existido ninguna edificación en dicha parcela, por lo que únicamente ha sufrido los asientos y compactaciones debidas a su propio peso.

La parcela se encuentra a la cota absoluta 5.60 metros respecto al nivel medio del mar de Alicante.

3 MOTIVACIÓN DEL PRESENTE TRABAJO

La motivación de esta obra es mejorar la ubicación de la actual zona de almacenamiento de la empresa, ubicada en zona de huerta, con las dificultades de acceso y medioambientales que ello conlleva. Además, esta nueva ubicación se sitúa sustancialmente más cerca de las oficinas centrales de la empresa, haciendo así más fácil las reuniones, visitas al almacén, etc.

Por otra parte, mediante este trabajo, el promotor obtendrá un mayor espacio para el almacenamiento de sus bienes y una mejora en las conexiones debido a la cercanía a la V-31.

4 SITUACIÓN Y EMPLAZAMIENTO

La parcela donde se ejecutan estos trabajos está ubicada junto a la V-31 a la altura de Sedaví, en la esquina formada por las calles Séquia de Calavera y Giner de los Ríos, dentro del propio polígono del pueblo.

Como se aprecia en la figura 1, se escoge este emplazamiento debido a la ubicación junto a la V-31 y el acceso directo desde esta, facilitando así el acceso de camiones, por la salida 11, para la entrega y recogida de bienes.

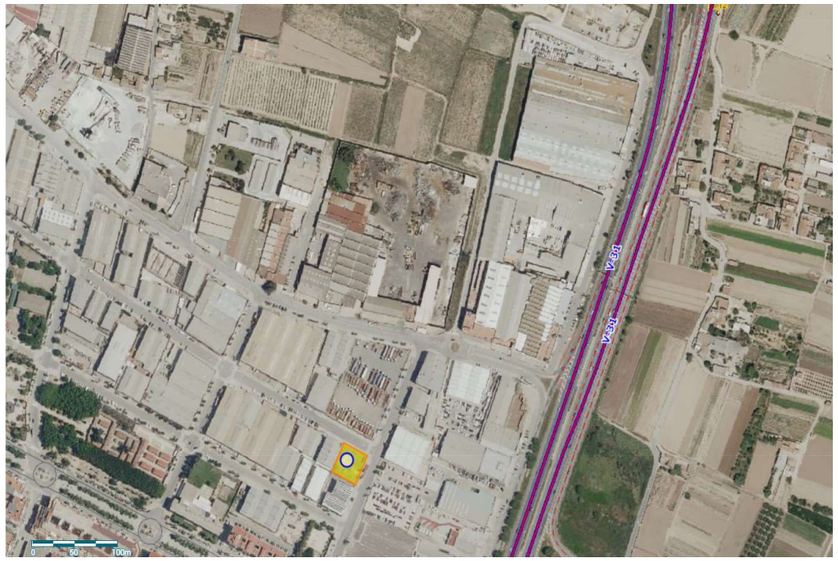

FIGURA 1: EMPLAZAMIENTO DE LA PARCELA (FUENTE: VISOR CARTPGÀFIC DE LA COMUNITAT VALENCIANA)

5 PROMOTOR

El promotor del trabajo es la propia empresa Hermanos Tamarit Furió S.A, con CIF A46082228 y domicilio fiscal en la C/ Gloria S/N, Alfafar, 46910, Valencia.

6 NORMATIVA

La normativa que se ha procedido a aplicar para este TFG es la normativa vigente en España y la Comunitat Valenciana y es, en su mayoría, de obligado cumplimiento.

6.1 NORMATIVA TÉCNICA

- Real Decreto 314/2006, del 17 de marzo, por el cual el Código Técnico de la Edificación (de ahora en adelante CTE) y sus posteriores modificaciones, el cual establece los requisitos básicos a cumplir por las edificaciones y sus instalaciones. El CTE se subdivide en dos partes, las reglas y exigencias básicas para el proyecto y construcción de un edificio y los documentos básicos, enfocados en áreas más concretas de las distintas partes de la edificación. Para este proyecto se han empleado los siguientes documentos básicos:
  - Documento básico de Seguridad Estructural: Acciones en la Edificación (DB SE-AE)
  - · Documento básico de Seguridad Estructural de Estructuras de Acero (DBSE-A)
  - · Documento básico de Seguridad Estructural de cimentaciones (DBSE-C)
  - · Documento básico de Seguridad Estructural en caso de incendio (DBSE-I)
- Real Decreto 470/2021, de 29 de junio, por el que se aprueba el Código Estructural.

6.2 NORMATIVA URBANÍSTICA

- Plan General de Ordenación Urbana (PGOU) de Sedaví

- · Ley 5/2014, de 25 de julio, de la Generalitat, de Ordenación del Territorio, Urbanismo y Paisaje (LOTUP) de la Comunidad Valenciana que regula las competencias atribuidas por el Estatuto de Autonomía y por la Constitución en materia de urbanismo y ordenación del territorio.
- · Ley 6/2014, de 25 de julio, de la Generalitat, de Prevención, Calidad y Control Ambiental de Actividades en la Comunidad Valenciana.

7 REQUISITOS DE DISEÑO

7.1 .REQUISITOS URBANÍSTICOS

La nave proyectada en este documento se ubica en una parcela catalogada como suelo urbano industrial según el Plan General de Ordenación urbana de Sedaví (En adelante PGOU).

La parcela es propiedad de la empresa promotora Hermanos Tamarit Furió S.A. y, según el PGOU local, los requisitos urbanísticos a cumplir por la nave se exponen en el Artículo 5.6 y se reflejan en la figura 2:

PARÁMETROS URBANÍSTICOS			
PARCELA		**POSICIÓN de la edificación**	
Parcela mínima	500'00 m².	Distancia a lindes	0'00 m.
Frente mínimo de parcela	16,00 m.	Distancia a fachada	2'50 m.
Rectángulo inscrito mínimo	12 x 18	Nº máximo plantas	3
Ángulos medianeros	≥ 75 º		
INTENSIDAD		**VOLUMEN Y FORMA**	
Semisótanos y sótanos	Sí		
Altillos	40 %		
Coeficiente edificabilidad	0,90 m²t/m²s.	Altura máxima reguladora	12'00 m.
Coeficiente ocupación	70 %	Altura máxima total	16'00 m.
		Cuerpos volados	No

FIGURA 2: REQUISITOS URBANÍSTICOS (FUENTE: PLAN GENERAL DE SEDAVÍ)

Particularizando para la parcela en cuestión, constituida por 1055 m^2, se exige un % de ocupación no mayor al 70%, es decir 738,5 m^2 (720 m^2 nuestra edificación). Por otra parte, el frente de parcela de la construcción es de 30 metros, superior a los 16 metros establecidos como mínimo frente de parcela. La altura máxima en cornisa es de 12 metros.

Además, el PGOU de Sedaví, en su artículo 3.3.6 establece la necesidad de aparcamientos en uso industrial o de almacén con las siguientes exigencias:

- · Se dispondrá, como mínimo, una plaza de aparcamiento de automóvil ligero por cada 100 m^2, o fracción superior a 50 m^2 de superficie destinada a la actividad productiva o almacén.
- · Se dispondrá, adicionalmente, una plaza de automóvil grade por cada 450 m^2 de superficie destinada a la actividad productiva o almacén.

En la figura 3 se exponen las dimensiones a cumplir para cada tipo de vehículo, extraído del artículo 3.3.2 del PGOU de Sedaví.

Tipo de vehículo usuario	Longitud (m)	Anchura (m)
Vehículos de dos ruedas	2,50	1,50
Automóviles ligeros	4,50	2,20
Automóviles grandes	5	2,50
Plaza para minusválido	4,50	3,50
Industriales ligeros	5,70	2,50
Industriales grandes	12	3,50

FIGURA 3: DIMENSIONES DE LAS PLAZAS DE APARCAMIENTO (FUENTE: PLAN GENERAL DE SEDAVÍ)

Adicionalmente se expone que la superficie mínima obligatoria será, en metros cuadrados, el número de plazas dispuestas multiplicado por 20, incluidas áreas de acceso y maniobra (nuestra edificación consta de 335 m^2).

7.2 REQUISITOS CONSTRUCTIVOS

Por razones estéticas, el PGOU exige que la nave de obra nueva sea semejante en color y forma a las existentes en las parcelas colindantes, es decir, una nave de paneles de hormigón, con cubierta a dos aguas y cubierta en color gris propio de las chapas metálicas. Además, las puertas de acceso han de ser de color gris oscuro.

Por otra parte, la necesidad de utilización de la nave por la empresa promotora es urgente, luego los plazos de ejecución deben ser un factor a tener muy en cuenta, tanto o más que el precio, luego las soluciones in situ quedan prácticamente descartadas por sus plazos más prolongados.

Otro de los requisitos urbanísticos es la distancia de la edificación al límite de la parcela (2,5 metros) luego en la parte más próxima al borde parcelario se ubicará la zona de aparcamientos, optimizando así los metros cuadrados de la parcela.

8 ESTUDIO DE SOLUCIONES

Para encontrar la solución que mejor se adaptaba a las necesidades requeridas por la promotora se estudiaron tres caminos distintos en búsqueda de optimizar, de la mejor manera, los recursos disponibles.

En primer lugar, se decidió estudiar una opción más tradicional, es decir, una nave formada por pórticos de hormigón armado construidos in situ, pero como se ha comentado anteriormente, la necesidad urgente de operatividad de la nave descartó esta opción por los largos plazos requeridos para tiempos de fraguado, vibrados, curados, etc.

En segundo lugar, se optó por los prefabricados de hormigón para ejecutar los pórticos de la nave, pero finalmente se desestimaron ya que se requerían piezas bastante grandes y eso suponía el uso de maquinaria pesada y en consecuencia más cara.

Finalmente, se decidió la ejecución de la nave mediante estructura de acero ya que las piezas son más livianas para su transporte y montaje, no se requiere una gran estructura ya que las cargas a soportar por esta no son excesivamente grandes. Además, a escasos kilómetros de la parcela donde se iba a ejecutar la nave existe un taller de metalurgia lo cual todavía abarataba más la solución metálica por la reducción de maquinaria y de transporte frente a los prefabricados de hormigón.

9 DESCRIPCIÓN PREVIA AL PROYECTO

9.1 USOS PREVISTOS

La actividad principal dentro de la nave es el almacenamiento de tableros de madera. El almacenamiento se llevará a cabo en toda la planta baja de la nave y en los altillos que se dispondrán se ubicarán unas oficinas.

La consiguiente actividad queda sujeta a las condiciones de su licencia ambiental, según la Ley 6/2014, de 25 de julio, de la Generalitat, de Prevención, Calidad y Control Ambiental de Actividades en la Comunitat Valenciana.

Se clasifica, según el Anexo II apartado 6 como Industria del papel, cartón, corcho, madera y muebles, apartado 6.: Almacenamiento de chapas, tablones y elementos de madera, a escala industrial. Por lo tanto, conforme a esta normativa, la actividad que se va a llevar a cabo no necesita Autorización Ambiental Integrada (AAI).

9.2 ACCESOS

El acceso a la nave estará limitado única y exclusivamente al personal que trabaje o desempeñe alguna función en ella, clientes y camiones que entren para su carga o descarga, por lo tanto, no procede la aplicación del Documento Básico de Seguridad Estructural de Utilización y Accesibilidad (DBSE-SUA).

Por otra parte, para garantizar una fácil y cómoda accesibilidad, se dispondrán los siguientes accesos al recinto:

- Acceso Principal: En la fachada norte se ubicarán dos puertas principales para el acceso de camiones, con unas dimensiones de 6 metros de altura y 6 metros de anchura.
- · Acceso peatones: Se ubicará una puerta de acceso directo desde la zona de aparcamiento al interior del recinto para evitar que se entre por la puerta de acceso a camiones. Ambas tienen una anchura libre de 90 centímetros, una altura de 2 metros. Son de apertura mediante bisagra y barren hacia el interior de la nave por lo que se respeta una distancia de 1,5 metros para un barrido sin obstáculos de la puerta.

10 DESCRIPCIÓN DEL PROYECTO

10.1 ACONDICIONAMIENTO DEL TERRENO

En primer lugar, se procederá al desbroce de toda la parcela y posterior transporte a vertedero. A continuación, se retirará todo el estrato de tierra vegetal para dejar a florar el estrato II de arcillas donde se ubicarán las cimentaciones.

10.1. CIMENTACIÓN

Las cimentaciones han sido dimensionadas empleando el Documento Básico de seguridad estructural de cimientos (DB-SE-C) del Código Técnico de la edificación (CTE) y el Código Estructural (CE).

Se decide emplear zapatas aisladas y vigas de atado ya que resulta mucho más económico que una losa de cimentación y, además, el terreno es apto para ello.

Los elementos de cimentación se realizarán con hormigón armado tipo HA-25/P/20/IIa y acero para armar B 500 S. Se emplea para elaborar el hormigón, cemento CEM I/A, siendo el éste el recomendado para cimentaciones en suelos como el presente aquí (Ver Anexo 1: Geotecnia).

Primeramente, se dispondrá una capa de hormigón de limpieza de 12 y 26 centímetros de espesor para regularizar la superficie de las zapatas y vigas de atado respectivamente.

La excavación se llevará a cabo mediante medios mecánicos con las dimensiones prefijadas para que quepa la zapata y el hormigón de limpieza de manera correcta.

Se ha optado por emplear en los pórticos todas las zapatas centradas y de idénticas dimensiones para facilitar el proceso constructivo y evitar errores en las excavaciones, montajes, etc.

En los pilares interiores que soportan el forjado se emplean también zapatas centradas y cuadradas iguales entre sí.

En el “Documento 2: Planos” se detallas las disposiciones, geometrías y armados correspondientes de todas las cimentaciones.

10.2. ESTRUCTURA METÁLICA

Como se refleja en la figura 4, la estructura consta de 7 pórticos a dos aguas, separados entre sí 5 metros. Además, entre los dos últimos pórticos hay un forjado formado por vigas y viguetas metálicas, bovedillas de hormigón y una capa de compresión. En la dirección mayor del forjado se usan perfiles IPE 160, en cambio, en la dirección menor se usan perfiles HE 140 B.

El forjado se soporta en el interior de la nave con dos pilares interiores, de 6 metros de altura, empotrados en la base y resueltos con perfiles HE 140 B.

Los pórticos son de 24 metros de luz, 8 metros de altura en hombros y 12 metros de altura en cumbrera. Para los pilares se emplean perfiles HE 260 B, empotrados en la base. Para los dinteles, los perfiles son HE 240 B con cartelas.

Por otra parte, se emplean vigas de atado uniendo los pórticos entre sí en los hombros y en las cumbreras para solidarizar el movimiento de estos. Se resuelven con perfiles HE 120 B.

En ambos pórticos hastiales, aparecen pilares intermedios para aportar resistencia a la nave en su dirección longitudinal, ubicados cada 6 metros. Se resuelven con perfiles HE 240 B.

Para las puertas de entrada de camiones se emplean vigas HE 140 B como marco superior.

Para fijar la cubierta a la estructura se emplean correas Z-120x35x4,75 con acero conformado S235, separadas 1 metro entre ellas y cubren dos vanos. Se unen a la cubierta mediante fijación rígida.

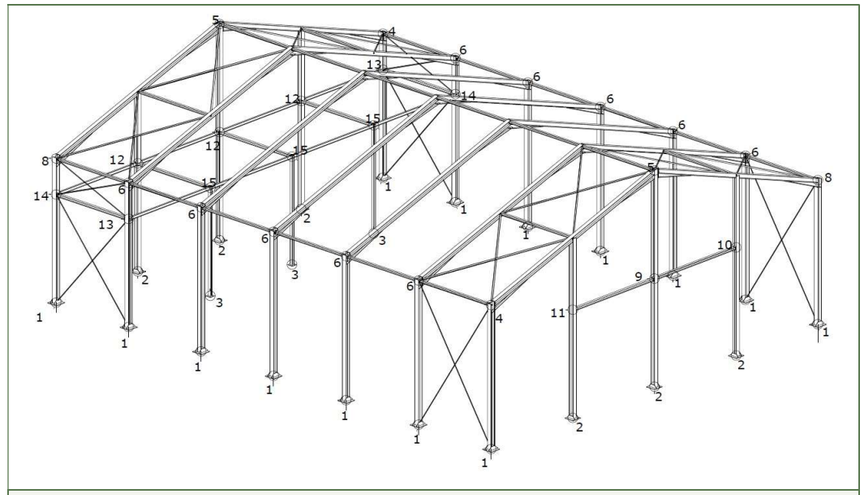

FIGURA 4: ESTRUCTURA COMPLETA

10.3. ARRIOSTRAMIENTOS

Para arriostrar la nave se han dispuesto cruces de san Andrés entre los dos pórticos extremos y sus contiguos (Ver figura 4). Estas cruces se han resuelto con perfiles L simétricos de acero S275, con dimensiones L 35x35x4 en la zona de los pilares y perfiles L 60x60x6 y L 70x70x5 para arriostrar los dinteles entre sí. En el “Documento nº2: Planos” se especifica más detalladamente su ubicación.

10.4. CUBIERTA

Se ha optado por resolver la cubierta mediante un sistema de cubierta tipo sándwich similar al modelo NILHO 600, de 40 mm de espesor ya que, en esta zona, durante el verano, las temperaturas son bastante altas y se prevén trabajos en horario diurno prácticamente a diario luego con una cubierta simple la temperatura interior del almacén se elevaría demasiado para trabajar en su interior. De esta manera, con la capa de aislante presente en esta cubierta, se prevén temperaturas más razonables dentro de la nave.

10.5. FACHADA

En todo el cerramiento de fachada se van a disponer paneles de hormigón prefabricado de 1 metro de ancho y 5 metros de largo que cerrarán los huecos entre pilares arriostrando a estos en toda su altura.

De esta manera también obtenemos el color gris requerido según los criterios urbanísticos municipales.

Estos paneles apoyan directamente en cimentación por lo que no transmiten carga alguna a los pilares, permitiendo unos perfiles más livianos que si colgamos los paneles de ellos.

10.6. SOLERA

A partir del estudio geotécnico se recomienda realizar un relleno de zahorra artificial de 15 cm de espesor compactada al 90% P.N.

Según el CE, por la actividad que se va a realizar sobre dicha solera se clasifica como solera pesada ($q>5$ t/m^2). Por tanto, se decide la construcción de una solera de hormigón armado. El espesor será de 15 cm constante en toda la superficie (incluso aparcamiento) y el hormigón empleado será el dispuesto por el CE (HA-30/P/20/IIa). La armadura empleada será una malla electrosoldada de 20x20, con 5 mm de diámetro de barra y acero B 500 S. Este pavimento se ejecutará de manera continua con sus correspondientes juntas de contracción y de encuentro con elementos estructurales.

10.7. CARPINTERÍA METÁLICA

Dentro de la carpintería metálica distinguimos, en primer lugar, los ventanales de la zona de oficinas a la calle, los cuales son ventanas practicables de 2 hojas de aluminio lacado blanco, de 120x120 cm. de medidas totales, compuesta por cerco, hojas y herrajes de colgar y de seguridad. Se ubicarán cuatro en la fachada trasera, entre los huecos de pilares y centradas.

Por otra parte, para las puertas de acceso de camiones se resolverán mediante dos puertas basculantes plegables accionadas manualmente compensada por muelles helicoidales de acero, hoja ciega con bastidor y refuerzos de hoja formados por tubos huecos rectangulares de acero laminado en frío y chapa formando cuarterones; con cerco de angular metálico.

Para el acceso de la planta baja a la planta de oficinas se colocará, en la esquina sureste de la nave (Pilar N1), una escalera metálica helicoidal modular, diámetro 1,50 m, realizada con perfiles de acero laminado E 275(A 42b), formando un árbol central, peldaño de chapa de acero lagrimado de 3 mm de espesor y barandilla perimetral.

Como puertas de acceso peatonal a la nave y de la escalera a la zona de oficinas se dispondrán puertas de chapa lisa de 1 hoja de 90x200 cm., realizada con doble chapa de acero galvanizado de 1 mm de espesor y panel intermedio, rigidizadores con perfiles de acero conformado en frío, herrajes de colgar y cerradura con manillón de nylon.

Finalmente, para cerrar la zona de oficinas del resto del almacén y así evitar excesivos ruidos, olores, etc. se dispondrá un cerramiento de muro cortina de PVC formado por montantes estructurales longitudinales de acero galvanizado 100x30x3 mm, con separación entre montantes de 2,00 m entre ejes y bastidores fijos de perfiles de PVC con refuerzo interior de acero galvanizado de 2,00 m. de altura.

10.8. MATERIALES

El principal material empleado en la estructura es el acero laminado S275 usado en pilares, dinteles, cartelas, vigas de forjado, arriostramientos, vigas perimetrales y placas de anclaje.

Por otra parte, se emplea acero conformado S235 para las correas de cubierta de perfil Z-120x35x4,75 empleados para fijar la cubierta.

El acero corrugado empleado en el hormigón armado es de tipo B 500 S y se usa en las zapatas, solera y vigas de atado.

Referido a las cimentaciones, se emplea un hormigón de limpieza tipo HL-150/B/30 y en las zapatas y vigas de atado se emplea un HA-25/P/20/IIa. Para la solera se emplea un HA-30/P/20/IIa sobre una base de zahorra artificial compactada de 15 cm de espesor compactada al 90% del Proctor normal.

Los cerramientos de fachada se resuelven con paneles de hormigón prefabricados mientras que en la cubierta se emplea una cubierta tipo panel sándwich de 40 mm de espesor.

11 PLAN DE OBRA

- 1. OPERACIONES PREVIAS
  - 1.1 Desbroce medios mecánicos
- 2. TRABAJOS EN TALLER
  - 2.1 Corte de piezas a su tamaño definitivo
  - 2.2 Soldadura de cartelas a las vigas del dintel
  - 2.3 Soldado de rigidizadores y refuerzos a pilares
  - 2.4 Recorte y preparación de placas y rigidizadores para placas de anclaje
- 2. MOVIMIENTOS DE TIERRAS
  - 2.1 Retiro capa tierra vegetal
  - 2.2 Nivelación del terreno
  - 2.3 Vaciado hueco zapatas y vigas
- 3. HORMIGÓN/ CIMENTACIÓN
  - 3.1 Hormigón limpieza y nivelación de huecos
  - 3.2 Colocación ferralla y placas anclaje en huecos
  - 3.3 Hormigonado cimentación
- 4. ESTRUCTURA
  - 4.1 Izado pilares y soldadura a placa
  - 4.2 Colocación tirantes pilares
  - 4.3 Izado de dinteles y soldadura a pilares
  - 4.4 Colocaciones de tirantes
  - 4.5 Colocación vigas forjado (longitudinales y transversales)
  - 4.6 Colocación viguetas y bovedillas
  - 4.7 Mallazo y capa compresión forjado
  - 4.8 Colocación correas cubierta
  - 4.9 Colocación cubierta sándwich
  - 4.10 Colocación de Muros laterales y frontales
  - 4.11 Colocación puertas nave
  - 4.12 Pavimentado interior nave
  - 4.13 Pavimentado aparcamiento
  - 4.14 Pintado estructura anti-incendio

- 4.15 Pintado ubicaciones aparcamiento

- 5. OPERACIONES FINALES
  - 5.1 Limpieza y restauración de las zonas afectadas

A continuación, se refleja el plan de obra en una tabla donde se exponen las duraciones y las fechas de inicio y fin de cada actividad (figura 5). También un diagrama de Gantt donde se expone más claramente la correlación de las actividades (figura 6).

NOMBRE ACTIVIDAD	FECHA DE INICIO	DURACIÓN (DIAS)	FECHA DE FIN
DESBROCE	01-ago	1	02-ago
RETIRO CAPA VEGETAL	03-ago	3	06-ago
NIVELACIÓN TERRENO	07-ago	1	08-ago
VACIADO CIMENTACIÓN	09-ago	3	12-ago
HORM. LIMPIEZA	13-ago	1	14-ago
FERRALLADO Y PLACAS	14-ago	5	19-ago
HORMIGONADO CIMENTACIÓN	20-ago	3	23-ago
IZADO PILARES Y SOLDADO A PLACAS	01-sep	10	11-sep
COLOCACIÓN TIRANTES EN PILARES	12-sep	1	13-sep
IZADO DE DINTELES Y SOLDADO A PILARES	14-sep	8	22-sep
COLOCACIÓN TIRANTES EN DINTELES	23-sep	2	25-sep
COLOCACIÓN VIGAS DE FORJADO	26-sep	4	30-sep
COLOCACIÓN VIGUETAS Y BOVEDILLAS	01-oct	2	03-oct
MALLAZO Y CAPA DE COMPRESIÓN	04-oct	2	06-oct
COLOCACIÓN CORREAS DE CUBIERTA	07-oct	2	09-oct
COLOCACIÓN PANEL SÁNDWICH	10-oct	6	16-oct
COLOCACIÓN MUROS LATERALES Y FRONTALES	06-oct	10	16-oct
COLOCACIÓN PUERTAS Y VENTANAS	17-oct	3	20-oct
PAVIMENTADO INTERIOR	21-oct	8	29-oct
PAVIMENTADO APARCAMIENTO	21-oct	5	26-oct
PINTADO ESTRUCTURA ANTI INCENDIO	30-oct	4	03-nov
PINTADO PLAZAS APARCAMIENTO	27-oct	1	28-oct
LIMPIEZA Y RESTAURACIÓN DE ZONAS AFECTADAS	30-oct	5	04-nov
CORTE DE PIEZAS A SU TAMAÑO DEFINITIVO	04-ago	15	19-ago
SOLDADO DE CARTELAS A VIGAS DE DINTEL	20-ago	3	23-ago
SOLDADO DE RIGIDIZADORES Y REFUERZOS A PILARES	24-ago	4	28-ago
RECORTE Y PREPARACIÓN DE PLACAS Y RIGIDIZADORES	25-jul	10	04-ago

FIGURA 5: TABLA DE TRABAJOS Y SUS DURACIONES

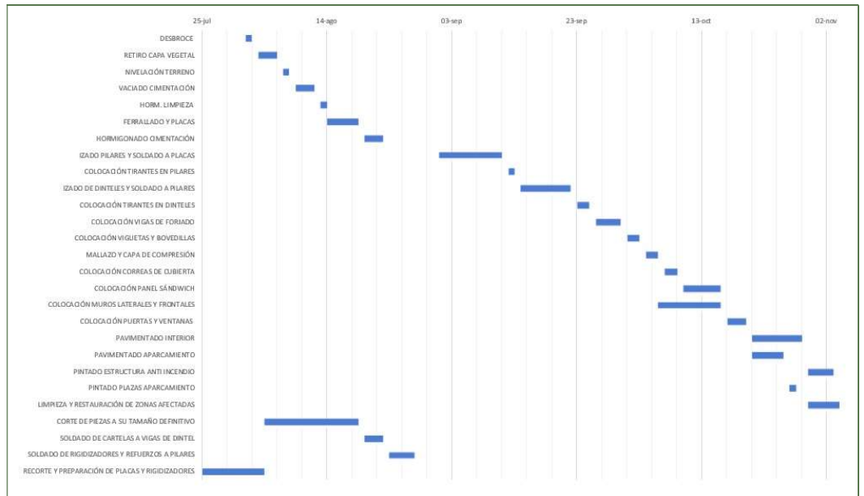

FIGURA 6: PLAN DE OBRA

12 RESUMEN DEL PRESUPUESTO

CAPÍTULO	IMPORTE (€)
1.OPERACIONES PREVIAS	665,71
2.MOVIMIENTO TIERRAS	6.948,04
3.CIMENTACIÓN	21.429,44
4.ESTRUCTURA	85.456,48
5.CUBIERTA	22.160,26
6.FORJADO	7.483,20
7.CARPINTERÁ METÁLICA	33.414,77
8.MUROS PERIMETRALES	20.816,07
9.PINTURAS	20.601,92
10.PAVIMENTOS	58.851,07

Presupuesto de ejecución material (PEM)……277.826,96€

13% de gastos generales……36.117,51€

6% de beneficio industrial……16.669,62€

Presupuesto de ejecución por contrata (PEC)……330.614,09€

21% de IVA……69.428,96€

Presupuesto de ejecución por contrata con IVA……400.043,05€

Asciende el presupuesto de ejecución por contrata más IVA a la expresada cantidad de **CUATROCIENTOS MIL CUARENTA Y TRES EUROS CON CINCO CÉNTIMOS.**

VALENCIA, A 25 DE AGOSTO DE 2022

FDO. D. SERGIO OLMOS VILA

INGENIERO CIVIL

ANEXO Nº1: GEOTECNIA

ÍNDICE

1 INTRODUCCIÓN Y ANTECEDENTES 1
1.1 ANTECEDENTES Y OBJETO 1
2 TRABAJOS LLEVADOS A CABO 1
2.1 TRABAJOS DE INVESTIGACIÓN 1
2.2 TRABAJOS DE CAMPO 1
2.2.1 SONDEOS MECÁNICOS 1
2.2.2 ENSAYOS DE PENETRACIÓN DINÁMICA DPSH 1
2.2.3 TOMA DE MUESTRAS INALTERADAS 2
2.2.4 ENSAYOS SPT 2
3 ENSAYOS DE LABORATORIO 2
4 ENTORNO GEOLÓGICO 2
5 CARACTERIZACIÓN GEOTÉCNICA DEL TERRENO 2
5.1 NIVEL I: TIERRA VEGETAL 2
5.2 NIVEL II: ARCILAS LIMOSAS 3
5.3 NIVEL III: ARCILLA 3
5.4 NIVEL IV: LIMOS ARCILLOSOS 3
5.5 NIVEL V: ARENAS Y LIMOS ARENOSOS 4
5.6 NIVEL VI: ARCILLAS 4
6 HIDROGEOLOGÍA 4
6.1 NIVEL FREÁTICO 4
6.2 PERMEABILIDADES 5
7 AFECCIÓN SÍSMICA 5
8 CONCLUSIONES Y RECOMENDACIOONES 5
8.1 TIPO DE CIMENTACIÓN Y COTA 5
8.2 HORMIGONES A EMPLEAR EN CIMENTACIONES 5

1 INTRODUCCIÓN Y ANTECEDENTES

Hermanos Tamarit-Furió S.A ha encargado a XXXXXX la realización de un estudio geotécnico para el diseño y cálculo de un almacén de tableros de madera en Sedaví, Valencia, situado en la esquina de las entre C/ Séquia de Calvera y C/ Giner de los Ríos.

1.1 ANTECEDENTES Y OBJETO

El objeto de este estudio es definir el terreno sobre el que se ubicará la construcción y los condicionantes que éste puede presentar, además de definir una cimentación acorde a las necesidades.

La parcela está situada en el polígono industrial de Sedaví, Valencia, presentando una topografía prácticamente llana al inicio de los trabajos de campo, coincidiendo con la cota de las calles contiguas.

En la Figura 1 se observa una imagen aérea de la parcela y su ubicación dentro del polígono.

FIGURA 1: UBICACIÓN DE LA PARCELA

Según la propiedad, se prevé la construcción de una nave industrial en la parcela indicada. La parcela presenta una topografía prácticamente plana situándose la rasante a cota 5,6 metros respecto al NMMA.

La parcela tiene una superficie de 1055 m^2, siendo ocupadas por la nave 739 m^2 por una única planta baja.

Según el Código Técnico de la Edificación (en adelante CTE) la construcción sería de tipo C-1 (Naves industriales ligeras con estructuras de hormigón armado o metálicas.

2 TRABAJOS LLEVADOS A CABO

2.1 TRABAJOS DE INVESTIGACIÓN

Con anterioridad a los trabajos de campo se consultó, con el fin de tener un mayor conocimiento de la parcela tanto geológico como geotécnico, la bibliografía y documentación expuesta a continuación:

- IGME (2015) Mapa geológico de España Escala 1:100.000
- IGME Magna 3ª Serie hoja 722 (29-28) Valencia Escala 1:50.000

2.2 TRABAJOS DE CAMPO

Para caracterizar lo más fielmente posible el terreno a estudiar se han realizado una serie de trabajos de campo detallados a continuación:

- Dos (2) **CALICATAS**, detalladas en la figura 2:

CALICATA	PROFUNDIDAD	Nº M.A.
C – 1	−2,50 m	1
C – 2	−3,40 m	1

FIGURA 2: CALICATAS

- . Dos (2) **SONDEOS MECÁNICOS**, detallados en la figura 3

SONDEO	PROFUNDIDAD	Nº M.I.	Nº SPT
S – 1	−20,25 m	4	6
S – 2	−20,35 m	4	5

FIGURA 3: SONDEOS MECÁNICOS

- Tres (3) ENSAYOS DE PENETRACIÓN DINÁMICA DPSH, detallados en la figura 4

PENETRACIÓN	PROFUNDIDAD
PD – 1	−11,80 m
PD – 2	−11,20 m
PD – 3	−20,00 m

FIGURA 3: SONDEOS MECÁNICOS

Con motivo de la caracterización geotécnica de las unidades geológicas afectadas por la cimentación de la nave se han realizados dos catas en la ubicación de dos de las zapatas con el fin de obtener los parámetros geotécnicos de los materiales.

2.2.1 SONDEOS MECÁNICOS

Perforación con medios mecánicos a rotación con un varillaje de masa

7,252 kg/m y diámetro de 50mm. El método empleado es perforación por rotación. Se emplean tubos de testigo simples, tipo GC, con corona de perforación de Widia de diámetros entre 101-116 mm.

2.2.2 ENSAYOS DE PENETRACIÓN DINÁMICA DPSH

Para la realización de estos ensayos se empleó un penetrómetro dinámico DPSH, de accionamiento automático, lo cual garantiza la uniformidad de altura y libertad en la caída de la maza de golpeo.

Este instrumento está equipado con varillas de acero de ø=32mm, de 8,00 kg. de masa la primera varilla (de 1 m de longitud) y el resto masa unitaria 6,10 kg/m. El varillaje está provisto en su boca inferior con una puntaza de acero, a perder en el ensayo, de sección circular de diámetro nominal ø = 50,5 mm (0,65 kg. de masa), por lo que la sección es de 20 cm^2 acabada en punta cónica. El mayor tamaño relativo de la puntaza sobre las varillas reduce a valores mínimos el rozamiento del suelo ya penetrado sobre éstas.

El ensayo se realiza golpeando, sin interrupción, a razón de 30 golpes por minuto, sobre un pequeño yunque (de peso propio despreciable) acoplado en el extremo superior del varillaje, con una maza de golpeo que pesa 63,5 kg y cuya caída libre es de 750 mm. En su caída, la maza está guiada por un vástago solidario a un carro deslizante. Este conjunto, que pesa un total de 115 kg, gravita permanentemente sobre el varillaje.

El ensayo consiste en registrar el número de golpes, N_{20}, preciso para hincar el varillaje en el terreno tramos de igual longitud, normalizada en 20 cm. Su metodología está recogida en la norma UNE 103.801-94.

2.2.3 TOMA DE MUESTRAS INALTERADAS

Se tomaron 8 muestras inalteradas de categoría A hasta las profundidades señaladas en los registros de sondeo correspondientes. Se obtuvieron mediante el tomamuestras de paren gruesa (MI). El ensayo se llevó a cabo de acuerdo con la norma americana ASTM D 3550-84 mediante golpeo con una masa de 115 kg y una frecuencia inferior a 30 golpes/min. En todas ellas se recuperó una longitud de 60 cm.

2.2.4 ENSAYOS SPT

Empleando la cuchara de cilindro partido, normalizada por Terzaghi, se tomaron once (11) muestras clasificadas como categoría B e hincadas hasta las profundidades anteriormente detalladas mediante hinca dinámica.

Como es usual, se simultaneó la toma de muestras registrando el número preciso para hincar los 30 cm finales de un total de 45; operación realizada a tramos de 15 cm. Este ensayo de penetración dinámica se denomina SPT (Standard Penetration Test). Su técnica operativa, así como la energía y cantidad de movimiento por la caída libre de la maza, están normalizadas en la norma (UNE 103.800-92).

3 ENSAYOS DE LABORATORIO

En las muestras recogidas durante los sondeos se han realizado un conjunto de ensayos en laboratorio llevados a cabo por XXXXXXXX.

En estos ensayos se pretende caracterizar, identificar y clasificar el suelo, así como hallar los parámetros resistentes y los datos necesarios para el diseño y ejecución de la obra.

<u>TIPO DE ENSAYO</u>

- Ensayos de caracterización
  - Determinación de la humedad natural (2 ensayos)
  - Determinación de densidad aparente y seca (2 ensayos)
  - Determinación de límites de Atterberg (10 ensayos)
  - Granulometría por tamizados (10 ensayos)
- Ensayos mecánicos
  - Resistencia a compresión simple (4 ensayos)
- Ensayos de hinchamiento
  - Presión máxima de hinchamiento (2 ensayo)
- Ensayos químicos
  - Contenido de sulfatos solubles (3 ensayos)

4 ENTORNO GEOLÓGICO

Sedaví se ubica a 6 Km al sur del centro de Valencia, en la comarca de l'Horta Sud. Según el mapa geocientífico de Valencia, Sedaví se ubica como llanura costera.

La zona de estudio se enmarca desde el punto de vista geológico en la Plana de Valencia, la cual puede describirse desde el punto de vista estructural como una zona fallada cuyos bloques se hunden hacia el mar. La dirección de las fallas es NE-SW y su movilización principal ocurre durante el Mioceno. A medida que los bloques se van hundiendo se produce la erosión y deposición de sedimentos detríticos.

Además, se encuadra en el sector meridional de la llanura litoral valenciana, originada por el relleno progresivo de una depresión tectónica con materiales detríticos continentales, aportados por los relieves mesozoicos circundantes y sedimentos marinos someros y de transición marina-continental, durante el Terciario y el Cuaternario. La actual llanura está cerrada al norte por las estribaciones más meridionales de las Cadenas Costero-Catalanas (altos de Crocainet y Picayo), con directrices tectónicas de orientación NNE-SSO, al sur por los relieves de la Sierra de Buscarró, correspondientes al extremo nororiental de las Cordilleras Béticas (Gutiérrez et al, 1984), con directrices tectónicas de plegamiento de orientación NE-SO, al oeste y noroeste por las estribaciones surorientales de Rama Castellana de la Cordillera Ibérica, con pliegues de dirección NOSE, y al suroeste por el macizo de Caroch, que corresponde a una zona tabular con fosas y grabens de dirección E-O y N-S.

Desde un punto de vista litoestratigráfico, la Llanura Litoral Valenciana se caracteriza por un relleno sedimentario que abarca desde el Mioceno medio hasta el Cuaternario. Estos depósitos se disponen sobre materiales de distintas edades, que constituyen el basamento de la cuenca neógena-cuaternaria.

El cuaternario es la formación más extensa de la zona y constituye la llanura litoral, extendiéndose prácticamente hasta cota 100, rellenando el Neógeno deprimido hasta profundidades de 200 m., como han comprobado sondeos realizados en la ciudad de Valencia, en cuyas profundidades parece desarrollarse la mayor potencia. Tal magnitud de materiales se ha depositado a costa de las aportaciones de los ríos Turia y Júcar y su afluente el Magro, y la serie de barrancos, que con dirección E-O, vierten sus aguas y sedimentos en la llanura, en la que destaca como accidente geográfico más significativo la Albufera de Valencia cerrada por un cordón litoral que se extiende prácticamente desde la montaña del Puig hasta la sierra de Cullera.

El Cuaternario baja desde los niveles terciarios a la cota 100 hasta la llanura litoral, ocupada en su mayor parte por la Albufera y terreno semejante que cierra con un cordón litoral su comunicación con el mar. Los depósitos presentes pueden calcificarse por su génesis en: continentales, marinos y mixtos.

5 CARACTERIZACIÓN GEOTÉCNICA DEL TERRENO

5.1 NIVEL I: TIERRA VEGETAL

Está formado por arcillas marrón oscuro con nódulos y alguna grava dispersa, y con restos de materia orgánica y esporádicos restos cerámicos.

Inicialmente se ha detectado un primer nivel de rellenos y tierra vegetal con una potencia reconocida en los sondeos realizados de 1,00 – 1,80 m.

En la siguiente tabla se han recogido las profundidades a las que ha sido detectado este nivel en los sondeos y catas, así como las potencias deducidas.

SONDEO	COTA TECHO	COTA MURO	POTENCIA
C – 1	±0,00 m	−1,80 m	1,80 m
C – 2	±0,00 m	−1,50 m	1,50 m
S – 1	±0,00 m	−1,00 m	1,00 m
S – 2	±0,00 m	−1,90 m	1,90 m

FIGURA 5: NIVEL I (TIERRA VEGETAL)

Los ensayos de penetración dinámica DPSH realizados han proporcionado golpeos en este nivel comprendidos entre 2 y 4, valores que apuntan a una baja capacidad portante (inferior a 25 kPa) y una elevada deformabilidad.

5.2 NIVEL II: ARCILAS LIMOSAS

Se trata de unas arcillas limosas de color beige claro, que en ocasiones pasan a limos arcillosos, y que incluyen nódulos calcáreos.

Es el nivel estratigráfico más moderno y ha sido detectado en las catas C-1 y C-2, así como en el sondeo S-1, pero no apareció en el sondeo S-2.

En la tabla siguiente se recogen las profundidades a las que ha sido detectado este nivel en las actas y en los sondeos, así como sus potencias.

SONDEO	COTA TECHO	COTA MURO	POTENCIA
C – 1	−1,80 m	−2,50* m	> 0,70 m
C – 2	−1,50 m	−3,40* m	> 1,90 m
S – 1	−1,00 m	−2,00 m	2,00 m
S – 2	---	---	---

FIGURA 6: NIVEL II (ARCILLAS LIMOSAS)

- Contenido en finos entre 50% y 66%.
- Límite líquido entre 22 y 24 e índice de plasticidad 8.
- Según SUCS se clasifica como CL.
- El DPSH indica una compacidad muy pobre ($2 \leq N_{PDP} \leq 6$)
- Presenta una fácil excabavilidad por medios mecánicos

En laboratorio, se ejecutaron tres (3) ensayos de resistencia a compresión simple que arrojaron los siguientes resultados:

SONDEO	PROFUNDIDAD	γ (g/cm3)	γd (g/cm3)	w (%)	Ru (KPa)	Eu(kPa)	Eu/Ru
1	2.00	2.15	1.83	17.4	180	2800	16
2	6.40	2.17	1.86	16.4	295	6000	20
2	10	2.26	2.01	12.1	470	13043	28

FIGURA 7: RESULTADOS

Si se admite una relación entre el golpeo y la resistencia a compresión simple, para un golpeo de 10, se podría proponer una resistencia de 1’3 kg/cm^2

5.3 NIVEL III: ARCILLA

Se trata de una arcilla limosa de color pardo, con niveles de tonos verdosos, que incluye nódulos calcáreos de hasta 2 cm de diámetro. Pasa en ocasiones a limos arcillosos y arenas limosas y puntualmente incluye niveles de gravas.

Las profundidades de detección de este nivel en los sondeos y sus potencias se recogen en la siguiente tabla.

SONDEO	COTA TECHO	COTA MURO	POTENCIA
S – 1	−2,00 m	−7,60 m	5,60 m
S – 2	−1,90 m	−8,60 m	6,70 m

FIGURA 8: NIVEL III (ARCILLAS)

- Contenido en finos entre 68 % y77 %. Presenta niveles de nódulos calcáreos en fracción de grava (hasta 9 %).
- Límite líquido entre 32 y 41 e índices de plasticidad entre 14 y 21.
- Contenido de M.O entre 0,14 % y 0,22 %.
- Contenido en sulfatos entre 0,02 % y 0,03 %.
- Según SUCS se clasifica como CL.
- DPSH entre 8 y 11 golpes
- SPT entre 11 y 17
- Excavabilidad buena mediante medios mecánicos

5.4 NIVEL IV: LIMOS ARCILLOSOS

Se trata de unos limos arcillosos de color marrón, con gravas hasta en un 11%, que próximo al muro presentan niveles de arena fina y en general algunas pasadas más arcillosas.

Las profundidades de detección de este nivel en los sondeos y sus potencias se recogen en la siguiente tabla.

SONDEO	COTA TECHO	COTA MURO	POTENCIA
S – 1	−7,60 m	−12,60 m	5,00 m
S – 2	−10,90 m	−13,00 m	2,10 m

FIGURA 9: NIVEL IV (LIMOS ARCILLOSOS)

Contenido en finos entre 59 % y 66 %

Límite líquido entre 19 y 22 e índice de plasticidad entre 5 y 7

Contenido de M.O entre 0,13 % y 0,19 %

Contenido en sulfatos entre 0,01 % y 0,02 %

Según SUCS se clasifica como ML-CL

DPSH entre 15 y 30 golpes

SPT entre 27 y 39

Resistencia a compresión simple de 180 KPa

- Excabavilidad por medios mecánicos

Además, se han obtenido los siguientes resultados:

SONDEO	PROFUNDIDAD	γ (g/cm3)	γd (g/cm3)	w (%)	Ru (KPa)	Eu(kPa)	Eu/Ru
1	-10.00	2.08	1.72	21.3	180	3703	23

FIGURA 10: RESULTADOS

5.5 NIVEL V: ARENAS Y LIMOS ARENOSOS

Se trata de arenas finas y limos arenosos de color beige claro con una fracción de gravas incluidas de hasta en un 8%.

Las profundidades de detección de este nivel en los sondeos y sus potencias se recogen en la siguiente tabla.

SONDEO	COTA TECHO	COTA MURO	POTENCIA
S – 1	−12,60 m	−14,60 m	2,00 m
S – 2	−13,00 m	−14,90 m	1,90 m

FIGURA 11: NIVEL V (ARENAS)

- Variación gradual de finos entre el 13 % y el 60 %
- Dos muestras sin plasticidad y otra con límite líquido de 15 e índice de plasticidad de 3.
- Contenido en M.O entre 0,11 % y 0,26 %
- Contenido en sulfatos de 0,01 %
- Según SUCS se clasifica como SM-ML
- DPSH entre 14 y 26
- SPT entre 18 y 27
- Excavabilidad por medios mecánicos

En consecuencia, podemos adoptar unos valores de cálculo de 32º para el ángulo de rozamiento efectivo, 0 para la cohesión efectiva y 19 kN/m^3 de densidad saturada.

5.6 NIVEL VI: ARCILLAS

Se trata de unas arcillas de color marrón de tonos rojizos que presentan abundantes nódulos calcáreos incluidos. En ocasiones presentan niveles de gravas.

Las profundidades de detección de este nivel en los sondeos se recogen en la siguiente tabla.

SONDEO	COTA TECHO	COTA MURO	POTENCIA
S – 1	−14,60 m	−20,25 m	5,65 m (1)
S – 2	−14,90 m	−20,35 m	5,45 m (1)

(1) Potencia no definible; fin de los reconocimientos efectuados.

FIGURA 12: NIVEL VI (ARCILLAS)

- DPSH 16
- Resistencia a compresión simple de 125 KPa
- Según SUCS ML
- Excavabilidad por medios mecánicos

En la siguiente tabla se resumen los resultados obtenidos:

Características Identificación	Cata 1	Cata 2	Sondeo 1	Sondeo 1	Sondeo 1	Sondeo 1	Sondeo 1	Sondeo 1	Sondeo 1	Sondeo 1	Sondeo 2	Sondeo 2	Sondeo 2	Sondeo 2	Sondeo 2	Sondeo 2	Sondeo 2
Cota	-2,50 m	-2,50 m	-1,40 m	-2,00 m	-4,00 m	-6,00 m	-8,00 m	-10,00 m	-12,00 m	-14,00 m	-1,90 m	-4,00 m	-6,00 m	-8,00 m	-10,00 m	-12,00 m	-14,00 m
Tipo muestra	MA	MA	Agua	MI	SPT	MI	SPT	MI	SPT	SPT	MI	SPT	MI	SPT	MI	SPT	SPT
Nivel geotécnico	QL1	QL1	QL1	QL2	QL2	QL2	QL3	QL3	QL3	QS	QL2	QL2	QL2	QL2	QL2	QL3	QS
% Gravas	5,4	29,8	---	---	9	---	11	---	9	8	---	7	---	4	---	11	1
% Arenas	28,8	20	---	---	14	---	30	---	28	79	---	22	---	28	---	23	39
% Finos	65,8	50,2	---	---	77	---	59	---	63	13	---	71	---	68	---	66	60
% Límite Líquido	23,4	22,2	---	---	32,7	---	19,2	---	18,3	---	---	35	---	41,4	---	21,8	15,5
% Límite Plástico	15,2	13,8	---	---	18,6	---	13,7	---	12,1	N.P.	---	19,3	---	20,2	---	14,9	12,3
Índice plasticidad	8,2	8,4			14,1		5,5		6,2			15,7		21,2		6,9	3,2
Resistencia compresión simple (kPa)	---	---	---	180	---	---	---	160	---	---	---	---	295	---	470	---	---
	---	---		---	---	---	---	---	---	---	---	---	---	---	---	---	---
Edómetro	---	---		---	---	---	---	---	---	---	---	---	---	---	---	---	---
Acidez Baumann-Gully	---	---	---	---	AUSENCIA	---	AUSENCIA	---	AUSENCIA	AUSENCIA	---	AUSENCIA	---	AUSENCIA	---	AUSENCIA	AUSENCIA
Sulfatos suelo (mg/kg)	---	---	---	---	279,6	---	184,7	---	81,5	114,8	---	181,4	---	233	---	218	83,2
Sulfatos agua (mg/l)	---	---	3394,6	---	---	---	---	---	---	---	3234,8	---	---	---	---	---	---
Materia orgánica	---	---	---	---	0,16	---	0,13	---	0,19	0,11	---	0,14	---	0,22	---	0,17	0,26
Clasificación de Casagrande	CL	CL	---	---	CL	---	ML-CL	---	ML-CL	SM	---	CL	---	CL	---	ML-CL	ML

FIGURA 13: RESUMEN DE LOS RESULTADOS

En la siguiente imagen se representa el corte estratigráfico del terreno:

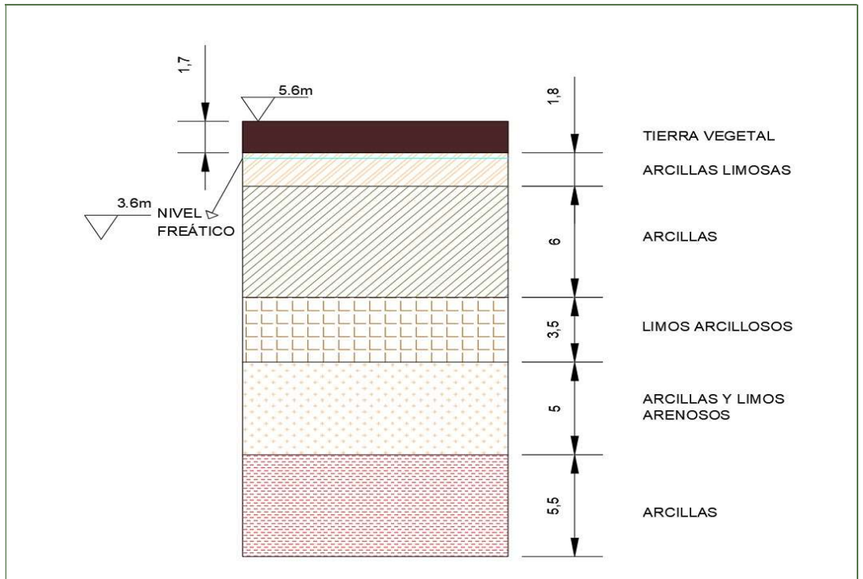

FIGURA 14: CORTE ESTRATIGRÁFICO DEL TERRENO

6 HIDROGEOLOGÍA

6.1 NIVEL FREÁTICO

La parcela en cuestión está ubicada muy cerca del parque natural de l'Albufera.

En los sondeos y catas llevados a cabo se detecta el nivel freático relativamente próximo al terreno. Se exponen los resultados a continuación:

- Cata C-1: -2,40 m

- Cata C-2: -2,70 m
- Sondeo S-1: -1,40 m
- Sondeo S-2: -1,50 m

Estas profundidades fueron medidas justo después de finalizar los ensayos por lo que cabe esperar una subida de este debido a que los estratos son impermeables y, al realizar los trabajos se deja una vía de salida al agua.

En definitiva, la mayoría de los trabajos se llevarán a cabo bajo nivel freático por lo que deben adoptarse las medidas necesarias para evitar problemas.

6.2 PERMEABILIDADES

Durante la ejecución de los sondeos, se procedió a realizar ensayos tipo Lefranc de carga constante con objeto de determinar in situ las permeabilidades de los niveles geotécnicos afectados por las obras.

En la siguiente tabla se tienen las profundidades a las que fueron ejecutados Los ensayos Lefranc y los valores de permeabilidad deducidos:

Sondeo	Profundidad	Litología	Tipo	Permeabiidad K (m/seg)
S-2	-13,00	Limos arcillosos **(QL_3)**	Carga variable	4,76E-08
S-2	-14,90	Arcillas **(QS)**	Carga variable	2,03E-05
S-2	-20,00	Arcillas **(QL_4)**	Carga variable	4,00E-07

FIGURA 15: PERMEABILIDADES

7 AFECCIÓN SÍSMICA

La normativa en materia de afección sísmica dentro del territorio español es la Norma de Construcción Sismorresistente NCSE-02, donde se exponen los criterios a cumplir.

Esta norma divide el territorio en zonas de acción sísmica similar dando un valor de aceleración sísmica básica, indicada como fracción de g, a cada zona de subdivisión. La figura 16 muestra el mapa de referencia para España:

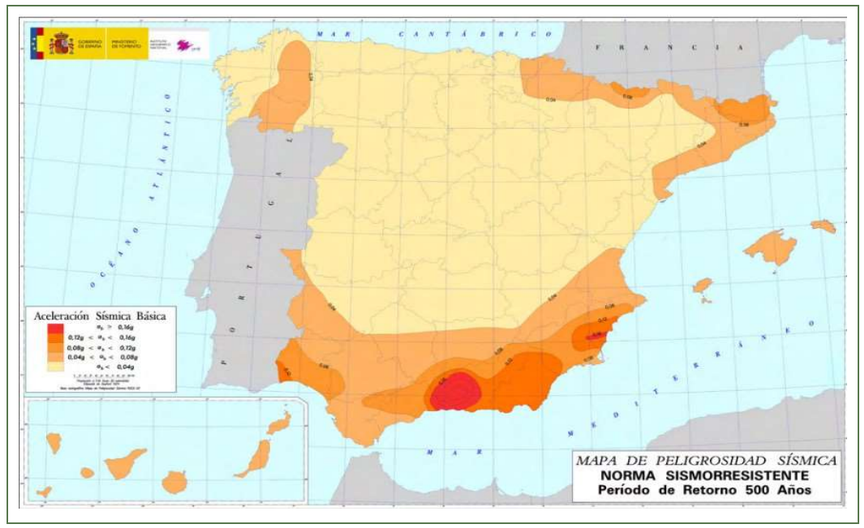

FIGURA 16: MAPA DE PELIGROSIDAD SÍSMICA (VÍA NCSE-02)

Como se observa en la figura 16, la zona de Valencia corresponde a la zona con una aceleración sísmica básica comprendida entre 0,04g y 0,08g siendo g la aceleración de la gravedad. Nuestra edificación se cataloga como importancia normal por lo que estará exenta, según el artículo 1.2.3 de la NCSE-02, siempre que los pórticos de la nave se arriostren correctamente en todas direcciones.

8 CONCLUSIONES Y RECOMENDACIOONES

Con los datos aportados por el promotor y los trabajos realizados se procede a detallar las recomendaciones para la cimentación.

8.1 TIPO DE CIMENTACIÓN Y COTA

Se recomienda emplear zapatas aisladas y atadas entre sí por mayor economía y ahorro de materiales respecto a una losa de cimentación. La cota del plano de cimentación será la cota 2.9 metros. De este modo la cimentación apoya en el estrato 2 “arcillas limosas”.

8.2 HORMIGONES A EMPLEAR EN CIMENTACIONES

Debido a la ubicación final de la cimentación y el contenido en sulfatos de este estrato (2) se recomienda, de acuerdo con la EHE-08 (Anejo 4) el empleo de hormigones con cemento tipo CEM-I ya que el contenido de sulfatos no es excesivo y es para uso exclusivo en cimentaciones.

VALENCIA, A 25 DE AGOSTO DE 2022

FDO. D. SERGIO OLMOS VILA

INGENIERO CIVIL

ANEXO Nº2: CÁLCULO ESTRUCTURAL

ÍNDICE

1 NOMENCLTURA DE NUDOS 1
2 MATERIALES 1
2.1.1 ESPECIFICACIONES DE LOS MATERIALES 1
2.1.2 CARACTERÍSTICAS MECÁNICAS 2
3 ACCIONES 2
3.1 ACCIONES PERMANENTES (G) 2
3.1.1 PESO PROPIO 2
3.2 ACCIONES VARIABLES (Q) 2
3.2.1 SOBRECARGA DE USO 2
3.2.2 VIENTO 3
3.2.3 NIEVE 3
3.3 ACCIONES TÉRMICAS 3
4 DATOS DE OBRA 3
4.1 NORMAS CONSIDERADAS 3
4.1.1 ESTADOS LÍMITE 3
4.1.1.1 SITUACIONES DE PROYECTO 3
4.1.2 COMBINACIONES 5
4.2 DESCRIPCIÓN DE LAS BARRAS 10
5 CARGAS 14
5.1 BARRAS 14
6 REACCIONES EN NUDOS 37
6.1 COMBINACIONES 42
6.2 ENVOLVENTES 157
7 COMPROBACIÓN ZAPATAS 160
7.1 DESCRIPCIÓN DE ELEMENTOS DE CIMENTACIÓN AISLADOS 160
7.2 ZAPATAS EXTERIORES 160
7.3 ZAPATAS INTERIORES 162
8 COMPROBACIÓN VIGAS DE ATADO 164
8.1 DESCRIPCIÓN DE LOS ELEMENTOS DE ATADO DE CIMENTACIÓN 164
8.2 COMPROBACIÓN 164
9 ESTRUCTURA 165
9.1 FLECHA DE LAS BARRAS 165
9.2 COMPROBACIONES ELU (RESUMIDO) 170

1 NOMENCLTURA DE NUDOS

El origen de coordenadas (0,0,0) corresponde al nudo de cimentación del pilar ubicado más al sudeste (N1). (Ver figura 2).

Nudos										
Referencia	Coordenadas			Vinculación exterior						Vinculación interior
	X (m)	Y (m)	Z (m)	Δ_x	Δ_y	Δ_z	θ_x	θ_y	θ_z	
N1	0.000	0.000	0.000	X	X	X	X	X	X	Empotrado
N2	0.000	0.000	8.000	-	-	-	-	-	-	Empotrado
N3	0.000	24.000	0.000	X	X	X	X	X	X	Empotrado
N4	0.000	24.000	8.000	-	-	-	-	-	-	Empotrado
N5	0.000	12.000	12.000	-	-	-	-	-	-	Empotrado
N6	5.000	0.000	0.000	X	X	X	X	X	X	Empotrado
N7	5.000	0.000	8.000	-	-	-	-	-	-	Empotrado
N8	5.000	24.000	0.000	X	X	X	X	X	X	Empotrado
N9	5.000	24.000	8.000	-	-	-	-	-	-	Empotrado
N10	5.000	12.000	12.000	-	-	-	-	-	-	Empotrado
N11	10.000	0.000	0.000	X	X	X	X	X	X	Empotrado
N12	10.000	0.000	8.000	-	-	-	-	-	-	Empotrado
N13	10.000	24.000	0.000	X	X	X	X	X	X	Empotrado
N14	10.000	24.000	8.000	-	-	-	-	-	-	Empotrado
N15	10.000	12.000	12.000	-	-	-	-	-	-	Empotrado
N16	15.000	0.000	0.000	X	X	X	X	X	X	Empotrado
N17	15.000	0.000	8.000	-	-	-	-	-	-	Empotrado
N18	15.000	24.000	0.000	X	X	X	X	X	X	Empotrado
N19	15.000	24.000	8.000	-	-	-	-	-	-	Empotrado
N20	15.000	12.000	12.000	-	-	-	-	-	-	Empotrado
N21	20.000	0.000	0.000	X	X	X	X	X	X	Empotrado
N22	20.000	0.000	8.000	-	-	-	-	-	-	Empotrado
N23	20.000	24.000	0.000	X	X	X	X	X	X	Empotrado
N24	20.000	24.000	8.000	-	-	-	-	-	-	Empotrado
N25	20.000	12.000	12.000	-	-	-	-	-	-	Empotrado
N26	25.000	0.000	0.000	X	X	X	X	X	X	Empotrado
N27	25.000	0.000	8.000	-	-	-	-	-	-	Empotrado
N28	25.000	24.000	0.000	X	X	X	X	X	X	Empotrado
N29	25.000	24.000	8.000	-	-	-	-	-	-	Empotrado

Nudos										
Referencia	Coordenadas			Vinculación exterior						Vinculación interior
	X (m)	Y (m)	Z (m)	Δ_x	Δ_y	Δ_z	θ_x	θ_y	θ_z	
N30	25.000	12.000	12.000	-	-	-	-	-	-	Empotrado
N31	30.000	0.000	0.000	X	X	X	X	X	X	Empotrado
N32	30.000	0.000	8.000	-	-	-	-	-	-	Empotrado
N33	30.000	24.000	0.000	X	X	X	X	X	X	Empotrado
N34	30.000	24.000	8.000	-	-	-	-	-	-	Empotrado
N35	30.000	12.000	12.000	-	-	-	-	-	-	Empotrado
N36	30.000	18.000	0.000	X	X	X	X	X	X	Empotrado
N37	30.000	18.000	10.000	-	-	-	-	-	-	Empotrado
N38	30.000	12.000	0.000	X	X	X	X	X	X	Empotrado
N39	30.000	6.000	0.000	X	X	X	X	X	X	Empotrado
N40	30.000	6.000	10.000	-	-	-	-	-	-	Empotrado
N41	30.000	12.000	6.000	-	-	-	-	-	-	Empotrado
N42	30.000	18.000	6.000	-	-	-	-	-	-	Empotrado
N43	30.000	6.000	6.000	-	-	-	-	-	-	Empotrado
N44	0.000	18.000	0.000	X	X	X	X	X	X	Empotrado
N45	0.000	18.000	10.000	-	-	-	-	-	-	Empotrado
N46	0.000	12.000	0.000	X	X	X	X	X	X	Empotrado
N47	0.000	6.000	0.000	X	X	X	X	X	X	Empotrado
N48	0.000	6.000	10.000	-	-	-	-	-	-	Empotrado
N49	0.000	18.000	6.000	-	-	-	-	-	-	Empotrado
N50	0.000	24.000	6.000	-	-	-	-	-	-	Empotrado
N51	0.000	12.000	6.000	-	-	-	-	-	-	Empotrado
N52	0.000	6.000	6.000	-	-	-	-	-	-	Empotrado
N53	0.000	0.000	6.000	-	-	-	-	-	-	Empotrado
N54	5.000	18.000	6.000	-	-	-	-	-	-	Empotrado
N55	5.000	24.000	6.000	-	-	-	-	-	-	Empotrado
N56	5.000	12.000	6.000	-	-	-	-	-	-	Empotrado
N57	5.000	6.000	6.000	-	-	-	-	-	-	Empotrado
N58	5.000	0.000	6.000	-	-	-	-	-	-	Empotrado
N59	5.000	6.000	0.000	X	X	X	X	X	X	Empotrado
N60	5.000	12.000	0.000	X	X	X	X	X	X	Empotrado
N61	5.000	18.000	0.000	X	X	X	X	X	X	Empotrado
N62	25.000	6.000	10.000	-	-	-	-	-	-	Empotrado
N63	25.000	18.000	10.000	-	-	-	-	-	-	Empotrado
N64	5.000	6.000	10.000	-	-	-	-	-	-	Empotrado
N65	5.000	18.000	10.000	-	-	-	-	-	-	Empotrado

FIGURA 1: COORDENADAS DE LOS NUDOS

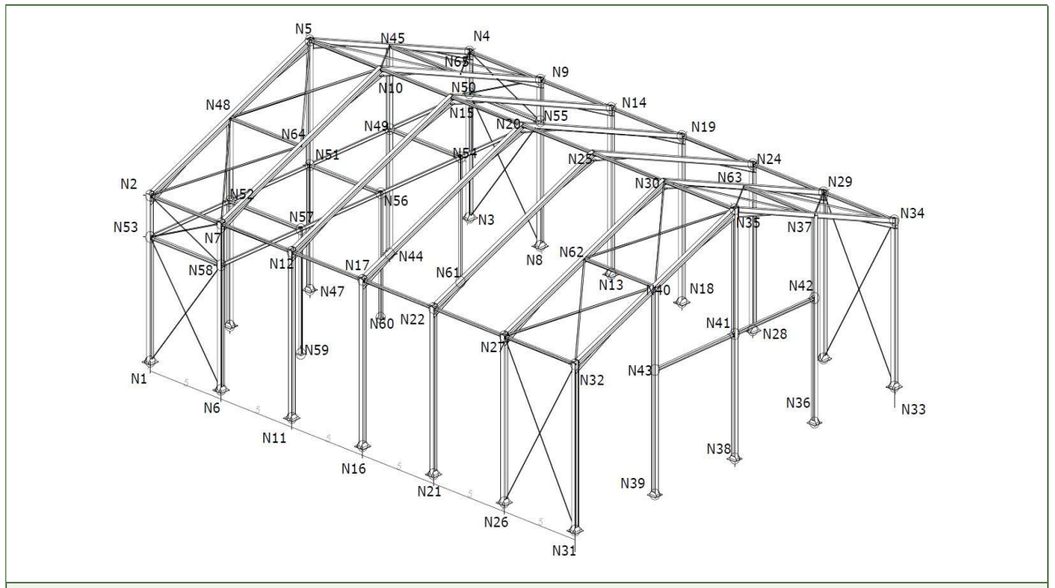

FIGURA 2: NOMENCLATURAS DE LOS NUDOS

2 MATERIALES

El principal material empleado en la estructura de esta nave industrial es el acero laminado S275 empleado en vigas, pilares, arriostramientos, placas de anclaje y vigas perimetrales.

También se emplea acero conformado S235, únicamente en las correas de cubierta para fijar el panel sándwich.

Para el armado de vigas de cimentación, zapatas y solera se emplean barras de acero corrugadas de acero B 500 S.

En referencia a las cimentaciones se emplea hormigón de limpieza HL-150/B/30 y hormigón armado de designación HA-25/P/20/IIa.

En la solera se emplea hormigón armado HA-30/P/20/IIa colocado sobre una base de zahorra artificial compactada de 15 cm.

La cubierta se resuelve mediante paneles sándwich de 40 mm de espesor y el cerramiento lateral con paneles de hormigón prefabricado.

2.1.1 ESPECIFICACIONES DE LOS MATERIALES

Materiales utilizados							
Material		E	ν	G	f_y	α_t	γ
Tipo	Designación	(kp/cm²)		(kp/cm²)	(kp/cm²)	(m/m°C)	(t/m³)
Acero laminado	S275	2140672.8	0.300	825688.1	2803.3	0.000012	7.850

Materiales utilizados							
Material		E	ν	G	f_y	α_t	γ
Tipo	Designación	(kp/cm²)		(kp/cm²)	(kp/cm²)	(m/m°C)	(t/m³)
Notación:							
E: Módulo de elasticidad							
ν: Módulo de Poisson							
G: Módulo de cortadura							
f_y: Límite elástico							
α_t: Coeficiente de dilatación							
γ: Peso específico							

2.1.2 CARACTERÍSTICAS MECÁNICAS

Tipos de pieza	
Ref.	Piezas
1	N1/N2, N3/N4, N6/N7, N8/N9, N11/N12, N13/N14, N16/N17, N18/N19, N21/N22, N23/N24, N26/N27, N28/N29, N31/N32 y N33/N34
2	N2/N5, N4/N5, N7/N10, N9/N10, N12/N15, N14/N15, N17/N20, N19/N20, N22/N25, N24/N25, N27/N30, N29/N30, N32/N35 y N34/N35
3	N36/N37, N38/N35, N39/N40, N44/N45, N46/N5 y N47/N48
4	N41/N42, N43/N41, N59/N57, N60/N56, N61/N54, N50/N55, N49/N54, N51/N56, N52/N57 y N53/N58
5	N49/N50, N51/N49, N52/N51, N53/N52, N54/N55, N56/N54, N57/N56 y N58/N57
6	N2/N7, N7/N12, N12/N17, N17/N22, N22/N27, N27/N32, N62/N40, N30/N35, N29/N34, N24/N29, N19/N24, N14/N19, N9/N14, N4/N9, N63/N37, N48/N64, N5/N10, N10/N15, N15/N20, N20/N25, N25/N30 y N45/N65
7	N1/N58, N58/N2, N55/N4, N8/N50, N50/N9, N3/N55, N53/N7, N6/N53, N26/N32, N28/N34, N33/N29 y N31/N27
8	N2/N64, N4/N65, N9/N45, N7/N48, N62/N35, N63/N35, N37/N30 y N40/N30
9	N64/N5, N65/N5, N45/N10, N48/N10, N32/N62, N34/N63, N29/N37 y N27/N40

Características mecánicas									
Material		Ref.	Descripción	A	Avy	Avz	Iyy	Izz	It
Tipo	Designación			(cm²)	(cm²)	(cm²)	(cm4)	(cm4)	(cm4)
Acero laminado	S275	1	HE 260 B, (HEB)	118.40	68.25	20.25	14920.00	5135.00	126.67
		2	HE 240 B, Simple con cartelas, (HEB) Cartela inicial inferior: 2.53 m. Cartela final inferior: 2.53 m.	106.00	61.20	18.54	11260.00	3923.00	103.88
		3	HE 240 B, (HEB)	106.00	61.20	18.54	11260.00	3923.00	103.88
		4	HE 140 B, (HEB)	43.00	25.20	7.31	1509.00	549.70	20.16
		5	IPE 160, (IPE)	20.10	9.10	6.53	869.00	68.30	3.54
		6	HE 120 B, (HEB)	34.00	19.80	5.73	864.40	317.50	13.93
		7	L 35 x 35 x 4, (L)	2.67	1.24	1.24	2.95	2.95	0.14
		8	L 60 x 60 x 6, (L)	6.91	3.24	3.24	22.79	22.79	0.82
		9	L 70 x 70 x 5, (L)	6.84	3.25	3.25	31.24	31.24	0.56
Notación:									
Ref.: Referencia									
A: Área de la sección transversal									
Avy: Área de cortante de la sección según el eje local 'Y'									
Avz: Área de cortante de la sección según el eje local 'Z'									
Iyy: Inercia de la sección alrededor del eje local 'Y'									
Izz: Inercia de la sección alrededor del eje local 'Z'									
It: Inercia a torsión									
Las características mecánicas de las piezas corresponden a la sección en el punto medio de las mismas.									

3 ACCIONES

3.1 ACCIONES PERMANENTES (G)

. Son las acciones que actúan en todo momento sobre la estructura manteniendo su posición constante.

3.1.1 PESO PROPIO

Para el acero se emplea un peso específico de 78,5 kN/m^3

Para el hormigón se emplea un peso específico de 25 kN/m^3

Otros elementos empleados son el panel sándwich con un peso de 15 kg/m^2 y las correas con un peso de 181,92 kg/m.

3.2 ACCIONES VARIABLES (Q)

Son acciones que pueden actuar o no en función de su uso o de condiciones climáticas.

3.2.1 SOBRECARGA DE USO

Sobrecarga de uso sobre la cubierta (Categoría de uso G1: Cubiertas accesibles solo para mantenimiento. No concomitante con el resto de las acciones. El valor de esta sobrecarga (Tabla 3.1 ap. 3.1.1 de DB SE-AE) es de 0,4 kN/m^2.

Sobre el forjado aparece otra sobrecarga de uso, en este caso de categoría C (zonas administrativas) debido a la zona de oficinas, con un valor de 200 kg/m^2.

3.2.2 VIENTO

En este apartado se determinan las presiones que ejerce el viento sobre el edificio.

La edificación está en la zona eólica A (v=26 m/s) y con un grado de aspereza IV correspondiente a zonas industriales.

En los apartados 3.3.4 y 3.3.5 del DB SE-AE se especifica cómo obtener el valor adecuado para cada caso.

3.2.3 NIEVE

Empleando el CTE, concretamente el DB SE-AE artículo 3.5, como valor de carga de nieve por unidad de superficie en proyección horizontal, q_n, puede tomarse como:

- $q_n = \mu \cdot s_k$

siendo:

- μ coeficiente de forma de la cubierta según 3.5.3.
- s_k el valor característico de la carga de nieve sobre un terreno horizontal según 3.5.2 (Valencia -> 0,4 kN/m^2).

La cubierta forma un ángulo de 18, 44º con la horizontal, por tanto, según el artículo 3.5.3 del DB SE-AE el coeficiente de forma μ tiene el valor de 1 para cubiertas con inclinación menor o igual que 30º.

Por tanto, el valor de q_n es de 0,4 kN/m^2.

3.3 ACCIONES TÉRMICAS

Al no existir elementos continuos de más de 40 metros de longitud según el apartado 3.4 del DB SE-AE no procede la comprobación de acciones térmicas.

4 DATOS DE OBRA

4.1 NORMAS CONSIDERADAS

Cimentación: Código Estructural

Aceros laminados y armados: CTE DB SE-A

Categoría de uso: G1. Cubiertas accesibles únicamente para mantenimiento. No concomitante con el resto de las acciones variables

4.1.1 ESTADOS LÍMITE

E.L.U. de rotura. Hormigón en cimentaciones E.L.U. de rotura. Acero laminado	CTE Cota de nieve: Altitud inferior o igual a 1000 m
Tensiones sobre el terreno Desplazamientos	Acciones características

4.1.1.1 SITUACIONES DE PROYECTO

Para las distintas situaciones de proyecto, las combinaciones de acciones se definirán de acuerdo con los siguientes criterios:

- Con coeficientes de combinación

$$\sum_{j\geq 1}\gamma_{Gj}G_{kj} + \gamma_P P_k + \gamma_{Q1}\Psi_{p1}Q_{k1} + \sum_{i>1}\gamma_{Qi}\Psi_{ai}Q_{ki}$$

- Sin coeficientes de combinación

$$\sum_{j\geq 1}\gamma_{Gj}G_{kj} + \gamma_P P_k + \sum_{i\geq 1}\gamma_{Qi}Q_{ki}$$

Donde:

- G_k Acción permanente
- P_k Acción de pretensado
- Q_k Acción variable
- γ_G Coeficiente parcial de seguridad de las acciones permanentes
- γ_P Coeficiente parcial de seguridad de la acción de pretensado
- $\gamma_{Q,1}$ Coeficiente parcial de seguridad de la acción variable principal
- $\gamma_{Q,i}$ Coeficiente parcial de seguridad de las acciones variables de acompañamiento
- $\psi_{p,1}$ Coeficiente de combinación de la acción variable principal
- $\psi_{a,i}$ Coeficiente de combinación de las acciones variables de acompañamiento

Para cada situación de proyecto y estado límite los coeficientes a utilizar serán:

E.L.U. de rotura. Hormigón en cimentaciones: Código Estructural / CTE DB-SE C

Persistente o transitoria				
	Coeficientes parciales de seguridad (γ)		Coeficientes de combinación (ψ)	
	Favorable	Desfavorable	Principal (ψ_p)	Acompañamiento (ψ_a)
Carga permanente (G)	1.000	1.600	-	-
Sobrecarga (Q)	0.000	1.600	0.000	0.000
Viento (Q)	0.000	1.600	1.000	0.600
Nieve (Q)	0.000	1.600	1.000	0.500

Persistente o transitoria (G1)				
	Coeficientes parciales de seguridad (γ)		Coeficientes de combinación (ψ)	
	Favorable	Desfavorable	Principal (ψ_p)	Acompañamiento (ψ_a)
Carga permanente (G)	1.000	1.600	-	-
Sobrecarga (Q)	0.000	1.600	1.000	0.000
Viento (Q)	0.000	1.600	0.000	0.000
Nieve (Q)	0.000	1.600	0.000	0.000

E.L.U. de rotura. Acero laminado: CTE DB SE-A

Persistente o transitoria				
	Coeficientes parciales de seguridad (γ)		Coeficientes de combinación (ψ)	
	Favorable	Desfavorable	Principal (ψ_p)	Acompañamiento (ψ_a)
Carga permanente (G)	0.800	1.350	-	-
Sobrecarga (Q)	0.000	1.500	0.000	0.000
Viento (Q)	0.000	1.500	1.000	0.600
Nieve (Q)	0.000	1.500	1.000	0.500

Persistente o transitoria (G1)				
	Coeficientes parciales de seguridad (γ)		Coeficientes de combinación (ψ)	
	Favorable	Desfavorable	Principal (ψ_p)	Acompañamiento (ψ_a)
Carga permanente (G)	0.800	1.350	-	-
Sobrecarga (Q)	0.000	1.500	1.000	0.000
Viento (Q)	0.000	1.500	0.000	0.000
Nieve (Q)	0.000	1.500	0.000	0.000

Tensiones sobre el terreno

Característica				
	Coeficientes parciales de seguridad (γ)		Coeficientes de combinación (ψ)	
	Favorable	Desfavorable	Principal (ψ_p)	Acompañamiento (ψ_a)
Carga permanente (G)	1.000	1.000	-	-
Sobrecarga (Q)	0.000	1.000	0.000	0.000
Viento (Q)	0.000	1.000	1.000	1.000
Nieve (Q)	0.000	1.000	1.000	1.000

Característica				
	Coeficientes parciales de seguridad (γ)		Coeficientes de combinación (ψ)	
	Favorable	Desfavorable	Principal (ψ_p)	Acompañamiento (ψ_a)
Carga permanente (G)	1.000	1.000	-	-
Sobrecarga (Q)	0.000	1.000	1.000	1.000
Viento (Q)	0.000	1.000	1.000	1.000
Nieve (Q)	0.000	1.000	1.000	1.000

Desplazamientos

Característica				
	Coeficientes parciales de seguridad (γ)		Coeficientes de combinación (ψ)	
	Favorable	Desfavorable	Principal (ψ_p)	Acompañamiento (ψ_a)
Carga permanente (G)	1.000	1.000	-	-
Sobrecarga (Q)	0.000	1.000	0.000	0.000
Viento (Q)	0.000	1.000	1.000	1.000
Nieve (Q)	0.000	1.000	1.000	1.000

Característica				
	Coeficientes parciales de seguridad (γ)		Coeficientes de combinación (ψ)	
	Favorable	Desfavorable	Principal (ψ_p)	Acompañamiento (ψ_a)
Carga permanente (G)	1.000	1.000	-	-
Sobrecarga (Q)	0.000	1.000	1.000	1.000
Viento (Q)	0.000	1.000	1.000	1.000
Nieve (Q)	0.000	1.000	1.000	1.000

4.1.2 COMBINACIONES

Nombres de las hipótesis:

- PP Peso propio
- Q Sobrecarga de uso
- V(0°) H1 Viento a 0°, presión exterior tipo 1 sin acción en el interior
- V(0°) H2 Viento a 0°, presión exterior tipo 2 sin acción en el interior
- V(90°) H1 Viento a 90°, presión exterior tipo 1 sin acción en el interior
- V(180°) H1 Viento a 180°, presión exterior tipo 1 sin acción en el interior
- V(180°) H2 Viento a 180°, presión exterior tipo 2 sin acción en el interior
- V(270°) H1 Viento a 270°, presión exterior tipo 1 sin acción en el interior
- N(EI) Nieve (estado inicial)
- N(R) 1 Nieve (redistribución) 1
- N(R) 2 Nieve (redistribución) 2

ELU DE ROTURA. HORMIGÓN EN CIMENTACIONES

Comb.	PP	Q	V(0°) H1	V(0°) H2	V(90°) H1	V(180°) H1	V(180°) H2	V(270°) H1	N(EI)	N(R) 1	N(R) 2
1	1.000										
2	1.600										
3	1.000		1.600								
4	1.600		1.600								
5	1.000			1.600							
6	1.600			1.600							
7	1.000				1.600						
8	1.600				1.600						
9	1.000					1.600					
10	1.600					1.600					
11	1.000						1.600				
12	1.600						1.600				
13	1.000							1.600			
14	1.600							1.600			
15	1.000								1.600		
16	1.600								1.600		
17	1.000		0.960						1.600		
18	1.600		0.960						1.600		
19	1.000			0.960					1.600		
20	1.600			0.960					1.600		
21	1.000				0.960				1.600		
22	1.600				0.960				1.600		
23	1.000					0.960			1.600		
24	1.600					0.960			1.600		
25	1.000						0.960		1.600		
26	1.600						0.960		1.600		
27	1.000							0.960	1.600		

Comb.	PP	Q	V(0°) H1	V(0°) H2	V(90°) H1	V(180°) H1	V(180°) H2	V(270°) H1	N(EI)	N(R) 1	N(R) 2
28	1.600							0.960	1.600		
29	1.000		1.600						0.800		
30	1.600		1.600						0.800		
31	1.000			1.600					0.800		
32	1.600			1.600					0.800		
33	1.000				1.600				0.800		
34	1.600				1.600				0.800		
35	1.000					1.600			0.800		
36	1.600					1.600			0.800		
37	1.000						1.600		0.800		
38	1.600						1.600		0.800		
39	1.000							1.600	0.800		
40	1.600							1.600	0.800		
41	1.000									1.600	
42	1.600									1.600	
43	1.000		0.960							1.600	
44	1.600		0.960							1.600	
45	1.000			0.960						1.600	
46	1.600			0.960						1.600	
47	1.000				0.960					1.600	
48	1.600				0.960					1.600	
49	1.000					0.960				1.600	
50	1.600					0.960				1.600	
51	1.000						0.960			1.600	
52	1.600						0.960			1.600	

Comb.	PP	Q	V(0°) H1	V(0°) H2	V(90°) H1	V(180°) H1	V(180°) H2	V(270°) H1	N(EI)	N(R) 1	N(R) 2
53	1.000							0.960		1.600	
54	1.600							0.960		1.600	
55	1.000		1.600							0.800	
56	1.600		1.600							0.800	
57	1.000			1.600						0.800	
58	1.600			1.600						0.800	
59	1.000				1.600					0.800	
60	1.600				1.600					0.800	
61	1.000					1.600				0.800	
62	1.600					1.600				0.800	
63	1.000						1.600			0.800	
64	1.600						1.600			0.800	
65	1.000							1.600		0.800	
66	1.600							1.600		0.800	
67	1.000										1.600
68	1.600										1.600
69	1.000		0.960								1.600
70	1.600		0.960								1.600
71	1.000			0.960							1.600
72	1.600			0.960							1.600
73	1.000				0.960						1.600
74	1.600				0.960						1.600
75	1.000					0.960					1.600
76	1.600					0.960					1.600
77	1.000						0.960				1.600

Comb.	PP	Q	V(0°) H1	V(0°) H2	V(90°) H1	V(180°) H1	V(180°) H2	V(270°) H1	N(EI)	N(R) 1	N(R) 2
78	1.600						0.960				1.600
79	1.000							0.960			1.600
80	1.600							0.960			1.600
81	1.000		1.600								0.800
82	1.600		1.600								0.800
83	1.000			1.600							0.800
84	1.600			1.600							0.800
85	1.000				1.600						0.800
86	1.600				1.600						0.800
87	1.000					1.600					0.800
88	1.600					1.600					0.800
89	1.000						1.600				0.800
90	1.600						1.600				0.800
91	1.000							1.600			0.800
92	1.600							1.600			0.800
93	1.000	1.600									
94	1.600	1.600									

ELU DE ROTURA. ACERO LAMINADO

Comb.	PP	Q	V(0°) H1	V(0°) H2	V(90°) H1	V(180°) H1	V(180°) H2	V(270°) H1	N(EI)	N(R) 1	N(R) 2
1	0.800										
2	1.350										
3	0.800		1.500								
4	1.350		1.500								
5	0.800			1.500							

Comb.	PP	Q	V(0°) H1	V(0°) H2	V(90°) H1	V(180°) H1	V(180°) H2	V(270°) H1	N(EI)	N(R) 1	N(R) 2
6	1.350			1.500							
7	0.800				1.500						
8	1.350				1.500						
9	0.800					1.500					
10	1.350					1.500					
11	0.800						1.500				
12	1.350						1.500				
13	0.800							1.500			
14	1.350							1.500			
15	0.800								1.500		
16	1.350								1.500		
17	0.800		0.900						1.500		
18	1.350		0.900						1.500		
19	0.800			0.900					1.500		
20	1.350			0.900					1.500		
21	0.800				0.900				1.500		
22	1.350				0.900				1.500		
23	0.800					0.900			1.500		
24	1.350					0.900			1.500		
25	0.800						0.900		1.500		
26	1.350						0.900		1.500		
27	0.800							0.900	1.500		
28	1.350							0.900	1.500		
29	0.800		1.500						0.750		
30	1.350		1.500						0.750		

Comb.	PP	Q	V(0°) H1	V(0°) H2	V(90°) H1	V(180°) H1	V(180°) H2	V(270°) H1	N(EI)	N(R) 1	N(R) 2
31	0.800			1.500					0.750		
32	1.350			1.500					0.750		
33	0.800				1.500				0.750		
34	1.350				1.500				0.750		
35	0.800					1.500			0.750		
36	1.350					1.500			0.750		
37	0.800						1.500		0.750		
38	1.350						1.500		0.750		
39	0.800							1.500	0.750		
40	1.350							1.500	0.750		
41	0.800									1.500	
42	1.350									1.500	
43	0.800		0.900							1.500	
44	1.350		0.900							1.500	
45	0.800			0.900						1.500	
46	1.350			0.900						1.500	
47	0.800				0.900					1.500	
48	1.350				0.900					1.500	
49	0.800					0.900				1.500	
50	1.350					0.900				1.500	
51	0.800						0.900			1.500	
52	1.350						0.900			1.500	
53	0.800							0.900		1.500	
54	1.350							0.900		1.500	
55	0.800		1.500							0.750	

Comb.	PP	Q	V(0°) H1	V(0°) H2	V(90°) H1	V(180°) H1	V(180°) H2	V(270°) H1	N(EI)	N(R) 1	N(R) 2
56	1.350		1.500							0.750	
57	0.800			1.500						0.750	
58	1.350			1.500						0.750	
59	0.800				1.500					0.750	
60	1.350				1.500					0.750	
61	0.800					1.500				0.750	
62	1.350					1.500				0.750	
63	0.800						1.500			0.750	
64	1.350						1.500			0.750	
65	0.800							1.500		0.750	
66	1.350							1.500		0.750	
67	0.800										1.500
68	1.350										1.500
69	0.800		0.900								1.500
70	1.350		0.900								1.500
71	0.800			0.900							1.500
72	1.350			0.900							1.500
73	0.800				0.900						1.500
74	1.350				0.900						1.500
75	0.800					0.900					1.500
76	1.350					0.900					1.500
77	0.800						0.900				1.500
78	1.350						0.900				1.500
79	0.800							0.900			1.500
80	1.350							0.900			1.500

Comb.	PP	Q	V(0°) H1	V(0°) H2	V(90°) H1	V(180°) H1	V(180°) H2	V(270°) H1	N(EI)	N(R) 1	N(R) 2
81	0.800		1.500								0.750
82	1.350		1.500								0.750
83	0.800			1.500							0.750
84	1.350			1.500							0.750
85	0.800				1.500						0.750
86	1.350				1.500						0.750
87	0.800					1.500					0.750
88	1.350					1.500					0.750
89	0.800						1.500				0.750
90	1.350						1.500				0.750
91	0.800							1.500			0.750
92	1.350							1.500			0.750
93	0.800	1.500									
94	1.350	1.500									

DESPLAZAMIENTOS

Comb.	PP	Q	V(0°) H1	V(0°) H2	V(90°) H1	V(180°) H1	V(180°) H2	V(270°) H1	N(EI)	N(R) 1	N(R) 2
1	1.000										
2	1.000		1.000								
3	1.000			1.000							
4	1.000				1.000						
5	1.000					1.000					
6	1.000						1.000				
7	1.000							1.000			
8	1.000								1.000		
9	1.000		1.000						1.000		
10	1.000			1.000					1.000		
11	1.000				1.000				1.000		
12	1.000					1.000			1.000		
13	1.000						1.000		1.000		
14	1.000							1.000	1.000		
15	1.000									1.000	
16	1.000		1.000							1.000	
17	1.000			1.000						1.000	
18	1.000				1.000					1.000	
19	1.000					1.000				1.000	
20	1.000						1.000			1.000	
21	1.000							1.000		1.000	
22	1.000										1.000
23	1.000		1.000								1.000
24	1.000			1.000							1.000
25	1.000				1.000						1.000
26	1.000					1.000					1.000
27	1.000						1.000				1.000
28	1.000							1.000			1.000
29	1.000	1.000									
30	1.000	1.000	1.000								
31	1.000	1.000		1.000							

Comb.	PP	Q	V(0°) H1	V(0°) H2	V(90°) H1	V(180°) H1	V(180°) H2	V(270°) H1	N(EI)	N(R) 1	N(R) 2
32	1.000	1.000			1.000						
33	1.000	1.000				1.000					
34	1.000	1.000					1.000				
35	1.000	1.000						1.000			
36	1.000	1.000							1.000		
37	1.000	1.000	1.000						1.000		
38	1.000	1.000		1.000					1.000		
39	1.000	1.000			1.000				1.000		
40	1.000	1.000				1.000			1.000		
41	1.000	1.000					1.000		1.000		
42	1.000	1.000						1.000	1.000		
43	1.000	1.000								1.000	
44	1.000	1.000	1.000							1.000	
45	1.000	1.000		1.000						1.000	
46	1.000	1.000			1.000					1.000	
47	1.000	1.000				1.000				1.000	
48	1.000	1.000					1.000			1.000	
49	1.000	1.000						1.000		1.000	
50	1.000	1.000									1.000
51	1.000	1.000	1.000								1.000
52	1.000	1.000		1.000							1.000
53	1.000	1.000			1.000						1.000
54	1.000	1.000				1.000					1.000
55	1.000	1.000					1.000				1.000
56	1.000	1.000						1.000			1.000

4.2 DESCRIPCIÓN DE LAS BARRAS

Descripción											
Material		Barra (Ni/Nf)	Pieza (Ni/Nf)	Perfil(Serie)	Longitud (m)			β_{xy}	β_{xz}	$Lb_{Sup.}$ (m)	$Lb_{Inf.}$ (m)
Tipo	Designación				Indeformable origen	Deformable	Indeformable extremo				
Acero laminado	S275	N1/N53	N1/N2	HE 260 B (HEB)	-	5.920	0.080	0.00	0.64	6.000	-
		N53/N2	N1/N2	HE 260 B (HEB)	0.080	1.594	0.326	0.00	0.64	2.000	-
		N3/N50	N3/N4	HE 260 B (HEB)	-	5.920	0.080	0.00	0.64	-	6.000
		N50/N4	N3/N4	HE 260 B (HEB)	0.080	1.594	0.326	0.00	0.64	-	2.000
		N2/N48	N2/N5	HE 240 B (HEB)	0.138	6.187	-	0.08	1.12	1.000	6.325
		N48/N5	N2/N5	HE 240 B (HEB)	-	6.198	0.127	0.08	1.12	1.000	6.325
		N4/N45	N4/N5	HE 240 B (HEB)	0.138	6.187	-	0.08	1.12	1.000	6.325
		N45/N5	N4/N5	HE 240 B (HEB)	-	6.198	0.127	0.08	1.12	1.000	6.325
		N6/N58	N6/N7	HE 260 B (HEB)	-	5.920	0.080	0.00	0.64	6.000	-
		N58/N7	N6/N7	HE 260 B (HEB)	0.080	1.594	0.326	0.00	0.64	2.000	-
		N8/N55	N8/N9	HE 260 B (HEB)	-	5.920	0.080	0.00	0.64	-	6.000
		N55/N9	N8/N9	HE 260 B (HEB)	0.080	1.594	0.326	0.00	0.64	-	2.000
		N7/N64	N7/N10	HE 240 B (HEB)	0.138	6.187	-	0.08	1.12	1.000	6.325

Descripción											
Material		Barra	Pieza	Perfil(Serie)	Longitud (m)			β_{xy}	β_{xz}	$Lb_{Sup.}$	$Lb_{Inf.}$
Tipo	Designación	(Ni/Nf)	(Ni/Nf)		Indeformable origen	Deformable	Indeformable extremo			(m)	(m)
		N64/N10	N7/N10	HE 240 B (HEB)	-	6.325	-	0.08	1.12	1.000	6.325
		N9/N65	N9/N10	HE 240 B (HEB)	0.138	6.187	-	0.08	1.12	1.000	6.325
		N65/N10	N9/N10	HE 240 B (HEB)	-	6.325	-	0.08	1.12	1.000	6.325
		N11/N12	N11/N12	HE 260 B (HEB)	-	7.674	0.326	0.00	0.64	8.000	-
		N13/N14	N13/N14	HE 260 B (HEB)	-	7.674	0.326	0.00	0.64	-	8.000
		N12/N15	N12/N15	HE 240 B (HEB)	0.138	12.511	-	0.08	1.12	1.000	12.649
		N14/N15	N14/N15	HE 240 B (HEB)	0.138	12.511	-	0.08	1.12	1.000	12.649
		N16/N17	N16/N17	HE 260 B (HEB)	-	7.674	0.326	0.00	0.64	8.000	-
		N18/N19	N18/N19	HE 260 B (HEB)	-	7.674	0.326	0.00	0.64	-	8.000
		N17/N20	N17/N20	HE 240 B (HEB)	0.138	12.511	-	0.08	1.12	1.000	12.649
		N19/N20	N19/N20	HE 240 B (HEB)	0.138	12.511	-	0.08	1.12	1.000	12.649
		N21/N22	N21/N22	HE 260 B (HEB)	-	7.674	0.326	0.00	0.64	8.000	-
		N23/N24	N23/N24	HE 260 B (HEB)	-	7.674	0.326	0.00	0.64	-	8.000
		N22/N25	N22/N25	HE 240 B (HEB)	0.138	12.511	-	0.08	1.12	1.000	12.649

Descripción											
Material		Barra	Pieza	Perfil(Serie)	Longitud (m)			β_{xy}	β_{xz}	$Lb_{Sup.}$	$Lb_{Inf.}$
Tipo	Designación	(Ni/Nf)	(Ni/Nf)		Indeformable origen	Deformable	Indeformable extremo			(m)	(m)
		N24/N25	N24/N25	HE 240 B (HEB)	0.138	12.511	-	0.08	1.12	1.000	12.649
		N26/N27	N26/N27	HE 260 B (HEB)	-	7.674	0.326	0.00	0.64	8.000	-
		N28/N29	N28/N29	HE 260 B (HEB)	-	7.674	0.326	0.00	0.64	-	8.000
		N27/N62	N27/N30	HE 240 B (HEB)	0.138	6.187	-	0.08	1.12	1.000	6.325
		N62/N30	N27/N30	HE 240 B (HEB)	-	6.325	-	0.08	1.12	1.000	6.325
		N29/N63	N29/N30	HE 240 B (HEB)	0.138	6.187	-	0.08	1.12	1.000	6.325
		N63/N30	N29/N30	HE 240 B (HEB)	-	6.325	-	0.08	1.12	1.000	6.325
		N31/N32	N31/N32	HE 260 B (HEB)	-	7.674	0.326	0.00	0.64	-	-
		N33/N34	N33/N34	HE 260 B (HEB)	-	7.674	0.326	0.00	0.64	-	-
		N32/N40	N32/N35	HE 240 B (HEB)	0.138	6.187	-	0.08	1.12	1.000	6.325
		N40/N35	N32/N35	HE 240 B (HEB)	-	6.198	0.127	0.08	1.12	1.000	6.325
		N34/N37	N34/N35	HE 240 B (HEB)	0.138	6.187	-	0.08	1.12	1.000	6.325
		N37/N35	N34/N35	HE 240 B (HEB)	-	6.198	0.127	0.08	1.12	1.000	6.325
		N36/N42	N36/N37	HE 240 B (HEB)	-	5.930	0.070	0.70	0.00	-	-

Descripción											
Material		Barra	Pieza	Perfil(Serie)	Longitud (m)			β_{xy}	β_{xz}	$Lb_{Sup.}$	$Lb_{Inf.}$
Tipo	Designación	(Ni/Nf)	(Ni/Nf)		Indeformable origen	Deformable	Indeformable extremo			(m)	(m)
		N42/N37	N36/N37	HE 240 B (HEB)	0.070	3.803	0.127	0.70	0.00	-	-
		N38/N41	N38/N35	HE 240 B (HEB)	-	5.930	0.070	0.70	0.00	-	-
		N41/N35	N38/N35	HE 240 B (HEB)	0.070	5.533	0.397	0.70	0.00	-	-
		N39/N43	N39/N40	HE 240 B (HEB)	-	5.930	0.070	0.70	0.00	-	-
		N43/N40	N39/N40	HE 240 B (HEB)	0.070	3.803	0.127	0.70	0.00	-	-
		N41/N42	N41/N42	HE 140 B (HEB)	0.120	5.760	0.120	1.00	1.00	-	-
		N43/N41	N43/N41	HE 140 B (HEB)	0.120	5.760	0.120	1.00	1.00	-	-
		N44/N49	N44/N45	HE 240 B (HEB)	-	5.920	0.080	0.70	0.00	-	-
		N49/N45	N44/N45	HE 240 B (HEB)	0.080	3.793	0.127	0.70	0.00	-	-
		N46/N51	N46/N5	HE 240 B (HEB)	-	5.920	0.080	0.70	0.00	-	-
		N51/N5	N46/N5	HE 240 B (HEB)	0.080	5.523	0.397	0.70	0.00	-	-
		N47/N52	N47/N48	HE 240 B (HEB)	-	5.920	0.080	0.70	0.00	-	-
		N52/N48	N47/N48	HE 240 B (HEB)	0.080	3.793	0.127	0.70	0.00	-	-
		N49/N50	N49/N50	IPE 160 (IPE)	0.120	5.750	0.130	0.00	1.00	-	-

Descripción											
Material		Barra	Pieza	Perfil(Serie)	Longitud (m)			β_{xy}	β_{xz}	$Lb_{Sup.}$	$Lb_{Inf.}$
Tipo	Designación	(Ni/Nf)	(Ni/Nf)		Indeformable origen	Deformable	Indeformable extremo			(m)	(m)
		N51/N49	N51/N49	IPE 160 (IPE)	0.120	5.760	0.120	0.00	1.00	-	-
		N52/N51	N52/N51	IPE 160 (IPE)	0.120	5.760	0.120	0.00	1.00	-	-
		N53/N52	N53/N52	IPE 160 (IPE)	0.130	5.750	0.120	0.00	1.00	-	-
		N54/N55	N54/N55	IPE 160 (IPE)	0.070	5.800	0.130	0.00	1.00	-	-
		N56/N54	N56/N54	IPE 160 (IPE)	0.070	5.860	0.070	0.00	1.00	-	-
		N57/N56	N57/N56	IPE 160 (IPE)	0.070	5.860	0.070	0.00	1.00	-	-
		N58/N57	N58/N57	IPE 160 (IPE)	0.130	5.800	0.070	0.00	1.00	-	-
		N59/N57	N59/N57	HE 140 B (HEB)	-	5.920	0.080	0.70	0.70	-	-
		N60/N56	N60/N56	HE 140 B (HEB)	-	5.920	0.080	0.70	0.70	-	-
		N61/N54	N61/N54	HE 140 B (HEB)	-	5.920	0.080	0.70	0.70	-	-
		N50/N55	N50/N55	HE 140 B (HEB)	0.130	4.740	0.130	0.00	1.00	-	-
		N49/N54	N49/N54	HE 140 B (HEB)	0.120	4.810	0.070	0.00	1.00	-	-
		N51/N56	N51/N56	HE 140 B (HEB)	0.120	4.810	0.070	0.00	1.00	-	-
		N52/N57	N52/N57	HE 140 B (HEB)	0.120	4.810	0.070	0.00	1.00	-	-

Descripción											
Material		Barra	Pieza	Perfil(Serie)	Longitud (m)			β_{xy}	β_{xz}	$Lb_{Sup.}$	$Lb_{Inf.}$
Tipo	Designación	(Ni/Nf)	(Ni/Nf)		Indeformable origen	Deformable	Indeformable extremo			(m)	(m)
		N53/N58	N53/N58	HE 140 B (HEB)	0.130	4.740	0.130	0.00	1.00	-	-
		N2/N7	N2/N7	HE 120 B (HEB)	0.130	4.740	0.130	1.00	1.00	-	-
		N7/N12	N7/N12	HE 120 B (HEB)	0.130	4.740	0.130	1.00	1.00	-	-
		N12/N17	N12/N17	HE 120 B (HEB)	0.130	4.740	0.130	1.00	1.00	-	-
		N17/N22	N17/N22	HE 120 B (HEB)	0.130	4.740	0.130	1.00	1.00	-	-
		N22/N27	N22/N27	HE 120 B (HEB)	0.130	4.740	0.130	1.00	1.00	-	-
		N27/N32	N27/N32	HE 120 B (HEB)	0.130	4.740	0.130	1.00	1.00	-	-
		N62/N40	N62/N40	HE 120 B (HEB)	-	4.880	0.120	1.00	1.00	-	-
		N30/N35	N30/N35	HE 120 B (HEB)	-	4.880	0.120	1.00	1.00	-	-
		N29/N34	N29/N34	HE 120 B (HEB)	0.130	4.740	0.130	1.00	1.00	-	-
		N24/N29	N24/N29	HE 120 B (HEB)	0.130	4.740	0.130	1.00	1.00	-	-
		N19/N24	N19/N24	HE 120 B (HEB)	0.130	4.740	0.130	1.00	1.00	-	-
		N14/N19	N14/N19	HE 120 B (HEB)	0.130	4.740	0.130	1.00	1.00	-	-
		N9/N14	N9/N14	HE 120 B (HEB)	0.130	4.740	0.130	1.00	1.00	-	-

Descripción											
Material		Barra	Pieza	Perfil(Serie)	Longitud (m)			β_{xy}	β_{xz}	$Lb_{Sup.}$	$Lb_{Inf.}$
Tipo	Designación	(Ni/Nf)	(Ni/Nf)		Indeformable origen	Deformable	Indeformable extremo			(m)	(m)
		N4/N9	N4/N9	HE 120 B (HEB)	0.130	4.740	0.130	1.00	1.00	-	-
		N63/N37	N63/N37	HE 120 B (HEB)	-	4.880	0.120	1.00	1.00	-	-
		N48/N64	N48/N64	HE 120 B (HEB)	0.120	4.880	-	1.00	1.00	-	-
		N5/N10	N5/N10	HE 120 B (HEB)	0.120	4.880	-	1.00	1.00	-	-
		N10/N15	N10/N15	HE 120 B (HEB)	-	5.000	-	1.00	1.00	-	-
		N15/N20	N15/N20	HE 120 B (HEB)	-	5.000	-	1.00	1.00	-	-
		N20/N25	N20/N25	HE 120 B (HEB)	-	5.000	-	1.00	1.00	-	-
		N25/N30	N25/N30	HE 120 B (HEB)	-	5.000	-	1.00	1.00	-	-
		N45/N65	N45/N65	HE 120 B (HEB)	0.120	4.880	-	1.00	1.00	-	-
		N1/N58	N1/N58	L 35 x 35 x 4 (L)	-	7.718	0.092	0.00	0.00	-	-
		N58/N2	N58/N2	L 35 x 35 x 4 (L)	0.189	5.034	0.162	0.00	0.00	-	-
		N2/N64	N2/N64	L 60 x 60 x 6 (L)	0.175	7.887	-	0.00	0.00	-	-
		N64/N5	N64/N5	L 70 x 70 x 5 (L)	-	8.062	-	0.00	0.00	-	-
		N65/N5	N65/N5	L 70 x 70 x 5 (L)	-	8.062	-	0.00	0.00	-	-

Descripción											
Material		Barra	Pieza	Perfil(Serie)	Longitud (m)			β_{xy}	β_{xz}	$Lb_{Sup.}$	$Lb_{Inf.}$
Tipo	Designación	(Ni/Nf)	(Ni/Nf)		Indeformable origen	Deformable	Indeformable extremo			(m)	(m)
		N4/N65	N4/N65	L 60 x 60 x 6 (L)	0.175	7.887	-	0.00	0.00	-	-
		N55/N4	N55/N4	L 35 x 35 x 4 (L)	0.189	5.034	0.162	0.00	0.00	-	-
		N8/N50	N8/N50	L 35 x 35 x 4 (L)	-	7.718	0.092	0.00	0.00	-	-
		N50/N9	N50/N9	L 35 x 35 x 4 (L)	0.189	5.034	0.162	0.00	0.00	-	-
		N3/N55	N3/N55	L 35 x 35 x 4 (L)	-	7.718	0.092	0.00	0.00	-	-
		N9/N45	N9/N45	L 60 x 60 x 6 (L)	0.175	7.887	-	0.00	0.00	-	-
		N45/N10	N45/N10	L 70 x 70 x 5 (L)	-	8.062	-	0.00	0.00	-	-
		N48/N10	N48/N10	L 70 x 70 x 5 (L)	-	8.062	-	0.00	0.00	-	-
		N7/N48	N7/N48	L 60 x 60 x 6 (L)	0.175	7.887	-	0.00	0.00	-	-
		N53/N7	N53/N7	L 35 x 35 x 4 (L)	0.189	5.034	0.162	0.00	0.00	-	-
		N6/N53	N6/N53	L 35 x 35 x 4 (L)	-	7.718	0.092	0.00	0.00	-	-
		N26/N32	N26/N32	L 35 x 35 x 4 (L)	-	9.363	0.071	0.00	0.00	-	-
		N32/N62	N32/N62	L 70 x 70 x 5 (L)	0.175	7.887	-	0.00	0.00	-	-
		N62/N35	N62/N35	L 60 x 60 x 6 (L)	-	8.062	-	0.00	0.00	-	-

Descripción											
Material		Barra	Pieza	Perfil(Serie)	Longitud (m)			β_{xy}	β_{xz}	$Lb_{Sup.}$	$Lb_{Inf.}$
Tipo	Designación	(Ni/Nf)	(Ni/Nf)		Indeformable origen	Deformable	Indeformable extremo			(m)	(m)
		N63/N35	N63/N35	L 60 x 60 x 6 (L)	-	8.062	-	0.00	0.00	-	-
		N34/N63	N34/N63	L 70 x 70 x 5 (L)	0.175	7.887	-	0.00	0.00	-	-
		N28/N34	N28/N34	L 35 x 35 x 4 (L)	-	9.363	0.071	0.00	0.00	-	-
		N33/N29	N33/N29	L 35 x 35 x 4 (L)	-	9.363	0.071	0.00	0.00	-	-
		N29/N37	N29/N37	L 70 x 70 x 5 (L)	0.175	7.887	-	0.00	0.00	-	-
		N37/N30	N37/N30	L 60 x 60 x 6 (L)	-	8.062	-	0.00	0.00	-	-
		N40/N30	N40/N30	L 60 x 60 x 6 (L)	-	8.062	-	0.00	0.00	-	-
		N27/N40	N27/N40	L 70 x 70 x 5 (L)	0.175	7.887	-	0.00	0.00	-	-
		N31/N27	N31/N27	L 35 x 35 x 4 (L)	-	9.363	0.071	0.00	0.00	-	-

Notación:

Ni: Nudo inicial

Nf: Nudo final

β_{xy}: Coeficiente de pandeo en el plano 'XY'

β_{xz}: Coeficiente de pandeo en el plano 'XZ'

$Lb_{Sup.}$: Separación entre arriostramientos del ala superior

$Lb_{Inf.}$: Separación entre arriostramientos del ala inferior

5 CARGAS

5.1 BARRAS

Referencias:

'P1', 'P2':

- Cargas puntuales, uniformes, en faja y momentos puntuales: 'P1' es el valor de la carga. 'P2' no se utiliza.
- Cargas trapeciales: 'P1' es el valor de la carga en el punto donde comienza (L1) y 'P2' es el valor de la carga en el punto donde termina (L2).
- Cargas triangulares: 'P1' es el valor máximo de la carga. 'P2' no se utiliza.
- Incrementos de temperatura: 'P1' y 'P2' son los valores de la temperatura en las caras exteriores o paramentos de la pieza. La orientación de la variación del incremento de temperatura sobre la sección transversal dependerá de la dirección seleccionada.

'L1', 'L2':

- Cargas y momentos puntuales: 'L1' es la distancia entre el nudo inicial de la barra y la posición donde se aplica la carga. 'L2' no se utiliza.
- Cargas trapeciales, en faja, y triangulares: 'L1' es la distancia entre el nudo inicial de la barra y la posición donde comienza la carga, 'L2' es la distancia entre el nudo inicial de la barra y la posición donde termina la carga.

Unidades:

- Cargas puntuales: t
- Momentos puntuales: t·m.
- Cargas uniformes, en faja, triangulares y trapeciales: t/m.
- Incrementos de temperatura: °C.

Cargas en barras										
Barra	Hipótesis	Tipo	Valores		Posición		Dirección			
			P1	P2	L1 (m)	L2 (m)	Ejes	X	Y	Z
N1/N53	Peso propio	Uniforme	0.093	-	-	-	Globales	0.000	0.000	-1.000
N1/N53	V(0°) H1	Uniforme	0.284	-	-	-	Globales	-1.000	-0.000	-0.000
N1/N53	V(0°) H1	Uniforme	0.008	-	-	-	Globales	-1.000	-0.000	-0.000
N1/N53	V(0°) H1	Uniforme	0.151	-	-	-	Globales	-0.000	1.000	-0.000
N1/N53	V(0°) H2	Uniforme	0.008	-	-	-	Globales	-1.000	-0.000	-0.000
N1/N53	V(0°) H2	Uniforme	0.284	-	-	-	Globales	-1.000	-0.000	-0.000
N1/N53	V(0°) H2	Uniforme	0.151	-	-	-	Globales	-0.000	1.000	-0.000
N1/N53	V(90°) H1	Uniforme	0.246	-	-	-	Globales	0.000	-1.000	0.000
N1/N53	V(90°) H1	Uniforme	0.000	-	-	-	Globales	0.000	-1.000	0.000

Cargas en barras										
Barra	Hipótesis	Tipo	Valores		Posición		Dirección			
			P1	P2	L1 (m)	L2 (m)	Ejes	X	Y	Z
N1/N53	V(90°) H1	Uniforme	0.178	-	-	-	Globales	1.000	0.000	0.000
N1/N53	V(180°) H1	Uniforme	0.075	-	-	-	Globales	0.000	-1.000	0.000
N1/N53	V(180°) H1	Uniforme	0.197	-	-	-	Globales	-1.000	-0.000	-0.000
N1/N53	V(180°) H2	Uniforme	0.197	-	-	-	Globales	-1.000	-0.000	-0.000
N1/N53	V(180°) H2	Uniforme	0.075	-	-	-	Globales	0.000	-1.000	0.000
N1/N53	V(270°) H1	Uniforme	0.084	-	-	-	Globales	-1.000	-0.000	-0.000
N1/N53	V(270°) H1	Uniforme	0.103	-	-	-	Globales	0.000	-1.000	0.000
N53/N2	Peso propio	Uniforme	0.093	-	-	-	Globales	0.000	0.000	-1.000
N53/N2	V(0°) H1	Uniforme	0.284	-	-	-	Globales	-1.000	-0.000	-0.000
N53/N2	V(0°) H1	Uniforme	0.008	-	-	-	Globales	-1.000	-0.000	-0.000
N53/N2	V(0°) H1	Uniforme	0.151	-	-	-	Globales	-0.000	1.000	-0.000
N53/N2	V(0°) H2	Uniforme	0.008	-	-	-	Globales	-1.000	-0.000	-0.000
N53/N2	V(0°) H2	Uniforme	0.284	-	-	-	Globales	-1.000	-0.000	-0.000
N53/N2	V(0°) H2	Uniforme	0.151	-	-	-	Globales	-0.000	1.000	-0.000
N53/N2	V(90°) H1	Uniforme	0.246	-	-	-	Globales	0.000	-1.000	0.000
N53/N2	V(90°) H1	Uniforme	0.000	-	-	-	Globales	0.000	-1.000	0.000
N53/N2	V(90°) H1	Uniforme	0.178	-	-	-	Globales	1.000	0.000	0.000
N53/N2	V(180°) H1	Uniforme	0.075	-	-	-	Globales	0.000	-1.000	0.000
N53/N2	V(180°) H1	Uniforme	0.197	-	-	-	Globales	-1.000	-0.000	-0.000
N53/N2	V(180°) H2	Uniforme	0.197	-	-	-	Globales	-1.000	-0.000	-0.000
N53/N2	V(180°) H2	Uniforme	0.075	-	-	-	Globales	0.000	-1.000	0.000
N53/N2	V(270°) H1	Uniforme	0.084	-	-	-	Globales	-1.000	-0.000	-0.000

Cargas en barras										
Barra	Hipótesis	Tipo	Valores		Posición		Dirección			
			P1	P2	L1 (m)	L2 (m)	Ejes	X	Y	Z
N53/N2	V(270°) H1	Uniforme	0.103	-	-	-	Globales	0.000	-1.000	0.000
N3/N50	Peso propio	Uniforme	0.093	-	-	-	Globales	0.000	0.000	-1.000
N3/N50	V(0°) H1	Uniforme	0.197	-	-	-	Globales	-1.000	-0.000	-0.000
N3/N50	V(0°) H1	Uniforme	0.075	-	-	-	Globales	-0.000	1.000	-0.000
N3/N50	V(0°) H2	Uniforme	0.197	-	-	-	Globales	-1.000	-0.000	-0.000
N3/N50	V(0°) H2	Uniforme	0.075	-	-	-	Globales	-0.000	1.000	-0.000
N3/N50	V(90°) H1	Uniforme	0.178	-	-	-	Globales	1.000	0.000	0.000
N3/N50	V(90°) H1	Uniforme	0.246	-	-	-	Globales	-0.000	1.000	-0.000
N3/N50	V(90°) H1	Uniforme	0.000	-	-	-	Globales	-0.000	1.000	-0.000
N3/N50	V(180°) H1	Uniforme	0.151	-	-	-	Globales	0.000	-1.000	0.000
N3/N50	V(180°) H1	Uniforme	0.284	-	-	-	Globales	-1.000	-0.000	0.000
N3/N50	V(180°) H1	Uniforme	0.008	-	-	-	Globales	-1.000	-0.000	-0.000
N3/N50	V(180°) H2	Uniforme	0.284	-	-	-	Globales	-1.000	-0.000	0.000
N3/N50	V(180°) H2	Uniforme	0.151	-	-	-	Globales	0.000	-1.000	0.000
N3/N50	V(180°) H2	Uniforme	0.008	-	-	-	Globales	-1.000	-0.000	-0.000
N3/N50	V(270°) H1	Uniforme	0.084	-	-	-	Globales	-1.000	-0.000	-0.000
N3/N50	V(270°) H1	Uniforme	0.103	-	-	-	Globales	-0.000	1.000	-0.000
N50/N4	Peso propio	Uniforme	0.093	-	-	-	Globales	0.000	0.000	-1.000
N50/N4	V(0°) H1	Uniforme	0.197	-	-	-	Globales	-1.000	-0.000	-0.000
N50/N4	V(0°) H1	Uniforme	0.075	-	-	-	Globales	-0.000	1.000	-0.000
N50/N4	V(0°) H2	Uniforme	0.197	-	-	-	Globales	-1.000	-0.000	-0.000
N50/N4	V(0°) H2	Uniforme	0.075	-	-	-	Globales	-0.000	1.000	-0.000

Cargas en barras										
Barra	Hipótesis	Tipo	Valores		Posición		Dirección			
			P1	P2	L1 (m)	L2 (m)	Ejes	X	Y	Z
N50/N4	V(90°) H1	Uniforme	0.178	-	-	-	Globales	1.000	0.000	0.000
N50/N4	V(90°) H1	Uniforme	0.246	-	-	-	Globales	-0.000	1.000	-0.000
N50/N4	V(90°) H1	Uniforme	0.000	-	-	-	Globales	-0.000	1.000	-0.000
N50/N4	V(180°) H1	Uniforme	0.151	-	-	-	Globales	0.000	-1.000	0.000
N50/N4	V(180°) H1	Uniforme	0.284	-	-	-	Globales	-1.000	-0.000	0.000
N50/N4	V(180°) H1	Uniforme	0.008	-	-	-	Globales	-1.000	-0.000	-0.000
N50/N4	V(180°) H2	Uniforme	0.284	-	-	-	Globales	-1.000	-0.000	0.000
N50/N4	V(180°) H2	Uniforme	0.151	-	-	-	Globales	0.000	-1.000	0.000
N50/N4	V(180°) H2	Uniforme	0.008	-	-	-	Globales	-1.000	-0.000	-0.000
N50/N4	V(270°) H1	Uniforme	0.084	-	-	-	Globales	-1.000	-0.000	-0.000
N50/N4	V(270°) H1	Uniforme	0.103	-	-	-	Globales	-0.000	1.000	-0.000
N2/N48	Peso propio	Trapecial	0.131	0.115	0.000	2.530	Globales	0.000	0.000	-1.000
N2/N48	Peso propio	Faja	0.083	-	2.530	6.325	Globales	0.000	0.000	-1.000
N2/N48	Peso propio	Uniforme	0.051	-	-	-	Globales	0.000	0.000	-1.000
N2/N48	Q	Uniforme	0.100	-	-	-	Globales	0.000	0.000	-1.000
N2/N48	V(0°) H1	Trapecial	0.090	0.047	0.000	2.724	Globales	-1.000	-0.000	-0.000
N2/N48	V(0°) H1	Faja	0.040	-	2.724	3.503	Globales	-1.000	-0.000	-0.000
N2/N48	V(0°) H1	Faja	0.026	-	3.503	4.281	Globales	-1.000	-0.000	-0.000
N2/N48	V(0°) H1	Faja	0.010	-	4.281	5.060	Globales	-1.000	-0.000	-0.000
N2/N48	V(0°) H1	Trapecial	0.002	0.005	0.000	3.162	Globales	-1.000	-0.000	-0.000
N2/N48	V(0°) H1	Faja	0.006	-	3.162	3.953	Globales	-1.000	-0.000	-0.000
N2/N48	V(0°) H1	Faja	0.008	-	3.953	4.743	Globales	-1.000	-0.000	-0.000

Cargas en barras										
Barra	Hipótesis	Tipo	Valores		Posición		Dirección			
			P1	P2	L1 (m)	L2 (m)	Ejes	X	Y	Z
N2/N48	V(0°) H1	Faja	0.011	-	4.743	5.060	Globales	-1.000	-0.000	-0.000
N2/N48	V(0°) H1	Triangular Izq.	0.012	-	5.060	6.325	Globales	-1.000	-0.000	-0.000
N2/N48	V(0°) H1	Faja	0.166	-	0.000	2.530	Globales	0.000	-0.316	0.949
N2/N48	V(0°) H1	Faja	0.057	-	2.530	6.325	Globales	0.000	-0.316	0.949
N2/N48	V(0°) H2	Faja	0.040	-	2.724	3.503	Globales	-1.000	-0.000	-0.000
N2/N48	V(0°) H2	Trapecial	0.090	0.047	0.000	2.724	Globales	-1.000	-0.000	-0.000
N2/N48	V(0°) H2	Trapecial	0.002	0.005	0.000	3.162	Globales	-1.000	-0.000	-0.000
N2/N48	V(0°) H2	Faja	0.006	-	3.162	3.953	Globales	-1.000	-0.000	-0.000
N2/N48	V(0°) H2	Faja	0.008	-	3.953	4.743	Globales	-1.000	-0.000	-0.000
N2/N48	V(0°) H2	Faja	0.011	-	4.743	5.060	Globales	-1.000	-0.000	-0.000
N2/N48	V(0°) H2	Triangular Izq.	0.012	-	5.060	6.325	Globales	-1.000	-0.000	-0.000
N2/N48	V(0°) H2	Faja	0.026	-	3.503	4.281	Globales	-1.000	-0.000	-0.000
N2/N48	V(0°) H2	Faja	0.010	-	4.281	5.060	Globales	-1.000	-0.000	-0.000
N2/N48	V(0°) H2	Faja	0.065	-	0.000	2.530	Globales	-0.000	0.316	-0.949
N2/N48	V(0°) H2	Faja	0.051	-	2.530	6.325	Globales	-0.000	0.316	-0.949
N2/N48	V(90°) H1	Uniforme	0.188	-	-	-	Globales	-0.000	-0.316	0.949
N2/N48	V(90°) H1	Uniforme	0.036	-	-	-	Globales	0.000	-0.316	0.949
N2/N48	V(90°) H1	Triangular Izq.	0.056	-	0.000	6.325	Globales	1.000	0.000	0.000
N2/N48	V(180°) H1	Triangular Izq.	0.062	-	0.000	6.325	Globales	-1.000	-0.000	-0.000
N2/N48	V(180°) H1	Uniforme	0.082	-	-	-	Globales	0.000	-0.316	0.949
N2/N48	V(180°) H2	Triangular Izq.	0.062	-	0.000	6.325	Globales	-1.000	-0.000	-0.000
N2/N48	V(270°) H1	Triangular Izq.	0.027	-	0.000	6.325	Globales	-1.000	-0.000	-0.000

Cargas en barras										
Barra	Hipótesis	Tipo	Valores		Posición		Dirección			
			P1	P2	L1 (m)	L2 (m)	Ejes	X	Y	Z
N2/N48	V(270°) H1	Uniforme	0.103	-	-	-	Globales	0.000	-0.316	0.949
N2/N48	N(EI)	Uniforme	0.048	-	-	-	Globales	0.000	0.000	-1.000
N2/N48	N(R) 1	Uniforme	0.024	-	-	-	Globales	0.000	0.000	-1.000
N2/N48	N(R) 2	Uniforme	0.048	-	-	-	Globales	0.000	0.000	-1.000
N48/N5	Peso propio	Faja	0.083	-	0.000	3.795	Globales	0.000	0.000	-1.000
N48/N5	Peso propio	Trapecial	0.115	0.131	3.795	6.325	Globales	0.000	0.000	-1.000
N48/N5	Peso propio	Uniforme	0.051	-	-	-	Globales	0.000	0.000	-1.000
N48/N5	Q	Uniforme	0.100	-	-	-	Globales	0.000	0.000	-1.000
N48/N5	V(0°) H1	Triangular Izq.	0.062	-	0.000	6.325	Globales	-1.000	-0.000	-0.000
N48/N5	V(0°) H1	Uniforme	0.057	-	-	-	Globales	0.000	-0.316	0.949
N48/N5	V(0°) H2	Triangular Izq.	0.062	-	0.000	6.325	Globales	-1.000	-0.000	-0.000
N48/N5	V(0°) H2	Uniforme	0.051	-	-	-	Globales	-0.000	0.316	-0.949
N48/N5	V(90°) H1	Triangular Izq.	0.056	-	0.000	6.325	Globales	1.000	0.000	0.000
N48/N5	V(90°) H1	Uniforme	0.036	-	-	-	Globales	0.000	-0.316	0.949
N48/N5	V(90°) H1	Uniforme	0.198	-	-	-	Globales	0.000	-0.316	0.949
N48/N5	V(180°) H1	Triangular Izq.	0.062	-	0.000	6.325	Globales	-1.000	-0.000	-0.000
N48/N5	V(180°) H1	Faja	0.182	-	3.795	6.325	Globales	0.000	-0.316	0.949
N48/N5	V(180°) H1	Faja	0.082	-	0.000	3.795	Globales	0.000	-0.316	0.949
N48/N5	V(180°) H2	Triangular Izq.	0.062	-	0.000	6.325	Globales	-1.000	-0.000	-0.000
N48/N5	V(270°) H1	Triangular Izq.	0.027	-	0.000	6.325	Globales	-1.000	-0.000	-0.000
N48/N5	V(270°) H1	Uniforme	0.103	-	-	-	Globales	0.000	-0.316	0.949
N48/N5	N(EI)	Uniforme	0.048	-	-	-	Globales	0.000	0.000	-1.000

Cargas en barras										
Barra	Hipótesis	Tipo	Valores		Posición		Dirección			
			P1	P2	L1 (m)	L2 (m)	Ejes	X	Y	Z
N48/N5	N(R) 1	Uniforme	0.024	-	-	-	Globales	0.000	0.000	-1.000
N48/N5	N(R) 2	Uniforme	0.048	-	-	-	Globales	0.000	0.000	-1.000
N4/N45	Peso propio	Trapecial	0.131	0.115	0.000	2.530	Globales	0.000	0.000	-1.000
N4/N45	Peso propio	Faja	0.083	-	2.530	6.325	Globales	0.000	0.000	-1.000
N4/N45	Peso propio	Uniforme	0.051	-	-	-	Globales	0.000	0.000	-1.000
N4/N45	Q	Uniforme	0.100	-	-	-	Globales	0.000	0.000	-1.000
N4/N45	V(0°) H1	Triangular Izq.	0.062	-	0.000	6.325	Globales	-1.000	-0.000	-0.000
N4/N45	V(0°) H1	Uniforme	0.082	-	-	-	Globales	-0.000	0.316	0.949
N4/N45	V(0°) H2	Triangular Izq.	0.062	-	0.000	6.325	Globales	-1.000	-0.000	-0.000
N4/N45	V(90°) H1	Triangular Izq.	0.056	-	0.000	6.325	Globales	1.000	0.000	0.000
N4/N45	V(90°) H1	Uniforme	0.188	-	-	-	Globales	-0.000	0.316	0.949
N4/N45	V(90°) H1	Uniforme	0.036	-	-	-	Globales	0.000	0.316	0.949
N4/N45	V(180°) H1	Faja	0.010	-	4.281	5.060	Globales	-1.000	-0.000	0.000
N4/N45	V(180°) H1	Trapecial	0.002	0.005	0.000	3.162	Globales	-1.000	-0.000	-0.000
N4/N45	V(180°) H1	Faja	0.006	-	3.162	3.953	Globales	-1.000	-0.000	-0.000
N4/N45	V(180°) H1	Faja	0.008	-	3.953	4.743	Globales	-1.000	-0.000	-0.000
N4/N45	V(180°) H1	Faja	0.011	-	4.743	5.060	Globales	-1.000	-0.000	-0.000
N4/N45	V(180°) H1	Triangular Izq.	0.012	-	5.060	6.325	Globales	-1.000	-0.000	-0.000
N4/N45	V(180°) H1	Faja	0.026	-	3.503	4.281	Globales	-1.000	-0.000	0.000
N4/N45	V(180°) H1	Faja	0.166	-	0.000	2.530	Globales	-0.000	0.316	0.949
N4/N45	V(180°) H1	Faja	0.057	-	2.530	6.325	Globales	0.000	0.316	0.949
N4/N45	V(180°) H1	Trapecial	0.090	0.047	0.000	2.724	Globales	-1.000	-0.000	0.000

Cargas en barras										
Barra	Hipótesis	Tipo	Valores		Posición		Dirección			
			P1	P2	L1 (m)	L2 (m)	Ejes	X	Y	Z
N4/N45	V(180°) H1	Faja	0.040	-	2.724	3.503	Globales	-1.000	-0.000	0.000
N4/N45	V(180°) H2	Trapecial	0.090	0.047	0.000	2.724	Globales	-1.000	-0.000	0.000
N4/N45	V(180°) H2	Faja	0.040	-	2.724	3.503	Globales	-1.000	-0.000	0.000
N4/N45	V(180°) H2	Faja	0.011	-	4.743	5.060	Globales	-1.000	-0.000	-0.000
N4/N45	V(180°) H2	Triangular Izq.	0.012	-	5.060	6.325	Globales	-1.000	-0.000	-0.000
N4/N45	V(180°) H2	Faja	0.065	-	0.000	2.530	Globales	0.000	-0.316	-0.949
N4/N45	V(180°) H2	Faja	0.008	-	3.953	4.743	Globales	-1.000	-0.000	-0.000
N4/N45	V(180°) H2	Faja	0.006	-	3.162	3.953	Globales	-1.000	-0.000	-0.000
N4/N45	V(180°) H2	Trapecial	0.002	0.005	0.000	3.162	Globales	-1.000	-0.000	-0.000
N4/N45	V(180°) H2	Faja	0.010	-	4.281	5.060	Globales	-1.000	-0.000	0.000
N4/N45	V(180°) H2	Faja	0.026	-	3.503	4.281	Globales	-1.000	-0.000	0.000
N4/N45	V(180°) H2	Faja	0.051	-	2.530	6.325	Globales	-0.000	-0.316	-0.949
N4/N45	V(270°) H1	Triangular Izq.	0.027	-	0.000	6.325	Globales	-1.000	-0.000	-0.000
N4/N45	V(270°) H1	Uniforme	0.103	-	-	-	Globales	0.000	0.316	0.949
N4/N45	N(EI)	Uniforme	0.048	-	-	-	Globales	0.000	0.000	-1.000
N4/N45	N(R) 1	Uniforme	0.048	-	-	-	Globales	0.000	0.000	-1.000
N4/N45	N(R) 2	Uniforme	0.024	-	-	-	Globales	0.000	0.000	-1.000
N45/N5	Peso propio	Faja	0.083	-	0.000	3.795	Globales	0.000	0.000	-1.000
N45/N5	Peso propio	Trapecial	0.115	0.131	3.795	6.325	Globales	0.000	0.000	-1.000
N45/N5	Peso propio	Uniforme	0.051	-	-	-	Globales	0.000	0.000	-1.000
N45/N5	Q	Uniforme	0.100	-	-	-	Globales	0.000	0.000	-1.000
N45/N5	V(0°) H1	Triangular Izq.	0.062	-	0.000	6.325	Globales	-1.000	-0.000	-0.000

Cargas en barras										
Barra	Hipótesis	Tipo	Valores		Posición		Dirección			
			P1	P2	L1 (m)	L2 (m)	Ejes	X	Y	Z
N45/N5	V(0°) H1	Faja	0.082	-	0.000	3.795	Globales	-0.000	0.316	0.949
N45/N5	V(0°) H1	Faja	0.182	-	3.795	6.325	Globales	0.000	0.316	0.949
N45/N5	V(0°) H2	Triangular Izq.	0.062	-	0.000	6.325	Globales	-1.000	-0.000	-0.000
N45/N5	V(90°) H1	Uniforme	0.036	-	-	-	Globales	0.000	0.316	0.949
N45/N5	V(90°) H1	Uniforme	0.198	-	-	-	Globales	0.000	0.316	0.949
N45/N5	V(90°) H1	Triangular Izq.	0.056	-	0.000	6.325	Globales	1.000	0.000	0.000
N45/N5	V(180°) H1	Triangular Izq.	0.062	-	0.000	6.325	Globales	-1.000	-0.000	-0.000
N45/N5	V(180°) H1	Uniforme	0.057	-	-	-	Globales	0.000	0.316	0.949
N45/N5	V(180°) H2	Uniforme	0.051	-	-	-	Globales	-0.000	-0.316	-0.949
N45/N5	V(180°) H2	Triangular Izq.	0.062	-	0.000	6.325	Globales	-1.000	-0.000	-0.000
N45/N5	V(270°) H1	Triangular Izq.	0.027	-	0.000	6.325	Globales	-1.000	-0.000	-0.000
N45/N5	V(270°) H1	Uniforme	0.103	-	-	-	Globales	0.000	0.316	0.949
N45/N5	N(EI)	Uniforme	0.048	-	-	-	Globales	0.000	0.000	-1.000
N45/N5	N(R) 1	Uniforme	0.048	-	-	-	Globales	0.000	0.000	-1.000
N45/N5	N(R) 2	Uniforme	0.024	-	-	-	Globales	0.000	0.000	-1.000
N6/N58	Peso propio	Uniforme	0.093	-	-	-	Globales	0.000	0.000	-1.000
N6/N58	V(0°) H1	Uniforme	0.301	-	-	-	Globales	-0.000	1.000	-0.000
N6/N58	V(0°) H2	Uniforme	0.301	-	-	-	Globales	-0.000	1.000	-0.000
N6/N58	V(90°) H1	Uniforme	0.227	-	-	-	Globales	0.000	-1.000	0.000
N6/N58	V(90°) H1	Uniforme	0.177	-	-	-	Globales	0.000	-1.000	0.000
N6/N58	V(180°) H1	Uniforme	0.151	-	-	-	Globales	0.000	-1.000	0.000
N6/N58	V(180°) H2	Uniforme	0.151	-	-	-	Globales	0.000	-1.000	0.000

Cargas en barras										
Barra	Hipótesis	Tipo	Valores		Posición		Dirección			
			P1	P2	L1 (m)	L2 (m)	Ejes	X	Y	Z
N6/N58	V(270°) H1	Uniforme	0.105	-	-	-	Globales	0.000	-1.000	0.000
N6/N58	V(270°) H1	Uniforme	0.140	-	-	-	Globales	0.000	-1.000	0.000
N58/N7	Peso propio	Uniforme	0.093	-	-	-	Globales	0.000	0.000	-1.000
N58/N7	V(0°) H1	Uniforme	0.301	-	-	-	Globales	-0.000	1.000	-0.000
N58/N7	V(0°) H2	Uniforme	0.301	-	-	-	Globales	-0.000	1.000	-0.000
N58/N7	V(90°) H1	Uniforme	0.227	-	-	-	Globales	0.000	-1.000	0.000
N58/N7	V(90°) H1	Uniforme	0.177	-	-	-	Globales	0.000	-1.000	0.000
N58/N7	V(180°) H1	Uniforme	0.151	-	-	-	Globales	0.000	-1.000	0.000
N58/N7	V(180°) H2	Uniforme	0.151	-	-	-	Globales	0.000	-1.000	0.000
N58/N7	V(270°) H1	Uniforme	0.105	-	-	-	Globales	0.000	-1.000	0.000
N58/N7	V(270°) H1	Uniforme	0.140	-	-	-	Globales	0.000	-1.000	0.000
N8/N55	Peso propio	Uniforme	0.093	-	-	-	Globales	0.000	0.000	-1.000
N8/N55	V(0°) H1	Uniforme	0.151	-	-	-	Globales	-0.000	1.000	-0.000
N8/N55	V(0°) H2	Uniforme	0.151	-	-	-	Globales	-0.000	1.000	-0.000
N8/N55	V(90°) H1	Uniforme	0.227	-	-	-	Globales	-0.000	1.000	-0.000
N8/N55	V(90°) H1	Uniforme	0.177	-	-	-	Globales	-0.000	1.000	-0.000
N8/N55	V(180°) H1	Uniforme	0.301	-	-	-	Globales	0.000	-1.000	0.000
N8/N55	V(180°) H2	Uniforme	0.301	-	-	-	Globales	0.000	-1.000	0.000
N8/N55	V(270°) H1	Uniforme	0.105	-	-	-	Globales	-0.000	1.000	-0.000
N8/N55	V(270°) H1	Uniforme	0.140	-	-	-	Globales	-0.000	1.000	-0.000
N55/N9	Peso propio	Uniforme	0.093	-	-	-	Globales	0.000	0.000	-1.000
N55/N9	V(0°) H1	Uniforme	0.151	-	-	-	Globales	-0.000	1.000	-0.000

Cargas en barras										
Barra	Hipótesis	Tipo	Valores		Posición		Dirección			
			P1	P2	L1 (m)	L2 (m)	Ejes	X	Y	Z
N55/N9	V(0°) H2	Uniforme	0.151	-	-	-	Globales	-0.000	1.000	-0.000
N55/N9	V(90°) H1	Uniforme	0.227	-	-	-	Globales	-0.000	1.000	-0.000
N55/N9	V(90°) H1	Uniforme	0.177	-	-	-	Globales	-0.000	1.000	-0.000
N55/N9	V(180°) H1	Uniforme	0.301	-	-	-	Globales	0.000	-1.000	0.000
N55/N9	V(180°) H2	Uniforme	0.301	-	-	-	Globales	0.000	-1.000	0.000
N55/N9	V(270°) H1	Uniforme	0.105	-	-	-	Globales	-0.000	1.000	-0.000
N55/N9	V(270°) H1	Uniforme	0.140	-	-	-	Globales	-0.000	1.000	-0.000
N7/N64	Peso propio	Trapecial	0.131	0.115	0.000	2.530	Globales	0.000	0.000	-1.000
N7/N64	Peso propio	Faja	0.083	-	2.530	6.325	Globales	0.000	0.000	-1.000
N7/N64	Peso propio	Uniforme	0.102	-	-	-	Globales	0.000	0.000	-1.000
N7/N64	Q	Uniforme	0.200	-	-	-	Globales	0.000	0.000	-1.000
N7/N64	V(0°) H1	Faja	0.226	-	0.000	2.530	Globales	0.000	-0.316	0.949
N7/N64	V(0°) H1	Faja	0.096	-	0.000	2.530	Globales	-0.000	-0.316	0.949
N7/N64	V(0°) H1	Faja	0.114	-	2.530	6.325	Globales	0.000	-0.316	0.949
N7/N64	V(0°) H2	Faja	0.088	-	0.000	2.530	Globales	-0.000	0.316	-0.949
N7/N64	V(0°) H2	Faja	0.041	-	0.000	2.530	Globales	0.000	0.316	-0.949
N7/N64	V(0°) H2	Faja	0.101	-	2.530	6.325	Globales	-0.000	0.316	-0.949
N7/N64	V(90°) H1	Uniforme	0.059	-	-	-	Globales	-0.000	-0.316	0.949
N7/N64	V(90°) H1	Uniforme	0.235	-	-	-	Globales	0.000	-0.316	0.949
N7/N64	V(180°) H1	Uniforme	0.164	-	-	-	Globales	0.000	-0.316	0.949
N7/N64	V(270°) H1	Uniforme	0.205	-	-	-	Globales	0.000	-0.316	0.949
N7/N64	N(EI)	Uniforme	0.097	-	-	-	Globales	0.000	0.000	-1.000

Cargas en barras										
Barra	Hipótesis	Tipo	Valores		Posición		Dirección			
			P1	P2	L1 (m)	L2 (m)	Ejes	X	Y	Z
N7/N64	N(R) 1	Uniforme	0.048	-	-	-	Globales	0.000	0.000	-1.000
N7/N64	N(R) 2	Uniforme	0.097	-	-	-	Globales	0.000	0.000	-1.000
N64/N10	Peso propio	Faja	0.083	-	0.000	3.795	Globales	0.000	0.000	-1.000
N64/N10	Peso propio	Trapecial	0.115	0.131	3.795	6.325	Globales	0.000	0.000	-1.000
N64/N10	Peso propio	Uniforme	0.102	-	-	-	Globales	0.000	0.000	-1.000
N64/N10	Q	Uniforme	0.200	-	-	-	Globales	0.000	0.000	-1.000
N64/N10	V(0°) H1	Uniforme	0.114	-	-	-	Globales	0.000	-0.316	0.949
N64/N10	V(0°) H2	Uniforme	0.101	-	-	-	Globales	-0.000	0.316	-0.949
N64/N10	V(90°) H1	Uniforme	0.063	-	-	-	Globales	0.000	-0.316	0.949
N64/N10	V(90°) H1	Uniforme	0.235	-	-	-	Globales	0.000	-0.316	0.949
N64/N10	V(180°) H1	Faja	0.364	-	3.795	6.325	Globales	0.000	-0.316	0.949
N64/N10	V(180°) H1	Faja	0.164	-	0.000	3.795	Globales	0.000	-0.316	0.949
N64/N10	V(270°) H1	Uniforme	0.205	-	-	-	Globales	0.000	-0.316	0.949
N64/N10	N(EI)	Uniforme	0.097	-	-	-	Globales	0.000	0.000	-1.000
N64/N10	N(R) 1	Uniforme	0.048	-	-	-	Globales	0.000	0.000	-1.000
N64/N10	N(R) 2	Uniforme	0.097	-	-	-	Globales	0.000	0.000	-1.000
N9/N65	Peso propio	Trapecial	0.131	0.115	0.000	2.530	Globales	0.000	0.000	-1.000
N9/N65	Peso propio	Faja	0.083	-	2.530	6.325	Globales	0.000	0.000	-1.000
N9/N65	Peso propio	Uniforme	0.102	-	-	-	Globales	0.000	0.000	-1.000
N9/N65	Q	Uniforme	0.200	-	-	-	Globales	0.000	0.000	-1.000
N9/N65	V(0°) H1	Uniforme	0.164	-	-	-	Globales	-0.000	0.316	0.949
N9/N65	V(90°) H1	Uniforme	0.059	-	-	-	Globales	-0.000	0.316	0.949

Cargas en barras										
Barra	Hipótesis	Tipo	Valores		Posición		Dirección			
			P1	P2	L1 (m)	L2 (m)	Ejes	X	Y	Z
N9/N65	V(90°) H1	Uniforme	0.235	-	-	-	Globales	0.000	0.316	0.949
N9/N65	V(180°) H1	Faja	0.226	-	0.000	2.530	Globales	-0.000	0.316	0.949
N9/N65	V(180°) H1	Faja	0.096	-	0.000	2.530	Globales	-0.000	0.316	0.949
N9/N65	V(180°) H1	Faja	0.114	-	2.530	6.325	Globales	0.000	0.316	0.949
N9/N65	V(180°) H2	Faja	0.088	-	0.000	2.530	Globales	0.000	-0.316	-0.949
N9/N65	V(180°) H2	Faja	0.041	-	0.000	2.530	Globales	0.000	-0.316	-0.949
N9/N65	V(180°) H2	Faja	0.101	-	2.530	6.325	Globales	-0.000	-0.316	-0.949
N9/N65	V(270°) H1	Uniforme	0.205	-	-	-	Globales	0.000	0.316	0.949
N9/N65	N(EI)	Uniforme	0.097	-	-	-	Globales	0.000	0.000	-1.000
N9/N65	N(R) 1	Uniforme	0.097	-	-	-	Globales	0.000	0.000	-1.000
N9/N65	N(R) 2	Uniforme	0.048	-	-	-	Globales	0.000	0.000	-1.000
N65/N10	Peso propio	Faja	0.083	-	0.000	3.795	Globales	0.000	0.000	-1.000
N65/N10	Peso propio	Trapecial	0.115	0.131	3.795	6.325	Globales	0.000	0.000	-1.000
N65/N10	Peso propio	Uniforme	0.102	-	-	-	Globales	0.000	0.000	-1.000
N65/N10	Q	Uniforme	0.200	-	-	-	Globales	0.000	0.000	-1.000
N65/N10	V(0°) H1	Faja	0.364	-	3.795	6.325	Globales	0.000	0.316	0.949
N65/N10	V(0°) H1	Faja	0.164	-	0.000	3.795	Globales	-0.000	0.316	0.949
N65/N10	V(90°) H1	Uniforme	0.063	-	-	-	Globales	0.000	0.316	0.949
N65/N10	V(90°) H1	Uniforme	0.235	-	-	-	Globales	0.000	0.316	0.949
N65/N10	V(180°) H1	Uniforme	0.114	-	-	-	Globales	0.000	0.316	0.949
N65/N10	V(180°) H2	Uniforme	0.101	-	-	-	Globales	-0.000	-0.316	-0.949
N65/N10	V(270°) H1	Uniforme	0.205	-	-	-	Globales	0.000	0.316	0.949

Cargas en barras										
Barra	Hipótesis	Tipo	Valores		Posición		Dirección			
			P1	P2	L1 (m)	L2 (m)	Ejes	X	Y	Z
N65/N10	N(EI)	Uniforme	0.097	-	-	-	Globales	0.000	0.000	-1.000
N65/N10	N(R) 1	Uniforme	0.097	-	-	-	Globales	0.000	0.000	-1.000
N65/N10	N(R) 2	Uniforme	0.048	-	-	-	Globales	0.000	0.000	-1.000
N11/N12	Peso propio	Uniforme	0.093	-	-	-	Globales	0.000	0.000	-1.000
N11/N12	V(0°) H1	Uniforme	0.301	-	-	-	Globales	-0.000	1.000	-0.000
N11/N12	V(0°) H2	Uniforme	0.301	-	-	-	Globales	-0.000	1.000	-0.000
N11/N12	V(90°) H1	Uniforme	0.329	-	-	-	Globales	0.000	-1.000	0.000
N11/N12	V(180°) H1	Uniforme	0.151	-	-	-	Globales	0.000	-1.000	0.000
N11/N12	V(180°) H2	Uniforme	0.151	-	-	-	Globales	0.000	-1.000	0.000
N11/N12	V(270°) H1	Uniforme	0.322	-	-	-	Globales	0.000	-1.000	0.000
N11/N12	V(270°) H1	Uniforme	0.004	-	-	-	Globales	0.000	-1.000	0.000
N13/N14	Peso propio	Uniforme	0.093	-	-	-	Globales	0.000	0.000	-1.000
N13/N14	V(0°) H1	Uniforme	0.151	-	-	-	Globales	-0.000	1.000	-0.000
N13/N14	V(0°) H2	Uniforme	0.151	-	-	-	Globales	-0.000	1.000	-0.000
N13/N14	V(90°) H1	Uniforme	0.329	-	-	-	Globales	-0.000	1.000	-0.000
N13/N14	V(180°) H1	Uniforme	0.301	-	-	-	Globales	0.000	-1.000	0.000
N13/N14	V(180°) H2	Uniforme	0.301	-	-	-	Globales	0.000	-1.000	0.000
N13/N14	V(270°) H1	Uniforme	0.322	-	-	-	Globales	-0.000	1.000	-0.000
N13/N14	V(270°) H1	Uniforme	0.004	-	-	-	Globales	-0.000	1.000	-0.000
N12/N15	Peso propio	Trapecial	0.131	0.115	0.000	2.530	Globales	0.000	0.000	-1.000
N12/N15	Peso propio	Faja	0.083	-	2.530	10.119	Globales	0.000	0.000	-1.000
N12/N15	Peso propio	Trapecial	0.115	0.131	10.119	12.649	Globales	0.000	0.000	-1.000

Cargas en barras										
Barra	Hipótesis	Tipo	Valores		Posición		Dirección			
			P1	P2	L1 (m)	L2 (m)	Ejes	X	Y	Z
N12/N15	Peso propio	Uniforme	0.102	-	-	-	Globales	0.000	0.000	-1.000
N12/N15	Q	Uniforme	0.200	-	-	-	Globales	0.000	0.000	-1.000
N12/N15	V(0°) H1	Faja	0.007	-	0.000	2.530	Globales	0.000	-0.316	0.949
N12/N15	V(0°) H1	Faja	0.295	-	0.000	2.530	Globales	-0.000	-0.316	0.949
N12/N15	V(0°) H1	Faja	0.114	-	2.530	12.649	Globales	0.000	-0.316	0.949
N12/N15	V(0°) H2	Faja	0.003	-	0.000	2.530	Globales	-0.000	0.316	-0.949
N12/N15	V(0°) H2	Faja	0.127	-	0.000	2.530	Globales	0.000	0.316	-0.949
N12/N15	V(0°) H2	Faja	0.101	-	2.530	12.649	Globales	-0.000	0.316	-0.949
N12/N15	V(90°) H1	Uniforme	0.218	-	-	-	Globales	0.000	-0.316	0.949
N12/N15	V(90°) H1	Uniforme	0.037	-	-	-	Globales	0.000	-0.316	0.949
N12/N15	V(180°) H1	Faja	0.364	-	10.120	12.649	Globales	0.000	-0.316	0.949
N12/N15	V(180°) H1	Faja	0.164	-	0.000	10.120	Globales	0.000	-0.316	0.949
N12/N15	V(270°) H1	Uniforme	0.205	-	-	-	Globales	0.000	-0.316	0.949
N12/N15	N(EI)	Uniforme	0.097	-	-	-	Globales	0.000	0.000	-1.000
N12/N15	N(R) 1	Uniforme	0.048	-	-	-	Globales	0.000	0.000	-1.000
N12/N15	N(R) 2	Uniforme	0.097	-	-	-	Globales	0.000	0.000	-1.000
N14/N15	Peso propio	Trapecial	0.131	0.115	0.000	2.530	Globales	0.000	0.000	-1.000
N14/N15	Peso propio	Faja	0.083	-	2.530	10.119	Globales	0.000	0.000	-1.000
N14/N15	Peso propio	Trapecial	0.115	0.131	10.119	12.649	Globales	0.000	0.000	-1.000
N14/N15	Peso propio	Uniforme	0.102	-	-	-	Globales	0.000	0.000	-1.000
N14/N15	Q	Uniforme	0.200	-	-	-	Globales	0.000	0.000	-1.000
N14/N15	V(0°) H1	Faja	0.364	-	10.120	12.649	Globales	0.000	0.316	0.949

Cargas en barras										
Barra	Hipótesis	Tipo	Valores		Posición		Dirección			
			P1	P2	L1 (m)	L2 (m)	Ejes	X	Y	Z
N14/N15	V(0°) H1	Faja	0.164	-	0.000	10.120	Globales	-0.000	0.316	0.949
N14/N15	V(90°) H1	Uniforme	0.218	-	-	-	Globales	0.000	0.316	0.949
N14/N15	V(90°) H1	Uniforme	0.037	-	-	-	Globales	-0.000	0.316	0.949
N14/N15	V(180°) H1	Faja	0.007	-	0.000	2.530	Globales	-0.000	0.316	0.949
N14/N15	V(180°) H1	Faja	0.295	-	0.000	2.530	Globales	-0.000	0.316	0.949
N14/N15	V(180°) H1	Faja	0.114	-	2.530	12.649	Globales	0.000	0.316	0.949
N14/N15	V(180°) H2	Faja	0.003	-	0.000	2.530	Globales	0.000	-0.316	-0.949
N14/N15	V(180°) H2	Faja	0.127	-	0.000	2.530	Globales	0.000	-0.316	-0.949
N14/N15	V(180°) H2	Faja	0.101	-	2.530	12.649	Globales	-0.000	-0.316	-0.949
N14/N15	V(270°) H1	Uniforme	0.205	-	-	-	Globales	0.000	0.316	0.949
N14/N15	N(EI)	Uniforme	0.097	-	-	-	Globales	0.000	0.000	-1.000
N14/N15	N(R) 1	Uniforme	0.097	-	-	-	Globales	0.000	0.000	-1.000
N14/N15	N(R) 2	Uniforme	0.048	-	-	-	Globales	0.000	0.000	-1.000
N16/N17	Peso propio	Uniforme	0.093	-	-	-	Globales	0.000	0.000	-1.000
N16/N17	V(0°) H1	Uniforme	0.301	-	-	-	Globales	-0.000	1.000	-0.000
N16/N17	V(0°) H2	Uniforme	0.301	-	-	-	Globales	-0.000	1.000	-0.000
N16/N17	V(90°) H1	Uniforme	0.329	-	-	-	Globales	0.000	-1.000	0.000
N16/N17	V(180°) H1	Uniforme	0.151	-	-	-	Globales	0.000	-1.000	0.000
N16/N17	V(180°) H2	Uniforme	0.151	-	-	-	Globales	0.000	-1.000	0.000
N16/N17	V(270°) H1	Uniforme	0.329	-	-	-	Globales	0.000	-1.000	0.000
N18/N19	Peso propio	Uniforme	0.093	-	-	-	Globales	0.000	0.000	-1.000
N18/N19	V(0°) H1	Uniforme	0.151	-	-	-	Globales	-0.000	1.000	-0.000

Cargas en barras										
Barra	Hipótesis	Tipo	Valores		Posición		Dirección			
			P1	P2	L1 (m)	L2 (m)	Ejes	X	Y	Z
N18/N19	V(0°) H2	Uniforme	0.151	-	-	-	Globales	-0.000	1.000	-0.000
N18/N19	V(90°) H1	Uniforme	0.329	-	-	-	Globales	-0.000	1.000	-0.000
N18/N19	V(180°) H1	Uniforme	0.301	-	-	-	Globales	0.000	-1.000	0.000
N18/N19	V(180°) H2	Uniforme	0.301	-	-	-	Globales	0.000	-1.000	0.000
N18/N19	V(270°) H1	Uniforme	0.329	-	-	-	Globales	-0.000	1.000	-0.000
N17/N20	Peso propio	Trapecial	0.131	0.115	0.000	2.530	Globales	0.000	0.000	-1.000
N17/N20	Peso propio	Faja	0.083	-	2.530	10.119	Globales	0.000	0.000	-1.000
N17/N20	Peso propio	Trapecial	0.115	0.131	10.119	12.649	Globales	0.000	0.000	-1.000
N17/N20	Peso propio	Uniforme	0.102	-	-	-	Globales	0.000	0.000	-1.000
N17/N20	Q	Uniforme	0.200	-	-	-	Globales	0.000	0.000	-1.000
N17/N20	V(0°) H1	Faja	0.301	-	0.000	2.530	Globales	-0.000	-0.316	0.949
N17/N20	V(0°) H1	Faja	0.114	-	2.530	12.649	Globales	0.000	-0.316	0.949
N17/N20	V(0°) H2	Faja	0.129	-	0.000	2.530	Globales	0.000	0.316	-0.949
N17/N20	V(0°) H2	Faja	0.101	-	2.530	12.649	Globales	-0.000	0.316	-0.949
N17/N20	V(90°) H1	Uniforme	0.021	-	-	-	Globales	0.000	-0.316	0.949
N17/N20	V(90°) H1	Uniforme	0.189	-	-	-	Globales	0.000	-0.316	0.949
N17/N20	V(180°) H1	Faja	0.364	-	10.120	12.649	Globales	0.000	-0.316	0.949
N17/N20	V(180°) H1	Faja	0.164	-	0.000	10.120	Globales	0.000	-0.316	0.949
N17/N20	V(270°) H1	Uniforme	0.021	-	-	-	Globales	0.000	-0.316	0.949
N17/N20	V(270°) H1	Uniforme	0.189	-	-	-	Globales	0.000	-0.316	0.949
N17/N20	N(EI)	Uniforme	0.097	-	-	-	Globales	0.000	0.000	-1.000
N17/N20	N(R) 1	Uniforme	0.048	-	-	-	Globales	0.000	0.000	-1.000

Cargas en barras										
Barra	Hipótesis	Tipo	Valores		Posición		Dirección			
			P1	P2	L1 (m)	L2 (m)	Ejes	X	Y	Z
N17/N20	N(R) 2	Uniforme	0.097	-	-	-	Globales	0.000	0.000	-1.000
N19/N20	Peso propio	Trapecial	0.131	0.115	0.000	2.530	Globales	0.000	0.000	-1.000
N19/N20	Peso propio	Faja	0.083	-	2.530	10.119	Globales	0.000	0.000	-1.000
N19/N20	Peso propio	Trapecial	0.115	0.131	10.119	12.649	Globales	0.000	0.000	-1.000
N19/N20	Peso propio	Uniforme	0.102	-	-	-	Globales	0.000	0.000	-1.000
N19/N20	Q	Uniforme	0.200	-	-	-	Globales	0.000	0.000	-1.000
N19/N20	V(0°) H1	Faja	0.364	-	10.120	12.649	Globales	0.000	0.316	0.949
N19/N20	V(0°) H1	Faja	0.164	-	0.000	10.120	Globales	-0.000	0.316	0.949
N19/N20	V(90°) H1	Uniforme	0.021	-	-	-	Globales	0.000	0.316	0.949
N19/N20	V(90°) H1	Uniforme	0.189	-	-	-	Globales	-0.000	0.316	0.949
N19/N20	V(180°) H1	Faja	0.301	-	0.000	2.530	Globales	-0.000	0.316	0.949
N19/N20	V(180°) H1	Faja	0.114	-	2.530	12.649	Globales	0.000	0.316	0.949
N19/N20	V(180°) H2	Faja	0.129	-	0.000	2.530	Globales	0.000	-0.316	-0.949
N19/N20	V(180°) H2	Faja	0.101	-	2.530	12.649	Globales	-0.000	-0.316	-0.949
N19/N20	V(270°) H1	Uniforme	0.021	-	-	-	Globales	0.000	0.316	0.949
N19/N20	V(270°) H1	Uniforme	0.189	-	-	-	Globales	0.000	0.316	0.949
N19/N20	N(EI)	Uniforme	0.097	-	-	-	Globales	0.000	0.000	-1.000
N19/N20	N(R) 1	Uniforme	0.097	-	-	-	Globales	0.000	0.000	-1.000
N19/N20	N(R) 2	Uniforme	0.048	-	-	-	Globales	0.000	0.000	-1.000
N21/N22	Peso propio	Uniforme	0.093	-	-	-	Globales	0.000	0.000	-1.000
N21/N22	V(0°) H1	Uniforme	0.301	-	-	-	Globales	-0.000	1.000	-0.000
N21/N22	V(0°) H2	Uniforme	0.301	-	-	-	Globales	-0.000	1.000	-0.000

Cargas en barras										
Barra	Hipótesis	Tipo	Valores		Posición		Dirección			
			P1	P2	L1 (m)	L2 (m)	Ejes	X	Y	Z
N21/N22	V(90°) H1	Uniforme	0.322	-	-	-	Globales	0.000	-1.000	0.000
N21/N22	V(90°) H1	Uniforme	0.004	-	-	-	Globales	0.000	-1.000	0.000
N21/N22	V(180°) H1	Uniforme	0.151	-	-	-	Globales	0.000	-1.000	0.000
N21/N22	V(180°) H2	Uniforme	0.151	-	-	-	Globales	0.000	-1.000	0.000
N21/N22	V(270°) H1	Uniforme	0.329	-	-	-	Globales	0.000	-1.000	0.000
N23/N24	Peso propio	Uniforme	0.093	-	-	-	Globales	0.000	0.000	-1.000
N23/N24	V(0°) H1	Uniforme	0.151	-	-	-	Globales	-0.000	1.000	-0.000
N23/N24	V(0°) H2	Uniforme	0.151	-	-	-	Globales	-0.000	1.000	-0.000
N23/N24	V(90°) H1	Uniforme	0.322	-	-	-	Globales	-0.000	1.000	-0.000
N23/N24	V(90°) H1	Uniforme	0.004	-	-	-	Globales	-0.000	1.000	-0.000
N23/N24	V(180°) H1	Uniforme	0.301	-	-	-	Globales	0.000	-1.000	0.000
N23/N24	V(180°) H2	Uniforme	0.301	-	-	-	Globales	0.000	-1.000	0.000
N23/N24	V(270°) H1	Uniforme	0.329	-	-	-	Globales	-0.000	1.000	-0.000
N22/N25	Peso propio	Trapecial	0.131	0.115	0.000	2.530	Globales	0.000	0.000	-1.000
N22/N25	Peso propio	Faja	0.083	-	2.530	10.119	Globales	0.000	0.000	-1.000
N22/N25	Peso propio	Trapecial	0.115	0.131	10.119	12.649	Globales	0.000	0.000	-1.000
N22/N25	Peso propio	Uniforme	0.102	-	-	-	Globales	0.000	0.000	-1.000
N22/N25	Q	Uniforme	0.200	-	-	-	Globales	0.000	0.000	-1.000
N22/N25	V(0°) H1	Faja	0.007	-	0.000	2.530	Globales	0.000	-0.316	0.949
N22/N25	V(0°) H1	Faja	0.295	-	0.000	2.530	Globales	-0.000	-0.316	0.949
N22/N25	V(0°) H1	Faja	0.114	-	2.530	12.649	Globales	0.000	-0.316	0.949
N22/N25	V(0°) H2	Faja	0.003	-	0.000	2.530	Globales	-0.000	0.316	-0.949

Cargas en barras										
Barra	Hipótesis	Tipo	Valores		Posición		Dirección			
			P1	P2	L1 (m)	L2 (m)	Ejes	X	Y	Z
N22/N25	V(0°) H2	Faja	0.127	-	0.000	2.530	Globales	0.000	0.316	-0.949
N22/N25	V(0°) H2	Faja	0.101	-	2.530	12.649	Globales	-0.000	0.316	-0.949
N22/N25	V(90°) H1	Uniforme	0.205	-	-	-	Globales	0.000	-0.316	0.949
N22/N25	V(180°) H1	Faja	0.364	-	10.120	12.649	Globales	0.000	-0.316	0.949
N22/N25	V(180°) H1	Faja	0.164	-	0.000	10.120	Globales	0.000	-0.316	0.949
N22/N25	V(270°) H1	Uniforme	0.218	-	-	-	Globales	0.000	-0.316	0.949
N22/N25	V(270°) H1	Uniforme	0.037	-	-	-	Globales	0.000	-0.316	0.949
N22/N25	N(EI)	Uniforme	0.097	-	-	-	Globales	0.000	0.000	-1.000
N22/N25	N(R) 1	Uniforme	0.048	-	-	-	Globales	0.000	0.000	-1.000
N22/N25	N(R) 2	Uniforme	0.097	-	-	-	Globales	0.000	0.000	-1.000
N24/N25	Peso propio	Trapecial	0.131	0.115	0.000	2.530	Globales	0.000	0.000	-1.000
N24/N25	Peso propio	Faja	0.083	-	2.530	10.119	Globales	0.000	0.000	-1.000
N24/N25	Peso propio	Trapecial	0.115	0.131	10.119	12.649	Globales	0.000	0.000	-1.000
N24/N25	Peso propio	Uniforme	0.102	-	-	-	Globales	0.000	0.000	-1.000
N24/N25	Q	Uniforme	0.200	-	-	-	Globales	0.000	0.000	-1.000
N24/N25	V(0°) H1	Faja	0.364	-	10.120	12.649	Globales	0.000	0.316	0.949
N24/N25	V(0°) H1	Faja	0.164	-	0.000	10.120	Globales	-0.000	0.316	0.949
N24/N25	V(90°) H1	Uniforme	0.205	-	-	-	Globales	-0.000	0.316	0.949
N24/N25	V(180°) H1	Faja	0.007	-	0.000	2.530	Globales	-0.000	0.316	0.949
N24/N25	V(180°) H1	Faja	0.295	-	0.000	2.530	Globales	-0.000	0.316	0.949
N24/N25	V(180°) H1	Faja	0.114	-	2.530	12.649	Globales	0.000	0.316	0.949
N24/N25	V(180°) H2	Faja	0.003	-	0.000	2.530	Globales	0.000	-0.316	-0.949

Cargas en barras										
Barra	Hipótesis	Tipo	Valores		Posición		Dirección			
			P1	P2	L1 (m)	L2 (m)	Ejes	X	Y	Z
N24/N25	V(180°) H2	Faja	0.127	-	0.000	2.530	Globales	0.000	-0.316	-0.949
N24/N25	V(180°) H2	Faja	0.101	-	2.530	12.649	Globales	-0.000	-0.316	-0.949
N24/N25	V(270°) H1	Uniforme	0.218	-	-	-	Globales	0.000	0.316	0.949
N24/N25	V(270°) H1	Uniforme	0.037	-	-	-	Globales	0.000	0.316	0.949
N24/N25	N(EI)	Uniforme	0.097	-	-	-	Globales	0.000	0.000	-1.000
N24/N25	N(R) 1	Uniforme	0.097	-	-	-	Globales	0.000	0.000	-1.000
N24/N25	N(R) 2	Uniforme	0.048	-	-	-	Globales	0.000	0.000	-1.000
N26/N27	Peso propio	Uniforme	0.093	-	-	-	Globales	0.000	0.000	-1.000
N26/N27	V(0°) H1	Uniforme	0.301	-	-	-	Globales	-0.000	1.000	-0.000
N26/N27	V(0°) H2	Uniforme	0.301	-	-	-	Globales	-0.000	1.000	-0.000
N26/N27	V(90°) H1	Uniforme	0.105	-	-	-	Globales	0.000	-1.000	0.000
N26/N27	V(90°) H1	Uniforme	0.140	-	-	-	Globales	0.000	-1.000	0.000
N26/N27	V(180°) H1	Uniforme	0.151	-	-	-	Globales	0.000	-1.000	0.000
N26/N27	V(180°) H2	Uniforme	0.151	-	-	-	Globales	0.000	-1.000	0.000
N26/N27	V(270°) H1	Uniforme	0.227	-	-	-	Globales	0.000	-1.000	0.000
N26/N27	V(270°) H1	Uniforme	0.177	-	-	-	Globales	0.000	-1.000	0.000
N28/N29	Peso propio	Uniforme	0.093	-	-	-	Globales	0.000	0.000	-1.000
N28/N29	V(0°) H1	Uniforme	0.151	-	-	-	Globales	-0.000	1.000	-0.000
N28/N29	V(0°) H2	Uniforme	0.151	-	-	-	Globales	-0.000	1.000	-0.000
N28/N29	V(90°) H1	Uniforme	0.105	-	-	-	Globales	-0.000	1.000	-0.000
N28/N29	V(90°) H1	Uniforme	0.140	-	-	-	Globales	-0.000	1.000	-0.000
N28/N29	V(180°) H1	Uniforme	0.301	-	-	-	Globales	0.000	-1.000	0.000

Cargas en barras										
Barra	Hipótesis	Tipo	Valores		Posición		Dirección			
			P1	P2	L1 (m)	L2 (m)	Ejes	X	Y	Z
N28/N29	V(180°) H2	Uniforme	0.301	-	-	-	Globales	0.000	-1.000	0.000
N28/N29	V(270°) H1	Uniforme	0.227	-	-	-	Globales	-0.000	1.000	-0.000
N28/N29	V(270°) H1	Uniforme	0.177	-	-	-	Globales	-0.000	1.000	-0.000
N27/N62	Peso propio	Trapecial	0.131	0.115	0.000	2.530	Globales	0.000	0.000	-1.000
N27/N62	Peso propio	Faja	0.083	-	2.530	6.325	Globales	0.000	0.000	-1.000
N27/N62	Peso propio	Uniforme	0.102	-	-	-	Globales	0.000	0.000	-1.000
N27/N62	Q	Uniforme	0.200	-	-	-	Globales	0.000	0.000	-1.000
N27/N62	V(0°) H1	Faja	0.226	-	0.000	2.530	Globales	0.000	-0.316	0.949
N27/N62	V(0°) H1	Faja	0.096	-	0.000	2.530	Globales	-0.000	-0.316	0.949
N27/N62	V(0°) H1	Faja	0.114	-	2.530	6.325	Globales	0.000	-0.316	0.949
N27/N62	V(0°) H2	Faja	0.088	-	0.000	2.530	Globales	-0.000	0.316	-0.949
N27/N62	V(0°) H2	Faja	0.041	-	0.000	2.530	Globales	0.000	0.316	-0.949
N27/N62	V(0°) H2	Faja	0.101	-	2.530	6.325	Globales	-0.000	0.316	-0.949
N27/N62	V(90°) H1	Uniforme	0.205	-	-	-	Globales	0.000	-0.316	0.949
N27/N62	V(180°) H1	Uniforme	0.164	-	-	-	Globales	0.000	-0.316	0.949
N27/N62	V(270°) H1	Uniforme	0.059	-	-	-	Globales	0.000	-0.316	0.949
N27/N62	V(270°) H1	Uniforme	0.235	-	-	-	Globales	0.000	-0.316	0.949
N27/N62	N(EI)	Uniforme	0.097	-	-	-	Globales	0.000	0.000	-1.000
N27/N62	N(R) 1	Uniforme	0.048	-	-	-	Globales	0.000	0.000	-1.000
N27/N62	N(R) 2	Uniforme	0.097	-	-	-	Globales	0.000	0.000	-1.000
N62/N30	Peso propio	Faja	0.083	-	0.000	3.795	Globales	0.000	0.000	-1.000
N62/N30	Peso propio	Trapecial	0.115	0.131	3.795	6.325	Globales	0.000	0.000	-1.000

Cargas en barras										
Barra	Hipótesis	Tipo	Valores		Posición		Dirección			
			P1	P2	L1 (m)	L2 (m)	Ejes	X	Y	Z
N62/N30	Peso propio	Uniforme	0.102	-	-	-	Globales	0.000	0.000	-1.000
N62/N30	Q	Uniforme	0.200	-	-	-	Globales	0.000	0.000	-1.000
N62/N30	V(0°) H1	Uniforme	0.114	-	-	-	Globales	0.000	-0.316	0.949
N62/N30	V(0°) H2	Uniforme	0.101	-	-	-	Globales	-0.000	0.316	-0.949
N62/N30	V(90°) H1	Uniforme	0.205	-	-	-	Globales	0.000	-0.316	0.949
N62/N30	V(180°) H1	Faja	0.364	-	3.795	6.325	Globales	0.000	-0.316	0.949
N62/N30	V(180°) H1	Faja	0.164	-	0.000	3.795	Globales	0.000	-0.316	0.949
N62/N30	V(270°) H1	Uniforme	0.063	-	-	-	Globales	0.000	-0.316	0.949
N62/N30	V(270°) H1	Uniforme	0.235	-	-	-	Globales	0.000	-0.316	0.949
N62/N30	N(EI)	Uniforme	0.097	-	-	-	Globales	0.000	0.000	-1.000
N62/N30	N(R) 1	Uniforme	0.048	-	-	-	Globales	0.000	0.000	-1.000
N62/N30	N(R) 2	Uniforme	0.097	-	-	-	Globales	0.000	0.000	-1.000
N29/N63	Peso propio	Trapecial	0.131	0.115	0.000	2.530	Globales	0.000	0.000	-1.000
N29/N63	Peso propio	Faja	0.083	-	2.530	6.325	Globales	0.000	0.000	-1.000
N29/N63	Peso propio	Uniforme	0.102	-	-	-	Globales	0.000	0.000	-1.000
N29/N63	Q	Uniforme	0.200	-	-	-	Globales	0.000	0.000	-1.000
N29/N63	V(0°) H1	Uniforme	0.164	-	-	-	Globales	-0.000	0.316	0.949
N29/N63	V(90°) H1	Uniforme	0.205	-	-	-	Globales	-0.000	0.316	0.949
N29/N63	V(180°) H1	Faja	0.226	-	0.000	2.530	Globales	-0.000	0.316	0.949
N29/N63	V(180°) H1	Faja	0.096	-	0.000	2.530	Globales	-0.000	0.316	0.949
N29/N63	V(180°) H1	Faja	0.114	-	2.530	6.325	Globales	0.000	0.316	0.949
N29/N63	V(180°) H2	Faja	0.088	-	0.000	2.530	Globales	0.000	-0.316	-0.949

Cargas en barras										
Barra	Hipótesis	Tipo	Valores		Posición		Dirección			
			P1	P2	L1 (m)	L2 (m)	Ejes	X	Y	Z
N29/N63	V(180°) H2	Faja	0.041	-	0.000	2.530	Globales	0.000	-0.316	-0.949
N29/N63	V(180°) H2	Faja	0.101	-	2.530	6.325	Globales	-0.000	-0.316	-0.949
N29/N63	V(270°) H1	Uniforme	0.059	-	-	-	Globales	-0.000	0.316	0.949
N29/N63	V(270°) H1	Uniforme	0.235	-	-	-	Globales	0.000	0.316	0.949
N29/N63	N(EI)	Uniforme	0.097	-	-	-	Globales	0.000	0.000	-1.000
N29/N63	N(R) 1	Uniforme	0.097	-	-	-	Globales	0.000	0.000	-1.000
N29/N63	N(R) 2	Uniforme	0.048	-	-	-	Globales	0.000	0.000	-1.000
N63/N30	Peso propio	Faja	0.083	-	0.000	3.795	Globales	0.000	0.000	-1.000
N63/N30	Peso propio	Trapecial	0.115	0.131	3.795	6.325	Globales	0.000	0.000	-1.000
N63/N30	Peso propio	Uniforme	0.102	-	-	-	Globales	0.000	0.000	-1.000
N63/N30	Q	Uniforme	0.200	-	-	-	Globales	0.000	0.000	-1.000
N63/N30	V(0°) H1	Faja	0.364	-	3.795	6.325	Globales	0.000	0.316	0.949
N63/N30	V(0°) H1	Faja	0.164	-	0.000	3.795	Globales	-0.000	0.316	0.949
N63/N30	V(90°) H1	Uniforme	0.205	-	-	-	Globales	-0.000	0.316	0.949
N63/N30	V(180°) H1	Uniforme	0.114	-	-	-	Globales	0.000	0.316	0.949
N63/N30	V(180°) H2	Uniforme	0.101	-	-	-	Globales	-0.000	-0.316	-0.949
N63/N30	V(270°) H1	Uniforme	0.063	-	-	-	Globales	0.000	0.316	0.949
N63/N30	V(270°) H1	Uniforme	0.235	-	-	-	Globales	0.000	0.316	0.949
N63/N30	N(EI)	Uniforme	0.097	-	-	-	Globales	0.000	0.000	-1.000
N63/N30	N(R) 1	Uniforme	0.097	-	-	-	Globales	0.000	0.000	-1.000
N63/N30	N(R) 2	Uniforme	0.048	-	-	-	Globales	0.000	0.000	-1.000
N31/N32	Peso propio	Uniforme	0.093	-	-	-	Globales	0.000	0.000	-1.000

Cargas en barras										
Barra	Hipótesis	Tipo	Valores		Posición		Dirección			
			P1	P2	L1 (m)	L2 (m)	Ejes	X	Y	Z
N31/N32	V(0°) H1	Uniforme	0.284	-	-	-	Globales	1.000	0.000	0.000
N31/N32	V(0°) H1	Uniforme	0.008	-	-	-	Globales	1.000	0.000	0.000
N31/N32	V(0°) H1	Uniforme	0.151	-	-	-	Globales	-0.000	1.000	-0.000
N31/N32	V(0°) H2	Uniforme	0.008	-	-	-	Globales	1.000	0.000	0.000
N31/N32	V(0°) H2	Uniforme	0.284	-	-	-	Globales	1.000	0.000	0.000
N31/N32	V(0°) H2	Uniforme	0.151	-	-	-	Globales	-0.000	1.000	-0.000
N31/N32	V(90°) H1	Uniforme	0.084	-	-	-	Globales	1.000	0.000	0.000
N31/N32	V(90°) H1	Uniforme	0.103	-	-	-	Globales	0.000	-1.000	0.000
N31/N32	V(180°) H1	Uniforme	0.075	-	-	-	Globales	0.000	-1.000	0.000
N31/N32	V(180°) H1	Uniforme	0.197	-	-	-	Globales	1.000	0.000	0.000
N31/N32	V(180°) H2	Uniforme	0.197	-	-	-	Globales	1.000	0.000	0.000
N31/N32	V(180°) H2	Uniforme	0.075	-	-	-	Globales	0.000	-1.000	0.000
N31/N32	V(270°) H1	Uniforme	0.178	-	-	-	Globales	-1.000	-0.000	-0.000
N31/N32	V(270°) H1	Uniforme	0.246	-	-	-	Globales	0.000	-1.000	0.000
N31/N32	V(270°) H1	Uniforme	0.000	-	-	-	Globales	0.000	-1.000	0.000
N33/N34	Peso propio	Uniforme	0.093	-	-	-	Globales	0.000	0.000	-1.000
N33/N34	V(0°) H1	Uniforme	0.197	-	-	-	Globales	1.000	0.000	0.000
N33/N34	V(0°) H1	Uniforme	0.075	-	-	-	Globales	-0.000	1.000	-0.000
N33/N34	V(0°) H2	Uniforme	0.075	-	-	-	Globales	-0.000	1.000	-0.000
N33/N34	V(0°) H2	Uniforme	0.197	-	-	-	Globales	1.000	0.000	0.000
N33/N34	V(90°) H1	Uniforme	0.084	-	-	-	Globales	1.000	0.000	0.000
N33/N34	V(90°) H1	Uniforme	0.103	-	-	-	Globales	-0.000	1.000	-0.000

Cargas en barras										
Barra	Hipótesis	Tipo	Valores		Posición		Dirección			
			P1	P2	L1 (m)	L2 (m)	Ejes	X	Y	Z
N33/N34	V(180°) H1	Uniforme	0.151	-	-	-	Globales	0.000	-1.000	0.000
N33/N34	V(180°) H1	Uniforme	0.284	-	-	-	Globales	1.000	0.000	-0.000
N33/N34	V(180°) H1	Uniforme	0.008	-	-	-	Globales	1.000	0.000	0.000
N33/N34	V(180°) H2	Uniforme	0.284	-	-	-	Globales	1.000	0.000	-0.000
N33/N34	V(180°) H2	Uniforme	0.151	-	-	-	Globales	0.000	-1.000	0.000
N33/N34	V(180°) H2	Uniforme	0.008	-	-	-	Globales	1.000	0.000	0.000
N33/N34	V(270°) H1	Uniforme	0.178	-	-	-	Globales	-1.000	-0.000	-0.000
N33/N34	V(270°) H1	Uniforme	0.246	-	-	-	Globales	-0.000	1.000	-0.000
N33/N34	V(270°) H1	Uniforme	0.000	-	-	-	Globales	-0.000	1.000	-0.000
N32/N40	Peso propio	Trapecial	0.131	0.115	0.000	2.530	Globales	0.000	0.000	-1.000
N32/N40	Peso propio	Faja	0.083	-	2.530	6.325	Globales	0.000	0.000	-1.000
N32/N40	Peso propio	Uniforme	0.051	-	-	-	Globales	0.000	0.000	-1.000
N32/N40	Q	Uniforme	0.100	-	-	-	Globales	0.000	0.000	-1.000
N32/N40	V(0°) H1	Trapecial	0.090	0.047	0.000	2.724	Globales	1.000	0.000	0.000
N32/N40	V(0°) H1	Faja	0.040	-	2.724	3.503	Globales	1.000	0.000	0.000
N32/N40	V(0°) H1	Faja	0.026	-	3.503	4.281	Globales	1.000	0.000	0.000
N32/N40	V(0°) H1	Faja	0.010	-	4.281	5.060	Globales	1.000	0.000	0.000
N32/N40	V(0°) H1	Trapecial	0.002	0.005	0.000	3.162	Globales	1.000	0.000	0.000
N32/N40	V(0°) H1	Faja	0.006	-	3.162	3.953	Globales	1.000	0.000	0.000
N32/N40	V(0°) H1	Faja	0.008	-	3.953	4.743	Globales	1.000	0.000	0.000
N32/N40	V(0°) H1	Faja	0.011	-	4.743	5.060	Globales	1.000	0.000	0.000
N32/N40	V(0°) H1	Triangular Izq.	0.012	-	5.060	6.325	Globales	1.000	0.000	0.000

Cargas en barras										
Barra	Hipótesis	Tipo	Valores		Posición		Dirección			
			P1	P2	L1 (m)	L2 (m)	Ejes	X	Y	Z
N32/N40	V(0°) H1	Faja	0.166	-	0.000	2.530	Globales	0.000	-0.316	0.949
N32/N40	V(0°) H1	Faja	0.057	-	2.530	6.325	Globales	0.000	-0.316	0.949
N32/N40	V(0°) H2	Faja	0.040	-	2.724	3.503	Globales	1.000	0.000	0.000
N32/N40	V(0°) H2	Trapecial	0.090	0.047	0.000	2.724	Globales	1.000	0.000	0.000
N32/N40	V(0°) H2	Trapecial	0.002	0.005	0.000	3.162	Globales	1.000	0.000	0.000
N32/N40	V(0°) H2	Faja	0.006	-	3.162	3.953	Globales	1.000	0.000	0.000
N32/N40	V(0°) H2	Faja	0.008	-	3.953	4.743	Globales	1.000	0.000	0.000
N32/N40	V(0°) H2	Faja	0.011	-	4.743	5.060	Globales	1.000	0.000	0.000
N32/N40	V(0°) H2	Triangular Izq.	0.012	-	5.060	6.325	Globales	1.000	0.000	0.000
N32/N40	V(0°) H2	Faja	0.026	-	3.503	4.281	Globales	1.000	0.000	0.000
N32/N40	V(0°) H2	Faja	0.010	-	4.281	5.060	Globales	1.000	0.000	0.000
N32/N40	V(0°) H2	Faja	0.065	-	0.000	2.530	Globales	-0.000	0.316	-0.949
N32/N40	V(0°) H2	Faja	0.051	-	2.530	6.325	Globales	-0.000	0.316	-0.949
N32/N40	V(90°) H1	Uniforme	0.103	-	-	-	Globales	0.000	-0.316	0.949
N32/N40	V(90°) H1	Triangular Izq.	0.027	-	0.000	6.325	Globales	1.000	0.000	0.000
N32/N40	V(180°) H1	Triangular Izq.	0.062	-	0.000	6.325	Globales	1.000	0.000	0.000
N32/N40	V(180°) H1	Uniforme	0.082	-	-	-	Globales	0.000	-0.316	0.949
N32/N40	V(180°) H2	Triangular Izq.	0.062	-	0.000	6.325	Globales	1.000	0.000	0.000
N32/N40	V(270°) H1	Triangular Izq.	0.056	-	0.000	6.325	Globales	-1.000	-0.000	-0.000
N32/N40	V(270°) H1	Uniforme	0.188	-	-	-	Globales	0.000	-0.316	0.949
N32/N40	V(270°) H1	Uniforme	0.036	-	-	-	Globales	0.000	-0.316	0.949
N32/N40	N(EI)	Uniforme	0.048	-	-	-	Globales	0.000	0.000	-1.000

Cargas en barras										
Barra	Hipótesis	Tipo	Valores		Posición		Dirección			
			P1	P2	L1 (m)	L2 (m)	Ejes	X	Y	Z
N32/N40	N(R) 1	Uniforme	0.024	-	-	-	Globales	0.000	0.000	-1.000
N32/N40	N(R) 2	Uniforme	0.048	-	-	-	Globales	0.000	0.000	-1.000
N40/N35	Peso propio	Faja	0.083	-	0.000	3.795	Globales	0.000	0.000	-1.000
N40/N35	Peso propio	Trapecial	0.115	0.131	3.795	6.325	Globales	0.000	0.000	-1.000
N40/N35	Peso propio	Uniforme	0.051	-	-	-	Globales	0.000	0.000	-1.000
N40/N35	Q	Uniforme	0.100	-	-	-	Globales	0.000	0.000	-1.000
N40/N35	V(0°) H1	Triangular Izq.	0.062	-	0.000	6.325	Globales	1.000	0.000	0.000
N40/N35	V(0°) H1	Uniforme	0.057	-	-	-	Globales	0.000	-0.316	0.949
N40/N35	V(0°) H2	Triangular Izq.	0.062	-	0.000	6.325	Globales	1.000	0.000	0.000
N40/N35	V(0°) H2	Uniforme	0.051	-	-	-	Globales	-0.000	0.316	-0.949
N40/N35	V(90°) H1	Triangular Izq.	0.027	-	0.000	6.325	Globales	1.000	0.000	0.000
N40/N35	V(90°) H1	Uniforme	0.103	-	-	-	Globales	0.000	-0.316	0.949
N40/N35	V(180°) H1	Faja	0.182	-	3.795	6.325	Globales	0.000	-0.316	0.949
N40/N35	V(180°) H1	Triangular Izq.	0.062	-	0.000	6.325	Globales	1.000	0.000	0.000
N40/N35	V(180°) H1	Faja	0.082	-	0.000	3.795	Globales	0.000	-0.316	0.949
N40/N35	V(180°) H2	Triangular Izq.	0.062	-	0.000	6.325	Globales	1.000	0.000	0.000
N40/N35	V(270°) H1	Triangular Izq.	0.056	-	0.000	6.325	Globales	-1.000	-0.000	-0.000
N40/N35	V(270°) H1	Uniforme	0.198	-	-	-	Globales	0.000	-0.316	0.949
N40/N35	V(270°) H1	Uniforme	0.036	-	-	-	Globales	0.000	-0.316	0.949
N40/N35	N(EI)	Uniforme	0.048	-	-	-	Globales	0.000	0.000	-1.000
N40/N35	N(R) 1	Uniforme	0.024	-	-	-	Globales	0.000	0.000	-1.000
N40/N35	N(R) 2	Uniforme	0.048	-	-	-	Globales	0.000	0.000	-1.000

Cargas en barras										
Barra	Hipótesis	Tipo	Valores		Posición		Dirección			
			P1	P2	L1 (m)	L2 (m)	Ejes	X	Y	Z
N34/N37	Peso propio	Trapecial	0.131	0.115	0.000	2.530	Globales	0.000	0.000	-1.000
N34/N37	Peso propio	Faja	0.083	-	2.530	6.325	Globales	0.000	0.000	-1.000
N34/N37	Peso propio	Uniforme	0.051	-	-	-	Globales	0.000	0.000	-1.000
N34/N37	Q	Uniforme	0.100	-	-	-	Globales	0.000	0.000	-1.000
N34/N37	V(0°) H1	Triangular Izq.	0.062	-	0.000	6.325	Globales	1.000	0.000	0.000
N34/N37	V(0°) H1	Uniforme	0.082	-	-	-	Globales	-0.000	0.316	0.949
N34/N37	V(0°) H2	Triangular Izq.	0.062	-	0.000	6.325	Globales	1.000	0.000	0.000
N34/N37	V(90°) H1	Triangular Izq.	0.027	-	0.000	6.325	Globales	1.000	0.000	0.000
N34/N37	V(90°) H1	Uniforme	0.103	-	-	-	Globales	-0.000	0.316	0.949
N34/N37	V(180°) H1	Faja	0.026	-	3.503	4.281	Globales	1.000	0.000	-0.000
N34/N37	V(180°) H1	Faja	0.010	-	4.281	5.060	Globales	1.000	0.000	-0.000
N34/N37	V(180°) H1	Trapecial	0.002	0.005	0.000	3.162	Globales	1.000	0.000	0.000
N34/N37	V(180°) H1	Faja	0.006	-	3.162	3.953	Globales	1.000	0.000	0.000
N34/N37	V(180°) H1	Faja	0.008	-	3.953	4.743	Globales	1.000	0.000	0.000
N34/N37	V(180°) H1	Faja	0.011	-	4.743	5.060	Globales	1.000	0.000	0.000
N34/N37	V(180°) H1	Triangular Izq.	0.012	-	5.060	6.325	Globales	1.000	0.000	0.000
N34/N37	V(180°) H1	Faja	0.166	-	0.000	2.530	Globales	-0.000	0.316	0.949
N34/N37	V(180°) H1	Faja	0.057	-	2.530	6.325	Globales	0.000	0.316	0.949
N34/N37	V(180°) H1	Trapecial	0.090	0.047	0.000	2.724	Globales	1.000	0.000	-0.000
N34/N37	V(180°) H1	Faja	0.040	-	2.724	3.503	Globales	1.000	0.000	-0.000
N34/N37	V(180°) H2	Trapecial	0.090	0.047	0.000	2.724	Globales	1.000	0.000	-0.000
N34/N37	V(180°) H2	Faja	0.040	-	2.724	3.503	Globales	1.000	0.000	-0.000

Cargas en barras										
Barra	Hipótesis	Tipo	Valores		Posición		Dirección			
			P1	P2	L1 (m)	L2 (m)	Ejes	X	Y	Z
N34/N37	V(180°) H2	Faja	0.008	-	3.953	4.743	Globales	1.000	0.000	0.000
N34/N37	V(180°) H2	Faja	0.011	-	4.743	5.060	Globales	1.000	0.000	0.000
N34/N37	V(180°) H2	Triangular Izq.	0.012	-	5.060	6.325	Globales	1.000	0.000	0.000
N34/N37	V(180°) H2	Faja	0.065	-	0.000	2.530	Globales	0.000	-0.316	-0.949
N34/N37	V(180°) H2	Faja	0.006	-	3.162	3.953	Globales	1.000	0.000	0.000
N34/N37	V(180°) H2	Trapecial	0.002	0.005	0.000	3.162	Globales	1.000	0.000	0.000
N34/N37	V(180°) H2	Faja	0.010	-	4.281	5.060	Globales	1.000	0.000	-0.000
N34/N37	V(180°) H2	Faja	0.026	-	3.503	4.281	Globales	1.000	0.000	-0.000
N34/N37	V(180°) H2	Faja	0.051	-	2.530	6.325	Globales	-0.000	-0.316	-0.949
N34/N37	V(270°) H1	Triangular Izq.	0.056	-	0.000	6.325	Globales	-1.000	-0.000	-0.000
N34/N37	V(270°) H1	Uniforme	0.188	-	-	-	Globales	-0.000	0.316	0.949
N34/N37	V(270°) H1	Uniforme	0.036	-	-	-	Globales	0.000	0.316	0.949
N34/N37	N(EI)	Uniforme	0.048	-	-	-	Globales	0.000	0.000	-1.000
N34/N37	N(R) 1	Uniforme	0.048	-	-	-	Globales	0.000	0.000	-1.000
N34/N37	N(R) 2	Uniforme	0.024	-	-	-	Globales	0.000	0.000	-1.000
N37/N35	Peso propio	Faja	0.083	-	0.000	3.795	Globales	0.000	0.000	-1.000
N37/N35	Peso propio	Trapecial	0.115	0.131	3.795	6.325	Globales	0.000	0.000	-1.000
N37/N35	Peso propio	Uniforme	0.051	-	-	-	Globales	0.000	0.000	-1.000
N37/N35	Q	Uniforme	0.100	-	-	-	Globales	0.000	0.000	-1.000
N37/N35	V(0°) H1	Triangular Izq.	0.062	-	0.000	6.325	Globales	1.000	0.000	0.000
N37/N35	V(0°) H1	Faja	0.182	-	3.795	6.325	Globales	0.000	0.316	0.949
N37/N35	V(0°) H1	Faja	0.082	-	0.000	3.795	Globales	-0.000	0.316	0.949

Cargas en barras										
Barra	Hipótesis	Tipo	Valores		Posición		Dirección			
			P1	P2	L1 (m)	L2 (m)	Ejes	X	Y	Z
N37/N35	V(0°) H2	Triangular Izq.	0.062	-	0.000	6.325	Globales	1.000	0.000	0.000
N37/N35	V(90°) H1	Uniforme	0.103	-	-	-	Globales	-0.000	0.316	0.949
N37/N35	V(90°) H1	Triangular Izq.	0.027	-	0.000	6.325	Globales	1.000	0.000	0.000
N37/N35	V(180°) H1	Triangular Izq.	0.062	-	0.000	6.325	Globales	1.000	0.000	0.000
N37/N35	V(180°) H1	Uniforme	0.057	-	-	-	Globales	0.000	0.316	0.949
N37/N35	V(180°) H2	Uniforme	0.051	-	-	-	Globales	-0.000	-0.316	-0.949
N37/N35	V(180°) H2	Triangular Izq.	0.062	-	0.000	6.325	Globales	1.000	0.000	0.000
N37/N35	V(270°) H1	Triangular Izq.	0.056	-	0.000	6.325	Globales	-1.000	-0.000	-0.000
N37/N35	V(270°) H1	Uniforme	0.198	-	-	-	Globales	0.000	0.316	0.949
N37/N35	V(270°) H1	Uniforme	0.036	-	-	-	Globales	0.000	0.316	0.949
N37/N35	N(EI)	Uniforme	0.048	-	-	-	Globales	0.000	0.000	-1.000
N37/N35	N(R) 1	Uniforme	0.048	-	-	-	Globales	0.000	0.000	-1.000
N37/N35	N(R) 2	Uniforme	0.024	-	-	-	Globales	0.000	0.000	-1.000
N36/N42	Peso propio	Uniforme	0.083	-	-	-	Globales	0.000	0.000	-1.000
N36/N42	V(0°) H1	Uniforme	0.395	-	-	-	Globales	1.000	0.000	0.000
N36/N42	V(0°) H2	Uniforme	0.395	-	-	-	Globales	1.000	0.000	0.000
N36/N42	V(90°) H1	Uniforme	0.168	-	-	-	Globales	1.000	0.000	0.000
N36/N42	V(180°) H1	Uniforme	0.189	-	-	-	Globales	1.000	0.000	-0.000
N36/N42	V(180°) H1	Uniforme	0.268	-	-	-	Globales	1.000	0.000	0.000
N36/N42	V(180°) H2	Uniforme	0.189	-	-	-	Globales	1.000	0.000	-0.000
N36/N42	V(180°) H2	Uniforme	0.268	-	-	-	Globales	1.000	0.000	0.000
N36/N42	V(270°) H1	Uniforme	0.355	-	-	-	Globales	-1.000	-0.000	-0.000

Cargas en barras										
Barra	Hipótesis	Tipo	Valores		Posición		Dirección			
			P1	P2	L1 (m)	L2 (m)	Ejes	X	Y	Z
N42/N37	Peso propio	Uniforme	0.083	-	-	-	Globales	0.000	0.000	-1.000
N42/N37	V(0°) H1	Faja	0.395	-	0.000	2.000	Globales	1.000	0.000	0.000
N42/N37	V(0°) H1	Trapecial	0.395	0.197	2.000	4.000	Globales	1.000	0.000	0.000
N42/N37	V(0°) H2	Faja	0.395	-	0.000	2.000	Globales	1.000	0.000	0.000
N42/N37	V(0°) H2	Trapecial	0.395	0.197	2.000	4.000	Globales	1.000	0.000	0.000
N42/N37	V(90°) H1	Faja	0.168	-	0.000	2.000	Globales	1.000	0.000	0.000
N42/N37	V(90°) H1	Trapecial	0.168	0.084	2.000	4.000	Globales	1.000	0.000	0.000
N42/N37	V(180°) H1	Faja	0.189	-	0.000	2.000	Globales	1.000	0.000	-0.000
N42/N37	V(180°) H1	Faja	0.181	-	2.000	2.123	Globales	1.000	0.000	-0.000
N42/N37	V(180°) H1	Faja	0.155	-	2.123	2.369	Globales	1.000	0.000	-0.000
N42/N37	V(180°) H1	Faja	0.120	-	2.369	2.615	Globales	1.000	0.000	-0.000
N42/N37	V(180°) H1	Faja	0.087	-	2.615	2.862	Globales	1.000	0.000	-0.000
N42/N37	V(180°) H1	Faja	0.055	-	2.862	3.108	Globales	1.000	0.000	-0.000
N42/N37	V(180°) H1	Faja	0.026	-	3.108	3.354	Globales	1.000	0.000	-0.000
N42/N37	V(180°) H1	Faja	0.004	-	3.354	3.600	Globales	1.000	0.000	-0.000
N42/N37	V(180°) H1	Faja	0.268	-	0.000	2.000	Globales	1.000	0.000	0.000
N42/N37	V(180°) H1	Faja	0.268	-	2.000	2.250	Globales	1.000	0.000	0.000
N42/N37	V(180°) H1	Faja	0.266	-	2.250	2.500	Globales	1.000	0.000	0.000
N42/N37	V(180°) H1	Faja	0.265	-	2.500	2.750	Globales	1.000	0.000	0.000
N42/N37	V(180°) H1	Faja	0.262	-	2.750	3.000	Globales	1.000	0.000	0.000
N42/N37	V(180°) H1	Faja	0.258	-	3.000	3.250	Globales	1.000	0.000	0.000
N42/N37	V(180°) H1	Faja	0.251	-	3.250	3.500	Globales	1.000	0.000	0.000

Cargas en barras										
Barra	Hipótesis	Tipo	Valores		Posición		Dirección			
			P1	P2	L1 (m)	L2 (m)	Ejes	X	Y	Z
N42/N37	V(180°) H1	Faja	0.241	-	3.500	3.600	Globales	1.000	0.000	0.000
N42/N37	V(180°) H1	Trapecial	0.237	0.197	3.600	4.000	Globales	1.000	0.000	0.000
N42/N37	V(180°) H2	Faja	0.189	-	0.000	2.000	Globales	1.000	0.000	-0.000
N42/N37	V(180°) H2	Faja	0.181	-	2.000	2.123	Globales	1.000	0.000	-0.000
N42/N37	V(180°) H2	Faja	0.155	-	2.123	2.369	Globales	1.000	0.000	-0.000
N42/N37	V(180°) H2	Faja	0.120	-	2.369	2.615	Globales	1.000	0.000	-0.000
N42/N37	V(180°) H2	Faja	0.087	-	2.615	2.862	Globales	1.000	0.000	-0.000
N42/N37	V(180°) H2	Faja	0.055	-	2.862	3.108	Globales	1.000	0.000	-0.000
N42/N37	V(180°) H2	Faja	0.026	-	3.108	3.354	Globales	1.000	0.000	-0.000
N42/N37	V(180°) H2	Faja	0.004	-	3.354	3.600	Globales	1.000	0.000	-0.000
N42/N37	V(180°) H2	Faja	0.268	-	0.000	2.000	Globales	1.000	0.000	0.000
N42/N37	V(180°) H2	Faja	0.268	-	2.000	2.250	Globales	1.000	0.000	0.000
N42/N37	V(180°) H2	Faja	0.266	-	2.250	2.500	Globales	1.000	0.000	0.000
N42/N37	V(180°) H2	Faja	0.265	-	2.500	2.750	Globales	1.000	0.000	0.000
N42/N37	V(180°) H2	Faja	0.262	-	2.750	3.000	Globales	1.000	0.000	0.000
N42/N37	V(180°) H2	Faja	0.258	-	3.000	3.250	Globales	1.000	0.000	0.000
N42/N37	V(180°) H2	Faja	0.251	-	3.250	3.500	Globales	1.000	0.000	0.000
N42/N37	V(180°) H2	Faja	0.241	-	3.500	3.600	Globales	1.000	0.000	0.000
N42/N37	V(180°) H2	Trapecial	0.237	0.197	3.600	4.000	Globales	1.000	0.000	0.000
N42/N37	V(270°) H1	Faja	0.355	-	0.000	2.000	Globales	-1.000	-0.000	-0.000
N42/N37	V(270°) H1	Trapecial	0.355	0.178	2.000	4.000	Globales	-1.000	-0.000	-0.000
N38/N41	Peso propio	Uniforme	0.083	-	-	-	Globales	0.000	0.000	-1.000

Cargas en barras										
Barra	Hipótesis	Tipo	Valores		Posición		Dirección			
			P1	P2	L1 (m)	L2 (m)	Ejes	X	Y	Z
N38/N41	V(0°) H1	Uniforme	0.395	-	-	-	Globales	1.000	0.000	0.000
N38/N41	V(0°) H2	Uniforme	0.395	-	-	-	Globales	1.000	0.000	0.000
N38/N41	V(90°) H1	Uniforme	0.168	-	-	-	Globales	1.000	0.000	0.000
N38/N41	V(180°) H1	Uniforme	0.395	-	-	-	Globales	1.000	0.000	0.000
N38/N41	V(180°) H2	Uniforme	0.395	-	-	-	Globales	1.000	0.000	0.000
N38/N41	V(270°) H1	Uniforme	0.355	-	-	-	Globales	-1.000	-0.000	-0.000
N41/N35	Peso propio	Uniforme	0.083	-	-	-	Globales	0.000	0.000	-1.000
N41/N35	V(0°) H1	Faja	0.395	-	0.000	4.000	Globales	1.000	0.000	0.000
N41/N35	V(0°) H1	Triangular Izq.	0.395	-	4.000	6.000	Globales	1.000	0.000	0.000
N41/N35	V(0°) H2	Faja	0.395	-	0.000	4.000	Globales	1.000	0.000	0.000
N41/N35	V(0°) H2	Triangular Izq.	0.395	-	4.000	6.000	Globales	1.000	0.000	0.000
N41/N35	V(90°) H1	Faja	0.168	-	0.000	4.000	Globales	1.000	0.000	0.000
N41/N35	V(90°) H1	Triangular Izq.	0.168	-	4.000	6.000	Globales	1.000	0.000	0.000
N41/N35	V(180°) H1	Faja	0.395	-	0.000	4.000	Globales	1.000	0.000	0.000
N41/N35	V(180°) H1	Triangular Izq.	0.395	-	4.000	6.000	Globales	1.000	0.000	0.000
N41/N35	V(180°) H2	Faja	0.395	-	0.000	4.000	Globales	1.000	0.000	0.000
N41/N35	V(180°) H2	Triangular Izq.	0.395	-	4.000	6.000	Globales	1.000	0.000	0.000
N41/N35	V(270°) H1	Faja	0.355	-	0.000	4.000	Globales	-1.000	-0.000	-0.000
N41/N35	V(270°) H1	Triangular Izq.	0.355	-	4.000	6.000	Globales	-1.000	-0.000	-0.000
N39/N43	Peso propio	Uniforme	0.083	-	-	-	Globales	0.000	0.000	-1.000
N39/N43	V(0°) H1	Uniforme	0.189	-	-	-	Globales	1.000	0.000	0.000
N39/N43	V(0°) H1	Uniforme	0.268	-	-	-	Globales	1.000	0.000	0.000

Cargas en barras										
Barra	Hipótesis	Tipo	Valores		Posición		Dirección			
			P1	P2	L1 (m)	L2 (m)	Ejes	X	Y	Z
N39/N43	V(0°) H2	Uniforme	0.189	-	-	-	Globales	1.000	0.000	0.000
N39/N43	V(0°) H2	Uniforme	0.268	-	-	-	Globales	1.000	0.000	0.000
N39/N43	V(90°) H1	Uniforme	0.168	-	-	-	Globales	1.000	0.000	0.000
N39/N43	V(180°) H1	Uniforme	0.395	-	-	-	Globales	1.000	0.000	0.000
N39/N43	V(180°) H2	Uniforme	0.395	-	-	-	Globales	1.000	0.000	0.000
N39/N43	V(270°) H1	Uniforme	0.355	-	-	-	Globales	-1.000	-0.000	-0.000
N43/N40	Peso propio	Uniforme	0.083	-	-	-	Globales	0.000	0.000	-1.000
N43/N40	V(0°) H1	Faja	0.189	-	0.000	2.000	Globales	1.000	0.000	0.000
N43/N40	V(0°) H1	Faja	0.181	-	2.000	2.123	Globales	1.000	0.000	0.000
N43/N40	V(0°) H1	Faja	0.155	-	2.123	2.369	Globales	1.000	0.000	0.000
N43/N40	V(0°) H1	Faja	0.120	-	2.369	2.615	Globales	1.000	0.000	0.000
N43/N40	V(0°) H1	Faja	0.087	-	2.615	2.862	Globales	1.000	0.000	0.000
N43/N40	V(0°) H1	Faja	0.055	-	2.862	3.108	Globales	1.000	0.000	0.000
N43/N40	V(0°) H1	Faja	0.026	-	3.108	3.354	Globales	1.000	0.000	0.000
N43/N40	V(0°) H1	Faja	0.004	-	3.354	3.600	Globales	1.000	0.000	0.000
N43/N40	V(0°) H1	Faja	0.268	-	0.000	2.000	Globales	1.000	0.000	0.000
N43/N40	V(0°) H1	Faja	0.268	-	2.000	2.250	Globales	1.000	0.000	0.000
N43/N40	V(0°) H1	Faja	0.266	-	2.250	2.500	Globales	1.000	0.000	0.000
N43/N40	V(0°) H1	Faja	0.265	-	2.500	2.750	Globales	1.000	0.000	0.000
N43/N40	V(0°) H1	Faja	0.262	-	2.750	3.000	Globales	1.000	0.000	0.000
N43/N40	V(0°) H1	Faja	0.258	-	3.000	3.250	Globales	1.000	0.000	0.000
N43/N40	V(0°) H1	Faja	0.251	-	3.250	3.500	Globales	1.000	0.000	0.000

Cargas en barras										
Barra	Hipótesis	Tipo	Valores		Posición		Dirección			
			P1	P2	L1 (m)	L2 (m)	Ejes	X	Y	Z
N43/N40	V(0°) H1	Faja	0.241	-	3.500	3.600	Globales	1.000	0.000	0.000
N43/N40	V(0°) H1	Trapecial	0.237	0.197	3.600	4.000	Globales	1.000	0.000	0.000
N43/N40	V(0°) H2	Faja	0.189	-	0.000	2.000	Globales	1.000	0.000	0.000
N43/N40	V(0°) H2	Faja	0.181	-	2.000	2.123	Globales	1.000	0.000	0.000
N43/N40	V(0°) H2	Faja	0.155	-	2.123	2.369	Globales	1.000	0.000	0.000
N43/N40	V(0°) H2	Faja	0.120	-	2.369	2.615	Globales	1.000	0.000	0.000
N43/N40	V(0°) H2	Faja	0.087	-	2.615	2.862	Globales	1.000	0.000	0.000
N43/N40	V(0°) H2	Faja	0.055	-	2.862	3.108	Globales	1.000	0.000	0.000
N43/N40	V(0°) H2	Faja	0.026	-	3.108	3.354	Globales	1.000	0.000	0.000
N43/N40	V(0°) H2	Faja	0.004	-	3.354	3.600	Globales	1.000	0.000	0.000
N43/N40	V(0°) H2	Faja	0.268	-	0.000	2.000	Globales	1.000	0.000	0.000
N43/N40	V(0°) H2	Faja	0.268	-	2.000	2.250	Globales	1.000	0.000	0.000
N43/N40	V(0°) H2	Faja	0.266	-	2.250	2.500	Globales	1.000	0.000	0.000
N43/N40	V(0°) H2	Faja	0.265	-	2.500	2.750	Globales	1.000	0.000	0.000
N43/N40	V(0°) H2	Faja	0.262	-	2.750	3.000	Globales	1.000	0.000	0.000
N43/N40	V(0°) H2	Faja	0.258	-	3.000	3.250	Globales	1.000	0.000	0.000
N43/N40	V(0°) H2	Faja	0.251	-	3.250	3.500	Globales	1.000	0.000	0.000
N43/N40	V(0°) H2	Faja	0.241	-	3.500	3.600	Globales	1.000	0.000	0.000
N43/N40	V(0°) H2	Trapecial	0.237	0.197	3.600	4.000	Globales	1.000	0.000	0.000
N43/N40	V(90°) H1	Faja	0.168	-	0.000	2.000	Globales	1.000	0.000	0.000
N43/N40	V(90°) H1	Trapecial	0.168	0.084	2.000	4.000	Globales	1.000	0.000	0.000
N43/N40	V(180°) H1	Faja	0.395	-	0.000	2.000	Globales	1.000	0.000	0.000

Cargas en barras										
Barra	Hipótesis	Tipo	Valores		Posición		Dirección			
			P1	P2	L1 (m)	L2 (m)	Ejes	X	Y	Z
N43/N40	V(180°) H1	Trapecial	0.395	0.197	2.000	4.000	Globales	1.000	0.000	0.000
N43/N40	V(180°) H2	Faja	0.395	-	0.000	2.000	Globales	1.000	0.000	0.000
N43/N40	V(180°) H2	Trapecial	0.395	0.197	2.000	4.000	Globales	1.000	0.000	0.000
N43/N40	V(270°) H1	Faja	0.355	-	0.000	2.000	Globales	-1.000	-0.000	-0.000
N43/N40	V(270°) H1	Trapecial	0.355	0.178	2.000	4.000	Globales	-1.000	-0.000	-0.000
N41/N42	Peso propio	Uniforme	0.034	-	-	-	Globales	0.000	0.000	-1.000
N41/N42	Q	Uniforme	0.750	-	-	-	Globales	0.000	0.000	-1.000
N43/N41	Peso propio	Uniforme	0.034	-	-	-	Globales	0.000	0.000	-1.000
N43/N41	Q	Uniforme	0.750	-	-	-	Globales	0.000	0.000	-1.000
N44/N49	Peso propio	Uniforme	0.083	-	-	-	Globales	0.000	0.000	-1.000
N44/N49	V(0°) H1	Uniforme	0.395	-	-	-	Globales	-1.000	-0.000	-0.000
N44/N49	V(0°) H2	Uniforme	0.395	-	-	-	Globales	-1.000	-0.000	-0.000
N44/N49	V(90°) H1	Uniforme	0.355	-	-	-	Globales	1.000	0.000	0.000
N44/N49	V(180°) H1	Uniforme	0.189	-	-	-	Globales	-1.000	-0.000	0.000
N44/N49	V(180°) H1	Uniforme	0.268	-	-	-	Globales	-1.000	-0.000	-0.000
N44/N49	V(180°) H2	Uniforme	0.189	-	-	-	Globales	-1.000	-0.000	0.000
N44/N49	V(180°) H2	Uniforme	0.268	-	-	-	Globales	-1.000	-0.000	-0.000
N44/N49	V(270°) H1	Uniforme	0.168	-	-	-	Globales	-1.000	-0.000	-0.000
N49/N45	Peso propio	Uniforme	0.083	-	-	-	Globales	0.000	0.000	-1.000
N49/N45	V(0°) H1	Faja	0.395	-	0.000	2.000	Globales	-1.000	-0.000	-0.000
N49/N45	V(0°) H1	Trapecial	0.395	0.197	2.000	4.000	Globales	-1.000	-0.000	-0.000
N49/N45	V(0°) H2	Faja	0.395	-	0.000	2.000	Globales	-1.000	-0.000	-0.000

Cargas en barras										
Barra	Hipótesis	Tipo	Valores		Posición		Dirección			
			P1	P2	L1 (m)	L2 (m)	Ejes	X	Y	Z
N49/N45	V(0°) H2	Trapecial	0.395	0.197	2.000	4.000	Globales	-1.000	-0.000	-0.000
N49/N45	V(90°) H1	Faja	0.355	-	0.000	2.000	Globales	1.000	0.000	0.000
N49/N45	V(90°) H1	Trapecial	0.355	0.178	2.000	4.000	Globales	1.000	0.000	0.000
N49/N45	V(180°) H1	Faja	0.189	-	0.000	2.000	Globales	-1.000	-0.000	0.000
N49/N45	V(180°) H1	Faja	0.181	-	2.000	2.123	Globales	-1.000	-0.000	0.000
N49/N45	V(180°) H1	Faja	0.155	-	2.123	2.369	Globales	-1.000	-0.000	0.000
N49/N45	V(180°) H1	Faja	0.120	-	2.369	2.615	Globales	-1.000	-0.000	0.000
N49/N45	V(180°) H1	Faja	0.087	-	2.615	2.862	Globales	-1.000	-0.000	0.000
N49/N45	V(180°) H1	Faja	0.055	-	2.862	3.108	Globales	-1.000	-0.000	0.000
N49/N45	V(180°) H1	Faja	0.026	-	3.108	3.354	Globales	-1.000	-0.000	0.000
N49/N45	V(180°) H1	Faja	0.004	-	3.354	3.600	Globales	-1.000	-0.000	0.000
N49/N45	V(180°) H1	Faja	0.268	-	0.000	2.000	Globales	-1.000	-0.000	-0.000
N49/N45	V(180°) H1	Faja	0.268	-	2.000	2.250	Globales	-1.000	-0.000	-0.000
N49/N45	V(180°) H1	Faja	0.266	-	2.250	2.500	Globales	-1.000	-0.000	-0.000
N49/N45	V(180°) H1	Faja	0.265	-	2.500	2.750	Globales	-1.000	-0.000	-0.000
N49/N45	V(180°) H1	Faja	0.262	-	2.750	3.000	Globales	-1.000	-0.000	-0.000
N49/N45	V(180°) H1	Faja	0.258	-	3.000	3.250	Globales	-1.000	-0.000	-0.000
N49/N45	V(180°) H1	Faja	0.251	-	3.250	3.500	Globales	-1.000	-0.000	-0.000
N49/N45	V(180°) H1	Faja	0.241	-	3.500	3.600	Globales	-1.000	-0.000	-0.000
N49/N45	V(180°) H1	Trapecial	0.237	0.197	3.600	4.000	Globales	-1.000	-0.000	-0.000
N49/N45	V(180°) H2	Faja	0.189	-	0.000	2.000	Globales	-1.000	-0.000	0.000
N49/N45	V(180°) H2	Faja	0.181	-	2.000	2.123	Globales	-1.000	-0.000	0.000

Cargas en barras										
Barra	Hipótesis	Tipo	Valores		Posición		Dirección			
			P1	P2	L1 (m)	L2 (m)	Ejes	X	Y	Z
N49/N45	V(180°) H2	Faja	0.155	-	2.123	2.369	Globales	-1.000	-0.000	0.000
N49/N45	V(180°) H2	Faja	0.120	-	2.369	2.615	Globales	-1.000	-0.000	0.000
N49/N45	V(180°) H2	Faja	0.087	-	2.615	2.862	Globales	-1.000	-0.000	0.000
N49/N45	V(180°) H2	Faja	0.055	-	2.862	3.108	Globales	-1.000	-0.000	0.000
N49/N45	V(180°) H2	Faja	0.026	-	3.108	3.354	Globales	-1.000	-0.000	0.000
N49/N45	V(180°) H2	Faja	0.004	-	3.354	3.600	Globales	-1.000	-0.000	0.000
N49/N45	V(180°) H2	Faja	0.268	-	0.000	2.000	Globales	-1.000	-0.000	-0.000
N49/N45	V(180°) H2	Faja	0.268	-	2.000	2.250	Globales	-1.000	-0.000	-0.000
N49/N45	V(180°) H2	Faja	0.266	-	2.250	2.500	Globales	-1.000	-0.000	-0.000
N49/N45	V(180°) H2	Faja	0.265	-	2.500	2.750	Globales	-1.000	-0.000	-0.000
N49/N45	V(180°) H2	Faja	0.262	-	2.750	3.000	Globales	-1.000	-0.000	-0.000
N49/N45	V(180°) H2	Faja	0.258	-	3.000	3.250	Globales	-1.000	-0.000	-0.000
N49/N45	V(180°) H2	Faja	0.251	-	3.250	3.500	Globales	-1.000	-0.000	-0.000
N49/N45	V(180°) H2	Faja	0.241	-	3.500	3.600	Globales	-1.000	-0.000	-0.000
N49/N45	V(180°) H2	Trapecial	0.237	0.197	3.600	4.000	Globales	-1.000	-0.000	-0.000
N49/N45	V(270°) H1	Faja	0.168	-	0.000	2.000	Globales	-1.000	-0.000	-0.000
N49/N45	V(270°) H1	Trapecial	0.168	0.084	2.000	4.000	Globales	-1.000	-0.000	-0.000
N46/N51	Peso propio	Uniforme	0.083	-	-	-	Globales	0.000	0.000	-1.000
N46/N51	V(0°) H1	Uniforme	0.395	-	-	-	Globales	-1.000	-0.000	-0.000
N46/N51	V(0°) H2	Uniforme	0.395	-	-	-	Globales	-1.000	-0.000	-0.000
N46/N51	V(90°) H1	Uniforme	0.355	-	-	-	Globales	1.000	0.000	0.000
N46/N51	V(180°) H1	Uniforme	0.395	-	-	-	Globales	-1.000	-0.000	-0.000

Cargas en barras										
Barra	Hipótesis	Tipo	Valores		Posición		Dirección			
			P1	P2	L1 (m)	L2 (m)	Ejes	X	Y	Z
N46/N51	V(180°) H2	Uniforme	0.395	-	-	-	Globales	-1.000	-0.000	-0.000
N46/N51	V(270°) H1	Uniforme	0.168	-	-	-	Globales	-1.000	-0.000	-0.000
N51/N5	Peso propio	Uniforme	0.083	-	-	-	Globales	0.000	0.000	-1.000
N51/N5	V(0°) H1	Faja	0.395	-	0.000	4.000	Globales	-1.000	-0.000	-0.000
N51/N5	V(0°) H1	Triangular Izq.	0.395	-	4.000	6.000	Globales	-1.000	-0.000	-0.000
N51/N5	V(0°) H2	Faja	0.395	-	0.000	4.000	Globales	-1.000	-0.000	-0.000
N51/N5	V(0°) H2	Triangular Izq.	0.395	-	4.000	6.000	Globales	-1.000	-0.000	-0.000
N51/N5	V(90°) H1	Faja	0.355	-	0.000	4.000	Globales	1.000	0.000	0.000
N51/N5	V(90°) H1	Triangular Izq.	0.355	-	4.000	6.000	Globales	1.000	0.000	0.000
N51/N5	V(180°) H1	Faja	0.395	-	0.000	4.000	Globales	-1.000	-0.000	-0.000
N51/N5	V(180°) H1	Triangular Izq.	0.395	-	4.000	6.000	Globales	-1.000	-0.000	-0.000
N51/N5	V(180°) H2	Faja	0.395	-	0.000	4.000	Globales	-1.000	-0.000	-0.000
N51/N5	V(180°) H2	Triangular Izq.	0.395	-	4.000	6.000	Globales	-1.000	-0.000	-0.000
N51/N5	V(270°) H1	Faja	0.168	-	0.000	4.000	Globales	-1.000	-0.000	-0.000
N51/N5	V(270°) H1	Triangular Izq.	0.168	-	4.000	6.000	Globales	-1.000	-0.000	-0.000
N47/N52	Peso propio	Uniforme	0.083	-	-	-	Globales	0.000	0.000	-1.000
N47/N52	V(0°) H1	Uniforme	0.189	-	-	-	Globales	-1.000	-0.000	-0.000
N47/N52	V(0°) H1	Uniforme	0.268	-	-	-	Globales	-1.000	-0.000	-0.000
N47/N52	V(0°) H2	Uniforme	0.189	-	-	-	Globales	-1.000	-0.000	-0.000
N47/N52	V(0°) H2	Uniforme	0.268	-	-	-	Globales	-1.000	-0.000	-0.000
N47/N52	V(90°) H1	Uniforme	0.355	-	-	-	Globales	1.000	0.000	0.000
N47/N52	V(180°) H1	Uniforme	0.395	-	-	-	Globales	-1.000	-0.000	-0.000

Cargas en barras										
Barra	Hipótesis	Tipo	Valores		Posición		Dirección			
			P1	P2	L1 (m)	L2 (m)	Ejes	X	Y	Z
N47/N52	V(180°) H2	Uniforme	0.395	-	-	-	Globales	-1.000	-0.000	-0.000
N47/N52	V(270°) H1	Uniforme	0.168	-	-	-	Globales	-1.000	-0.000	-0.000
N52/N48	Peso propio	Uniforme	0.083	-	-	-	Globales	0.000	0.000	-1.000
N52/N48	V(0°) H1	Faja	0.189	-	0.000	2.000	Globales	-1.000	-0.000	-0.000
N52/N48	V(0°) H1	Faja	0.181	-	2.000	2.123	Globales	-1.000	-0.000	-0.000
N52/N48	V(0°) H1	Faja	0.155	-	2.123	2.369	Globales	-1.000	-0.000	-0.000
N52/N48	V(0°) H1	Faja	0.120	-	2.369	2.615	Globales	-1.000	-0.000	-0.000
N52/N48	V(0°) H1	Faja	0.087	-	2.615	2.862	Globales	-1.000	-0.000	-0.000
N52/N48	V(0°) H1	Faja	0.055	-	2.862	3.108	Globales	-1.000	-0.000	-0.000
N52/N48	V(0°) H1	Faja	0.026	-	3.108	3.354	Globales	-1.000	-0.000	-0.000
N52/N48	V(0°) H1	Faja	0.004	-	3.354	3.600	Globales	-1.000	-0.000	-0.000
N52/N48	V(0°) H1	Faja	0.268	-	0.000	2.000	Globales	-1.000	-0.000	-0.000
N52/N48	V(0°) H1	Faja	0.268	-	2.000	2.250	Globales	-1.000	-0.000	-0.000
N52/N48	V(0°) H1	Faja	0.266	-	2.250	2.500	Globales	-1.000	-0.000	-0.000
N52/N48	V(0°) H1	Faja	0.265	-	2.500	2.750	Globales	-1.000	-0.000	-0.000
N52/N48	V(0°) H1	Faja	0.262	-	2.750	3.000	Globales	-1.000	-0.000	-0.000
N52/N48	V(0°) H1	Faja	0.258	-	3.000	3.250	Globales	-1.000	-0.000	-0.000
N52/N48	V(0°) H1	Faja	0.251	-	3.250	3.500	Globales	-1.000	-0.000	-0.000
N52/N48	V(0°) H1	Faja	0.241	-	3.500	3.600	Globales	-1.000	-0.000	-0.000
N52/N48	V(0°) H1	Trapecial	0.237	0.197	3.600	4.000	Globales	-1.000	-0.000	-0.000
N52/N48	V(0°) H2	Faja	0.189	-	0.000	2.000	Globales	-1.000	-0.000	-0.000
N52/N48	V(0°) H2	Faja	0.181	-	2.000	2.123	Globales	-1.000	-0.000	-0.000

Cargas en barras										
Barra	Hipótesis	Tipo	Valores		Posición		Dirección			
			P1	P2	L1 (m)	L2 (m)	Ejes	X	Y	Z
N52/N48	V(0°) H2	Faja	0.155	-	2.123	2.369	Globales	-1.000	-0.000	-0.000
N52/N48	V(0°) H2	Faja	0.120	-	2.369	2.615	Globales	-1.000	-0.000	-0.000
N52/N48	V(0°) H2	Faja	0.087	-	2.615	2.862	Globales	-1.000	-0.000	-0.000
N52/N48	V(0°) H2	Faja	0.055	-	2.862	3.108	Globales	-1.000	-0.000	-0.000
N52/N48	V(0°) H2	Faja	0.026	-	3.108	3.354	Globales	-1.000	-0.000	-0.000
N52/N48	V(0°) H2	Faja	0.004	-	3.354	3.600	Globales	-1.000	-0.000	-0.000
N52/N48	V(0°) H2	Faja	0.268	-	0.000	2.000	Globales	-1.000	-0.000	-0.000
N52/N48	V(0°) H2	Faja	0.268	-	2.000	2.250	Globales	-1.000	-0.000	-0.000
N52/N48	V(0°) H2	Faja	0.266	-	2.250	2.500	Globales	-1.000	-0.000	-0.000
N52/N48	V(0°) H2	Faja	0.265	-	2.500	2.750	Globales	-1.000	-0.000	-0.000
N52/N48	V(0°) H2	Faja	0.262	-	2.750	3.000	Globales	-1.000	-0.000	-0.000
N52/N48	V(0°) H2	Faja	0.258	-	3.000	3.250	Globales	-1.000	-0.000	-0.000
N52/N48	V(0°) H2	Faja	0.251	-	3.250	3.500	Globales	-1.000	-0.000	-0.000
N52/N48	V(0°) H2	Faja	0.241	-	3.500	3.600	Globales	-1.000	-0.000	-0.000
N52/N48	V(0°) H2	Trapecial	0.237	0.197	3.600	4.000	Globales	-1.000	-0.000	-0.000
N52/N48	V(90°) H1	Faja	0.355	-	0.000	2.000	Globales	1.000	0.000	0.000
N52/N48	V(90°) H1	Trapecial	0.355	0.178	2.000	4.000	Globales	1.000	0.000	0.000
N52/N48	V(180°) H1	Faja	0.395	-	0.000	2.000	Globales	-1.000	-0.000	-0.000
N52/N48	V(180°) H1	Trapecial	0.395	0.197	2.000	4.000	Globales	-1.000	-0.000	-0.000
N52/N48	V(180°) H2	Faja	0.395	-	0.000	2.000	Globales	-1.000	-0.000	-0.000
N52/N48	V(180°) H2	Trapecial	0.395	0.197	2.000	4.000	Globales	-1.000	-0.000	-0.000
N52/N48	V(270°) H1	Faja	0.168	-	0.000	2.000	Globales	-1.000	-0.000	-0.000

Cargas en barras										
Barra	Hipótesis	Tipo	Valores		Posición		Dirección			
			P1	P2	L1 (m)	L2 (m)	Ejes	X	Y	Z
N52/N48	V(270°) H1	Trapecial	0.168	0.084	2.000	4.000	Globales	-1.000	-0.000	-0.000
N49/N50	Peso propio	Uniforme	0.016	-	-	-	Globales	0.000	0.000	-1.000
N51/N49	Peso propio	Uniforme	0.016	-	-	-	Globales	0.000	0.000	-1.000
N52/N51	Peso propio	Uniforme	0.016	-	-	-	Globales	0.000	0.000	-1.000
N53/N52	Peso propio	Uniforme	0.016	-	-	-	Globales	0.000	0.000	-1.000
N54/N55	Peso propio	Uniforme	0.016	-	-	-	Globales	0.000	0.000	-1.000
N56/N54	Peso propio	Uniforme	0.016	-	-	-	Globales	0.000	0.000	-1.000
N57/N56	Peso propio	Uniforme	0.016	-	-	-	Globales	0.000	0.000	-1.000
N58/N57	Peso propio	Uniforme	0.016	-	-	-	Globales	0.000	0.000	-1.000
N59/N57	Peso propio	Uniforme	0.034	-	-	-	Globales	0.000	0.000	-1.000
N60/N56	Peso propio	Uniforme	0.034	-	-	-	Globales	0.000	0.000	-1.000
N61/N54	Peso propio	Uniforme	0.034	-	-	-	Globales	0.000	0.000	-1.000
N50/N55	Peso propio	Uniforme	0.034	-	-	-	Globales	0.000	0.000	-1.000
N50/N55	Q	Uniforme	0.600	-	-	-	Globales	0.000	0.000	-1.000
N49/N54	Peso propio	Uniforme	0.034	-	-	-	Globales	0.000	0.000	-1.000
N49/N54	Q	Uniforme	1.200	-	-	-	Globales	0.000	0.000	-1.000
N51/N56	Peso propio	Uniforme	0.034	-	-	-	Globales	0.000	0.000	-1.000
N51/N56	Q	Uniforme	1.200	-	-	-	Globales	0.000	0.000	-1.000
N52/N57	Peso propio	Uniforme	0.034	-	-	-	Globales	0.000	0.000	-1.000
N52/N57	Q	Uniforme	1.200	-	-	-	Globales	0.000	0.000	-1.000
N53/N58	Peso propio	Uniforme	0.034	-	-	-	Globales	0.000	0.000	-1.000
N53/N58	Q	Uniforme	0.600	-	-	-	Globales	0.000	0.000	-1.000

Cargas en barras										
Barra	Hipótesis	Tipo	Valores		Posición		Dirección			
			P1	P2	L1 (m)	L2 (m)	Ejes	X	Y	Z
N2/N7	Peso propio	Uniforme	0.027	-	-	-	Globales	0.000	0.000	-1.000
N7/N12	Peso propio	Uniforme	0.027	-	-	-	Globales	0.000	0.000	-1.000
N12/N17	Peso propio	Uniforme	0.027	-	-	-	Globales	0.000	0.000	-1.000
N17/N22	Peso propio	Uniforme	0.027	-	-	-	Globales	0.000	0.000	-1.000
N22/N27	Peso propio	Uniforme	0.027	-	-	-	Globales	0.000	0.000	-1.000
N27/N32	Peso propio	Uniforme	0.027	-	-	-	Globales	0.000	0.000	-1.000
N62/N40	Peso propio	Uniforme	0.027	-	-	-	Globales	0.000	0.000	-1.000
N30/N35	Peso propio	Uniforme	0.027	-	-	-	Globales	0.000	0.000	-1.000
N29/N34	Peso propio	Uniforme	0.027	-	-	-	Globales	0.000	0.000	-1.000
N24/N29	Peso propio	Uniforme	0.027	-	-	-	Globales	0.000	0.000	-1.000
N19/N24	Peso propio	Uniforme	0.027	-	-	-	Globales	0.000	0.000	-1.000
N14/N19	Peso propio	Uniforme	0.027	-	-	-	Globales	0.000	0.000	-1.000
N9/N14	Peso propio	Uniforme	0.027	-	-	-	Globales	0.000	0.000	-1.000
N4/N9	Peso propio	Uniforme	0.027	-	-	-	Globales	0.000	0.000	-1.000
N63/N37	Peso propio	Uniforme	0.027	-	-	-	Globales	0.000	0.000	-1.000
N48/N64	Peso propio	Uniforme	0.027	-	-	-	Globales	0.000	0.000	-1.000
N5/N10	Peso propio	Uniforme	0.027	-	-	-	Globales	0.000	0.000	-1.000
N10/N15	Peso propio	Uniforme	0.027	-	-	-	Globales	0.000	0.000	-1.000
N15/N20	Peso propio	Uniforme	0.027	-	-	-	Globales	0.000	0.000	-1.000
N20/N25	Peso propio	Uniforme	0.027	-	-	-	Globales	0.000	0.000	-1.000
N25/N30	Peso propio	Uniforme	0.027	-	-	-	Globales	0.000	0.000	-1.000
N45/N65	Peso propio	Uniforme	0.027	-	-	-	Globales	0.000	0.000	-1.000

6 REACCIONES EN NUDOS

Referencias:

- Rx, Ry, Rz: Reacciones en nudos con desplazamientos coaccionados (fuerzas).
- Mx, My, Mz: Reacciones en nudos con giros coaccionados (momentos).

Reacciones en los nudos, por hipótesis							
Referencia	Descripción	Reacciones en ejes globales					
		Rx (t)	Ry (t)	Rz (t)	Mx (t·m)	My (t·m)	Mz (t·m)
N1	Peso propio	0.005	-0.005	1.629	-0.007	0.016	0.000
	Q	-0.107	-0.009	1.618	0.005	0.105	0.000
	V(0°) H1	0.999	-1.183	-1.169	3.343	1.178	0.000
	V(0°) H2	1.001	-1.301	-0.558	3.852	1.186	0.000
	V(90°) H1	-2.640	0.867	-4.004	-1.005	-1.408	0.000
	V(180°) H1	0.671	0.925	0.337	-3.027	0.784	0.000
	V(180°) H2	0.671	1.032	0.943	-3.537	0.789	0.000
	V(270°) H1	0.461	0.350	2.389	-0.398	1.018	0.000
	N(EI)	0.000	-0.005	0.224	0.004	0.003	0.000
	N(R) 1	0.000	0.029	0.185	-0.142	0.002	0.000
	N(R) 2	0.001	-0.036	0.151	0.148	0.003	0.000
N3	Peso propio	0.006	0.005	1.637	0.005	0.018	0.000
	Q	-0.102	0.009	1.625	-0.007	0.107	0.000
	V(0°) H1	0.671	-0.926	0.330	3.029	0.783	0.000
	V(0°) H2	0.671	-1.032	0.944	3.537	0.790	0.000
	V(90°) H1	-2.644	-0.867	-4.010	1.006	-1.410	0.000
	V(180°) H1	0.999	1.182	-1.175	-3.342	1.176	0.000
	V(180°) H2	1.001	1.302	-0.556	-3.852	1.187	0.000

Reacciones en los nudos, por hipótesis							
Referencia	Descripción	Reacciones en ejes globales					
		Rx (t)	Ry (t)	Rz (t)	Mx (t·m)	My (t·m)	Mz (t·m)
	V(270°) H1	0.460	-0.350	2.382	0.400	1.016	0.000
	N(EI)	0.001	0.005	0.228	-0.004	0.004	0.000
	N(R) 1	0.001	0.036	0.154	-0.148	0.004	0.000
	N(R) 2	0.000	-0.028	0.188	0.141	0.003	0.000
N6	Peso propio	0.032	-0.021	2.721	-0.032	0.007	0.000
	Q	-0.109	-0.057	3.615	0.026	-0.256	0.000
	V(0°) H1	0.352	-1.647	-1.464	3.841	0.213	0.000
	V(0°) H2	0.390	-1.636	0.897	3.966	0.228	0.000
	V(90°) H1	-0.222	1.245	0.721	-1.303	-0.818	0.000
	V(180°) H1	0.213	1.098	-1.336	-3.079	0.138	0.000
	V(180°) H2	0.245	1.091	0.177	-3.355	0.151	0.000
	V(270°) H1	1.901	1.071	-5.380	-1.285	0.724	0.000
	N(EI)	0.017	-0.008	0.792	-0.019	0.007	0.000
	N(R) 1	0.012	-0.052	0.407	0.041	0.005	0.000
	N(R) 2	0.014	0.041	0.781	-0.070	0.005	0.000
N8	Peso propio	0.037	0.021	2.713	0.032	0.009	0.000
	Q	-0.109	0.057	3.607	-0.026	-0.254	0.000
	V(0°) H1	0.209	-1.096	-1.323	3.075	0.136	0.000
	V(0°) H2	0.246	-1.089	0.182	3.351	0.152	0.000
	V(90°) H1	-0.223	-1.245	0.727	1.303	-0.819	0.000
	V(180°) H1	0.348	1.645	-1.465	-3.838	0.212	0.000
	V(180°) H2	0.391	1.634	0.889	-3.963	0.228	0.000

Reacciones en los nudos, por hipótesis							
Referencia	Descripción	Reacciones en ejes globales					
		Rx (t)	Ry (t)	Rz (t)	Mx (t·m)	My (t·m)	Mz (t·m)
	V(270°) H1	1.896	-1.071	-5.372	1.285	0.722	0.000
	N(EI)	0.020	0.008	0.789	0.019	0.008	0.000
	N(R) 1	0.016	-0.041	0.779	0.070	0.006	0.000
	N(R) 2	0.014	0.052	0.404	-0.041	0.006	0.000
N11	Peso propio	-0.010	1.431	3.333	-4.797	-0.027	0.000
	Q	-0.026	1.391	2.399	-4.644	-0.097	0.000
	V(0°) H1	0.015	-3.325	-2.173	10.205	0.046	0.000
	V(0°) H2	0.007	-2.024	0.823	6.308	0.026	-0.001
	V(90°) H1	-0.111	0.350	-2.908	1.423	-0.552	0.001
	V(180°) H1	-0.001	0.309	-1.820	-1.385	0.001	0.001
	V(180°) H2	-0.011	1.783	0.438	-6.691	-0.027	0.001
	V(270°) H1	0.121	0.552	-2.420	0.760	0.576	0.000
	N(EI)	-0.005	0.671	1.154	-2.239	-0.012	0.000
	N(R) 1	-0.004	0.494	0.693	-1.830	-0.010	0.000
	N(R) 2	-0.003	0.512	1.038	-1.530	-0.007	0.000
N13	Peso propio	-0.010	-1.427	3.330	4.778	-0.025	0.000
	Q	-0.025	-1.387	2.396	4.625	-0.095	0.000
	V(0°) H1	-0.001	-0.314	-1.816	1.406	0.000	-0.001
	V(0°) H2	-0.011	-1.784	0.440	6.693	-0.027	-0.001
	V(90°) H1	-0.112	-0.353	-2.906	-1.408	-0.554	-0.001
	V(180°) H1	0.014	3.324	-2.172	-10.196	0.044	0.000
	V(180°) H2	0.007	2.026	0.820	-6.317	0.026	0.001

Reacciones en los nudos, por hipótesis							
Referencia	Descripción	Reacciones en ejes globales					
		Rx (t)	Ry (t)	Rz (t)	Mx (t·m)	My (t·m)	Mz (t·m)
	V(270°) H1	0.121	-0.556	-2.417	-0.742	0.574	0.000
	N(EI)	-0.004	-0.669	1.153	2.230	-0.011	0.000
	N(R) 1	-0.003	-0.511	1.037	1.524	-0.006	0.000
	N(R) 2	-0.004	-0.492	0.692	1.822	-0.010	0.000
N16	Peso propio	-0.006	1.672	3.564	-5.680	-0.018	0.000
	Q	-0.019	1.615	2.602	-5.466	-0.082	0.000
	V(0°) H1	0.007	-3.602	-2.402	11.344	0.025	0.000
	V(0°) H2	0.002	-2.090	0.806	6.702	0.010	0.000
	V(90°) H1	-0.117	0.418	-2.590	1.272	-0.565	0.000
	V(180°) H1	0.004	0.206	-1.991	-1.131	0.010	0.000
	V(180°) H2	-0.002	1.924	0.490	-7.360	-0.006	0.000
	V(270°) H1	0.124	0.410	-2.599	1.304	0.587	0.000
	N(EI)	-0.002	0.783	1.262	-2.649	-0.008	0.000
	N(R) 1	-0.002	0.584	0.774	-2.170	-0.006	0.000
	N(R) 2	-0.002	0.590	1.118	-1.804	-0.006	0.000
N18	Peso propio	-0.003	-1.638	3.553	5.502	-0.009	0.000
	Q	-0.016	-1.582	2.591	5.293	-0.073	0.000
	V(0°) H1	0.002	-0.222	-1.993	1.236	0.005	0.000
	V(0°) H2	0.000	-1.907	0.478	7.289	-0.003	0.000
	V(90°) H1	-0.120	-0.444	-2.582	-1.135	-0.572	-0.001
	V(180°) H1	0.004	3.564	-2.383	-11.165	0.016	0.000
	V(180°) H2	0.002	2.085	0.815	-6.695	0.010	0.000

Reacciones en los nudos, por hipótesis							
Referencia	Descripción	Reacciones en ejes globales					
		Rx (t)	Ry (t)	Rz (t)	Mx (t·m)	My (t·m)	Mz (t·m)
	V(270°) H1	0.122	-0.441	-2.589	-1.142	0.579	0.000
	N(EI)	-0.001	-0.767	1.257	2.565	-0.003	0.000
	N(R) 1	-0.001	-0.577	1.113	1.737	-0.003	0.000
	N(R) 2	-0.001	-0.573	0.772	2.111	-0.003	0.000
N21	Peso propio	0.001	1.398	3.301	-5.139	-0.003	0.000
	Q	-0.012	1.344	2.343	-4.921	-0.067	0.000
	V(0°) H1	-0.009	-3.297	-2.168	10.596	-0.021	0.001
	V(0°) H2	-0.009	-2.029	0.798	6.379	-0.025	0.001
	V(90°) H1	-0.118	0.581	-2.401	1.007	-0.565	0.001
	V(180°) H1	0.001	0.323	-1.838	-1.200	0.000	0.000
	V(180°) H2	0.003	1.767	0.390	-6.852	0.001	-0.001
	V(270°) H1	0.119	0.412	-2.830	1.616	0.577	0.000
	N(EI)	0.001	0.655	1.139	-2.399	-0.001	0.000
	N(R) 1	0.001	0.485	0.684	-1.948	0.001	0.000
	N(R) 2	0.000	0.497	1.025	-1.651	-0.002	0.000
N23	Peso propio	0.001	-1.480	3.389	4.872	-0.002	0.000
	Q	-0.012	-1.424	2.428	4.663	-0.066	0.000
	V(0°) H1	0.001	-0.279	-1.889	1.402	0.000	0.000
	V(0°) H2	0.003	-1.803	0.425	6.794	0.002	0.001
	V(90°) H1	-0.118	-0.518	-2.469	-0.802	-0.566	-0.001
	V(180°) H1	-0.010	3.384	-2.256	-10.375	-0.022	-0.001
	V(180°) H2	-0.009	2.036	0.795	-6.417	-0.025	-0.001

Reacciones en los nudos, por hipótesis							
Referencia	Descripción	Reacciones en ejes globales					
		Rx (t)	Ry (t)	Rz (t)	Mx (t·m)	My (t·m)	Mz (t·m)
	V(270°) H1	0.119	-0.338	-2.909	-1.376	0.576	0.000
	N(EI)	0.001	-0.694	1.181	2.274	0.000	0.000
	N(R) 1	0.000	-0.529	1.058	1.556	-0.001	0.000
	N(R) 2	0.001	-0.512	0.713	1.855	0.001	0.000
N26	Peso propio	-0.052	0.680	2.390	-2.134	-0.004	-0.001
	Q	-0.207	0.616	1.177	-1.902	-0.072	-0.001
	V(0°) H1	0.012	-2.338	-1.137	6.097	0.049	0.002
	V(0°) H2	-0.025	-1.649	1.072	4.224	0.041	0.001
	V(90°) H1	-1.336	0.327	-4.059	0.815	-0.553	0.001
	V(180°) H1	0.006	0.583	-1.256	-1.712	0.049	0.001
	V(180°) H2	-0.041	1.276	0.061	-4.112	0.047	0.000
	V(270°) H1	0.106	1.308	-0.427	-1.335	0.544	0.000
	N(EI)	-0.023	0.320	0.709	-1.000	-0.002	0.000
	N(R) 1	-0.016	0.195	0.339	-0.702	0.000	0.000
	N(R) 2	-0.018	0.286	0.724	-0.797	-0.003	0.000
N28	Peso propio	-0.051	-0.666	2.399	2.058	-0.010	0.001
	Q	-0.206	-0.601	1.185	1.829	-0.077	0.001
	V(0°) H1	0.005	-0.590	-1.266	1.755	0.052	-0.001
	V(0°) H2	-0.040	-1.269	0.059	4.081	0.045	0.000
	V(90°) H1	-1.337	-0.338	-4.066	-0.756	-0.549	-0.001
	V(180°) H1	0.013	2.322	-1.141	-6.020	0.054	-0.001
	V(180°) H2	-0.025	1.647	1.076	-4.221	0.041	-0.001

Reacciones en los nudos, por hipótesis							
Referencia	Descripción	Reacciones en ejes globales					
		Rx (t)	Ry (t)	Rz (t)	Mx (t·m)	My (t·m)	Mz (t·m)
	V(270°) H1	0.108	-1.321	-0.435	1.404	0.549	0.000
	N(EI)	-0.022	-0.313	0.713	0.964	-0.005	0.000
	N(R) 1	-0.017	-0.280	0.727	0.768	-0.005	0.000
	N(R) 2	-0.016	-0.190	0.343	0.678	-0.002	0.000
N31	Peso propio	-0.013	0.068	1.406	-0.210	-0.045	0.000
	Q	-0.014	0.066	0.704	-0.205	-0.077	0.000
	V(0°) H1	-1.382	-1.410	-1.089	4.146	-2.151	0.002
	V(0°) H2	-1.394	-1.485	-0.547	4.565	-2.169	0.001
	V(90°) H1	-0.489	0.390	1.454	-0.479	-1.104	0.001
	V(180°) H1	-0.943	0.998	0.365	-3.415	-1.466	0.001
	V(180°) H2	-0.947	1.187	0.888	-4.187	-1.486	0.001
	V(270°) H1	2.259	0.961	-3.367	-1.225	1.832	-0.001
	N(EI)	-0.002	0.023	0.192	-0.075	-0.009	0.000
	N(R) 1	-0.001	0.054	0.156	-0.222	-0.007	0.000
	N(R) 2	-0.001	-0.020	0.132	0.110	-0.006	0.000
N33	Peso propio	-0.012	-0.047	1.373	0.121	-0.042	0.000
	Q	-0.014	-0.047	0.672	0.119	-0.074	0.000
	V(0°) H1	-0.943	-1.015	0.390	3.485	-1.468	-0.001
	V(0°) H2	-0.946	-1.183	0.881	4.171	-1.485	-0.001
	V(90°) H1	-0.490	-0.406	1.479	0.547	-1.106	-0.001
	V(180°) H1	-1.384	1.394	-1.062	-4.075	-2.154	-0.002
	V(180°) H2	-1.394	1.489	-0.552	-4.581	-2.169	-0.001

Reacciones en los nudos, por hipótesis							
Referencia	Descripción	Reacciones en ejes globales					
		Rx (t)	Ry (t)	Rz (t)	Mx (t·m)	My (t·m)	Mz (t·m)
	V(270°) H1	2.254	-0.980	-3.337	1.305	1.829	0.001
	N(EI)	-0.001	-0.013	0.176	0.033	-0.008	0.000
	N(R) 1	-0.001	0.027	0.120	-0.141	-0.005	0.000
	N(R) 2	-0.001	-0.047	0.145	0.191	-0.006	0.000
N36	Peso propio	-0.027	-0.004	2.003	0.004	-0.006	0.000
	Q	-0.027	-0.199	3.076	0.392	-0.082	0.000
	V(0°) H1	-2.379	-0.169	-1.047	0.710	-4.749	-0.002
	V(0°) H2	-2.386	-0.200	-0.453	0.846	-4.694	-0.002
	V(90°) H1	-1.099	-0.002	-0.614	0.009	-2.831	-0.001
	V(180°) H1	-2.788	0.165	-0.317	-0.693	-5.579	-0.002
	V(180°) H2	-2.810	0.204	0.627	-0.855	-5.574	-0.002
	V(270°) H1	2.276	-0.007	-1.320	0.018	5.121	0.002
	N(EI)	-0.007	0.002	0.355	-0.007	0.015	0.000
	N(R) 1	-0.011	0.012	0.382	-0.047	-0.007	0.000
	N(R) 2	0.000	-0.008	0.151	0.036	0.029	0.000
N38	Peso propio	-0.010	0.004	4.432	-0.013	0.086	0.000
	Q	-0.011	0.004	6.934	-0.012	0.008	0.000
	V(0°) H1	-2.774	-0.253	-2.158	0.878	-6.457	0.000
	V(0°) H2	-2.778	-0.306	0.337	1.056	-6.347	0.000
	V(90°) H1	-1.234	-0.003	-0.822	0.010	-3.450	0.000
	V(180°) H1	-2.773	0.247	-2.148	-0.858	-6.451	0.000
	V(180°) H2	-2.777	0.307	0.347	-1.061	-6.340	0.000

Reacciones en los nudos, por hipótesis							
Referencia	Descripción	Reacciones en ejes globales					
		Rx (t)	Ry (t)	Rz (t)	Mx (t·m)	My (t·m)	Mz (t·m)
	V(270°) H1	2.560	-0.003	-2.834	0.012	6.364	0.000
	N(EI)	-0.002	0.002	1.274	-0.006	0.052	0.000
	N(R) 1	-0.001	0.016	0.955	-0.055	0.039	0.000
	N(R) 2	-0.001	-0.013	0.956	0.046	0.040	0.000
N39	Peso propio	-0.026	0.009	1.993	-0.024	-0.005	0.000
	Q	-0.026	0.204	3.066	-0.412	-0.081	0.000
	V(0°) H1	-2.788	-0.168	-0.309	0.709	-5.582	0.002
	V(0°) H2	-2.811	-0.203	0.624	0.851	-5.576	0.002
	V(90°) H1	-1.100	-0.001	-0.606	0.007	-2.832	0.001
	V(180°) H1	-2.379	0.165	-1.038	-0.693	-4.747	0.002
	V(180°) H2	-2.386	0.201	-0.454	-0.850	-4.692	0.002
	V(270°) H1	2.275	0.002	-1.310	0.000	5.120	-0.002
	N(EI)	-0.007	0.000	0.350	-0.002	0.015	0.000
	N(R) 1	0.000	0.010	0.147	-0.043	0.029	0.000
	N(R) 2	-0.011	-0.010	0.378	0.040	-0.006	0.000
N44	Peso propio	0.055	0.000	2.008	0.002	0.230	0.000
	Q	0.528	0.000	4.205	0.001	1.142	0.000
	V(0°) H1	2.337	-0.243	-1.152	0.865	4.474	0.000
	V(0°) H2	2.359	-0.287	-0.661	1.030	4.615	0.000
	V(90°) H1	-2.281	-0.006	-1.554	0.015	-5.166	0.000
	V(180°) H1	2.738	0.246	0.022	-0.874	5.290	0.000
	V(180°) H2	2.775	0.289	0.932	-1.035	5.477	0.000

Reacciones en los nudos, por hipótesis							
Referencia	Descripción	Reacciones en ejes globales					
		Rx (t)	Ry (t)	Rz (t)	Mx (t·m)	My (t·m)	Mz (t·m)
	V(270°) H1	1.106	0.000	-0.519	0.001	2.731	0.000
	N(EI)	0.014	0.000	0.324	0.000	0.077	0.000
	N(R) 1	0.015	0.013	0.370	-0.047	0.075	0.000
	N(R) 2	0.005	-0.013	0.117	0.047	0.042	0.000
N46	Peso propio	0.021	0.000	4.107	0.000	0.140	0.000
	Q	0.438	0.000	5.636	0.000	0.823	0.000
	V(0°) H1	2.752	-0.257	-1.812	0.894	6.133	0.000
	V(0°) H2	2.755	-0.308	0.402	1.072	6.226	0.000
	V(90°) H1	-2.556	0.000	-3.761	0.000	-6.349	0.000
	V(180°) H1	2.752	0.257	-1.798	-0.894	6.136	0.000
	V(180°) H2	2.755	0.308	0.416	-1.072	6.229	0.000
	V(270°) H1	1.240	0.000	-0.008	0.000	3.288	0.000
	N(EI)	0.001	0.000	1.144	0.000	0.044	0.000
	N(R) 1	0.001	0.014	0.857	-0.049	0.033	0.000
	N(R) 2	0.001	-0.014	0.859	0.049	0.033	0.000
N47	Peso propio	0.055	0.000	2.007	-0.003	0.229	0.000
	Q	0.528	0.000	4.204	-0.002	1.141	0.000
	V(0°) H1	2.738	-0.246	0.022	0.875	5.288	0.000
	V(0°) H2	2.774	-0.289	0.931	1.035	5.474	0.000
	V(90°) H1	-2.281	0.006	-1.553	-0.015	-5.166	0.000
	V(180°) H1	2.338	0.243	-1.151	-0.865	4.477	0.000
	V(180°) H2	2.360	0.287	-0.661	-1.030	4.617	0.000

Reacciones en los nudos, por hipótesis							
Referencia	Descripción	Reacciones en ejes globales					
		Rx (t)	Ry (t)	Rz (t)	Mx (t·m)	My (t·m)	Mz (t·m)
	V(270°) H1	1.106	0.000	-0.519	-0.001	2.732	0.000
	N(EI)	0.014	0.000	0.324	0.000	0.077	0.000
	N(R) 1	0.005	0.013	0.116	-0.047	0.041	0.000
	N(R) 2	0.015	-0.013	0.370	0.047	0.075	0.000
N59	Peso propio	0.002	0.004	0.345	-0.011	0.011	0.000
	Q	-0.149	0.005	2.418	-0.015	-0.292	0.000
	V(0°) H1	0.050	-0.115	-0.006	0.376	0.160	0.000
	V(0°) H2	0.056	-0.131	-0.013	0.426	0.179	0.000
	V(90°) H1	-0.082	0.001	0.125	-0.003	-0.249	0.000
	V(180°) H1	0.041	0.111	-0.042	-0.362	0.133	0.000
	V(180°) H2	0.047	0.133	-0.069	-0.431	0.149	0.000
	V(270°) H1	0.053	-0.010	-0.066	0.024	0.157	0.000
	N(EI)	0.003	0.002	-0.009	-0.005	0.008	0.000
	N(R) 1	0.002	0.005	-0.011	-0.015	0.005	0.000
	N(R) 2	0.002	-0.002	-0.002	0.007	0.007	0.000
N60	Peso propio	0.001	0.000	0.352	0.000	0.007	0.000
	Q	-0.156	0.000	2.441	0.000	-0.314	0.000
	V(0°) H1	0.085	-0.106	-0.105	0.355	0.263	0.000
	V(0°) H2	0.091	-0.122	-0.118	0.408	0.278	0.000
	V(90°) H1	-0.117	0.000	0.192	0.000	-0.349	0.000
	V(180°) H1	0.086	0.106	-0.105	-0.355	0.263	0.000
	V(180°) H2	0.091	0.122	-0.119	-0.408	0.278	0.000

Reacciones en los nudos, por hipótesis							
Referencia	Descripción	Reacciones en ejes globales					
		Rx (t)	Ry (t)	Rz (t)	Mx (t·m)	My (t·m)	Mz (t·m)
	V(270°) H1	0.069	0.000	-0.129	0.000	0.203	0.000
	N(EI)	0.002	0.000	-0.006	0.000	0.007	0.000
	N(R) 1	0.002	0.002	-0.005	-0.008	0.005	0.000
	N(R) 2	0.002	-0.002	-0.005	0.008	0.005	0.000
N61	Peso propio	0.002	-0.004	0.345	0.011	0.011	0.000
	Q	-0.149	-0.005	2.418	0.015	-0.292	0.000
	V(0°) H1	0.041	-0.111	-0.042	0.362	0.133	0.000
	V(0°) H2	0.046	-0.133	-0.069	0.431	0.149	0.000
	V(90°) H1	-0.082	-0.001	0.125	0.003	-0.249	0.000
	V(180°) H1	0.050	0.115	-0.006	-0.376	0.161	0.000
	V(180°) H2	0.056	0.131	-0.013	-0.426	0.179	0.000
	V(270°) H1	0.053	0.010	-0.066	-0.024	0.157	0.000
	N(EI)	0.003	-0.002	-0.009	0.005	0.008	0.000
	N(R) 1	0.002	0.002	-0.002	-0.007	0.007	0.000
	N(R) 2	0.002	-0.005	-0.011	0.015	0.005	0.000

6.1 COMBINACIONES

Reacciones en los nudos, por combinación								
Referencia	Combinación		Reacciones en ejes globales					
	Tipo	Descripción	Rx (t)	Ry (t)	Rz (t)	Mx (t·m)	My (t·m)	Mz (t·m)
N1	Hormigón en cimentaciones	PP	0.005	-0.005	1.629	-0.007	0.016	0.000

Reacciones en los nudos, por combinación								
Referencia	Combinación		Reacciones en ejes globales					
	Tipo	Descripción	Rx (t)	Ry (t)	Rz (t)	Mx (t·m)	My (t·m)	Mz (t·m)
		1.6·PP	0.009	-0.008	2.606	-0.011	0.026	0.000
		PP+1.6·V(0°)H1	1.605	-1.897	-0.242	5.342	1.901	0.000
		1.6·PP+1.6·V(0°)H1	1.608	-1.900	0.735	5.338	1.911	0.000
		PP+1.6·V(0°)H2	1.607	-2.087	0.736	6.156	1.914	0.000
		1.6·PP+1.6·V(0°)H2	1.610	-2.090	1.714	6.152	1.924	0.000
		PP+1.6·V(90°)H1	-4.187	1.382	-4.778	-1.614	-2.237	0.000
		1.6·PP+1.6·V(90°)H1	-4.165	1.379	-3.801	-1.619	-2.227	0.000
		PP+1.6·V(180°)H1	1.079	1.475	2.168	-4.850	1.271	0.000
		1.6·PP+1.6·V(180°)H1	1.082	1.473	3.145	-4.854	1.281	0.000
		PP+1.6·V(180°)H2	1.079	1.646	3.137	-5.667	1.279	-0.001
		1.6·PP+1.6·V(180°)H2	1.083	1.644	4.115	-5.671	1.289	-0.001
		PP+1.6·V(270°)H1	0.742	0.555	5.451	-0.644	1.645	0.000
		1.6·PP+1.6·V(270°)H1	0.746	0.552	6.428	-0.648	1.655	0.000
		PP+1.6·N(EI)	0.006	-0.012	1.987	-0.001	0.022	0.000
		1.6·PP+1.6·N(EI)	0.009	-0.015	2.964	-0.005	0.031	0.000
		PP+0.96·V(0°)H1+1.6·N(EI)	0.966	-1.147	0.865	3.208	1.153	0.000

Reacciones en los nudos, por combinación								
Referencia	Combinación		Reacciones en ejes globales					
	Tipo	Descripción	Rx (t)	Ry (t)	Rz (t)	Mx (t·m)	My (t·m)	Mz (t·m)
		1.6·PP+0.96·V(0°)H1+1.6·N(EI)	0.969	-1.150	1.842	3.204	1.162	0.000
		PP+0.96·V(0°)H2+1.6·N(EI)	0.967	-1.262	1.452	3.697	1.160	0.000
		1.6·PP+0.96·V(0°)H2+1.6·N(EI)	0.970	-1.264	2.429	3.692	1.170	0.000
		PP+0.96·V(90°)H1+1.6·N(EI)	-2.473	0.820	-1.857	-0.966	-1.330	0.000
		1.6·PP+0.96·V(90°)H1+1.6·N(EI)	-2.451	0.817	-0.880	-0.970	-1.320	0.000
		PP+0.96·V(180°)H1+1.6·N(EI)	0.650	0.876	2.310	-2.907	0.774	0.000
		1.6·PP+0.96·V(180°)H1+1.6·N(EI)	0.654	0.873	3.288	-2.911	0.784	0.000
		PP+0.96·V(180°)H2+1.6·N(EI)	0.651	0.978	2.892	-3.397	0.779	0.000
		1.6·PP+0.96·V(180°)H2+1.6·N(EI)	0.654	0.976	3.869	-3.401	0.789	0.000
		PP+0.96·V(270°)H1+1.6·N(EI)	0.448	0.324	4.280	-0.384	0.999	0.000
		1.6·PP+0.96·V(270°)H1+1.6·N(EI)	0.452	0.321	5.258	-0.388	1.008	0.000
		PP+1.6·V(0°)H1+0.8·N(EI)	1.605	-1.901	-0.063	5.345	1.904	0.000
		1.6·PP+1.6·V(0°)H1+0.8·N(EI)	1.608	-1.903	0.914	5.341	1.914	0.000
		PP+1.6·V(0°)H2+0.8·N(EI)	1.607	-2.091	0.915	6.159	1.917	0.000
		1.6·PP+1.6·V(0°)H2+0.8·N(EI)	1.611	-2.093	1.893	6.155	1.927	0.000
		PP+1.6·V(90°)H1+0.8·N(EI)	-4.175	1.378	-4.599	-1.612	-2.234	0.000

Reacciones en los nudos, por combinación								
Referencia	Combinación		Reacciones en ejes globales					
	Tipo	Descripción	Rx (t)	Ry (t)	Rz (t)	Mx (t·m)	My (t·m)	Mz (t·m)
		1.6·PP+1.6·V(90°)H1+0.8·N(EI)	-4.153	1.375	-3.622	-1.616	-2.224	0.000
		PP+1.6·V(180°)H1+0.8·N(EI)	1.079	1.472	2.347	-4.847	1.273	0.000
		1.6·PP+1.6·V(180°)H1+0.8·N(EI)	1.083	1.469	3.324	-4.851	1.283	0.000
		PP+1.6·V(180°)H2+0.8·N(EI)	1.080	1.643	3.317	-5.664	1.282	-0.001
		1.6·PP+1.6·V(180°)H2+0.8·N(EI)	1.083	1.640	4.294	-5.668	1.291	-0.001
		PP+1.6·V(270°)H1+0.8·N(EI)	0.743	0.551	5.630	-0.641	1.648	0.000
		1.6·PP+1.6·V(270°)H1+0.8·N(EI)	0.746	0.548	6.607	-0.645	1.657	0.000
		PP+1.6·N(R)1	0.006	0.041	1.925	-0.234	0.019	0.000
		1.6·PP+1.6·N(R)1	0.009	0.038	2.902	-0.238	0.029	0.000
		PP+0.96·V(0°)H1+1.6·N(R)1	0.965	-1.094	0.802	2.975	1.150	0.000
		1.6·PP+0.96·V(0°)H1+1.6·N(R)1	0.968	-1.097	1.779	2.971	1.160	0.000
		PP+0.96·V(0°)H2+1.6·N(R)1	0.966	-1.208	1.389	3.463	1.158	0.000
		1.6·PP+0.96·V(0°)H2+1.6·N(R)1	0.970	-1.211	2.366	3.459	1.168	0.000
		PP+0.96·V(90°)H1+1.6·N(R)1	-2.481	0.873	-1.920	-1.199	-1.332	0.000
		1.6·PP+0.96·V(90°)H1+1.6·N(R)1	-2.459	0.870	-0.942	-1.203	-1.323	0.000
		PP+0.96·V(180°)H1+1.6·N(R)1	0.650	0.929	2.248	-3.140	0.772	0.000
		1.6·PP+0.96·V(180°)H1+1.6·N(R)1	0.653	0.926	3.225	-3.144	0.782	0.000

Reacciones en los nudos, por combinación								
Referencia	Combinación		Reacciones en ejes globales					
	Tipo	Descripción	Rx (t)	Ry (t)	Rz (t)	Mx (t·m)	My (t·m)	Mz (t·m)
		PP+0.96·V(180°)H2+1.6·N(R)1	0.650	1.032	2.830	-3.630	0.777	0.000
		1.6·PP+0.96·V(180°)H2+1.6·N(R)1	0.653	1.029	3.807	-3.634	0.787	0.000
		PP+0.96·V(270°)H1+1.6·N(R)1	0.448	0.377	4.218	-0.617	0.997	0.000
		1.6·PP+0.96·V(270°)H1+1.6·N(R)1	0.451	0.374	5.195	-0.621	1.006	0.000
		PP+1.6·V(0°)H1+0.8·N(R)1	1.605	-1.874	-0.094	5.228	1.903	0.000
		1.6·PP+1.6·V(0°)H1+0.8·N(R)1	1.608	-1.877	0.883	5.224	1.913	0.000
		PP+1.6·V(0°)H2+0.8·N(R)1	1.607	-2.064	0.884	6.042	1.916	0.000
		1.6·PP+1.6·V(0°)H2+0.8·N(R)1	1.610	-2.067	1.862	6.038	1.926	0.000
		PP+1.6·V(90°)H1+0.8·N(R)1	-4.179	1.405	-4.630	-1.728	-2.235	0.000
		1.6·PP+1.6·V(90°)H1+0.8·N(R)1	-4.157	1.402	-3.653	-1.732	-2.225	0.000
		PP+1.6·V(180°)H1+0.8·N(R)1	1.079	1.498	2.315	-4.964	1.272	-0.001
		1.6·PP+1.6·V(180°)H1+0.8·N(R)1	1.082	1.495	3.293	-4.968	1.282	0.000
		PP+1.6·V(180°)H2+0.8·N(R)1	1.080	1.669	3.285	-5.780	1.281	-0.001
		1.6·PP+1.6·V(180°)H2+0.8·N(R)1	1.083	1.666	4.263	-5.785	1.290	-0.001
		PP+1.6·V(270°)H1+0.8·N(R)1	0.742	0.578	5.599	-0.758	1.647	0.000
		1.6·PP+1.6·V(270°)H1+0.8·N(R)1	0.746	0.575	6.576	-0.762	1.656	0.000

Reacciones en los nudos, por combinación								
Referencia	Combinación		Reacciones en ejes globales					
	Tipo	Descripción	Rx (t)	Ry (t)	Rz (t)	Mx (t·m)	My (t·m)	Mz (t·m)
		PP+1.6·N(R)2	0.006	-0.062	1.870	0.229	0.021	0.000
		1.6·PP+1.6·N(R)2	0.010	-0.065	2.848	0.225	0.031	0.000
		PP+0.96·V(0°)H1+1.6·N(R)2	0.966	-1.197	0.748	3.439	1.152	0.000
		1.6·PP+0.96·V(0°)H1+1.6·N(R)2	0.969	-1.200	1.725	3.434	1.162	0.000
		PP+0.96·V(0°)H2+1.6·N(R)2	0.967	-1.311	1.335	3.927	1.160	0.000
		1.6·PP+0.96·V(0°)H2+1.6·N(R)2	0.971	-1.314	2.312	3.923	1.169	0.000
		PP+0.96·V(90°)H1+1.6·N(R)2	-2.478	0.770	-1.974	-0.735	-1.331	0.000
		1.6·PP+0.96·V(90°)H1+1.6·N(R)2	-2.456	0.767	-0.996	-0.740	-1.321	0.000
		PP+0.96·V(180°)H1+1.6·N(R)2	0.651	0.826	2.194	-2.677	0.774	0.000
		1.6·PP+0.96·V(180°)H1+1.6·N(R)2	0.654	0.823	3.171	-2.681	0.783	0.000
		PP+0.96·V(180°)H2+1.6·N(R)2	0.651	0.929	2.776	-3.167	0.779	0.000
		1.6·PP+0.96·V(180°)H2+1.6·N(R)2	0.654	0.926	3.753	-3.171	0.788	0.000
		PP+0.96·V(270°)H1+1.6·N(R)2	0.448	0.274	4.164	-0.153	0.998	0.000
		1.6·PP+0.96·V(270°)H1+1.6·N(R)2	0.452	0.271	5.141	-0.157	1.008	0.000
		PP+1.6·V(0°)H1+0.8·N(R)2	1.605	-1.925	-0.121	5.460	1.904	0.000

Reacciones en los nudos, por combinación								
Referencia	Combinación		Reacciones en ejes globales					
	Tipo	Descripción	Rx (t)	Ry (t)	Rz (t)	Mx (t·m)	My (t·m)	Mz (t·m)
		1.6·PP+1.6·V(0°)H1+0.8·N(R)2	1.608	-1.928	0.856	5.456	1.913	0.000
		PP+1.6·V(0°)H2+0.8·N(R)2	1.607	-2.115	0.857	6.274	1.917	0.000
		1.6·PP+1.6·V(0°)H2+0.8·N(R)2	1.611	-2.118	1.834	6.270	1.926	0.000
		PP+1.6·V(90°)H1+0.8·N(R)2	-4.177	1.353	-4.657	-1.496	-2.234	0.001
		1.6·PP+1.6·V(90°)H1+0.8·N(R)2	-4.155	1.350	-3.680	-1.501	-2.225	0.001
		PP+1.6·V(180°)H1+0.8·N(R)2	1.080	1.447	2.288	-4.732	1.273	0.000
		1.6·PP+1.6·V(180°)H1+0.8·N(R)2	1.083	1.444	3.266	-4.736	1.283	0.000
		PP+1.6·V(180°)H2+0.8·N(R)2	1.080	1.618	3.258	-5.549	1.281	0.000
		1.6·PP+1.6·V(180°)H2+0.8·N(R)2	1.083	1.615	4.235	-5.553	1.291	0.000
		PP+1.6·V(270°)H1+0.8·N(R)2	0.743	0.526	5.572	-0.526	1.647	0.000
		1.6·PP+1.6·V(270°)H1+0.8·N(R)2	0.746	0.524	6.549	-0.530	1.657	0.000
		PP+1.6·Q	-0.135	-0.019	4.217	0.001	0.184	0.000
		1.6·PP+1.6·Q	-0.113	-0.022	5.195	-0.003	0.194	0.000
	Tensiones sobre el terreno	PP	0.005	-0.005	1.629	-0.007	0.016	0.000
		PP+V(0°)H1	1.005	-1.187	0.460	3.336	1.194	0.000
		PP+V(0°)H2	1.006	-1.306	1.071	3.845	1.202	0.000

Reacciones en los nudos, por combinación								
Referencia	Combinación		Reacciones en ejes globales					
	Tipo	Descripción	Rx (t)	Ry (t)	Rz (t)	Mx (t·m)	My (t·m)	Mz (t·m)
		PP+V(90°)H1	-2.603	0.862	-2.376	-1.012	-1.392	0.000
		PP+V(180°)H1	0.676	0.920	1.966	-3.034	0.800	0.000
		PP+V(180°)H2	0.677	1.027	2.572	-3.544	0.805	0.000
		PP+V(270°)H1	0.466	0.345	4.018	-0.405	1.034	0.000
		PP+N(EI)	0.006	-0.009	1.853	-0.003	0.020	0.000
		PP+V(0°)H1+N(EI)	1.005	-1.192	0.683	3.340	1.198	0.000
		PP+V(0°)H2+N(EI)	1.007	-1.311	1.295	3.849	1.206	0.000
		PP+V(90°)H1+N(EI)	-2.588	0.857	-2.152	-1.008	-1.389	0.000
		PP+V(180°)H1+N(EI)	0.677	0.916	2.189	-3.030	0.804	0.000
		PP+V(180°)H2+N(EI)	0.677	1.022	2.796	-3.541	0.809	0.000
		PP+V(270°)H1+N(EI)	0.466	0.340	4.242	-0.402	1.037	0.000
		PP+N(R)1	0.006	0.024	1.814	-0.149	0.018	0.000
		PP+V(0°)H1+N(R)1	1.005	-1.159	0.644	3.194	1.196	0.000
		PP+V(0°)H2+N(R)1	1.006	-1.277	1.256	3.703	1.204	0.000
		PP+V(90°)H1+N(R)1	-2.593	0.890	-2.191	-1.154	-1.390	0.000
		PP+V(180°)H1+N(R)1	0.677	0.949	2.150	-3.176	0.802	0.000
		PP+V(180°)H2+N(R)1	0.677	1.056	2.757	-3.686	0.807	0.000
		PP+V(270°)H1+N(R)1	0.466	0.374	4.203	-0.547	1.036	0.000

Reacciones en los nudos, por combinación								
Referencia	Combinación		Reacciones en ejes globales					
	Tipo	Descripción	Rx (t)	Ry (t)	Rz (t)	Mx (t·m)	My (t·m)	Mz (t·m)
		PP+N(R)2	0.006	-0.040	1.780	0.141	0.019	0.000
		PP+V(0°)H1+N(R)2	1.005	-1.223	0.611	3.484	1.197	0.000
		PP+V(0°)H2+N(R)2	1.007	-1.342	1.222	3.992	1.205	0.000
		PP+V(90°)H1+N(R)2	-2.591	0.826	-2.225	-0.864	-1.389	0.000
		PP+V(180°)H1+N(R)2	0.677	0.885	2.117	-2.886	0.803	0.000
		PP+V(180°)H2+N(R)2	0.677	0.991	2.723	-3.397	0.808	0.000
		PP+V(270°)H1+N(R)2	0.467	0.309	4.169	-0.258	1.037	0.000
		PP+Q	-0.071	-0.014	3.247	-0.002	0.121	0.000
		PP+Q+V(0°)H1	1.076	-1.196	2.077	3.341	1.300	0.000
		PP+Q+V(0°)H2	1.078	-1.315	2.689	3.850	1.308	0.000
		PP+Q+V(90°)H1	-2.710	0.853	-0.758	-1.007	-1.287	0.000
		PP+Q+V(180°)H1	0.754	0.911	3.583	-3.029	0.905	0.000
		PP+Q+V(180°)H2	0.748	1.018	4.190	-3.539	0.911	0.000
		PP+Q+V(270°)H1	0.537	0.336	5.636	-0.400	1.139	0.000
		PP+Q+N(EI)	-0.056	-0.018	3.471	0.002	0.125	0.000
		PP+Q+V(0°)H1+N(EI)	1.077	-1.201	2.301	3.345	1.303	0.000

Reacciones en los nudos, por combinación								
Referencia	Combinación		Reacciones en ejes globales					
	Tipo	Descripción	Rx (t)	Ry (t)	Rz (t)	Mx (t·m)	My (t·m)	Mz (t·m)
		PP+Q+V(0°)H2+N(EI)	1.078	-1.320	2.913	3.854	1.311	0.000
		PP+Q+V(90°)H1+N(EI)	-2.695	0.848	-0.534	-1.003	-1.283	0.000
		PP+Q+V(180°)H1+N(EI)	0.762	0.907	3.807	-3.025	0.909	0.000
		PP+Q+V(180°)H2+N(EI)	0.748	1.014	4.413	-3.536	0.914	0.000
		PP+Q+V(270°)H1+N(EI)	0.538	0.332	5.859	-0.397	1.143	0.000
		PP+Q+N(R)1	-0.061	0.015	3.431	-0.144	0.123	0.000
		PP+Q+V(0°)H1+N(R)1	1.076	-1.167	2.262	3.199	1.302	0.000
		PP+Q+V(0°)H2+N(R)1	1.078	-1.286	2.874	3.708	1.310	0.000
		PP+Q+V(90°)H1+N(R)1	-2.700	0.882	-0.573	-1.149	-1.285	0.000
		PP+Q+V(180°)H1+N(R)1	0.759	0.940	3.768	-3.171	0.907	0.000
		PP+Q+V(180°)H2+N(R)1	0.748	1.047	4.374	-3.681	0.913	0.000
		PP+Q+V(270°)H1+N(R)1	0.537	0.365	5.820	-0.542	1.141	0.000
		PP+Q+N(R)2	-0.058	-0.049	3.398	0.146	0.124	0.000
		PP+Q+V(0°)H1+N(R)2	1.077	-1.232	2.228	3.489	1.302	0.000
		PP+Q+V(0°)H2+N(R)2	1.078	-1.351	2.840	3.997	1.311	0.000
		PP+Q+V(90°)H1+N(R)2	-2.698	0.817	-0.607	-0.859	-1.284	0.000
		PP+Q+V(180°)H1+N(R)2	0.761	0.876	3.734	-2.881	0.908	0.000

Reacciones en los nudos, por combinación								
Referencia	Combinación		Reacciones en ejes globales					
	Tipo	Descripción	Rx (t)	Ry (t)	Rz (t)	Mx (t·m)	My (t·m)	Mz (t·m)
		PP+Q+V(180°)H2+N(R)2	0.748	0.983	4.341	-3.392	0.914	0.000
		PP+Q+V(270°)H1+N(R)2	0.538	0.301	5.787	-0.253	1.142	0.000
N3	Hormigón en cimentaciones	PP	0.006	0.005	1.637	0.005	0.018	0.000
		1.6·PP	0.010	0.008	2.619	0.008	0.029	0.000
		PP+1.6·V(0°)H1	1.079	-1.476	2.165	4.851	1.270	0.000
		1.6·PP+1.6·V(0°)H1	1.083	-1.473	3.147	4.854	1.281	0.000
		PP+1.6·V(0°)H2	1.080	-1.646	3.147	5.665	1.282	0.001
		1.6·PP+1.6·V(0°)H2	1.084	-1.643	4.129	5.668	1.293	0.001
		PP+1.6·V(90°)H1	-4.188	-1.382	-4.780	1.615	-2.237	0.000
		1.6·PP+1.6·V(90°)H1	-4.163	-1.379	-3.798	1.618	-2.226	0.000
		PP+1.6·V(180°)H1	1.604	1.897	-0.244	-5.342	1.901	0.000
		1.6·PP+1.6·V(180°)H1	1.608	1.900	0.738	-5.339	1.912	0.000
		PP+1.6·V(180°)H2	1.608	2.088	0.747	-6.159	1.917	0.000
		1.6·PP+1.6·V(180°)H2	1.611	2.091	1.729	-6.156	1.928	0.000
		PP+1.6·V(270°)H1	0.742	-0.555	5.448	0.645	1.644	0.000
		1.6·PP+1.6·V(270°)H1	0.746	-0.552	6.430	0.648	1.655	0.000
		PP+1.6·N(EI)	0.007	0.013	2.001	-0.002	0.025	0.000

Reacciones en los nudos, por combinación								
Referencia	Combinación		Reacciones en ejes globales					
	Tipo	Descripción	Rx (t)	Ry (t)	Rz (t)	Mx (t·m)	My (t·m)	Mz (t·m)
		1.6·PP+1.6·N(EI)	0.011	0.016	2.983	0.001	0.036	0.000
		PP+0.96·V(0°)H1+1.6·N(EI)	0.651	-0.875	2.318	2.905	0.776	0.000
		1.6·PP+0.96·V(0°)H1+1.6·N(EI)	0.654	-0.872	3.300	2.908	0.787	0.000
		PP+0.96·V(0°)H2+1.6·N(EI)	0.652	-0.978	2.907	3.394	0.783	0.000
		1.6·PP+0.96·V(0°)H2+1.6·N(EI)	0.655	-0.975	3.889	3.397	0.794	0.000
		PP+0.96·V(90°)H1+1.6·N(EI)	-2.468	-0.819	-1.849	0.964	-1.328	0.000
		1.6·PP+0.96·V(90°)H1+1.6·N(EI)	-2.443	-0.816	-0.867	0.967	-1.317	0.000
		PP+0.96·V(180°)H1+1.6·N(EI)	0.966	1.148	0.872	-3.210	1.155	0.000
		1.6·PP+0.96·V(180°)H1+1.6·N(EI)	0.970	1.151	1.854	-3.207	1.166	0.000
		PP+0.96·V(180°)H2+1.6·N(EI)	0.968	1.263	1.467	-3.700	1.164	0.000
		1.6·PP+0.96·V(180°)H2+1.6·N(EI)	0.972	1.266	2.449	-3.698	1.175	0.000
		PP+0.96·V(270°)H1+1.6·N(EI)	0.449	-0.323	4.287	0.382	1.001	0.000
		1.6·PP+0.96·V(270°)H1+1.6·N(EI)	0.452	-0.320	5.269	0.385	1.012	0.000
		PP+1.6·V(0°)H1+0.8·N(EI)	1.080	-1.472	2.347	4.847	1.274	0.000
		1.6·PP+1.6·V(0°)H1+0.8·N(EI)	1.083	-1.469	3.329	4.850	1.285	0.000
		PP+1.6·V(0°)H2+0.8·N(EI)	1.081	-1.642	3.330	5.661	1.285	0.001

Reacciones en los nudos, por combinación								
Referencia	Combinación		Reacciones en ejes globales					
	Tipo	Descripción	Rx (t)	Ry (t)	Rz (t)	Mx (t·m)	My (t·m)	Mz (t·m)
		1.6·PP+1.6·V(0°)H2+0.8·N(EI)	1.084	-1.639	4.312	5.664	1.296	0.001
		PP+1.6·V(90°)H1+0.8·N(EI)	-4.174	-1.378	-4.598	1.611	-2.234	0.000
		1.6·PP+1.6·V(90°)H1+0.8·N(EI)	-4.149	-1.375	-3.616	1.614	-2.223	0.000
		PP+1.6·V(180°)H1+0.8·N(EI)	1.605	1.901	-0.062	-5.345	1.904	0.000
		1.6·PP+1.6·V(180°)H1+0.8·N(EI)	1.609	1.904	0.920	-5.343	1.915	0.000
		PP+1.6·V(180°)H2+0.8·N(EI)	1.608	2.092	0.929	-6.162	1.920	0.000
		1.6·PP+1.6·V(180°)H2+0.8·N(EI)	1.612	2.095	1.911	-6.159	1.931	0.000
		PP+1.6·V(270°)H1+0.8·N(EI)	0.743	-0.551	5.630	0.641	1.647	0.000
		1.6·PP+1.6·V(270°)H1+0.8·N(EI)	0.746	-0.548	6.612	0.644	1.658	0.000
		PP+1.6·N(R)1	0.007	0.063	1.883	-0.232	0.024	0.000
		1.6·PP+1.6·N(R)1	0.011	0.066	2.865	-0.229	0.035	0.000
		PP+0.96·V(0°)H1+1.6·N(R)1	0.651	-0.826	2.200	2.675	0.775	0.000
		1.6·PP+0.96·V(0°)H1+1.6·N(R)1	0.655	-0.823	3.182	2.678	0.786	0.000
		PP+0.96·V(0°)H2+1.6·N(R)1	0.652	-0.928	2.789	3.164	0.782	0.000
		1.6·PP+0.96·V(0°)H2+1.6·N(R)1	0.655	-0.925	3.771	3.167	0.793	0.000
		PP+0.96·V(90°)H1+1.6·N(R)1	-2.473	-0.770	-1.967	0.734	-1.329	0.000

Reacciones en los nudos, por combinación								
Referencia	Combinación		Reacciones en ejes globales					
	Tipo	Descripción	Rx (t)	Ry (t)	Rz (t)	Mx (t·m)	My (t·m)	Mz (t·m)
		1.6·PP+0.96·V(90°)H1+1.6·N(R)1	-2.448	-0.767	-0.985	0.737	-1.318	0.000
		PP+0.96·V(180°)H1+1.6·N(R)1	0.966	1.198	0.754	-3.440	1.154	0.000
		1.6·PP+0.96·V(180°)H1+1.6·N(R)1	0.970	1.201	1.736	-3.437	1.165	0.000
		PP+0.96·V(180°)H2+1.6·N(R)1	0.968	1.312	1.349	-3.930	1.163	0.000
		1.6·PP+0.96·V(180°)H2+1.6·N(R)1	0.972	1.315	2.331	-3.927	1.174	0.000
		PP+0.96·V(270°)H1+1.6·N(R)1	0.449	-0.274	4.169	0.152	1.000	0.000
		1.6·PP+0.96·V(270°)H1+1.6·N(R)1	0.452	-0.271	5.151	0.155	1.011	0.000
		PP+1.6·V(0°)H1+0.8·N(R)1	1.080	-1.447	2.288	4.732	1.273	0.000
		1.6·PP+1.6·V(0°)H1+0.8·N(R)1	1.083	-1.444	3.270	4.735	1.284	0.000
		PP+1.6·V(0°)H2+0.8·N(R)1	1.081	-1.617	3.270	5.546	1.285	0.000
		1.6·PP+1.6·V(0°)H2+0.8·N(R)1	1.084	-1.614	4.252	5.549	1.296	0.000
		PP+1.6·V(90°)H1+0.8·N(R)1	-4.177	-1.353	-4.657	1.496	-2.234	-0.001
		1.6·PP+1.6·V(90°)H1+0.8·N(R)1	-4.151	-1.350	-3.675	1.499	-2.223	-0.001
		PP+1.6·V(180°)H1+0.8·N(R)1	1.605	1.925	-0.121	-5.460	1.904	0.000
		1.6·PP+1.6·V(180°)H1+0.8·N(R)1	1.609	1.929	0.861	-5.457	1.915	0.000
		PP+1.6·V(180°)H2+0.8·N(R)1	1.608	2.116	0.870	-6.277	1.920	0.000

Reacciones en los nudos, por combinación								
Referencia	Combinación		Reacciones en ejes globales					
	Tipo	Descripción	Rx (t)	Ry (t)	Rz (t)	Mx (t·m)	My (t·m)	Mz (t·m)
		1.6·PP+1.6·V(180°)H2+0.8·N(R)1	1.612	2.119	1.852	-6.274	1.931	0.000
		PP+1.6·V(270°)H1+0.8·N(R)1	0.743	-0.527	5.571	0.526	1.647	0.000
		1.6·PP+1.6·V(270°)H1+0.8·N(R)1	0.746	-0.523	6.553	0.529	1.658	0.000
		PP+1.6·N(R)2	0.006	-0.040	1.937	0.231	0.023	0.000
		1.6·PP+1.6·N(R)2	0.010	-0.037	2.919	0.234	0.034	0.000
		PP+0.96·V(0°)H1+1.6·N(R)2	0.650	-0.929	2.254	3.139	0.774	0.000
		1.6·PP+0.96·V(0°)H1+1.6·N(R)2	0.654	-0.926	3.236	3.142	0.785	0.000
		PP+0.96·V(0°)H2+1.6·N(R)2	0.651	-1.031	2.843	3.627	0.781	0.000
		1.6·PP+0.96·V(0°)H2+1.6·N(R)2	0.655	-1.028	3.825	3.630	0.792	0.000
		PP+0.96·V(90°)H1+1.6·N(R)2	-2.477	-0.873	-1.913	1.197	-1.331	0.000
		1.6·PP+0.96·V(90°)H1+1.6·N(R)2	-2.451	-0.869	-0.931	1.200	-1.320	0.000
		PP+0.96·V(180°)H1+1.6·N(R)2	0.965	1.095	0.808	-2.977	1.152	0.000
		1.6·PP+0.96·V(180°)H1+1.6·N(R)2	0.969	1.098	1.791	-2.974	1.163	0.000
		PP+0.96·V(180°)H2+1.6·N(R)2	0.967	1.209	1.403	-3.467	1.162	0.000
		1.6·PP+0.96·V(180°)H2+1.6·N(R)2	0.971	1.212	2.385	-3.464	1.173	0.000

Reacciones en los nudos, por combinación								
Referencia	Combinación		Reacciones en ejes globales					
	Tipo	Descripción	Rx (t)	Ry (t)	Rz (t)	Mx (t·m)	My (t·m)	Mz (t·m)
		PP+0.96·V(270°)H1+1.6·N(R)2	0.448	-0.377	4.223	0.615	0.998	0.000
		1.6·PP+0.96·V(270°)H1+1.6·N(R)2	0.452	-0.374	5.205	0.618	1.009	0.000
		PP+1.6·V(0°)H1+0.8·N(R)2	1.079	-1.498	2.315	4.964	1.272	0.001
		1.6·PP+1.6·V(0°)H1+0.8·N(R)2	1.083	-1.495	3.297	4.967	1.283	0.000
		PP+1.6·V(0°)H2+0.8·N(R)2	1.080	-1.669	3.298	5.778	1.284	0.001
		1.6·PP+1.6·V(0°)H2+0.8·N(R)2	1.084	-1.666	4.280	5.781	1.295	0.001
		PP+1.6·V(90°)H1+0.8·N(R)2	-4.178	-1.405	-4.630	1.728	-2.235	0.000
		1.6·PP+1.6·V(90°)H1+0.8·N(R)2	-4.153	-1.401	-3.648	1.731	-2.224	0.000
		PP+1.6·V(180°)H1+0.8·N(R)2	1.605	1.874	-0.094	-5.229	1.903	0.000
		1.6·PP+1.6·V(180°)H1+0.8·N(R)2	1.608	1.877	0.888	-5.226	1.914	0.000
		PP+1.6·V(180°)H2+0.8·N(R)2	1.608	2.065	0.897	-6.046	1.919	0.000
		1.6·PP+1.6·V(180°)H2+0.8·N(R)2	1.611	2.068	1.879	-6.043	1.930	0.000
		PP+1.6·V(270°)H1+0.8·N(R)2	0.742	-0.578	5.598	0.758	1.646	0.000
		1.6·PP+1.6·V(270°)H1+0.8·N(R)2	0.746	-0.575	6.580	0.761	1.657	0.000
		PP+1.6·Q	-0.121	0.020	4.237	-0.006	0.190	0.000
		1.6·PP+1.6·Q	-0.096	0.023	5.219	-0.003	0.201	0.000

Reacciones en los nudos, por combinación								
Referencia	Combinación		Reacciones en ejes globales					
	Tipo	Descripción	Rx (t)	Ry (t)	Rz (t)	Mx (t·m)	My (t·m)	Mz (t·m)
	Tensiones sobre el terreno	PP	0.006	0.005	1.637	0.005	0.018	0.000
		PP+V(0°)H1	0.677	-0.920	1.967	3.034	0.801	0.000
		PP+V(0°)H2	0.677	-1.027	2.581	3.542	0.808	0.000
		PP+V(90°)H1	-2.602	-0.862	-2.374	1.011	-1.391	0.000
		PP+V(180°)H1	1.005	1.187	0.461	-3.337	1.195	0.000
		PP+V(180°)H2	1.007	1.307	1.080	-3.847	1.205	0.000
		PP+V(270°)H1	0.466	-0.345	4.018	0.405	1.034	0.000
		PP+N(EI)	0.007	0.010	1.864	0.000	0.023	0.000
		PP+V(0°)H1+N(EI)	0.677	-0.915	2.195	3.029	0.805	0.000
		PP+V(0°)H2+N(EI)	0.678	-1.022	2.809	3.538	0.812	0.000
		PP+V(90°)H1+N(EI)	-2.584	-0.857	-2.146	1.007	-1.387	0.000
		PP+V(180°)H1+N(EI)	1.006	1.192	0.689	-3.341	1.199	0.000
		PP+V(180°)H2+N(EI)	1.008	1.312	1.308	-3.852	1.209	0.000
		PP+V(270°)H1+N(EI)	0.467	-0.340	4.246	0.400	1.039	0.000
		PP+N(R)1	0.007	0.041	1.790	-0.143	0.022	0.000
		PP+V(0°)H1+N(R)1	0.677	-0.884	2.121	2.885	0.805	0.000
		PP+V(0°)H2+N(R)1	0.678	-0.991	2.735	3.394	0.812	0.000

Reacciones en los nudos, por combinación								
Referencia	Combinación		Reacciones en ejes globales					
	Tipo	Descripción	Rx (t)	Ry (t)	Rz (t)	Mx (t·m)	My (t·m)	Mz (t·m)
		PP+V(90°)H1+N(R)1	-2.587	-0.826	-2.220	0.863	-1.388	0.000
		PP+V(180°)H1+N(R)1	1.006	1.223	0.615	-3.485	1.199	0.000
		PP+V(180°)H2+N(R)1	1.008	1.343	1.234	-3.996	1.209	0.000
		PP+V(270°)H1+N(R)1	0.467	-0.309	4.172	0.257	1.038	0.000
		PP+N(R)2	0.006	-0.023	1.824	0.146	0.021	0.000
		PP+V(0°)H1+N(R)2	0.677	-0.949	2.155	3.175	0.804	0.000
		PP+V(0°)H2+N(R)2	0.678	-1.055	2.769	3.684	0.811	0.000
		PP+V(90°)H1+N(R)2	-2.590	-0.890	-2.186	1.153	-1.389	0.000
		PP+V(180°)H1+N(R)2	1.005	1.159	0.649	-3.195	1.198	0.000
		PP+V(180°)H2+N(R)2	1.007	1.278	1.268	-3.706	1.208	0.000
		PP+V(270°)H1+N(R)2	0.466	-0.374	4.206	0.546	1.037	0.000
		PP+Q	-0.060	0.014	3.262	-0.002	0.125	0.000
		PP+Q+V(0°)H1	0.758	-0.911	3.593	3.027	0.908	0.000
		PP+Q+V(0°)H2	0.749	-1.017	4.206	3.535	0.915	0.000
		PP+Q+V(90°)H1	-2.704	-0.852	-0.748	1.004	-1.284	0.000
		PP+Q+V(180°)H1	1.077	1.197	2.087	-3.344	1.302	0.000

Reacciones en los nudos, por combinación								
Referencia	Combinación		Reacciones en ejes globales					
	Tipo	Descripción	Rx (t)	Ry (t)	Rz (t)	Mx (t·m)	My (t·m)	Mz (t·m)
		PP+Q+V(180°)H2	1.079	1.316	2.706	-3.854	1.312	0.000
		PP+Q+V(270°)H1	0.538	-0.336	5.644	0.398	1.141	0.000
		PP+Q+N(EI)	-0.042	0.019	3.490	-0.006	0.130	0.000
		PP+Q+V(0°)H1+N(EI)	0.749	-0.906	3.820	3.022	0.912	0.000
		PP+Q+V(0°)H2+N(EI)	0.750	-1.013	4.434	3.531	0.919	0.000
		PP+Q+V(90°)H1+N(EI)	-2.686	-0.847	-0.521	1.000	-1.280	0.000
		PP+Q+V(180°)H1+N(EI)	1.077	1.202	2.314	-3.348	1.306	0.000
		PP+Q+V(180°)H2+N(EI)	1.079	1.321	2.933	-3.859	1.316	0.000
		PP+Q+V(270°)H1+N(EI)	0.538	-0.331	5.872	0.394	1.146	0.000
		PP+Q+N(R)1	-0.046	0.050	3.416	-0.150	0.129	0.000
		PP+Q+V(0°)H1+N(R)1	0.749	-0.875	3.746	2.879	0.912	0.000
		PP+Q+V(0°)H2+N(R)1	0.750	-0.982	4.360	3.387	0.919	0.000
		PP+Q+V(90°)H1+N(R)1	-2.689	-0.817	-0.594	0.856	-1.281	0.000
		PP+Q+V(180°)H1+N(R)1	1.078	1.233	2.241	-3.492	1.306	0.000
		PP+Q+V(180°)H2+N(R)1	1.080	1.352	2.860	-4.002	1.316	0.000
		PP+Q+V(270°)H1+N(R)1	0.539	-0.300	5.798	0.250	1.145	0.000

Reacciones en los nudos, por combinación								
Referencia	Combinación		Reacciones en ejes globales					
	Tipo	Descripción	Rx (t)	Ry (t)	Rz (t)	Mx (t·m)	My (t·m)	Mz (t·m)
		PP+Q+N(R)2	-0.048	-0.014	3.450	0.140	0.128	0.000
		PP+Q+V(0°)H1+N(R)2	0.749	-0.940	3.780	3.168	0.911	0.000
		PP+Q+V(0°)H2+N(R)2	0.749	-1.046	4.394	3.677	0.918	0.000
		PP+Q+V(90°)H1+N(R)2	-2.692	-0.881	-0.561	1.146	-1.282	0.000
		PP+Q+V(180°)H1+N(R)2	1.077	1.168	2.274	-3.202	1.305	0.000
		PP+Q+V(180°)H2+N(R)2	1.079	1.288	2.893	-3.713	1.315	0.000
		PP+Q+V(270°)H1+N(R)2	0.538	-0.364	5.832	0.540	1.144	0.000
N6	Hormigón en cimentaciones	PP	0.032	-0.021	2.721	-0.032	0.007	0.000
		1.6·PP	0.051	-0.034	4.354	-0.052	0.012	0.000
		PP+1.6·V(0°)H1	0.596	-2.657	0.378	6.114	0.348	0.000
		1.6·PP+1.6·V(0°)H1	0.615	-2.670	2.011	6.094	0.353	0.000
		PP+1.6·V(0°)H2	0.656	-2.639	4.156	6.314	0.371	0.000
		1.6·PP+1.6·V(0°)H2	0.675	-2.652	5.789	6.295	0.376	0.000
		PP+1.6·V(90°)H1	-0.354	1.970	3.874	-2.117	-1.301	0.000
		1.6·PP+1.6·V(90°)H1	-0.354	1.957	5.507	-2.136	-1.297	0.000

Reacciones en los nudos, por combinación								
Referencia	Combinación		Reacciones en ejes globales					
	Tipo	Descripción	Rx (t)	Ry (t)	Rz (t)	Mx (t·m)	My (t·m)	Mz (t·m)
		PP+1.6·V(180°)H1	0.373	1.735	0.583	-4.958	0.228	0.000
		1.6·PP+1.6·V(180°)H1	0.392	1.722	2.216	-4.978	0.232	0.000
		PP+1.6·V(180°)H2	0.424	1.724	3.004	-5.400	0.249	0.000
		1.6·PP+1.6·V(180°)H2	0.443	1.711	4.637	-5.419	0.253	0.000
		PP+1.6·V(270°)H1	3.073	1.692	-5.886	-2.088	1.165	0.000
		1.6·PP+1.6·V(270°)H1	3.092	1.679	-4.254	-2.108	1.169	0.000
		PP+1.6·N(EI)	0.059	-0.034	3.989	-0.063	0.018	0.000
		1.6·PP+1.6·N(EI)	0.078	-0.046	5.621	-0.082	0.023	0.000
		PP+0.96·V(0°)H1+1.6·N(EI)	0.398	-1.615	2.583	3.624	0.223	0.000
		1.6·PP+0.96·V(0°)H1+1.6·N(EI)	0.417	-1.628	4.216	3.605	0.227	0.000
		PP+0.96·V(0°)H2+1.6·N(EI)	0.433	-1.604	4.850	3.745	0.237	0.000
		1.6·PP+0.96·V(0°)H2+1.6·N(EI)	0.453	-1.617	6.483	3.725	0.241	0.000
		PP+0.96·V(90°)H1+1.6·N(EI)	-0.209	1.161	4.681	-1.314	-0.767	0.000
		1.6·PP+0.96·V(90°)H1+1.6·N(EI)	-0.208	1.148	6.313	-1.333	-0.762	0.000
		PP+0.96·V(180°)H1+1.6·N(EI)	0.264	1.020	2.706	-3.019	0.151	0.000
		1.6·PP+0.96·V(180°)H1+1.6·N(EI)	0.283	1.008	4.339	-3.038	0.155	0.000
		PP+0.96·V(180°)H2+1.6·N(EI)	0.294	1.014	4.159	-3.284	0.164	0.000
		1.6·PP+0.96·V(180°)H2+1.6·N(EI)	0.313	1.001	5.791	-3.303	0.168	0.000

Reacciones en los nudos, por combinación								
Referencia	Combinación		Reacciones en ejes globales					
	Tipo	Descripción	Rx (t)	Ry (t)	Rz (t)	Mx (t·m)	My (t·m)	Mz (t·m)
		PP+0.96·V(270°)H1+1.6·N(EI)	1.884	0.995	-1.176	-1.297	0.713	0.000
		1.6·PP+0.96·V(270°)H1+1.6·N(EI)	1.903	0.982	0.457	-1.316	0.717	0.000
		PP+1.6·V(0°)H1+0.8·N(EI)	0.609	-2.663	1.012	6.098	0.354	0.000
		1.6·PP+1.6·V(0°)H1+0.8·N(EI)	0.629	-2.676	2.645	6.079	0.358	0.000
		PP+1.6·V(0°)H2+0.8·N(EI)	0.669	-2.645	4.790	6.299	0.377	0.000
		1.6·PP+1.6·V(0°)H2+0.8·N(EI)	0.689	-2.658	6.423	6.279	0.381	0.000
		PP+1.6·V(90°)H1+0.8·N(EI)	-0.353	1.964	4.508	-2.132	-1.296	0.000
		1.6·PP+1.6·V(90°)H1+0.8·N(EI)	-0.352	1.951	6.141	-2.152	-1.291	0.001
		PP+1.6·V(180°)H1+0.8·N(EI)	0.387	1.729	1.217	-4.974	0.233	0.000
		1.6·PP+1.6·V(180°)H1+0.8·N(EI)	0.406	1.716	2.850	-4.993	0.237	0.000
		PP+1.6·V(180°)H2+0.8·N(EI)	0.437	1.718	3.638	-5.415	0.255	0.000
		1.6·PP+1.6·V(180°)H2+0.8·N(EI)	0.456	1.705	5.270	-5.435	0.259	0.000
		PP+1.6·V(270°)H1+0.8·N(EI)	3.087	1.686	-5.252	-2.104	1.171	0.000
		1.6·PP+1.6·V(270°)H1+0.8·N(EI)	3.106	1.673	-3.620	-2.123	1.175	0.000
		PP+1.6·N(R)1	0.051	-0.105	3.373	0.034	0.016	0.000
		1.6·PP+1.6·N(R)1	0.070	-0.118	5.005	0.015	0.020	0.000
		PP+0.96·V(0°)H1+1.6·N(R)1	0.389	-1.686	1.967	3.722	0.220	0.000

Reacciones en los nudos, por combinación								
Referencia	Combinación		Reacciones en ejes globales					
	Tipo	Descripción	Rx (t)	Ry (t)	Rz (t)	Mx (t·m)	My (t·m)	Mz (t·m)
		1.6·PP+0.96·V(0°)H1+1.6·N(R)1	0.409	-1.699	3.600	3.702	0.224	0.000
		PP+0.96·V(0°)H2+1.6·N(R)1	0.425	-1.675	4.234	3.842	0.234	0.000
		1.6·PP+0.96·V(0°)H2+1.6·N(R)1	0.444	-1.688	5.867	3.822	0.238	0.000
		PP+0.96·V(90°)H1+1.6·N(R)1	-0.210	1.090	4.065	-1.217	-0.770	0.000
		1.6·PP+0.96·V(90°)H1+1.6·N(R)1	-0.209	1.077	5.697	-1.236	-0.765	0.000
		PP+0.96·V(180°)H1+1.6·N(R)1	0.256	0.949	2.090	-2.922	0.148	0.000
		1.6·PP+0.96·V(180°)H1+1.6·N(R)1	0.275	0.936	3.723	-2.941	0.152	0.000
		PP+0.96·V(180°)H2+1.6·N(R)1	0.286	0.942	3.543	-3.187	0.161	0.000
		1.6·PP+0.96·V(180°)H2+1.6·N(R)1	0.305	0.929	5.175	-3.206	0.165	0.000
		PP+0.96·V(270°)H1+1.6·N(R)1	1.876	0.923	-1.792	-1.200	0.710	0.000
		1.6·PP+0.96·V(270°)H1+1.6·N(R)1	1.895	0.910	-0.159	-1.219	0.715	0.000
		PP+1.6·V(0°)H1+0.8·N(R)1	0.605	-2.699	0.704	6.147	0.352	0.000
		1.6·PP+1.6·V(0°)H1+0.8·N(R)1	0.625	-2.712	2.337	6.127	0.357	0.000
		PP+1.6·V(0°)H2+0.8·N(R)1	0.665	-2.681	4.482	6.347	0.376	0.000
		1.6·PP+1.6·V(0°)H2+0.8·N(R)1	0.684	-2.693	6.115	6.328	0.380	0.000

Reacciones en los nudos, por combinación								
Referencia	Combinación		Reacciones en ejes globales					
	Tipo	Descripción	Rx (t)	Ry (t)	Rz (t)	Mx (t·m)	My (t·m)	Mz (t·m)
		PP+1.6·V(90°)H1+0.8·N(R)1	-0.353	1.928	4.200	-2.084	-1.297	0.000
		1.6·PP+1.6·V(90°)H1+0.8·N(R)1	-0.352	1.915	5.833	-2.103	-1.293	0.000
		PP+1.6·V(180°)H1+0.8·N(R)1	0.383	1.693	0.909	-4.925	0.232	0.000
		1.6·PP+1.6·V(180°)H1+0.8·N(R)1	0.402	1.681	2.542	-4.944	0.236	0.000
		PP+1.6·V(180°)H2+0.8·N(R)1	0.433	1.682	3.330	-5.367	0.253	0.000
		1.6·PP+1.6·V(180°)H2+0.8·N(R)1	0.452	1.669	4.962	-5.386	0.258	0.000
		PP+1.6·V(270°)H1+0.8·N(R)1	3.083	1.650	-5.560	-2.055	1.169	0.000
		1.6·PP+1.6·V(270°)H1+0.8·N(R)1	3.102	1.638	-3.928	-2.075	1.173	0.000
		PP+1.6·N(R)2	0.054	0.044	3.971	-0.145	0.016	0.000
		1.6·PP+1.6·N(R)2	0.073	0.031	5.604	-0.164	0.020	0.000
		PP+0.96·V(0°)H1+1.6·N(R)2	0.392	-1.537	2.565	3.543	0.220	0.000
		1.6·PP+0.96·V(0°)H1+1.6·N(R)2	0.411	-1.550	4.198	3.524	0.225	0.000
		PP+0.96·V(0°)H2+1.6·N(R)2	0.428	-1.526	4.832	3.663	0.234	0.000
		1.6·PP+0.96·V(0°)H2+1.6·N(R)2	0.447	-1.539	6.465	3.644	0.239	0.000
		PP+0.96·V(90°)H1+1.6·N(R)2	-0.209	1.239	4.663	-1.396	-0.769	0.000
		1.6·PP+0.96·V(90°)H1+1.6·N(R)2	-0.209	1.226	6.295	-1.415	-0.765	0.001
		PP+0.96·V(180°)H1+1.6·N(R)2	0.258	1.098	2.688	-3.100	0.148	0.000

Reacciones en los nudos, por combinación								
Referencia	Combinación		Reacciones en ejes globales					
	Tipo	Descripción	Rx (t)	Ry (t)	Rz (t)	Mx (t·m)	My (t·m)	Mz (t·m)
		1.6·PP+0.96·V(180°)H1+1.6·N(R)2	0.278	1.085	4.321	-3.120	0.152	0.000
		PP+0.96·V(180°)H2+1.6·N(R)2	0.289	1.091	4.141	-3.365	0.161	0.000
		1.6·PP+0.96·V(180°)H2+1.6·N(R)2	0.308	1.078	5.773	-3.385	0.165	0.000
		PP+0.96·V(270°)H1+1.6·N(R)2	1.878	1.072	-1.193	-1.378	0.710	0.000
		1.6·PP+0.96·V(270°)H1+1.6·N(R)2	1.898	1.059	0.439	-1.398	0.715	0.000
		PP+1.6·V(0°)H1+0.8·N(R)2	0.607	-2.624	1.003	6.057	0.353	0.000
		1.6·PP+1.6·V(0°)H1+0.8·N(R)2	0.626	-2.637	2.636	6.038	0.357	0.000
		PP+1.6·V(0°)H2+0.8·N(R)2	0.667	-2.606	4.781	6.258	0.376	0.000
		1.6·PP+1.6·V(0°)H2+0.8·N(R)2	0.686	-2.619	6.414	6.239	0.380	0.000
		PP+1.6·V(90°)H1+0.8·N(R)2	-0.353	2.003	4.499	-2.173	-1.297	0.001
		1.6·PP+1.6·V(90°)H1+0.8·N(R)2	-0.352	1.990	6.132	-2.193	-1.293	0.001
		PP+1.6·V(180°)H1+0.8·N(R)2	0.384	1.768	1.208	-5.014	0.232	0.000
		1.6·PP+1.6·V(180°)H1+0.8·N(R)2	0.403	1.755	2.841	-5.034	0.236	0.000
		PP+1.6·V(180°)H2+0.8·N(R)2	0.434	1.757	3.629	-5.456	0.253	0.000
		1.6·PP+1.6·V(180°)H2+0.8·N(R)2	0.454	1.744	5.262	-5.476	0.258	0.000
		PP+1.6·V(270°)H1+0.8·N(R)2	3.084	1.725	-5.261	-2.145	1.169	0.000
		1.6·PP+1.6·V(270°)H1+0.8·N(R)2	3.103	1.712	-3.629	-2.164	1.174	0.000

Reacciones en los nudos, por combinación								
Referencia	Combinación		Reacciones en ejes globales					
	Tipo	Descripción	Rx (t)	Ry (t)	Rz (t)	Mx (t·m)	My (t·m)	Mz (t·m)
		PP+1.6·Q	-0.174	-0.112	8.505	0.009	-0.402	0.000
		1.6·PP+1.6·Q	-0.173	-0.125	10.137	-0.010	-0.398	0.000
	Tensiones sobre el terreno	PP	0.032	-0.021	2.721	-0.032	0.007	0.000
		PP+V(0°)H1	0.384	-1.669	1.257	3.809	0.220	0.000
		PP+V(0°)H2	0.422	-1.657	3.618	3.934	0.235	0.000
		PP+V(90°)H1	-0.221	1.223	3.442	-1.335	-0.811	0.000
		PP+V(180°)H1	0.245	1.076	1.385	-3.111	0.145	0.000
		PP+V(180°)H2	0.277	1.069	2.898	-3.387	0.158	0.000
		PP+V(270°)H1	1.933	1.050	-2.659	-1.317	0.731	0.000
		PP+N(EI)	0.049	-0.029	3.513	-0.051	0.014	0.000
		PP+V(0°)H1+N(EI)	0.401	-1.676	2.049	3.790	0.227	0.000
		PP+V(0°)H2+N(EI)	0.439	-1.665	4.410	3.915	0.242	0.000
		PP+V(90°)H1+N(EI)	-0.219	1.216	4.234	-1.354	-0.804	0.000
		PP+V(180°)H1+N(EI)	0.262	1.069	2.177	-3.130	0.152	0.000
		PP+V(180°)H2+N(EI)	0.294	1.062	3.690	-3.406	0.165	0.000
		PP+V(270°)H1+N(EI)	1.950	1.042	-1.866	-1.337	0.738	0.000

Reacciones en los nudos, por combinación								
Referencia	Combinación		Reacciones en ejes globales					
	Tipo	Descripción	Rx (t)	Ry (t)	Rz (t)	Mx (t·m)	My (t·m)	Mz (t·m)
		PP+N(R)1	0.044	-0.074	3.128	0.009	0.012	0.000
		PP+V(0°)H1+N(R)1	0.396	-1.721	1.664	3.850	0.226	0.000
		PP+V(0°)H2+N(R)1	0.434	-1.709	4.025	3.976	0.240	0.000
		PP+V(90°)H1+N(R)1	-0.219	1.171	3.849	-1.294	-0.805	0.000
		PP+V(180°)H1+N(R)1	0.257	1.024	1.792	-3.070	0.150	0.000
		PP+V(180°)H2+N(R)1	0.289	1.017	3.305	-3.346	0.164	0.000
		PP+V(270°)H1+N(R)1	1.945	0.997	-2.251	-1.276	0.736	0.000
		PP+N(R)2	0.046	0.019	3.502	-0.102	0.013	0.000
		PP+V(0°)H1+N(R)2	0.398	-1.628	2.038	3.739	0.226	0.000
		PP+V(0°)H2+N(R)2	0.435	-1.616	4.399	3.864	0.240	0.000
		PP+V(90°)H1+N(R)2	-0.219	1.264	4.223	-1.405	-0.805	0.000
		PP+V(180°)H1+N(R)2	0.259	1.117	2.166	-3.181	0.150	0.000
		PP+V(180°)H2+N(R)2	0.290	1.110	3.679	-3.457	0.164	0.000
		PP+V(270°)H1+N(R)2	1.946	1.090	-1.877	-1.388	0.736	0.000
		PP+Q	-0.108	-0.078	6.336	-0.006	-0.249	0.000
		PP+Q+V(0°)H1	0.097	-1.726	4.871	3.835	-0.035	0.000
		PP+Q+V(0°)H2	0.134	-1.714	7.233	3.960	-0.021	0.000

Reacciones en los nudos, por combinación								
Referencia	Combinación		Reacciones en ejes globales					
	Tipo	Descripción	Rx (t)	Ry (t)	Rz (t)	Mx (t·m)	My (t·m)	Mz (t·m)
		PP+Q+V(90°)H1	-0.330	1.166	7.056	-1.309	-1.066	0.000
		PP+Q+V(180°)H1	-0.049	1.020	5.000	-3.085	-0.111	0.000
		PP+Q+V(180°)H2	-0.011	1.012	6.513	-3.361	-0.097	0.000
		PP+Q+V(270°)H1	1.645	0.993	0.956	-1.291	0.475	0.000
		PP+Q+N(EI)	-0.106	-0.086	7.128	-0.026	-0.242	0.000
		PP+Q+V(0°)H1+N(EI)	0.114	-1.733	5.664	3.816	-0.028	0.000
		PP+Q+V(0°)H2+N(EI)	0.151	-1.722	8.025	3.941	-0.014	0.000
		PP+Q+V(90°)H1+N(EI)	-0.328	1.159	7.849	-1.329	-1.059	0.000
		PP+Q+V(180°)H1+N(EI)	-0.039	1.012	5.792	-3.104	-0.104	0.000
		PP+Q+V(180°)H2+N(EI)	0.006	1.005	7.305	-3.380	-0.090	0.000
		PP+Q+V(270°)H1+N(EI)	1.662	0.985	1.749	-1.311	0.482	0.000
		PP+Q+N(R)1	-0.107	-0.131	6.743	0.035	-0.243	0.000
		PP+Q+V(0°)H1+N(R)1	0.109	-1.778	5.279	3.876	-0.030	0.000
		PP+Q+V(0°)H2+N(R)1	0.146	-1.766	7.640	4.002	-0.016	0.000
		PP+Q+V(90°)H1+N(R)1	-0.329	1.114	7.464	-1.268	-1.061	0.000

Reacciones en los nudos, por combinación								
Referencia	Combinación		Reacciones en ejes globales					
	Tipo	Descripción	Rx (t)	Ry (t)	Rz (t)	Mx (t·m)	My (t·m)	Mz (t·m)
		PP+Q+V(180°)H1+N(R)1	-0.042	0.967	5.407	-3.044	-0.106	0.000
		PP+Q+V(180°)H2+N(R)1	0.001	0.960	6.920	-3.320	-0.092	0.000
		PP+Q+V(270°)H1+N(R)1	1.657	0.940	1.363	-1.250	0.480	0.000
		PP+Q+N(R)2	-0.106	-0.037	7.117	-0.077	-0.243	0.000
		PP+Q+V(0°)H1+N(R)2	0.110	-1.685	5.653	3.765	-0.030	0.000
		PP+Q+V(0°)H2+N(R)2	0.148	-1.673	8.014	3.890	-0.016	0.000
		PP+Q+V(90°)H1+N(R)2	-0.329	1.207	7.838	-1.380	-1.061	0.001
		PP+Q+V(180°)H1+N(R)2	-0.041	1.060	5.781	-3.155	-0.106	0.000
		PP+Q+V(180°)H2+N(R)2	0.003	1.053	7.294	-3.431	-0.092	0.000
		PP+Q+V(270°)H1+N(R)2	1.658	1.034	1.737	-1.362	0.480	0.000
N8	Hormigón en cimentaciones	PP	0.037	0.021	2.713	0.032	0.009	0.000
		1.6·PP	0.060	0.034	4.341	0.052	0.015	0.000
		PP+1.6·V(0°)H1	0.372	-1.732	0.596	4.953	0.227	0.000
		1.6·PP+1.6·V(0°)H1	0.394	-1.719	2.224	4.972	0.233	0.000
		PP+1.6·V(0°)H2	0.431	-1.720	3.005	5.395	0.252	0.000
		1.6·PP+1.6·V(0°)H2	0.453	-1.708	4.632	5.414	0.257	0.000

Reacciones en los nudos, por combinación								
Referencia	Combinación		Reacciones en ejes globales					
	Tipo	Descripción	Rx (t)	Ry (t)	Rz (t)	Mx (t·m)	My (t·m)	Mz (t·m)
		PP+1.6·V(90°)H1	-0.355	-1.970	3.876	2.117	-1.302	0.000
		1.6·PP+1.6·V(90°)H1	-0.354	-1.957	5.504	2.136	-1.296	0.000
		PP+1.6·V(180°)H1	0.594	2.654	0.369	-6.108	0.348	0.000
		1.6·PP+1.6·V(180°)H1	0.617	2.667	1.997	-6.089	0.353	0.000
		PP+1.6·V(180°)H2	0.663	2.635	4.134	-6.308	0.374	0.000
		1.6·PP+1.6·V(180°)H2	0.685	2.648	5.762	-6.289	0.380	0.000
		PP+1.6·V(270°)H1	3.071	-1.692	-5.883	2.088	1.164	0.000
		1.6·PP+1.6·V(270°)H1	3.093	-1.679	-4.255	2.108	1.170	0.000
		PP+1.6·N(EI)	0.069	0.033	3.974	0.063	0.022	0.000
		1.6·PP+1.6·N(EI)	0.091	0.046	5.602	0.083	0.027	0.000
		PP+0.96·V(0°)H1+1.6·N(EI)	0.269	-1.018	2.705	3.016	0.153	0.000
		1.6·PP+0.96·V(0°)H1+1.6·N(EI)	0.292	-1.006	4.332	3.035	0.158	0.000
		PP+0.96·V(0°)H2+1.6·N(EI)	0.305	-1.012	4.149	3.281	0.167	0.000
		1.6·PP+0.96·V(0°)H2+1.6·N(EI)	0.327	-0.999	5.777	3.300	0.173	0.000
		PP+0.96·V(90°)H1+1.6·N(EI)	-0.208	-1.161	4.672	1.314	-0.765	0.000
		1.6·PP+0.96·V(90°)H1+1.6·N(EI)	-0.207	-1.149	6.300	1.333	-0.759	0.000
		PP+0.96·V(180°)H1+1.6·N(EI)	0.403	1.613	2.568	-3.621	0.225	0.000

Reacciones en los nudos, por combinación								
Referencia	Combinación		Reacciones en ejes globales					
	Tipo	Descripción	Rx (t)	Ry (t)	Rz (t)	Mx (t·m)	My (t·m)	Mz (t·m)
		1.6·PP+0.96·V(180°)H1+1.6·N(EI)	0.425	1.626	4.196	-3.602	0.231	0.000
		PP+0.96·V(180°)H2+1.6·N(EI)	0.444	1.602	4.827	-3.741	0.241	0.000
		1.6·PP+0.96·V(180°)H2+1.6·N(EI)	0.466	1.615	6.455	-3.722	0.246	0.000
		PP+0.96·V(270°)H1+1.6·N(EI)	1.889	-0.995	-1.183	1.297	0.715	0.000
		1.6·PP+0.96·V(270°)H1+1.6·N(EI)	1.911	-0.982	0.445	1.316	0.720	0.000
		PP+1.6·V(0°)H1+0.8·N(EI)	0.387	-1.726	1.227	4.968	0.233	0.000
		1.6·PP+1.6·V(0°)H1+0.8·N(EI)	0.410	-1.713	2.855	4.988	0.239	0.000
		PP+1.6·V(0°)H2+0.8·N(EI)	0.446	-1.714	3.635	5.410	0.258	0.000
		1.6·PP+1.6·V(0°)H2+0.8·N(EI)	0.469	-1.702	5.263	5.430	0.264	0.000
		PP+1.6·V(90°)H1+0.8·N(EI)	-0.353	-1.964	4.507	2.132	-1.295	0.000
		1.6·PP+1.6·V(90°)H1+0.8·N(EI)	-0.352	-1.951	6.134	2.152	-1.290	-0.001
		PP+1.6·V(180°)H1+0.8·N(EI)	0.610	2.660	1.000	-6.093	0.354	0.000
		1.6·PP+1.6·V(180°)H1+0.8·N(EI)	0.632	2.673	2.628	-6.073	0.360	0.000
		PP+1.6·V(180°)H2+0.8·N(EI)	0.678	2.641	4.765	-6.293	0.380	0.000
		1.6·PP+1.6·V(180°)H2+0.8·N(EI)	0.701	2.654	6.393	-6.274	0.386	0.000
		PP+1.6·V(270°)H1+0.8·N(EI)	3.086	-1.686	-5.252	2.104	1.170	0.000
		1.6·PP+1.6·V(270°)H1+0.8·N(EI)	3.109	-1.673	-3.624	2.123	1.176	0.000

Reacciones en los nudos, por combinación								
Referencia	Combinación		Reacciones en ejes globales					
	Tipo	Descripción	Rx (t)	Ry (t)	Rz (t)	Mx (t·m)	My (t·m)	Mz (t·m)
		PP+1.6·N(R)1	0.062	-0.044	3.960	0.144	0.019	0.000
		1.6·PP+1.6·N(R)1	0.085	-0.031	5.587	0.164	0.024	0.000
		PP+0.96·V(0°)H1+1.6·N(R)1	0.263	-1.096	2.690	3.097	0.150	0.000
		1.6·PP+0.96·V(0°)H1+1.6·N(R)1	0.285	-1.083	4.317	3.116	0.155	0.000
		PP+0.96·V(0°)H2+1.6·N(R)1	0.298	-1.089	4.135	3.362	0.164	0.000
		1.6·PP+0.96·V(0°)H2+1.6·N(R)1	0.321	-1.076	5.762	3.381	0.170	0.000
		PP+0.96·V(90°)H1+1.6·N(R)1	-0.209	-1.238	4.657	1.395	-0.768	0.000
		1.6·PP+0.96·V(90°)H1+1.6·N(R)1	-0.208	-1.226	6.285	1.414	-0.762	-0.001
		PP+0.96·V(180°)H1+1.6·N(R)1	0.396	1.536	2.553	-3.540	0.222	0.000
		1.6·PP+0.96·V(180°)H1+1.6·N(R)1	0.419	1.549	4.181	-3.521	0.227	0.000
		PP+0.96·V(180°)H2+1.6·N(R)1	0.437	1.525	4.812	-3.660	0.238	0.000
		1.6·PP+0.96·V(180°)H2+1.6·N(R)1	0.460	1.538	6.440	-3.641	0.243	0.000
		PP+0.96·V(270°)H1+1.6·N(R)1	1.882	-1.072	-1.198	1.378	0.712	0.000
		1.6·PP+0.96·V(270°)H1+1.6·N(R)1	1.905	-1.059	0.430	1.397	0.717	0.000
		PP+1.6·V(0°)H1+0.8·N(R)1	0.384	-1.764	1.220	5.009	0.232	0.000

Reacciones en los nudos, por combinación								
Referencia	Combinación		Reacciones en ejes globales					
	Tipo	Descripción	Rx (t)	Ry (t)	Rz (t)	Mx (t·m)	My (t·m)	Mz (t·m)
		1.6·PP+1.6·V(0°)H1+0.8·N(R)1	0.407	-1.752	2.847	5.028	0.237	0.000
		PP+1.6·V(0°)H2+0.8·N(R)1	0.443	-1.753	3.628	5.451	0.257	0.000
		1.6·PP+1.6·V(0°)H2+0.8·N(R)1	0.466	-1.740	5.256	5.470	0.262	0.000
		PP+1.6·V(90°)H1+0.8·N(R)1	-0.353	-2.002	4.499	2.173	-1.297	-0.001
		1.6·PP+1.6·V(90°)H1+0.8·N(R)1	-0.352	-1.990	6.127	2.192	-1.291	-0.001
		PP+1.6·V(180°)H1+0.8·N(R)1	0.607	2.621	0.993	-6.052	0.353	0.000
		1.6·PP+1.6·V(180°)H1+0.8·N(R)1	0.629	2.634	2.620	-6.033	0.358	0.000
		PP+1.6·V(180°)H2+0.8·N(R)1	0.675	2.603	4.758	-6.252	0.379	0.000
		1.6·PP+1.6·V(180°)H2+0.8·N(R)1	0.697	2.616	6.385	-6.233	0.384	0.000
		PP+1.6·V(270°)H1+0.8·N(R)1	3.083	-1.725	-5.259	2.144	1.169	0.000
		1.6·PP+1.6·V(270°)H1+0.8·N(R)1	3.106	-1.712	-3.632	2.164	1.174	0.000
		PP+1.6·N(R)2	0.060	0.104	3.359	-0.033	0.019	0.000
		1.6·PP+1.6·N(R)2	0.082	0.117	4.986	-0.014	0.024	0.000
		PP+0.96·V(0°)H1+1.6·N(R)2	0.260	-0.947	2.089	2.919	0.149	0.000
		1.6·PP+0.96·V(0°)H1+1.6·N(R)2	0.283	-0.935	3.716	2.939	0.155	0.000
		PP+0.96·V(0°)H2+1.6·N(R)2	0.296	-0.941	3.534	3.184	0.164	0.000

Reacciones en los nudos, por combinación								
Referencia	Combinación		Reacciones en ejes globales					
	Tipo	Descripción	Rx (t)	Ry (t)	Rz (t)	Mx (t·m)	My (t·m)	Mz (t·m)
		1.6·PP+0.96·V(0°)H2+1.6·N(R)2	0.318	-0.928	5.161	3.204	0.170	0.000
		PP+0.96·V(90°)H1+1.6·N(R)2	-0.209	-1.090	4.056	1.218	-0.768	0.000
		1.6·PP+0.96·V(90°)H1+1.6·N(R)2	-0.208	-1.077	5.684	1.237	-0.762	0.000
		PP+0.96·V(180°)H1+1.6·N(R)2	0.394	1.684	1.952	-3.718	0.222	0.000
		1.6·PP+0.96·V(180°)H1+1.6·N(R)2	0.416	1.697	3.580	-3.698	0.227	0.000
		PP+0.96·V(180°)H2+1.6·N(R)2	0.435	1.673	4.211	-3.838	0.238	0.000
		1.6·PP+0.96·V(180°)H2+1.6·N(R)2	0.457	1.686	5.839	-3.818	0.243	0.000
		PP+0.96·V(270°)H1+1.6·N(R)2	1.879	-0.924	-1.799	1.200	0.712	0.000
		1.6·PP+0.96·V(270°)H1+1.6·N(R)2	1.902	-0.911	-0.171	1.220	0.717	0.000
		PP+1.6·V(0°)H1+0.8·N(R)2	0.383	-1.690	0.919	4.920	0.232	0.000
		1.6·PP+1.6·V(0°)H1+0.8·N(R)2	0.405	-1.677	2.547	4.940	0.237	0.000
		PP+1.6·V(0°)H2+0.8·N(R)2	0.442	-1.679	3.327	5.362	0.256	0.000
		1.6·PP+1.6·V(0°)H2+0.8·N(R)2	0.464	-1.666	4.955	5.381	0.262	0.000
		PP+1.6·V(90°)H1+0.8·N(R)2	-0.353	-1.928	4.199	2.084	-1.297	0.000
		1.6·PP+1.6·V(90°)H1+0.8·N(R)2	-0.352	-1.916	5.827	2.104	-1.292	0.000

Reacciones en los nudos, por combinación								
Referencia	Combinación		Reacciones en ejes globales					
	Tipo	Descripción	Rx (t)	Ry (t)	Rz (t)	Mx (t·m)	My (t·m)	Mz (t·m)
		PP+1.6·V(180°)H1+0.8·N(R)2	0.605	2.695	0.692	-6.141	0.352	0.000
		1.6·PP+1.6·V(180°)H1+0.8·N(R)2	0.628	2.708	2.320	-6.122	0.358	0.000
		PP+1.6·V(180°)H2+0.8·N(R)2	0.674	2.677	4.457	-6.341	0.379	0.000
		1.6·PP+1.6·V(180°)H2+0.8·N(R)2	0.696	2.690	6.085	-6.322	0.384	0.000
		PP+1.6·V(270°)H1+0.8·N(R)2	3.082	-1.651	-5.560	2.056	1.169	0.000
		1.6·PP+1.6·V(270°)H1+0.8·N(R)2	3.104	-1.638	-3.932	2.075	1.174	0.000
		PP+1.6·Q	-0.173	0.112	8.484	-0.009	-0.397	0.000
		1.6·PP+1.6·Q	-0.172	0.125	10.111	0.011	-0.391	0.000
	Tensiones sobre el terreno	PP	0.037	0.021	2.713	0.032	0.009	0.000
		PP+V(0°)H1	0.246	-1.074	1.390	3.108	0.145	0.000
		PP+V(0°)H2	0.283	-1.067	2.895	3.384	0.161	0.000
		PP+V(90°)H1	-0.221	-1.223	3.440	1.335	-0.810	0.000
		PP+V(180°)H1	0.385	1.667	1.248	-3.806	0.221	0.000
		PP+V(180°)H2	0.428	1.655	3.601	-3.931	0.237	0.000
		PP+V(270°)H1	1.933	-1.050	-2.659	1.317	0.731	0.000
		PP+N(EI)	0.057	0.029	3.501	0.052	0.017	0.000
		PP+V(0°)H1+N(EI)	0.266	-1.067	2.179	3.127	0.153	0.000

Reacciones en los nudos, por combinación								
Referencia	Combinación		Reacciones en ejes globales					
	Tipo	Descripción	Rx (t)	Ry (t)	Rz (t)	Mx (t·m)	My (t·m)	Mz (t·m)
		PP+V(0°)H2+N(EI)	0.303	-1.060	3.684	3.403	0.169	0.000
		PP+V(90°)H1+N(EI)	-0.218	-1.216	4.228	1.355	-0.802	0.000
		PP+V(180°)H1+N(EI)	0.405	1.674	2.037	-3.786	0.229	0.000
		PP+V(180°)H2+N(EI)	0.448	1.663	4.390	-3.911	0.245	0.000
		PP+V(270°)H1+N(EI)	1.953	-1.042	-1.871	1.337	0.739	0.000
		PP+N(R)1	0.053	-0.019	3.492	0.102	0.015	0.000
		PP+V(0°)H1+N(R)1	0.262	-1.115	2.169	3.178	0.151	0.000
		PP+V(0°)H2+N(R)1	0.299	-1.108	3.674	3.454	0.167	0.000
		PP+V(90°)H1+N(R)1	-0.219	-1.264	4.219	1.405	-0.804	0.000
		PP+V(180°)H1+N(R)1	0.401	1.626	2.027	-3.736	0.227	0.000
		PP+V(180°)H2+N(R)1	0.444	1.614	4.381	-3.861	0.243	0.000
		PP+V(270°)H1+N(R)1	1.949	-1.090	-1.880	1.387	0.737	0.000
		PP+N(R)2	0.051	0.073	3.116	-0.009	0.015	0.000
		PP+V(0°)H1+N(R)2	0.260	-1.022	1.794	3.067	0.151	0.000
		PP+V(0°)H2+N(R)2	0.297	-1.015	3.299	3.343	0.167	0.000
		PP+V(90°)H1+N(R)2	-0.219	-1.171	3.843	1.294	-0.804	0.000

Reacciones en los nudos, por combinación								
Referencia	Combinación		Reacciones en ejes globales					
	Tipo	Descripción	Rx (t)	Ry (t)	Rz (t)	Mx (t·m)	My (t·m)	Mz (t·m)
		PP+V(180°)H1+N(R)2	0.399	1.719	1.652	-3.847	0.227	0.000
		PP+V(180°)H2+N(R)2	0.442	1.707	4.005	-3.972	0.243	0.000
		PP+V(270°)H1+N(R)2	1.947	-0.998	-2.256	1.276	0.737	0.000
		PP+Q	-0.107	0.078	6.320	0.007	-0.245	0.000
		PP+Q+V(0°)H1	-0.046	-1.018	4.997	3.082	-0.109	0.000
		PP+Q+V(0°)H2	0.001	-1.010	6.502	3.358	-0.093	0.000
		PP+Q+V(90°)H1	-0.330	-1.166	7.047	1.309	-1.064	0.000
		PP+Q+V(180°)H1	0.103	1.723	4.855	-3.831	-0.033	0.000
		PP+Q+V(180°)H2	0.146	1.712	7.208	-3.956	-0.017	0.000
		PP+Q+V(270°)H1	1.651	-0.993	0.947	1.292	0.477	0.000
		PP+Q+N(EI)	-0.105	0.086	7.108	0.026	-0.237	0.000
		PP+Q+V(0°)H1+N(EI)	-0.017	-1.010	5.785	3.101	-0.101	0.000
		PP+Q+V(0°)H2+N(EI)	0.020	-1.003	7.290	3.377	-0.085	0.000
		PP+Q+V(90°)H1+N(EI)	-0.327	-1.159	7.835	1.329	-1.056	0.000
		PP+Q+V(180°)H1+N(EI)	0.122	1.731	5.643	-3.812	-0.025	0.000
		PP+Q+V(180°)H2+N(EI)	0.165	1.719	7.997	-3.937	-0.009	0.000

Reacciones en los nudos, por combinación								
Referencia	Combinación		Reacciones en ejes globales					
	Tipo	Descripción	Rx (t)	Ry (t)	Rz (t)	Mx (t·m)	My (t·m)	Mz (t·m)
		PP+Q+V(270°)H1+N(EI)	1.670	-0.985	1.736	1.311	0.485	0.000
		PP+Q+N(R)1	-0.105	0.038	7.099	0.077	-0.239	0.000
		PP+Q+V(0°)H1+N(R)1	-0.021	-1.058	5.776	3.152	-0.103	0.000
		PP+Q+V(0°)H2+N(R)1	0.016	-1.051	7.281	3.428	-0.087	0.000
		PP+Q+V(90°)H1+N(R)1	-0.328	-1.207	7.826	1.379	-1.058	-0.001
		PP+Q+V(180°)H1+N(R)1	0.118	1.683	5.634	-3.761	-0.027	0.000
		PP+Q+V(180°)H2+N(R)1	0.161	1.671	7.987	-3.886	-0.011	0.000
		PP+Q+V(270°)H1+N(R)1	1.666	-1.033	1.727	1.361	0.483	0.000
		PP+Q+N(R)2	-0.105	0.130	6.723	-0.034	-0.239	0.000
		PP+Q+V(0°)H1+N(R)2	-0.022	-0.966	5.400	3.041	-0.103	0.000
		PP+Q+V(0°)H2+N(R)2	0.014	-0.958	6.905	3.317	-0.087	0.000
		PP+Q+V(90°)H1+N(R)2	-0.328	-1.114	7.450	1.269	-1.058	0.000
		PP+Q+V(180°)H1+N(R)2	0.117	1.775	5.258	-3.872	-0.027	0.000
		PP+Q+V(180°)H2+N(R)2	0.159	1.764	7.612	-3.997	-0.011	0.000
		PP+Q+V(270°)H1+N(R)2	1.664	-0.941	1.351	1.251	0.483	0.000
N11	Hormigón en cimentaciones	PP	-0.010	1.431	3.333	-4.797	-0.027	0.000

Reacciones en los nudos, por combinación								
Referencia	Combinación		Reacciones en ejes globales					
	Tipo	Descripción	Rx (t)	Ry (t)	Rz (t)	Mx (t·m)	My (t·m)	Mz (t·m)
		1.6·PP	-0.016	2.289	5.332	-7.676	-0.044	0.000
		PP+1.6·V(0°)H1	0.013	-3.890	-0.143	11.531	0.046	-0.001
		1.6·PP+1.6·V(0°)H1	0.007	-3.032	1.856	8.652	0.030	-0.001
		PP+1.6·V(0°)H2	0.001	-1.807	4.649	5.295	0.015	-0.002
		1.6·PP+1.6·V(0°)H2	-0.005	-0.949	6.648	2.417	-0.002	-0.002
		PP+1.6·V(90°)H1	-0.189	1.991	-1.320	-2.520	-0.911	0.001
		1.6·PP+1.6·V(90°)H1	-0.195	2.849	0.680	-5.399	-0.927	0.001
		PP+1.6·V(180°)H1	-0.011	1.925	0.421	-7.014	-0.026	0.001
		1.6·PP+1.6·V(180°)H1	-0.017	2.783	2.420	-9.892	-0.042	0.001
		PP+1.6·V(180°)H2	-0.029	4.283	4.034	-15.503	-0.071	0.001
		1.6·PP+1.6·V(180°)H2	-0.035	5.141	6.033	-18.381	-0.087	0.001
		PP+1.6·V(270°)H1	0.184	2.314	-0.539	-3.582	0.894	-0.001
		1.6·PP+1.6·V(270°)H1	0.178	3.172	1.460	-6.460	0.878	-0.001
		PP+1.6·N(EI)	-0.018	2.504	5.179	-8.381	-0.046	-0.001

Reacciones en los nudos, por combinación								
Referencia	Combinación		Reacciones en ejes globales					
	Tipo	Descripción	Rx (t)	Ry (t)	Rz (t)	Mx (t·m)	My (t·m)	Mz (t·m)
		1.6·PP+1.6·N(EI)	-0.024	3.362	7.179	-11.259	-0.062	-0.001
		PP+0.96·V(0°)H1+1.6·N(EI)	-0.004	-0.688	3.093	1.416	-0.002	-0.001
		1.6·PP+0.96·V(0°)H1+1.6·N(EI)	-0.010	0.170	5.093	-1.462	-0.018	-0.001
		PP+0.96·V(0°)H2+1.6·N(EI)	-0.011	0.561	5.969	-2.325	-0.021	-0.001
		1.6·PP+0.96·V(0°)H2+1.6·N(EI)	-0.017	1.419	7.968	-5.203	-0.037	-0.002
		PP+0.96·V(90°)H1+1.6·N(EI)	-0.124	2.840	2.387	-7.014	-0.576	0.000
		1.6·PP+0.96·V(90°)H1+1.6·N(EI)	-0.131	3.698	4.387	-9.893	-0.592	0.000
		PP+0.96·V(180°)H1+1.6·N(EI)	-0.018	2.801	3.432	-9.710	-0.045	0.001
		1.6·PP+0.96·V(180°)H1+1.6·N(EI)	-0.024	3.659	5.431	-12.589	-0.061	0.000
		PP+0.96·V(180°)H2+1.6·N(EI)	-0.029	4.215	5.600	-14.804	-0.072	0.000
		1.6·PP+0.96·V(180°)H2+1.6·N(EI)	-0.035	5.074	7.599	-17.682	-0.088	0.000
		PP+0.96·V(270°)H1+1.6·N(EI)	0.099	3.034	2.856	-7.651	0.507	-0.001
		1.6·PP+0.96·V(270°)H1+1.6·N(EI)	0.093	3.892	4.855	-10.530	0.491	-0.001
		PP+1.6·V(0°)H1+0.8·N(EI)	0.009	-3.353	0.780	9.739	0.037	-0.001

Reacciones en los nudos, por combinación								
Referencia	Combinación		Reacciones en ejes globales					
	Tipo	Descripción	Rx (t)	Ry (t)	Rz (t)	Mx (t·m)	My (t·m)	Mz (t·m)
		1.6·PP+1.6·V(0°)H1+0.8·N(EI)	0.003	-2.495	2.779	6.861	0.021	-0.001
		PP+1.6·V(0°)H2+0.8·N(EI)	-0.003	-1.271	5.572	3.504	0.005	-0.002
		1.6·PP+1.6·V(0°)H2+0.8·N(EI)	-0.009	-0.412	7.572	0.625	-0.011	-0.002
		PP+1.6·V(90°)H1+0.8·N(EI)	-0.192	2.527	-0.397	-4.312	-0.920	0.001
		1.6·PP+1.6·V(90°)H1+0.8·N(EI)	-0.198	3.386	1.603	-7.190	-0.936	0.000
		PP+1.6·V(180°)H1+0.8·N(EI)	-0.015	2.462	1.344	-8.805	-0.035	0.001
		1.6·PP+1.6·V(180°)H1+0.8·N(EI)	-0.021	3.320	3.343	-11.684	-0.051	0.001
		PP+1.6·V(180°)H2+0.8·N(EI)	-0.032	4.820	4.957	-17.294	-0.080	0.001
		1.6·PP+1.6·V(180°)H2+0.8·N(EI)	-0.038	5.678	6.957	-20.173	-0.097	0.001
		PP+1.6·V(270°)H1+0.8·N(EI)	0.180	2.851	0.384	-5.373	0.885	-0.001
		1.6·PP+1.6·V(270°)H1+0.8·N(EI)	0.174	3.709	2.384	-8.252	0.869	-0.001
		PP+1.6·N(R)1	-0.017	2.221	4.441	-7.725	-0.044	0.000
		1.6·PP+1.6·N(R)1	-0.023	3.079	6.441	-10.603	-0.060	-0.001
		PP+0.96·V(0°)H1+1.6·N(R)1	-0.003	-0.971	2.355	2.072	0.000	-0.001

Reacciones en los nudos, por combinación								
Referencia	Combinación		Reacciones en ejes globales					
	Tipo	Descripción	Rx (t)	Ry (t)	Rz (t)	Mx (t·m)	My (t·m)	Mz (t·m)
		1.6·PP+0.96·V(0°)H1+1.6·N(R)1	-0.009	-0.113	4.355	-0.806	-0.016	-0.001
		PP+0.96·V(0°)H2+1.6·N(R)1	-0.010	0.278	5.231	-1.669	-0.019	-0.001
		1.6·PP+0.96·V(0°)H2+1.6·N(R)1	-0.016	1.136	7.230	-4.548	-0.035	-0.001
		PP+0.96·V(90°)H1+1.6·N(R)1	-0.124	2.557	1.649	-6.359	-0.574	0.000
		1.6·PP+0.96·V(90°)H1+1.6·N(R)1	-0.130	3.415	3.649	-9.237	-0.590	0.000
		PP+0.96·V(180°)H1+1.6·N(R)1	-0.017	2.518	2.694	-9.055	-0.043	0.001
		1.6·PP+0.96·V(180°)H1+1.6·N(R)1	-0.024	3.376	4.694	-11.933	-0.059	0.000
		PP+0.96·V(180°)H2+1.6·N(R)1	-0.028	3.932	4.862	-14.148	-0.070	0.001
		1.6·PP+0.96·V(180°)H2+1.6·N(R)1	-0.034	4.791	6.861	-17.026	-0.086	0.000
		PP+0.96·V(270°)H1+1.6·N(R)1	0.100	2.751	2.118	-6.995	0.509	-0.001
		1.6·PP+0.96·V(270°)H1+1.6·N(R)1	0.094	3.609	4.118	-9.874	0.493	-0.001
		PP+1.6·V(0°)H1+0.8·N(R)1	0.010	-3.495	0.411	10.067	0.038	-0.001
		1.6·PP+1.6·V(0°)H1+0.8·N(R)1	0.004	-2.636	2.410	7.189	0.022	-0.001
		PP+1.6·V(0°)H2+0.8·N(R)1	-0.002	-1.412	5.203	3.832	0.006	-0.002

Reacciones en los nudos, por combinación								
Referencia	Combinación		Reacciones en ejes globales					
	Tipo	Descripción	Rx (t)	Ry (t)	Rz (t)	Mx (t·m)	My (t·m)	Mz (t·m)
		1.6·PP+1.6·V(0°)H2+0.8·N(R)1	-0.009	-0.554	7.203	0.953	-0.010	-0.002
		PP+1.6·V(90°)H1+0.8·N(R)1	-0.192	2.386	-0.766	-3.984	-0.919	0.001
		1.6·PP+1.6·V(90°)H1+0.8·N(R)1	-0.198	3.244	1.234	-6.863	-0.935	0.001
		PP+1.6·V(180°)H1+0.8·N(R)1	-0.015	2.320	0.975	-8.477	-0.034	0.001
		1.6·PP+1.6·V(180°)H1+0.8·N(R)1	-0.021	3.179	2.974	-11.356	-0.050	0.001
		PP+1.6·V(180°)H2+0.8·N(R)1	-0.032	4.678	4.588	-16.966	-0.079	0.001
		1.6·PP+1.6·V(180°)H2+0.8·N(R)1	-0.038	5.536	6.588	-19.845	-0.096	0.001
		PP+1.6·V(270°)H1+0.8·N(R)1	0.181	2.709	0.015	-5.045	0.886	-0.001
		1.6·PP+1.6·V(270°)H1+0.8·N(R)1	0.175	3.568	2.015	-7.924	0.870	-0.001
		PP+1.6·N(R)2	-0.015	2.250	4.994	-7.245	-0.039	-0.001
		1.6·PP+1.6·N(R)2	-0.021	3.108	6.993	-10.123	-0.055	-0.001
		PP+0.96·V(0°)H1+1.6·N(R)2	-0.001	-0.942	2.908	2.552	0.005	-0.001
		1.6·PP+0.96·V(0°)H1+1.6·N(R)2	-0.007	-0.084	4.908	-0.326	-0.011	-0.001
		PP+0.96·V(0°)H2+1.6·N(R)2	-0.008	0.307	5.783	-1.189	-0.013	-0.001

Reacciones en los nudos, por combinación								
Referencia	Combinación		Reacciones en ejes globales					
	Tipo	Descripción	Rx (t)	Ry (t)	Rz (t)	Mx (t·m)	My (t·m)	Mz (t·m)
		1.6·PP+0.96·V(0°)H2+1.6·N(R)2	-0.014	1.166	7.783	-4.067	-0.030	-0.002
		PP+0.96·V(90°)H1+1.6·N(R)2	-0.122	2.586	2.202	-5.879	-0.569	0.000
		1.6·PP+0.96·V(90°)H1+1.6·N(R)2	-0.128	3.444	4.202	-8.757	-0.585	0.000
		PP+0.96·V(180°)H1+1.6·N(R)2	-0.015	2.547	3.246	-8.574	-0.038	0.000
		1.6·PP+0.96·V(180°)H1+1.6·N(R)2	-0.021	3.405	5.246	-11.453	-0.054	0.000
		PP+0.96·V(180°)H2+1.6·N(R)2	-0.026	3.962	5.414	-13.668	-0.065	0.000
		1.6·PP+0.96·V(180°)H2+1.6·N(R)2	-0.032	4.820	7.414	-16.546	-0.081	0.000
		PP+0.96·V(270°)H1+1.6·N(R)2	0.102	2.780	2.671	-6.515	0.514	-0.001
		1.6·PP+0.96·V(270°)H1+1.6·N(R)2	0.096	3.639	4.670	-9.394	0.498	-0.001
		PP+1.6·V(0°)H1+0.8·N(R)2	0.011	-3.480	0.687	10.307	0.040	-0.001
		1.6·PP+1.6·V(0°)H1+0.8·N(R)2	0.005	-2.622	2.687	7.429	0.024	-0.001
		PP+1.6·V(0°)H2+0.8·N(R)2	-0.001	-1.398	5.479	4.072	0.009	-0.002
		1.6·PP+1.6·V(0°)H2+0.8·N(R)2	-0.008	-0.539	7.479	1.193	-0.007	-0.002
		PP+1.6·V(90°)H1+0.8·N(R)2	-0.191	2.400	-0.490	-3.744	-0.916	0.001

Reacciones en los nudos, por combinación								
Referencia	Combinación		Reacciones en ejes globales					
	Tipo	Descripción	Rx (t)	Ry (t)	Rz (t)	Mx (t·m)	My (t·m)	Mz (t·m)
		1.6·PP+1.6·V(90°)H1+0.8·N(R)2	-0.197	3.259	1.510	-6.623	-0.933	0.000
		PP+1.6·V(180°)H1+0.8·N(R)2	-0.014	2.335	1.251	-8.237	-0.031	0.001
		1.6·PP+1.6·V(180°)H1+0.8·N(R)2	-0.020	3.193	3.251	-11.116	-0.048	0.001
		PP+1.6·V(180°)H2+0.8·N(R)2	-0.031	4.693	4.864	-16.726	-0.077	0.001
		1.6·PP+1.6·V(180°)H2+0.8·N(R)2	-0.037	5.551	6.864	-19.605	-0.093	0.001
		PP+1.6·V(270°)H1+0.8·N(R)2	0.182	2.724	0.291	-4.805	0.889	-0.001
		1.6·PP+1.6·V(270°)H1+0.8·N(R)2	0.176	3.582	2.291	-7.684	0.872	-0.001
		PP+1.6·Q	-0.051	3.655	7.171	-12.228	-0.183	-0.001
		1.6·PP+1.6·Q	-0.057	4.514	9.170	-15.106	-0.199	-0.001
	Tensiones sobre el terreno	PP	-0.010	1.431	3.333	-4.797	-0.027	0.000
		PP+V(0°)H1	0.004	-1.895	1.160	5.408	0.019	-0.001
		PP+V(0°)H2	-0.003	-0.593	4.155	1.511	-0.001	-0.001
		PP+V(90°)H1	-0.122	1.781	0.425	-3.374	-0.579	0.000
		PP+V(180°)H1	-0.011	1.740	1.513	-6.183	-0.026	0.001

Reacciones en los nudos, por combinación								
Referencia	Combinación		Reacciones en ejes globales					
	Tipo	Descripción	Rx (t)	Ry (t)	Rz (t)	Mx (t·m)	My (t·m)	Mz (t·m)
		PP+V(180°)H2	-0.022	3.213	3.771	-11.488	-0.055	0.001
		PP+V(270°)H1	0.111	1.983	0.913	-4.038	0.549	-0.001
		PP+N(EI)	-0.015	2.101	4.487	-7.037	-0.039	0.000
		PP+V(0°)H1+N(EI)	0.000	-1.224	2.314	3.168	0.007	-0.001
		PP+V(0°)H2+N(EI)	-0.008	0.078	5.309	-0.729	-0.013	-0.001
		PP+V(90°)H1+N(EI)	-0.126	2.451	1.579	-5.614	-0.591	0.000
		PP+V(180°)H1+N(EI)	-0.015	2.410	2.667	-8.422	-0.038	0.001
		PP+V(180°)H2+N(EI)	-0.026	3.884	4.925	-13.728	-0.066	0.001
		PP+V(270°)H1+N(EI)	0.107	2.654	2.067	-6.277	0.537	-0.001
		PP+N(R)1	-0.014	1.925	4.025	-6.627	-0.038	0.000
		PP+V(0°)H1+N(R)1	0.000	-1.401	1.853	3.578	0.008	-0.001
		PP+V(0°)H2+N(R)1	-0.007	-0.099	4.848	-0.319	-0.011	-0.001
		PP+V(90°)H1+N(R)1	-0.126	2.275	1.118	-5.204	-0.590	0.000
		PP+V(180°)H1+N(R)1	-0.015	2.234	2.205	-8.012	-0.037	0.001

Reacciones en los nudos, por combinación								
Referencia	Combinación		Reacciones en ejes globales					
	Tipo	Descripción	Rx (t)	Ry (t)	Rz (t)	Mx (t·m)	My (t·m)	Mz (t·m)
		PP+V(180°)H2+N(R)1	-0.026	3.707	4.464	-13.318	-0.065	0.001
		PP+V(270°)H1+N(R)1	0.107	2.477	1.606	-5.867	0.538	-0.001
		PP+N(R)2	-0.013	1.943	4.371	-6.327	-0.034	0.000
		PP+V(0°)H1+N(R)2	0.002	-1.383	2.198	3.878	0.012	-0.001
		PP+V(0°)H2+N(R)2	-0.006	-0.081	5.193	-0.019	-0.008	-0.001
		PP+V(90°)H1+N(R)2	-0.124	2.293	1.463	-4.904	-0.586	0.000
		PP+V(180°)H1+N(R)2	-0.014	2.252	2.551	-7.712	-0.033	0.001
		PP+V(180°)H2+N(R)2	-0.025	3.726	4.809	-13.018	-0.062	0.000
		PP+V(270°)H1+N(R)2	0.108	2.495	1.951	-5.567	0.542	-0.001
		PP+Q	-0.036	2.821	5.731	-9.441	-0.125	0.000
		PP+Q+V(0°)H1	-0.021	-0.504	3.559	0.764	-0.079	-0.001
		PP+Q+V(0°)H2	-0.029	0.797	6.554	-3.133	-0.098	-0.001
		PP+Q+V(90°)H1	-0.147	3.171	2.823	-8.018	-0.677	0.000
		PP+Q+V(180°)H1	-0.036	3.130	3.911	-10.826	-0.124	0.001

Reacciones en los nudos, por combinación								
Referencia	Combinación		Reacciones en ejes globales					
	Tipo	Descripción	Rx (t)	Ry (t)	Rz (t)	Mx (t·m)	My (t·m)	Mz (t·m)
		PP+Q+V(180°)H2	-0.047	4.604	6.170	-16.132	-0.152	0.000
		PP+Q+V(270°)H1	0.086	3.373	3.311	-8.682	0.451	-0.001
		PP+Q+N(EI)	-0.040	3.492	6.885	-11.681	-0.136	-0.001
		PP+Q+V(0°)H1+N(EI)	-0.026	0.167	4.713	-1.476	-0.090	-0.001
		PP+Q+V(0°)H2+N(EI)	-0.033	1.468	7.708	-5.373	-0.110	-0.002
		PP+Q+V(90°)H1+N(EI)	-0.152	3.842	3.977	-10.258	-0.688	0.000
		PP+Q+V(180°)H1+N(EI)	-0.041	3.801	5.065	-13.066	-0.135	0.000
		PP+Q+V(180°)H2+N(EI)	-0.052	5.275	7.323	-18.372	-0.163	0.000
		PP+Q+V(270°)H1+N(EI)	0.081	4.044	4.465	-10.921	0.440	-0.001
		PP+Q+N(R)1	-0.040	3.315	6.424	-11.271	-0.135	0.000
		PP+Q+V(0°)H1+N(R)1	-0.025	-0.010	4.252	-1.066	-0.089	-0.001
		PP+Q+V(0°)H2+N(R)1	-0.033	1.291	7.247	-4.963	-0.109	-0.001
		PP+Q+V(90°)H1+N(R)1	-0.151	3.665	3.516	-9.848	-0.687	0.000
		PP+Q+V(180°)H1+N(R)1	-0.040	3.624	4.604	-12.656	-0.134	0.001

Reacciones en los nudos, por combinación								
Referencia	Combinación		Reacciones en ejes globales					
	Tipo	Descripción	Rx (t)	Ry (t)	Rz (t)	Mx (t·m)	My (t·m)	Mz (t·m)
		PP+Q+V(180°)H2+N(R)1	-0.051	5.098	6.862	-17.962	-0.162	0.000
		PP+Q+V(270°)H1+N(R)1	0.082	3.867	4.004	-10.511	0.441	-0.001
		PP+Q+N(R)2	-0.039	3.333	6.770	-10.971	-0.132	-0.001
		PP+Q+V(0°)H1+N(R)2	-0.024	0.008	4.597	-0.766	-0.086	-0.001
		PP+Q+V(0°)H2+N(R)2	-0.032	1.310	7.592	-4.663	-0.105	-0.002
		PP+Q+V(90°)H1+N(R)2	-0.150	3.683	3.862	-9.548	-0.684	0.000
		PP+Q+V(180°)H1+N(R)2	-0.039	3.642	4.949	-12.356	-0.131	0.000
		PP+Q+V(180°)H2+N(R)2	-0.050	5.116	7.208	-17.662	-0.159	0.000
		PP+Q+V(270°)H1+N(R)2	0.083	3.886	4.350	-10.211	0.444	-0.001
N13	Hormigón en cimentaciones	PP	-0.010	-1.427	3.330	4.778	-0.025	0.000
		1.6·PP	-0.016	-2.283	5.328	7.645	-0.040	0.001
		PP+1.6·V(0°)H1	-0.011	-1.929	0.424	7.028	-0.026	-0.001
		1.6·PP+1.6·V(0°)H1	-0.017	-2.785	2.422	9.895	-0.041	-0.001
		PP+1.6·V(0°)H2	-0.028	-4.281	4.033	15.487	-0.068	-0.001

Reacciones en los nudos, por combinación								
Referencia	Combinación		Reacciones en ejes globales					
	Tipo	Descripción	Rx (t)	Ry (t)	Rz (t)	Mx (t·m)	My (t·m)	Mz (t·m)
		1.6·PP+1.6·V(0°)H2	-0.034	-5.137	6.031	18.354	-0.083	-0.001
		PP+1.6·V(90°)H1	-0.189	-1.991	-1.319	2.525	-0.911	-0.001
		1.6·PP+1.6·V(90°)H1	-0.195	-2.847	0.679	5.392	-0.926	-0.001
		PP+1.6·V(180°)H1	0.013	3.891	-0.146	-11.535	0.045	0.001
		1.6·PP+1.6·V(180°)H1	0.007	3.035	1.852	-8.668	0.030	0.001
		PP+1.6·V(180°)H2	0.001	1.815	4.642	-5.329	0.017	0.002
		1.6·PP+1.6·V(180°)H2	-0.005	0.959	6.640	-2.463	0.002	0.002
		PP+1.6·V(270°)H1	0.184	-2.316	-0.538	3.590	0.893	0.001
		1.6·PP+1.6·V(270°)H1	0.178	-3.172	1.460	6.457	0.878	0.001
		PP+1.6·N(EI)	-0.017	-2.497	5.174	8.347	-0.042	0.001
		1.6·PP+1.6·N(EI)	-0.023	-3.353	7.172	11.214	-0.058	0.001
		PP+0.96·V(0°)H1+1.6·N(EI)	-0.018	-2.798	3.431	9.697	-0.043	0.000
		1.6·PP+0.96·V(0°)H1+1.6·N(EI)	-0.024	-3.655	5.429	12.564	-0.058	0.000
		PP+0.96·V(0°)H2+1.6·N(EI)	-0.028	-4.210	5.596	14.772	-0.068	0.000
		1.6·PP+0.96·V(0°)H2+1.6·N(EI)	-0.034	-5.066	7.594	17.639	-0.083	0.000

Reacciones en los nudos, por combinación								
Referencia	Combinación		Reacciones en ejes globales					
	Tipo	Descripción	Rx (t)	Ry (t)	Rz (t)	Mx (t·m)	My (t·m)	Mz (t·m)
		PP+0.96·V(90°)H1+1.6·N(EI)	-0.124	-2.836	2.385	6.995	-0.574	0.000
		1.6·PP+0.96·V(90°)H1+1.6·N(EI)	-0.130	-3.692	4.383	9.862	-0.589	0.000
		PP+0.96·V(180°)H1+1.6·N(EI)	-0.003	0.694	3.089	-1.441	0.000	0.001
		1.6·PP+0.96·V(180°)H1+1.6·N(EI)	-0.009	-0.162	5.087	1.426	-0.015	0.001
		PP+0.96·V(180°)H2+1.6·N(EI)	-0.010	-0.552	5.962	2.282	-0.017	0.001
		1.6·PP+0.96·V(180°)H2+1.6·N(EI)	-0.016	-1.409	7.960	5.149	-0.032	0.002
		PP+0.96·V(270°)H1+1.6·N(EI)	0.099	-3.031	2.853	7.634	0.509	0.001
		1.6·PP+0.96·V(270°)H1+1.6·N(EI)	0.094	-3.887	4.851	10.501	0.494	0.001
		PP+1.6·V(0°)H1+0.8·N(EI)	-0.015	-2.464	1.346	8.812	-0.034	-0.001
		1.6·PP+1.6·V(0°)H1+0.8·N(EI)	-0.021	-3.320	3.344	11.679	-0.050	-0.001
		PP+1.6·V(0°)H2+0.8·N(EI)	-0.031	-4.816	4.955	17.272	-0.077	-0.001
		1.6·PP+1.6·V(0°)H2+0.8·N(EI)	-0.037	-5.672	6.953	20.139	-0.092	-0.001
		PP+1.6·V(90°)H1+0.8·N(EI)	-0.192	-2.527	-0.397	4.309	-0.920	-0.001
		1.6·PP+1.6·V(90°)H1+0.8·N(EI)	-0.198	-3.383	1.601	7.176	-0.935	0.000
		PP+1.6·V(180°)H1+0.8·N(EI)	0.009	3.356	0.776	-9.750	0.037	0.001

Reacciones en los nudos, por combinación								
Referencia	Combinación		Reacciones en ejes globales					
	Tipo	Descripción	Rx (t)	Ry (t)	Rz (t)	Mx (t·m)	My (t·m)	Mz (t·m)
		1.6·PP+1.6·V(180°)H1+0.8·N(EI)	0.003	2.500	2.774	-6.883	0.022	0.001
		PP+1.6·V(180°)H2+0.8·N(EI)	-0.002	1.280	5.564	-3.545	0.008	0.002
		1.6·PP+1.6·V(180°)H2+0.8·N(EI)	-0.008	0.423	7.562	-0.678	-0.007	0.002
		PP+1.6·V(270°)H1+0.8·N(EI)	0.180	-2.851	0.384	5.375	0.885	0.001
		1.6·PP+1.6·V(270°)H1+0.8·N(EI)	0.174	-3.707	2.382	8.241	0.870	0.001
		PP+1.6·N(R)1	-0.014	-2.245	4.990	7.216	-0.035	0.001
		1.6·PP+1.6·N(R)1	-0.020	-3.101	6.988	10.083	-0.051	0.001
		PP+0.96·V(0°)H1+1.6·N(R)1	-0.015	-2.546	3.246	8.566	-0.036	0.000
		1.6·PP+0.96·V(0°)H1+1.6·N(R)1	-0.021	-3.402	5.244	11.433	-0.051	0.000
		PP+0.96·V(0°)H2+1.6·N(R)1	-0.025	-3.957	5.412	13.641	-0.061	0.000
		1.6·PP+0.96·V(0°)H2+1.6·N(R)1	-0.031	-4.813	7.410	16.508	-0.076	0.000
		PP+0.96·V(90°)H1+1.6·N(R)1	-0.121	-2.583	2.200	5.864	-0.567	0.000
		1.6·PP+0.96·V(90°)H1+1.6·N(R)1	-0.127	-3.439	4.198	8.731	-0.582	0.000
		PP+0.96·V(180°)H1+1.6·N(R)1	0.000	0.946	2.904	-2.572	0.007	0.001
		1.6·PP+0.96·V(180°)H1+1.6·N(R)1	-0.006	0.090	4.902	0.295	-0.008	0.001

Reacciones en los nudos, por combinación								
Referencia	Combinación		Reacciones en ejes globales					
	Tipo	Descripción	Rx (t)	Ry (t)	Rz (t)	Mx (t·m)	My (t·m)	Mz (t·m)
		PP+0.96·V(180°)H2+1.6·N(R)1	-0.007	-0.300	5.777	1.151	-0.010	0.001
		1.6·PP+0.96·V(180°)H2+1.6·N(R)1	-0.013	-1.156	7.775	4.018	-0.025	0.002
		PP+0.96·V(270°)H1+1.6·N(R)1	0.102	-2.778	2.669	6.503	0.516	0.001
		1.6·PP+0.96·V(270°)H1+1.6·N(R)1	0.096	-3.634	4.667	9.370	0.501	0.001
		PP+1.6·V(0°)H1+0.8·N(R)1	-0.013	-2.337	1.254	8.247	-0.031	-0.001
		1.6·PP+1.6·V(0°)H1+0.8·N(R)1	-0.019	-3.194	3.252	11.114	-0.046	-0.001
		PP+1.6·V(0°)H2+0.8·N(R)1	-0.030	-4.690	4.863	16.706	-0.073	-0.001
		1.6·PP+1.6·V(0°)H2+0.8·N(R)1	-0.036	-5.546	6.861	19.573	-0.088	-0.001
		PP+1.6·V(90°)H1+0.8·N(R)1	-0.191	-2.400	-0.489	3.744	-0.916	-0.001
		1.6·PP+1.6·V(90°)H1+0.8·N(R)1	-0.197	-3.256	1.508	6.611	-0.931	0.000
		PP+1.6·V(180°)H1+0.8·N(R)1	0.011	3.483	0.684	-10.316	0.040	0.001
		1.6·PP+1.6·V(180°)H1+0.8·N(R)1	0.005	2.626	2.682	-7.449	0.025	0.001
		PP+1.6·V(180°)H2+0.8·N(R)1	-0.001	1.406	5.472	-4.111	0.012	0.002
		1.6·PP+1.6·V(180°)H2+0.8·N(R)1	-0.007	0.550	7.470	-1.244	-0.003	0.002
		PP+1.6·V(270°)H1+0.8·N(R)1	0.182	-2.725	0.292	4.809	0.888	0.001

Reacciones en los nudos, por combinación								
Referencia	Combinación		Reacciones en ejes globales					
	Tipo	Descripción	Rx (t)	Ry (t)	Rz (t)	Mx (t·m)	My (t·m)	Mz (t·m)
		1.6·PP+1.6·V(270°)H1+0.8·N(R)1	0.176	-3.581	2.290	7.676	0.873	0.001
		PP+1.6·N(R)2	-0.016	-2.215	4.436	7.694	-0.041	0.000
		1.6·PP+1.6·N(R)2	-0.022	-3.071	6.434	10.561	-0.056	0.001
		PP+0.96·V(0°)H1+1.6·N(R)2	-0.017	-2.516	2.693	9.043	-0.041	-0.001
		1.6·PP+0.96·V(0°)H1+1.6·N(R)2	-0.023	-3.372	4.691	11.910	-0.056	0.000
		PP+0.96·V(0°)H2+1.6·N(R)2	-0.027	-3.927	4.858	14.119	-0.066	-0.001
		1.6·PP+0.96·V(0°)H2+1.6·N(R)2	-0.033	-4.783	6.856	16.986	-0.082	0.000
		PP+0.96·V(90°)H1+1.6·N(R)2	-0.123	-2.554	1.647	6.342	-0.572	0.000
		1.6·PP+0.96·V(90°)H1+1.6·N(R)2	-0.129	-3.410	3.645	9.209	-0.588	0.000
		PP+0.96·V(180°)H1+1.6·N(R)2	-0.002	0.976	2.351	-2.094	0.002	0.001
		1.6·PP+0.96·V(180°)H1+1.6·N(R)2	-0.008	0.120	4.349	0.773	-0.014	0.001
		PP+0.96·V(180°)H2+1.6·N(R)2	-0.009	-0.270	5.224	1.629	-0.016	0.001
		1.6·PP+0.96·V(180°)H2+1.6·N(R)2	-0.015	-1.126	7.222	4.496	-0.031	0.001
		PP+0.96·V(270°)H1+1.6·N(R)2	0.100	-2.748	2.116	6.981	0.510	0.001

Reacciones en los nudos, por combinación								
Referencia	Combinación		Reacciones en ejes globales					
	Tipo	Descripción	Rx (t)	Ry (t)	Rz (t)	Mx (t·m)	My (t·m)	Mz (t·m)
		1.6·PP+0.96·V(270°)H1+1.6·N(R)2	0.094	-3.604	4.114	9.848	0.495	0.001
		PP+1.6·V(0°)H1+0.8·N(R)2	-0.014	-2.323	0.978	8.486	-0.034	-0.001
		1.6·PP+1.6·V(0°)H1+0.8·N(R)2	-0.020	-3.179	2.975	11.353	-0.049	-0.001
		PP+1.6·V(0°)H2+0.8·N(R)2	-0.031	-4.675	4.587	16.945	-0.076	-0.001
		1.6·PP+1.6·V(0°)H2+0.8·N(R)2	-0.037	-5.531	6.584	19.812	-0.091	-0.001
		PP+1.6·V(90°)H1+0.8·N(R)2	-0.192	-2.385	-0.766	3.983	-0.919	-0.001
		1.6·PP+1.6·V(90°)H1+0.8·N(R)2	-0.198	-3.241	1.232	6.849	-0.934	-0.001
		PP+1.6·V(180°)H1+0.8·N(R)2	0.010	3.498	0.408	-10.077	0.038	0.001
		1.6·PP+1.6·V(180°)H1+0.8·N(R)2	0.004	2.641	2.406	-7.210	0.022	0.001
		PP+1.6·V(180°)H2+0.8·N(R)2	-0.002	1.421	5.195	-3.872	0.009	0.002
		1.6·PP+1.6·V(180°)H2+0.8·N(R)2	-0.008	0.565	7.193	-1.005	-0.006	0.002
		PP+1.6·V(270°)H1+0.8·N(R)2	0.181	-2.710	0.015	5.048	0.886	0.001
		1.6·PP+1.6·V(270°)H1+0.8·N(R)2	0.175	-3.566	2.013	7.915	0.870	0.001
		PP+1.6·Q	-0.050	-3.646	7.164	12.179	-0.178	0.001
		1.6·PP+1.6·Q	-0.056	-4.502	9.162	15.046	-0.193	0.001

Reacciones en los nudos, por combinación								
Referencia	Combinación		Reacciones en ejes globales					
	Tipo	Descripción	Rx (t)	Ry (t)	Rz (t)	Mx (t·m)	My (t·m)	Mz (t·m)
	Tensiones sobre el terreno	PP	-0.010	-1.427	3.330	4.778	-0.025	0.000
		PP+V(0°)H1	-0.011	-1.740	1.514	6.184	-0.026	-0.001
		PP+V(0°)H2	-0.021	-3.211	3.770	11.471	-0.052	-0.001
		PP+V(90°)H1	-0.122	-1.780	0.424	3.370	-0.579	0.000
		PP+V(180°)H1	0.004	1.897	1.158	-5.417	0.019	0.001
		PP+V(180°)H2	-0.003	0.599	4.150	-1.539	0.001	0.001
		PP+V(270°)H1	0.111	-1.982	0.913	4.036	0.549	0.001
		PP+N(EI)	-0.014	-2.096	4.483	7.009	-0.036	0.000
		PP+V(0°)H1+N(EI)	-0.015	-2.410	2.667	8.415	-0.036	-0.001
		PP+V(0°)H2+N(EI)	-0.025	-3.880	4.922	13.702	-0.063	0.000
		PP+V(90°)H1+N(EI)	-0.126	-2.449	1.577	5.600	-0.590	0.000
		PP+V(180°)H1+N(EI)	0.000	1.228	2.310	-3.187	0.008	0.001
		PP+V(180°)H2+N(EI)	-0.007	-0.070	5.303	0.691	-0.010	0.001
		PP+V(270°)H1+N(EI)	0.107	-2.651	2.065	6.266	0.538	0.001
		PP+N(R)1	-0.012	-1.938	4.367	6.302	-0.032	0.001

Reacciones en los nudos, por combinación								
Referencia	Combinación		Reacciones en ejes globales					
	Tipo	Descripción	Rx (t)	Ry (t)	Rz (t)	Mx (t·m)	My (t·m)	Mz (t·m)
		PP+V(0°)H1+N(R)1	-0.013	-2.252	2.551	7.708	-0.032	-0.001
		PP+V(0°)H2+N(R)1	-0.024	-3.722	4.807	12.995	-0.058	0.000
		PP+V(90°)H1+N(R)1	-0.124	-2.291	1.461	4.893	-0.585	0.000
		PP+V(180°)H1+N(R)1	0.002	1.386	2.195	-3.894	0.012	0.001
		PP+V(180°)H2+N(R)1	-0.006	0.088	5.188	-0.016	-0.005	0.001
		PP+V(270°)H1+N(R)1	0.109	-2.493	1.950	5.559	0.543	0.001
		PP+N(R)2	-0.014	-1.919	4.022	6.600	-0.035	0.000
		PP+V(0°)H1+N(R)2	-0.015	-2.233	2.205	8.006	-0.035	-0.001
		PP+V(0°)H2+N(R)2	-0.025	-3.703	4.461	13.294	-0.062	-0.001
		PP+V(90°)H1+N(R)2	-0.125	-2.272	1.116	5.192	-0.589	0.000
		PP+V(180°)H1+N(R)2	0.000	1.405	1.849	-3.595	0.009	0.001
		PP+V(180°)H2+N(R)2	-0.007	0.107	4.842	0.283	-0.009	0.001
		PP+V(270°)H1+N(R)2	0.107	-2.475	1.604	5.858	0.539	0.001
		PP+Q	-0.035	-2.814	5.726	9.404	-0.121	0.001
		PP+Q+V(0°)H1	-0.036	-3.127	3.910	10.810	-0.121	-0.001

Reacciones en los nudos, por combinación								
Referencia	Combinación		Reacciones en ejes globales					
	Tipo	Descripción	Rx (t)	Ry (t)	Rz (t)	Mx (t·m)	My (t·m)	Mz (t·m)
		PP+Q+V(0°)H2	-0.046	-4.598	6.166	16.097	-0.147	0.000
		PP+Q+V(90°)H1	-0.147	-3.167	2.820	7.995	-0.674	0.000
		PP+Q+V(180°)H1	-0.021	0.510	3.554	-0.792	-0.077	0.001
		PP+Q+V(180°)H2	-0.028	-0.788	6.546	3.086	-0.094	0.001
		PP+Q+V(270°)H1	0.086	-3.369	3.309	8.661	0.453	0.001
		PP+Q+N(EI)	-0.039	-3.483	6.879	11.634	-0.131	0.001
		PP+Q+V(0°)H1+N(EI)	-0.040	-3.797	5.063	13.040	-0.132	0.000
		PP+Q+V(0°)H2+N(EI)	-0.051	-5.267	7.318	18.327	-0.158	0.000
		PP+Q+V(90°)H1+N(EI)	-0.151	-3.836	3.973	10.226	-0.685	0.000
		PP+Q+V(180°)H1+N(EI)	-0.025	-0.159	4.706	1.438	-0.087	0.001
		PP+Q+V(180°)H2+N(EI)	-0.032	-1.457	7.699	5.317	-0.105	0.002
		PP+Q+V(270°)H1+N(EI)	0.082	-4.038	4.461	10.892	0.443	0.001
		PP+Q+N(R)1	-0.037	-3.325	6.763	10.927	-0.127	0.001
		PP+Q+V(0°)H1+N(R)1	-0.038	-3.639	4.947	12.333	-0.127	0.000

Reacciones en los nudos, por combinación								
Referencia	Combinación		Reacciones en ejes globales					
	Tipo	Descripción	Rx (t)	Ry (t)	Rz (t)	Mx (t·m)	My (t·m)	Mz (t·m)
		PP+Q+V(0°)H2+N(R)1	-0.049	-5.109	7.203	17.620	-0.154	0.000
		PP+Q+V(90°)H1+N(R)1	-0.149	-3.678	3.858	9.519	-0.681	0.000
		PP+Q+V(180°)H1+N(R)1	-0.023	-0.001	4.591	0.732	-0.083	0.001
		PP+Q+V(180°)H2+N(R)1	-0.031	-1.299	7.584	4.610	-0.101	0.002
		PP+Q+V(270°)H1+N(R)1	0.083	-3.881	4.346	10.185	0.447	0.001
		PP+Q+N(R)2	-0.039	-3.306	6.418	11.226	-0.130	0.001
		PP+Q+V(0°)H1+N(R)2	-0.040	-3.620	4.601	12.632	-0.131	-0.001
		PP+Q+V(0°)H2+N(R)2	-0.050	-5.090	6.857	17.919	-0.157	0.000
		PP+Q+V(90°)H1+N(R)2	-0.151	-3.659	3.512	9.817	-0.684	0.000
		PP+Q+V(180°)H1+N(R)2	-0.025	0.018	4.245	1.030	-0.086	0.001
		PP+Q+V(180°)H2+N(R)2	-0.032	-1.280	7.238	4.908	-0.104	0.001
		PP+Q+V(270°)H1+N(R)2	0.082	-3.862	4.000	10.483	0.444	0.001
N16	Hormigón en cimentaciones	PP	-0.006	1.672	3.564	-5.680	-0.018	0.000
		1.6·PP	-0.009	2.675	5.702	-9.089	-0.029	0.000

Reacciones en los nudos, por combinación								
Referencia	Combinación		Reacciones en ejes globales					
	Tipo	Descripción	Rx (t)	Ry (t)	Rz (t)	Mx (t·m)	My (t·m)	Mz (t·m)
		PP+1.6·V(0°)H1	0.006	-4.092	-0.279	12.470	0.022	0.000
		1.6·PP+1.6·V(0°)H1	0.003	-3.089	1.859	9.062	0.011	0.000
		PP+1.6·V(0°)H2	-0.002	-1.672	4.853	5.042	-0.002	0.000
		1.6·PP+1.6·V(0°)H2	-0.005	-0.669	6.992	1.634	-0.013	0.000
		PP+1.6·V(90°)H1	-0.193	2.340	-0.580	-3.645	-0.922	0.001
		1.6·PP+1.6·V(90°)H1	-0.197	3.343	1.558	-7.053	-0.933	0.000
		PP+1.6·V(180°)H1	0.000	2.001	0.378	-7.491	-0.001	0.000
		1.6·PP+1.6·V(180°)H1	-0.003	3.004	2.516	-10.899	-0.012	0.000
		PP+1.6·V(180°)H2	-0.008	4.750	4.349	-17.456	-0.028	0.000
		1.6·PP+1.6·V(180°)H2	-0.012	5.753	6.487	-20.864	-0.039	0.000
		PP+1.6·V(270°)H1	0.193	2.328	-0.594	-3.595	0.921	-0.001
		1.6·PP+1.6·V(270°)H1	0.190	3.331	1.544	-7.003	0.910	-0.001
		PP+1.6·N(EI)	-0.010	2.924	5.582	-9.920	-0.030	0.000
		1.6·PP+1.6·N(EI)	-0.013	3.927	7.721	-13.328	-0.041	0.000
		PP+0.96·V(0°)H1+1.6·N(EI)	-0.003	-0.534	3.277	0.971	-0.006	0.000

Reacciones en los nudos, por combinación								
Referencia	Combinación		Reacciones en ejes globales					
	Tipo	Descripción	Rx (t)	Ry (t)	Rz (t)	Mx (t·m)	My (t·m)	Mz (t·m)
		1.6·PP+0.96·V(0°)H1+1.6·N(EI)	-0.006	0.469	5.415	-2.437	-0.017	0.000
		PP+0.96·V(0°)H2+1.6·N(EI)	-0.007	0.918	6.356	-3.486	-0.021	0.000
		1.6·PP+0.96·V(0°)H2+1.6·N(EI)	-0.011	1.921	8.495	-6.894	-0.032	0.000
		PP+0.96·V(90°)H1+1.6·N(EI)	-0.122	3.325	3.096	-8.698	-0.573	0.000
		1.6·PP+0.96·V(90°)H1+1.6·N(EI)	-0.126	4.328	5.234	-12.106	-0.583	0.000
		PP+0.96·V(180°)H1+1.6·N(EI)	-0.006	3.121	3.671	-11.006	-0.020	0.000
		1.6·PP+0.96·V(180°)H1+1.6·N(EI)	-0.009	4.125	5.809	-14.414	-0.031	0.000
		PP+0.96·V(180°)H2+1.6·N(EI)	-0.011	4.771	6.053	-16.985	-0.036	0.000
		1.6·PP+0.96·V(180°)H2+1.6·N(EI)	-0.015	5.774	8.192	-20.393	-0.047	0.000
		PP+0.96·V(270°)H1+1.6·N(EI)	0.110	3.318	3.087	-8.668	0.533	-0.001
		1.6·PP+0.96·V(270°)H1+1.6·N(EI)	0.106	4.321	5.226	-12.076	0.522	-0.001
		PP+1.6·V(0°)H1+0.8·N(EI)	0.004	-3.465	0.730	10.351	0.016	0.000
		1.6·PP+1.6·V(0°)H1+0.8·N(EI)	0.001	-2.462	2.868	6.942	0.005	0.000
		PP+1.6·V(0°)H2+0.8·N(EI)	-0.004	-1.046	5.863	2.922	-0.008	0.000

Reacciones en los nudos, por combinación								
Referencia	Combinación		Reacciones en ejes globales					
	Tipo	Descripción	Rx (t)	Ry (t)	Rz (t)	Mx (t·m)	My (t·m)	Mz (t·m)
		1.6·PP+1.6·V(0°)H2+0.8·N(EI)	-0.007	-0.043	8.001	-0.486	-0.019	0.000
		PP+1.6·V(90°)H1+0.8·N(EI)	-0.195	2.966	0.429	-5.764	-0.928	0.000
		1.6·PP+1.6·V(90°)H1+0.8·N(EI)	-0.199	3.969	2.568	-9.173	-0.939	0.000
		PP+1.6·V(180°)H1+0.8·N(EI)	-0.002	2.627	1.387	-9.610	-0.008	0.000
		1.6·PP+1.6·V(180°)H1+0.8·N(EI)	-0.005	3.630	3.526	-13.018	-0.018	0.000
		PP+1.6·V(180°)H2+0.8·N(EI)	-0.010	5.376	5.358	-19.576	-0.034	0.000
		1.6·PP+1.6·V(180°)H2+0.8·N(EI)	-0.014	6.379	7.496	-22.984	-0.045	0.000
		PP+1.6·V(270°)H1+0.8·N(EI)	0.191	2.954	0.415	-5.714	0.915	-0.001
		1.6·PP+1.6·V(270°)H1+0.8·N(EI)	0.188	3.957	2.553	-9.123	0.904	-0.001
		PP+1.6·N(R)1	-0.009	2.606	4.803	-9.152	-0.027	0.000
		1.6·PP+1.6·N(R)1	-0.012	3.609	6.941	-12.560	-0.038	0.000
		PP+0.96·V(0°)H1+1.6·N(R)1	-0.001	-0.852	2.497	1.738	-0.003	0.000
		1.6·PP+0.96·V(0°)H1+1.6·N(R)1	-0.005	0.151	4.635	-1.670	-0.014	0.000
		PP+0.96·V(0°)H2+1.6·N(R)1	-0.006	0.600	5.577	-2.719	-0.018	0.000

Reacciones en los nudos, por combinación								
Referencia	Combinación		Reacciones en ejes globales					
	Tipo	Descripción	Rx (t)	Ry (t)	Rz (t)	Mx (t·m)	My (t·m)	Mz (t·m)
		1.6·PP+0.96·V(0°)H2+1.6·N(R)1	-0.010	1.603	7.715	-6.127	-0.028	0.000
		PP+0.96·V(90°)H1+1.6·N(R)1	-0.121	3.007	2.317	-7.931	-0.569	0.000
		1.6·PP+0.96·V(90°)H1+1.6·N(R)1	-0.125	4.010	4.455	-11.339	-0.580	0.000
		PP+0.96·V(180°)H1+1.6·N(R)1	-0.005	2.803	2.892	-10.238	-0.017	0.000
		1.6·PP+0.96·V(180°)H1+1.6·N(R)1	-0.008	3.806	5.030	-13.646	-0.028	0.000
		PP+0.96·V(180°)H2+1.6·N(R)1	-0.010	4.453	5.274	-16.217	-0.033	0.000
		1.6·PP+0.96·V(180°)H2+1.6·N(R)1	-0.013	5.456	7.412	-19.626	-0.044	0.000
		PP+0.96·V(270°)H1+1.6·N(R)1	0.111	3.000	2.308	-7.901	0.537	-0.001
		1.6·PP+0.96·V(270°)H1+1.6·N(R)1	0.108	4.003	4.446	-11.309	0.526	-0.001
		PP+1.6·V(0°)H1+0.8·N(R)1	0.005	-3.625	0.340	10.734	0.018	0.000
		1.6·PP+1.6·V(0°)H1+0.8·N(R)1	0.001	-2.621	2.479	7.326	0.007	0.000
		PP+1.6·V(0°)H2+0.8·N(R)1	-0.003	-1.205	5.473	3.306	-0.007	0.000
		1.6·PP+1.6·V(0°)H2+0.8·N(R)1	-0.007	-0.202	7.611	-0.102	-0.018	0.000
		PP+1.6·V(90°)H1+0.8·N(R)1	-0.195	2.807	0.040	-5.381	-0.926	0.001

Reacciones en los nudos, por combinación								
Referencia	Combinación		Reacciones en ejes globales					
	Tipo	Descripción	Rx (t)	Ry (t)	Rz (t)	Mx (t·m)	My (t·m)	Mz (t·m)
		1.6·PP+1.6·V(90°)H1+0.8·N(R)1	-0.198	3.810	2.178	-8.789	-0.937	0.000
		PP+1.6·V(180°)H1+0.8·N(R)1	-0.001	2.468	0.998	-9.226	-0.006	0.000
		1.6·PP+1.6·V(180°)H1+0.8·N(R)1	-0.005	3.471	3.136	-12.635	-0.017	0.000
		PP+1.6·V(180°)H2+0.8·N(R)1	-0.010	5.217	4.968	-19.192	-0.032	0.000
		1.6·PP+1.6·V(180°)H2+0.8·N(R)1	-0.013	6.220	7.107	-22.600	-0.043	0.000
		PP+1.6·V(270°)H1+0.8·N(R)1	0.192	2.795	0.025	-5.330	0.917	-0.001
		1.6·PP+1.6·V(270°)H1+0.8·N(R)1	0.189	3.798	2.164	-8.739	0.906	-0.001
		PP+1.6·N(R)2	-0.009	2.616	5.353	-8.568	-0.027	0.000
		1.6·PP+1.6·N(R)2	-0.012	3.619	7.491	-11.976	-0.038	0.000
		PP+0.96·V(0°)H1+1.6·N(R)2	-0.002	-0.842	3.047	2.323	-0.003	0.000
		1.6·PP+0.96·V(0°)H1+1.6·N(R)2	-0.005	0.161	5.185	-1.085	-0.014	0.000
		PP+0.96·V(0°)H2+1.6·N(R)2	-0.006	0.610	6.126	-2.134	-0.018	0.000
		1.6·PP+0.96·V(0°)H2+1.6·N(R)2	-0.010	1.613	8.265	-5.542	-0.029	0.000
		PP+0.96·V(90°)H1+1.6·N(R)2	-0.121	3.017	2.866	-7.346	-0.570	0.000

Reacciones en los nudos, por combinación								
Referencia	Combinación		Reacciones en ejes globales					
	Tipo	Descripción	Rx (t)	Ry (t)	Rz (t)	Mx (t·m)	My (t·m)	Mz (t·m)
		1.6·PP+0.96·V(90°)H1+1.6·N(R)2	-0.125	4.020	5.005	-10.754	-0.581	0.000
		PP+0.96·V(180°)H1+1.6·N(R)2	-0.005	2.813	3.441	-9.654	-0.017	0.000
		1.6·PP+0.96·V(180°)H1+1.6·N(R)2	-0.009	3.816	5.579	-13.062	-0.028	0.000
		PP+0.96·V(180°)H2+1.6·N(R)2	-0.010	4.463	5.823	-15.633	-0.033	0.000
		1.6·PP+0.96·V(180°)H2+1.6·N(R)2	-0.014	5.466	7.962	-19.041	-0.044	0.000
		PP+0.96·V(270°)H1+1.6·N(R)2	0.111	3.010	2.858	-7.316	0.536	-0.001
		1.6·PP+0.96·V(270°)H1+1.6·N(R)2	0.107	4.013	4.996	-10.724	0.525	-0.001
		PP+1.6·V(0°)H1+0.8·N(R)2	0.005	-3.620	0.615	11.027	0.017	0.000
		1.6·PP+1.6·V(0°)H1+0.8·N(R)2	0.001	-2.616	2.753	7.618	0.007	0.000
		PP+1.6·V(0°)H2+0.8·N(R)2	-0.003	-1.200	5.748	3.598	-0.007	0.000
		1.6·PP+1.6·V(0°)H2+0.8·N(R)2	-0.007	-0.197	7.886	0.190	-0.018	0.000
		PP+1.6·V(90°)H1+0.8·N(R)2	-0.195	2.812	0.314	-5.088	-0.927	0.001
		1.6·PP+1.6·V(90°)H1+0.8·N(R)2	-0.198	3.815	2.453	-8.497	-0.937	0.000
		PP+1.6·V(180°)H1+0.8·N(R)2	-0.001	2.473	1.273	-8.934	-0.006	0.000

Reacciones en los nudos, por combinación								
Referencia	Combinación		Reacciones en ejes globales					
	Tipo	Descripción	Rx (t)	Ry (t)	Rz (t)	Mx (t·m)	My (t·m)	Mz (t·m)
		1.6·PP+1.6·V(180°)H1+0.8·N(R)2	-0.005	3.476	3.411	-12.342	-0.017	0.000
		PP+1.6·V(180°)H2+0.8·N(R)2	-0.010	5.222	5.243	-18.900	-0.032	0.000
		1.6·PP+1.6·V(180°)H2+0.8·N(R)2	-0.013	6.225	7.381	-22.308	-0.043	0.000
		PP+1.6·V(270°)H1+0.8·N(R)2	0.192	2.800	0.300	-5.038	0.916	-0.001
		1.6·PP+1.6·V(270°)H1+0.8·N(R)2	0.189	3.803	2.438	-8.447	0.906	-0.001
		PP+1.6·Q	-0.036	4.255	7.727	-14.426	-0.149	0.000
		1.6·PP+1.6·Q	-0.039	5.259	9.865	-17.834	-0.160	0.000
	Tensiones sobre el terreno	PP	-0.006	1.672	3.564	-5.680	-0.018	0.000
		PP+V(0°)H1	0.002	-1.930	1.162	5.664	0.007	0.000
		PP+V(0°)H2	-0.003	-0.418	4.370	1.021	-0.008	0.000
		PP+V(90°)H1	-0.123	2.090	0.974	-4.408	-0.583	0.000
		PP+V(180°)H1	-0.002	1.877	1.573	-6.812	-0.008	0.000
		PP+V(180°)H2	-0.007	3.596	4.054	-13.040	-0.024	0.000
		PP+V(270°)H1	0.119	2.082	0.965	-4.377	0.569	-0.001

Reacciones en los nudos, por combinación								
Referencia	Combinación		Reacciones en ejes globales					
	Tipo	Descripción	Rx (t)	Ry (t)	Rz (t)	Mx (t·m)	My (t·m)	Mz (t·m)
		PP+N(EI)	-0.008	2.455	4.825	-8.330	-0.026	0.000
		PP+V(0°)H1+N(EI)	-0.001	-1.148	2.424	3.014	-0.001	0.000
		PP+V(0°)H2+N(EI)	-0.006	0.364	5.631	-1.628	-0.016	0.000
		PP+V(90°)H1+N(EI)	-0.125	2.872	2.236	-7.058	-0.591	0.000
		PP+V(180°)H1+N(EI)	-0.004	2.660	2.834	-9.461	-0.015	0.000
		PP+V(180°)H2+N(EI)	-0.010	4.379	5.316	-15.690	-0.032	0.000
		PP+V(270°)H1+N(EI)	0.116	2.865	2.227	-7.026	0.561	-0.001
		PP+N(R)1	-0.007	2.256	4.338	-7.850	-0.024	0.000
		PP+V(0°)H1+N(R)1	0.000	-1.346	1.936	3.494	0.001	0.000
		PP+V(0°)H2+N(R)1	-0.005	0.166	5.144	-1.149	-0.014	0.000
		PP+V(90°)H1+N(R)1	-0.125	2.673	1.748	-6.578	-0.589	0.000
		PP+V(180°)H1+N(R)1	-0.004	2.461	2.347	-8.981	-0.013	0.000
		PP+V(180°)H2+N(R)1	-0.009	4.180	4.829	-15.210	-0.030	0.000
		PP+V(270°)H1+N(R)1	0.117	2.666	1.739	-6.547	0.563	-0.001

Reacciones en los nudos, por combinación								
Referencia	Combinación		Reacciones en ejes globales					
	Tipo	Descripción	Rx (t)	Ry (t)	Rz (t)	Mx (t·m)	My (t·m)	Mz (t·m)
		PP+N(R)2	-0.008	2.262	4.682	-7.485	-0.024	0.000
		PP+V(0°)H1+N(R)2	0.000	-1.340	2.280	3.859	0.001	0.000
		PP+V(0°)H2+N(R)2	-0.005	0.172	5.488	-0.783	-0.014	0.000
		PP+V(90°)H1+N(R)2	-0.125	2.680	2.092	-6.213	-0.589	0.000
		PP+V(180°)H1+N(R)2	-0.004	2.467	2.691	-8.616	-0.014	0.000
		PP+V(180°)H2+N(R)2	-0.009	4.186	5.172	-14.845	-0.030	0.000
		PP+V(270°)H1+N(R)2	0.117	2.672	2.083	-6.181	0.563	-0.001
		PP+Q	-0.024	3.287	6.166	-11.146	-0.100	0.000
		PP+Q+V(0°)H1	-0.017	-0.316	3.764	0.198	-0.075	0.000
		PP+Q+V(0°)H2	-0.022	1.197	6.972	-4.445	-0.090	0.000
		PP+Q+V(90°)H1	-0.142	3.704	3.576	-9.874	-0.665	0.000
		PP+Q+V(180°)H1	-0.021	3.492	4.175	-12.277	-0.089	0.000
		PP+Q+V(180°)H2	-0.026	5.211	6.656	-18.506	-0.106	0.000
		PP+Q+V(270°)H1	0.100	3.697	3.567	-9.843	0.487	-0.001

Reacciones en los nudos, por combinación								
Referencia	Combinación		Reacciones en ejes globales					
	Tipo	Descripción	Rx (t)	Ry (t)	Rz (t)	Mx (t·m)	My (t·m)	Mz (t·m)
		PP+Q+N(EI)	-0.027	4.069	7.427	-13.796	-0.108	0.000
		PP+Q+V(0°)H1+N(EI)	-0.019	0.467	5.025	-2.451	-0.082	0.000
		PP+Q+V(0°)H2+N(EI)	-0.024	1.979	8.233	-7.094	-0.098	0.000
		PP+Q+V(90°)H1+N(EI)	-0.144	4.487	4.837	-12.523	-0.672	0.000
		PP+Q+V(180°)H1+N(EI)	-0.023	4.275	5.436	-14.927	-0.097	0.000
		PP+Q+V(180°)H2+N(EI)	-0.028	5.993	7.918	-21.155	-0.114	0.000
		PP+Q+V(270°)H1+N(EI)	0.098	4.479	4.828	-12.492	0.479	-0.001
		PP+Q+N(R)1	-0.026	3.871	6.940	-13.316	-0.105	0.000
		PP+Q+V(0°)H1+N(R)1	-0.019	0.268	4.538	-1.972	-0.080	0.000
		PP+Q+V(0°)H2+N(R)1	-0.024	1.780	7.746	-6.614	-0.096	0.000
		PP+Q+V(90°)H1+N(R)1	-0.143	4.288	4.350	-12.044	-0.670	0.000
		PP+Q+V(180°)H1+N(R)1	-0.022	4.076	4.949	-14.447	-0.095	0.000
		PP+Q+V(180°)H2+N(R)1	-0.028	5.795	7.431	-20.676	-0.112	0.000
		PP+Q+V(270°)H1+N(R)1	0.098	4.281	4.341	-12.012	0.482	-0.001

Reacciones en los nudos, por combinación								
Referencia	Combinación		Reacciones en ejes globales					
	Tipo	Descripción	Rx (t)	Ry (t)	Rz (t)	Mx (t·m)	My (t·m)	Mz (t·m)
		PP+Q+N(R)2	-0.026	3.877	7.284	-12.951	-0.106	0.000
		PP+Q+V(0°)H1+N(R)2	-0.019	0.275	4.882	-1.606	-0.081	0.000
		PP+Q+V(0°)H2+N(R)2	-0.024	1.787	8.090	-6.249	-0.096	0.000
		PP+Q+V(90°)H1+N(R)2	-0.144	4.295	4.694	-11.678	-0.671	0.000
		PP+Q+V(180°)H1+N(R)2	-0.023	4.082	5.293	-14.082	-0.095	0.000
		PP+Q+V(180°)H2+N(R)2	-0.028	5.801	7.774	-20.310	-0.112	0.000
		PP+Q+V(270°)H1+N(R)2	0.098	4.287	4.685	-11.647	0.481	-0.001
N18	Hormigón en cimentaciones	PP	-0.003	-1.638	3.553	5.502	-0.009	0.000
		1.6·PP	-0.004	-2.620	5.685	8.803	-0.014	0.001
		PP+1.6·V(0°)H1	0.000	-1.993	0.365	7.478	-0.001	0.000
		1.6·PP+1.6·V(0°)H1	-0.001	-2.975	2.496	10.779	-0.007	0.000
		PP+1.6·V(0°)H2	-0.003	-4.689	4.318	17.164	-0.014	0.000
		1.6·PP+1.6·V(0°)H2	-0.005	-5.671	6.449	20.465	-0.019	0.001
		PP+1.6·V(90°)H1	-0.194	-2.348	-0.578	3.686	-0.924	-0.001

Reacciones en los nudos, por combinación								
Referencia	Combinación		Reacciones en ejes globales					
	Tipo	Descripción	Rx (t)	Ry (t)	Rz (t)	Mx (t·m)	My (t·m)	Mz (t·m)
		1.6·PP+1.6·V(90°)H1	-0.196	-3.331	1.554	6.987	-0.929	0.000
		PP+1.6·V(180°)H1	0.004	4.066	-0.260	-12.362	0.017	0.000
		1.6·PP+1.6·V(180°)H1	0.003	3.083	1.872	-9.061	0.012	0.000
		PP+1.6·V(180°)H2	0.001	1.699	4.857	-5.210	0.007	0.001
		1.6·PP+1.6·V(180°)H2	0.000	0.716	6.988	-1.910	0.001	0.001
		PP+1.6·V(270°)H1	0.192	-2.343	-0.590	3.674	0.917	0.001
		1.6·PP+1.6·V(270°)H1	0.191	-3.325	1.542	6.975	0.912	0.001
		PP+1.6·N(EI)	-0.004	-2.864	5.563	9.606	-0.014	0.001
		1.6·PP+1.6·N(EI)	-0.006	-3.847	7.695	12.907	-0.020	0.001
		PP+0.96·V(0°)H1+1.6·N(EI)	-0.002	-3.077	3.650	10.792	-0.010	0.000
		1.6·PP+0.96·V(0°)H1+1.6·N(EI)	-0.004	-4.060	5.782	14.093	-0.015	0.001
		PP+0.96·V(0°)H2+1.6·N(EI)	-0.005	-4.695	6.022	16.604	-0.017	0.001
		1.6·PP+0.96·V(0°)H2+1.6·N(EI)	-0.006	-5.677	8.154	19.905	-0.023	0.001
		PP+0.96·V(90°)H1+1.6·N(EI)	-0.119	-3.290	3.085	8.516	-0.563	0.000
		1.6·PP+0.96·V(90°)H1+1.6·N(EI)	-0.121	-4.273	5.217	11.817	-0.569	0.000
		PP+0.96·V(180°)H1+1.6·N(EI)	0.000	0.558	3.276	-1.112	0.001	0.000

Reacciones en los nudos, por combinación								
Referencia	Combinación		Reacciones en ejes globales					
	Tipo	Descripción	Rx (t)	Ry (t)	Rz (t)	Mx (t·m)	My (t·m)	Mz (t·m)
		1.6·PP+0.96·V(180°)H1+1.6·N(EI)	-0.002	-0.425	5.408	2.189	-0.004	0.001
		PP+0.96·V(180°)H2+1.6·N(EI)	-0.002	-0.862	6.346	3.179	-0.005	0.001
		1.6·PP+0.96·V(180°)H2+1.6·N(EI)	-0.003	-1.845	8.477	6.480	-0.011	0.001
		PP+0.96·V(270°)H1+1.6·N(EI)	0.113	-3.287	3.078	8.509	0.541	0.001
		1.6·PP+0.96·V(270°)H1+1.6·N(EI)	0.111	-4.270	5.210	11.810	0.536	0.001
		PP+1.6·V(0°)H1+0.8·N(EI)	-0.001	-2.606	1.370	9.531	-0.004	0.000
		1.6·PP+1.6·V(0°)H1+0.8·N(EI)	-0.002	-3.589	3.502	12.832	-0.009	0.000
		PP+1.6·V(0°)H2+0.8·N(EI)	-0.004	-5.302	5.323	19.216	-0.016	0.001
		1.6·PP+1.6·V(0°)H2+0.8·N(EI)	-0.006	-6.285	7.455	22.517	-0.022	0.001
		PP+1.6·V(90°)H1+0.8·N(EI)	-0.195	-2.961	0.428	5.738	-0.927	0.000
		1.6·PP+1.6·V(90°)H1+0.8·N(EI)	-0.196	-3.944	2.559	9.039	-0.932	0.000
		PP+1.6·V(180°)H1+0.8·N(EI)	0.004	3.452	0.745	-10.310	0.014	0.000
		1.6·PP+1.6·V(180°)H1+0.8·N(EI)	0.002	2.470	2.877	-7.009	0.009	0.000
		PP+1.6·V(180°)H2+0.8·N(EI)	0.000	1.086	5.862	-3.158	0.004	0.001
		1.6·PP+1.6·V(180°)H2+0.8·N(EI)	-0.001	0.103	7.994	0.143	-0.002	0.001

Reacciones en los nudos, por combinación								
Referencia	Combinación		Reacciones en ejes globales					
	Tipo	Descripción	Rx (t)	Ry (t)	Rz (t)	Mx (t·m)	My (t·m)	Mz (t·m)
		PP+1.6·V(270°)H1+0.8·N(EI)	0.191	-2.956	0.416	5.726	0.914	0.001
		1.6·PP+1.6·V(270°)H1+0.8·N(EI)	0.190	-3.939	2.547	9.027	0.909	0.001
		PP+1.6·N(R)1	-0.004	-2.560	5.334	8.280	-0.013	0.001
		1.6·PP+1.6·N(R)1	-0.005	-3.543	7.465	11.581	-0.018	0.001
		PP+0.96·V(0°)H1+1.6·N(R)1	-0.002	-2.774	3.420	9.466	-0.008	0.000
		1.6·PP+0.96·V(0°)H1+1.6·N(R)1	-0.004	-3.756	5.552	12.767	-0.014	0.001
		PP+0.96·V(0°)H2+1.6·N(R)1	-0.004	-4.391	5.792	15.278	-0.016	0.001
		1.6·PP+0.96·V(0°)H2+1.6·N(R)1	-0.006	-5.374	7.924	18.579	-0.021	0.001
		PP+0.96·V(90°)H1+1.6·N(R)1	-0.119	-2.987	2.855	7.190	-0.562	0.000
		1.6·PP+0.96·V(90°)H1+1.6·N(R)1	-0.120	-3.969	4.987	10.491	-0.567	0.000
		PP+0.96·V(180°)H1+1.6·N(R)1	0.000	0.862	3.046	-2.438	0.003	0.000
		1.6·PP+0.96·V(180°)H1+1.6·N(R)1	-0.001	-0.121	5.178	0.863	-0.003	0.001
		PP+0.96·V(180°)H2+1.6·N(R)1	-0.002	-0.558	6.116	1.853	-0.004	0.001
		1.6·PP+0.96·V(180°)H2+1.6·N(R)1	-0.003	-1.541	8.247	5.154	-0.009	0.001
		PP+0.96·V(270°)H1+1.6·N(R)1	0.113	-2.984	2.848	7.183	0.543	0.001

Reacciones en los nudos, por combinación								
Referencia	Combinación		Reacciones en ejes globales					
	Tipo	Descripción	Rx (t)	Ry (t)	Rz (t)	Mx (t·m)	My (t·m)	Mz (t·m)
		1.6·PP+0.96·V(270°)H1+1.6·N(R)1	0.111	-3.966	4.980	10.484	0.537	0.001
		PP+1.6·V(0°)H1+0.8·N(R)1	0.000	-2.454	1.255	8.868	-0.003	0.000
		1.6·PP+1.6·V(0°)H1+0.8·N(R)1	-0.002	-3.437	3.387	12.169	-0.009	0.000
		PP+1.6·V(0°)H2+0.8·N(R)1	-0.004	-5.150	5.208	18.553	-0.016	0.001
		1.6·PP+1.6·V(0°)H2+0.8·N(R)1	-0.005	-6.133	7.340	21.854	-0.021	0.001
		PP+1.6·V(90°)H1+0.8·N(R)1	-0.195	-2.809	0.313	5.075	-0.926	0.000
		1.6·PP+1.6·V(90°)H1+0.8·N(R)1	-0.196	-3.792	2.445	8.376	-0.931	0.000
		PP+1.6·V(180°)H1+0.8·N(R)1	0.004	3.604	0.630	-10.973	0.015	0.000
		1.6·PP+1.6·V(180°)H1+0.8·N(R)1	0.002	2.622	2.762	-7.672	0.010	0.000
		PP+1.6·V(180°)H2+0.8·N(R)1	0.001	1.238	5.747	-3.821	0.005	0.001
		1.6·PP+1.6·V(180°)H2+0.8·N(R)1	-0.001	0.255	7.879	-0.520	-0.001	0.001
		PP+1.6·V(270°)H1+0.8·N(R)1	0.191	-2.804	0.301	5.063	0.915	0.001
		1.6·PP+1.6·V(270°)H1+0.8·N(R)1	0.190	-3.787	2.432	8.364	0.910	0.001
		PP+1.6·N(R)2	-0.004	-2.555	4.788	8.880	-0.013	0.001
		1.6·PP+1.6·N(R)2	-0.005	-3.537	6.920	12.181	-0.019	0.001

Reacciones en los nudos, por combinación								
Referencia	Combinación		Reacciones en ejes globales					
	Tipo	Descripción	Rx (t)	Ry (t)	Rz (t)	Mx (t·m)	My (t·m)	Mz (t·m)
		PP+0.96·V(0°)H1+1.6·N(R)2	-0.002	-2.768	2.875	10.066	-0.009	0.000
		1.6·PP+0.96·V(0°)H1+1.6·N(R)2	-0.004	-3.750	5.007	13.367	-0.014	0.001
		PP+0.96·V(0°)H2+1.6·N(R)2	-0.004	-4.385	5.247	15.877	-0.016	0.001
		1.6·PP+0.96·V(0°)H2+1.6·N(R)2	-0.006	-5.368	7.379	19.178	-0.021	0.001
		PP+0.96·V(90°)H1+1.6·N(R)2	-0.119	-2.981	2.310	7.790	-0.562	0.000
		1.6·PP+0.96·V(90°)H1+1.6·N(R)2	-0.120	-3.963	4.442	11.091	-0.568	0.000
		PP+0.96·V(180°)H1+1.6·N(R)2	0.000	0.867	2.500	-1.838	0.003	0.000
		1.6·PP+0.96·V(180°)H1+1.6·N(R)2	-0.001	-0.115	4.632	1.462	-0.003	0.001
		PP+0.96·V(180°)H2+1.6·N(R)2	-0.002	-0.553	5.570	2.453	-0.004	0.001
		1.6·PP+0.96·V(180°)H2+1.6·N(R)2	-0.003	-1.535	7.702	5.754	-0.009	0.001
		PP+0.96·V(270°)H1+1.6·N(R)2	0.113	-2.978	2.303	7.783	0.543	0.001
		1.6·PP+0.96·V(270°)H1+1.6·N(R)2	0.111	-3.960	4.434	11.084	0.537	0.001
		PP+1.6·V(0°)H1+0.8·N(R)2	0.000	-2.451	0.982	9.168	-0.003	0.000
		1.6·PP+1.6·V(0°)H1+0.8·N(R)2	-0.002	-3.434	3.114	12.469	-0.009	0.000
		PP+1.6·V(0°)H2+0.8·N(R)2	-0.004	-5.147	4.935	18.853	-0.016	0.001

Reacciones en los nudos, por combinación								
Referencia	Combinación		Reacciones en ejes globales					
	Tipo	Descripción	Rx (t)	Ry (t)	Rz (t)	Mx (t·m)	My (t·m)	Mz (t·m)
		1.6·PP+1.6·V(0°)H2+0.8·N(R)2	-0.005	-6.130	7.067	22.154	-0.021	0.001
		PP+1.6·V(90°)H1+0.8·N(R)2	-0.195	-2.807	0.040	5.375	-0.926	0.000
		1.6·PP+1.6·V(90°)H1+0.8·N(R)2	-0.196	-3.789	2.172	8.676	-0.931	0.000
		PP+1.6·V(180°)H1+0.8·N(R)2	0.004	3.607	0.358	-10.673	0.015	0.000
		1.6·PP+1.6·V(180°)H1+0.8·N(R)2	0.002	2.625	2.490	-7.372	0.010	0.000
		PP+1.6·V(180°)H2+0.8·N(R)2	0.001	1.240	5.474	-3.521	0.005	0.001
		1.6·PP+1.6·V(180°)H2+0.8·N(R)2	-0.001	0.258	7.606	-0.220	-0.001	0.001
		PP+1.6·V(270°)H1+0.8·N(R)2	0.191	-2.801	0.028	5.363	0.915	0.001
		1.6·PP+1.6·V(270°)H1+0.8·N(R)2	0.190	-3.784	2.160	8.664	0.910	0.001
		PP+1.6·Q	-0.028	-4.168	7.699	13.970	-0.126	0.001
		1.6·PP+1.6·Q	-0.029	-5.151	9.831	17.271	-0.132	0.001
	Tensiones sobre el terreno	PP	-0.003	-1.638	3.553	5.502	-0.009	0.000
		PP+V(0°)H1	-0.001	-1.860	1.560	6.737	-0.004	0.000
		PP+V(0°)H2	-0.003	-3.544	4.031	12.791	-0.012	0.000
		PP+V(90°)H1	-0.122	-2.082	0.971	4.367	-0.581	0.000

Reacciones en los nudos, por combinación								
Referencia	Combinación		Reacciones en ejes globales					
	Tipo	Descripción	Rx (t)	Ry (t)	Rz (t)	Mx (t·m)	My (t·m)	Mz (t·m)
		PP+V(180°)H1	0.002	1.927	1.170	-5.663	0.007	0.000
		PP+V(180°)H2	0.000	0.448	4.368	-1.193	0.001	0.001
		PP+V(270°)H1	0.119	-2.078	0.964	4.359	0.570	0.001
		PP+N(EI)	-0.004	-2.404	4.810	8.067	-0.012	0.001
		PP+V(0°)H1+N(EI)	-0.002	-2.626	2.817	9.302	-0.008	0.000
		PP+V(0°)H2+N(EI)	-0.004	-4.311	5.287	15.356	-0.015	0.001
		PP+V(90°)H1+N(EI)	-0.123	-2.848	2.228	6.932	-0.584	0.000
		PP+V(180°)H1+N(EI)	0.001	1.160	2.426	-3.098	0.004	0.000
		PP+V(180°)H2+N(EI)	-0.001	-0.319	5.624	1.372	-0.003	0.001
		PP+V(270°)H1+N(EI)	0.118	-2.845	2.220	6.924	0.566	0.001
		PP+N(R)1	-0.003	-2.214	4.666	7.238	-0.012	0.001
		PP+V(0°)H1+N(R)1	-0.002	-2.436	2.673	8.474	-0.007	0.000
		PP+V(0°)H2+N(R)1	-0.004	-4.121	5.144	14.527	-0.014	0.001
		PP+V(90°)H1+N(R)1	-0.123	-2.658	2.084	6.103	-0.583	0.000
		PP+V(180°)H1+N(R)1	0.001	1.350	2.283	-3.927	0.005	0.000
		PP+V(180°)H2+N(R)1	-0.001	-0.129	5.480	0.543	-0.002	0.001

Reacciones en los nudos, por combinación								
Referencia	Combinación		Reacciones en ejes globales					
	Tipo	Descripción	Rx (t)	Ry (t)	Rz (t)	Mx (t·m)	My (t·m)	Mz (t·m)
		PP+V(270°)H1+N(R)1	0.118	-2.655	2.077	6.096	0.567	0.001
		PP+N(R)2	-0.003	-2.211	4.325	7.613	-0.012	0.001
		PP+V(0°)H1+N(R)2	-0.002	-2.433	2.332	8.849	-0.007	0.000
		PP+V(0°)H2+N(R)2	-0.004	-4.118	4.803	14.902	-0.014	0.001
		PP+V(90°)H1+N(R)2	-0.123	-2.655	1.743	6.478	-0.583	0.000
		PP+V(180°)H1+N(R)2	0.001	1.354	1.942	-3.552	0.005	0.000
		PP+V(180°)H2+N(R)2	-0.001	-0.125	5.140	0.918	-0.002	0.001
		PP+V(270°)H1+N(R)2	0.118	-2.652	1.736	6.471	0.567	0.001
		PP+Q	-0.018	-3.219	6.144	10.795	-0.082	0.001
		PP+Q+V(0°)H1	-0.016	-3.441	4.152	12.030	-0.077	0.000
		PP+Q+V(0°)H2	-0.019	-5.126	6.622	18.084	-0.085	0.001
		PP+Q+V(90°)H1	-0.138	-3.663	3.563	9.660	-0.654	0.000
		PP+Q+V(180°)H1	-0.014	0.345	3.761	-0.370	-0.066	0.000
		PP+Q+V(180°)H2	-0.016	-1.134	6.959	4.100	-0.072	0.001
		PP+Q+V(270°)H1	0.103	-3.660	3.555	9.652	0.497	0.001

Reacciones en los nudos, por combinación								
Referencia	Combinación		Reacciones en ejes globales					
	Tipo	Descripción	Rx (t)	Ry (t)	Rz (t)	Mx (t·m)	My (t·m)	Mz (t·m)
		PP+Q+N(EI)	-0.019	-3.986	7.401	13.360	-0.086	0.001
		PP+Q+V(0°)H1+N(EI)	-0.017	-4.208	5.408	14.595	-0.081	0.001
		PP+Q+V(0°)H2+N(EI)	-0.020	-5.893	7.879	20.649	-0.088	0.001
		PP+Q+V(90°)H1+N(EI)	-0.139	-4.430	4.819	12.225	-0.657	0.000
		PP+Q+V(180°)H1+N(EI)	-0.015	-0.421	5.018	2.195	-0.069	0.001
		PP+Q+V(180°)H2+N(EI)	-0.017	-1.901	8.216	6.665	-0.076	0.001
		PP+Q+V(270°)H1+N(EI)	0.102	-4.427	4.812	12.217	0.493	0.001
		PP+Q+N(R)1	-0.019	-3.796	7.257	12.531	-0.085	0.001
		PP+Q+V(0°)H1+N(R)1	-0.017	-4.018	5.264	13.767	-0.080	0.001
		PP+Q+V(0°)H2+N(R)1	-0.019	-5.703	7.735	19.820	-0.088	0.001
		PP+Q+V(90°)H1+N(R)1	-0.139	-4.240	4.676	11.396	-0.657	0.000
		PP+Q+V(180°)H1+N(R)1	-0.015	-0.232	4.874	1.366	-0.068	0.001
		PP+Q+V(180°)H2+N(R)1	-0.017	-1.711	8.072	5.836	-0.075	0.001
		PP+Q+V(270°)H1+N(R)1	0.103	-4.237	4.668	11.389	0.494	0.001

Reacciones en los nudos, por combinación								
Referencia	Combinación		Reacciones en ejes globales					
	Tipo	Descripción	Rx (t)	Ry (t)	Rz (t)	Mx (t·m)	My (t·m)	Mz (t·m)
		PP+Q+N(R)2	-0.019	-3.792	6.916	12.906	-0.085	0.001
		PP+Q+V(0°)H1+N(R)2	-0.017	-4.015	4.923	14.142	-0.080	0.001
		PP+Q+V(0°)H2+N(R)2	-0.020	-5.699	7.394	20.195	-0.088	0.001
		PP+Q+V(90°)H1+N(R)2	-0.139	-4.237	4.335	11.771	-0.657	0.000
		PP+Q+V(180°)H1+N(R)2	-0.015	-0.228	4.533	1.741	-0.068	0.001
		PP+Q+V(180°)H2+N(R)2	-0.017	-1.707	7.731	6.211	-0.075	0.001
		PP+Q+V(270°)H1+N(R)2	0.103	-4.233	4.327	11.764	0.494	0.001
N21	Hormigón en cimentaciones	PP	0.001	1.398	3.301	-5.139	-0.003	0.000
		1.6·PP	0.002	2.237	5.281	-8.223	-0.005	-0.001
		PP+1.6·V(0°)H1	-0.014	-3.877	-0.168	11.815	-0.037	0.001
		1.6·PP+1.6·V(0°)H1	-0.013	-3.038	1.812	8.731	-0.039	0.001
		PP+1.6·V(0°)H2	-0.013	-1.848	4.577	5.068	-0.043	0.001
		1.6·PP+1.6·V(0°)H2	-0.013	-1.009	6.558	1.984	-0.045	0.001
		PP+1.6·V(90°)H1	-0.188	2.328	-0.541	-3.527	-0.907	0.001

Reacciones en los nudos, por combinación								
Referencia	Combinación		Reacciones en ejes globales					
	Tipo	Descripción	Rx (t)	Ry (t)	Rz (t)	Mx (t·m)	My (t·m)	Mz (t·m)
		1.6·PP+1.6·V(90°)H1	-0.187	3.167	1.439	-6.611	-0.909	0.001
		PP+1.6·V(180°)H1	0.002	1.914	0.359	-7.060	-0.003	-0.001
		1.6·PP+1.6·V(180°)H1	0.003	2.753	2.340	-10.143	-0.005	-0.001
		PP+1.6·V(180°)H2	0.006	4.225	3.925	-16.103	-0.001	-0.002
		1.6·PP+1.6·V(180°)H2	0.007	5.063	5.906	-19.187	-0.003	-0.002
		PP+1.6·V(270°)H1	0.192	2.057	-1.227	-2.554	0.919	-0.001
		1.6·PP+1.6·V(270°)H1	0.193	2.896	0.753	-5.637	0.918	-0.001
		PP+1.6·N(EI)	0.002	2.446	5.124	-8.978	-0.004	-0.001
		1.6·PP+1.6·N(EI)	0.003	3.285	7.104	-12.061	-0.006	-0.001
		PP+0.96·V(0°)H1+1.6·N(EI)	-0.007	-0.719	3.042	1.195	-0.024	0.000
		1.6·PP+0.96·V(0°)H1+1.6·N(EI)	-0.006	0.120	5.023	-1.889	-0.026	0.000
		PP+0.96·V(0°)H2+1.6·N(EI)	-0.006	0.499	5.890	-2.854	-0.028	0.000
		1.6·PP+0.96·V(0°)H2+1.6·N(EI)	-0.006	1.337	7.870	-5.937	-0.030	0.000
		PP+0.96·V(90°)H1+1.6·N(EI)	-0.111	3.004	2.818	-8.011	-0.546	0.000

Reacciones en los nudos, por combinación								
Referencia	Combinación		Reacciones en ejes globales					
	Tipo	Descripción	Rx (t)	Ry (t)	Rz (t)	Mx (t·m)	My (t·m)	Mz (t·m)
		1.6·PP+0.96·V(90°)H1+1.6·N(EI)	-0.111	3.843	4.799	-11.094	-0.548	0.000
		PP+0.96·V(180°)H1+1.6·N(EI)	0.003	2.756	3.359	-10.130	-0.004	-0.001
		1.6·PP+0.96·V(180°)H1+1.6·N(EI)	0.004	3.595	5.339	-13.214	-0.006	-0.001
		PP+0.96·V(180°)H2+1.6·N(EI)	0.005	4.142	5.498	-15.556	-0.003	-0.002
		1.6·PP+0.96·V(180°)H2+1.6·N(EI)	0.006	4.981	7.479	-18.640	-0.005	-0.002
		PP+0.96·V(270°)H1+1.6·N(EI)	0.117	2.842	2.407	-7.427	0.550	-0.001
		1.6·PP+0.96·V(270°)H1+1.6·N(EI)	0.118	3.680	4.387	-10.510	0.548	-0.001
		PP+1.6·V(0°)H1+0.8·N(EI)	-0.013	-3.353	0.743	9.896	-0.038	0.001
		1.6·PP+1.6·V(0°)H1+0.8·N(EI)	-0.013	-2.514	2.724	6.812	-0.040	0.001
		PP+1.6·V(0°)H2+0.8·N(EI)	-0.013	-1.324	5.489	3.149	-0.044	0.001
		1.6·PP+1.6·V(0°)H2+0.8·N(EI)	-0.012	-0.485	7.469	0.065	-0.046	0.000
		PP+1.6·V(90°)H1+0.8·N(EI)	-0.187	2.852	0.370	-5.447	-0.907	0.001
		1.6·PP+1.6·V(90°)H1+0.8·N(EI)	-0.187	3.691	2.350	-8.530	-0.909	0.000
		PP+1.6·V(180°)H1+0.8·N(EI)	0.003	2.438	1.271	-8.979	-0.003	-0.001

Reacciones en los nudos, por combinación								
Referencia	Combinación		Reacciones en ejes globales					
	Tipo	Descripción	Rx (t)	Ry (t)	Rz (t)	Mx (t·m)	My (t·m)	Mz (t·m)
		1.6·PP+1.6·V(180°)H1+0.8·N(EI)	0.003	3.277	3.251	-12.063	-0.005	-0.001
		PP+1.6·V(180°)H2+0.8·N(EI)	0.007	4.749	4.837	-18.022	-0.002	-0.002
		1.6·PP+1.6·V(180°)H2+0.8·N(EI)	0.007	5.587	6.817	-21.106	-0.003	-0.002
		PP+1.6·V(270°)H1+0.8·N(EI)	0.193	2.581	-0.316	-4.473	0.919	-0.001
		1.6·PP+1.6·V(270°)H1+0.8·N(EI)	0.193	3.420	1.665	-7.557	0.917	-0.001
		PP+1.6·N(R)1	0.003	2.174	4.396	-8.256	-0.002	-0.001
		1.6·PP+1.6·N(R)1	0.004	3.013	6.376	-11.339	-0.003	-0.001
		PP+0.96·V(0°)H1+1.6·N(R)1	-0.006	-0.990	2.314	1.917	-0.022	0.000
		1.6·PP+0.96·V(0°)H1+1.6·N(R)1	-0.005	-0.152	4.295	-1.167	-0.024	0.000
		PP+0.96·V(0°)H2+1.6·N(R)1	-0.006	0.227	5.162	-2.131	-0.026	0.000
		1.6·PP+0.96·V(0°)H2+1.6·N(R)1	-0.005	1.066	7.142	-5.215	-0.028	0.000
		PP+0.96·V(90°)H1+1.6·N(R)1	-0.111	2.733	2.090	-7.288	-0.544	0.000
		1.6·PP+0.96·V(90°)H1+1.6·N(R)1	-0.110	3.571	4.071	-10.372	-0.546	0.000
		PP+0.96·V(180°)H1+1.6·N(R)1	0.003	2.484	2.631	-9.408	-0.002	-0.001

Reacciones en los nudos, por combinación								
Referencia	Combinación		Reacciones en ejes globales					
	Tipo	Descripción	Rx (t)	Ry (t)	Rz (t)	Mx (t·m)	My (t·m)	Mz (t·m)
		1.6·PP+0.96·V(180°)H1+1.6·N(R)1	0.004	3.323	4.611	-12.491	-0.003	-0.001
		PP+0.96·V(180°)H2+1.6·N(R)1	0.006	3.870	4.770	-14.834	0.000	-0.002
		1.6·PP+0.96·V(180°)H2+1.6·N(R)1	0.006	4.709	6.751	-17.917	-0.002	-0.002
		PP+0.96·V(270°)H1+1.6·N(R)1	0.117	2.570	1.679	-6.704	0.552	-0.001
		1.6·PP+0.96·V(270°)H1+1.6·N(R)1	0.118	3.409	3.659	-9.788	0.550	-0.001
		PP+1.6·V(0°)H1+0.8·N(R)1	-0.013	-3.489	0.379	10.257	-0.037	0.001
		1.6·PP+1.6·V(0°)H1+0.8·N(R)1	-0.012	-2.650	2.360	7.173	-0.038	0.001
		PP+1.6·V(0°)H2+0.8·N(R)1	-0.013	-1.459	5.125	3.510	-0.043	0.001
		1.6·PP+1.6·V(0°)H2+0.8·N(R)1	-0.012	-0.621	7.105	0.426	-0.045	0.000
		PP+1.6·V(90°)H1+0.8·N(R)1	-0.187	2.716	0.006	-5.086	-0.906	0.001
		1.6·PP+1.6·V(90°)H1+0.8·N(R)1	-0.187	3.555	1.986	-8.169	-0.908	0.000
		PP+1.6·V(180°)H1+0.8·N(R)1	0.003	2.303	0.907	-8.618	-0.002	-0.001
		1.6·PP+1.6·V(180°)H1+0.8·N(R)1	0.004	3.141	2.887	-11.701	-0.004	-0.001
		PP+1.6·V(180°)H2+0.8·N(R)1	0.007	4.613	4.473	-17.661	0.000	-0.002

Reacciones en los nudos, por combinación								
Referencia	Combinación		Reacciones en ejes globales					
	Tipo	Descripción	Rx (t)	Ry (t)	Rz (t)	Mx (t·m)	My (t·m)	Mz (t·m)
		1.6·PP+1.6·V(180°)H2+0.8·N(R)1	0.008	5.452	6.453	-20.745	-0.002	-0.002
		PP+1.6·V(270°)H1+0.8·N(R)1	0.193	2.445	-0.680	-4.112	0.920	-0.001
		1.6·PP+1.6·V(270°)H1+0.8·N(R)1	0.194	3.284	1.301	-7.195	0.918	-0.001
		PP+1.6·N(R)2	0.001	2.194	4.940	-7.781	-0.006	-0.001
		1.6·PP+1.6·N(R)2	0.002	3.032	6.921	-10.864	-0.008	-0.001
		PP+0.96·V(0°)H1+1.6·N(R)2	-0.008	-0.971	2.859	2.392	-0.026	0.000
		1.6·PP+0.96·V(0°)H1+1.6·N(R)2	-0.007	-0.133	4.839	-0.692	-0.028	0.000
		PP+0.96·V(0°)H2+1.6·N(R)2	-0.008	0.246	5.706	-1.657	-0.030	0.000
		1.6·PP+0.96·V(0°)H2+1.6·N(R)2	-0.007	1.085	7.687	-4.740	-0.032	0.000
		PP+0.96·V(90°)H1+1.6·N(R)2	-0.112	2.752	2.635	-6.814	-0.548	0.000
		1.6·PP+0.96·V(90°)H1+1.6·N(R)2	-0.112	3.590	4.615	-9.897	-0.550	0.000
		PP+0.96·V(180°)H1+1.6·N(R)2	0.002	2.503	3.175	-8.933	-0.006	-0.001
		1.6·PP+0.96·V(180°)H1+1.6·N(R)2	0.002	3.342	5.156	-12.017	-0.008	-0.001
		PP+0.96·V(180°)H2+1.6·N(R)2	0.004	3.890	5.315	-14.359	-0.005	-0.001

Reacciones en los nudos, por combinación								
Referencia	Combinación		Reacciones en ejes globales					
	Tipo	Descripción	Rx (t)	Ry (t)	Rz (t)	Mx (t·m)	My (t·m)	Mz (t·m)
		1.6·PP+0.96·V(180°)H2+1.6·N(R)2	0.005	4.728	7.295	-17.443	-0.007	-0.002
		PP+0.96·V(270°)H1+1.6·N(R)2	0.116	2.589	2.223	-6.230	0.548	-0.001
		1.6·PP+0.96·V(270°)H1+1.6·N(R)2	0.116	3.428	4.204	-9.313	0.546	-0.001
		PP+1.6·V(0°)H1+0.8·N(R)2	-0.014	-3.479	0.652	10.494	-0.039	0.001
		1.6·PP+1.6·V(0°)H1+0.8·N(R)2	-0.013	-2.640	2.632	7.411	-0.041	0.001
		PP+1.6·V(0°)H2+0.8·N(R)2	-0.013	-1.450	5.397	3.747	-0.045	0.001
		1.6·PP+1.6·V(0°)H2+0.8·N(R)2	-0.013	-0.611	7.378	0.663	-0.047	0.001
		PP+1.6·V(90°)H1+0.8·N(R)2	-0.188	2.726	0.278	-4.848	-0.908	0.001
		1.6·PP+1.6·V(90°)H1+0.8·N(R)2	-0.187	3.565	2.259	-7.932	-0.910	0.000
		PP+1.6·V(180°)H1+0.8·N(R)2	0.002	2.312	1.179	-8.381	-0.004	-0.001
		1.6·PP+1.6·V(180°)H1+0.8·N(R)2	0.003	3.151	3.160	-11.464	-0.006	-0.001
		PP+1.6·V(180°)H2+0.8·N(R)2	0.006	4.622	4.745	-17.424	-0.003	-0.002
		1.6·PP+1.6·V(180°)H2+0.8·N(R)2	0.007	5.461	6.726	-20.507	-0.004	-0.002
		PP+1.6·V(270°)H1+0.8·N(R)2	0.192	2.455	-0.407	-3.875	0.918	-0.001

Reacciones en los nudos, por combinación								
Referencia	Combinación		Reacciones en ejes globales					
	Tipo	Descripción	Rx (t)	Ry (t)	Rz (t)	Mx (t·m)	My (t·m)	Mz (t·m)
		1.6·PP+1.6·V(270°)H1+0.8·N(R)2	0.193	3.294	1.573	-6.958	0.916	-0.001
		PP+1.6·Q	-0.018	3.548	7.050	-13.012	-0.110	-0.001
		1.6·PP+1.6·Q	-0.017	4.387	9.030	-16.096	-0.112	-0.001
	Tensiones sobre el terreno	PP	0.001	1.398	3.301	-5.139	-0.003	0.000
		PP+V(0°)H1	-0.008	-1.899	1.133	5.457	-0.024	0.001
		PP+V(0°)H2	-0.008	-0.631	4.099	1.240	-0.028	0.000
		PP+V(90°)H1	-0.117	1.979	0.899	-4.132	-0.568	0.000
		PP+V(180°)H1	0.002	1.721	1.462	-6.340	-0.003	-0.001
		PP+V(180°)H2	0.004	3.165	3.691	-11.992	-0.002	-0.001
		PP+V(270°)H1	0.120	1.810	0.471	-3.523	0.573	-0.001
		PP+N(EI)	0.002	2.053	4.440	-7.538	-0.004	-0.001
		PP+V(0°)H1+N(EI)	-0.008	-1.244	2.272	3.058	-0.025	0.000
		PP+V(0°)H2+N(EI)	-0.007	0.025	5.238	-1.159	-0.029	0.000
		PP+V(90°)H1+N(EI)	-0.116	2.634	2.039	-6.531	-0.568	0.000
		PP+V(180°)H1+N(EI)	0.002	2.376	2.602	-8.739	-0.004	-0.001

Reacciones en los nudos, por combinación								
Referencia	Combinación		Reacciones en ejes globales					
	Tipo	Descripción	Rx (t)	Ry (t)	Rz (t)	Mx (t·m)	My (t·m)	Mz (t·m)
		PP+V(180°)H2+N(EI)	0.005	3.820	4.830	-14.391	-0.002	-0.001
		PP+V(270°)H1+N(EI)	0.121	2.465	1.610	-5.922	0.573	-0.001
		PP+N(R)1	0.002	1.883	3.985	-7.087	-0.002	-0.001
		PP+V(0°)H1+N(R)1	-0.007	-1.414	1.817	3.509	-0.024	0.000
		PP+V(0°)H2+N(R)1	-0.007	-0.145	4.783	-0.707	-0.027	0.000
		PP+V(90°)H1+N(R)1	-0.116	2.465	1.584	-6.080	-0.567	0.000
		PP+V(180°)H1+N(R)1	0.003	2.206	2.147	-8.287	-0.002	-0.001
		PP+V(180°)H2+N(R)1	0.005	3.650	4.375	-13.939	-0.001	-0.001
		PP+V(270°)H1+N(R)1	0.122	2.295	1.155	-5.471	0.574	-0.001
		PP+N(R)2	0.001	1.895	4.325	-6.790	-0.005	-0.001
		PP+V(0°)H1+N(R)2	-0.008	-1.402	2.157	3.806	-0.026	0.001
		PP+V(0°)H2+N(R)2	-0.008	-0.133	5.123	-0.411	-0.030	0.000
		PP+V(90°)H1+N(R)2	-0.117	2.477	1.924	-5.783	-0.570	0.000
		PP+V(180°)H1+N(R)2	0.002	2.218	2.487	-7.991	-0.005	-0.001

Reacciones en los nudos, por combinación								
Referencia	Combinación		Reacciones en ejes globales					
	Tipo	Descripción	Rx (t)	Ry (t)	Rz (t)	Mx (t·m)	My (t·m)	Mz (t·m)
		PP+V(180°)H2+N(R)2	0.004	3.662	4.716	-13.643	-0.004	-0.001
		PP+V(270°)H1+N(R)2	0.120	2.307	1.495	-5.174	0.572	-0.001
		PP+Q	-0.011	2.742	5.644	-10.060	-0.070	-0.001
		PP+Q+V(0°)H1	-0.020	-0.555	3.476	0.537	-0.091	0.000
		PP+Q+V(0°)H2	-0.020	0.713	6.442	-3.680	-0.095	0.000
		PP+Q+V(90°)H1	-0.129	3.323	3.242	-9.052	-0.635	0.000
		PP+Q+V(180°)H1	-0.010	3.065	3.805	-11.260	-0.070	-0.001
		PP+Q+V(180°)H2	-0.008	4.509	6.034	-16.912	-0.068	-0.002
		PP+Q+V(270°)H1	0.109	3.154	2.814	-8.444	0.507	-0.001
		PP+Q+N(EI)	-0.010	3.397	6.783	-12.459	-0.070	-0.001
		PP+Q+V(0°)H1+N(EI)	-0.019	0.100	4.615	-1.863	-0.092	0.000
		PP+Q+V(0°)H2+N(EI)	-0.019	1.369	7.581	-6.080	-0.095	0.000
		PP+Q+V(90°)H1+N(EI)	-0.128	3.978	4.382	-11.452	-0.635	0.000
		PP+Q+V(180°)H1+N(EI)	-0.009	3.720	4.945	-13.659	-0.070	-0.001

Reacciones en los nudos, por combinación								
Referencia	Combinación		Reacciones en ejes globales					
	Tipo	Descripción	Rx (t)	Ry (t)	Rz (t)	Mx (t·m)	My (t·m)	Mz (t·m)
		PP+Q+V(180°)H2+N(EI)	-0.007	5.164	7.173	-19.311	-0.069	-0.002
		PP+Q+V(270°)H1+N(EI)	0.109	3.809	3.953	-10.843	0.506	-0.001
		PP+Q+N(R)1	-0.010	3.227	6.328	-12.008	-0.069	-0.001
		PP+Q+V(0°)H1+N(R)1	-0.019	-0.069	4.160	-1.411	-0.090	0.000
		PP+Q+V(0°)H2+N(R)1	-0.019	1.199	7.126	-5.628	-0.094	0.000
		PP+Q+V(90°)H1+N(R)1	-0.128	3.809	3.927	-11.000	-0.634	0.000
		PP+Q+V(180°)H1+N(R)1	-0.009	3.550	4.490	-13.208	-0.069	-0.001
		PP+Q+V(180°)H2+N(R)1	-0.007	4.994	6.718	-18.860	-0.068	-0.002
		PP+Q+V(270°)H1+N(R)1	0.110	3.639	3.498	-10.392	0.508	-0.001
		PP+Q+N(R)2	-0.011	3.239	6.668	-11.711	-0.071	-0.001
		PP+Q+V(0°)H1+N(R)2	-0.020	-0.058	4.500	-1.115	-0.093	0.000
		PP+Q+V(0°)H2+N(R)2	-0.020	1.211	7.466	-5.331	-0.097	0.000
		PP+Q+V(90°)H1+N(R)2	-0.129	3.821	4.267	-10.704	-0.636	0.000
		PP+Q+V(180°)H1+N(R)2	-0.010	3.562	4.830	-12.911	-0.071	-0.001

Reacciones en los nudos, por combinación								
Referencia	Combinación		Reacciones en ejes globales					
	Tipo	Descripción	Rx (t)	Ry (t)	Rz (t)	Mx (t·m)	My (t·m)	Mz (t·m)
		PP+Q+V(180°)H2+N(R)2	-0.008	5.006	7.059	-18.563	-0.070	-0.002
		PP+Q+V(270°)H1+N(R)2	0.109	3.651	3.838	-10.095	0.505	-0.001
N23	Hormigón en cimentaciones	PP	0.001	-1.480	3.389	4.872	-0.002	0.000
		1.6·PP	0.002	-2.369	5.422	7.796	-0.003	0.001
		PP+1.6·V(0°)H1	0.002	-1.926	0.366	7.115	-0.003	0.001
		1.6·PP+1.6·V(0°)H1	0.003	-2.814	2.399	10.039	-0.004	0.001
		PP+1.6·V(0°)H2	0.006	-4.366	4.069	15.743	0.000	0.002
		1.6·PP+1.6·V(0°)H2	0.007	-5.254	6.102	18.666	-0.001	0.002
		PP+1.6·V(90°)H1	-0.188	-2.309	-0.561	3.588	-0.907	-0.001
		1.6·PP+1.6·V(90°)H1	-0.187	-3.197	1.472	6.512	-0.908	-0.001
		PP+1.6·V(180°)H1	-0.014	3.933	-0.221	-11.727	-0.038	-0.001
		1.6·PP+1.6·V(180°)H1	-0.013	3.045	1.812	-8.804	-0.039	-0.001
		PP+1.6·V(180°)H2	-0.013	1.777	4.660	-5.395	-0.043	-0.001
		1.6·PP+1.6·V(180°)H2	-0.013	0.888	6.693	-2.472	-0.044	-0.001

Reacciones en los nudos, por combinación								
Referencia	Combinación		Reacciones en ejes globales					
	Tipo	Descripción	Rx (t)	Ry (t)	Rz (t)	Mx (t·m)	My (t·m)	Mz (t·m)
		PP+1.6·V(270°)H1	0.192	-2.021	-1.266	2.671	0.919	0.001
		1.6·PP+1.6·V(270°)H1	0.193	-2.909	0.767	5.595	0.918	0.001
		PP+1.6·N(EI)	0.002	-2.591	5.278	8.510	-0.002	0.001
		1.6·PP+1.6·N(EI)	0.003	-3.479	7.311	11.434	-0.004	0.001
		PP+0.96·V(0°)H1+1.6·N(EI)	0.003	-2.858	3.464	9.856	-0.003	0.001
		1.6·PP+0.96·V(0°)H1+1.6·N(EI)	0.004	-3.746	5.497	12.779	-0.004	0.001
		PP+0.96·V(0°)H2+1.6·N(EI)	0.005	-4.322	5.686	15.033	-0.001	0.001
		1.6·PP+0.96·V(0°)H2+1.6·N(EI)	0.006	-5.210	7.719	17.956	-0.002	0.002
		PP+0.96·V(90°)H1+1.6·N(EI)	-0.111	-3.088	2.908	7.740	-0.545	0.000
		1.6·PP+0.96·V(90°)H1+1.6·N(EI)	-0.110	-3.976	4.941	10.663	-0.546	0.000
		PP+0.96·V(180°)H1+1.6·N(EI)	-0.007	0.657	3.112	-1.450	-0.024	0.000
		1.6·PP+0.96·V(180°)H1+1.6·N(EI)	-0.006	-0.231	5.145	1.474	-0.025	0.000
		PP+0.96·V(180°)H2+1.6·N(EI)	-0.006	-0.636	6.040	2.350	-0.026	0.000
		1.6·PP+0.96·V(180°)H2+1.6·N(EI)	-0.006	-1.525	8.074	5.273	-0.028	0.000

Reacciones en los nudos, por combinación								
Referencia	Combinación		Reacciones en ejes globales					
	Tipo	Descripción	Rx (t)	Ry (t)	Rz (t)	Mx (t·m)	My (t·m)	Mz (t·m)
		PP+0.96·V(270°)H1+1.6·N(EI)	0.117	-2.915	2.485	7.190	0.550	0.001
		1.6·PP+0.96·V(270°)H1+1.6·N(EI)	0.118	-3.803	4.518	10.113	0.549	0.001
		PP+1.6·V(0°)H1+0.8·N(EI)	0.003	-2.481	1.310	8.934	-0.003	0.001
		1.6·PP+1.6·V(0°)H1+0.8·N(EI)	0.003	-3.370	3.343	11.858	-0.004	0.001
		PP+1.6·V(0°)H2+0.8·N(EI)	0.007	-4.921	5.014	17.562	0.000	0.002
		1.6·PP+1.6·V(0°)H2+0.8·N(EI)	0.007	-5.809	7.047	20.485	-0.001	0.002
		PP+1.6·V(90°)H1+0.8·N(EI)	-0.187	-2.864	0.383	5.407	-0.907	-0.001
		1.6·PP+1.6·V(90°)H1+0.8·N(EI)	-0.187	-3.753	2.416	8.331	-0.908	0.000
		PP+1.6·V(180°)H1+0.8·N(EI)	-0.013	3.378	0.723	-9.909	-0.038	-0.001
		1.6·PP+1.6·V(180°)H1+0.8·N(EI)	-0.013	2.490	2.756	-6.985	-0.039	-0.001
		PP+1.6·V(180°)H2+0.8·N(EI)	-0.013	1.221	5.605	-3.576	-0.043	-0.001
		1.6·PP+1.6·V(180°)H2+0.8·N(EI)	-0.012	0.333	7.638	-0.653	-0.044	-0.001
		PP+1.6·V(270°)H1+0.8·N(EI)	0.193	-2.576	-0.321	4.490	0.919	0.001
		1.6·PP+1.6·V(270°)H1+0.8·N(EI)	0.193	-3.464	1.712	7.414	0.918	0.001

Reacciones en los nudos, por combinación								
Referencia	Combinación		Reacciones en ejes globales					
	Tipo	Descripción	Rx (t)	Ry (t)	Rz (t)	Mx (t·m)	My (t·m)	Mz (t·m)
		PP+1.6·N(R)1	0.001	-2.327	5.082	7.361	-0.004	0.000
		1.6·PP+1.6·N(R)1	0.002	-3.215	7.115	10.285	-0.006	0.001
		PP+0.96·V(0°)H1+1.6·N(R)1	0.002	-2.595	3.268	8.707	-0.005	0.001
		1.6·PP+0.96·V(0°)H1+1.6·N(R)1	0.003	-3.483	5.301	11.631	-0.006	0.001
		PP+0.96·V(0°)H2+1.6·N(R)1	0.004	-4.058	5.490	13.884	-0.003	0.001
		1.6·PP+0.96·V(0°)H2+1.6·N(R)1	0.005	-4.947	7.523	16.807	-0.004	0.002
		PP+0.96·V(90°)H1+1.6·N(R)1	-0.112	-2.824	2.711	6.591	-0.547	0.000
		1.6·PP+0.96·V(90°)H1+1.6·N(R)1	-0.112	-3.713	4.745	9.514	-0.549	0.000
		PP+0.96·V(180°)H1+1.6·N(R)1	-0.008	0.921	2.916	-2.598	-0.026	0.000
		1.6·PP+0.96·V(180°)H1+1.6·N(R)1	-0.007	0.033	4.949	0.325	-0.027	0.000
		PP+0.96·V(180°)H2+1.6·N(R)1	-0.008	-0.373	5.844	1.201	-0.029	0.000
		1.6·PP+0.96·V(180°)H2+1.6·N(R)1	-0.007	-1.261	7.878	4.124	-0.030	0.000
		PP+0.96·V(270°)H1+1.6·N(R)1	0.116	-2.651	2.289	6.041	0.548	0.001
		1.6·PP+0.96·V(270°)H1+1.6·N(R)1	0.116	-3.539	4.322	8.964	0.547	0.001

Reacciones en los nudos, por combinación								
Referencia	Combinación		Reacciones en ejes globales					
	Tipo	Descripción	Rx (t)	Ry (t)	Rz (t)	Mx (t·m)	My (t·m)	Mz (t·m)
		PP+1.6·V(0°)H1+0.8·N(R)1	0.002	-2.350	1.212	8.360	-0.004	0.001
		1.6·PP+1.6·V(0°)H1+0.8·N(R)1	0.003	-3.238	3.245	11.283	-0.005	0.001
		PP+1.6·V(0°)H2+0.8·N(R)1	0.006	-4.789	4.915	16.988	-0.001	0.002
		1.6·PP+1.6·V(0°)H2+0.8·N(R)1	0.007	-5.677	6.949	19.911	-0.002	0.002
		PP+1.6·V(90°)H1+0.8·N(R)1	-0.188	-2.732	0.285	4.833	-0.908	-0.001
		1.6·PP+1.6·V(90°)H1+0.8·N(R)1	-0.187	-3.621	2.318	7.756	-0.909	-0.001
		PP+1.6·V(180°)H1+0.8·N(R)1	-0.014	3.510	0.625	-10.483	-0.039	-0.001
		1.6·PP+1.6·V(180°)H1+0.8·N(R)1	-0.013	2.622	2.658	-7.560	-0.040	-0.001
		PP+1.6·V(180°)H2+0.8·N(R)1	-0.013	1.353	5.506	-4.150	-0.044	-0.001
		1.6·PP+1.6·V(180°)H2+0.8·N(R)1	-0.013	0.465	7.540	-1.227	-0.045	-0.001
		PP+1.6·V(270°)H1+0.8·N(R)1	0.192	-2.444	-0.419	3.916	0.918	0.001
		1.6·PP+1.6·V(270°)H1+0.8·N(R)1	0.193	-3.332	1.614	6.839	0.917	0.001
		PP+1.6·N(R)2	0.003	-2.299	4.529	7.840	0.000	0.001
		1.6·PP+1.6·N(R)2	0.004	-3.187	6.562	10.763	-0.001	0.001

Reacciones en los nudos, por combinación								
Referencia	Combinación		Reacciones en ejes globales					
	Tipo	Descripción	Rx (t)	Ry (t)	Rz (t)	Mx (t·m)	My (t·m)	Mz (t·m)
		PP+0.96·V(0°)H1+1.6·N(R)2	0.004	-2.567	2.715	9.186	-0.001	0.001
		1.6·PP+0.96·V(0°)H1+1.6·N(R)2	0.004	-3.455	4.749	12.109	-0.002	0.001
		PP+0.96·V(0°)H2+1.6·N(R)2	0.006	-4.030	4.937	14.363	0.001	0.002
		1.6·PP+0.96·V(0°)H2+1.6·N(R)2	0.007	-4.919	6.971	17.286	0.000	0.002
		PP+0.96·V(90°)H1+1.6·N(R)2	-0.111	-2.796	2.159	7.070	-0.543	0.000
		1.6·PP+0.96·V(90°)H1+1.6·N(R)2	-0.110	-3.685	4.192	9.993	-0.544	0.000
		PP+0.96·V(180°)H1+1.6·N(R)2	-0.006	0.949	2.363	-2.120	-0.022	0.000
		1.6·PP+0.96·V(180°)H1+1.6·N(R)2	-0.005	0.061	4.397	0.804	-0.023	0.000
		PP+0.96·V(180°)H2+1.6·N(R)2	-0.006	-0.345	5.292	1.680	-0.024	0.000
		1.6·PP+0.96·V(180°)H2+1.6·N(R)2	-0.005	-1.233	7.325	4.603	-0.026	0.000
		PP+0.96·V(270°)H1+1.6·N(R)2	0.117	-2.623	1.737	6.520	0.553	0.001
		1.6·PP+0.96·V(270°)H1+1.6·N(R)2	0.118	-3.511	3.770	9.443	0.551	0.001
		PP+1.6·V(0°)H1+0.8·N(R)2	0.003	-2.336	0.936	8.599	-0.002	0.001
		1.6·PP+1.6·V(0°)H1+0.8·N(R)2	0.004	-3.224	2.969	11.523	-0.003	0.001

Reacciones en los nudos, por combinación								
Referencia	Combinación		Reacciones en ejes globales					
	Tipo	Descripción	Rx (t)	Ry (t)	Rz (t)	Mx (t·m)	My (t·m)	Mz (t·m)
		PP+1.6·V(0°)H2+0.8·N(R)2	0.007	-4.775	4.639	17.227	0.002	0.002
		1.6·PP+1.6·V(0°)H2+0.8·N(R)2	0.008	-5.663	6.673	20.150	0.000	0.002
		PP+1.6·V(90°)H1+0.8·N(R)2	-0.187	-2.719	0.009	5.072	-0.906	-0.001
		1.6·PP+1.6·V(90°)H1+0.8·N(R)2	-0.186	-3.607	2.042	7.996	-0.907	0.000
		PP+1.6·V(180°)H1+0.8·N(R)2	-0.013	3.524	0.349	-10.244	-0.037	-0.001
		1.6·PP+1.6·V(180°)H1+0.8·N(R)2	-0.012	2.636	2.382	-7.320	-0.038	-0.001
		PP+1.6·V(180°)H2+0.8·N(R)2	-0.013	1.367	5.230	-3.911	-0.041	-0.001
		1.6·PP+1.6·V(180°)H2+0.8·N(R)2	-0.012	0.479	7.264	-0.988	-0.043	-0.001
		PP+1.6·V(270°)H1+0.8·N(R)2	0.193	-2.430	-0.696	4.155	0.920	0.001
		1.6·PP+1.6·V(270°)H1+0.8·N(R)2	0.194	-3.318	1.338	7.079	0.919	0.001
		PP+1.6·Q	-0.018	-3.758	7.273	12.333	-0.107	0.001
		1.6·PP+1.6·Q	-0.017	-4.647	9.306	15.257	-0.108	0.001
	Tensiones sobre el terreno	PP	0.001	-1.480	3.389	4.872	-0.002	0.000
		PP+V(0°)H1	0.002	-1.759	1.499	6.274	-0.003	0.001

Reacciones en los nudos, por combinación								
Referencia	Combinación		Reacciones en ejes globales					
	Tipo	Descripción	Rx (t)	Ry (t)	Rz (t)	Mx (t·m)	My (t·m)	Mz (t·m)
		PP+V(0°)H2	0.004	-3.284	3.814	11.667	0.000	0.001
		PP+V(90°)H1	-0.117	-1.998	0.920	4.070	-0.568	0.000
		PP+V(180°)H1	-0.008	1.903	1.132	-5.503	-0.024	-0.001
		PP+V(180°)H2	-0.008	0.555	4.183	-1.545	-0.027	0.000
		PP+V(270°)H1	0.120	-1.818	0.480	3.497	0.574	0.001
		PP+N(EI)	0.002	-2.174	4.569	7.146	-0.002	0.001
		PP+V(0°)H1+N(EI)	0.003	-2.453	2.680	8.548	-0.003	0.001
		PP+V(0°)H2+N(EI)	0.005	-3.978	4.995	13.940	-0.001	0.001
		PP+V(90°)H1+N(EI)	-0.116	-2.692	2.100	6.344	-0.568	0.000
		PP+V(180°)H1+N(EI)	-0.008	1.209	2.313	-3.229	-0.025	0.000
		PP+V(180°)H2+N(EI)	-0.007	-0.139	5.364	0.729	-0.027	0.000
		PP+V(270°)H1+N(EI)	0.121	-2.512	1.660	5.770	0.574	0.001
		PP+N(R)1	0.001	-2.010	4.447	6.428	-0.004	0.000
		PP+V(0°)H1+N(R)1	0.002	-2.288	2.557	7.830	-0.004	0.001

Reacciones en los nudos, por combinación								
Referencia	Combinación		Reacciones en ejes globales					
	Tipo	Descripción	Rx (t)	Ry (t)	Rz (t)	Mx (t·m)	My (t·m)	Mz (t·m)
		PP+V(0°)H2+N(R)1	0.004	-3.813	4.872	13.222	-0.002	0.001
		PP+V(90°)H1+N(R)1	-0.117	-2.528	1.978	5.626	-0.569	0.000
		PP+V(180°)H1+N(R)1	-0.008	1.374	2.191	-3.947	-0.026	-0.001
		PP+V(180°)H2+N(R)1	-0.008	0.026	5.241	0.011	-0.029	0.000
		PP+V(270°)H1+N(R)1	0.120	-2.347	1.538	5.052	0.572	0.001
		PP+N(R)2	0.002	-1.992	4.102	6.727	-0.001	0.001
		PP+V(0°)H1+N(R)2	0.003	-2.271	2.212	8.129	-0.001	0.001
		PP+V(0°)H2+N(R)2	0.005	-3.796	4.527	13.521	0.001	0.001
		PP+V(90°)H1+N(R)2	-0.116	-2.510	1.633	5.925	-0.566	0.000
		PP+V(180°)H1+N(R)2	-0.007	1.391	1.845	-3.648	-0.023	0.000
		PP+V(180°)H2+N(R)2	-0.007	0.044	4.896	0.310	-0.026	0.000
		PP+V(270°)H1+N(R)2	0.122	-2.330	1.192	5.352	0.575	0.001
		PP+Q	-0.011	-2.904	5.816	9.535	-0.068	0.001
		PP+Q+V(0°)H1	-0.010	-3.183	3.927	10.937	-0.068	0.001

Reacciones en los nudos, por combinación								
Referencia	Combinación		Reacciones en ejes globales					
	Tipo	Descripción	Rx (t)	Ry (t)	Rz (t)	Mx (t·m)	My (t·m)	Mz (t·m)
		PP+Q+V(0°)H2	-0.008	-4.707	6.242	16.330	-0.066	0.001
		PP+Q+V(90°)H1	-0.129	-3.422	3.348	8.733	-0.633	0.000
		PP+Q+V(180°)H1	-0.020	0.479	3.560	-0.839	-0.090	0.000
		PP+Q+V(180°)H2	-0.020	-0.868	6.611	3.118	-0.093	0.000
		PP+Q+V(270°)H1	0.109	-3.242	2.907	8.160	0.508	0.001
		PP+Q+N(EI)	-0.010	-3.598	6.997	11.809	-0.068	0.001
		PP+Q+V(0°)H1+N(EI)	-0.009	-3.877	5.108	13.211	-0.068	0.001
		PP+Q+V(0°)H2+N(EI)	-0.007	-5.401	7.422	18.603	-0.066	0.002
		PP+Q+V(90°)H1+N(EI)	-0.128	-4.116	4.528	11.007	-0.633	0.000
		PP+Q+V(180°)H1+N(EI)	-0.019	-0.215	4.741	1.434	-0.090	0.000
		PP+Q+V(180°)H2+N(EI)	-0.019	-1.562	7.792	5.392	-0.093	0.000
		PP+Q+V(270°)H1+N(EI)	0.109	-3.936	4.088	10.434	0.508	0.001
		PP+Q+N(R)1	-0.011	-3.433	6.874	11.091	-0.069	0.001
		PP+Q+V(0°)H1+N(R)1	-0.010	-3.712	4.985	12.493	-0.070	0.001

Reacciones en los nudos, por combinación								
Referencia	Combinación		Reacciones en ejes globales					
	Tipo	Descripción	Rx (t)	Ry (t)	Rz (t)	Mx (t·m)	My (t·m)	Mz (t·m)
		PP+Q+V(0°)H2+N(R)1	-0.008	-5.237	7.300	17.885	-0.068	0.002
		PP+Q+V(90°)H1+N(R)1	-0.129	-3.951	4.406	10.289	-0.635	0.000
		PP+Q+V(180°)H1+N(R)1	-0.020	-0.050	4.618	0.716	-0.091	0.000
		PP+Q+V(180°)H2+N(R)1	-0.020	-1.398	7.669	4.674	-0.094	0.000
		PP+Q+V(270°)H1+N(R)1	0.109	-3.771	3.965	9.716	0.507	0.001
		PP+Q+N(R)2	-0.010	-3.416	6.529	11.390	-0.067	0.001
		PP+Q+V(0°)H1+N(R)2	-0.009	-3.694	4.640	12.792	-0.067	0.001
		PP+Q+V(0°)H2+N(R)2	-0.006	-5.219	6.955	18.184	-0.065	0.002
		PP+Q+V(90°)H1+N(R)2	-0.128	-3.934	4.060	10.588	-0.632	0.000
		PP+Q+V(180°)H1+N(R)2	-0.019	-0.032	4.273	1.015	-0.089	0.000
		PP+Q+V(180°)H2+N(R)2	-0.019	-1.380	7.324	4.973	-0.092	0.000
		PP+Q+V(270°)H1+N(R)2	0.110	-3.753	3.620	10.015	0.509	0.001
N26	Hormigón en cimentaciones	PP	-0.052	0.680	2.390	-2.134	-0.004	-0.001
		1.6·PP	-0.084	1.088	3.824	-3.415	-0.007	-0.002

Reacciones en los nudos, por combinación								
Referencia	Combinación		Reacciones en ejes globales					
	Tipo	Descripción	Rx (t)	Ry (t)	Rz (t)	Mx (t·m)	My (t·m)	Mz (t·m)
		PP+1.6·V(0°)H1	-0.018	-3.061	0.571	7.620	0.074	0.001
		1.6·PP+1.6·V(0°)H1	-0.049	-2.653	2.005	6.340	0.071	0.001
		PP+1.6·V(0°)H2	-0.093	-1.958	4.105	4.625	0.062	0.000
		1.6·PP+1.6·V(0°)H2	-0.124	-1.550	5.539	3.344	0.060	0.000
		PP+1.6·V(90°)H1	-2.190	1.203	-4.105	-0.831	-0.889	0.000
		1.6·PP+1.6·V(90°)H1	-2.222	1.611	-2.671	-2.112	-0.891	0.000
		PP+1.6·V(180°)H1	-0.043	1.613	0.380	-4.873	0.074	0.000
		1.6·PP+1.6·V(180°)H1	-0.075	2.022	1.814	-6.154	0.071	0.000
		PP+1.6·V(180°)H2	-0.118	2.722	2.487	-8.714	0.071	-0.001
		1.6·PP+1.6·V(180°)H2	-0.149	3.130	3.921	-9.994	0.069	-0.002
		PP+1.6·V(270°)H1	0.171	2.772	1.706	-4.271	0.867	-0.001
		1.6·PP+1.6·V(270°)H1	0.172	3.181	3.140	-5.551	0.864	-0.001
		PP+1.6·N(EI)	-0.089	1.193	3.525	-3.734	-0.008	-0.002
		1.6·PP+1.6·N(EI)	-0.120	1.601	4.959	-5.014	-0.010	-0.002

Reacciones en los nudos, por combinación								
Referencia	Combinación		Reacciones en ejes globales					
	Tipo	Descripción	Rx (t)	Ry (t)	Rz (t)	Mx (t·m)	My (t·m)	Mz (t·m)
		PP+0.96·V(0°)H1+1.6·N(EI)	-0.068	-1.052	2.433	2.119	0.039	0.000
		1.6·PP+0.96·V(0°)H1+1.6·N(EI)	-0.100	-0.644	3.867	0.838	0.037	-0.001
		PP+0.96·V(0°)H2+1.6·N(EI)	-0.113	-0.390	4.554	0.322	0.032	-0.001
		1.6·PP+0.96·V(0°)H2+1.6·N(EI)	-0.145	0.018	5.988	-0.959	0.030	-0.002
		PP+0.96·V(90°)H1+1.6·N(EI)	-1.371	1.506	-0.372	-2.952	-0.538	-0.001
		1.6·PP+0.96·V(90°)H1+1.6·N(EI)	-1.403	1.915	1.062	-4.232	-0.541	-0.001
		PP+0.96·V(180°)H1+1.6·N(EI)	-0.083	1.752	2.319	-5.377	0.039	-0.001
		1.6·PP+0.96·V(180°)H1+1.6·N(EI)	-0.115	2.161	3.752	-6.658	0.037	-0.002
		PP+0.96·V(180°)H2+1.6·N(EI)	-0.128	2.418	3.583	-7.681	0.038	-0.002
		1.6·PP+0.96·V(180°)H2+1.6·N(EI)	-0.159	2.826	5.017	-8.962	0.035	-0.003
		PP+0.96·V(270°)H1+1.6·N(EI)	0.105	2.448	3.114	-5.016	0.515	-0.002
		1.6·PP+0.96·V(270°)H1+1.6·N(EI)	0.106	2.856	4.548	-6.296	0.512	-0.002
		PP+1.6·V(0°)H1+0.8·N(EI)	-0.036	-2.805	1.138	6.820	0.072	0.001
		1.6·PP+1.6·V(0°)H1+0.8·N(EI)	-0.068	-2.397	2.572	5.540	0.070	0.001

Reacciones en los nudos, por combinación								
Referencia	Combinación		Reacciones en ejes globales					
	Tipo	Descripción	Rx (t)	Ry (t)	Rz (t)	Mx (t·m)	My (t·m)	Mz (t·m)
		PP+1.6·V(0°)H2+0.8·N(EI)	-0.111	-1.702	4.672	3.825	0.061	0.000
		1.6·PP+1.6·V(0°)H2+0.8·N(EI)	-0.143	-1.294	6.106	2.544	0.058	-0.001
		PP+1.6·V(90°)H1+0.8·N(EI)	-2.208	1.459	-3.538	-1.631	-0.890	0.000
		1.6·PP+1.6·V(90°)H1+0.8·N(EI)	-2.240	1.868	-2.104	-2.911	-0.893	-0.001
		PP+1.6·V(180°)H1+0.8·N(EI)	-0.062	1.870	0.947	-5.673	0.072	0.000
		1.6·PP+1.6·V(180°)H1+0.8·N(EI)	-0.093	2.278	2.381	-6.953	0.070	-0.001
		PP+1.6·V(180°)H2+0.8·N(EI)	-0.136	2.978	3.054	-9.514	0.069	-0.002
		1.6·PP+1.6·V(180°)H2+0.8·N(EI)	-0.167	3.387	4.488	-10.794	0.067	-0.002
		PP+1.6·V(270°)H1+0.8·N(EI)	0.172	3.029	2.274	-5.070	0.865	-0.001
		1.6·PP+1.6·V(270°)H1+0.8·N(EI)	0.173	3.437	3.708	-6.351	0.863	-0.002
		PP+1.6·N(R)1	-0.079	0.992	2.933	-3.258	-0.004	-0.002
		1.6·PP+1.6·N(R)1	-0.110	1.400	4.367	-4.539	-0.007	-0.002
		PP+0.96·V(0°)H1+1.6·N(R)1	-0.058	-1.253	1.842	2.594	0.042	0.000
		1.6·PP+0.96·V(0°)H1+1.6·N(R)1	-0.090	-0.845	3.276	1.314	0.040	-0.001

Reacciones en los nudos, por combinación								
Referencia	Combinación		Reacciones en ejes globales					
	Tipo	Descripción	Rx (t)	Ry (t)	Rz (t)	Mx (t·m)	My (t·m)	Mz (t·m)
		PP+0.96·V(0°)H2+1.6·N(R)1	-0.103	-0.591	3.962	0.797	0.035	-0.001
		1.6·PP+0.96·V(0°)H2+1.6·N(R)1	-0.135	-0.183	5.396	-0.483	0.033	-0.002
		PP+0.96·V(90°)H1+1.6·N(R)1	-1.361	1.305	-0.964	-2.476	-0.535	-0.001
		1.6·PP+0.96·V(90°)H1+1.6·N(R)1	-1.393	1.713	0.470	-3.757	-0.538	-0.001
		PP+0.96·V(180°)H1+1.6·N(R)1	-0.073	1.551	1.727	-4.901	0.042	-0.001
		1.6·PP+0.96·V(180°)H1+1.6·N(R)1	-0.105	1.960	3.161	-6.182	0.040	-0.002
		PP+0.96·V(180°)H2+1.6·N(R)1	-0.118	2.217	2.991	-7.206	0.041	-0.002
		1.6·PP+0.96·V(180°)H2+1.6·N(R)1	-0.149	2.625	4.425	-8.487	0.038	-0.003
		PP+0.96·V(270°)H1+1.6·N(R)1	0.105	2.247	2.523	-4.540	0.518	-0.001
		1.6·PP+0.96·V(270°)H1+1.6·N(R)1	0.106	2.655	3.957	-5.821	0.516	-0.002
		PP+1.6·V(0°)H1+0.8·N(R)1	-0.031	-2.905	0.843	7.058	0.074	0.001
		1.6·PP+1.6·V(0°)H1+0.8·N(R)1	-0.063	-2.497	2.276	5.778	0.071	0.001
		PP+1.6·V(0°)H2+0.8·N(R)1	-0.106	-1.802	4.377	4.063	0.062	0.000
		1.6·PP+1.6·V(0°)H2+0.8·N(R)1	-0.138	-1.394	5.811	2.782	0.060	-0.001

Reacciones en los nudos, por combinación								
Referencia	Combinación		Reacciones en ejes globales					
	Tipo	Descripción	Rx (t)	Ry (t)	Rz (t)	Mx (t·m)	My (t·m)	Mz (t·m)
		PP+1.6·V(90°)H1+0.8·N(R)1	-2.203	1.359	-3.833	-1.393	-0.889	0.000
		1.6·PP+1.6·V(90°)H1+0.8·N(R)1	-2.235	1.767	-2.400	-2.674	-0.891	0.000
		PP+1.6·V(180°)H1+0.8·N(R)1	-0.057	1.769	0.651	-5.435	0.074	0.000
		1.6·PP+1.6·V(180°)H1+0.8·N(R)1	-0.088	2.177	2.085	-6.716	0.071	-0.001
		PP+1.6·V(180°)H2+0.8·N(R)1	-0.131	2.878	2.758	-9.276	0.071	-0.002
		1.6·PP+1.6·V(180°)H2+0.8·N(R)1	-0.162	3.286	4.192	-10.556	0.068	-0.002
		PP+1.6·V(270°)H1+0.8·N(R)1	0.172	2.928	1.978	-4.833	0.867	-0.001
		1.6·PP+1.6·V(270°)H1+0.8·N(R)1	0.173	3.336	3.412	-6.113	0.864	-0.002
		PP+1.6·N(R)2	-0.081	1.137	3.549	-3.410	-0.009	-0.001
		1.6·PP+1.6·N(R)2	-0.112	1.546	4.983	-4.690	-0.011	-0.002
		PP+0.96·V(0°)H1+1.6·N(R)2	-0.060	-1.107	2.458	2.443	0.038	0.000
		1.6·PP+0.96·V(0°)H1+1.6·N(R)2	-0.092	-0.699	3.891	1.162	0.035	-0.001
		PP+0.96·V(0°)H2+1.6·N(R)2	-0.105	-0.445	4.578	0.646	0.031	-0.001
		1.6·PP+0.96·V(0°)H2+1.6·N(R)2	-0.137	-0.037	6.012	-0.635	0.028	-0.001

Reacciones en los nudos, por combinación								
Referencia	Combinación		Reacciones en ejes globales					
	Tipo	Descripción	Rx (t)	Ry (t)	Rz (t)	Mx (t·m)	My (t·m)	Mz (t·m)
		PP+0.96·V(90°)H1+1.6·N(R)2	-1.363	1.451	-0.348	-2.628	-0.540	-0.001
		1.6·PP+0.96·V(90°)H1+1.6·N(R)2	-1.395	1.859	1.086	-3.908	-0.542	-0.001
		PP+0.96·V(180°)H1+1.6·N(R)2	-0.075	1.697	2.343	-5.053	0.038	-0.001
		1.6·PP+0.96·V(180°)H1+1.6·N(R)2	-0.107	2.106	3.777	-6.333	0.035	-0.001
		PP+0.96·V(180°)H2+1.6·N(R)2	-0.120	2.363	3.607	-7.357	0.036	-0.002
		1.6·PP+0.96·V(180°)H2+1.6·N(R)2	-0.151	2.771	5.041	-8.638	0.034	-0.002
		PP+0.96·V(270°)H1+1.6·N(R)2	0.103	2.393	3.139	-4.691	0.514	-0.001
		1.6·PP+0.96·V(270°)H1+1.6·N(R)2	0.105	2.801	4.573	-5.972	0.511	-0.002
		PP+1.6·V(0°)H1+0.8·N(R)2	-0.032	-2.832	1.150	6.983	0.071	0.001
		1.6·PP+1.6·V(0°)H1+0.8·N(R)2	-0.064	-2.424	2.584	5.702	0.069	0.001
		PP+1.6·V(0°)H2+0.8·N(R)2	-0.107	-1.729	4.685	3.987	0.060	0.000
		1.6·PP+1.6·V(0°)H2+0.8·N(R)2	-0.139	-1.321	6.118	2.706	0.057	-0.001
		PP+1.6·V(90°)H1+0.8·N(R)2	-2.204	1.432	-3.526	-1.469	-0.891	0.000
		1.6·PP+1.6·V(90°)H1+0.8·N(R)2	-2.236	1.840	-2.092	-2.749	-0.894	0.000

Reacciones en los nudos, por combinación								
Referencia	Combinación		Reacciones en ejes globales					
	Tipo	Descripción	Rx (t)	Ry (t)	Rz (t)	Mx (t·m)	My (t·m)	Mz (t·m)
		PP+1.6·V(180°)H1+0.8·N(R)2	-0.058	1.842	0.959	-5.511	0.071	0.000
		1.6·PP+1.6·V(180°)H1+0.8·N(R)2	-0.089	2.250	2.393	-6.791	0.069	-0.001
		PP+1.6·V(180°)H2+0.8·N(R)2	-0.132	2.951	3.066	-9.351	0.069	-0.002
		1.6·PP+1.6·V(180°)H2+0.8·N(R)2	-0.163	3.359	4.500	-10.632	0.066	-0.002
		PP+1.6·V(270°)H1+0.8·N(R)2	0.171	3.001	2.286	-4.908	0.864	-0.001
		1.6·PP+1.6·V(270°)H1+0.8·N(R)2	0.172	3.409	3.720	-6.189	0.862	-0.002
		PP+1.6·Q	-0.384	1.665	4.273	-5.178	-0.119	-0.002
		1.6·PP+1.6·Q	-0.416	2.073	5.707	-6.459	-0.121	-0.003
	Tensiones sobre el terreno	PP	-0.052	0.680	2.390	-2.134	-0.004	-0.001
		PP+V(0°)H1	-0.031	-1.658	1.253	3.962	0.045	0.001
		PP+V(0°)H2	-0.078	-0.969	3.462	2.090	0.037	0.000
		PP+V(90°)H1	-1.388	1.007	-1.669	-1.320	-0.557	0.000
		PP+V(180°)H1	-0.047	1.263	1.134	-3.846	0.045	0.000
		PP+V(180°)H2	-0.093	1.956	2.450	-6.247	0.043	-0.001

Reacciones en los nudos, por combinación								
Referencia	Combinación		Reacciones en ejes globales					
	Tipo	Descripción	Rx (t)	Ry (t)	Rz (t)	Mx (t·m)	My (t·m)	Mz (t·m)
		PP+V(270°)H1	0.108	1.988	1.963	-3.470	0.540	-0.001
		PP+N(EI)	-0.075	1.000	3.099	-3.134	-0.006	-0.001
		PP+V(0°)H1+N(EI)	-0.054	-1.338	1.962	2.963	0.042	0.000
		PP+V(0°)H2+N(EI)	-0.101	-0.648	4.171	1.090	0.035	-0.001
		PP+V(90°)H1+N(EI)	-1.411	1.327	-0.960	-2.319	-0.559	-0.001
		PP+V(180°)H1+N(EI)	-0.070	1.584	1.843	-4.846	0.042	-0.001
		PP+V(180°)H2+N(EI)	-0.116	2.277	3.160	-7.246	0.041	-0.002
		PP+V(270°)H1+N(EI)	0.108	2.308	2.672	-4.469	0.538	-0.001
		PP+N(R)1	-0.069	0.875	2.729	-2.837	-0.004	-0.001
		PP+V(0°)H1+N(R)1	-0.047	-1.463	1.593	3.260	0.044	0.000
		PP+V(0°)H2+N(R)1	-0.094	-0.774	3.801	1.388	0.037	-0.001
		PP+V(90°)H1+N(R)1	-1.405	1.202	-1.330	-2.022	-0.557	0.000
		PP+V(180°)H1+N(R)1	-0.063	1.458	1.473	-4.548	0.044	-0.001
		PP+V(180°)H2+N(R)1	-0.110	2.151	2.790	-6.949	0.043	-0.002

Reacciones en los nudos, por combinación								
Referencia	Combinación		Reacciones en ejes globales					
	Tipo	Descripción	Rx (t)	Ry (t)	Rz (t)	Mx (t·m)	My (t·m)	Mz (t·m)
		PP+V(270°)H1+N(R)1	0.109	2.182	2.302	-4.172	0.540	-0.001
		PP+N(R)2	-0.070	0.966	3.114	-2.931	-0.007	-0.001
		PP+V(0°)H1+N(R)2	-0.049	-1.372	1.977	3.165	0.042	0.000
		PP+V(0°)H2+N(R)2	-0.095	-0.683	4.186	1.293	0.034	-0.001
		PP+V(90°)H1+N(R)2	-1.406	1.293	-0.945	-2.117	-0.560	0.000
		PP+V(180°)H1+N(R)2	-0.064	1.549	1.858	-4.643	0.042	-0.001
		PP+V(180°)H2+N(R)2	-0.111	2.242	3.175	-7.044	0.040	-0.002
		PP+V(270°)H1+N(R)2	0.108	2.274	2.687	-4.267	0.537	-0.001
		PP+Q	-0.260	1.296	3.567	-4.037	-0.076	-0.002
		PP+Q+V(0°)H1	-0.238	-1.042	2.430	2.060	-0.027	0.000
		PP+Q+V(0°)H2	-0.285	-0.353	4.639	0.188	-0.034	-0.001
		PP+Q+V(90°)H1	-1.596	1.623	-0.493	-3.222	-0.628	-0.001
		PP+Q+V(180°)H1	-0.254	1.879	2.310	-5.748	-0.027	-0.001
		PP+Q+V(180°)H2	-0.300	2.572	3.627	-8.149	-0.029	-0.002

Reacciones en los nudos, por combinación								
Referencia	Combinación		Reacciones en ejes globales					
	Tipo	Descripción	Rx (t)	Ry (t)	Rz (t)	Mx (t·m)	My (t·m)	Mz (t·m)
		PP+Q+V(270°)H1	0.095	2.603	3.139	-5.372	0.469	-0.002
		PP+Q+N(EI)	-0.282	1.616	4.276	-5.036	-0.078	-0.002
		PP+Q+V(0°)H1+N(EI)	-0.261	-0.722	3.139	1.060	-0.029	-0.001
		PP+Q+V(0°)H2+N(EI)	-0.308	-0.033	5.348	-0.812	-0.036	-0.002
		PP+Q+V(90°)H1+N(EI)	-1.619	1.943	0.217	-4.222	-0.631	-0.001
		PP+Q+V(180°)H1+N(EI)	-0.277	2.199	3.020	-6.748	-0.029	-0.002
		PP+Q+V(180°)H2+N(EI)	-0.323	2.892	4.336	-9.149	-0.031	-0.003
		PP+Q+V(270°)H1+N(EI)	0.096	2.924	3.849	-6.372	0.466	-0.002
		PP+Q+N(R)1	-0.276	1.490	3.906	-4.739	-0.076	-0.002
		PP+Q+V(0°)H1+N(R)1	-0.255	-0.848	2.769	1.357	-0.027	-0.001
		PP+Q+V(0°)H2+N(R)1	-0.302	-0.158	4.978	-0.515	-0.034	-0.002
		PP+Q+V(90°)H1+N(R)1	-1.612	1.817	-0.153	-3.924	-0.629	-0.001
		PP+Q+V(180°)H1+N(R)1	-0.270	2.074	2.650	-6.451	-0.027	-0.002
		PP+Q+V(180°)H2+N(R)1	-0.317	2.767	3.967	-8.851	-0.029	-0.003

Reacciones en los nudos, por combinación								
Referencia	Combinación		Reacciones en ejes globales					
	Tipo	Descripción	Rx (t)	Ry (t)	Rz (t)	Mx (t·m)	My (t·m)	Mz (t·m)
		PP+Q+V(270°)H1+N(R)1	0.096	2.798	3.479	-6.074	0.468	-0.002
		PP+Q+N(R)2	-0.277	1.582	4.291	-4.834	-0.079	-0.002
		PP+Q+V(0°)H1+N(R)2	-0.256	-0.757	3.154	1.263	-0.030	-0.001
		PP+Q+V(0°)H2+N(R)2	-0.303	-0.067	5.363	-0.609	-0.037	-0.001
		PP+Q+V(90°)H1+N(R)2	-1.613	1.908	0.232	-4.019	-0.631	-0.001
		PP+Q+V(180°)H1+N(R)2	-0.272	2.165	3.035	-6.545	-0.030	-0.001
		PP+Q+V(180°)H2+N(R)2	-0.318	2.858	4.352	-8.946	-0.032	-0.003
		PP+Q+V(270°)H1+N(R)2	0.095	2.889	3.864	-6.169	0.466	-0.002
N28	Hormigón en cimentaciones	PP	-0.051	-0.666	2.399	2.058	-0.010	0.001
		1.6·PP	-0.081	-1.065	3.838	3.294	-0.016	0.001
		PP+1.6·V(0°)H1	-0.043	-1.610	0.373	4.866	0.074	0.000
		1.6·PP+1.6·V(0°)H1	-0.074	-2.009	1.812	6.102	0.068	0.000
		PP+1.6·V(0°)H2	-0.115	-2.696	2.494	8.588	0.063	0.001
		1.6·PP+1.6·V(0°)H2	-0.145	-3.095	3.933	9.823	0.057	0.002

Reacciones en los nudos, por combinación								
Referencia	Combinación		Reacciones en ejes globales					
	Tipo	Descripción	Rx (t)	Ry (t)	Rz (t)	Mx (t·m)	My (t·m)	Mz (t·m)
		PP+1.6·V(90°)H1	-2.190	-1.207	-4.107	0.848	-0.887	0.000
		1.6·PP+1.6·V(90°)H1	-2.221	-1.606	-2.668	2.083	-0.893	0.000
		PP+1.6·V(180°)H1	-0.019	3.049	0.573	-7.573	0.076	-0.001
		1.6·PP+1.6·V(180°)H1	-0.049	2.650	2.012	-6.338	0.071	-0.001
		PP+1.6·V(180°)H2	-0.091	1.969	4.121	-4.695	0.056	0.000
		1.6·PP+1.6·V(180°)H2	-0.122	1.569	5.560	-3.460	0.050	0.000
		PP+1.6·V(270°)H1	0.172	-2.779	1.702	4.304	0.869	0.001
		1.6·PP+1.6·V(270°)H1	0.172	-3.178	3.142	5.539	0.863	0.001
		PP+1.6·N(EI)	-0.086	-1.167	3.540	3.601	-0.017	0.001
		1.6·PP+1.6·N(EI)	-0.116	-1.566	4.979	4.836	-0.023	0.002
		PP+0.96·V(0°)H1+1.6·N(EI)	-0.081	-1.733	2.325	5.286	0.033	0.001
		1.6·PP+0.96·V(0°)H1+1.6·N(EI)	-0.112	-2.133	3.764	6.521	0.027	0.001
		PP+0.96·V(0°)H2+1.6·N(EI)	-0.124	-2.385	3.597	7.519	0.026	0.002
		1.6·PP+0.96·V(0°)H2+1.6·N(EI)	-0.155	-2.784	5.036	8.754	0.020	0.002

Reacciones en los nudos, por combinación								
Referencia	Combinación		Reacciones en ejes globales					
	Tipo	Descripción	Rx (t)	Ry (t)	Rz (t)	Mx (t·m)	My (t·m)	Mz (t·m)
		PP+0.96·V(90°)H1+1.6·N(EI)	-1.370	-1.492	-0.363	2.875	-0.544	0.001
		1.6·PP+0.96·V(90°)H1+1.6·N(EI)	-1.400	-1.891	1.076	4.110	-0.550	0.001
		PP+0.96·V(180°)H1+1.6·N(EI)	-0.067	1.062	2.445	-2.178	0.034	0.000
		1.6·PP+0.96·V(180°)H1+1.6·N(EI)	-0.097	0.663	3.884	-0.943	0.028	0.001
		PP+0.96·V(180°)H2+1.6·N(EI)	-0.110	0.414	4.573	-0.451	0.022	0.001
		1.6·PP+0.96·V(180°)H2+1.6·N(EI)	-0.141	0.014	6.012	0.784	0.016	0.001
		PP+0.96·V(270°)H1+1.6·N(EI)	0.102	-2.435	3.122	4.948	0.510	0.001
		1.6·PP+0.96·V(270°)H1+1.6·N(EI)	0.102	-2.834	4.561	6.183	0.504	0.002
		PP+1.6·V(0°)H1+0.8·N(EI)	-0.061	-1.860	0.944	5.638	0.070	0.000
		1.6·PP+1.6·V(0°)H1+0.8·N(EI)	-0.091	-2.260	2.383	6.873	0.065	0.001
		PP+1.6·V(0°)H2+0.8·N(EI)	-0.133	-2.946	3.064	9.359	0.059	0.002
		1.6·PP+1.6·V(0°)H2+0.8·N(EI)	-0.163	-3.346	4.504	10.595	0.053	0.002
		PP+1.6·V(90°)H1+0.8·N(EI)	-2.208	-1.457	-3.536	1.619	-0.891	0.000
		1.6·PP+1.6·V(90°)H1+0.8·N(EI)	-2.238	-1.857	-2.097	2.854	-0.897	0.000

Reacciones en los nudos, por combinación								
Referencia	Combinación		Reacciones en ejes globales					
	Tipo	Descripción	Rx (t)	Ry (t)	Rz (t)	Mx (t·m)	My (t·m)	Mz (t·m)
		PP+1.6·V(180°)H1+0.8·N(EI)	-0.036	2.799	1.144	-6.802	0.073	-0.001
		1.6·PP+1.6·V(180°)H1+0.8·N(EI)	-0.067	2.399	2.583	-5.567	0.067	-0.001
		PP+1.6·V(180°)H2+0.8·N(EI)	-0.109	1.718	4.691	-3.924	0.052	0.000
		1.6·PP+1.6·V(180°)H2+0.8·N(EI)	-0.139	1.319	6.131	-2.689	0.047	0.001
		PP+1.6·V(270°)H1+0.8·N(EI)	0.172	-3.029	2.273	5.075	0.865	0.001
		1.6·PP+1.6·V(270°)H1+0.8·N(EI)	0.172	-3.429	3.712	6.310	0.860	0.002
		PP+1.6·N(R)1	-0.078	-1.114	3.562	3.287	-0.018	0.001
		1.6·PP+1.6·N(R)1	-0.108	-1.513	5.001	4.523	-0.024	0.002
		PP+0.96·V(0°)H1+1.6·N(R)1	-0.074	-1.680	2.347	4.972	0.033	0.001
		1.6·PP+0.96·V(0°)H1+1.6·N(R)1	-0.104	-2.079	3.786	6.207	0.027	0.001
		PP+0.96·V(0°)H2+1.6·N(R)1	-0.117	-2.332	3.619	7.205	0.026	0.001
		1.6·PP+0.96·V(0°)H2+1.6·N(R)1	-0.147	-2.731	5.058	8.440	0.020	0.002
		PP+0.96·V(90°)H1+1.6·N(R)1	-1.362	-1.438	-0.341	2.561	-0.544	0.000
		1.6·PP+0.96·V(90°)H1+1.6·N(R)1	-1.392	-1.838	1.098	3.796	-0.550	0.001

Reacciones en los nudos, por combinación								
Referencia	Combinación		Reacciones en ejes globales					
	Tipo	Descripción	Rx (t)	Ry (t)	Rz (t)	Mx (t·m)	My (t·m)	Mz (t·m)
		PP+0.96·V(180°)H1+1.6·N(R)1	-0.059	1.115	2.467	-2.491	0.034	0.000
		1.6·PP+0.96·V(180°)H1+1.6·N(R)1	-0.089	0.716	3.906	-1.256	0.028	0.000
		PP+0.96·V(180°)H2+1.6·N(R)1	-0.102	0.467	4.595	-0.765	0.022	0.001
		1.6·PP+0.96·V(180°)H2+1.6·N(R)1	-0.133	0.068	6.035	0.471	0.016	0.001
		PP+0.96·V(270°)H1+1.6·N(R)1	0.102	-2.382	3.144	4.635	0.510	0.001
		1.6·PP+0.96·V(270°)H1+1.6·N(R)1	0.101	-2.781	4.583	5.870	0.504	0.002
		PP+1.6·V(0°)H1+0.8·N(R)1	-0.057	-1.834	0.955	5.481	0.070	0.000
		1.6·PP+1.6·V(0°)H1+0.8·N(R)1	-0.087	-2.233	2.394	6.716	0.064	0.001
		PP+1.6·V(0°)H2+0.8·N(R)1	-0.129	-2.920	3.075	9.203	0.059	0.001
		1.6·PP+1.6·V(0°)H2+0.8·N(R)1	-0.159	-3.319	4.515	10.438	0.053	0.002
		PP+1.6·V(90°)H1+0.8·N(R)1	-2.204	-1.431	-3.525	1.463	-0.891	0.000
		1.6·PP+1.6·V(90°)H1+0.8·N(R)1	-2.235	-1.830	-2.086	2.698	-0.897	0.000
		PP+1.6·V(180°)H1+0.8·N(R)1	-0.033	2.825	1.155	-6.958	0.072	-0.001
		1.6·PP+1.6·V(180°)H1+0.8·N(R)1	-0.063	2.426	2.594	-5.723	0.067	-0.001

Reacciones en los nudos, por combinación								
Referencia	Combinación		Reacciones en ejes globales					
	Tipo	Descripción	Rx (t)	Ry (t)	Rz (t)	Mx (t·m)	My (t·m)	Mz (t·m)
		PP+1.6·V(180°)H2+0.8·N(R)1	-0.105	1.745	4.702	-4.080	0.052	0.000
		1.6·PP+1.6·V(180°)H2+0.8·N(R)1	-0.135	1.345	6.142	-2.845	0.046	0.000
		PP+1.6·V(270°)H1+0.8·N(R)1	0.172	-3.003	2.284	4.919	0.865	0.001
		1.6·PP+1.6·V(270°)H1+0.8·N(R)1	0.171	-3.402	3.723	6.154	0.859	0.002
		PP+1.6·N(R)2	-0.076	-0.970	2.947	3.143	-0.013	0.001
		1.6·PP+1.6·N(R)2	-0.107	-1.369	4.386	4.378	-0.019	0.002
		PP+0.96·V(0°)H1+1.6·N(R)2	-0.072	-1.536	1.732	4.828	0.037	0.001
		1.6·PP+0.96·V(0°)H1+1.6·N(R)2	-0.102	-1.935	3.171	6.063	0.031	0.001
		PP+0.96·V(0°)H2+1.6·N(R)2	-0.115	-2.188	3.004	7.061	0.030	0.002
		1.6·PP+0.96·V(0°)H2+1.6·N(R)2	-0.145	-2.587	4.444	8.296	0.025	0.002
		PP+0.96·V(90°)H1+1.6·N(R)2	-1.360	-1.294	-0.956	2.417	-0.540	0.001
		1.6·PP+0.96·V(90°)H1+1.6·N(R)2	-1.390	-1.694	0.483	3.652	-0.546	0.001
		PP+0.96·V(180°)H1+1.6·N(R)2	-0.057	1.259	1.852	-2.636	0.039	0.000
		1.6·PP+0.96·V(180°)H1+1.6·N(R)2	-0.087	0.860	3.291	-1.401	0.033	0.001

Reacciones en los nudos, por combinación								
Referencia	Combinación		Reacciones en ejes globales					
	Tipo	Descripción	Rx (t)	Ry (t)	Rz (t)	Mx (t·m)	My (t·m)	Mz (t·m)
		PP+0.96·V(180°)H2+1.6·N(R)2	-0.100	0.611	3.981	-0.909	0.026	0.001
		1.6·PP+0.96·V(180°)H2+1.6·N(R)2	-0.131	0.212	5.420	0.326	0.021	0.001
		PP+0.96·V(270°)H1+1.6·N(R)2	0.104	-2.238	2.530	4.490	0.514	0.001
		1.6·PP+0.96·V(270°)H1+1.6·N(R)2	0.103	-2.637	3.969	5.726	0.508	0.002
		PP+1.6·V(0°)H1+0.8·N(R)2	-0.056	-1.762	0.647	5.409	0.073	0.000
		1.6·PP+1.6·V(0°)H1+0.8·N(R)2	-0.086	-2.161	2.087	6.644	0.067	0.001
		PP+1.6·V(0°)H2+0.8·N(R)2	-0.128	-2.848	2.768	9.131	0.061	0.001
		1.6·PP+1.6·V(0°)H2+0.8·N(R)2	-0.158	-3.247	4.207	10.366	0.055	0.002
		PP+1.6·V(90°)H1+0.8·N(R)2	-2.203	-1.359	-3.833	1.391	-0.889	0.000
		1.6·PP+1.6·V(90°)H1+0.8·N(R)2	-2.234	-1.758	-2.394	2.626	-0.895	0.000
		PP+1.6·V(180°)H1+0.8·N(R)2	-0.032	2.897	0.847	-7.031	0.075	-0.001
		1.6·PP+1.6·V(180°)H1+0.8·N(R)2	-0.062	2.498	2.286	-5.796	0.069	-0.001
		PP+1.6·V(180°)H2+0.8·N(R)2	-0.104	1.817	4.395	-4.152	0.055	0.000
		1.6·PP+1.6·V(180°)H2+0.8·N(R)2	-0.134	1.417	5.834	-2.917	0.049	0.000

Reacciones en los nudos, por combinación								
Referencia	Combinación		Reacciones en ejes globales					
	Tipo	Descripción	Rx (t)	Ry (t)	Rz (t)	Mx (t·m)	My (t·m)	Mz (t·m)
		PP+1.6·V(270°)H1+0.8·N(R)2	0.172	-2.931	1.977	4.847	0.867	0.001
		1.6·PP+1.6·V(270°)H1+0.8·N(R)2	0.172	-3.330	3.416	6.082	0.862	0.002
		PP+1.6·Q	-0.380	-1.628	4.295	4.985	-0.133	0.002
		1.6·PP+1.6·Q	-0.410	-2.027	5.734	6.220	-0.139	0.002
	Tensiones sobre el terreno	PP	-0.051	-0.666	2.399	2.058	-0.010	0.001
		PP+V(0°)H1	-0.046	-1.256	1.133	3.813	0.043	0.000
		PP+V(0°)H2	-0.091	-1.934	2.458	6.140	0.036	0.001
		PP+V(90°)H1	-1.388	-1.004	-1.667	1.302	-0.558	0.000
		PP+V(180°)H1	-0.031	1.656	1.258	-3.961	0.044	-0.001
		PP+V(180°)H2	-0.076	0.981	3.475	-2.162	0.032	0.000
		PP+V(270°)H1	0.107	-1.986	1.963	3.462	0.540	0.001
		PP+N(EI)	-0.073	-0.979	3.112	3.022	-0.014	0.001
		PP+V(0°)H1+N(EI)	-0.068	-1.569	1.846	4.777	0.038	0.001
		PP+V(0°)H2+N(EI)	-0.113	-2.248	3.171	7.104	0.031	0.001

Reacciones en los nudos, por combinación								
Referencia	Combinación		Reacciones en ejes globales					
	Tipo	Descripción	Rx (t)	Ry (t)	Rz (t)	Mx (t·m)	My (t·m)	Mz (t·m)
		PP+V(90°)H1+N(EI)	-1.410	-1.317	-0.954	2.266	-0.563	0.000
		PP+V(180°)H1+N(EI)	-0.053	1.343	1.971	-2.997	0.039	0.000
		PP+V(180°)H2+N(EI)	-0.098	0.668	4.188	-1.198	0.027	0.001
		PP+V(270°)H1+N(EI)	0.107	-2.300	2.677	4.426	0.535	0.001
		PP+N(R)1	-0.068	-0.946	3.126	2.827	-0.015	0.001
		PP+V(0°)H1+N(R)1	-0.063	-1.536	1.860	4.582	0.038	0.000
		PP+V(0°)H2+N(R)1	-0.108	-2.214	3.185	6.908	0.031	0.001
		PP+V(90°)H1+N(R)1	-1.405	-1.284	-0.940	2.070	-0.563	0.000
		PP+V(180°)H1+N(R)1	-0.048	1.376	1.985	-3.193	0.039	0.000
		PP+V(180°)H2+N(R)1	-0.093	0.701	4.202	-1.394	0.026	0.000
		PP+V(270°)H1+N(R)1	0.107	-2.266	2.691	4.230	0.535	0.001
		PP+N(R)2	-0.067	-0.856	2.742	2.736	-0.012	0.001
		PP+V(0°)H1+N(R)2	-0.062	-1.446	1.476	4.491	0.041	0.001
		PP+V(0°)H2+N(R)2	-0.107	-2.124	2.801	6.817	0.033	0.001

Reacciones en los nudos, por combinación								
Referencia	Combinación		Reacciones en ejes globales					
	Tipo	Descripción	Rx (t)	Ry (t)	Rz (t)	Mx (t·m)	My (t·m)	Mz (t·m)
		PP+V(90°)H1+N(R)2	-1.404	-1.194	-1.325	1.980	-0.560	0.000
		PP+V(180°)H1+N(R)2	-0.047	1.466	1.600	-3.283	0.042	0.000
		PP+V(180°)H2+N(R)2	-0.092	0.791	3.818	-1.484	0.029	0.000
		PP+V(270°)H1+N(R)2	0.108	-2.176	2.306	4.140	0.537	0.001
		PP+Q	-0.256	-1.267	3.584	3.888	-0.087	0.002
		PP+Q+V(0°)H1	-0.252	-1.857	2.318	5.642	-0.034	0.001
		PP+Q+V(0°)H2	-0.296	-2.536	3.643	7.969	-0.041	0.002
		PP+Q+V(90°)H1	-1.594	-1.605	-0.482	3.131	-0.635	0.001
		PP+Q+V(180°)H1	-0.236	1.055	2.443	-2.132	-0.033	0.000
		PP+Q+V(180°)H2	-0.282	0.379	4.660	-0.333	-0.045	0.001
		PP+Q+V(270°)H1	0.092	-2.588	3.149	5.291	0.463	0.002
		PP+Q+N(EI)	-0.278	-1.580	4.297	4.851	-0.091	0.002
		PP+Q+V(0°)H1+N(EI)	-0.274	-2.170	3.031	6.606	-0.039	0.001
		PP+Q+V(0°)H2+N(EI)	-0.318	-2.849	4.357	8.933	-0.046	0.002

Reacciones en los nudos, por combinación								
Referencia	Combinación		Reacciones en ejes globales					
	Tipo	Descripción	Rx (t)	Ry (t)	Rz (t)	Mx (t·m)	My (t·m)	Mz (t·m)
		PP+Q+V(90°)H1+N(EI)	-1.616	-1.919	0.231	4.095	-0.640	0.001
		PP+Q+V(180°)H1+N(EI)	-0.258	0.741	3.156	-1.168	-0.038	0.001
		PP+Q+V(180°)H2+N(EI)	-0.304	0.066	5.374	0.631	-0.050	0.001
		PP+Q+V(270°)H1+N(EI)	0.092	-2.901	3.862	6.255	0.458	0.002
		PP+Q+N(R)1	-0.273	-1.547	4.311	4.656	-0.092	0.002
		PP+Q+V(0°)H1+N(R)1	-0.269	-2.137	3.045	6.411	-0.039	0.001
		PP+Q+V(0°)H2+N(R)1	-0.314	-2.816	4.370	8.737	-0.046	0.002
		PP+Q+V(90°)H1+N(R)1	-1.611	-1.885	0.245	3.899	-0.640	0.001
		PP+Q+V(180°)H1+N(R)1	-0.254	0.775	3.170	-1.364	-0.038	0.000
		PP+Q+V(180°)H2+N(R)1	-0.299	0.099	5.387	0.435	-0.050	0.001
		PP+Q+V(270°)H1+N(R)1	0.091	-2.868	3.876	6.059	0.458	0.002
		PP+Q+N(R)2	-0.272	-1.457	3.927	4.565	-0.089	0.002
		PP+Q+V(0°)H1+N(R)2	-0.268	-2.047	2.661	6.320	-0.036	0.001
		PP+Q+V(0°)H2+N(R)2	-0.312	-2.726	3.986	8.646	-0.043	0.002

Reacciones en los nudos, por combinación								
Referencia	Combinación		Reacciones en ejes globales					
	Tipo	Descripción	Rx (t)	Ry (t)	Rz (t)	Mx (t·m)	My (t·m)	Mz (t·m)
		PP+Q+V(90°)H1+N(R)2	-1.610	-1.795	-0.139	3.809	-0.637	0.001
		PP+Q+V(180°)H1+N(R)2	-0.252	0.865	2.786	-1.454	-0.035	0.000
		PP+Q+V(180°)H2+N(R)2	-0.298	0.190	5.003	0.345	-0.048	0.001
		PP+Q+V(270°)H1+N(R)2	0.093	-2.778	3.492	5.969	0.461	0.002
N31	Hormigón en cimentaciones	PP	-0.013	0.068	1.406	-0.210	-0.045	0.000
		1.6·PP	-0.020	0.109	2.249	-0.336	-0.071	-0.001
		PP+1.6·V(0°)H1	-2.238	-2.189	-0.337	6.424	-3.487	0.003
		1.6·PP+1.6·V(0°)H1	-2.246	-2.148	0.506	6.298	-3.513	0.002
		PP+1.6·V(0°)H2	-2.243	-2.308	0.530	7.094	-3.514	0.002
		1.6·PP+1.6·V(0°)H2	-2.251	-2.267	1.373	6.968	-3.541	0.002
		PP+1.6·V(90°)H1	-0.796	0.692	3.732	-0.976	-1.811	0.001
		1.6·PP+1.6·V(90°)H1	-0.803	0.733	4.575	-1.102	-1.837	0.001
		PP+1.6·V(180°)H1	-1.521	1.665	1.989	-5.674	-2.390	0.002
		1.6·PP+1.6·V(180°)H1	-1.529	1.706	2.833	-5.799	-2.417	0.002

Reacciones en los nudos, por combinación								
Referencia	Combinación		Reacciones en ejes globales					
	Tipo	Descripción	Rx (t)	Ry (t)	Rz (t)	Mx (t·m)	My (t·m)	Mz (t·m)
		PP+1.6·V(180°)H2	-1.527	1.967	2.826	-6.910	-2.422	0.001
		1.6·PP+1.6·V(180°)H2	-1.535	2.008	3.669	-7.035	-2.449	0.001
		PP+1.6·V(270°)H1	3.547	1.606	-3.981	-2.169	2.887	-0.002
		1.6·PP+1.6·V(270°)H1	3.507	1.647	-3.138	-2.295	2.860	-0.002
		PP+1.6·N(EI)	-0.015	0.105	1.712	-0.330	-0.059	-0.001
		1.6·PP+1.6·N(EI)	-0.023	0.146	2.556	-0.456	-0.086	-0.001
		PP+0.96·V(0°)H1+1.6·N(EI)	-1.351	-1.249	0.667	3.650	-2.125	0.001
		1.6·PP+0.96·V(0°)H1+1.6·N(EI)	-1.358	-1.208	1.510	3.524	-2.151	0.001
		PP+0.96·V(0°)H2+1.6·N(EI)	-1.354	-1.320	1.187	4.052	-2.141	0.001
		1.6·PP+0.96·V(0°)H2+1.6·N(EI)	-1.362	-1.279	2.030	3.926	-2.168	0.000
		PP+0.96·V(90°)H1+1.6·N(EI)	-0.485	0.479	3.108	-0.789	-1.119	0.000
		1.6·PP+0.96·V(90°)H1+1.6·N(EI)	-0.493	0.520	3.952	-0.915	-1.146	0.000
		PP+0.96·V(180°)H1+1.6·N(EI)	-0.920	1.063	2.063	-3.608	-1.467	0.001
		1.6·PP+0.96·V(180°)H1+1.6·N(EI)	-0.928	1.104	2.906	-3.734	-1.493	0.000

Reacciones en los nudos, por combinación								
Referencia	Combinación		Reacciones en ejes globales					
	Tipo	Descripción	Rx (t)	Ry (t)	Rz (t)	Mx (t·m)	My (t·m)	Mz (t·m)
		PP+0.96·V(180°)H2+1.6·N(EI)	-0.924	1.245	2.565	-4.350	-1.486	0.000
		1.6·PP+0.96·V(180°)H2+1.6·N(EI)	-0.932	1.285	3.408	-4.476	-1.512	0.000
		PP+0.96·V(270°)H1+1.6·N(EI)	2.061	1.028	-1.520	-1.505	1.699	-0.002
		1.6·PP+0.96·V(270°)H1+1.6·N(EI)	2.021	1.069	-0.676	-1.631	1.673	-0.002
		PP+1.6·V(0°)H1+0.8·N(EI)	-2.240	-2.170	-0.184	6.364	-3.494	0.002
		1.6·PP+1.6·V(0°)H1+0.8·N(EI)	-2.247	-2.129	0.659	6.238	-3.521	0.002
		PP+1.6·V(0°)H2+0.8·N(EI)	-2.245	-2.289	0.683	7.034	-3.522	0.002
		1.6·PP+1.6·V(0°)H2+0.8·N(EI)	-2.252	-2.248	1.527	6.908	-3.548	0.001
		PP+1.6·V(90°)H1+0.8·N(EI)	-0.797	0.710	3.885	-1.036	-1.818	0.001
		1.6·PP+1.6·V(90°)H1+0.8·N(EI)	-0.805	0.751	4.729	-1.162	-1.845	0.001
		PP+1.6·V(180°)H1+0.8·N(EI)	-1.522	1.684	2.143	-5.734	-2.398	0.002
		1.6·PP+1.6·V(180°)H1+0.8·N(EI)	-1.530	1.725	2.986	-5.859	-2.424	0.001
		PP+1.6·V(180°)H2+0.8·N(EI)	-1.529	1.986	2.979	-6.970	-2.429	0.001
		1.6·PP+1.6·V(180°)H2+0.8·N(EI)	-1.536	2.027	3.823	-7.095	-2.456	0.001

Reacciones en los nudos, por combinación								
Referencia	Combinación		Reacciones en ejes globales					
	Tipo	Descripción	Rx (t)	Ry (t)	Rz (t)	Mx (t·m)	My (t·m)	Mz (t·m)
		PP+1.6·V(270°)H1+0.8·N(EI)	3.527	1.625	-3.828	-2.229	2.879	-0.002
		1.6·PP+1.6·V(270°)H1+0.8·N(EI)	3.487	1.666	-2.984	-2.355	2.852	-0.002
		PP+1.6·N(R)1	-0.015	0.155	1.655	-0.565	-0.056	-0.001
		1.6·PP+1.6·N(R)1	-0.023	0.196	2.499	-0.691	-0.083	-0.001
		PP+0.96·V(0°)H1+1.6·N(R)1	-1.350	-1.199	0.610	3.415	-2.122	0.001
		1.6·PP+0.96·V(0°)H1+1.6·N(R)1	-1.358	-1.158	1.453	3.289	-2.148	0.001
		PP+0.96·V(0°)H2+1.6·N(R)1	-1.353	-1.270	1.130	3.817	-2.138	0.001
		1.6·PP+0.96·V(0°)H2+1.6·N(R)1	-1.361	-1.230	1.973	3.691	-2.165	0.000
		PP+0.96·V(90°)H1+1.6·N(R)1	-0.485	0.529	3.051	-1.025	-1.116	0.000
		1.6·PP+0.96·V(90°)H1+1.6·N(R)1	-0.492	0.570	3.895	-1.151	-1.143	0.000
		PP+0.96·V(180°)H1+1.6·N(R)1	-0.920	1.113	2.006	-3.843	-1.464	0.001
		1.6·PP+0.96·V(180°)H1+1.6·N(R)1	-0.928	1.154	2.849	-3.969	-1.490	0.000
		PP+0.96·V(180°)H2+1.6·N(R)1	-0.924	1.294	2.508	-4.585	-1.483	0.000
		1.6·PP+0.96·V(180°)H2+1.6·N(R)1	-0.931	1.335	3.351	-4.711	-1.509	0.000

Reacciones en los nudos, por combinación								
Referencia	Combinación		Reacciones en ejes globales					
	Tipo	Descripción	Rx (t)	Ry (t)	Rz (t)	Mx (t·m)	My (t·m)	Mz (t·m)
		PP+0.96·V(270°)H1+1.6·N(R)1	2.071	1.078	-1.577	-1.741	1.702	-0.002
		1.6·PP+0.96·V(270°)H1+1.6·N(R)1	2.031	1.119	-0.733	-1.867	1.676	-0.002
		PP+1.6·V(0°)H1+0.8·N(R)1	-2.239	-2.145	-0.213	6.246	-3.493	0.002
		1.6·PP+1.6·V(0°)H1+0.8·N(R)1	-2.247	-2.104	0.631	6.120	-3.519	0.002
		PP+1.6·V(0°)H2+0.8·N(R)1	-2.244	-2.264	0.655	6.916	-3.520	0.002
		1.6·PP+1.6·V(0°)H2+0.8·N(R)1	-2.252	-2.223	1.498	6.790	-3.547	0.001
		PP+1.6·V(90°)H1+0.8·N(R)1	-0.797	0.735	3.857	-1.153	-1.817	0.001
		1.6·PP+1.6·V(90°)H1+0.8·N(R)1	-0.804	0.776	4.700	-1.279	-1.843	0.001
		PP+1.6·V(180°)H1+0.8·N(R)1	-1.522	1.709	2.114	-5.851	-2.396	0.002
		1.6·PP+1.6·V(180°)H1+0.8·N(R)1	-1.530	1.749	2.958	-5.977	-2.423	0.001
		PP+1.6·V(180°)H2+0.8·N(R)1	-1.528	2.011	2.951	-7.087	-2.428	0.001
		1.6·PP+1.6·V(180°)H2+0.8·N(R)1	-1.536	2.051	3.794	-7.213	-2.455	0.001
		PP+1.6·V(270°)H1+0.8·N(R)1	3.532	1.650	-3.856	-2.347	2.881	-0.002
		1.6·PP+1.6·V(270°)H1+0.8·N(R)1	3.492	1.691	-3.013	-2.473	2.854	-0.002

Reacciones en los nudos, por combinación								
Referencia	Combinación		Reacciones en ejes globales					
	Tipo	Descripción	Rx (t)	Ry (t)	Rz (t)	Mx (t·m)	My (t·m)	Mz (t·m)
		PP+1.6·N(R)2	-0.015	0.037	1.616	-0.034	-0.055	-0.001
		1.6·PP+1.6·N(R)2	-0.022	0.078	2.459	-0.160	-0.082	-0.001
		PP+0.96·V(0°)H1+1.6·N(R)2	-1.350	-1.317	0.570	3.946	-2.120	0.001
		1.6·PP+0.96·V(0°)H1+1.6·N(R)2	-1.358	-1.276	1.414	3.820	-2.147	0.001
		PP+0.96·V(0°)H2+1.6·N(R)2	-1.353	-1.389	1.091	4.348	-2.137	0.001
		1.6·PP+0.96·V(0°)H2+1.6·N(R)2	-1.361	-1.348	1.934	4.222	-2.164	0.000
		PP+0.96·V(90°)H1+1.6·N(R)2	-0.484	0.411	3.012	-0.494	-1.115	0.000
		1.6·PP+0.96·V(90°)H1+1.6·N(R)2	-0.492	0.452	3.855	-0.620	-1.141	0.000
		PP+0.96·V(180°)H1+1.6·N(R)2	-0.920	0.995	1.966	-3.313	-1.462	0.001
		1.6·PP+0.96·V(180°)H1+1.6·N(R)2	-0.927	1.036	2.810	-3.439	-1.489	0.000
		PP+0.96·V(180°)H2+1.6·N(R)2	-0.923	1.176	2.468	-4.054	-1.481	0.000
		1.6·PP+0.96·V(180°)H2+1.6·N(R)2	-0.931	1.217	3.312	-4.180	-1.508	0.000
		PP+0.96·V(270°)H1+1.6·N(R)2	2.071	0.960	-1.616	-1.210	1.704	-0.002
		1.6·PP+0.96·V(270°)H1+1.6·N(R)2	2.031	1.001	-0.773	-1.336	1.677	-0.002

Reacciones en los nudos, por combinación								
Referencia	Combinación		Reacciones en ejes globales					
	Tipo	Descripción	Rx (t)	Ry (t)	Rz (t)	Mx (t·m)	My (t·m)	Mz (t·m)
		PP+1.6·V(0°)H1+0.8·N(R)2	-2.239	-2.204	-0.232	6.511	-3.492	0.002
		1.6·PP+1.6·V(0°)H1+0.8·N(R)2	-2.247	-2.163	0.611	6.386	-3.519	0.002
		PP+1.6·V(0°)H2+0.8·N(R)2	-2.244	-2.323	0.635	7.182	-3.520	0.002
		1.6·PP+1.6·V(0°)H2+0.8·N(R)2	-2.252	-2.282	1.478	7.056	-3.546	0.001
		PP+1.6·V(90°)H1+0.8·N(R)2	-0.797	0.676	3.837	-0.888	-1.816	0.001
		1.6·PP+1.6·V(90°)H1+0.8·N(R)2	-0.804	0.717	4.681	-1.014	-1.843	0.001
		PP+1.6·V(180°)H1+0.8·N(R)2	-1.522	1.650	2.095	-5.586	-2.395	0.002
		1.6·PP+1.6·V(180°)H1+0.8·N(R)2	-1.530	1.690	2.938	-5.712	-2.422	0.001
		PP+1.6·V(180°)H2+0.8·N(R)2	-1.528	1.952	2.931	-6.822	-2.427	0.001
		1.6·PP+1.6·V(180°)H2+0.8·N(R)2	-1.536	1.992	3.775	-6.948	-2.454	0.001
		PP+1.6·V(270°)H1+0.8·N(R)2	3.532	1.591	-3.876	-2.082	2.881	-0.002
		1.6·PP+1.6·V(270°)H1+0.8·N(R)2	3.492	1.631	-3.033	-2.207	2.855	-0.002
		PP+1.6·Q	-0.036	0.174	2.531	-0.538	-0.168	-0.001
		1.6·PP+1.6·Q	-0.043	0.215	3.375	-0.664	-0.194	-0.001

Reacciones en los nudos, por combinación								
Referencia	Combinación		Reacciones en ejes globales					
	Tipo	Descripción	Rx (t)	Ry (t)	Rz (t)	Mx (t·m)	My (t·m)	Mz (t·m)
	Tensiones sobre el terreno	PP	-0.013	0.068	1.406	-0.210	-0.045	0.000
		PP+V(0°)H1	-1.404	-1.342	0.316	3.936	-2.196	0.001
		PP+V(0°)H2	-1.407	-1.417	0.858	4.355	-2.213	0.001
		PP+V(90°)H1	-0.502	0.458	2.860	-0.689	-1.148	0.001
		PP+V(180°)H1	-0.955	1.066	1.770	-3.625	-1.511	0.001
		PP+V(180°)H2	-0.959	1.255	2.293	-4.397	-1.531	0.001
		PP+V(270°)H1	2.192	1.029	-1.961	-1.434	1.787	-0.001
		PP+N(EI)	-0.014	0.091	1.597	-0.285	-0.054	-0.001
		PP+V(0°)H1+N(EI)	-1.405	-1.319	0.508	3.861	-2.205	0.001
		PP+V(0°)H2+N(EI)	-1.409	-1.394	1.050	4.280	-2.222	0.001
		PP+V(90°)H1+N(EI)	-0.504	0.481	3.051	-0.763	-1.158	0.000
		PP+V(180°)H1+N(EI)	-0.957	1.089	1.962	-3.700	-1.520	0.001
		PP+V(180°)H2+N(EI)	-0.961	1.278	2.485	-4.472	-1.540	0.000
		PP+V(270°)H1+N(EI)	2.167	1.053	-1.769	-1.509	1.778	-0.002

Reacciones en los nudos, por combinación								
Referencia	Combinación		Reacciones en ejes globales					
	Tipo	Descripción	Rx (t)	Ry (t)	Rz (t)	Mx (t·m)	My (t·m)	Mz (t·m)
		PP+N(R)1	-0.014	0.122	1.562	-0.432	-0.052	-0.001
		PP+V(0°)H1+N(R)1	-1.405	-1.288	0.472	3.714	-2.203	0.001
		PP+V(0°)H2+N(R)1	-1.408	-1.362	1.014	4.133	-2.220	0.001
		PP+V(90°)H1+N(R)1	-0.503	0.512	3.016	-0.911	-1.156	0.000
		PP+V(180°)H1+N(R)1	-0.957	1.121	1.927	-3.847	-1.518	0.001
		PP+V(180°)H2+N(R)1	-0.961	1.309	2.450	-4.619	-1.538	0.000
		PP+V(270°)H1+N(R)1	2.173	1.084	-1.805	-1.657	1.780	-0.002
		PP+N(R)2	-0.014	0.049	1.537	-0.100	-0.051	-0.001
		PP+V(0°)H1+N(R)2	-1.405	-1.362	0.448	4.046	-2.202	0.001
		PP+V(0°)H2+N(R)2	-1.408	-1.436	0.990	4.465	-2.220	0.001
		PP+V(90°)H1+N(R)2	-0.503	0.438	2.991	-0.579	-1.155	0.000
		PP+V(180°)H1+N(R)2	-0.957	1.047	1.902	-3.515	-1.517	0.001
		PP+V(180°)H2+N(R)2	-0.960	1.235	2.425	-4.288	-1.537	0.000
		PP+V(270°)H1+N(R)2	2.173	1.010	-1.830	-1.325	1.781	-0.002

Reacciones en los nudos, por combinación								
Referencia	Combinación		Reacciones en ejes globales					
	Tipo	Descripción	Rx (t)	Ry (t)	Rz (t)	Mx (t·m)	My (t·m)	Mz (t·m)
		PP+Q	-0.027	0.135	2.109	-0.415	-0.121	-0.001
		PP+Q+V(0°)H1	-1.418	-1.276	1.020	3.731	-2.273	0.001
		PP+Q+V(0°)H2	-1.421	-1.350	1.562	4.150	-2.290	0.001
		PP+Q+V(90°)H1	-0.516	0.524	3.563	-0.894	-1.225	0.000
		PP+Q+V(180°)H1	-0.970	1.133	2.474	-3.830	-1.588	0.001
		PP+Q+V(180°)H2	-0.974	1.321	2.997	-4.602	-1.607	0.000
		PP+Q+V(270°)H1	1.983	1.096	-1.258	-1.640	1.710	-0.002
		PP+Q+N(EI)	-0.029	0.158	2.301	-0.490	-0.131	-0.001
		PP+Q+V(0°)H1+N(EI)	-1.420	-1.253	1.211	3.656	-2.282	0.001
		PP+Q+V(0°)H2+N(EI)	-1.423	-1.327	1.754	4.075	-2.299	0.000
		PP+Q+V(90°)H1+N(EI)	-0.518	0.548	3.755	-0.969	-1.235	0.000
		PP+Q+V(180°)H1+N(EI)	-0.971	1.156	2.666	-3.905	-1.597	0.000
		PP+Q+V(180°)H2+N(EI)	-0.975	1.345	3.189	-4.677	-1.617	0.000
		PP+Q+V(270°)H1+N(EI)	1.958	1.119	-1.066	-1.715	1.701	-0.002

Reacciones en los nudos, por combinación								
Referencia	Combinación		Reacciones en ejes globales					
	Tipo	Descripción	Rx (t)	Ry (t)	Rz (t)	Mx (t·m)	My (t·m)	Mz (t·m)
		PP+Q+N(R)1	-0.028	0.189	2.265	-0.637	-0.129	-0.001
		PP+Q+V(0°)H1+N(R)1	-1.419	-1.222	1.176	3.509	-2.280	0.001
		PP+Q+V(0°)H2+N(R)1	-1.423	-1.296	1.718	3.928	-2.297	0.001
		PP+Q+V(90°)H1+N(R)1	-0.518	0.579	3.719	-1.116	-1.233	0.000
		PP+Q+V(180°)H1+N(R)1	-0.971	1.187	2.630	-4.052	-1.595	0.000
		PP+Q+V(180°)H2+N(R)1	-0.975	1.376	3.153	-4.825	-1.615	0.000
		PP+Q+V(270°)H1+N(R)1	1.964	1.150	-1.102	-1.862	1.703	-0.002
		PP+Q+N(R)2	-0.028	0.115	2.241	-0.306	-0.128	-0.001
		PP+Q+V(0°)H1+N(R)2	-1.419	-1.295	1.151	3.840	-2.279	0.001
		PP+Q+V(0°)H2+N(R)2	-1.422	-1.370	1.693	4.259	-2.297	0.001
		PP+Q+V(90°)H1+N(R)2	-0.518	0.505	3.695	-0.784	-1.232	0.000
		PP+Q+V(180°)H1+N(R)2	-0.971	1.113	2.606	-3.720	-1.594	0.000
		PP+Q+V(180°)H2+N(R)2	-0.975	1.302	3.128	-4.493	-1.614	0.000
		PP+Q+V(270°)H1+N(R)2	1.964	1.076	-1.126	-1.530	1.704	-0.002

Reacciones en los nudos, por combinación								
Referencia	Combinación		Reacciones en ejes globales					
	Tipo	Descripción	Rx (t)	Ry (t)	Rz (t)	Mx (t·m)	My (t·m)	Mz (t·m)
N33	Hormigón en cimentaciones	PP	-0.012	-0.047	1.373	0.121	-0.042	0.000
		1.6·PP	-0.019	-0.076	2.197	0.193	-0.066	0.001
		PP+1.6·V(0°)H1	-1.521	-1.671	1.996	5.697	-2.390	-0.002
		1.6·PP+1.6·V(0°)H1	-1.528	-1.699	2.820	5.770	-2.415	-0.002
		PP+1.6·V(0°)H2	-1.526	-1.941	2.782	6.795	-2.418	-0.001
		1.6·PP+1.6·V(0°)H2	-1.533	-1.969	3.606	6.867	-2.443	-0.001
		PP+1.6·V(90°)H1	-0.796	-0.697	3.740	0.996	-1.811	-0.001
		1.6·PP+1.6·V(90°)H1	-0.803	-0.725	4.563	1.069	-1.836	-0.001
		PP+1.6·V(180°)H1	-2.239	2.183	-0.327	-6.400	-3.488	-0.003
		1.6·PP+1.6·V(180°)H1	-2.246	2.155	0.497	-6.327	-3.513	-0.002
		PP+1.6·V(180°)H2	-2.243	2.334	0.490	-7.208	-3.511	-0.002
		1.6·PP+1.6·V(180°)H2	-2.250	2.306	1.313	-7.136	-3.536	-0.002
		PP+1.6·V(270°)H1	3.545	-1.615	-3.967	2.209	2.885	0.002
		1.6·PP+1.6·V(270°)H1	3.508	-1.644	-3.143	2.281	2.860	0.002

Reacciones en los nudos, por combinación								
Referencia	Combinación		Reacciones en ejes globales					
	Tipo	Descripción	Rx (t)	Ry (t)	Rz (t)	Mx (t·m)	My (t·m)	Mz (t·m)
		PP+1.6·N(EI)	-0.014	-0.069	1.655	0.174	-0.054	0.001
		1.6·PP+1.6·N(EI)	-0.021	-0.097	2.479	0.246	-0.079	0.001
		PP+0.96·V(0°)H1+1.6·N(EI)	-0.920	-1.043	2.029	3.520	-1.463	-0.001
		1.6·PP+0.96·V(0°)H1+1.6·N(EI)	-0.927	-1.071	2.853	3.592	-1.488	0.000
		PP+0.96·V(0°)H2+1.6·N(EI)	-0.923	-1.205	2.501	4.178	-1.480	0.000
		1.6·PP+0.96·V(0°)H2+1.6·N(EI)	-0.930	-1.233	3.324	4.251	-1.505	0.000
		PP+0.96·V(90°)H1+1.6·N(EI)	-0.484	-0.458	3.075	0.699	-1.116	0.000
		1.6·PP+0.96·V(90°)H1+1.6·N(EI)	-0.492	-0.487	3.899	0.771	-1.141	0.000
		PP+0.96·V(180°)H1+1.6·N(EI)	-1.350	1.269	0.635	-3.739	-2.122	-0.001
		1.6·PP+0.96·V(180°)H1+1.6·N(EI)	-1.357	1.241	1.459	-3.666	-2.147	-0.001
		PP+0.96·V(180°)H2+1.6·N(EI)	-1.352	1.360	1.125	-4.224	-2.136	-0.001
		1.6·PP+0.96·V(180°)H2+1.6·N(EI)	-1.360	1.332	1.949	-4.151	-2.161	0.000
		PP+0.96·V(270°)H1+1.6·N(EI)	2.066	-1.010	-1.549	1.426	1.702	0.002
		1.6·PP+0.96·V(270°)H1+1.6·N(EI)	2.028	-1.038	-0.725	1.499	1.677	0.002

Reacciones en los nudos, por combinación								
Referencia	Combinación		Reacciones en ejes globales					
	Tipo	Descripción	Rx (t)	Ry (t)	Rz (t)	Mx (t·m)	My (t·m)	Mz (t·m)
		PP+1.6·V(0°)H1+0.8·N(EI)	-1.522	-1.681	2.137	5.724	-2.397	-0.002
		1.6·PP+1.6·V(0°)H1+0.8·N(EI)	-1.529	-1.710	2.961	5.796	-2.421	-0.001
		PP+1.6·V(0°)H2+0.8·N(EI)	-1.527	-1.951	2.923	6.821	-2.424	-0.001
		1.6·PP+1.6·V(0°)H2+0.8·N(EI)	-1.534	-1.980	3.747	6.894	-2.449	-0.001
		PP+1.6·V(90°)H1+0.8·N(EI)	-0.797	-0.707	3.881	1.023	-1.818	-0.001
		1.6·PP+1.6·V(90°)H1+0.8·N(EI)	-0.804	-0.736	4.704	1.095	-1.843	-0.001
		PP+1.6·V(180°)H1+0.8·N(EI)	-2.240	2.172	-0.186	-6.373	-3.494	-0.002
		1.6·PP+1.6·V(180°)H1+0.8·N(EI)	-2.247	2.144	0.638	-6.301	-3.519	-0.002
		PP+1.6·V(180°)H2+0.8·N(EI)	-2.244	2.324	0.631	-7.182	-3.517	-0.002
		1.6·PP+1.6·V(180°)H2+0.8·N(EI)	-2.251	2.295	1.455	-7.109	-3.542	-0.001
		PP+1.6·V(270°)H1+0.8·N(EI)	3.527	-1.626	-3.826	2.235	2.879	0.002
		1.6·PP+1.6·V(270°)H1+0.8·N(EI)	3.489	-1.655	-3.002	2.307	2.854	0.002
		PP+1.6·N(R)1	-0.013	-0.005	1.565	-0.105	-0.050	0.001
		1.6·PP+1.6·N(R)1	-0.021	-0.033	2.388	-0.032	-0.075	0.001

Reacciones en los nudos, por combinación								
Referencia	Combinación		Reacciones en ejes globales					
	Tipo	Descripción	Rx (t)	Ry (t)	Rz (t)	Mx (t·m)	My (t·m)	Mz (t·m)
		PP+0.96·V(0°)H1+1.6·N(R)1	-0.919	-0.978	1.939	3.241	-1.459	-0.001
		1.6·PP+0.96·V(0°)H1+1.6·N(R)1	-0.926	-1.007	2.762	3.313	-1.484	0.000
		PP+0.96·V(0°)H2+1.6·N(R)1	-0.922	-1.140	2.410	3.899	-1.476	0.000
		1.6·PP+0.96·V(0°)H2+1.6·N(R)1	-0.929	-1.169	3.234	3.972	-1.501	0.000
		PP+0.96·V(90°)H1+1.6·N(R)1	-0.484	-0.394	2.985	0.420	-1.112	0.000
		1.6·PP+0.96·V(90°)H1+1.6·N(R)1	-0.491	-0.422	3.808	0.493	-1.137	0.000
		PP+0.96·V(180°)H1+1.6·N(R)1	-1.349	1.334	0.545	-4.017	-2.118	-0.001
		1.6·PP+0.96·V(180°)H1+1.6·N(R)1	-1.357	1.305	1.369	-3.945	-2.143	-0.001
		PP+0.96·V(180°)H2+1.6·N(R)1	-1.352	1.425	1.035	-4.502	-2.132	-0.001
		1.6·PP+0.96·V(180°)H2+1.6·N(R)1	-1.359	1.396	1.859	-4.430	-2.157	0.000
		PP+0.96·V(270°)H1+1.6·N(R)1	2.075	-0.945	-1.639	1.148	1.706	0.002
		1.6·PP+0.96·V(270°)H1+1.6·N(R)1	2.038	-0.974	-0.815	1.220	1.681	0.002
		PP+1.6·V(0°)H1+0.8·N(R)1	-1.522	-1.649	2.092	5.584	-2.395	-0.002
		1.6·PP+1.6·V(0°)H1+0.8·N(R)1	-1.529	-1.678	2.916	5.657	-2.420	-0.001

Reacciones en los nudos, por combinación								
Referencia	Combinación		Reacciones en ejes globales					
	Tipo	Descripción	Rx (t)	Ry (t)	Rz (t)	Mx (t·m)	My (t·m)	Mz (t·m)
		PP+1.6·V(0°)H2+0.8·N(R)1	-1.527	-1.919	2.878	6.682	-2.422	-0.001
		1.6·PP+1.6·V(0°)H2+0.8·N(R)1	-1.534	-1.947	3.702	6.754	-2.447	-0.001
		PP+1.6·V(90°)H1+0.8·N(R)1	-0.797	-0.675	3.835	0.883	-1.816	-0.001
		1.6·PP+1.6·V(90°)H1+0.8·N(R)1	-0.804	-0.704	4.659	0.956	-1.841	-0.001
		PP+1.6·V(180°)H1+0.8·N(R)1	-2.239	2.204	-0.231	-6.513	-3.493	-0.002
		1.6·PP+1.6·V(180°)H1+0.8·N(R)1	-2.246	2.176	0.593	-6.440	-3.517	-0.002
		PP+1.6·V(180°)H2+0.8·N(R)1	-2.243	2.356	0.586	-7.321	-3.516	-0.002
		1.6·PP+1.6·V(180°)H2+0.8·N(R)1	-2.250	2.327	1.409	-7.249	-3.540	-0.001
		PP+1.6·V(270°)H1+0.8·N(R)1	3.531	-1.594	-3.871	2.096	2.881	0.002
		1.6·PP+1.6·V(270°)H1+0.8·N(R)1	3.494	-1.622	-3.047	2.168	2.856	0.002
		PP+1.6·N(R)2	-0.014	-0.123	1.604	0.426	-0.052	0.001
		1.6·PP+1.6·N(R)2	-0.021	-0.151	2.428	0.498	-0.077	0.001
		PP+0.96·V(0°)H1+1.6·N(R)2	-0.919	-1.097	1.978	3.772	-1.461	-0.001
		1.6·PP+0.96·V(0°)H1+1.6·N(R)2	-0.926	-1.125	2.802	3.844	-1.486	0.000

Reacciones en los nudos, por combinación								
Referencia	Combinación		Reacciones en ejes globales					
	Tipo	Descripción	Rx (t)	Ry (t)	Rz (t)	Mx (t·m)	My (t·m)	Mz (t·m)
		PP+0.96·V(0°)H2+1.6·N(R)2	-0.922	-1.259	2.450	4.430	-1.477	0.000
		1.6·PP+0.96·V(0°)H2+1.6·N(R)2	-0.929	-1.287	3.274	4.503	-1.502	0.000
		PP+0.96·V(90°)H1+1.6·N(R)2	-0.484	-0.512	3.024	0.951	-1.113	0.000
		1.6·PP+0.96·V(90°)H1+1.6·N(R)2	-0.491	-0.541	3.848	1.023	-1.138	0.000
		PP+0.96·V(180°)H1+1.6·N(R)2	-1.350	1.216	0.585	-3.486	-2.120	-0.001
		1.6·PP+0.96·V(180°)H1+1.6·N(R)2	-1.357	1.187	1.408	-3.414	-2.145	-0.001
		PP+0.96·V(180°)H2+1.6·N(R)2	-1.352	1.306	1.075	-3.972	-2.133	-0.001
		1.6·PP+0.96·V(180°)H2+1.6·N(R)2	-1.359	1.278	1.898	-3.899	-2.158	0.000
		PP+0.96·V(270°)H1+1.6·N(R)2	2.075	-1.063	-1.599	1.678	1.704	0.002
		1.6·PP+0.96·V(270°)H1+1.6·N(R)2	2.037	-1.092	-0.776	1.751	1.680	0.002
		PP+1.6·V(0°)H1+0.8·N(R)2	-1.522	-1.708	2.112	5.850	-2.395	-0.002
		1.6·PP+1.6·V(0°)H1+0.8·N(R)2	-1.529	-1.737	2.936	5.922	-2.420	-0.001
		PP+1.6·V(0°)H2+0.8·N(R)2	-1.527	-1.978	2.898	6.947	-2.423	-0.001
		1.6·PP+1.6·V(0°)H2+0.8·N(R)2	-1.534	-2.007	3.721	7.020	-2.448	-0.001

Reacciones en los nudos, por combinación								
Referencia	Combinación		Reacciones en ejes globales					
	Tipo	Descripción	Rx (t)	Ry (t)	Rz (t)	Mx (t·m)	My (t·m)	Mz (t·m)
		PP+1.6·V(90°)H1+0.8·N(R)2	-0.797	-0.734	3.855	1.149	-1.816	-0.001
		1.6·PP+1.6·V(90°)H1+0.8·N(R)2	-0.804	-0.763	4.679	1.221	-1.841	-0.001
		PP+1.6·V(180°)H1+0.8·N(R)2	-2.239	2.145	-0.211	-6.247	-3.493	-0.002
		1.6·PP+1.6·V(180°)H1+0.8·N(R)2	-2.247	2.117	0.613	-6.175	-3.518	-0.002
		PP+1.6·V(180°)H2+0.8·N(R)2	-2.243	2.297	0.606	-7.056	-3.516	-0.002
		1.6·PP+1.6·V(180°)H2+0.8·N(R)2	-2.251	2.268	1.429	-6.983	-3.541	-0.001
		PP+1.6·V(270°)H1+0.8·N(R)2	3.531	-1.653	-3.851	2.361	2.880	0.002
		1.6·PP+1.6·V(270°)H1+0.8·N(R)2	3.494	-1.681	-3.027	2.434	2.855	0.002
		PP+1.6·Q	-0.034	-0.122	2.448	0.312	-0.160	0.001
		1.6·PP+1.6·Q	-0.041	-0.150	3.272	0.384	-0.185	0.001
	Tensiones sobre el terreno	PP	-0.012	-0.047	1.373	0.121	-0.042	0.000
		PP+V(0°)H1	-0.955	-1.062	1.762	3.606	-1.510	-0.001
		PP+V(0°)H2	-0.958	-1.231	2.254	4.292	-1.527	-0.001
		PP+V(90°)H1	-0.502	-0.453	2.852	0.668	-1.148	-0.001

Reacciones en los nudos, por combinación								
Referencia	Combinación		Reacciones en ejes globales					
	Tipo	Descripción	Rx (t)	Ry (t)	Rz (t)	Mx (t·m)	My (t·m)	Mz (t·m)
		PP+V(180°)H1	-1.404	1.347	0.311	-3.955	-2.196	-0.001
		PP+V(180°)H2	-1.406	1.441	0.821	-4.460	-2.210	-0.001
		PP+V(270°)H1	2.192	-1.027	-1.964	1.426	1.788	0.001
		PP+N(EI)	-0.013	-0.061	1.549	0.154	-0.049	0.001
		PP+V(0°)H1+N(EI)	-0.956	-1.075	1.939	3.639	-1.517	-0.001
		PP+V(0°)H2+N(EI)	-0.960	-1.244	2.430	4.325	-1.534	0.000
		PP+V(90°)H1+N(EI)	-0.503	-0.467	3.028	0.701	-1.155	0.000
		PP+V(180°)H1+N(EI)	-1.405	1.333	0.487	-3.921	-2.203	-0.001
		PP+V(180°)H2+N(EI)	-1.407	1.428	0.997	-4.427	-2.218	-0.001
		PP+V(270°)H1+N(EI)	2.169	-1.041	-1.788	1.459	1.780	0.002
		PP+N(R)1	-0.013	-0.021	1.493	-0.020	-0.047	0.001
		PP+V(0°)H1+N(R)1	-0.956	-1.035	1.882	3.465	-1.515	-0.001
		PP+V(0°)H2+N(R)1	-0.959	-1.204	2.373	4.151	-1.532	0.000
		PP+V(90°)H1+N(R)1	-0.503	-0.426	2.972	0.527	-1.153	0.000

Reacciones en los nudos, por combinación								
Referencia	Combinación		Reacciones en ejes globales					
	Tipo	Descripción	Rx (t)	Ry (t)	Rz (t)	Mx (t·m)	My (t·m)	Mz (t·m)
		PP+V(180°)H1+N(R)1	-1.405	1.373	0.430	-4.096	-2.201	-0.001
		PP+V(180°)H2+N(R)1	-1.407	1.468	0.941	-4.601	-2.215	-0.001
		PP+V(270°)H1+N(R)1	2.175	-1.001	-1.845	1.285	1.782	0.002
		PP+N(R)2	-0.013	-0.094	1.518	0.311	-0.048	0.001
		PP+V(0°)H1+N(R)2	-0.956	-1.109	1.907	3.797	-1.516	-0.001
		PP+V(0°)H2+N(R)2	-0.959	-1.278	2.398	4.483	-1.533	0.000
		PP+V(90°)H1+N(R)2	-0.503	-0.500	2.997	0.858	-1.154	0.000
		PP+V(180°)H1+N(R)2	-1.405	1.300	0.455	-3.764	-2.202	-0.001
		PP+V(180°)H2+N(R)2	-1.407	1.394	0.966	-4.269	-2.216	-0.001
		PP+V(270°)H1+N(R)2	2.175	-1.074	-1.820	1.616	1.781	0.002
		PP+Q	-0.025	-0.094	2.045	0.240	-0.116	0.001
		PP+Q+V(0°)H1	-0.969	-1.109	2.434	3.725	-1.584	-0.001
		PP+Q+V(0°)H2	-0.972	-1.277	2.926	4.411	-1.601	0.000
		PP+Q+V(90°)H1	-0.515	-0.500	3.524	0.787	-1.222	0.000

Reacciones en los nudos, por combinación								
Referencia	Combinación		Reacciones en ejes globales					
	Tipo	Descripción	Rx (t)	Ry (t)	Rz (t)	Mx (t·m)	My (t·m)	Mz (t·m)
		PP+Q+V(180°)H1	-1.417	1.300	0.983	-3.835	-2.270	-0.001
		PP+Q+V(180°)H2	-1.420	1.395	1.493	-4.341	-2.284	-0.001
		PP+Q+V(270°)H1	1.988	-1.074	-1.292	1.545	1.714	0.002
		PP+Q+N(EI)	-0.027	-0.107	2.221	0.273	-0.123	0.001
		PP+Q+V(0°)H1+N(EI)	-0.970	-1.122	2.611	3.758	-1.591	0.000
		PP+Q+V(0°)H2+N(EI)	-0.973	-1.291	3.102	4.444	-1.608	0.000
		PP+Q+V(90°)H1+N(EI)	-0.517	-0.513	3.700	0.820	-1.230	0.000
		PP+Q+V(180°)H1+N(EI)	-1.418	1.287	1.159	-3.802	-2.278	-0.001
		PP+Q+V(180°)H2+N(EI)	-1.421	1.381	1.669	-4.307	-2.292	0.000
		PP+Q+V(270°)H1+N(EI)	1.965	-1.087	-1.116	1.578	1.706	0.002
		PP+Q+N(R)1	-0.026	-0.067	2.165	0.099	-0.121	0.001
		PP+Q+V(0°)H1+N(R)1	-0.970	-1.082	2.554	3.584	-1.589	0.000
		PP+Q+V(0°)H2+N(R)1	-0.973	-1.250	3.045	4.270	-1.606	0.000
		PP+Q+V(90°)H1+N(R)1	-0.516	-0.473	3.644	0.646	-1.227	0.000

Reacciones en los nudos, por combinación								
Referencia	Combinación		Reacciones en ejes globales					
	Tipo	Descripción	Rx (t)	Ry (t)	Rz (t)	Mx (t·m)	My (t·m)	Mz (t·m)
		PP+Q+V(180°)H1+N(R)1	-1.418	1.327	1.102	-3.976	-2.275	-0.001
		PP+Q+V(180°)H2+N(R)1	-1.421	1.421	1.613	-4.482	-2.290	0.000
		PP+Q+V(270°)H1+N(R)1	1.971	-1.047	-1.173	1.404	1.708	0.002
		PP+Q+N(R)2	-0.027	-0.141	2.190	0.431	-0.122	0.001
		PP+Q+V(0°)H1+N(R)2	-0.970	-1.156	2.579	3.916	-1.590	0.000
		PP+Q+V(0°)H2+N(R)2	-0.973	-1.324	3.070	4.602	-1.607	0.000
		PP+Q+V(90°)H1+N(R)2	-0.516	-0.547	3.669	0.978	-1.228	0.000
		PP+Q+V(180°)H1+N(R)2	-1.418	1.253	1.127	-3.645	-2.276	-0.001
		PP+Q+V(180°)H2+N(R)2	-1.421	1.348	1.638	-4.150	-2.290	0.000
		PP+Q+V(270°)H1+N(R)2	1.971	-1.121	-1.148	1.736	1.707	0.002
N36	Hormigón en cimentaciones	PP	-0.027	-0.004	2.003	0.004	-0.006	0.000
		1.6·PP	-0.043	-0.007	3.205	0.006	-0.010	0.000
		PP+1.6·V(0°)H1	-3.833	-0.275	0.327	1.139	-7.604	-0.004
		1.6·PP+1.6·V(0°)H1	-3.848	-0.277	1.529	1.141	-7.608	-0.004

Reacciones en los nudos, por combinación								
Referencia	Combinación		Reacciones en ejes globales					
	Tipo	Descripción	Rx (t)	Ry (t)	Rz (t)	Mx (t·m)	My (t·m)	Mz (t·m)
		PP+1.6·V(0°)H2	-3.845	-0.325	1.279	1.358	-7.517	-0.003
		1.6·PP+1.6·V(0°)H2	-3.860	-0.328	2.481	1.360	-7.520	-0.003
		PP+1.6·V(90°)H1	-1.785	-0.008	1.021	0.018	-4.536	-0.001
		1.6·PP+1.6·V(90°)H1	-1.801	-0.011	2.223	0.020	-4.540	-0.001
		PP+1.6·V(180°)H1	-4.487	0.259	1.496	-1.105	-8.933	-0.003
		1.6·PP+1.6·V(180°)H1	-4.503	0.256	2.698	-1.103	-8.937	-0.003
		PP+1.6·V(180°)H2	-4.523	0.322	3.006	-1.365	-8.924	-0.003
		1.6·PP+1.6·V(180°)H2	-4.539	0.319	4.208	-1.363	-8.928	-0.003
		PP+1.6·V(270°)H1	3.614	-0.015	-0.108	0.032	8.188	0.003
		1.6·PP+1.6·V(270°)H1	3.598	-0.018	1.094	0.034	8.184	0.003
		PP+1.6·N(EI)	-0.038	-0.001	2.572	-0.008	0.018	0.000
		1.6·PP+1.6·N(EI)	-0.054	-0.003	3.774	-0.006	0.014	0.000
		PP+0.96·V(0°)H1+1.6·N(EI)	-2.321	-0.163	1.566	0.673	-4.541	-0.002
		1.6·PP+0.96·V(0°)H1+1.6·N(EI)	-2.337	-0.165	2.768	0.676	-4.545	-0.002

Reacciones en los nudos, por combinación								
Referencia	Combinación		Reacciones en ejes globales					
	Tipo	Descripción	Rx (t)	Ry (t)	Rz (t)	Mx (t·m)	My (t·m)	Mz (t·m)
		PP+0.96·V(0°)H2+1.6·N(EI)	-2.329	-0.193	2.137	0.805	-4.489	-0.002
		1.6·PP+0.96·V(0°)H2+1.6·N(EI)	-2.345	-0.196	3.339	0.807	-4.492	-0.002
		PP+0.96·V(90°)H1+1.6·N(EI)	-1.093	-0.003	1.982	0.001	-2.701	-0.001
		1.6·PP+0.96·V(90°)H1+1.6·N(EI)	-1.109	-0.006	3.184	0.003	-2.704	-0.001
		PP+0.96·V(180°)H1+1.6·N(EI)	-2.714	0.157	2.267	-0.673	-5.339	-0.002
		1.6·PP+0.96·V(180°)H1+1.6·N(EI)	-2.730	0.155	3.469	-0.671	-5.342	-0.002
		PP+0.96·V(180°)H2+1.6·N(EI)	-2.736	0.195	3.173	-0.829	-5.333	-0.002
		1.6·PP+0.96·V(180°)H2+1.6·N(EI)	-2.752	0.192	4.375	-0.827	-5.337	-0.001
		PP+0.96·V(270°)H1+1.6·N(EI)	2.147	-0.007	1.305	0.009	4.934	0.002
		1.6·PP+0.96·V(270°)H1+1.6·N(EI)	2.131	-0.010	2.507	0.012	4.930	0.002
		PP+1.6·V(0°)H1+0.8·N(EI)	-3.838	-0.273	0.612	1.133	-7.592	-0.004
		1.6·PP+1.6·V(0°)H1+0.8·N(EI)	-3.854	-0.275	1.814	1.136	-7.596	-0.004
		PP+1.6·V(0°)H2+0.8·N(EI)	-3.850	-0.323	1.563	1.352	-7.505	-0.003
		1.6·PP+1.6·V(0°)H2+0.8·N(EI)	-3.866	-0.326	2.765	1.354	-7.508	-0.003

Reacciones en los nudos, por combinación								
Referencia	Combinación		Reacciones en ejes globales					
	Tipo	Descripción	Rx (t)	Ry (t)	Rz (t)	Mx (t·m)	My (t·m)	Mz (t·m)
		PP+1.6·V(90°)H1+0.8·N(EI)	-1.791	-0.006	1.305	0.012	-4.525	-0.001
		1.6·PP+1.6·V(90°)H1+0.8·N(EI)	-1.807	-0.009	2.507	0.014	-4.528	-0.001
		PP+1.6·V(180°)H1+0.8·N(EI)	-4.493	0.261	1.780	-1.110	-8.922	-0.003
		1.6·PP+1.6·V(180°)H1+0.8·N(EI)	-4.508	0.258	2.982	-1.108	-8.925	-0.003
		PP+1.6·V(180°)H2+0.8·N(EI)	-4.529	0.324	3.290	-1.371	-8.912	-0.003
		1.6·PP+1.6·V(180°)H2+0.8·N(EI)	-4.545	0.321	4.492	-1.368	-8.916	-0.003
		PP+1.6·V(270°)H1+0.8·N(EI)	3.609	-0.013	0.176	0.027	8.199	0.003
		1.6·PP+1.6·V(270°)H1+0.8·N(EI)	3.593	-0.016	1.378	0.029	8.196	0.003
		PP+1.6·N(R)1	-0.044	0.014	2.614	-0.071	-0.017	0.000
		1.6·PP+1.6·N(R)1	-0.060	0.012	3.816	-0.069	-0.020	0.000
		PP+0.96·V(0°)H1+1.6·N(R)1	-2.327	-0.148	1.609	0.610	-4.575	-0.002
		1.6·PP+0.96·V(0°)H1+1.6·N(R)1	-2.343	-0.150	2.811	0.612	-4.579	-0.002
		PP+0.96·V(0°)H2+1.6·N(R)1	-2.335	-0.178	2.180	0.741	-4.523	-0.002
		1.6·PP+0.96·V(0°)H2+1.6·N(R)1	-2.350	-0.181	3.382	0.743	-4.526	-0.002

Reacciones en los nudos, por combinación								
Referencia	Combinación		Reacciones en ejes globales					
	Tipo	Descripción	Rx (t)	Ry (t)	Rz (t)	Mx (t·m)	My (t·m)	Mz (t·m)
		PP+0.96·V(90°)H1+1.6·N(R)1	-1.099	0.012	2.025	-0.063	-2.735	-0.001
		1.6·PP+0.96·V(90°)H1+1.6·N(R)1	-1.115	0.009	3.227	-0.061	-2.738	-0.001
		PP+0.96·V(180°)H1+1.6·N(R)1	-2.720	0.172	2.310	-0.736	-5.373	-0.002
		1.6·PP+0.96·V(180°)H1+1.6·N(R)1	-2.736	0.170	3.512	-0.734	-5.377	-0.002
		PP+0.96·V(180°)H2+1.6·N(R)1	-2.742	0.210	3.216	-0.892	-5.367	-0.002
		1.6·PP+0.96·V(180°)H2+1.6·N(R)1	-2.758	0.207	4.418	-0.890	-5.371	-0.001
		PP+0.96·V(270°)H1+1.6·N(R)1	2.141	0.008	1.347	-0.054	4.900	0.002
		1.6·PP+0.96·V(270°)H1+1.6·N(R)1	2.125	0.005	2.549	-0.052	4.896	0.002
		PP+1.6·V(0°)H1+0.8·N(R)1	-3.841	-0.265	0.633	1.102	-7.609	-0.004
		1.6·PP+1.6·V(0°)H1+0.8·N(R)1	-3.857	-0.268	1.835	1.104	-7.613	-0.004
		PP+1.6·V(0°)H2+0.8·N(R)1	-3.853	-0.316	1.584	1.320	-7.522	-0.003
		1.6·PP+1.6·V(0°)H2+0.8·N(R)1	-3.869	-0.318	2.786	1.322	-7.525	-0.003
		PP+1.6·V(90°)H1+0.8·N(R)1	-1.794	0.001	1.327	-0.020	-4.542	-0.001
		1.6·PP+1.6·V(90°)H1+0.8·N(R)1	-1.810	-0.001	2.529	-0.018	-4.545	-0.001
		PP+1.6·V(180°)H1+0.8·N(R)1	-4.495	0.268	1.801	-1.142	-8.939	-0.003

Reacciones en los nudos, por combinación								
Referencia	Combinación		Reacciones en ejes globales					
	Tipo	Descripción	Rx (t)	Ry (t)	Rz (t)	Mx (t·m)	My (t·m)	Mz (t·m)
		1.6·PP+1.6·V(180°)H1+0.8·N(R)1	-4.511	0.266	3.003	-1.140	-8.942	-0.003
		PP+1.6·V(180°)H2+0.8·N(R)1	-4.532	0.331	3.312	-1.402	-8.930	-0.003
		1.6·PP+1.6·V(180°)H2+0.8·N(R)1	-4.548	0.329	4.514	-1.400	-8.933	-0.003
		PP+1.6·V(270°)H1+0.8·N(R)1	3.606	-0.006	0.197	-0.005	8.182	0.003
		1.6·PP+1.6·V(270°)H1+0.8·N(R)1	3.590	-0.008	1.399	-0.003	8.179	0.003
		PP+1.6·N(R)2	-0.026	-0.018	2.245	0.061	0.040	0.000
		1.6·PP+1.6·N(R)2	-0.042	-0.020	3.447	0.064	0.036	0.000
		PP+0.96·V(0°)H1+1.6·N(R)2	-2.310	-0.180	1.239	0.743	-4.519	-0.002
		1.6·PP+0.96·V(0°)H1+1.6·N(R)2	-2.326	-0.182	2.441	0.745	-4.523	-0.002
		PP+0.96·V(0°)H2+1.6·N(R)2	-2.317	-0.210	1.810	0.874	-4.466	-0.002
		1.6·PP+0.96·V(0°)H2+1.6·N(R)2	-2.333	-0.213	3.012	0.876	-4.470	-0.002
		PP+0.96·V(90°)H1+1.6·N(R)2	-1.082	-0.020	1.656	0.070	-2.678	-0.001
		1.6·PP+0.96·V(90°)H1+1.6·N(R)2	-1.098	-0.023	2.858	0.072	-2.682	-0.001
		PP+0.96·V(180°)H1+1.6·N(R)2	-2.703	0.140	1.941	-0.604	-5.317	-0.002

Reacciones en los nudos, por combinación								
Referencia	Combinación		Reacciones en ejes globales					
	Tipo	Descripción	Rx (t)	Ry (t)	Rz (t)	Mx (t·m)	My (t·m)	Mz (t·m)
		1.6·PP+0.96·V(180°)H1+1.6·N(R)2	-2.718	0.138	3.143	-0.601	-5.320	-0.002
		PP+0.96·V(180°)H2+1.6·N(R)2	-2.724	0.178	2.847	-0.760	-5.311	-0.002
		1.6·PP+0.96·V(180°)H2+1.6·N(R)2	-2.740	0.175	4.049	-0.757	-5.315	-0.001
		PP+0.96·V(270°)H1+1.6·N(R)2	2.158	-0.024	0.978	0.079	4.956	0.002
		1.6·PP+0.96·V(270°)H1+1.6·N(R)2	2.142	-0.027	2.180	0.081	4.952	0.002
		PP+1.6·V(0°)H1+0.8·N(R)2	-3.832	-0.281	0.448	1.168	-7.581	-0.004
		1.6·PP+1.6·V(0°)H1+0.8·N(R)2	-3.848	-0.284	1.650	1.170	-7.585	-0.004
		PP+1.6·V(0°)H2+0.8·N(R)2	-3.844	-0.332	1.400	1.387	-7.494	-0.003
		1.6·PP+1.6·V(0°)H2+0.8·N(R)2	-3.860	-0.334	2.602	1.389	-7.497	-0.003
		PP+1.6·V(90°)H1+0.8·N(R)2	-1.785	-0.015	1.142	0.047	-4.513	-0.001
		1.6·PP+1.6·V(90°)H1+0.8·N(R)2	-1.801	-0.018	2.344	0.049	-4.517	-0.001
		PP+1.6·V(180°)H1+0.8·N(R)2	-4.487	0.252	1.617	-1.076	-8.910	-0.003
		1.6·PP+1.6·V(180°)H1+0.8·N(R)2	-4.503	0.250	2.819	-1.074	-8.914	-0.003
		PP+1.6·V(180°)H2+0.8·N(R)2	-4.523	0.315	3.127	-1.336	-8.901	-0.003

Reacciones en los nudos, por combinación								
Referencia	Combinación		Reacciones en ejes globales					
	Tipo	Descripción	Rx (t)	Ry (t)	Rz (t)	Mx (t·m)	My (t·m)	Mz (t·m)
		1.6·PP+1.6·V(180°)H2+0.8·N(R)2	-4.539	0.312	4.329	-1.334	-8.905	-0.003
		PP+1.6·V(270°)H1+0.8·N(R)2	3.614	-0.022	0.013	0.061	8.211	0.003
		1.6·PP+1.6·V(270°)H1+0.8·N(R)2	3.599	-0.024	1.215	0.063	8.207	0.003
		PP+1.6·Q	-0.069	-0.323	6.925	0.631	-0.137	0.000
		1.6·PP+1.6·Q	-0.085	-0.326	8.127	0.633	-0.141	0.001
	Tensiones sobre el terreno	PP	-0.027	-0.004	2.003	0.004	-0.006	0.000
		PP+V(0°)H1	-2.405	-0.173	0.956	0.713	-4.755	-0.002
		PP+V(0°)H2	-2.413	-0.205	1.550	0.850	-4.700	-0.002
		PP+V(90°)H1	-1.126	-0.007	1.390	0.012	-2.838	-0.001
		PP+V(180°)H1	-2.814	0.160	1.686	-0.689	-5.586	-0.002
		PP+V(180°)H2	-2.837	0.199	2.630	-0.852	-5.580	-0.002
		PP+V(270°)H1	2.249	-0.011	0.684	0.022	5.115	0.002
		PP+N(EI)	-0.034	-0.002	2.359	-0.004	0.009	0.000
		PP+V(0°)H1+N(EI)	-2.412	-0.171	1.311	0.706	-4.740	-0.002

Reacciones en los nudos, por combinación								
Referencia	Combinación		Reacciones en ejes globales					
	Tipo	Descripción	Rx (t)	Ry (t)	Rz (t)	Mx (t·m)	My (t·m)	Mz (t·m)
		PP+V(0°)H2+N(EI)	-2.420	-0.203	1.906	0.843	-4.685	-0.002
		PP+V(90°)H1+N(EI)	-1.133	-0.004	1.745	0.005	-2.823	-0.001
		PP+V(180°)H1+N(EI)	-2.821	0.162	2.041	-0.696	-5.571	-0.002
		PP+V(180°)H2+N(EI)	-2.844	0.202	2.985	-0.859	-5.565	-0.002
		PP+V(270°)H1+N(EI)	2.242	-0.009	1.039	0.014	5.130	0.002
		PP+N(R)1	-0.037	0.007	2.385	-0.043	-0.013	0.000
		PP+V(0°)H1+N(R)1	-2.416	-0.162	1.338	0.666	-4.761	-0.002
		PP+V(0°)H2+N(R)1	-2.424	-0.193	1.932	0.803	-4.707	-0.002
		PP+V(90°)H1+N(R)1	-1.137	0.005	1.771	-0.035	-2.844	-0.001
		PP+V(180°)H1+N(R)1	-2.825	0.172	2.068	-0.736	-5.592	-0.002
		PP+V(180°)H2+N(R)1	-2.848	0.211	3.012	-0.899	-5.587	-0.002
		PP+V(270°)H1+N(R)1	2.238	0.001	1.066	-0.025	5.108	0.002
		PP+N(R)2	-0.026	-0.013	2.154	0.040	0.023	0.000
		PP+V(0°)H1+N(R)2	-2.405	-0.182	1.107	0.749	-4.726	-0.002
		PP+V(0°)H2+N(R)2	-2.413	-0.213	1.702	0.886	-4.671	-0.002

Reacciones en los nudos, por combinación								
Referencia	Combinación		Reacciones en ejes globales					
	Tipo	Descripción	Rx (t)	Ry (t)	Rz (t)	Mx (t·m)	My (t·m)	Mz (t·m)
		PP+V(90°)H1+N(R)2	-1.126	-0.015	1.541	0.049	-2.809	-0.001
		PP+V(180°)H1+N(R)2	-2.814	0.152	1.837	-0.653	-5.557	-0.002
		PP+V(180°)H2+N(R)2	-2.837	0.191	2.781	-0.815	-5.551	-0.002
		PP+V(270°)H1+N(R)2	2.249	-0.019	0.835	0.058	5.144	0.002
		PP+Q	-0.053	-0.203	5.079	0.396	-0.088	0.000
		PP+Q+V(0°)H1	-2.432	-0.372	4.032	1.106	-4.837	-0.002
		PP+Q+V(0°)H2	-2.439	-0.404	4.626	1.242	-4.782	-0.002
		PP+Q+V(90°)H1	-1.152	-0.206	4.465	0.405	-2.919	-0.001
		PP+Q+V(180°)H1	-2.841	-0.039	4.762	-0.297	-5.668	-0.002
		PP+Q+V(180°)H2	-2.864	0.000	5.706	-0.459	-5.662	-0.002
		PP+Q+V(270°)H1	2.222	-0.210	3.760	0.414	5.033	0.002
		PP+Q+N(EI)	-0.060	-0.201	5.434	0.389	-0.073	0.000
		PP+Q+V(0°)H1+N(EI)	-2.439	-0.370	4.387	1.098	-4.822	-0.002
		PP+Q+V(0°)H2+N(EI)	-2.446	-0.402	4.982	1.235	-4.767	-0.002

Reacciones en los nudos, por combinación								
Referencia	Combinación		Reacciones en ejes globales					
	Tipo	Descripción	Rx (t)	Ry (t)	Rz (t)	Mx (t·m)	My (t·m)	Mz (t·m)
		PP+Q+V(90°)H1+N(EI)	-1.160	-0.204	4.821	0.398	-2.905	-0.001
		PP+Q+V(180°)H1+N(EI)	-2.848	-0.037	5.117	-0.304	-5.653	-0.002
		PP+Q+V(180°)H2+N(EI)	-2.871	0.003	6.061	-0.466	-5.647	-0.001
		PP+Q+V(270°)H1+N(EI)	2.215	-0.208	4.115	0.407	5.048	0.002
		PP+Q+N(R)1	-0.064	-0.192	5.461	0.349	-0.095	0.000
		PP+Q+V(0°)H1+N(R)1	-2.443	-0.361	4.414	1.059	-4.843	-0.002
		PP+Q+V(0°)H2+N(R)1	-2.450	-0.392	5.008	1.195	-4.789	-0.002
		PP+Q+V(90°)H1+N(R)1	-1.163	-0.194	4.847	0.358	-2.926	-0.001
		PP+Q+V(180°)H1+N(R)1	-2.852	-0.027	5.144	-0.344	-5.674	-0.002
		PP+Q+V(180°)H2+N(R)1	-2.874	0.012	6.088	-0.506	-5.668	-0.001
		PP+Q+V(270°)H1+N(R)1	2.212	-0.198	4.141	0.367	5.027	0.002
		PP+Q+N(R)2	-0.053	-0.212	5.230	0.432	-0.059	0.000
		PP+Q+V(0°)H1+N(R)2	-2.432	-0.381	4.183	1.142	-4.808	-0.002
		PP+Q+V(0°)H2+N(R)2	-2.439	-0.412	4.777	1.278	-4.753	-0.002

Reacciones en los nudos, por combinación								
Referencia	Combinación		Reacciones en ejes globales					
	Tipo	Descripción	Rx (t)	Ry (t)	Rz (t)	Mx (t·m)	My (t·m)	Mz (t·m)
		PP+Q+V(90°)H1+N(R)2	-1.152	-0.214	4.617	0.441	-2.891	-0.001
		PP+Q+V(180°)H1+N(R)2	-2.841	-0.047	4.913	-0.261	-5.639	-0.002
		PP+Q+V(180°)H2+N(R)2	-2.864	-0.008	5.857	-0.423	-5.633	-0.002
		PP+Q+V(270°)H1+N(R)2	2.223	-0.218	3.911	0.450	5.062	0.002
N38	Hormigón en cimentaciones	PP	-0.010	0.004	4.432	-0.013	0.086	0.000
		1.6·PP	-0.017	0.006	7.091	-0.021	0.138	0.000
		PP+1.6·V(0°)H1	-4.449	-0.402	0.979	1.392	-10.245	0.000
		1.6·PP+1.6·V(0°)H1	-4.455	-0.399	3.638	1.384	-10.194	0.000
		PP+1.6·V(0°)H2	-4.455	-0.485	4.971	1.677	-10.069	0.000
		1.6·PP+1.6·V(0°)H2	-4.461	-0.483	7.630	1.669	-10.018	0.000
		PP+1.6·V(90°)H1	-1.985	-0.001	3.116	0.003	-5.433	0.000
		1.6·PP+1.6·V(90°)H1	-1.991	0.001	5.776	-0.005	-5.382	0.000
		PP+1.6·V(180°)H1	-4.448	0.400	0.996	-1.385	-10.235	0.000
		1.6·PP+1.6·V(180°)H1	-4.454	0.402	3.655	-1.393	-10.183	0.000

Reacciones en los nudos, por combinación								
Referencia	Combinación		Reacciones en ejes globales					
	Tipo	Descripción	Rx (t)	Ry (t)	Rz (t)	Mx (t·m)	My (t·m)	Mz (t·m)
		PP+1.6·V(180°)H2	-4.453	0.495	4.988	-1.710	-10.058	0.000
		1.6·PP+1.6·V(180°)H2	-4.459	0.497	7.647	-1.718	-10.007	0.000
		PP+1.6·V(270°)H1	4.086	-0.002	-0.103	0.006	10.268	0.000
		1.6·PP+1.6·V(270°)H1	4.080	0.001	2.557	-0.002	10.320	0.000
		PP+1.6·N(EI)	-0.013	0.007	6.470	-0.022	0.170	0.000
		1.6·PP+1.6·N(EI)	-0.020	0.009	9.129	-0.030	0.222	0.000
		PP+0.96·V(0°)H1+1.6·N(EI)	-2.677	-0.237	4.398	0.820	-6.029	0.000
		1.6·PP+0.96·V(0°)H1+1.6·N(EI)	-2.683	-0.234	7.057	0.813	-5.977	0.000
		PP+0.96·V(0°)H2+1.6·N(EI)	-2.680	-0.287	6.793	0.991	-5.923	0.000
		1.6·PP+0.96·V(0°)H2+1.6·N(EI)	-2.686	-0.285	9.452	0.984	-5.871	0.000
		PP+0.96·V(90°)H1+1.6·N(EI)	-1.198	0.004	5.680	-0.013	-3.142	0.000
		1.6·PP+0.96·V(90°)H1+1.6·N(EI)	-1.204	0.006	8.340	-0.021	-3.090	0.000
		PP+0.96·V(180°)H1+1.6·N(EI)	-2.676	0.244	4.408	-0.846	-6.023	0.000
		1.6·PP+0.96·V(180°)H1+1.6·N(EI)	-2.682	0.246	7.067	-0.854	-5.971	0.000
		PP+0.96·V(180°)H2+1.6·N(EI)	-2.679	0.301	6.803	-1.041	-5.917	0.000

Reacciones en los nudos, por combinación								
Referencia	Combinación		Reacciones en ejes globales					
	Tipo	Descripción	Rx (t)	Ry (t)	Rz (t)	Mx (t·m)	My (t·m)	Mz (t·m)
		1.6·PP+0.96·V(180°)H2+1.6·N(EI)	-2.685	0.304	9.463	-1.048	-5.865	0.000
		PP+0.96·V(270°)H1+1.6·N(EI)	2.445	0.003	3.749	-0.011	6.279	0.000
		1.6·PP+0.96·V(270°)H1+1.6·N(EI)	2.438	0.006	6.408	-0.019	6.331	0.000
		PP+1.6·V(0°)H1+0.8·N(EI)	-4.451	-0.400	1.998	1.387	-10.204	0.000
		1.6·PP+1.6·V(0°)H1+0.8·N(EI)	-4.457	-0.398	4.657	1.379	-10.152	0.000
		PP+1.6·V(0°)H2+0.8·N(EI)	-4.456	-0.484	5.990	1.672	-10.027	0.000
		1.6·PP+1.6·V(0°)H2+0.8·N(EI)	-4.463	-0.482	8.649	1.664	-9.976	0.000
		PP+1.6·V(90°)H1+0.8·N(EI)	-1.986	0.001	4.135	-0.002	-5.391	0.000
		1.6·PP+1.6·V(90°)H1+0.8·N(EI)	-1.993	0.003	6.794	-0.010	-5.340	0.000
		PP+1.6·V(180°)H1+0.8·N(EI)	-4.449	0.401	2.014	-1.390	-10.193	0.000
		1.6·PP+1.6·V(180°)H1+0.8·N(EI)	-4.455	0.403	4.674	-1.398	-10.141	0.000
		PP+1.6·V(180°)H2+0.8·N(EI)	-4.455	0.496	6.007	-1.715	-10.017	0.000
		1.6·PP+1.6·V(180°)H2+0.8·N(EI)	-4.461	0.499	8.666	-1.722	-9.965	0.000
		PP+1.6·V(270°)H1+0.8·N(EI)	4.085	0.000	0.916	0.001	10.310	0.000
		1.6·PP+1.6·V(270°)H1+0.8·N(EI)	4.079	0.002	3.575	-0.007	10.362	0.000
		PP+1.6·N(R)1	-0.013	0.029	5.959	-0.101	0.149	0.000

Reacciones en los nudos, por combinación								
Referencia	Combinación		Reacciones en ejes globales					
	Tipo	Descripción	Rx (t)	Ry (t)	Rz (t)	Mx (t·m)	My (t·m)	Mz (t·m)
		1.6·PP+1.6·N(R)1	-0.019	0.031	8.619	-0.108	0.200	0.000
		PP+0.96·V(0°)H1+1.6·N(R)1	-2.676	-0.214	3.888	0.742	-6.051	0.000
		1.6·PP+0.96·V(0°)H1+1.6·N(R)1	-2.682	-0.212	6.547	0.735	-5.999	0.000
		PP+0.96·V(0°)H2+1.6·N(R)1	-2.679	-0.265	6.283	0.913	-5.945	0.000
		1.6·PP+0.96·V(0°)H2+1.6·N(R)1	-2.686	-0.262	8.942	0.906	-5.893	0.000
		PP+0.96·V(90°)H1+1.6·N(R)1	-1.197	0.026	5.170	-0.091	-3.163	0.000
		1.6·PP+0.96·V(90°)H1+1.6·N(R)1	-1.204	0.028	7.829	-0.099	-3.112	0.000
		PP+0.96·V(180°)H1+1.6·N(R)1	-2.675	0.266	3.897	-0.924	-6.044	0.000
		1.6·PP+0.96·V(180°)H1+1.6·N(R)1	-2.681	0.269	6.557	-0.932	-5.992	0.000
		PP+0.96·V(180°)H2+1.6·N(R)1	-2.678	0.324	6.293	-1.119	-5.938	0.000
		1.6·PP+0.96·V(180°)H2+1.6·N(R)1	-2.685	0.326	8.952	-1.127	-5.887	0.000
		PP+0.96·V(270°)H1+1.6·N(R)1	2.445	0.026	3.238	-0.090	6.258	0.000
		1.6·PP+0.96·V(270°)H1+1.6·N(R)1	2.439	0.028	5.898	-0.097	6.310	0.000
		PP+1.6·V(0°)H1+0.8·N(R)1	-4.450	-0.389	1.743	1.348	-10.214	0.000
		1.6·PP+1.6·V(0°)H1+0.8·N(R)1	-4.457	-0.387	4.402	1.340	-10.163	0.000

Reacciones en los nudos, por combinación								
Referencia	Combinación		Reacciones en ejes globales					
	Tipo	Descripción	Rx (t)	Ry (t)	Rz (t)	Mx (t·m)	My (t·m)	Mz (t·m)
		PP+1.6·V(0°)H2+0.8·N(R)1	-4.456	-0.473	5.734	1.633	-10.038	0.000
		1.6·PP+1.6·V(0°)H2+0.8·N(R)1	-4.462	-0.471	8.394	1.625	-9.986	0.000
		PP+1.6·V(90°)H1+0.8·N(R)1	-1.986	0.012	3.880	-0.041	-5.402	0.000
		1.6·PP+1.6·V(90°)H1+0.8·N(R)1	-1.992	0.014	6.539	-0.049	-5.350	0.000
		PP+1.6·V(180°)H1+0.8·N(R)1	-4.449	0.412	1.759	-1.429	-10.204	0.000
		1.6·PP+1.6·V(180°)H1+0.8·N(R)1	-4.455	0.414	4.419	-1.437	-10.152	0.000
		PP+1.6·V(180°)H2+0.8·N(R)1	-4.454	0.508	5.751	-1.754	-10.027	0.000
		1.6·PP+1.6·V(180°)H2+0.8·N(R)1	-4.461	0.510	8.411	-1.761	-9.976	0.000
		PP+1.6·V(270°)H1+0.8·N(R)1	4.085	0.011	0.661	-0.038	10.299	0.000
		1.6·PP+1.6·V(270°)H1+0.8·N(R)1	4.079	0.013	3.320	-0.046	10.351	0.000
		PP+1.6·N(R)2	-0.012	-0.017	5.961	0.060	0.150	0.000
		1.6·PP+1.6·N(R)2	-0.019	-0.015	8.621	0.053	0.202	0.000
		PP+0.96·V(0°)H1+1.6·N(R)2	-2.676	-0.260	3.890	0.903	-6.049	0.000
		1.6·PP+0.96·V(0°)H1+1.6·N(R)2	-2.682	-0.258	6.549	0.896	-5.997	0.000
		PP+0.96·V(0°)H2+1.6·N(R)2	-2.679	-0.311	6.285	1.074	-5.943	0.000

Reacciones en los nudos, por combinación								
Referencia	Combinación		Reacciones en ejes globales					
	Tipo	Descripción	Rx (t)	Ry (t)	Rz (t)	Mx (t·m)	My (t·m)	Mz (t·m)
		1.6·PP+0.96·V(0°)H2+1.6·N(R)2	-2.685	-0.309	8.944	1.067	-5.892	0.000
		PP+0.96·V(90°)H1+1.6·N(R)2	-1.197	-0.020	5.172	0.070	-3.162	0.000
		1.6·PP+0.96·V(90°)H1+1.6·N(R)2	-1.204	-0.018	7.831	0.062	-3.110	0.000
		PP+0.96·V(180°)H1+1.6·N(R)2	-2.675	0.220	3.900	-0.763	-6.043	0.000
		1.6·PP+0.96·V(180°)H1+1.6·N(R)2	-2.681	0.222	6.559	-0.771	-5.991	0.000
		PP+0.96·V(180°)H2+1.6·N(R)2	-2.678	0.278	6.295	-0.958	-5.937	0.000
		1.6·PP+0.96·V(180°)H2+1.6·N(R)2	-2.684	0.280	8.954	-0.965	-5.885	0.000
		PP+0.96·V(270°)H1+1.6·N(R)2	2.445	-0.020	3.241	0.072	6.259	0.000
		1.6·PP+0.96·V(270°)H1+1.6·N(R)2	2.439	-0.018	5.900	0.064	6.311	0.000
		PP+1.6·V(0°)H1+0.8·N(R)2	-4.450	-0.412	1.744	1.429	-10.214	0.000
		1.6·PP+1.6·V(0°)H1+0.8·N(R)2	-4.456	-0.410	4.403	1.421	-10.162	0.000
		PP+1.6·V(0°)H2+0.8·N(R)2	-4.456	-0.496	5.736	1.714	-10.038	0.000
		1.6·PP+1.6·V(0°)H2+0.8·N(R)2	-4.462	-0.494	8.395	1.706	-9.986	0.000
		PP+1.6·V(90°)H1+0.8·N(R)2	-1.986	-0.011	3.881	0.040	-5.402	0.000

Reacciones en los nudos, por combinación								
Referencia	Combinación		Reacciones en ejes globales					
	Tipo	Descripción	Rx (t)	Ry (t)	Rz (t)	Mx (t·m)	My (t·m)	Mz (t·m)
		1.6·PP+1.6·V(90°)H1+0.8·N(R)2	-1.992	-0.009	6.540	0.032	-5.350	0.000
		PP+1.6·V(180°)H1+0.8·N(R)2	-4.449	0.389	1.760	-1.348	-10.203	0.000
		1.6·PP+1.6·V(180°)H1+0.8·N(R)2	-4.455	0.391	4.420	-1.356	-10.151	0.000
		PP+1.6·V(180°)H2+0.8·N(R)2	-4.454	0.485	5.752	-1.673	-10.027	0.000
		1.6·PP+1.6·V(180°)H2+0.8·N(R)2	-4.461	0.487	8.412	-1.681	-9.975	0.000
		PP+1.6·V(270°)H1+0.8·N(R)2	4.085	-0.012	0.662	0.042	10.300	0.000
		1.6·PP+1.6·V(270°)H1+0.8·N(R)2	4.079	-0.010	3.321	0.035	10.352	0.000
		PP+1.6·Q	-0.028	0.009	15.527	-0.033	0.099	0.000
		1.6·PP+1.6·Q	-0.034	0.012	18.186	-0.040	0.151	0.000
	Tensiones sobre el terreno	PP	-0.010	0.004	4.432	-0.013	0.086	0.000
		PP+V(0°)H1	-2.785	-0.250	2.274	0.865	-6.371	0.000
		PP+V(0°)H2	-2.788	-0.302	4.769	1.043	-6.261	0.000
		PP+V(90°)H1	-1.245	0.001	3.610	-0.003	-3.364	0.000
		PP+V(180°)H1	-2.784	0.251	2.284	-0.870	-6.365	0.000

Reacciones en los nudos, por combinación								
Referencia	Combinación		Reacciones en ejes globales					
	Tipo	Descripción	Rx (t)	Ry (t)	Rz (t)	Mx (t·m)	My (t·m)	Mz (t·m)
		PP+V(180°)H2	-2.787	0.311	4.779	-1.073	-6.254	0.000
		PP+V(270°)H1	2.550	0.000	1.598	-0.001	6.450	0.000
		PP+N(EI)	-0.012	0.005	5.706	-0.019	0.139	0.000
		PP+V(0°)H1+N(EI)	-2.786	-0.248	3.548	0.859	-6.319	0.000
		PP+V(0°)H2+N(EI)	-2.790	-0.300	6.042	1.037	-6.209	0.000
		PP+V(90°)H1+N(EI)	-1.246	0.003	4.883	-0.009	-3.311	0.000
		PP+V(180°)H1+N(EI)	-2.785	0.253	3.558	-0.876	-6.312	0.000
		PP+V(180°)H2+N(EI)	-2.789	0.313	6.053	-1.080	-6.202	0.000
		PP+V(270°)H1+N(EI)	2.548	0.002	2.871	-0.007	6.502	0.000
		PP+N(R)1	-0.012	0.019	5.387	-0.068	0.125	0.000
		PP+V(0°)H1+N(R)1	-2.786	-0.234	3.229	0.810	-6.332	0.000
		PP+V(0°)H2+N(R)1	-2.790	-0.286	5.723	0.988	-6.222	0.000
		PP+V(90°)H1+N(R)1	-1.246	0.017	4.564	-0.058	-3.325	0.000
		PP+V(180°)H1+N(R)1	-2.785	0.267	3.239	-0.925	-6.326	0.000
		PP+V(180°)H2+N(R)1	-2.789	0.327	5.734	-1.128	-6.215	0.000

Reacciones en los nudos, por combinación								
Referencia	Combinación		Reacciones en ejes globales					
	Tipo	Descripción	Rx (t)	Ry (t)	Rz (t)	Mx (t·m)	My (t·m)	Mz (t·m)
		PP+V(270°)H1+N(R)1	2.549	0.016	2.552	-0.056	6.489	0.000
		PP+N(R)2	-0.012	-0.009	5.388	0.033	0.126	0.000
		PP+V(0°)H1+N(R)2	-2.786	-0.263	3.230	0.911	-6.331	0.000
		PP+V(0°)H2+N(R)2	-2.790	-0.315	5.725	1.089	-6.221	0.000
		PP+V(90°)H1+N(R)2	-1.246	-0.012	4.566	0.043	-3.324	0.000
		PP+V(180°)H1+N(R)2	-2.785	0.238	3.240	-0.825	-6.325	0.000
		PP+V(180°)H2+N(R)2	-2.788	0.298	5.735	-1.028	-6.214	0.000
		PP+V(270°)H1+N(R)2	2.549	-0.013	2.554	0.045	6.490	0.000
		PP+Q	-0.021	0.007	11.366	-0.025	0.094	0.000
		PP+Q+V(0°)H1	-2.795	-0.246	9.208	0.853	-6.363	0.000
		PP+Q+V(0°)H2	-2.799	-0.298	11.703	1.031	-6.253	0.000
		PP+Q+V(90°)H1	-1.255	0.004	10.544	-0.015	-3.356	0.000
		PP+Q+V(180°)H1	-2.794	0.255	9.219	-0.883	-6.357	0.000
		PP+Q+V(180°)H2	-2.798	0.314	11.714	-1.086	-6.246	0.000
		PP+Q+V(270°)H1	2.539	0.004	8.532	-0.014	6.458	0.000

Reacciones en los nudos, por combinación								
Referencia	Combinación		Reacciones en ejes globales					
	Tipo	Descripción	Rx (t)	Ry (t)	Rz (t)	Mx (t·m)	My (t·m)	Mz (t·m)
		PP+Q+N(EI)	-0.023	0.009	12.640	-0.031	0.147	0.000
		PP+Q+V(0°)H1+N(EI)	-2.797	-0.244	10.482	0.847	-6.311	0.000
		PP+Q+V(0°)H2+N(EI)	-2.801	-0.297	12.977	1.025	-6.201	0.000
		PP+Q+V(90°)H1+N(EI)	-1.257	0.006	11.818	-0.021	-3.303	0.000
		PP+Q+V(180°)H1+N(EI)	-2.796	0.256	10.492	-0.889	-6.304	0.000
		PP+Q+V(180°)H2+N(EI)	-2.800	0.316	12.987	-1.092	-6.194	0.000
		PP+Q+V(270°)H1+N(EI)	2.537	0.006	9.806	-0.020	6.510	0.000
		PP+Q+N(R)1	-0.023	0.023	12.321	-0.080	0.133	0.000
		PP+Q+V(0°)H1+N(R)1	-2.797	-0.230	10.163	0.798	-6.324	0.000
		PP+Q+V(0°)H2+N(R)1	-2.800	-0.283	12.658	0.976	-6.214	0.000
		PP+Q+V(90°)H1+N(R)1	-1.257	0.020	11.499	-0.070	-3.317	0.000
		PP+Q+V(180°)H1+N(R)1	-2.796	0.270	10.173	-0.938	-6.318	0.000
		PP+Q+V(180°)H2+N(R)1	-2.799	0.330	12.668	-1.141	-6.207	0.000
		PP+Q+V(270°)H1+N(R)1	2.538	0.020	9.487	-0.069	6.497	0.000
		PP+Q+N(R)2	-0.022	-0.006	12.322	0.021	0.134	0.000

Reacciones en los nudos, por combinación								
Referencia	Combinación		Reacciones en ejes globales					
	Tipo	Descripción	Rx (t)	Ry (t)	Rz (t)	Mx (t·m)	My (t·m)	Mz (t·m)
		PP+Q+V(0°)H1+N(R)2	-2.797	-0.259	10.164	0.899	-6.323	0.000
		PP+Q+V(0°)H2+N(R)2	-2.800	-0.312	12.659	1.077	-6.213	0.000
		PP+Q+V(90°)H1+N(R)2	-1.257	-0.009	11.500	0.030	-3.316	0.000
		PP+Q+V(180°)H1+N(R)2	-2.796	0.242	10.174	-0.837	-6.317	0.000
		PP+Q+V(180°)H2+N(R)2	-2.799	0.301	12.670	-1.040	-6.207	0.000
		PP+Q+V(270°)H1+N(R)2	2.538	-0.009	9.488	0.032	6.498	0.000
N39	Hormigón en cimentaciones	PP	-0.026	0.009	1.993	-0.024	-0.005	0.000
		1.6·PP	-0.042	0.015	3.188	-0.038	-0.008	0.000
		PP+1.6·V(0°)H1	-4.487	-0.260	1.498	1.110	-8.937	0.003
		1.6·PP+1.6·V(0°)H1	-4.503	-0.255	2.693	1.096	-8.940	0.003
		PP+1.6·V(0°)H2	-4.523	-0.315	2.992	1.338	-8.926	0.003
		1.6·PP+1.6·V(0°)H2	-4.539	-0.310	4.187	1.324	-8.929	0.003
		PP+1.6·V(90°)H1	-1.785	0.007	1.024	-0.013	-4.537	0.001
		1.6·PP+1.6·V(90°)H1	-1.801	0.013	2.219	-0.027	-4.540	0.001

Reacciones en los nudos, por combinación								
Referencia	Combinación		Reacciones en ejes globales					
	Tipo	Descripción	Rx (t)	Ry (t)	Rz (t)	Mx (t·m)	My (t·m)	Mz (t·m)
		PP+1.6·V(180°)H1	-3.832	0.273	0.331	-1.134	-7.601	0.004
		1.6·PP+1.6·V(180°)H1	-3.848	0.279	1.527	-1.148	-7.604	0.004
		PP+1.6·V(180°)H2	-3.844	0.331	1.266	-1.384	-7.512	0.003
		1.6·PP+1.6·V(180°)H2	-3.860	0.337	2.462	-1.399	-7.515	0.003
		PP+1.6·V(270°)H1	3.614	0.013	-0.103	-0.023	8.187	-0.003
		1.6·PP+1.6·V(270°)H1	3.599	0.019	1.092	-0.038	8.184	-0.003
		PP+1.6·N(EI)	-0.037	0.009	2.553	-0.028	0.019	0.000
		1.6·PP+1.6·N(EI)	-0.053	0.015	3.749	-0.042	0.016	0.000
		PP+0.96·V(0°)H1+1.6·N(EI)	-2.714	-0.152	2.256	0.653	-5.340	0.002
		1.6·PP+0.96·V(0°)H1+1.6·N(EI)	-2.730	-0.147	3.452	0.638	-5.343	0.002
		PP+0.96·V(0°)H2+1.6·N(EI)	-2.735	-0.186	3.153	0.789	-5.333	0.002
		1.6·PP+0.96·V(0°)H2+1.6·N(EI)	-2.751	-0.180	4.348	0.775	-5.337	0.001
		PP+0.96·V(90°)H1+1.6·N(EI)	-1.093	0.008	1.972	-0.021	-2.700	0.001
		1.6·PP+0.96·V(90°)H1+1.6·N(EI)	-1.109	0.014	3.167	-0.036	-2.703	0.001

Reacciones en los nudos, por combinación								
Referencia	Combinación		Reacciones en ejes globales					
	Tipo	Descripción	Rx (t)	Ry (t)	Rz (t)	Mx (t·m)	My (t·m)	Mz (t·m)
		PP+0.96·V(180°)H1+1.6·N(EI)	-2.321	0.168	1.556	-0.694	-4.538	0.002
		1.6·PP+0.96·V(180°)H1+1.6·N(EI)	-2.337	0.173	2.752	-0.708	-4.542	0.002
		PP+0.96·V(180°)H2+1.6·N(EI)	-2.328	0.203	2.117	-0.844	-4.485	0.002
		1.6·PP+0.96·V(180°)H2+1.6·N(EI)	-2.344	0.208	3.313	-0.858	-4.488	0.002
		PP+0.96·V(270°)H1+1.6·N(EI)	2.147	0.011	1.296	-0.028	4.935	-0.002
		1.6·PP+0.96·V(270°)H1+1.6·N(EI)	2.131	0.017	2.491	-0.042	4.931	-0.002
		PP+1.6·V(0°)H1+0.8·N(EI)	-4.493	-0.260	1.778	1.108	-8.924	0.003
		1.6·PP+1.6·V(0°)H1+0.8·N(EI)	-4.508	-0.255	2.974	1.094	-8.928	0.003
		PP+1.6·V(0°)H2+0.8·N(EI)	-4.529	-0.316	3.272	1.336	-8.914	0.003
		1.6·PP+1.6·V(0°)H2+0.8·N(EI)	-4.544	-0.310	4.467	1.322	-8.917	0.003
		PP+1.6·V(90°)H1+0.8·N(EI)	-1.791	0.007	1.304	-0.015	-4.524	0.001
		1.6·PP+1.6·V(90°)H1+0.8·N(EI)	-1.807	0.013	2.500	-0.029	-4.528	0.001
		PP+1.6·V(180°)H1+0.8·N(EI)	-3.838	0.273	0.612	-1.136	-7.589	0.004
		1.6·PP+1.6·V(180°)H1+0.8·N(EI)	-3.854	0.279	1.807	-1.150	-7.592	0.004

Reacciones en los nudos, por combinación								
Referencia	Combinación		Reacciones en ejes globales					
	Tipo	Descripción	Rx (t)	Ry (t)	Rz (t)	Mx (t·m)	My (t·m)	Mz (t·m)
		PP+1.6·V(180°)H2+0.8·N(EI)	-3.849	0.331	1.547	-1.386	-7.500	0.003
		1.6·PP+1.6·V(180°)H2+0.8·N(EI)	-3.865	0.337	2.742	-1.401	-7.503	0.003
		PP+1.6·V(270°)H1+0.8·N(EI)	3.609	0.013	0.177	-0.025	8.199	-0.003
		1.6·PP+1.6·V(270°)H1+0.8·N(EI)	3.593	0.018	1.373	-0.040	8.196	-0.003
		PP+1.6·N(R)1	-0.026	0.025	2.228	-0.093	0.041	0.000
		1.6·PP+1.6·N(R)1	-0.042	0.031	3.424	-0.108	0.038	0.000
		PP+0.96·V(0°)H1+1.6·N(R)1	-2.702	-0.136	1.931	0.587	-5.318	0.002
		1.6·PP+0.96·V(0°)H1+1.6·N(R)1	-2.718	-0.131	3.127	0.573	-5.321	0.002
		PP+0.96·V(0°)H2+1.6·N(R)1	-2.724	-0.170	2.828	0.724	-5.312	0.002
		1.6·PP+0.96·V(0°)H2+1.6·N(R)1	-2.740	-0.164	4.023	0.710	-5.315	0.001
		PP+0.96·V(90°)H1+1.6·N(R)1	-1.081	0.024	1.647	-0.087	-2.678	0.001
		1.6·PP+0.96·V(90°)H1+1.6·N(R)1	-1.097	0.030	2.843	-0.101	-2.681	0.001
		PP+0.96·V(180°)H1+1.6·N(R)1	-2.310	0.184	1.232	-0.759	-4.517	0.002
		1.6·PP+0.96·V(180°)H1+1.6·N(R)1	-2.325	0.189	2.427	-0.774	-4.520	0.002

Reacciones en los nudos, por combinación								
Referencia	Combinación		Reacciones en ejes globales					
	Tipo	Descripción	Rx (t)	Ry (t)	Rz (t)	Mx (t·m)	My (t·m)	Mz (t·m)
		PP+0.96·V(180°)H2+1.6·N(R)1	-2.316	0.219	1.793	-0.910	-4.463	0.002
		1.6·PP+0.96·V(180°)H2+1.6·N(R)1	-2.332	0.224	2.988	-0.924	-4.467	0.002
		PP+0.96·V(270°)H1+1.6·N(R)1	2.158	0.027	0.971	-0.093	4.956	-0.002
		1.6·PP+0.96·V(270°)H1+1.6·N(R)1	2.143	0.033	2.166	-0.107	4.953	-0.002
		PP+1.6·V(0°)H1+0.8·N(R)1	-4.487	-0.252	1.616	1.075	-8.913	0.003
		1.6·PP+1.6·V(0°)H1+0.8·N(R)1	-4.503	-0.247	2.811	1.061	-8.917	0.003
		PP+1.6·V(0°)H2+0.8·N(R)1	-4.523	-0.307	3.109	1.304	-8.903	0.003
		1.6·PP+1.6·V(0°)H2+0.8·N(R)1	-4.539	-0.302	4.305	1.289	-8.906	0.003
		PP+1.6·V(90°)H1+0.8·N(R)1	-1.785	0.015	1.141	-0.048	-4.514	0.001
		1.6·PP+1.6·V(90°)H1+0.8·N(R)1	-1.801	0.021	2.337	-0.062	-4.517	0.001
		PP+1.6·V(180°)H1+0.8·N(R)1	-3.832	0.281	0.449	-1.168	-7.578	0.004
		1.6·PP+1.6·V(180°)H1+0.8·N(R)1	-3.848	0.287	1.645	-1.183	-7.581	0.004
		PP+1.6·V(180°)H2+0.8·N(R)1	-3.844	0.339	1.384	-1.419	-7.489	0.003
		1.6·PP+1.6·V(180°)H2+0.8·N(R)1	-3.859	0.345	2.580	-1.433	-7.492	0.003

Reacciones en los nudos, por combinación								
Referencia	Combinación		Reacciones en ejes globales					
	Tipo	Descripción	Rx (t)	Ry (t)	Rz (t)	Mx (t·m)	My (t·m)	Mz (t·m)
		PP+1.6·V(270°)H1+0.8·N(R)1	3.614	0.021	0.014	-0.058	8.210	-0.003
		1.6·PP+1.6·V(270°)H1+0.8·N(R)1	3.599	0.027	1.210	-0.072	8.207	-0.003
		PP+1.6·N(R)2	-0.043	-0.007	2.598	0.039	-0.015	0.000
		1.6·PP+1.6·N(R)2	-0.059	-0.001	3.794	0.025	-0.018	0.000
		PP+0.96·V(0°)H1+1.6·N(R)2	-2.720	-0.168	2.301	0.720	-5.374	0.002
		1.6·PP+0.96·V(0°)H1+1.6·N(R)2	-2.735	-0.163	3.497	0.706	-5.377	0.002
		PP+0.96·V(0°)H2+1.6·N(R)2	-2.741	-0.202	3.197	0.857	-5.367	0.002
		1.6·PP+0.96·V(0°)H2+1.6·N(R)2	-2.757	-0.196	4.393	0.842	-5.371	0.001
		PP+0.96·V(90°)H1+1.6·N(R)2	-1.099	-0.008	2.016	0.046	-2.734	0.001
		1.6·PP+0.96·V(90°)H1+1.6·N(R)2	-1.114	-0.002	3.212	0.032	-2.737	0.001
		PP+0.96·V(180°)H1+1.6·N(R)2	-2.327	0.152	1.601	-0.626	-4.572	0.002
		1.6·PP+0.96·V(180°)H1+1.6·N(R)2	-2.343	0.157	2.797	-0.641	-4.575	0.002
		PP+0.96·V(180°)H2+1.6·N(R)2	-2.334	0.186	2.162	-0.777	-4.519	0.002
		1.6·PP+0.96·V(180°)H2+1.6·N(R)2	-2.349	0.192	3.358	-0.791	-4.522	0.002

Reacciones en los nudos, por combinación								
Referencia	Combinación		Reacciones en ejes globales					
	Tipo	Descripción	Rx (t)	Ry (t)	Rz (t)	Mx (t·m)	My (t·m)	Mz (t·m)
		PP+0.96·V(270°)H1+1.6·N(R)2	2.141	-0.005	1.340	0.040	4.901	-0.002
		1.6·PP+0.96·V(270°)H1+1.6·N(R)2	2.125	0.001	2.536	0.025	4.898	-0.002
		PP+1.6·V(0°)H1+0.8·N(R)2	-4.496	-0.268	1.800	1.142	-8.941	0.003
		1.6·PP+1.6·V(0°)H1+0.8·N(R)2	-4.511	-0.263	2.996	1.128	-8.944	0.003
		PP+1.6·V(0°)H2+0.8·N(R)2	-4.531	-0.324	3.294	1.370	-8.931	0.003
		1.6·PP+1.6·V(0°)H2+0.8·N(R)2	-4.547	-0.318	4.490	1.356	-8.934	0.003
		PP+1.6·V(90°)H1+0.8·N(R)2	-1.794	-0.001	1.326	0.019	-4.541	0.001
		1.6·PP+1.6·V(90°)H1+0.8·N(R)2	-1.810	0.005	2.522	0.004	-4.545	0.001
		PP+1.6·V(180°)H1+0.8·N(R)2	-3.841	0.265	0.634	-1.102	-7.606	0.004
		1.6·PP+1.6·V(180°)H1+0.8·N(R)2	-3.857	0.271	1.830	-1.116	-7.609	0.004
		PP+1.6·V(180°)H2+0.8·N(R)2	-3.852	0.323	1.569	-1.352	-7.517	0.003
		1.6·PP+1.6·V(180°)H2+0.8·N(R)2	-3.868	0.329	2.765	-1.367	-7.520	0.003
		PP+1.6·V(270°)H1+0.8·N(R)2	3.606	0.005	0.199	0.008	8.182	-0.003
		1.6·PP+1.6·V(270°)H1+0.8·N(R)2	3.590	0.010	1.395	-0.006	8.179	-0.003

Reacciones en los nudos, por combinación								
Referencia	Combinación		Reacciones en ejes globales					
	Tipo	Descripción	Rx (t)	Ry (t)	Rz (t)	Mx (t·m)	My (t·m)	Mz (t·m)
		PP+1.6·Q	-0.068	0.335	6.898	-0.683	-0.135	0.000
		1.6·PP+1.6·Q	-0.084	0.341	8.094	-0.698	-0.138	-0.001
	Tensiones sobre el terreno	PP	-0.026	0.009	1.993	-0.024	-0.005	0.000
		PP+V(0°)H1	-2.814	-0.159	1.683	0.685	-5.587	0.002
		PP+V(0°)H2	-2.837	-0.194	2.617	0.827	-5.581	0.002
		PP+V(90°)H1	-1.126	0.008	1.387	-0.017	-2.837	0.001
		PP+V(180°)H1	-2.405	0.174	0.954	-0.718	-4.753	0.002
		PP+V(180°)H2	-2.412	0.211	1.539	-0.874	-4.697	0.002
		PP+V(270°)H1	2.249	0.012	0.683	-0.024	5.115	-0.002
		PP+N(EI)	-0.033	0.009	2.343	-0.027	0.010	0.000
		PP+V(0°)H1+N(EI)	-2.821	-0.159	2.034	0.682	-5.572	0.002
		PP+V(0°)H2+N(EI)	-2.844	-0.194	2.967	0.825	-5.566	0.002
		PP+V(90°)H1+N(EI)	-1.133	0.008	1.737	-0.020	-2.822	0.001
		PP+V(180°)H1+N(EI)	-2.412	0.174	1.305	-0.720	-4.737	0.002

Reacciones en los nudos, por combinación								
Referencia	Combinación		Reacciones en ejes globales					
	Tipo	Descripción	Rx (t)	Ry (t)	Rz (t)	Mx (t·m)	My (t·m)	Mz (t·m)
		PP+V(180°)H2+N(EI)	-2.419	0.211	1.889	-0.877	-4.682	0.002
		PP+V(270°)H1+N(EI)	2.242	0.012	1.033	-0.026	5.130	-0.002
		PP+N(R)1	-0.026	0.019	2.140	-0.067	0.024	0.000
		PP+V(0°)H1+N(R)1	-2.814	-0.149	1.831	0.641	-5.558	0.002
		PP+V(0°)H2+N(R)1	-2.836	-0.184	2.764	0.784	-5.552	0.002
		PP+V(90°)H1+N(R)1	-1.125	0.018	1.534	-0.061	-2.809	0.001
		PP+V(180°)H1+N(R)1	-2.405	0.184	1.102	-0.761	-4.724	0.002
		PP+V(180°)H2+N(R)1	-2.412	0.221	1.686	-0.917	-4.668	0.002
		PP+V(270°)H1+N(R)1	2.249	0.022	0.830	-0.067	5.144	-0.002
		PP+N(R)2	-0.037	-0.001	2.371	0.016	-0.011	0.000
		PP+V(0°)H1+N(R)2	-2.825	-0.169	2.062	0.725	-5.593	0.002
		PP+V(0°)H2+N(R)2	-2.847	-0.204	2.995	0.867	-5.587	0.002
		PP+V(90°)H1+N(R)2	-1.136	-0.002	1.765	0.023	-2.843	0.001
		PP+V(180°)H1+N(R)2	-2.416	0.164	1.333	-0.678	-4.759	0.002

Reacciones en los nudos, por combinación								
Referencia	Combinación		Reacciones en ejes globales					
	Tipo	Descripción	Rx (t)	Ry (t)	Rz (t)	Mx (t·m)	My (t·m)	Mz (t·m)
		PP+V(180°)H2+N(R)2	-2.423	0.201	1.917	-0.834	-4.703	0.002
		PP+V(270°)H1+N(R)2	2.238	0.002	1.061	0.016	5.109	-0.002
		PP+Q	-0.052	0.213	5.059	-0.436	-0.086	0.000
		PP+Q+V(0°)H1	-2.841	0.045	4.749	0.273	-5.668	0.002
		PP+Q+V(0°)H2	-2.863	0.010	5.683	0.415	-5.662	0.002
		PP+Q+V(90°)H1	-1.152	0.212	4.453	-0.429	-2.918	0.001
		PP+Q+V(180°)H1	-2.431	0.378	4.020	-1.130	-4.834	0.002
		PP+Q+V(180°)H2	-2.438	0.414	4.605	-1.286	-4.778	0.002
		PP+Q+V(270°)H1	2.223	0.215	3.748	-0.436	5.034	-0.002
		PP+Q+N(EI)	-0.059	0.213	5.409	-0.439	-0.071	0.000
		PP+Q+V(0°)H1+N(EI)	-2.847	0.045	5.099	0.270	-5.653	0.002
		PP+Q+V(0°)H2+N(EI)	-2.870	0.010	6.033	0.413	-5.647	0.001
		PP+Q+V(90°)H1+N(EI)	-1.159	0.212	4.803	-0.432	-2.903	0.001
		PP+Q+V(180°)H1+N(EI)	-2.438	0.378	4.370	-1.132	-4.818	0.002

Reacciones en los nudos, por combinación								
Referencia	Combinación		Reacciones en ejes globales					
	Tipo	Descripción	Rx (t)	Ry (t)	Rz (t)	Mx (t·m)	My (t·m)	Mz (t·m)
		PP+Q+V(180°)H2+N(EI)	-2.445	0.414	4.955	-1.289	-4.763	0.002
		PP+Q+V(270°)H1+N(EI)	2.216	0.215	4.099	-0.438	5.049	-0.002
		PP+Q+N(R)1	-0.052	0.223	5.206	-0.480	-0.057	0.000
		PP+Q+V(0°)H1+N(R)1	-2.840	0.055	4.896	0.229	-5.639	0.002
		PP+Q+V(0°)H2+N(R)1	-2.863	0.020	5.830	0.372	-5.633	0.002
		PP+Q+V(90°)H1+N(R)1	-1.152	0.222	4.600	-0.473	-2.890	0.001
		PP+Q+V(180°)H1+N(R)1	-2.431	0.388	4.167	-1.173	-4.805	0.002
		PP+Q+V(180°)H2+N(R)1	-2.438	0.424	4.752	-1.330	-4.749	0.002
		PP+Q+V(270°)H1+N(R)1	2.223	0.225	3.896	-0.479	5.063	-0.002
		PP+Q+N(R)2	-0.063	0.203	5.437	-0.396	-0.092	0.000
		PP+Q+V(0°)H1+N(R)2	-2.851	0.035	5.127	0.312	-5.674	0.002
		PP+Q+V(0°)H2+N(R)2	-2.874	0.000	6.061	0.455	-5.668	0.001
		PP+Q+V(90°)H1+N(R)2	-1.163	0.202	4.831	-0.390	-2.924	0.001
		PP+Q+V(180°)H1+N(R)2	-2.442	0.368	4.398	-1.090	-4.840	0.002

Reacciones en los nudos, por combinación								
Referencia	Combinación		Reacciones en ejes globales					
	Tipo	Descripción	Rx (t)	Ry (t)	Rz (t)	Mx (t·m)	My (t·m)	Mz (t·m)
		PP+Q+V(180°)H2+N(R)2	-2.449	0.404	4.983	-1.246	-4.784	0.002
		PP+Q+V(270°)H1+N(R)2	2.212	0.205	4.127	-0.396	5.028	-0.002
N44	Hormigón en cimentaciones	PP	0.055	0.000	2.008	0.002	0.230	0.000
		1.6·PP	0.087	0.000	3.212	0.003	0.368	0.000
		PP+1.6·V(0°)H1	3.794	-0.389	0.165	1.386	7.389	0.001
		1.6·PP+1.6·V(0°)H1	3.827	-0.389	1.369	1.388	7.527	0.001
		PP+1.6·V(0°)H2	3.829	-0.459	0.949	1.650	7.614	0.001
		1.6·PP+1.6·V(0°)H2	3.862	-0.459	2.154	1.652	7.752	0.001
		PP+1.6·V(90°)H1	-3.596	-0.010	-0.479	0.027	-8.036	0.000
		1.6·PP+1.6·V(90°)H1	-3.563	-0.010	0.726	0.028	-7.898	0.000
		PP+1.6·V(180°)H1	4.436	0.393	2.043	-1.397	8.694	0.000
		1.6·PP+1.6·V(180°)H1	4.469	0.393	3.248	-1.396	8.832	0.000
		PP+1.6·V(180°)H2	4.494	0.462	3.498	-1.654	8.993	0.000
		1.6·PP+1.6·V(180°)H2	4.527	0.462	4.703	-1.653	9.131	0.000
		PP+1.6·V(270°)H1	1.824	0.000	1.177	0.004	4.600	0.000
		1.6·PP+1.6·V(270°)H1	1.857	0.000	2.381	0.006	4.738	0.000
		PP+1.6·N(EI)	0.077	0.001	2.527	0.002	0.354	0.000

Reacciones en los nudos, por combinación								
Referencia	Combinación		Reacciones en ejes globales					
	Tipo	Descripción	Rx (t)	Ry (t)	Rz (t)	Mx (t·m)	My (t·m)	Mz (t·m)
		1.6·PP+1.6·N(EI)	0.109	0.000	3.731	0.003	0.492	0.000
		PP+0.96·V(0°)H1+1.6·N(EI)	2.320	-0.233	1.421	0.833	4.649	0.000
		1.6·PP+0.96·V(0°)H1+1.6·N(EI)	2.353	-0.233	2.625	0.834	4.787	0.000
		PP+0.96·V(0°)H2+1.6·N(EI)	2.342	-0.275	1.892	0.991	4.784	0.000
		1.6·PP+0.96·V(0°)H2+1.6·N(EI)	2.374	-0.275	3.096	0.992	4.922	0.000
		PP+0.96·V(90°)H1+1.6·N(EI)	-2.113	-0.006	1.035	0.017	-4.606	0.000
		1.6·PP+0.96·V(90°)H1+1.6·N(EI)	-2.081	-0.006	2.239	0.018	-4.468	0.000
		PP+0.96·V(180°)H1+1.6·N(EI)	2.706	0.237	2.548	-0.837	5.432	0.000
		1.6·PP+0.96·V(180°)H1+1.6·N(EI)	2.738	0.236	3.752	-0.836	5.570	0.000
		PP+0.96·V(180°)H2+1.6·N(EI)	2.740	0.278	3.421	-0.992	5.612	0.000
		1.6·PP+0.96·V(180°)H2+1.6·N(EI)	2.773	0.278	4.626	-0.991	5.750	0.000
		PP+0.96·V(270°)H1+1.6·N(EI)	1.138	0.001	2.028	0.003	2.976	0.000
		1.6·PP+0.96·V(270°)H1+1.6·N(EI)	1.171	0.000	3.233	0.005	3.114	0.000
		PP+1.6·V(0°)H1+0.8·N(EI)	3.805	-0.389	0.424	1.386	7.451	0.001
		1.6·PP+1.6·V(0°)H1+0.8·N(EI)	3.838	-0.389	1.629	1.388	7.589	0.001
		PP+1.6·V(0°)H2+0.8·N(EI)	3.841	-0.459	1.209	1.650	7.676	0.001
		1.6·PP+1.6·V(0°)H2+0.8·N(EI)	3.873	-0.459	2.413	1.652	7.814	0.001

Reacciones en los nudos, por combinación								
Referencia	Combinación		Reacciones en ejes globales					
	Tipo	Descripción	Rx (t)	Ry (t)	Rz (t)	Mx (t·m)	My (t·m)	Mz (t·m)
		PP+1.6·V(90°)H1+0.8·N(EI)	-3.585	-0.010	-0.219	0.027	-7.974	0.000
		1.6·PP+1.6·V(90°)H1+0.8·N(EI)	-3.552	-0.010	0.985	0.028	-7.836	-0.001
		PP+1.6·V(180°)H1+0.8·N(EI)	4.447	0.394	2.303	-1.397	8.756	0.000
		1.6·PP+1.6·V(180°)H1+0.8·N(EI)	4.480	0.394	3.507	-1.396	8.894	0.000
		PP+1.6·V(180°)H2+0.8·N(EI)	4.505	0.463	3.758	-1.654	9.055	0.000
		1.6·PP+1.6·V(180°)H2+0.8·N(EI)	4.538	0.463	4.962	-1.653	9.193	0.000
		PP+1.6·V(270°)H1+0.8·N(EI)	1.835	0.000	1.436	0.004	4.662	0.000
		1.6·PP+1.6·V(270°)H1+0.8·N(EI)	1.868	0.000	2.641	0.006	4.800	0.000
		PP+1.6·N(R)1	0.079	0.021	2.599	-0.073	0.349	0.000
		1.6·PP+1.6·N(R)1	0.112	0.021	3.804	-0.072	0.487	0.000
		PP+0.96·V(0°)H1+1.6·N(R)1	2.323	-0.212	1.494	0.757	4.645	0.000
		1.6·PP+0.96·V(0°)H1+1.6·N(R)1	2.356	-0.213	2.698	0.758	4.783	0.000
		PP+0.96·V(0°)H2+1.6·N(R)1	2.344	-0.254	1.964	0.916	4.780	0.000
		1.6·PP+0.96·V(0°)H2+1.6·N(R)1	2.377	-0.255	3.169	0.917	4.918	0.000
		PP+0.96·V(90°)H1+1.6·N(R)1	-2.111	0.015	1.108	-0.059	-4.610	0.000
		1.6·PP+0.96·V(90°)H1+1.6·N(R)1	-2.078	0.015	2.312	-0.057	-4.472	0.000
		PP+0.96·V(180°)H1+1.6·N(R)1	2.708	0.257	2.621	-0.913	5.428	0.000

Reacciones en los nudos, por combinación								
Referencia	Combinación		Reacciones en ejes globales					
	Tipo	Descripción	Rx (t)	Ry (t)	Rz (t)	Mx (t·m)	My (t·m)	Mz (t·m)
		1.6·PP+0.96·V(180°)H1+1.6·N(R)1	2.741	0.257	3.825	-0.912	5.566	0.000
		PP+0.96·V(180°)H2+1.6·N(R)1	2.743	0.298	3.494	-1.067	5.607	0.000
		1.6·PP+0.96·V(180°)H2+1.6·N(R)1	2.776	0.298	4.698	-1.066	5.745	0.000
		PP+0.96·V(270°)H1+1.6·N(R)1	1.141	0.021	2.101	-0.072	2.971	0.000
		1.6·PP+0.96·V(270°)H1+1.6·N(R)1	1.174	0.021	3.305	-0.071	3.109	0.000
		PP+1.6·V(0°)H1+0.8·N(R)1	3.807	-0.378	0.460	1.349	7.448	0.001
		1.6·PP+1.6·V(0°)H1+0.8·N(R)1	3.839	-0.379	1.665	1.350	7.586	0.001
		PP+1.6·V(0°)H2+0.8·N(R)1	3.842	-0.448	1.245	1.613	7.674	0.001
		1.6·PP+1.6·V(0°)H2+0.8·N(R)1	3.875	-0.448	2.450	1.614	7.812	0.001
		PP+1.6·V(90°)H1+0.8·N(R)1	-3.583	0.000	-0.183	-0.011	-7.977	-0.001
		1.6·PP+1.6·V(90°)H1+0.8·N(R)1	-3.550	0.000	1.022	-0.010	-7.839	-0.001
		PP+1.6·V(180°)H1+0.8·N(R)1	4.448	0.404	2.339	-1.435	8.753	0.000
		1.6·PP+1.6·V(180°)H1+0.8·N(R)1	4.481	0.404	3.544	-1.433	8.892	0.000
		PP+1.6·V(180°)H2+0.8·N(R)1	4.507	0.473	3.794	-1.692	9.053	0.000
		1.6·PP+1.6·V(180°)H2+0.8·N(R)1	4.539	0.473	4.999	-1.691	9.191	0.000
		PP+1.6·V(270°)H1+0.8·N(R)1	1.837	0.010	1.473	-0.033	4.659	0.000
		1.6·PP+1.6·V(270°)H1+0.8·N(R)1	1.869	0.010	2.677	-0.032	4.797	0.000

Reacciones en los nudos, por combinación								
Referencia	Combinación		Reacciones en ejes globales					
	Tipo	Descripción	Rx (t)	Ry (t)	Rz (t)	Mx (t·m)	My (t·m)	Mz (t·m)
		PP+1.6·N(R)2	0.063	-0.020	2.194	0.077	0.297	0.000
		1.6·PP+1.6·N(R)2	0.096	-0.020	3.399	0.079	0.435	0.000
		PP+0.96·V(0°)H1+1.6·N(R)2	2.307	-0.253	1.088	0.908	4.592	0.000
		1.6·PP+0.96·V(0°)H1+1.6·N(R)2	2.339	-0.253	2.293	0.909	4.730	0.000
		PP+0.96·V(0°)H2+1.6·N(R)2	2.328	-0.295	1.559	1.066	4.727	0.000
		1.6·PP+0.96·V(0°)H2+1.6·N(R)2	2.361	-0.295	2.764	1.068	4.865	0.000
		PP+0.96·V(90°)H1+1.6·N(R)2	-2.127	-0.026	0.703	0.092	-4.663	0.000
		1.6·PP+0.96·V(90°)H1+1.6·N(R)2	-2.094	-0.026	1.907	0.093	-4.525	0.000
		PP+0.96·V(180°)H1+1.6·N(R)2	2.692	0.216	2.216	-0.762	5.375	0.000
		1.6·PP+0.96·V(180°)H1+1.6·N(R)2	2.725	0.216	3.420	-0.761	5.513	0.000
		PP+0.96·V(180°)H2+1.6·N(R)2	2.727	0.257	3.089	-0.916	5.555	0.000
		1.6·PP+0.96·V(180°)H2+1.6·N(R)2	2.759	0.257	4.293	-0.915	5.693	0.000
		PP+0.96·V(270°)H1+1.6·N(R)2	1.125	-0.020	1.696	0.079	2.919	0.000
		1.6·PP+0.96·V(270°)H1+1.6·N(R)2	1.158	-0.020	2.900	0.080	3.057	0.000
		PP+1.6·V(0°)H1+0.8·N(R)2	3.798	-0.399	0.258	1.424	7.422	0.001

Reacciones en los nudos, por combinación								
Referencia	Combinación		Reacciones en ejes globales					
	Tipo	Descripción	Rx (t)	Ry (t)	Rz (t)	Mx (t·m)	My (t·m)	Mz (t·m)
		1.6·PP+1.6·V(0°)H1+0.8·N(R)2	3.831	-0.399	1.462	1.425	7.560	0.001
		PP+1.6·V(0°)H2+0.8·N(R)2	3.834	-0.469	1.043	1.688	7.647	0.001
		1.6·PP+1.6·V(0°)H2+0.8·N(R)2	3.866	-0.469	2.247	1.689	7.785	0.001
		PP+1.6·V(90°)H1+0.8·N(R)2	-3.591	-0.020	-0.385	0.064	-8.003	0.000
		1.6·PP+1.6·V(90°)H1+0.8·N(R)2	-3.559	-0.020	0.819	0.066	-7.865	0.000
		PP+1.6·V(180°)H1+0.8·N(R)2	4.440	0.383	2.136	-1.359	8.727	0.001
		1.6·PP+1.6·V(180°)H1+0.8·N(R)2	4.473	0.383	3.341	-1.358	8.865	0.001
		PP+1.6·V(180°)H2+0.8·N(R)2	4.498	0.452	3.592	-1.617	9.026	0.000
		1.6·PP+1.6·V(180°)H2+0.8·N(R)2	4.531	0.452	4.796	-1.615	9.164	0.000
		PP+1.6·V(270°)H1+0.8·N(R)2	1.828	-0.010	1.270	0.042	4.633	0.000
		1.6·PP+1.6·V(270°)H1+0.8·N(R)2	1.861	-0.010	2.475	0.043	4.771	0.000
		PP+1.6·Q	0.900	0.000	8.735	0.004	2.058	0.000
		1.6·PP+1.6·Q	0.933	0.000	9.939	0.005	2.196	0.000
	Tensiones sobre el terreno	PP	0.055	0.000	2.008	0.002	0.230	0.000
		PP+V(0°)H1	2.392	-0.243	0.856	0.867	4.704	0.000
		PP+V(0°)H2	2.414	-0.287	1.346	1.032	4.845	0.000
		PP+V(90°)H1	-2.227	-0.007	0.454	0.017	-4.936	0.000

Reacciones en los nudos, por combinación								
Referencia	Combinación		Reacciones en ejes globales					
	Tipo	Descripción	Rx (t)	Ry (t)	Rz (t)	Mx (t·m)	My (t·m)	Mz (t·m)
		PP+V(180°)H1	2.793	0.246	2.030	-0.872	5.520	0.000
		PP+V(180°)H2	2.829	0.289	2.939	-1.033	5.707	0.000
		PP+V(270°)H1	1.161	0.000	1.488	0.004	2.961	0.000
		PP+N(EI)	0.068	0.000	2.332	0.002	0.308	0.000
		PP+V(0°)H1+N(EI)	2.406	-0.243	1.180	0.867	4.782	0.000
		PP+V(0°)H2+N(EI)	2.428	-0.286	1.671	1.032	4.922	0.000
		PP+V(90°)H1+N(EI)	-2.213	-0.006	0.778	0.017	-4.859	0.000
		PP+V(180°)H1+N(EI)	2.807	0.246	2.354	-0.872	5.597	0.000
		PP+V(180°)H2+N(EI)	2.843	0.289	3.264	-1.033	5.784	0.000
		PP+V(270°)H1+N(EI)	1.174	0.000	1.813	0.003	3.039	0.000
		PP+N(R)1	0.070	0.013	2.377	-0.045	0.305	0.000
		PP+V(0°)H1+N(R)1	2.407	-0.230	1.226	0.820	4.779	0.000
		PP+V(0°)H2+N(R)1	2.429	-0.274	1.716	0.985	4.920	0.000
		PP+V(90°)H1+N(R)1	-2.211	0.007	0.824	-0.030	-4.862	0.000
		PP+V(180°)H1+N(R)1	2.809	0.259	2.400	-0.919	5.595	0.000
		PP+V(180°)H2+N(R)1	2.845	0.302	3.309	-1.080	5.781	0.000
		PP+V(270°)H1+N(R)1	1.176	0.013	1.858	-0.044	3.036	0.000
		PP+N(R)2	0.060	-0.013	2.124	0.049	0.272	0.000

Reacciones en los nudos, por combinación								
Referencia	Combinación		Reacciones en ejes globales					
	Tipo	Descripción	Rx (t)	Ry (t)	Rz (t)	Mx (t·m)	My (t·m)	Mz (t·m)
		PP+V(0°)H1+N(R)2	2.397	-0.256	0.972	0.914	4.746	0.000
		PP+V(0°)H2+N(R)2	2.419	-0.299	1.463	1.079	4.887	0.000
		PP+V(90°)H1+N(R)2	-2.222	-0.019	0.570	0.065	-4.895	0.000
		PP+V(180°)H1+N(R)2	2.798	0.233	2.146	-0.825	5.562	0.000
		PP+V(180°)H2+N(R)2	2.835	0.276	3.056	-0.986	5.749	0.000
		PP+V(270°)H1+N(R)2	1.166	-0.013	1.605	0.051	3.003	0.000
		PP+Q	0.583	0.000	6.212	0.003	1.372	0.000
		PP+Q+V(0°)H1	2.920	-0.243	5.060	0.869	5.847	0.000
		PP+Q+V(0°)H2	2.942	-0.287	5.551	1.034	5.987	0.000
		PP+Q+V(90°)H1	-1.698	-0.006	4.658	0.019	-3.794	0.000
		PP+Q+V(180°)H1	3.322	0.246	6.234	-0.871	6.662	0.000
		PP+Q+V(180°)H2	3.358	0.289	7.144	-1.032	6.849	0.000
		PP+Q+V(270°)H1	1.689	0.000	5.693	0.005	4.103	0.000
		PP+Q+N(EI)	0.597	0.000	6.536	0.003	1.450	0.000
		PP+Q+V(0°)H1+N(EI)	2.934	-0.243	5.385	0.869	5.924	0.000
		PP+Q+V(0°)H2+N(EI)	2.956	-0.286	5.875	1.033	6.065	0.000
		PP+Q+V(90°)H1+N(EI)	-1.685	-0.006	4.983	0.019	-3.717	0.000

Reacciones en los nudos, por combinación								
Referencia	Combinación		Reacciones en ejes globales					
	Tipo	Descripción	Rx (t)	Ry (t)	Rz (t)	Mx (t·m)	My (t·m)	Mz (t·m)
		PP+Q+V(180°)H1+N(EI)	3.335	0.246	6.559	-0.871	6.740	0.000
		PP+Q+V(180°)H2+N(EI)	3.372	0.289	7.468	-1.032	6.927	0.000
		PP+Q+V(270°)H1+N(EI)	1.703	0.000	6.017	0.005	4.181	0.000
		PP+Q+N(R)1	0.599	0.013	6.582	-0.044	1.447	0.000
		PP+Q+V(0°)H1+N(R)1	2.936	-0.230	5.430	0.821	5.921	0.000
		PP+Q+V(0°)H2+N(R)1	2.958	-0.274	5.921	0.986	6.062	0.000
		PP+Q+V(90°)H1+N(R)1	-1.683	0.007	5.028	-0.028	-3.719	0.000
		PP+Q+V(180°)H1+N(R)1	3.337	0.259	6.604	-0.918	6.737	0.000
		PP+Q+V(180°)H2+N(R)1	3.373	0.302	7.514	-1.079	6.924	0.000
		PP+Q+V(270°)H1+N(R)1	1.705	0.013	6.063	-0.042	4.178	0.000
		PP+Q+N(R)2	0.588	-0.013	6.329	0.050	1.414	0.000
		PP+Q+V(0°)H1+N(R)2	2.926	-0.256	5.177	0.916	5.888	0.000
		PP+Q+V(0°)H2+N(R)2	2.948	-0.299	5.667	1.081	6.029	0.000
		PP+Q+V(90°)H1+N(R)2	-1.693	-0.019	4.775	0.066	-3.752	0.000
		PP+Q+V(180°)H1+N(R)2	3.327	0.233	6.351	-0.824	6.704	0.000
		PP+Q+V(180°)H2+N(R)2	3.363	0.276	7.260	-0.985	6.891	0.000
		PP+Q+V(270°)H1+N(R)2	1.694	-0.013	5.810	0.052	4.145	0.000

Reacciones en los nudos, por combinación								
Referencia	Combinación		Reacciones en ejes globales					
	Tipo	Descripción	Rx (t)	Ry (t)	Rz (t)	Mx (t·m)	My (t·m)	Mz (t·m)
N46	Hormigón en cimentaciones	PP	0.021	0.000	4.107	0.000	0.140	0.000
		1.6·PP	0.034	0.000	6.571	-0.001	0.225	0.000
		PP+1.6·V(0°)H1	4.425	-0.411	1.208	1.431	9.953	0.000
		1.6·PP+1.6·V(0°)H1	4.437	-0.411	3.671	1.431	10.037	0.000
		PP+1.6·V(0°)H2	4.428	-0.493	4.751	1.715	10.102	0.000
		1.6·PP+1.6·V(0°)H2	4.441	-0.493	7.215	1.715	10.186	0.000
		PP+1.6·V(90°)H1	-4.068	0.000	-1.912	0.000	-10.018	0.000
		1.6·PP+1.6·V(90°)H1	-4.056	0.000	0.552	0.000	-9.934	0.000
		PP+1.6·V(180°)H1	4.425	0.411	1.229	-1.431	9.957	0.000
		1.6·PP+1.6·V(180°)H1	4.438	0.411	3.693	-1.431	10.042	0.000
		PP+1.6·V(180°)H2	4.429	0.493	4.773	-1.716	10.106	0.000
		1.6·PP+1.6·V(180°)H2	4.441	0.493	7.237	-1.716	10.190	0.000
		PP+1.6·V(270°)H1	2.006	0.000	4.094	0.000	5.401	0.000
		1.6·PP+1.6·V(270°)H1	2.018	0.000	6.558	0.000	5.485	0.000
		PP+1.6·N(EI)	0.023	0.000	5.937	-0.001	0.211	0.000
		1.6·PP+1.6·N(EI)	0.036	0.000	8.401	-0.001	0.295	0.000
		PP+0.96·V(0°)H1+1.6·N(EI)	2.665	-0.247	4.198	0.858	6.099	0.000

Reacciones en los nudos, por combinación								
Referencia	Combinación		Reacciones en ejes globales					
	Tipo	Descripción	Rx (t)	Ry (t)	Rz (t)	Mx (t·m)	My (t·m)	Mz (t·m)
		1.6·PP+0.96·V(0°)H1+1.6·N(EI)	2.678	-0.247	6.662	0.858	6.183	0.000
		PP+0.96·V(0°)H2+1.6·N(EI)	2.667	-0.296	6.324	1.029	6.188	0.000
		1.6·PP+0.96·V(0°)H2+1.6·N(EI)	2.680	-0.296	8.788	1.028	6.272	0.000
		PP+0.96·V(90°)H1+1.6·N(EI)	-2.431	0.000	2.327	0.000	-5.884	0.000
		1.6·PP+0.96·V(90°)H1+1.6·N(EI)	-2.418	0.000	4.791	-0.001	-5.800	0.000
		PP+0.96·V(180°)H1+1.6·N(EI)	2.665	0.247	4.211	-0.859	6.101	0.000
		1.6·PP+0.96·V(180°)H1+1.6·N(EI)	2.678	0.247	6.675	-0.859	6.186	0.000
		PP+0.96·V(180°)H2+1.6·N(EI)	2.667	0.296	6.337	-1.030	6.191	0.000
		1.6·PP+0.96·V(180°)H2+1.6·N(EI)	2.680	0.296	8.801	-1.030	6.275	0.000
		PP+0.96·V(270°)H1+1.6·N(EI)	1.214	0.000	5.930	0.000	3.368	0.000
		1.6·PP+0.96·V(270°)H1+1.6·N(EI)	1.226	0.000	8.394	0.000	3.452	0.000
		PP+1.6·V(0°)H1+0.8·N(EI)	4.426	-0.411	2.123	1.431	9.989	0.000
		1.6·PP+1.6·V(0°)H1+0.8·N(EI)	4.438	-0.411	4.587	1.430	10.073	0.000
		PP+1.6·V(0°)H2+0.8·N(EI)	4.429	-0.493	5.666	1.715	10.137	0.000
		1.6·PP+1.6·V(0°)H2+0.8·N(EI)	4.442	-0.493	8.130	1.715	10.221	0.000
		PP+1.6·V(90°)H1+0.8·N(EI)	-4.067	0.000	-0.996	0.000	-9.983	0.000

Reacciones en los nudos, por combinación								
Referencia	Combinación		Reacciones en ejes globales					
	Tipo	Descripción	Rx (t)	Ry (t)	Rz (t)	Mx (t·m)	My (t·m)	Mz (t·m)
		1.6·PP+1.6·V(90°)H1+0.8·N(EI)	-4.055	0.000	1.468	0.000	-9.899	0.000
		PP+1.6·V(180°)H1+0.8·N(EI)	4.426	0.411	2.145	-1.431	9.993	0.000
		1.6·PP+1.6·V(180°)H1+0.8·N(EI)	4.439	0.412	4.609	-1.431	10.077	0.000
		PP+1.6·V(180°)H2+0.8·N(EI)	4.429	0.493	5.688	-1.716	10.142	0.000
		1.6·PP+1.6·V(180°)H2+0.8·N(EI)	4.442	0.493	8.152	-1.716	10.226	0.000
		PP+1.6·V(270°)H1+0.8·N(EI)	2.007	0.000	5.010	0.000	5.437	0.000
		1.6·PP+1.6·V(270°)H1+0.8·N(EI)	2.019	0.000	7.474	0.000	5.521	0.000
		PP+1.6·N(R)1	0.022	0.022	5.478	-0.078	0.193	0.000
		1.6·PP+1.6·N(R)1	0.035	0.022	7.942	-0.079	0.277	0.000
		PP+0.96·V(0°)H1+1.6·N(R)1	2.665	-0.225	3.739	0.780	6.081	0.000
		1.6·PP+0.96·V(0°)H1+1.6·N(R)1	2.677	-0.225	6.203	0.780	6.165	0.000
		PP+0.96·V(0°)H2+1.6·N(R)1	2.667	-0.274	5.865	0.951	6.170	0.000
		1.6·PP+0.96·V(0°)H2+1.6·N(R)1	2.679	-0.274	8.329	0.951	6.254	0.000
		PP+0.96·V(90°)H1+1.6·N(R)1	-2.431	0.022	1.867	-0.078	-5.902	0.000
		1.6·PP+0.96·V(90°)H1+1.6·N(R)1	-2.419	0.022	4.331	-0.078	-5.818	0.000
		PP+0.96·V(180°)H1+1.6·N(R)1	2.665	0.269	3.752	-0.937	6.083	0.000
		1.6·PP+0.96·V(180°)H1+1.6·N(R)1	2.677	0.269	6.216	-0.937	6.168	0.000
		PP+0.96·V(180°)H2+1.6·N(R)1	2.667	0.318	5.878	-1.108	6.173	0.000

Reacciones en los nudos, por combinación								
Referencia	Combinación		Reacciones en ejes globales					
	Tipo	Descripción	Rx (t)	Ry (t)	Rz (t)	Mx (t·m)	My (t·m)	Mz (t·m)
		1.6·PP+0.96·V(180°)H2+1.6·N(R)1	2.680	0.318	8.342	-1.108	6.257	0.000
		PP+0.96·V(270°)H1+1.6·N(R)1	1.213	0.022	5.471	-0.078	3.350	0.000
		1.6·PP+0.96·V(270°)H1+1.6·N(R)1	1.226	0.022	7.935	-0.078	3.434	0.000
		PP+1.6·V(0°)H1+0.8·N(R)1	4.425	-0.401	1.893	1.392	9.980	0.000
		1.6·PP+1.6·V(0°)H1+0.8·N(R)1	4.438	-0.401	4.357	1.392	10.064	0.000
		PP+1.6·V(0°)H2+0.8·N(R)1	4.429	-0.482	5.436	1.676	10.128	0.000
		1.6·PP+1.6·V(0°)H2+0.8·N(R)1	4.442	-0.482	7.900	1.676	10.212	0.000
		PP+1.6·V(90°)H1+0.8·N(R)1	-4.068	0.011	-1.226	-0.039	-9.992	0.000
		1.6·PP+1.6·V(90°)H1+0.8·N(R)1	-4.055	0.011	1.238	-0.039	-9.907	0.000
		PP+1.6·V(180°)H1+0.8·N(R)1	4.426	0.422	1.915	-1.470	9.984	0.000
		1.6·PP+1.6·V(180°)H1+0.8·N(R)1	4.438	0.422	4.379	-1.470	10.068	0.000
		PP+1.6·V(180°)H2+0.8·N(R)1	4.429	0.504	5.459	-1.755	10.133	0.000
		1.6·PP+1.6·V(180°)H2+0.8·N(R)1	4.442	0.504	7.923	-1.755	10.217	0.000
		PP+1.6·V(270°)H1+0.8·N(R)1	2.006	0.011	4.780	-0.039	5.428	0.000
		1.6·PP+1.6·V(270°)H1+0.8·N(R)1	2.019	0.011	7.244	-0.039	5.512	0.000
		PP+1.6·N(R)2	0.022	-0.022	5.481	0.077	0.194	0.000
		1.6·PP+1.6·N(R)2	0.035	-0.022	7.945	0.077	0.278	0.000

Reacciones en los nudos, por combinación								
Referencia	Combinación		Reacciones en ejes globales					
	Tipo	Descripción	Rx (t)	Ry (t)	Rz (t)	Mx (t·m)	My (t·m)	Mz (t·m)
		PP+0.96·V(0°)H1+1.6·N(R)2	2.665	-0.269	3.742	0.936	6.081	0.000
		1.6·PP+0.96·V(0°)H1+1.6·N(R)2	2.677	-0.268	6.206	0.936	6.166	0.000
		PP+0.96·V(0°)H2+1.6·N(R)2	2.667	-0.317	5.868	1.106	6.171	0.000
		1.6·PP+0.96·V(0°)H2+1.6·N(R)2	2.679	-0.317	8.331	1.106	6.255	0.000
		PP+0.96·V(90°)H1+1.6·N(R)2	-2.431	-0.022	1.870	0.078	-5.901	0.000
		1.6·PP+0.96·V(90°)H1+1.6·N(R)2	-2.418	-0.022	4.334	0.077	-5.817	0.000
		PP+0.96·V(180°)H1+1.6·N(R)2	2.665	0.225	3.755	-0.781	6.084	0.000
		1.6·PP+0.96·V(180°)H1+1.6·N(R)2	2.677	0.225	6.219	-0.781	6.168	0.000
		PP+0.96·V(180°)H2+1.6·N(R)2	2.667	0.274	5.881	-0.952	6.173	0.000
		1.6·PP+0.96·V(180°)H2+1.6·N(R)2	2.680	0.274	8.345	-0.952	6.257	0.000
		PP+0.96·V(270°)H1+1.6·N(R)2	1.213	-0.022	5.474	0.078	3.350	0.000
		1.6·PP+0.96·V(270°)H1+1.6·N(R)2	1.226	-0.022	7.938	0.077	3.434	0.000
		PP+1.6·V(0°)H1+0.8·N(R)2	4.425	-0.422	1.895	1.470	9.980	0.000
		1.6·PP+1.6·V(0°)H1+0.8·N(R)2	4.438	-0.422	4.359	1.469	10.064	0.000
		PP+1.6·V(0°)H2+0.8·N(R)2	4.429	-0.504	5.438	1.754	10.129	0.000

Reacciones en los nudos, por combinación								
Referencia	Combinación		Reacciones en ejes globales					
	Tipo	Descripción	Rx (t)	Ry (t)	Rz (t)	Mx (t·m)	My (t·m)	Mz (t·m)
		1.6·PP+1.6·V(0°)H2+0.8·N(R)2	4.442	-0.504	7.902	1.754	10.213	0.000
		PP+1.6·V(90°)H1+0.8·N(R)2	-4.067	-0.011	-1.224	0.039	-9.991	0.000
		1.6·PP+1.6·V(90°)H1+0.8·N(R)2	-4.055	-0.011	1.240	0.039	-9.907	0.000
		PP+1.6·V(180°)H1+0.8·N(R)2	4.426	0.401	1.916	-1.392	9.984	0.000
		1.6·PP+1.6·V(180°)H1+0.8·N(R)2	4.438	0.401	4.380	-1.392	10.068	0.000
		PP+1.6·V(180°)H2+0.8·N(R)2	4.429	0.482	5.460	-1.677	10.133	0.000
		1.6·PP+1.6·V(180°)H2+0.8·N(R)2	4.442	0.482	7.924	-1.677	10.217	0.000
		PP+1.6·V(270°)H1+0.8·N(R)2	2.006	-0.011	4.782	0.039	5.428	0.000
		1.6·PP+1.6·V(270°)H1+0.8·N(R)2	2.019	-0.011	7.246	0.039	5.512	0.000
		PP+1.6·Q	0.722	0.000	13.124	-0.001	1.457	0.000
		1.6·PP+1.6·Q	0.735	0.000	15.588	-0.001	1.541	0.000
	Tensiones sobre el terreno	PP	0.021	0.000	4.107	0.000	0.140	0.000
		PP+V(0°)H1	2.773	-0.257	2.295	0.894	6.273	0.000
		PP+V(0°)H2	2.776	-0.308	4.509	1.072	6.366	0.000
		PP+V(90°)H1	-2.535	0.000	0.345	0.000	-6.209	0.000
		PP+V(180°)H1	2.774	0.257	2.308	-0.894	6.276	0.000
		PP+V(180°)H2	2.776	0.308	4.523	-1.072	6.369	0.000

Reacciones en los nudos, por combinación								
Referencia	Combinación		Reacciones en ejes globales					
	Tipo	Descripción	Rx (t)	Ry (t)	Rz (t)	Mx (t·m)	My (t·m)	Mz (t·m)
		PP+V(270°)H1	1.261	0.000	4.099	0.000	3.428	0.000
		PP+N(EI)	0.022	0.000	5.251	0.000	0.185	0.000
		PP+V(0°)H1+N(EI)	2.775	-0.257	3.439	0.894	6.318	0.000
		PP+V(0°)H2+N(EI)	2.777	-0.308	5.653	1.072	6.411	0.000
		PP+V(90°)H1+N(EI)	-2.534	0.000	1.489	0.000	-6.164	0.000
		PP+V(180°)H1+N(EI)	2.775	0.257	3.453	-0.894	6.320	0.000
		PP+V(180°)H2+N(EI)	2.777	0.308	5.667	-1.073	6.413	0.000
		PP+V(270°)H1+N(EI)	1.263	0.000	5.243	0.000	3.473	0.000
		PP+N(R)1	0.022	0.014	4.964	-0.049	0.173	0.000
		PP+V(0°)H1+N(R)1	2.774	-0.244	3.152	0.845	6.306	0.000
		PP+V(0°)H2+N(R)1	2.776	-0.294	5.366	1.023	6.399	0.000
		PP+V(90°)H1+N(R)1	-2.534	0.014	1.203	-0.049	-6.176	0.000
		PP+V(180°)H1+N(R)1	2.774	0.271	3.166	-0.943	6.309	0.000
		PP+V(180°)H2+N(R)1	2.777	0.322	5.380	-1.121	6.402	0.000
		PP+V(270°)H1+N(R)1	1.262	0.014	4.956	-0.049	3.461	0.000
		PP+N(R)2	0.022	-0.013	4.966	0.048	0.174	0.000
		PP+V(0°)H1+N(R)2	2.774	-0.271	3.154	0.943	6.307	0.000

Reacciones en los nudos, por combinación								
Referencia	Combinación		Reacciones en ejes globales					
	Tipo	Descripción	Rx (t)	Ry (t)	Rz (t)	Mx (t·m)	My (t·m)	Mz (t·m)
		PP+V(0°)H2+N(R)2	2.776	-0.322	5.368	1.120	6.400	0.000
		PP+V(90°)H1+N(R)2	-2.534	-0.014	1.204	0.048	-6.175	0.000
		PP+V(180°)H1+N(R)2	2.774	0.244	3.167	-0.846	6.309	0.000
		PP+V(180°)H2+N(R)2	2.777	0.295	5.382	-1.024	6.402	0.000
		PP+V(270°)H1+N(R)2	1.262	-0.014	4.958	0.049	3.462	0.000
		PP+Q	0.459	0.000	9.742	-0.001	0.963	0.000
		PP+Q+V(0°)H1	3.212	-0.257	7.930	0.894	7.096	0.000
		PP+Q+V(0°)H2	3.214	-0.308	10.145	1.071	7.189	0.000
		PP+Q+V(90°)H1	-2.096	0.000	5.981	0.000	-5.386	0.000
		PP+Q+V(180°)H1	3.212	0.257	7.944	-0.895	7.099	0.000
		PP+Q+V(180°)H2	3.214	0.308	10.159	-1.073	7.192	0.000
		PP+Q+V(270°)H1	1.700	0.000	9.735	0.000	4.251	0.000
		PP+Q+N(EI)	0.461	0.000	10.887	-0.001	1.008	0.000
		PP+Q+V(0°)H1+N(EI)	3.213	-0.257	9.075	0.894	7.141	0.000
		PP+Q+V(0°)H2+N(EI)	3.215	-0.308	11.289	1.071	7.234	0.000
		PP+Q+V(90°)H1+N(EI)	-2.095	0.000	7.125	-0.001	-5.341	0.000

Reacciones en los nudos, por combinación								
Referencia	Combinación		Reacciones en ejes globales					
	Tipo	Descripción	Rx (t)	Ry (t)	Rz (t)	Mx (t·m)	My (t·m)	Mz (t·m)
		PP+Q+V(180°)H1+N(EI)	3.213	0.257	9.088	-0.895	7.143	0.000
		PP+Q+V(180°)H2+N(EI)	3.215	0.308	11.303	-1.073	7.236	0.000
		PP+Q+V(270°)H1+N(EI)	1.701	0.000	10.879	0.000	4.296	0.000
		PP+Q+N(R)1	0.460	0.014	10.600	-0.049	0.996	0.000
		PP+Q+V(0°)H1+N(R)1	3.213	-0.243	8.788	0.845	7.129	0.000
		PP+Q+V(0°)H2+N(R)1	3.215	-0.294	11.002	1.023	7.222	0.000
		PP+Q+V(90°)H1+N(R)1	-2.095	0.014	6.838	-0.049	-5.353	0.000
		PP+Q+V(180°)H1+N(R)1	3.213	0.271	8.801	-0.943	7.132	0.000
		PP+Q+V(180°)H2+N(R)1	3.215	0.322	11.016	-1.122	7.225	0.000
		PP+Q+V(270°)H1+N(R)1	1.701	0.014	10.592	-0.049	4.284	0.000
		PP+Q+N(R)2	0.460	-0.013	10.601	0.048	0.997	0.000
		PP+Q+V(0°)H1+N(R)2	3.213	-0.271	8.789	0.942	7.130	0.000
		PP+Q+V(0°)H2+N(R)2	3.215	-0.322	11.004	1.120	7.223	0.000
		PP+Q+V(90°)H1+N(R)2	-2.095	-0.013	6.840	0.048	-5.352	0.000
		PP+Q+V(180°)H1+N(R)2	3.213	0.244	8.803	-0.846	7.132	0.000

Reacciones en los nudos, por combinación								
Referencia	Combinación		Reacciones en ejes globales					
	Tipo	Descripción	Rx (t)	Ry (t)	Rz (t)	Mx (t·m)	My (t·m)	Mz (t·m)
		PP+Q+V(180°)H2+N(R)2	3.215	0.295	11.018	-1.024	7.225	0.000
		PP+Q+V(270°)H1+N(R)2	1.701	-0.013	10.594	0.048	4.285	0.000
N47	Hormigón en cimentaciones	PP	0.055	0.000	2.007	-0.003	0.229	0.000
		1.6·PP	0.087	0.000	3.211	-0.004	0.367	0.000
		PP+1.6·V(0°)H1	4.436	-0.393	2.042	1.397	8.690	0.000
		1.6·PP+1.6·V(0°)H1	4.468	-0.393	3.247	1.395	8.828	0.000
		PP+1.6·V(0°)H2	4.493	-0.462	3.497	1.653	8.988	0.000
		1.6·PP+1.6·V(0°)H2	4.526	-0.462	4.701	1.652	9.125	0.000
		PP+1.6·V(90°)H1	-3.596	0.010	-0.479	-0.027	-8.036	0.000
		1.6·PP+1.6·V(90°)H1	-3.563	0.010	0.726	-0.028	-7.898	0.000
		PP+1.6·V(180°)H1	3.795	0.389	0.166	-1.386	7.393	-0.001
		1.6·PP+1.6·V(180°)H1	3.828	0.389	1.370	-1.388	7.530	-0.001
		PP+1.6·V(180°)H2	3.830	0.459	0.950	-1.651	7.617	-0.001
		1.6·PP+1.6·V(180°)H2	3.863	0.459	2.154	-1.653	7.754	-0.001
		PP+1.6·V(270°)H1	1.824	0.000	1.177	-0.004	4.600	0.000

Reacciones en los nudos, por combinación								
Referencia	Combinación		Reacciones en ejes globales					
	Tipo	Descripción	Rx (t)	Ry (t)	Rz (t)	Mx (t·m)	My (t·m)	Mz (t·m)
		1.6·PP+1.6·V(270°)H1	1.857	0.000	2.381	-0.006	4.738	0.000
		PP+1.6·N(EI)	0.076	0.000	2.526	-0.003	0.353	0.000
		1.6·PP+1.6·N(EI)	0.109	0.000	3.730	-0.005	0.490	0.000
		PP+0.96·V(0°)H1+1.6·N(EI)	2.705	-0.236	2.547	0.837	5.429	0.000
		1.6·PP+0.96·V(0°)H1+1.6·N(EI)	2.738	-0.236	3.751	0.835	5.567	0.000
		PP+0.96·V(0°)H2+1.6·N(EI)	2.740	-0.278	3.419	0.991	5.608	0.000
		1.6·PP+0.96·V(0°)H2+1.6·N(EI)	2.773	-0.277	4.624	0.989	5.745	0.000
		PP+0.96·V(90°)H1+1.6·N(EI)	-2.114	0.006	1.034	-0.017	-4.607	0.000
		1.6·PP+0.96·V(90°)H1+1.6·N(EI)	-2.081	0.006	2.238	-0.019	-4.469	0.000
		PP+0.96·V(180°)H1+1.6·N(EI)	2.321	0.233	1.421	-0.833	4.651	0.000
		1.6·PP+0.96·V(180°)H1+1.6·N(EI)	2.353	0.233	2.625	-0.835	4.788	0.000
		PP+0.96·V(180°)H2+1.6·N(EI)	2.342	0.275	1.891	-0.992	4.785	0.000
		1.6·PP+0.96·V(180°)H2+1.6·N(EI)	2.374	0.275	3.095	-0.994	4.923	0.000
		PP+0.96·V(270°)H1+1.6·N(EI)	1.138	0.000	2.028	-0.004	2.975	0.000
		1.6·PP+0.96·V(270°)H1+1.6·N(EI)	1.171	0.000	3.232	-0.006	3.113	0.000
		PP+1.6·V(0°)H1+0.8·N(EI)	4.447	-0.394	2.302	1.397	8.752	0.000
		1.6·PP+1.6·V(0°)H1+0.8·N(EI)	4.479	-0.393	3.506	1.395	8.889	0.000

Reacciones en los nudos, por combinación								
Referencia	Combinación		Reacciones en ejes globales					
	Tipo	Descripción	Rx (t)	Ry (t)	Rz (t)	Mx (t·m)	My (t·m)	Mz (t·m)
		PP+1.6·V(0°)H2+0.8·N(EI)	4.504	-0.462	3.756	1.653	9.049	0.000
		1.6·PP+1.6·V(0°)H2+0.8·N(EI)	4.537	-0.462	4.960	1.652	9.187	0.000
		PP+1.6·V(90°)H1+0.8·N(EI)	-3.585	0.010	-0.219	-0.027	-7.974	0.000
		1.6·PP+1.6·V(90°)H1+0.8·N(EI)	-3.552	0.010	0.985	-0.028	-7.837	0.001
		PP+1.6·V(180°)H1+0.8·N(EI)	3.806	0.389	0.425	-1.386	7.455	-0.001
		1.6·PP+1.6·V(180°)H1+0.8·N(EI)	3.838	0.389	1.629	-1.388	7.592	-0.001
		PP+1.6·V(180°)H2+0.8·N(EI)	3.841	0.459	1.209	-1.651	7.679	-0.001
		1.6·PP+1.6·V(180°)H2+0.8·N(EI)	3.874	0.459	2.413	-1.653	7.816	-0.001
		PP+1.6·V(270°)H1+0.8·N(EI)	1.835	0.000	1.436	-0.004	4.662	0.000
		1.6·PP+1.6·V(270°)H1+0.8·N(EI)	1.868	0.000	2.640	-0.006	4.799	0.000
		PP+1.6·N(R)1	0.063	0.020	2.193	-0.078	0.295	0.000
		1.6·PP+1.6·N(R)1	0.095	0.020	3.398	-0.080	0.432	0.000
		PP+0.96·V(0°)H1+1.6·N(R)1	2.691	-0.216	2.214	0.761	5.371	0.000
		1.6·PP+0.96·V(0°)H1+1.6·N(R)1	2.724	-0.216	3.419	0.760	5.509	0.000
		PP+0.96·V(0°)H2+1.6·N(R)1	2.726	-0.257	3.087	0.915	5.550	0.000
		1.6·PP+0.96·V(0°)H2+1.6·N(R)1	2.759	-0.257	4.291	0.914	5.687	0.000

Reacciones en los nudos, por combinación								
Referencia	Combinación		Reacciones en ejes globales					
	Tipo	Descripción	Rx (t)	Ry (t)	Rz (t)	Mx (t·m)	My (t·m)	Mz (t·m)
		PP+0.96·V(90°)H1+1.6·N(R)1	-2.127	0.026	0.702	-0.093	-4.664	0.000
		1.6·PP+0.96·V(90°)H1+1.6·N(R)1	-2.095	0.027	1.906	-0.094	-4.527	0.000
		PP+0.96·V(180°)H1+1.6·N(R)1	2.307	0.254	1.088	-0.908	4.593	0.000
		1.6·PP+0.96·V(180°)H1+1.6·N(R)1	2.340	0.254	2.293	-0.910	4.731	0.000
		PP+0.96·V(180°)H2+1.6·N(R)1	2.328	0.296	1.559	-1.067	4.728	0.000
		1.6·PP+0.96·V(180°)H2+1.6·N(R)1	2.361	0.296	2.763	-1.069	4.865	0.000
		PP+0.96·V(270°)H1+1.6·N(R)1	1.125	0.020	1.695	-0.079	2.917	0.000
		1.6·PP+0.96·V(270°)H1+1.6·N(R)1	1.157	0.020	2.899	-0.081	3.055	0.000
		PP+1.6·V(0°)H1+0.8·N(R)1	4.440	-0.383	2.135	1.359	8.723	-0.001
		1.6·PP+1.6·V(0°)H1+0.8·N(R)1	4.472	-0.383	3.340	1.357	8.860	-0.001
		PP+1.6·V(0°)H2+0.8·N(R)1	4.498	-0.452	3.590	1.616	9.020	0.000
		1.6·PP+1.6·V(0°)H2+0.8·N(R)1	4.530	-0.452	4.794	1.614	9.158	0.000
		PP+1.6·V(90°)H1+0.8·N(R)1	-3.591	0.020	-0.385	-0.064	-8.003	0.000
		1.6·PP+1.6·V(90°)H1+0.8·N(R)1	-3.559	0.021	0.819	-0.066	-7.866	0.000
		PP+1.6·V(180°)H1+0.8·N(R)1	3.799	0.399	0.259	-1.424	7.426	-0.001

Reacciones en los nudos, por combinación								
Referencia	Combinación		Reacciones en ejes globales					
	Tipo	Descripción	Rx (t)	Ry (t)	Rz (t)	Mx (t·m)	My (t·m)	Mz (t·m)
		1.6·PP+1.6·V(180°)H1+0.8·N(R)1	3.832	0.399	1.463	-1.426	7.563	-0.001
		PP+1.6·V(180°)H2+0.8·N(R)1	3.834	0.469	1.043	-1.689	7.650	-0.001
		1.6·PP+1.6·V(180°)H2+0.8·N(R)1	3.867	0.469	2.247	-1.691	7.787	-0.001
		PP+1.6·V(270°)H1+0.8·N(R)1	1.828	0.010	1.270	-0.042	4.633	0.000
		1.6·PP+1.6·V(270°)H1+0.8·N(R)1	1.861	0.010	2.474	-0.044	4.771	0.000
		PP+1.6·N(R)2	0.079	-0.021	2.599	0.072	0.349	0.000
		1.6·PP+1.6·N(R)2	0.112	-0.020	3.803	0.071	0.486	0.000
		PP+0.96·V(0°)H1+1.6·N(R)2	2.708	-0.257	2.620	0.912	5.425	0.000
		1.6·PP+0.96·V(0°)H1+1.6·N(R)2	2.741	-0.257	3.824	0.911	5.563	0.000
		PP+0.96·V(0°)H2+1.6·N(R)2	2.743	-0.298	3.492	1.066	5.604	0.000
		1.6·PP+0.96·V(0°)H2+1.6·N(R)2	2.775	-0.298	4.697	1.064	5.741	0.000
		PP+0.96·V(90°)H1+1.6·N(R)2	-2.111	-0.015	1.107	0.058	-4.611	0.000
		1.6·PP+0.96·V(90°)H1+1.6·N(R)2	-2.078	-0.014	2.311	0.057	-4.473	0.000
		PP+0.96·V(180°)H1+1.6·N(R)2	2.323	0.213	1.494	-0.758	4.647	0.000
		1.6·PP+0.96·V(180°)H1+1.6·N(R)2	2.356	0.213	2.698	-0.759	4.784	0.000
		PP+0.96·V(180°)H2+1.6·N(R)2	2.344	0.255	1.964	-0.917	4.781	0.000

Reacciones en los nudos, por combinación								
Referencia	Combinación		Reacciones en ejes globales					
	Tipo	Descripción	Rx (t)	Ry (t)	Rz (t)	Mx (t·m)	My (t·m)	Mz (t·m)
		1.6·PP+0.96·V(180°)H2+1.6·N(R)2	2.377	0.255	3.168	-0.918	4.919	0.000
		PP+0.96·V(270°)H1+1.6·N(R)2	1.141	-0.021	2.101	0.072	2.971	0.000
		1.6·PP+0.96·V(270°)H1+1.6·N(R)2	1.174	-0.021	3.305	0.070	3.109	0.000
		PP+1.6·V(0°)H1+0.8·N(R)2	4.448	-0.404	2.338	1.434	8.750	0.000
		1.6·PP+1.6·V(0°)H1+0.8·N(R)2	4.481	-0.404	3.542	1.433	8.887	0.000
		PP+1.6·V(0°)H2+0.8·N(R)2	4.506	-0.472	3.792	1.691	9.047	0.000
		1.6·PP+1.6·V(0°)H2+0.8·N(R)2	4.539	-0.472	4.997	1.689	9.185	0.000
		PP+1.6·V(90°)H1+0.8·N(R)2	-3.583	0.000	-0.183	0.011	-7.976	0.001
		1.6·PP+1.6·V(90°)H1+0.8·N(R)2	-3.550	0.000	1.021	0.009	-7.839	0.001
		PP+1.6·V(180°)H1+0.8·N(R)2	3.807	0.378	0.461	-1.349	7.453	-0.001
		1.6·PP+1.6·V(180°)H1+0.8·N(R)2	3.840	0.379	1.666	-1.350	7.590	-0.001
		PP+1.6·V(180°)H2+0.8·N(R)2	3.842	0.449	1.245	-1.614	7.677	-0.001
		1.6·PP+1.6·V(180°)H2+0.8·N(R)2	3.875	0.449	2.450	-1.615	7.814	-0.001
		PP+1.6·V(270°)H1+0.8·N(R)2	1.837	-0.010	1.473	0.033	4.660	0.000

Reacciones en los nudos, por combinación								
Referencia	Combinación		Reacciones en ejes globales					
	Tipo	Descripción	Rx (t)	Ry (t)	Rz (t)	Mx (t·m)	My (t·m)	Mz (t·m)
		1.6·PP+1.6·V(270°)H1+0.8·N(R)2	1.869	-0.010	2.677	0.032	4.797	0.000
		PP+1.6·Q	0.900	0.000	8.733	-0.006	2.056	0.000
		1.6·PP+1.6·Q	0.933	0.001	9.938	-0.007	2.193	0.000
	Tensiones sobre el terreno	PP	0.055	0.000	2.007	-0.003	0.229	0.000
		PP+V(0°)H1	2.793	-0.246	2.029	0.872	5.517	0.000
		PP+V(0°)H2	2.829	-0.289	2.938	1.032	5.703	0.000
		PP+V(90°)H1	-2.227	0.007	0.454	-0.018	-4.937	0.000
		PP+V(180°)H1	2.392	0.243	0.856	-0.867	4.707	0.000
		PP+V(180°)H2	2.414	0.287	1.346	-1.033	4.847	0.000
		PP+V(270°)H1	1.161	0.000	1.488	-0.004	2.961	0.000
		PP+N(EI)	0.068	0.000	2.331	-0.003	0.306	0.000
		PP+V(0°)H1+N(EI)	2.806	-0.246	2.353	0.872	5.594	0.000
		PP+V(0°)H2+N(EI)	2.843	-0.289	3.262	1.032	5.780	0.000
		PP+V(90°)H1+N(EI)	-2.213	0.006	0.778	-0.018	-4.860	0.000
		PP+V(180°)H1+N(EI)	2.406	0.243	1.180	-0.868	4.784	0.000
		PP+V(180°)H2+N(EI)	2.428	0.287	1.670	-1.033	4.924	0.000
		PP+V(270°)H1+N(EI)	1.174	0.000	1.812	-0.004	3.038	0.000
		PP+N(R)1	0.060	0.013	2.123	-0.050	0.270	0.000

Reacciones en los nudos, por combinación								
Referencia	Combinación		Reacciones en ejes globales					
	Tipo	Descripción	Rx (t)	Ry (t)	Rz (t)	Mx (t·m)	My (t·m)	Mz (t·m)
		PP+V(0°)H1+N(R)1	2.798	-0.233	2.145	0.825	5.558	0.000
		PP+V(0°)H2+N(R)1	2.834	-0.276	3.054	0.985	5.744	0.000
		PP+V(90°)H1+N(R)1	-2.222	0.019	0.570	-0.065	-4.896	0.000
		PP+V(180°)H1+N(R)1	2.397	0.256	0.973	-0.915	4.748	0.000
		PP+V(180°)H2+N(R)1	2.419	0.300	1.463	-1.080	4.888	0.000
		PP+V(270°)H1+N(R)1	1.166	0.013	1.605	-0.051	3.002	0.000
		PP+N(R)2	0.070	-0.013	2.377	0.044	0.304	0.000
		PP+V(0°)H1+N(R)2	2.808	-0.259	2.399	0.919	5.592	0.000
		PP+V(0°)H2+N(R)2	2.844	-0.302	3.308	1.079	5.778	0.000
		PP+V(90°)H1+N(R)2	-2.211	-0.006	0.823	0.029	-4.862	0.000
		PP+V(180°)H1+N(R)2	2.408	0.230	1.226	-0.820	4.781	0.000
		PP+V(180°)H2+N(R)2	2.430	0.274	1.716	-0.986	4.921	0.000
		PP+V(270°)H1+N(R)2	1.176	-0.013	1.858	0.043	3.036	0.000
		PP+Q	0.583	0.000	6.211	-0.005	1.371	0.000
		PP+Q+V(0°)H1	3.321	-0.246	6.233	0.870	6.659	0.000
		PP+Q+V(0°)H2	3.357	-0.289	7.142	1.030	6.845	0.000

Reacciones en los nudos, por combinación								
Referencia	Combinación		Reacciones en ejes globales					
	Tipo	Descripción	Rx (t)	Ry (t)	Rz (t)	Mx (t·m)	My (t·m)	Mz (t·m)
		PP+Q+V(90°)H1	-1.698	0.007	4.658	-0.020	-3.795	0.000
		PP+Q+V(180°)H1	2.921	0.243	5.060	-0.869	5.848	0.000
		PP+Q+V(180°)H2	2.942	0.287	5.550	-1.035	5.988	0.000
		PP+Q+V(270°)H1	1.689	0.000	5.692	-0.005	4.103	0.000
		PP+Q+N(EI)	0.597	0.000	6.535	-0.005	1.448	0.000
		PP+Q+V(0°)H1+N(EI)	3.335	-0.246	6.557	0.870	6.736	0.000
		PP+Q+V(0°)H2+N(EI)	3.371	-0.289	7.466	1.030	6.922	0.000
		PP+Q+V(90°)H1+N(EI)	-1.685	0.006	4.982	-0.020	-3.718	0.000
		PP+Q+V(180°)H1+N(EI)	2.934	0.243	5.384	-0.870	5.925	0.000
		PP+Q+V(180°)H2+N(EI)	2.956	0.287	5.874	-1.035	6.065	0.000
		PP+Q+V(270°)H1+N(EI)	1.703	0.000	6.016	-0.006	4.180	0.000
		PP+Q+N(R)1	0.588	0.013	6.327	-0.052	1.412	0.000
		PP+Q+V(0°)H1+N(R)1	3.326	-0.233	6.349	0.823	6.700	0.000
		PP+Q+V(0°)H2+N(R)1	3.362	-0.276	7.258	0.983	6.886	0.000
		PP+Q+V(90°)H1+N(R)1	-1.693	0.019	4.774	-0.067	-3.754	0.000
		PP+Q+V(180°)H1+N(R)1	2.926	0.256	5.177	-0.917	5.889	0.000
		PP+Q+V(180°)H2+N(R)1	2.948	0.300	5.667	-1.082	6.029	0.000
		PP+Q+V(270°)H1+N(R)1	1.694	0.013	5.809	-0.053	4.144	0.000

Reacciones en los nudos, por combinación								
Referencia	Combinación		Reacciones en ejes globales					
	Tipo	Descripción	Rx (t)	Ry (t)	Rz (t)	Mx (t·m)	My (t·m)	Mz (t·m)
		PP+Q+N(R)2	0.598	-0.013	6.581	0.042	1.445	0.000
		PP+Q+V(0°)H1+N(R)2	3.337	-0.259	6.603	0.917	6.733	0.000
		PP+Q+V(0°)H2+N(R)2	3.373	-0.302	7.512	1.077	6.919	0.000
		PP+Q+V(90°)H1+N(R)2	-1.683	-0.006	5.027	0.027	-3.721	0.000
		PP+Q+V(180°)H1+N(R)2	2.936	0.230	5.430	-0.822	5.923	0.000
		PP+Q+V(180°)H2+N(R)2	2.958	0.274	5.920	-0.988	6.063	0.000
		PP+Q+V(270°)H1+N(R)2	1.704	-0.013	6.062	0.041	4.177	0.000
N59	Hormigón en cimentaciones	PP	0.002	0.004	0.345	-0.011	0.011	0.000
		1.6·PP	0.004	0.006	0.553	-0.018	0.017	0.000
		PP+1.6·V(0°)H1	0.082	-0.180	0.336	0.590	0.267	0.000
		1.6·PP+1.6·V(0°)H1	0.083	-0.178	0.543	0.584	0.274	0.000
		PP+1.6·V(0°)H2	0.092	-0.205	0.325	0.670	0.297	0.000
		1.6·PP+1.6·V(0°)H2	0.093	-0.203	0.532	0.663	0.303	0.000
		PP+1.6·V(90°)H1	-0.129	0.005	0.545	-0.017	-0.387	0.000
		1.6·PP+1.6·V(90°)H1	-0.128	0.008	0.752	-0.023	-0.381	0.000
		PP+1.6·V(180°)H1	0.068	0.181	0.279	-0.590	0.224	0.000

Reacciones en los nudos, por combinación								
Referencia	Combinación		Reacciones en ejes globales					
	Tipo	Descripción	Rx (t)	Ry (t)	Rz (t)	Mx (t·m)	My (t·m)	Mz (t·m)
		1.6·PP+1.6·V(180°)H1	0.069	0.183	0.486	-0.597	0.230	0.000
		PP+1.6·V(180°)H2	0.077	0.217	0.235	-0.701	0.249	0.000
		1.6·PP+1.6·V(180°)H2	0.078	0.219	0.442	-0.708	0.255	0.000
		PP+1.6·V(270°)H1	0.087	-0.012	0.240	0.028	0.263	0.000
		1.6·PP+1.6·V(270°)H1	0.089	-0.009	0.447	0.021	0.269	0.000
		PP+1.6·N(EI)	0.007	0.007	0.331	-0.019	0.024	0.000
		1.6·PP+1.6·N(EI)	0.008	0.009	0.539	-0.026	0.030	0.000
		PP+0.96·V(0°)H1+1.6·N(EI)	0.054	-0.104	0.326	0.342	0.177	0.000
		1.6·PP+0.96·V(0°)H1+1.6·N(EI)	0.056	-0.102	0.533	0.335	0.184	0.000
		PP+0.96·V(0°)H2+1.6·N(EI)	0.060	-0.119	0.319	0.389	0.195	0.000
		1.6·PP+0.96·V(0°)H2+1.6·N(EI)	0.062	-0.117	0.526	0.382	0.201	0.000
		PP+0.96·V(90°)H1+1.6·N(EI)	-0.072	0.007	0.451	-0.023	-0.215	0.000
		1.6·PP+0.96·V(90°)H1+1.6·N(EI)	-0.071	0.010	0.658	-0.029	-0.209	0.000
		PP+0.96·V(180°)H1+1.6·N(EI)	0.046	0.113	0.291	-0.367	0.151	0.000
		1.6·PP+0.96·V(180°)H1+1.6·N(EI)	0.048	0.115	0.499	-0.373	0.158	0.000
		PP+0.96·V(180°)H2+1.6·N(EI)	0.052	0.134	0.265	-0.434	0.166	0.000
		1.6·PP+0.96·V(180°)H2+1.6·N(EI)	0.053	0.137	0.472	-0.440	0.173	0.000

Reacciones en los nudos, por combinación								
Referencia	Combinación		Reacciones en ejes globales					
	Tipo	Descripción	Rx (t)	Ry (t)	Rz (t)	Mx (t·m)	My (t·m)	Mz (t·m)
		PP+0.96·V(270°)H1+1.6·N(EI)	0.058	-0.003	0.268	0.004	0.175	0.000
		1.6·PP+0.96·V(270°)H1+1.6·N(EI)	0.059	0.000	0.475	-0.003	0.181	0.000
		PP+1.6·V(0°)H1+0.8·N(EI)	0.084	-0.179	0.329	0.586	0.274	0.000
		1.6·PP+1.6·V(0°)H1+0.8·N(EI)	0.085	-0.177	0.536	0.580	0.280	0.000
		PP+1.6·V(0°)H2+0.8·N(EI)	0.094	-0.204	0.318	0.666	0.303	0.000
		1.6·PP+1.6·V(0°)H2+0.8·N(EI)	0.095	-0.202	0.525	0.659	0.309	0.000
		PP+1.6·V(90°)H1+0.8·N(EI)	-0.127	0.007	0.538	-0.021	-0.381	0.000
		1.6·PP+1.6·V(90°)H1+0.8·N(EI)	-0.126	0.009	0.745	-0.027	-0.375	0.000
		PP+1.6·V(180°)H1+0.8·N(EI)	0.070	0.183	0.272	-0.594	0.230	0.000
		1.6·PP+1.6·V(180°)H1+0.8·N(EI)	0.072	0.185	0.479	-0.601	0.236	0.000
		PP+1.6·V(180°)H2+0.8·N(EI)	0.079	0.218	0.228	-0.706	0.255	0.000
		1.6·PP+1.6·V(180°)H2+0.8·N(EI)	0.080	0.220	0.435	-0.712	0.262	0.000
		PP+1.6·V(270°)H1+0.8·N(EI)	0.089	-0.010	0.233	0.024	0.269	0.000
		1.6·PP+1.6·V(270°)H1+0.8·N(EI)	0.091	-0.008	0.440	0.017	0.275	0.000
		PP+1.6·N(R)1	0.005	0.012	0.328	-0.035	0.019	0.000
		1.6·PP+1.6·N(R)1	0.007	0.014	0.536	-0.042	0.025	0.000
		PP+0.96·V(0°)H1+1.6·N(R)1	0.053	-0.099	0.323	0.326	0.173	0.000

Reacciones en los nudos, por combinación								
Referencia	Combinación		Reacciones en ejes globales					
	Tipo	Descripción	Rx (t)	Ry (t)	Rz (t)	Mx (t·m)	My (t·m)	Mz (t·m)
		1.6·PP+0.96·V(0°)H1+1.6·N(R)1	0.054	-0.096	0.530	0.320	0.179	0.000
		PP+0.96·V(0°)H2+1.6·N(R)1	0.059	-0.114	0.316	0.374	0.190	0.000
		1.6·PP+0.96·V(0°)H2+1.6·N(R)1	0.060	-0.111	0.523	0.367	0.197	0.000
		PP+0.96·V(90°)H1+1.6·N(R)1	-0.074	0.013	0.448	-0.038	-0.220	0.000
		1.6·PP+0.96·V(90°)H1+1.6·N(R)1	-0.072	0.015	0.655	-0.045	-0.214	0.000
		PP+0.96·V(180°)H1+1.6·N(R)1	0.045	0.118	0.288	-0.382	0.147	0.000
		1.6·PP+0.96·V(180°)H1+1.6·N(R)1	0.046	0.121	0.495	-0.389	0.153	0.000
		PP+0.96·V(180°)H2+1.6·N(R)1	0.050	0.140	0.262	-0.449	0.162	0.000
		1.6·PP+0.96·V(180°)H2+1.6·N(R)1	0.051	0.142	0.469	-0.456	0.168	0.000
		PP+0.96·V(270°)H1+1.6·N(R)1	0.056	0.002	0.265	-0.011	0.170	0.000
		1.6·PP+0.96·V(270°)H1+1.6·N(R)1	0.058	0.005	0.472	-0.018	0.176	0.000
		PP+1.6·V(0°)H1+0.8·N(R)1	0.083	-0.176	0.327	0.579	0.271	0.000
		1.6·PP+1.6·V(0°)H1+0.8·N(R)1	0.084	-0.174	0.535	0.572	0.278	0.000
		PP+1.6·V(0°)H2+0.8·N(R)1	0.093	-0.201	0.316	0.658	0.301	0.000
		1.6·PP+1.6·V(0°)H2+0.8·N(R)1	0.095	-0.199	0.523	0.651	0.307	0.000

Reacciones en los nudos, por combinación								
Referencia	Combinación		Reacciones en ejes globales					
	Tipo	Descripción	Rx (t)	Ry (t)	Rz (t)	Mx (t·m)	My (t·m)	Mz (t·m)
		PP+1.6·V(90°)H1+0.8·N(R)1	-0.128	0.009	0.537	-0.028	-0.383	0.000
		1.6·PP+1.6·V(90°)H1+0.8·N(R)1	-0.126	0.011	0.744	-0.035	-0.377	0.000
		PP+1.6·V(180°)H1+0.8·N(R)1	0.069	0.185	0.270	-0.601	0.228	0.000
		1.6·PP+1.6·V(180°)H1+0.8·N(R)1	0.071	0.187	0.477	-0.608	0.234	0.000
		PP+1.6·V(180°)H2+0.8·N(R)1	0.078	0.221	0.226	-0.713	0.253	0.000
		1.6·PP+1.6·V(180°)H2+0.8·N(R)1	0.080	0.223	0.434	-0.720	0.259	0.000
		PP+1.6·V(270°)H1+0.8·N(R)1	0.089	-0.008	0.231	0.016	0.267	0.000
		1.6·PP+1.6·V(270°)H1+0.8·N(R)1	0.090	-0.005	0.438	0.009	0.273	0.000
		PP+1.6·N(R)2	0.006	0.000	0.341	0.000	0.022	0.000
		1.6·PP+1.6·N(R)2	0.008	0.002	0.549	-0.007	0.028	0.000
		PP+0.96·V(0°)H1+1.6·N(R)2	0.054	-0.110	0.336	0.361	0.176	0.000
		1.6·PP+0.96·V(0°)H1+1.6·N(R)2	0.055	-0.108	0.543	0.354	0.182	0.000
		PP+0.96·V(0°)H2+1.6·N(R)2	0.060	-0.126	0.329	0.409	0.193	0.000
		1.6·PP+0.96·V(0°)H2+1.6·N(R)2	0.061	-0.123	0.536	0.402	0.200	0.000
		PP+0.96·V(90°)H1+1.6·N(R)2	-0.073	0.001	0.461	-0.003	-0.217	0.000
		1.6·PP+0.96·V(90°)H1+1.6·N(R)2	-0.071	0.003	0.669	-0.010	-0.211	0.000
		PP+0.96·V(180°)H1+1.6·N(R)2	0.046	0.106	0.301	-0.347	0.150	0.000

Reacciones en los nudos, por combinación								
Referencia	Combinación		Reacciones en ejes globales					
	Tipo	Descripción	Rx (t)	Ry (t)	Rz (t)	Mx (t·m)	My (t·m)	Mz (t·m)
		1.6·PP+0.96·V(180°)H1+1.6·N(R)2	0.047	0.109	0.509	-0.354	0.156	0.000
		PP+0.96·V(180°)H2+1.6·N(R)2	0.051	0.128	0.275	-0.414	0.165	0.000
		1.6·PP+0.96·V(180°)H2+1.6·N(R)2	0.052	0.130	0.482	-0.421	0.171	0.000
		PP+0.96·V(270°)H1+1.6·N(R)2	0.057	-0.009	0.278	0.023	0.173	0.000
		1.6·PP+0.96·V(270°)H1+1.6·N(R)2	0.058	-0.007	0.485	0.016	0.179	0.000
		PP+1.6·V(0°)H1+0.8·N(R)2	0.084	-0.182	0.334	0.596	0.273	0.000
		1.6·PP+1.6·V(0°)H1+0.8·N(R)2	0.085	-0.180	0.541	0.589	0.279	0.000
		PP+1.6·V(0°)H2+0.8·N(R)2	0.094	-0.207	0.323	0.676	0.302	0.000
		1.6·PP+1.6·V(0°)H2+0.8·N(R)2	0.095	-0.205	0.530	0.669	0.308	0.000
		PP+1.6·V(90°)H1+0.8·N(R)2	-0.127	0.003	0.543	-0.011	-0.382	0.000
		1.6·PP+1.6·V(90°)H1+0.8·N(R)2	-0.126	0.006	0.750	-0.018	-0.375	0.000
		PP+1.6·V(180°)H1+0.8·N(R)2	0.070	0.179	0.277	-0.584	0.229	0.000
		1.6·PP+1.6·V(180°)H1+0.8·N(R)2	0.071	0.182	0.484	-0.591	0.235	0.000
		PP+1.6·V(180°)H2+0.8·N(R)2	0.079	0.215	0.233	-0.696	0.254	0.000
		1.6·PP+1.6·V(180°)H2+0.8·N(R)2	0.080	0.217	0.440	-0.703	0.261	0.000
		PP+1.6·V(270°)H1+0.8·N(R)2	0.089	-0.014	0.238	0.033	0.268	0.000

Reacciones en los nudos, por combinación								
Referencia	Combinación		Reacciones en ejes globales					
	Tipo	Descripción	Rx (t)	Ry (t)	Rz (t)	Mx (t·m)	My (t·m)	Mz (t·m)
		1.6·PP+1.6·V(270°)H1+0.8·N(R)2	0.091	-0.011	0.445	0.026	0.275	0.000
		PP+1.6·Q	-0.236	0.012	4.214	-0.035	-0.457	0.000
		1.6·PP+1.6·Q	-0.235	0.015	4.421	-0.042	-0.451	0.000
	Tensiones sobre el terreno	PP	0.002	0.004	0.345	-0.011	0.011	0.000
		PP+V(0°)H1	0.052	-0.111	0.340	0.365	0.171	0.000
		PP+V(0°)H2	0.058	-0.127	0.332	0.414	0.189	0.000
		PP+V(90°)H1	-0.080	0.005	0.470	-0.015	-0.238	0.000
		PP+V(180°)H1	0.043	0.115	0.304	-0.373	0.144	0.000
		PP+V(180°)H2	0.049	0.137	0.276	-0.443	0.160	0.000
		PP+V(270°)H1	0.055	-0.006	0.279	0.013	0.168	0.000
		PP+N(EI)	0.005	0.006	0.337	-0.016	0.019	0.000
		PP+V(0°)H1+N(EI)	0.055	-0.109	0.331	0.360	0.179	0.000
		PP+V(0°)H2+N(EI)	0.061	-0.125	0.324	0.409	0.197	0.000
		PP+V(90°)H1+N(EI)	-0.077	0.006	0.461	-0.020	-0.230	0.000
		PP+V(180°)H1+N(EI)	0.046	0.116	0.295	-0.378	0.152	0.000
		PP+V(180°)H2+N(EI)	0.052	0.139	0.268	-0.448	0.168	0.000

Reacciones en los nudos, por combinación								
Referencia	Combinación		Reacciones en ejes globales					
	Tipo	Descripción	Rx (t)	Ry (t)	Rz (t)	Mx (t·m)	My (t·m)	Mz (t·m)
		PP+V(270°)H1+N(EI)	0.058	-0.004	0.271	0.008	0.176	0.000
		PP+N(R)1	0.004	0.009	0.335	-0.026	0.016	0.000
		PP+V(0°)H1+N(R)1	0.054	-0.106	0.329	0.350	0.176	0.000
		PP+V(0°)H2+N(R)1	0.060	-0.122	0.322	0.400	0.194	0.000
		PP+V(90°)H1+N(R)1	-0.078	0.010	0.460	-0.029	-0.233	0.000
		PP+V(180°)H1+N(R)1	0.045	0.120	0.293	-0.387	0.149	0.000
		PP+V(180°)H2+N(R)1	0.051	0.142	0.266	-0.457	0.165	0.000
		PP+V(270°)H1+N(R)1	0.057	-0.001	0.269	-0.002	0.173	0.000
		PP+N(R)2	0.005	0.001	0.343	-0.004	0.018	0.000
		PP+V(0°)H1+N(R)2	0.054	-0.114	0.337	0.372	0.178	0.000
		PP+V(0°)H2+N(R)2	0.061	-0.129	0.330	0.421	0.196	0.000
		PP+V(90°)H1+N(R)2	-0.077	0.002	0.468	-0.008	-0.231	0.000
		PP+V(180°)H1+N(R)2	0.046	0.112	0.301	-0.366	0.151	0.000
		PP+V(180°)H2+N(R)2	0.051	0.135	0.274	-0.436	0.166	0.000
		PP+V(270°)H1+N(R)2	0.058	-0.008	0.277	0.020	0.175	0.000
		PP+Q	-0.147	0.009	2.763	-0.026	-0.282	0.000

Reacciones en los nudos, por combinación								
Referencia	Combinación		Reacciones en ejes globales					
	Tipo	Descripción	Rx (t)	Ry (t)	Rz (t)	Mx (t·m)	My (t·m)	Mz (t·m)
		PP+Q+V(0°)H1	-0.097	-0.106	2.757	0.350	-0.121	0.000
		PP+Q+V(0°)H2	-0.091	-0.122	2.750	0.400	-0.103	0.000
		PP+Q+V(90°)H1	-0.229	0.010	2.888	-0.029	-0.531	0.000
		PP+Q+V(180°)H1	-0.106	0.120	2.722	-0.388	-0.149	0.000
		PP+Q+V(180°)H2	-0.100	0.142	2.694	-0.457	-0.133	0.000
		PP+Q+V(270°)H1	-0.094	-0.001	2.697	-0.002	-0.124	0.000
		PP+Q+N(EI)	-0.144	0.011	2.755	-0.031	-0.274	0.000
		PP+Q+V(0°)H1+N(EI)	-0.094	-0.104	2.749	0.345	-0.113	0.000
		PP+Q+V(0°)H2+N(EI)	-0.088	-0.120	2.742	0.395	-0.095	0.000
		PP+Q+V(90°)H1+N(EI)	-0.226	0.012	2.879	-0.034	-0.523	0.000
		PP+Q+V(180°)H1+N(EI)	-0.103	0.122	2.713	-0.393	-0.141	0.000
		PP+Q+V(180°)H2+N(EI)	-0.097	0.144	2.686	-0.462	-0.125	0.000
		PP+Q+V(270°)H1+N(EI)	-0.091	0.001	2.689	-0.007	-0.116	0.000
		PP+Q+N(R)1	-0.145	0.014	2.753	-0.041	-0.277	0.000

Reacciones en los nudos, por combinación								
Referencia	Combinación		Reacciones en ejes globales					
	Tipo	Descripción	Rx (t)	Ry (t)	Rz (t)	Mx (t·m)	My (t·m)	Mz (t·m)
		PP+Q+V(0°)H1+N(R)1	-0.095	-0.101	2.747	0.335	-0.116	0.000
		PP+Q+V(0°)H2+N(R)1	-0.089	-0.117	2.740	0.385	-0.098	0.000
		PP+Q+V(90°)H1+N(R)1	-0.227	0.015	2.877	-0.044	-0.525	0.000
		PP+Q+V(180°)H1+N(R)1	-0.104	0.125	2.711	-0.402	-0.144	0.000
		PP+Q+V(180°)H2+N(R)1	-0.098	0.147	2.684	-0.472	-0.128	0.000
		PP+Q+V(270°)H1+N(R)1	-0.092	0.004	2.687	-0.016	-0.119	0.000
		PP+Q+N(R)2	-0.144	0.007	2.761	-0.019	-0.275	0.000
		PP+Q+V(0°)H1+N(R)2	-0.095	-0.108	2.755	0.357	-0.114	0.000
		PP+Q+V(0°)H2+N(R)2	-0.089	-0.124	2.748	0.407	-0.096	0.000
		PP+Q+V(90°)H1+N(R)2	-0.227	0.007	2.886	-0.022	-0.524	0.000
		PP+Q+V(180°)H1+N(R)2	-0.103	0.117	2.719	-0.381	-0.142	0.000
		PP+Q+V(180°)H2+N(R)2	-0.098	0.140	2.692	-0.450	-0.126	0.000
		PP+Q+V(270°)H1+N(R)2	-0.091	-0.003	2.695	0.005	-0.117	0.000
N60	Hormigón en cimentaciones	PP	0.001	0.000	0.352	0.000	0.007	0.000
		1.6·PP	0.002	0.000	0.563	0.000	0.012	0.000

Reacciones en los nudos, por combinación								
Referencia	Combinación		Reacciones en ejes globales					
	Tipo	Descripción	Rx (t)	Ry (t)	Rz (t)	Mx (t·m)	My (t·m)	Mz (t·m)
		PP+1.6·V(0°)H1	0.138	-0.170	0.185	0.568	0.428	0.000
		1.6·PP+1.6·V(0°)H1	0.139	-0.170	0.396	0.568	0.433	0.000
		PP+1.6·V(0°)H2	0.146	-0.195	0.162	0.653	0.452	0.000
		1.6·PP+1.6·V(0°)H2	0.147	-0.195	0.373	0.653	0.456	0.000
		PP+1.6·V(90°)H1	-0.185	0.000	0.660	0.000	-0.551	0.000
		1.6·PP+1.6·V(90°)H1	-0.185	0.000	0.871	0.000	-0.547	0.000
		PP+1.6·V(180°)H1	0.138	0.170	0.184	-0.568	0.429	0.000
		1.6·PP+1.6·V(180°)H1	0.139	0.170	0.395	-0.568	0.433	0.000
		PP+1.6·V(180°)H2	0.146	0.195	0.162	-0.653	0.452	0.000
		1.6·PP+1.6·V(180°)H2	0.147	0.195	0.373	-0.653	0.457	0.000
		PP+1.6·V(270°)H1	0.111	0.000	0.145	0.000	0.332	0.000
		1.6·PP+1.6·V(270°)H1	0.112	0.000	0.356	0.000	0.336	0.000
		PP+1.6·N(EI)	0.005	0.000	0.342	0.000	0.018	0.000
		1.6·PP+1.6·N(EI)	0.006	0.000	0.553	0.000	0.023	0.000
		PP+0.96·V(0°)H1+1.6·N(EI)	0.087	-0.102	0.241	0.341	0.271	0.000
		1.6·PP+0.96·V(0°)H1+1.6·N(EI)	0.088	-0.102	0.452	0.341	0.275	0.000
		PP+0.96·V(0°)H2+1.6·N(EI)	0.092	-0.117	0.228	0.392	0.285	0.000

Reacciones en los nudos, por combinación								
Referencia	Combinación		Reacciones en ejes globales					
	Tipo	Descripción	Rx (t)	Ry (t)	Rz (t)	Mx (t·m)	My (t·m)	Mz (t·m)
		1.6·PP+0.96·V(0°)H2+1.6·N(EI)	0.093	-0.117	0.439	0.392	0.289	0.000
		PP+0.96·V(90°)H1+1.6·N(EI)	-0.107	0.000	0.526	0.000	-0.317	0.000
		1.6·PP+0.96·V(90°)H1+1.6·N(EI)	-0.106	0.000	0.737	0.000	-0.312	0.000
		PP+0.96·V(180°)H1+1.6·N(EI)	0.087	0.102	0.241	-0.341	0.271	0.000
		1.6·PP+0.96·V(180°)H1+1.6·N(EI)	0.088	0.102	0.452	-0.341	0.276	0.000
		PP+0.96·V(180°)H2+1.6·N(EI)	0.092	0.117	0.228	-0.392	0.285	0.000
		1.6·PP+0.96·V(180°)H2+1.6·N(EI)	0.093	0.117	0.439	-0.392	0.290	0.000
		PP+0.96·V(270°)H1+1.6·N(EI)	0.071	0.000	0.217	0.000	0.213	0.000
		1.6·PP+0.96·V(270°)H1+1.6·N(EI)	0.072	0.000	0.428	0.000	0.218	0.000
		PP+1.6·V(0°)H1+0.8·N(EI)	0.140	-0.170	0.179	0.568	0.434	0.000
		1.6·PP+1.6·V(0°)H1+0.8·N(EI)	0.141	-0.170	0.391	0.568	0.438	0.000
		PP+1.6·V(0°)H2+0.8·N(EI)	0.148	-0.195	0.157	0.653	0.457	0.000
		1.6·PP+1.6·V(0°)H2+0.8·N(EI)	0.149	-0.195	0.368	0.653	0.462	0.000
		PP+1.6·V(90°)H1+0.8·N(EI)	-0.183	0.000	0.655	0.000	-0.546	0.000
		1.6·PP+1.6·V(90°)H1+0.8·N(EI)	-0.183	0.000	0.866	0.000	-0.541	0.000
		PP+1.6·V(180°)H1+0.8·N(EI)	0.140	0.170	0.179	-0.568	0.434	0.000
		1.6·PP+1.6·V(180°)H1+0.8·N(EI)	0.141	0.170	0.390	-0.568	0.439	0.000

Reacciones en los nudos, por combinación								
Referencia	Combinación		Reacciones en ejes globales					
	Tipo	Descripción	Rx (t)	Ry (t)	Rz (t)	Mx (t·m)	My (t·m)	Mz (t·m)
		PP+1.6·V(180°)H2+0.8·N(EI)	0.148	0.195	0.157	-0.653	0.458	0.000
		1.6·PP+1.6·V(180°)H2+0.8·N(EI)	0.149	0.195	0.368	-0.653	0.462	0.000
		PP+1.6·V(270°)H1+0.8·N(EI)	0.113	0.000	0.140	0.000	0.337	0.000
		1.6·PP+1.6·V(270°)H1+0.8·N(EI)	0.114	0.000	0.351	0.000	0.342	0.000
		PP+1.6·N(R)1	0.004	0.004	0.344	-0.013	0.016	0.000
		1.6·PP+1.6·N(R)1	0.005	0.004	0.555	-0.013	0.020	0.000
		PP+0.96·V(0°)H1+1.6·N(R)1	0.086	-0.098	0.244	0.328	0.268	0.000
		1.6·PP+0.96·V(0°)H1+1.6·N(R)1	0.087	-0.098	0.455	0.328	0.273	0.000
		PP+0.96·V(0°)H2+1.6·N(R)1	0.091	-0.113	0.231	0.379	0.282	0.000
		1.6·PP+0.96·V(0°)H2+1.6·N(R)1	0.092	-0.113	0.442	0.379	0.287	0.000
		PP+0.96·V(90°)H1+1.6·N(R)1	-0.108	0.004	0.529	-0.013	-0.320	0.000
		1.6·PP+0.96·V(90°)H1+1.6·N(R)1	-0.107	0.004	0.740	-0.013	-0.315	0.000
		PP+0.96·V(180°)H1+1.6·N(R)1	0.086	0.105	0.243	-0.354	0.268	0.000
		1.6·PP+0.96·V(180°)H1+1.6·N(R)1	0.087	0.105	0.455	-0.353	0.273	0.000
		PP+0.96·V(180°)H2+1.6·N(R)1	0.091	0.120	0.230	-0.404	0.283	0.000
		1.6·PP+0.96·V(180°)H2+1.6·N(R)1	0.092	0.120	0.441	-0.404	0.287	0.000
		PP+0.96·V(270°)H1+1.6·N(R)1	0.070	0.004	0.220	-0.013	0.210	0.000

Reacciones en los nudos, por combinación								
Referencia	Combinación		Reacciones en ejes globales					
	Tipo	Descripción	Rx (t)	Ry (t)	Rz (t)	Mx (t·m)	My (t·m)	Mz (t·m)
		1.6·PP+0.96·V(270°)H1+1.6·N(R)1	0.071	0.004	0.431	-0.013	0.215	0.000
		PP+1.6·V(0°)H1+0.8·N(R)1	0.139	-0.168	0.181	0.562	0.432	0.000
		1.6·PP+1.6·V(0°)H1+0.8·N(R)1	0.140	-0.168	0.392	0.562	0.437	0.000
		PP+1.6·V(0°)H2+0.8·N(R)1	0.148	-0.193	0.159	0.647	0.456	0.000
		1.6·PP+1.6·V(0°)H2+0.8·N(R)1	0.148	-0.193	0.370	0.647	0.460	0.000
		PP+1.6·V(90°)H1+0.8·N(R)1	-0.184	0.002	0.656	-0.006	-0.547	0.000
		1.6·PP+1.6·V(90°)H1+0.8·N(R)1	-0.183	0.002	0.867	-0.006	-0.543	0.000
		PP+1.6·V(180°)H1+0.8·N(R)1	0.140	0.171	0.180	-0.574	0.433	0.000
		1.6·PP+1.6·V(180°)H1+0.8·N(R)1	0.140	0.171	0.391	-0.574	0.437	0.000
		PP+1.6·V(180°)H2+0.8·N(R)1	0.148	0.196	0.158	-0.659	0.456	0.000
		1.6·PP+1.6·V(180°)H2+0.8·N(R)1	0.149	0.196	0.369	-0.659	0.461	0.000
		PP+1.6·V(270°)H1+0.8·N(R)1	0.112	0.002	0.141	-0.006	0.336	0.000
		1.6·PP+1.6·V(270°)H1+0.8·N(R)1	0.113	0.002	0.352	-0.006	0.340	0.000
		PP+1.6·N(R)2	0.004	-0.004	0.344	0.013	0.016	0.000
		1.6·PP+1.6·N(R)2	0.005	-0.004	0.555	0.013	0.020	0.000
		PP+0.96·V(0°)H1+1.6·N(R)2	0.086	-0.105	0.244	0.354	0.268	0.000

Reacciones en los nudos, por combinación								
Referencia	Combinación		Reacciones en ejes globales					
	Tipo	Descripción	Rx (t)	Ry (t)	Rz (t)	Mx (t·m)	My (t·m)	Mz (t·m)
		1.6·PP+0.96·V(0°)H1+1.6·N(R)2	0.087	-0.105	0.455	0.354	0.273	0.000
		PP+0.96·V(0°)H2+1.6·N(R)2	0.091	-0.120	0.230	0.404	0.282	0.000
		1.6·PP+0.96·V(0°)H2+1.6·N(R)2	0.092	-0.120	0.442	0.404	0.287	0.000
		PP+0.96·V(90°)H1+1.6·N(R)2	-0.108	-0.004	0.529	0.013	-0.319	0.000
		1.6·PP+0.96·V(90°)H1+1.6·N(R)2	-0.107	-0.004	0.740	0.013	-0.315	0.000
		PP+0.96·V(180°)H1+1.6·N(R)2	0.086	0.098	0.243	-0.328	0.269	0.000
		1.6·PP+0.96·V(180°)H1+1.6·N(R)2	0.087	0.098	0.455	-0.328	0.273	0.000
		PP+0.96·V(180°)H2+1.6·N(R)2	0.091	0.113	0.230	-0.379	0.283	0.000
		1.6·PP+0.96·V(180°)H2+1.6·N(R)2	0.092	0.113	0.441	-0.379	0.287	0.000
		PP+0.96·V(270°)H1+1.6·N(R)2	0.070	-0.004	0.220	0.013	0.210	0.000
		1.6·PP+0.96·V(270°)H1+1.6·N(R)2	0.071	-0.004	0.431	0.013	0.215	0.000
		PP+1.6·V(0°)H1+0.8·N(R)2	0.139	-0.171	0.181	0.574	0.432	0.000
		1.6·PP+1.6·V(0°)H1+0.8·N(R)2	0.140	-0.171	0.392	0.574	0.437	0.000
		PP+1.6·V(0°)H2+0.8·N(R)2	0.148	-0.196	0.159	0.659	0.456	0.000
		1.6·PP+1.6·V(0°)H2+0.8·N(R)2	0.148	-0.196	0.370	0.659	0.460	0.000

Reacciones en los nudos, por combinación								
Referencia	Combinación		Reacciones en ejes globales					
	Tipo	Descripción	Rx (t)	Ry (t)	Rz (t)	Mx (t·m)	My (t·m)	Mz (t·m)
		PP+1.6·V(90°)H1+0.8·N(R)2	-0.184	-0.002	0.656	0.006	-0.547	0.000
		1.6·PP+1.6·V(90°)H1+0.8·N(R)2	-0.183	-0.002	0.867	0.006	-0.543	0.000
		PP+1.6·V(180°)H1+0.8·N(R)2	0.140	0.168	0.180	-0.562	0.433	0.000
		1.6·PP+1.6·V(180°)H1+0.8·N(R)2	0.140	0.168	0.391	-0.562	0.437	0.000
		PP+1.6·V(180°)H2+0.8·N(R)2	0.148	0.193	0.158	-0.647	0.456	0.000
		1.6·PP+1.6·V(180°)H2+0.8·N(R)2	0.149	0.193	0.369	-0.647	0.461	0.000
		PP+1.6·V(270°)H1+0.8·N(R)2	0.112	-0.002	0.141	0.006	0.336	0.000
		1.6·PP+1.6·V(270°)H1+0.8·N(R)2	0.113	-0.002	0.352	0.006	0.340	0.000
		PP+1.6·Q	-0.249	0.000	4.258	0.000	-0.495	0.000
		1.6·PP+1.6·Q	-0.248	0.000	4.469	0.000	-0.491	0.000
	Tensiones sobre el terreno	PP	0.001	0.000	0.352	0.000	0.007	0.000
		PP+V(0°)H1	0.087	-0.106	0.247	0.355	0.270	0.000
		PP+V(0°)H2	0.092	-0.122	0.233	0.408	0.285	0.000
		PP+V(90°)H1	-0.115	0.000	0.544	0.000	-0.342	0.000
		PP+V(180°)H1	0.087	0.106	0.247	-0.355	0.271	0.000
		PP+V(180°)H2	0.092	0.122	0.233	-0.408	0.285	0.000
		PP+V(270°)H1	0.070	0.000	0.222	0.000	0.210	0.000

Reacciones en los nudos, por combinación								
Referencia	Combinación		Reacciones en ejes globales					
	Tipo	Descripción	Rx (t)	Ry (t)	Rz (t)	Mx (t·m)	My (t·m)	Mz (t·m)
		PP+N(EI)	0.004	0.000	0.345	0.000	0.014	0.000
		PP+V(0°)H1+N(EI)	0.089	-0.106	0.241	0.355	0.277	0.000
		PP+V(0°)H2+N(EI)	0.094	-0.122	0.227	0.408	0.292	0.000
		PP+V(90°)H1+N(EI)	-0.113	0.000	0.538	0.000	-0.335	0.000
		PP+V(180°)H1+N(EI)	0.089	0.106	0.241	-0.355	0.278	0.000
		PP+V(180°)H2+N(EI)	0.094	0.122	0.227	-0.408	0.292	0.000
		PP+V(270°)H1+N(EI)	0.072	0.000	0.216	0.000	0.217	0.000
		PP+N(R)1	0.003	0.002	0.347	-0.008	0.013	0.000
		PP+V(0°)H1+N(R)1	0.088	-0.104	0.243	0.347	0.276	0.000
		PP+V(0°)H2+N(R)1	0.094	-0.119	0.229	0.400	0.290	0.000
		PP+V(90°)H1+N(R)1	-0.114	0.002	0.539	-0.008	-0.337	0.000
		PP+V(180°)H1+N(R)1	0.089	0.108	0.242	-0.363	0.276	0.000
		PP+V(180°)H2+N(R)1	0.094	0.124	0.228	-0.416	0.291	0.000
		PP+V(270°)H1+N(R)1	0.072	0.002	0.218	-0.008	0.215	0.000
		PP+N(R)2	0.003	-0.002	0.347	0.008	0.013	0.000
		PP+V(0°)H1+N(R)2	0.088	-0.108	0.242	0.363	0.276	0.000
		PP+V(0°)H2+N(R)2	0.094	-0.124	0.229	0.416	0.290	0.000

Reacciones en los nudos, por combinación								
Referencia	Combinación		Reacciones en ejes globales					
	Tipo	Descripción	Rx (t)	Ry (t)	Rz (t)	Mx (t·m)	My (t·m)	Mz (t·m)
		PP+V(90°)H1+N(R)2	-0.114	-0.002	0.539	0.008	-0.337	0.000
		PP+V(180°)H1+N(R)2	0.089	0.104	0.242	-0.347	0.276	0.000
		PP+V(180°)H2+N(R)2	0.094	0.119	0.228	-0.400	0.291	0.000
		PP+V(270°)H1+N(R)2	0.072	-0.002	0.218	0.008	0.215	0.000
		PP+Q	-0.155	0.000	2.793	0.000	-0.307	0.000
		PP+Q+V(0°)H1	-0.070	-0.106	2.688	0.355	-0.044	0.000
		PP+Q+V(0°)H2	-0.065	-0.122	2.674	0.408	-0.029	0.000
		PP+Q+V(90°)H1	-0.272	0.000	2.985	0.000	-0.656	0.000
		PP+Q+V(180°)H1	-0.070	0.106	2.688	-0.355	-0.043	0.000
		PP+Q+V(180°)H2	-0.065	0.122	2.674	-0.408	-0.029	0.000
		PP+Q+V(270°)H1	-0.087	0.000	2.663	0.000	-0.104	0.000
		PP+Q+N(EI)	-0.153	0.000	2.787	0.000	-0.300	0.000
		PP+Q+V(0°)H1+N(EI)	-0.067	-0.106	2.682	0.355	-0.037	0.000
		PP+Q+V(0°)H2+N(EI)	-0.062	-0.122	2.668	0.408	-0.022	0.000
		PP+Q+V(90°)H1+N(EI)	-0.269	0.000	2.979	0.000	-0.649	0.000

Reacciones en los nudos, por combinación								
Referencia	Combinación		Reacciones en ejes globales					
	Tipo	Descripción	Rx (t)	Ry (t)	Rz (t)	Mx (t·m)	My (t·m)	Mz (t·m)
		PP+Q+V(180°)H1+N(EI)	-0.067	0.106	2.682	-0.355	-0.036	0.000
		PP+Q+V(180°)H2+N(EI)	-0.062	0.122	2.668	-0.408	-0.022	0.000
		PP+Q+V(270°)H1+N(EI)	-0.084	0.000	2.657	0.000	-0.097	0.000
		PP+Q+N(R)1	-0.153	0.002	2.788	-0.008	-0.301	0.000
		PP+Q+V(0°)H1+N(R)1	-0.068	-0.104	2.684	0.347	-0.038	0.000
		PP+Q+V(0°)H2+N(R)1	-0.063	-0.119	2.670	0.400	-0.024	0.000
		PP+Q+V(90°)H1+N(R)1	-0.270	0.002	2.981	-0.008	-0.651	0.000
		PP+Q+V(180°)H1+N(R)1	-0.068	0.108	2.683	-0.363	-0.038	0.000
		PP+Q+V(180°)H2+N(R)1	-0.063	0.124	2.669	-0.416	-0.023	0.000
		PP+Q+V(270°)H1+N(R)1	-0.085	0.002	2.659	-0.008	-0.099	0.000
		PP+Q+N(R)2	-0.153	-0.002	2.788	0.008	-0.301	0.000
		PP+Q+V(0°)H1+N(R)2	-0.068	-0.108	2.684	0.363	-0.038	0.000
		PP+Q+V(0°)H2+N(R)2	-0.063	-0.124	2.670	0.416	-0.024	0.000
		PP+Q+V(90°)H1+N(R)2	-0.270	-0.002	2.981	0.008	-0.651	0.000

Reacciones en los nudos, por combinación								
Referencia	Combinación		Reacciones en ejes globales					
	Tipo	Descripción	Rx (t)	Ry (t)	Rz (t)	Mx (t·m)	My (t·m)	Mz (t·m)
		PP+Q+V(180°)H1+N(R)2	-0.068	0.104	2.683	-0.347	-0.038	0.000
		PP+Q+V(180°)H2+N(R)2	-0.063	0.119	2.669	-0.400	-0.023	0.000
		PP+Q+V(270°)H1+N(R)2	-0.085	-0.002	2.659	0.008	-0.099	0.000
N61	Hormigón en cimentaciones	PP	0.002	-0.004	0.345	0.011	0.011	0.000
		1.6·PP	0.004	-0.006	0.552	0.018	0.017	0.000
		PP+1.6·V(0°)H1	0.068	-0.181	0.279	0.590	0.223	0.000
		1.6·PP+1.6·V(0°)H1	0.069	-0.184	0.486	0.597	0.229	0.000
		PP+1.6·V(0°)H2	0.077	-0.217	0.235	0.702	0.248	0.000
		1.6·PP+1.6·V(0°)H2	0.078	-0.219	0.442	0.709	0.255	0.000
		PP+1.6·V(90°)H1	-0.129	-0.005	0.545	0.017	-0.387	0.000
		1.6·PP+1.6·V(90°)H1	-0.128	-0.008	0.752	0.023	-0.381	0.000
		PP+1.6·V(180°)H1	0.082	0.180	0.336	-0.591	0.268	0.000
		1.6·PP+1.6·V(180°)H1	0.083	0.178	0.543	-0.584	0.274	0.000
		PP+1.6·V(180°)H2	0.092	0.206	0.324	-0.670	0.297	0.000
		1.6·PP+1.6·V(180°)H2	0.093	0.203	0.531	-0.663	0.304	0.000
		PP+1.6·V(270°)H1	0.087	0.012	0.240	-0.028	0.263	0.000

Reacciones en los nudos, por combinación								
Referencia	Combinación		Reacciones en ejes globales					
	Tipo	Descripción	Rx (t)	Ry (t)	Rz (t)	Mx (t·m)	My (t·m)	Mz (t·m)
		1.6·PP+1.6·V(270°)H1	0.089	0.009	0.447	-0.021	0.269	0.000
		PP+1.6·N(EI)	0.007	-0.007	0.331	0.020	0.024	0.000
		1.6·PP+1.6·N(EI)	0.008	-0.009	0.538	0.026	0.030	0.000
		PP+0.96·V(0°)H1+1.6·N(EI)	0.046	-0.113	0.291	0.367	0.151	0.000
		1.6·PP+0.96·V(0°)H1+1.6·N(EI)	0.048	-0.115	0.498	0.374	0.158	0.000
		PP+0.96·V(0°)H2+1.6·N(EI)	0.051	-0.134	0.265	0.434	0.166	0.000
		1.6·PP+0.96·V(0°)H2+1.6·N(EI)	0.053	-0.137	0.472	0.441	0.173	0.000
		PP+0.96·V(90°)H1+1.6·N(EI)	-0.072	-0.007	0.451	0.023	-0.215	0.000
		1.6·PP+0.96·V(90°)H1+1.6·N(EI)	-0.071	-0.010	0.658	0.029	-0.209	0.000
		PP+0.96·V(180°)H1+1.6·N(EI)	0.055	0.104	0.326	-0.342	0.178	0.000
		1.6·PP+0.96·V(180°)H1+1.6·N(EI)	0.056	0.102	0.533	-0.335	0.184	0.000
		PP+0.96·V(180°)H2+1.6·N(EI)	0.061	0.119	0.319	-0.389	0.196	0.000
		1.6·PP+0.96·V(180°)H2+1.6·N(EI)	0.062	0.117	0.526	-0.383	0.202	0.000
		PP+0.96·V(270°)H1+1.6·N(EI)	0.058	0.003	0.268	-0.004	0.175	0.000
		1.6·PP+0.96·V(270°)H1+1.6·N(EI)	0.059	0.000	0.475	0.003	0.181	0.000
		PP+1.6·V(0°)H1+0.8·N(EI)	0.070	-0.183	0.272	0.594	0.230	0.000
		1.6·PP+1.6·V(0°)H1+0.8·N(EI)	0.071	-0.185	0.479	0.601	0.236	0.000

Reacciones en los nudos, por combinación								
Referencia	Combinación		Reacciones en ejes globales					
	Tipo	Descripción	Rx (t)	Ry (t)	Rz (t)	Mx (t·m)	My (t·m)	Mz (t·m)
		PP+1.6·V(0°)H2+0.8·N(EI)	0.079	-0.218	0.228	0.706	0.255	0.000
		1.6·PP+1.6·V(0°)H2+0.8·N(EI)	0.080	-0.221	0.435	0.713	0.261	0.000
		PP+1.6·V(90°)H1+0.8·N(EI)	-0.127	-0.007	0.538	0.021	-0.381	0.000
		1.6·PP+1.6·V(90°)H1+0.8·N(EI)	-0.126	-0.009	0.745	0.027	-0.375	0.000
		PP+1.6·V(180°)H1+0.8·N(EI)	0.084	0.179	0.329	-0.587	0.274	0.000
		1.6·PP+1.6·V(180°)H1+0.8·N(EI)	0.085	0.177	0.536	-0.580	0.281	0.000
		PP+1.6·V(180°)H2+0.8·N(EI)	0.094	0.204	0.317	-0.666	0.304	0.000
		1.6·PP+1.6·V(180°)H2+0.8·N(EI)	0.096	0.202	0.524	-0.659	0.310	0.000
		PP+1.6·V(270°)H1+0.8·N(EI)	0.089	0.010	0.233	-0.024	0.269	0.000
		1.6·PP+1.6·V(270°)H1+0.8·N(EI)	0.091	0.008	0.440	-0.017	0.275	0.000
		PP+1.6·N(R)1	0.006	0.000	0.341	0.000	0.022	0.000
		1.6·PP+1.6·N(R)1	0.008	-0.002	0.549	0.007	0.028	0.000
		PP+0.96·V(0°)H1+1.6·N(R)1	0.045	-0.106	0.301	0.347	0.149	0.000
		1.6·PP+0.96·V(0°)H1+1.6·N(R)1	0.047	-0.109	0.509	0.354	0.156	0.000
		PP+0.96·V(0°)H2+1.6·N(R)1	0.051	-0.128	0.275	0.414	0.165	0.000
		1.6·PP+0.96·V(0°)H2+1.6·N(R)1	0.052	-0.130	0.482	0.421	0.171	0.000
		PP+0.96·V(90°)H1+1.6·N(R)1	-0.073	-0.001	0.461	0.003	-0.217	0.000

Reacciones en los nudos, por combinación								
Referencia	Combinación		Reacciones en ejes globales					
	Tipo	Descripción	Rx (t)	Ry (t)	Rz (t)	Mx (t·m)	My (t·m)	Mz (t·m)
		1.6·PP+0.96·V(90°)H1+1.6·N(R)1	-0.071	-0.003	0.668	0.010	-0.211	0.000
		PP+0.96·V(180°)H1+1.6·N(R)1	0.054	0.111	0.336	-0.361	0.176	0.000
		1.6·PP+0.96·V(180°)H1+1.6·N(R)1	0.055	0.108	0.543	-0.354	0.182	0.000
		PP+0.96·V(180°)H2+1.6·N(R)1	0.060	0.126	0.329	-0.409	0.194	0.000
		1.6·PP+0.96·V(180°)H2+1.6·N(R)1	0.061	0.123	0.536	-0.402	0.200	0.000
		PP+0.96·V(270°)H1+1.6·N(R)1	0.057	0.009	0.278	-0.023	0.173	0.000
		1.6·PP+0.96·V(270°)H1+1.6·N(R)1	0.058	0.007	0.485	-0.016	0.179	0.000
		PP+1.6·V(0°)H1+0.8·N(R)1	0.070	-0.179	0.277	0.584	0.229	0.000
		1.6·PP+1.6·V(0°)H1+0.8·N(R)1	0.071	-0.182	0.484	0.591	0.235	0.000
		PP+1.6·V(0°)H2+0.8·N(R)1	0.079	-0.215	0.233	0.696	0.254	0.000
		1.6·PP+1.6·V(0°)H2+0.8·N(R)1	0.080	-0.217	0.440	0.703	0.260	0.000
		PP+1.6·V(90°)H1+0.8·N(R)1	-0.127	-0.003	0.543	0.011	-0.382	0.000
		1.6·PP+1.6·V(90°)H1+0.8·N(R)1	-0.126	-0.006	0.750	0.018	-0.375	0.000
		PP+1.6·V(180°)H1+0.8·N(R)1	0.084	0.182	0.334	-0.596	0.273	0.000
		1.6·PP+1.6·V(180°)H1+0.8·N(R)1	0.085	0.180	0.541	-0.589	0.280	0.000
		PP+1.6·V(180°)H2+0.8·N(R)1	0.094	0.208	0.322	-0.676	0.303	0.000
		1.6·PP+1.6·V(180°)H2+0.8·N(R)1	0.095	0.205	0.529	-0.669	0.309	0.000

Reacciones en los nudos, por combinación								
Referencia	Combinación		Reacciones en ejes globales					
	Tipo	Descripción	Rx (t)	Ry (t)	Rz (t)	Mx (t·m)	My (t·m)	Mz (t·m)
		PP+1.6·V(270°)H1+0.8·N(R)1	0.089	0.014	0.238	-0.033	0.268	0.000
		1.6·PP+1.6·V(270°)H1+0.8·N(R)1	0.091	0.011	0.445	-0.026	0.275	0.000
		PP+1.6·N(R)2	0.005	-0.012	0.328	0.035	0.019	0.000
		1.6·PP+1.6·N(R)2	0.007	-0.014	0.535	0.042	0.025	0.000
		PP+0.96·V(0°)H1+1.6·N(R)2	0.045	-0.118	0.288	0.382	0.146	0.000
		1.6·PP+0.96·V(0°)H1+1.6·N(R)2	0.046	-0.121	0.495	0.389	0.153	0.000
		PP+0.96·V(0°)H2+1.6·N(R)2	0.050	-0.140	0.262	0.449	0.162	0.000
		1.6·PP+0.96·V(0°)H2+1.6·N(R)2	0.051	-0.142	0.469	0.456	0.168	0.000
		PP+0.96·V(90°)H1+1.6·N(R)2	-0.074	-0.013	0.448	0.038	-0.220	0.000
		1.6·PP+0.96·V(90°)H1+1.6·N(R)2	-0.072	-0.015	0.655	0.045	-0.213	0.000
		PP+0.96·V(180°)H1+1.6·N(R)2	0.053	0.099	0.322	-0.327	0.173	0.000
		1.6·PP+0.96·V(180°)H1+1.6·N(R)2	0.054	0.096	0.530	-0.320	0.180	0.000
		PP+0.96·V(180°)H2+1.6·N(R)2	0.059	0.114	0.316	-0.374	0.191	0.000
		1.6·PP+0.96·V(180°)H2+1.6·N(R)2	0.060	0.112	0.523	-0.367	0.197	0.000
		PP+0.96·V(270°)H1+1.6·N(R)2	0.056	-0.002	0.265	0.011	0.170	0.000
		1.6·PP+0.96·V(270°)H1+1.6·N(R)2	0.058	-0.005	0.472	0.018	0.177	0.000

Reacciones en los nudos, por combinación								
Referencia	Combinación		Reacciones en ejes globales					
	Tipo	Descripción	Rx (t)	Ry (t)	Rz (t)	Mx (t·m)	My (t·m)	Mz (t·m)
		PP+1.6·V(0°)H1+0.8·N(R)2	0.069	-0.185	0.270	0.602	0.227	0.000
		1.6·PP+1.6·V(0°)H1+0.8·N(R)2	0.071	-0.188	0.477	0.609	0.234	0.000
		PP+1.6·V(0°)H2+0.8·N(R)2	0.078	-0.221	0.226	0.713	0.253	0.000
		1.6·PP+1.6·V(0°)H2+0.8·N(R)2	0.080	-0.223	0.434	0.720	0.259	0.000
		PP+1.6·V(90°)H1+0.8·N(R)2	-0.128	-0.009	0.536	0.028	-0.383	0.000
		1.6·PP+1.6·V(90°)H1+0.8·N(R)2	-0.126	-0.011	0.744	0.035	-0.377	0.000
		PP+1.6·V(180°)H1+0.8·N(R)2	0.083	0.176	0.327	-0.579	0.272	0.000
		1.6·PP+1.6·V(180°)H1+0.8·N(R)2	0.085	0.174	0.534	-0.572	0.278	0.000
		PP+1.6·V(180°)H2+0.8·N(R)2	0.093	0.202	0.316	-0.659	0.301	0.000
		1.6·PP+1.6·V(180°)H2+0.8·N(R)2	0.095	0.199	0.523	-0.652	0.308	0.000
		PP+1.6·V(270°)H1+0.8·N(R)2	0.089	0.008	0.231	-0.016	0.267	0.000
		1.6·PP+1.6·V(270°)H1+0.8·N(R)2	0.090	0.005	0.438	-0.009	0.273	0.000
		PP+1.6·Q	-0.236	-0.012	4.214	0.035	-0.457	0.000
		1.6·PP+1.6·Q	-0.235	-0.015	4.421	0.042	-0.451	0.000
	Tensiones sobre el terreno	PP	0.002	-0.004	0.345	0.011	0.011	0.000
		PP+V(0°)H1	0.043	-0.115	0.304	0.373	0.143	0.000

Reacciones en los nudos, por combinación								
Referencia	Combinación		Reacciones en ejes globales					
	Tipo	Descripción	Rx (t)	Ry (t)	Rz (t)	Mx (t·m)	My (t·m)	Mz (t·m)
		PP+V(0°)H2	0.049	-0.137	0.276	0.443	0.159	0.000
		PP+V(90°)H1	-0.080	-0.005	0.470	0.015	-0.238	0.000
		PP+V(180°)H1	0.052	0.111	0.339	-0.365	0.171	0.000
		PP+V(180°)H2	0.058	0.127	0.332	-0.415	0.190	0.000
		PP+V(270°)H1	0.055	0.006	0.279	-0.013	0.168	0.000
		PP+N(EI)	0.005	-0.006	0.337	0.016	0.019	0.000
		PP+V(0°)H1+N(EI)	0.046	-0.116	0.295	0.378	0.152	0.000
		PP+V(0°)H2+N(EI)	0.052	-0.139	0.268	0.448	0.167	0.000
		PP+V(90°)H1+N(EI)	-0.077	-0.006	0.461	0.020	-0.230	0.000
		PP+V(180°)H1+N(EI)	0.055	0.110	0.331	-0.360	0.179	0.000
		PP+V(180°)H2+N(EI)	0.061	0.125	0.323	-0.410	0.198	0.000
		PP+V(270°)H1+N(EI)	0.058	0.004	0.271	-0.008	0.176	0.000
		PP+N(R)1	0.005	-0.001	0.343	0.004	0.018	0.000
		PP+V(0°)H1+N(R)1	0.046	-0.112	0.301	0.366	0.150	0.000
		PP+V(0°)H2+N(R)1	0.051	-0.135	0.274	0.436	0.166	0.000
		PP+V(90°)H1+N(R)1	-0.077	-0.002	0.468	0.008	-0.231	0.000
		PP+V(180°)H1+N(R)1	0.054	0.114	0.337	-0.372	0.178	0.000

Reacciones en los nudos, por combinación								
Referencia	Combinación		Reacciones en ejes globales					
	Tipo	Descripción	Rx (t)	Ry (t)	Rz (t)	Mx (t·m)	My (t·m)	Mz (t·m)
		PP+V(180°)H2+N(R)1	0.061	0.129	0.330	-0.422	0.197	0.000
		PP+V(270°)H1+N(R)1	0.058	0.008	0.277	-0.020	0.175	0.000
		PP+N(R)2	0.004	-0.009	0.335	0.026	0.016	0.000
		PP+V(0°)H1+N(R)2	0.045	-0.120	0.293	0.388	0.149	0.000
		PP+V(0°)H2+N(R)2	0.051	-0.142	0.266	0.457	0.165	0.000
		PP+V(90°)H1+N(R)2	-0.078	-0.010	0.459	0.029	-0.233	0.000
		PP+V(180°)H1+N(R)2	0.054	0.106	0.329	-0.350	0.177	0.000
		PP+V(180°)H2+N(R)2	0.060	0.122	0.321	-0.400	0.195	0.000
		PP+V(270°)H1+N(R)2	0.057	0.001	0.269	0.002	0.173	0.000
		PP+Q	-0.147	-0.009	2.763	0.026	-0.282	0.000
		PP+Q+V(0°)H1	-0.106	-0.120	2.722	0.388	-0.149	0.000
		PP+Q+V(0°)H2	-0.100	-0.142	2.694	0.458	-0.133	0.000
		PP+Q+V(90°)H1	-0.229	-0.010	2.888	0.029	-0.530	0.000
		PP+Q+V(180°)H1	-0.097	0.106	2.757	-0.350	-0.121	0.000
		PP+Q+V(180°)H2	-0.091	0.122	2.750	-0.400	-0.103	0.000
		PP+Q+V(270°)H1	-0.094	0.001	2.697	0.002	-0.124	0.000

Reacciones en los nudos, por combinación								
Referencia	Combinación		Reacciones en ejes globales					
	Tipo	Descripción	Rx (t)	Ry (t)	Rz (t)	Mx (t·m)	My (t·m)	Mz (t·m)
		PP+Q+N(EI)	-0.144	-0.011	2.754	0.031	-0.274	0.000
		PP+Q+V(0°)H1+N(EI)	-0.103	-0.122	2.713	0.393	-0.141	0.000
		PP+Q+V(0°)H2+N(EI)	-0.098	-0.144	2.685	0.463	-0.125	0.000
		PP+Q+V(90°)H1+N(EI)	-0.226	-0.012	2.879	0.034	-0.522	0.000
		PP+Q+V(180°)H1+N(EI)	-0.094	0.104	2.748	-0.345	-0.113	0.000
		PP+Q+V(180°)H2+N(EI)	-0.088	0.120	2.741	-0.395	-0.094	0.000
		PP+Q+V(270°)H1+N(EI)	-0.091	-0.001	2.688	0.007	-0.116	0.000
		PP+Q+N(R)1	-0.144	-0.007	2.761	0.019	-0.275	0.000
		PP+Q+V(0°)H1+N(R)1	-0.104	-0.118	2.719	0.381	-0.142	0.000
		PP+Q+V(0°)H2+N(R)1	-0.098	-0.140	2.692	0.451	-0.126	0.000
		PP+Q+V(90°)H1+N(R)1	-0.227	-0.008	2.886	0.022	-0.524	0.000
		PP+Q+V(180°)H1+N(R)1	-0.095	0.108	2.755	-0.357	-0.114	0.000
		PP+Q+V(180°)H2+N(R)1	-0.088	0.124	2.748	-0.407	-0.096	0.000
		PP+Q+V(270°)H1+N(R)1	-0.091	0.003	2.695	-0.005	-0.117	0.000

Reacciones en los nudos, por combinación								
Referencia	Combinación		Reacciones en ejes globales					
	Tipo	Descripción	Rx (t)	Ry (t)	Rz (t)	Mx (t·m)	My (t·m)	Mz (t·m)
		PP+Q+N(R)2	-0.145	-0.014	2.752	0.041	-0.276	0.000
		PP+Q+V(0°)H1+N(R)2	-0.104	-0.125	2.711	0.402	-0.144	0.000
		PP+Q+V(0°)H2+N(R)2	-0.098	-0.147	2.684	0.472	-0.128	0.000
		PP+Q+V(90°)H1+N(R)2	-0.227	-0.015	2.877	0.044	-0.525	0.000
		PP+Q+V(180°)H1+N(R)2	-0.095	0.101	2.747	-0.336	-0.116	0.000
		PP+Q+V(180°)H2+N(R)2	-0.089	0.117	2.739	-0.385	-0.097	0.000
		PP+Q+V(270°)H1+N(R)2	-0.092	-0.004	2.687	0.016	-0.119	0.000

6.2 ENVOLVENTES

Envolventes de las reacciones en nudos								
Referencia	Combinación		Reacciones en ejes globales					
	Tipo	Descripción	Rx (t)	Ry (t)	Rz (t)	Mx (t·m)	My (t·m)	Mz (t·m)
N1	Hormigón en cimentaciones	Valor mínimo de la envolvente	-4.187	-2.118	-4.778	-5.785	-2.237	-0.001
		Valor máximo de la envolvente	1.611	1.669	6.607	6.274	1.927	0.001
	Tensiones sobre el terreno	Valor mínimo de la envolvente	-2.710	-1.351	-2.376	-3.686	-1.392	0.000
		Valor máximo de la envolvente	1.078	1.056	5.859	3.997	1.311	0.000
N3	Hormigón en cimentaciones	Valor mínimo de la envolvente	-4.188	-1.669	-4.780	-6.277	-2.237	-0.001
		Valor máximo de la envolvente	1.612	2.119	6.612	5.781	1.931	0.001

Envolventes de las reacciones en nudos								
Referencia	Combinación		Reacciones en ejes globales					
	Tipo	Descripción	Rx (t)	Ry (t)	Rz (t)	Mx (t·m)	My (t·m)	Mz (t·m)
	Tensiones sobre el terreno	Valor mínimo de la envolvente	-2.704	-1.055	-2.374	-4.002	-1.391	0.000
		Valor máximo de la envolvente	1.080	1.352	5.872	3.684	1.316	0.000
N6	Hormigón en cimentaciones	Valor mínimo de la envolvente	-0.354	-2.712	-5.886	-5.476	-1.301	0.000
		Valor máximo de la envolvente	3.106	2.003	10.137	6.347	1.175	0.001
	Tensiones sobre el terreno	Valor mínimo de la envolvente	-0.330	-1.778	-2.659	-3.457	-1.066	0.000
		Valor máximo de la envolvente	1.950	1.264	8.025	4.002	0.738	0.001
N8	Hormigón en cimentaciones	Valor mínimo de la envolvente	-0.355	-2.002	-5.883	-6.341	-1.302	-0.001
		Valor máximo de la envolvente	3.109	2.708	10.111	5.470	1.176	0.000
	Tensiones sobre el terreno	Valor mínimo de la envolvente	-0.330	-1.264	-2.659	-3.997	-1.064	-0.001
		Valor máximo de la envolvente	1.953	1.775	7.997	3.454	0.739	0.000
N11	Hormigón en cimentaciones	Valor mínimo de la envolvente	-0.198	-3.890	-1.320	-20.173	-0.936	-0.002
		Valor máximo de la envolvente	0.184	5.678	9.170	11.531	0.894	0.001
	Tensiones sobre el terreno	Valor mínimo de la envolvente	-0.152	-1.895	0.425	-18.372	-0.688	-0.002
		Valor máximo de la envolvente	0.111	5.275	7.708	5.408	0.549	0.001
N13	Hormigón en cimentaciones	Valor mínimo de la envolvente	-0.198	-5.672	-1.319	-11.535	-0.935	-0.001
		Valor máximo de la envolvente	0.184	3.891	9.162	20.139	0.893	0.002
	Tensiones sobre el terreno	Valor mínimo de la envolvente	-0.151	-5.267	0.424	-5.417	-0.685	-0.001
		Valor máximo de la envolvente	0.111	1.897	7.699	18.327	0.549	0.002
N16	Hormigón en cimentaciones	Valor mínimo de la envolvente	-0.199	-4.092	-0.594	-22.984	-0.939	-0.001
		Valor máximo de la envolvente	0.193	6.379	9.865	12.470	0.921	0.001
	Tensiones sobre el terreno	Valor mínimo de la envolvente	-0.144	-1.930	0.965	-21.155	-0.672	-0.001
		Valor máximo de la envolvente	0.119	5.993	8.233	5.664	0.569	0.000

Envolventes de las reacciones en nudos								
Referencia	Combinación		Reacciones en ejes globales					
	Tipo	Descripción	Rx (t)	Ry (t)	Rz (t)	Mx (t·m)	My (t·m)	Mz (t·m)
N18	Hormigón en cimentaciones	Valor mínimo de la envolvente	-0.196	-6.285	-0.590	-12.362	-0.932	-0.001
		Valor máximo de la envolvente	0.192	4.066	9.831	22.517	0.917	0.001
	Tensiones sobre el terreno	Valor mínimo de la envolvente	-0.139	-5.893	0.964	-5.663	-0.657	0.000
		Valor máximo de la envolvente	0.119	1.927	8.216	20.649	0.570	0.001
N21	Hormigón en cimentaciones	Valor mínimo de la envolvente	-0.188	-3.877	-1.227	-21.106	-0.910	-0.002
		Valor máximo de la envolvente	0.194	5.587	9.030	11.815	0.920	0.001
	Tensiones sobre el terreno	Valor mínimo de la envolvente	-0.129	-1.899	0.471	-19.311	-0.636	-0.002
		Valor máximo de la envolvente	0.122	5.164	7.581	5.457	0.574	0.001
N23	Hormigón en cimentaciones	Valor mínimo de la envolvente	-0.188	-5.809	-1.266	-11.727	-0.909	-0.001
		Valor máximo de la envolvente	0.194	3.933	9.306	20.485	0.920	0.002
	Tensiones sobre el terreno	Valor mínimo de la envolvente	-0.129	-5.401	0.480	-5.503	-0.635	-0.001
		Valor máximo de la envolvente	0.122	1.903	7.792	18.603	0.575	0.002
N26	Hormigón en cimentaciones	Valor mínimo de la envolvente	-2.240	-3.061	-4.105	-10.794	-0.894	-0.003
		Valor máximo de la envolvente	0.173	3.437	6.118	7.620	0.867	0.001
	Tensiones sobre el terreno	Valor mínimo de la envolvente	-1.619	-1.658	-1.669	-9.149	-0.631	-0.003
		Valor máximo de la envolvente	0.109	2.924	5.363	3.962	0.540	0.001
N28	Hormigón en cimentaciones	Valor mínimo de la envolvente	-2.238	-3.429	-4.107	-7.573	-0.897	-0.001
		Valor máximo de la envolvente	0.172	3.049	6.142	10.595	0.869	0.002
	Tensiones sobre el terreno	Valor mínimo de la envolvente	-1.616	-2.901	-1.667	-3.961	-0.640	-0.001
		Valor máximo de la envolvente	0.108	1.656	5.387	8.933	0.540	0.002
N31	Hormigón en cimentaciones	Valor mínimo de la envolvente	-2.252	-2.323	-3.981	-7.213	-3.548	-0.002
		Valor máximo de la envolvente	3.547	2.051	4.729	7.182	2.887	0.003

Envolventes de las reacciones en nudos								
Referencia	Combinación		Reacciones en ejes globales					
	Tipo	Descripción	Rx (t)	Ry (t)	Rz (t)	Mx (t·m)	My (t·m)	Mz (t·m)
	Tensiones sobre el terreno	Valor mínimo de la envolvente	-1.423	-1.436	-1.961	-4.825	-2.299	-0.002
		Valor máximo de la envolvente	2.192	1.376	3.755	4.465	1.787	0.001
N33	Hormigón en cimentaciones	Valor mínimo de la envolvente	-2.251	-2.007	-3.967	-7.321	-3.542	-0.003
		Valor máximo de la envolvente	3.545	2.356	4.704	7.020	2.885	0.002
	Tensiones sobre el terreno	Valor mínimo de la envolvente	-1.421	-1.324	-1.964	-4.601	-2.292	-0.001
		Valor máximo de la envolvente	2.192	1.468	3.700	4.602	1.788	0.002
N36	Hormigón en cimentaciones	Valor mínimo de la envolvente	-4.548	-0.334	-0.108	-1.402	-8.942	-0.004
		Valor máximo de la envolvente	3.614	0.331	8.127	1.389	8.211	0.003
	Tensiones sobre el terreno	Valor mínimo de la envolvente	-2.874	-0.412	0.684	-0.899	-5.674	-0.002
		Valor máximo de la envolvente	2.249	0.211	6.088	1.278	5.144	0.002
N38	Hormigón en cimentaciones	Valor mínimo de la envolvente	-4.463	-0.496	-0.103	-1.761	-10.245	0.000
		Valor máximo de la envolvente	4.086	0.510	18.186	1.714	10.362	0.000
	Tensiones sobre el terreno	Valor mínimo de la envolvente	-2.801	-0.315	1.598	-1.141	-6.371	0.000
		Valor máximo de la envolvente	2.550	0.330	12.987	1.089	6.510	0.000
N39	Hormigón en cimentaciones	Valor mínimo de la envolvente	-4.547	-0.324	-0.103	-1.433	-8.944	-0.003
		Valor máximo de la envolvente	3.614	0.345	8.094	1.370	8.210	0.004
	Tensiones sobre el terreno	Valor mínimo de la envolvente	-2.874	-0.204	0.683	-1.330	-5.674	-0.002
		Valor máximo de la envolvente	2.249	0.424	6.061	0.867	5.144	0.002
N44	Hormigón en cimentaciones	Valor mínimo de la envolvente	-3.596	-0.469	-0.479	-1.692	-8.036	-0.001
		Valor máximo de la envolvente	4.539	0.473	9.939	1.689	9.193	0.001
	Tensiones sobre el terreno	Valor mínimo de la envolvente	-2.227	-0.299	0.454	-1.080	-4.936	0.000
		Valor máximo de la envolvente	3.373	0.302	7.514	1.081	6.927	0.000

Envolventes de las reacciones en nudos								
Referencia	Combinación		Reacciones en ejes globales					
	Tipo	Descripción	Rx (t)	Ry (t)	Rz (t)	Mx (t·m)	My (t·m)	Mz (t·m)
N46	Hormigón en cimentaciones	Valor mínimo de la envolvente	-4.068	-0.504	-1.912	-1.755	-10.018	0.000
		Valor máximo de la envolvente	4.442	0.504	15.588	1.754	10.226	0.000
	Tensiones sobre el terreno	Valor mínimo de la envolvente	-2.535	-0.322	0.345	-1.122	-6.209	0.000
		Valor máximo de la envolvente	3.215	0.322	11.303	1.120	7.236	0.000
N47	Hormigón en cimentaciones	Valor mínimo de la envolvente	-3.596	-0.472	-0.479	-1.691	-8.036	-0.001
		Valor máximo de la envolvente	4.539	0.469	9.938	1.691	9.187	0.001
	Tensiones sobre el terreno	Valor mínimo de la envolvente	-2.227	-0.302	0.454	-1.082	-4.937	0.000
		Valor máximo de la envolvente	3.373	0.300	7.512	1.079	6.922	0.000
N59	Hormigón en cimentaciones	Valor mínimo de la envolvente	-0.236	-0.207	0.226	-0.720	-0.457	0.000
		Valor máximo de la envolvente	0.095	0.223	4.421	0.676	0.309	0.000
	Tensiones sobre el terreno	Valor mínimo de la envolvente	-0.229	-0.129	0.266	-0.472	-0.531	0.000
		Valor máximo de la envolvente	0.061	0.147	2.888	0.421	0.197	0.000
N60	Hormigón en cimentaciones	Valor mínimo de la envolvente	-0.249	-0.196	0.140	-0.659	-0.551	0.000
		Valor máximo de la envolvente	0.149	0.196	4.469	0.659	0.462	0.000
	Tensiones sobre el terreno	Valor mínimo de la envolvente	-0.272	-0.124	0.216	-0.416	-0.656	0.000
		Valor máximo de la envolvente	0.094	0.124	2.985	0.416	0.292	0.000
N61	Hormigón en cimentaciones	Valor mínimo de la envolvente	-0.236	-0.223	0.226	-0.676	-0.457	0.000
		Valor máximo de la envolvente	0.096	0.208	4.421	0.720	0.310	0.000
	Tensiones sobre el terreno	Valor mínimo de la envolvente	-0.229	-0.147	0.266	-0.422	-0.530	0.000
		Valor máximo de la envolvente	0.061	0.129	2.888	0.472	0.198	0.000

Nota: Las combinaciones de hormigón indicadas son las mismas que se utilizan para comprobar el estado límite de equilibrio en la cimentación.

7 COMPROBACIÓN ZAPATAS

Únicamente se adjunta una comprobación de cada Zapata tipo para no alargar en exceso el anejo.

7.1 DESCRIPCIÓN DE ELEMENTOS DE CIMENTACIÓN AISLADOS

Referencias	Geometría	Armado
N3, N8, N13, N18, N23, N28, N33, N36, N38, N39, N31, N26, N21, N16, N11, N6, N44, N46, N47 y N1	Zapata cuadrada Anchura: 280 cm Canto: 80 cm	Sup X: 14Ø16c/20 Sup Y: 14Ø16c/20 Inf X: 14Ø16c/20 Inf Y: 14Ø16c/20
N59, N60 y N61	Zapata cuadrada Anchura: 120 cm Canto: 40 cm	Sup X: 6Ø12c/20 Sup Y: 6Ø12c/20 Inf X: 6Ø12c/20 Inf Y: 6Ø12c/20

7.2 ZAPATAS EXTERIORES

Referencia: N3

Dimensiones: 280 x 280 x 80

Armados: Xi:Ø16c/20 Yi:Ø16c/20 Xs:Ø16c/20 Ys:Ø16c/20

Comprobación	Valores	Estado
Tensiones sobre el terreno: *Criterio de CYPE*		
- Tensión media en situaciones persistentes:	Máximo: 2 kp/cm² Calculado: 0.274 kp/cm²	Cumple
- Tensión máxima en situaciones persistentes sin viento:	Máximo: 2.5 kp/cm² Calculado: 0.251 kp/cm²	Cumple
- Tensión máxima en situaciones persistentes con viento:	Máximo: 2.5 kp/cm² Calculado: 0.434 kp/cm²	Cumple
Vuelco de la zapata: *Si el % de reserva de seguridad es mayor que cero, quiere decir que los coeficientes de seguridad al vuelco son mayores que los valores estrictos exigidos para todas las combinaciones de equilibrio.*		

Referencia: N3

Dimensiones: 280 x 280 x 80

Armados: Xi:Ø16c/20 Yi:Ø16c/20 Xs:Ø16c/20 Ys:Ø16c/20

Comprobación	Valores	Estado
- En dirección X:	Reserva seguridad: 173.1 %	Cumple
- En dirección Y:	Reserva seguridad: 190.7 %	Cumple
Flexión en la zapata:		
- En dirección X:	Momento: -3.27 t·m	Cumple
- En dirección Y:	Momento: 3.82 t·m	Cumple
Cortante en la zapata:		
- En dirección X:	Cortante: 2.23 t	Cumple
- En dirección Y:	Cortante: 2.70 t	Cumple
Compresión oblicua en la zapata: - Situaciones persistentes: *Criterio de CYPE*	Máximo: 509.68 t/m² Calculado: 4.25 t/m²	Cumple
Canto mínimo: *Criterio de CYPE*	Mínimo: 15 cm Calculado: 80 cm	Cumple
Espacio para anclar arranques en cimentación: - N3:	Mínimo: 70 cm Calculado: 73 cm	Cumple
Cuantía geométrica mínima: *Norma Código Estructural. Artículo A19.9.2.1.1*	Mínimo: 0.0012	
- Armado inferior dirección X:	Calculado: 0.0013	Cumple
- Armado superior dirección X:	Calculado: 0.0013	Cumple
- Armado inferior dirección Y:	Calculado: 0.0013	Cumple

Referencia: N3 Dimensiones: 280 x 280 x 80 Armados: Xi:Ø16c/20 Yi:Ø16c/20 Xs:Ø16c/20 Ys:Ø16c/20		
Comprobación	Valores	Estado
- Armado superior dirección Y:	Calculado: 0.0013	Cumple
Diámetro mínimo de las barras: *Norma Código Estructural. Artículo A19.9.8.2.1*	Mínimo: 12 mm	
- Parrilla inferior:	Calculado: 16 mm	Cumple
- Parrilla superior:	Calculado: 16 mm	Cumple
Separación máxima entre barras: *Criterio de CYPE*	Máximo: 30 cm	
- Armado inferior dirección X:	Calculado: 20 cm	Cumple
- Armado inferior dirección Y:	Calculado: 20 cm	Cumple
- Armado superior dirección X:	Calculado: 20 cm	Cumple
- Armado superior dirección Y:	Calculado: 20 cm	Cumple
Separación mínima entre barras: *Criterio de CYPE*	Mínimo: 10 cm	
- Armado inferior dirección X:	Calculado: 20 cm	Cumple
- Armado inferior dirección Y:	Calculado: 20 cm	Cumple
- Armado superior dirección X:	Calculado: 20 cm	Cumple
- Armado superior dirección Y:	Calculado: 20 cm	Cumple
Longitud de anclaje: *49.5*	Calculado: 46 cm	
- Armado inf. dirección X hacia der:	Mínimo: 16 cm	Cumple

Referencia: N3 Dimensiones: 280 x 280 x 80 Armados: Xi:Ø16c/20 Yi:Ø16c/20 Xs:Ø16c/20 Ys:Ø16c/20		
Comprobación	Valores	Estado
- Armado inf. dirección X hacia izq:	Mínimo: 16 cm	Cumple
- Armado inf. dirección Y hacia arriba:	Mínimo: 16 cm	Cumple
- Armado inf. dirección Y hacia abajo:	Mínimo: 16 cm	Cumple
- Armado sup. dirección X hacia der:	Mínimo: 19 cm	Cumple
- Armado sup. dirección X hacia izq:	Mínimo: 19 cm	Cumple
- Armado sup. dirección Y hacia arriba:	Mínimo: 19 cm	Cumple
- Armado sup. dirección Y hacia abajo:	Mínimo: 19 cm	Cumple
Se cumplen todas las comprobaciones		
Información adicional:		
- Zapata de tipo rígido		
- Relación rotura pésima (En dirección X): 0.05		
- Relación rotura pésima (En dirección Y): 0.05		
- Cortante de agotamiento (En dirección X): 69.54 t		
- Cortante de agotamiento (En dirección Y): 69.54 t		

7.3 ZAPATAS INTERIORES

Referencia: N59 Dimensiones: 120 x 120 x 40 Armados: Xi:Ø12c/20 Yi:Ø12c/20 Xs:Ø12c/20 Ys:Ø12c/20		
Comprobación	Valores	Estado
Tensiones sobre el terreno: *Criterio de CYPE*		
- Tensión media en situaciones persistentes:	Máximo: 2 kp/cm² Calculado: 0.3 kp/cm²	Cumple
- Tensión máxima en situaciones persistentes sin viento:	Máximo: 2.5 kp/cm² Calculado: 0.423 kp/cm²	Cumple
- Tensión máxima en situaciones persistentes con viento:	Máximo: 2.5 kp/cm² Calculado: 0.531 kp/cm²	Cumple
Vuelco de la zapata: *Si el % de reserva de seguridad es mayor que cero, quiere decir que los coeficientes de seguridad al vuelco son mayores que los valores estrictos exigidos para todas las combinaciones de equilibrio.*		
- En dirección X:	Reserva seguridad: 171.2 %	Cumple
- En dirección Y:	Reserva seguridad: 24.8 %	Cumple
Flexión en la zapata:		
- En dirección X:	Momento: 0.64 t·m	Cumple
- En dirección Y:	Momento: 0.47 t·m	Cumple
Cortante en la zapata:		
- En dirección X:	Cortante: 0.81 t	Cumple
- En dirección Y:	Cortante: 0.92 t	Cumple

Referencia: N59 Dimensiones: 120 x 120 x 40 Armados: Xi:Ø12c/20 Yi:Ø12c/20 Xs:Ø12c/20 Ys:Ø12c/20		
Comprobación	Valores	Estado
Compresión oblicua en la zapata: - Situaciones persistentes: *Criterio de CYPE*	Máximo: 509.68 t/m² Calculado: 12.17 t/m²	Cumple
Canto mínimo: *Criterio de CYPE*	Mínimo: 15 cm Calculado: 40 cm	Cumple
Espacio para anclar arranques en cimentación: - N59:	Mínimo: 30 cm Calculado: 34 cm	Cumple
Cuantía geométrica mínima: *Norma Código Estructural. Artículo A19.9.2.1.1*	Mínimo: 0.0012	
- Armado inferior dirección X:	Calculado: 0.0014	Cumple
- Armado superior dirección X:	Calculado: 0.0014	Cumple
- Armado inferior dirección Y:	Calculado: 0.0014	Cumple
- Armado superior dirección Y:	Calculado: 0.0014	Cumple
Diámetro mínimo de las barras: *Norma Código Estructural. Artículo A19.9.8.2.1*	Mínimo: 12 mm	
- Parrilla inferior:	Calculado: 12 mm	Cumple
- Parrilla superior:	Calculado: 12 mm	Cumple
Separación máxima entre barras: *Criterio de CYPE*	Máximo: 30 cm	
- Armado inferior dirección X:	Calculado: 20 cm	Cumple

Referencia: N59 Dimensiones: 120 x 120 x 40 Armados: Xi:Ø12c/20 Yi:Ø12c/20 Xs:Ø12c/20 Ys:Ø12c/20		
Comprobación	Valores	Estado
- Armado inferior dirección Y:	Calculado: 20 cm	Cumple
- Armado superior dirección X:	Calculado: 20 cm	Cumple
- Armado superior dirección Y:	Calculado: 20 cm	Cumple
Separación mínima entre barras: *Criterio de CYPE*	Mínimo: 10 cm	
- Armado inferior dirección X:	Calculado: 20 cm	Cumple
- Armado inferior dirección Y:	Calculado: 20 cm	Cumple
- Armado superior dirección X:	Calculado: 20 cm	Cumple
- Armado superior dirección Y:	Calculado: 20 cm	Cumple
Longitud de anclaje: *49.5*	Mínimo: 21 cm	
- Armado inf. dirección X hacia der:	Calculado: 21 cm	Cumple
- Armado inf. dirección X hacia izq:	Calculado: 21 cm	Cumple
- Armado inf. dirección Y hacia arriba:	Calculado: 21 cm	Cumple
- Armado inf. dirección Y hacia abajo:	Calculado: 21 cm	Cumple
- Armado sup. dirección X hacia der:	Calculado: 21 cm	Cumple
- Armado sup. dirección X hacia izq:	Calculado: 21 cm	Cumple
- Armado sup. dirección Y hacia arriba:	Calculado: 21 cm	Cumple
- Armado sup. dirección Y hacia abajo:	Calculado: 21 cm	Cumple

Referencia: N59 Dimensiones: 120 x 120 x 40 Armados: Xi:Ø12c/20 Yi:Ø12c/20 Xs:Ø12c/20 Ys:Ø12c/20		
Comprobación	Valores	Estado
Longitud mínima de las patillas:	Mínimo: 12 cm	
- Armado inf. dirección X hacia der:	Calculado: 12 cm	Cumple
- Armado inf. dirección X hacia izq:	Calculado: 12 cm	Cumple
- Armado inf. dirección Y hacia arriba:	Calculado: 12 cm	Cumple
- Armado inf. dirección Y hacia abajo:	Calculado: 12 cm	Cumple
- Armado sup. dirección X hacia der:	Calculado: 12 cm	Cumple
- Armado sup. dirección X hacia izq:	Calculado: 12 cm	Cumple
- Armado sup. dirección Y hacia arriba:	Calculado: 12 cm	Cumple
- Armado sup. dirección Y hacia abajo:	Calculado: 12 cm	Cumple
Se cumplen todas las comprobaciones		
Información adicional:		
- Zapata de tipo rígido		
- Relación rotura pésima (En dirección X): 0.08		
- Relación rotura pésima (En dirección Y): 0.06		
- Cortante de agotamiento (En dirección X): 17.37 t		
- Cortante de agotamiento (En dirección Y): 17.37 t		

8 COMPROBACIÓN VIGAS DE ATADO

8.1 DESCRIPCIÓN DE LOS ELEMENTOS DE ATADO DE CIMENTACIÓN

Referencias	Geometría	Armado
C [N3-N8], C [N8-N13], C [N13-N18], C [N18-N23], C [N23-N28], C [N28-N33], C [N31-N26], C [N26-N21], C [N21-N16], C [N16-N11], C [N11-N6] y C [N6-N1]	Ancho: 40.0 cm Canto: 40.0 cm	Superior: 2Ø12 Inferior: 2Ø12 Estribos: 1xØ8c/25
C [N33-N36], C [N39-N31], C [N1-N47], C [N47-N46], C [N46-N44], C [N44-N3], C [N8-N61], C [N61-N60], C [N60-N59] y C [N59-N6]	Ancho: 40.0 cm Canto: 40.0 cm	Superior: 2Ø12 Inferior: 2Ø12 Estribos: 1xØ8c/25

8.2 COMPROBACIÓN

Referencia: C.1.1 [N3-N8] (Viga de atado)
-Dimensiones: 40.0 cm x 40.0 cm
-Armadura superior: 2Ø12
-Armadura inferior: 2Ø12
-Estribos: 1xØ8c/25

Comprobación	Valores	Estado
Diámetro mínimo estribos:	Mínimo: 6 mm Calculado: 8 mm	Cumple
Separación mínima entre estribos: *Norma Código Estructural. Artículo A19.8.2 (2)*	Mínimo: 3.5 cm Calculado: 24.2 cm	Cumple
Separación mínima armadura longitudinal: *Norma Código Estructural. Artículo A19.8.2 (2)*	Mínimo: 3.5 cm	
- Armadura superior:	Calculado: 26 cm	Cumple
- Armadura inferior:	Calculado: 26 cm	Cumple
Separación máxima estribos:		
- Sin cortantes: *Norma Código Estructural. Artículo A19.9.2.2 (6)*	Máximo: 25.2 cm Calculado: 25 cm	Cumple

Referencia: C.1.1 [N3-N8] (Viga de atado)
-Dimensiones: 40.0 cm x 40.0 cm
-Armadura superior: 2Ø12
-Armadura inferior: 2Ø12
-Estribos: 1xØ8c/25

Comprobación	Valores	Estado
Separación máxima armadura longitudinal: *Criterio de CYPE*	Máximo: 30 cm	
- Armadura superior:	Calculado: 26 cm	Cumple
- Armadura inferior:	Calculado: 26 cm	Cumple

Se cumplen todas las comprobaciones

Información adicional:

- Diámetro mínimo de la armadura longitudinal (Norma Código Estructural. Artículo A19.9.8.3): Mínimo: 12.0 mm, Calculado: 12.0 mm (Cumple)

- No llegan estados de carga a la cimentación.

Referencia: C.1.1 [N33-N36] (Viga de atado)
-Dimensiones: 40.0 cm x 40.0 cm
-Armadura superior: 2Ø12
-Armadura inferior: 2Ø12
-Estribos: 1xØ8c/25

Comprobación	Valores	Estado
Diámetro mínimo estribos:	Mínimo: 6 mm Calculado: 8 mm	Cumple
Separación mínima entre estribos: *Norma Código Estructural. Artículo A19.8.2 (2)*	Mínimo: 3.5 cm Calculado: 24.2 cm	Cumple
Separación mínima armadura longitudinal: *Norma Código Estructural. Artículo A19.8.2 (2)*	Mínimo: 3.5 cm	

Referencia: C.1.1 [N33-N36] (Viga de atado) -Dimensiones: 40.0 cm x 40.0 cm -Armadura superior: 2Ø12 -Armadura inferior: 2Ø12 -Estribos: 1xØ8c/25		
Comprobación	Valores	Estado
- Armadura superior:	Calculado: 26 cm	Cumple
- Armadura inferior:	Calculado: 26 cm	Cumple
Separación máxima estribos: - Sin cortantes: *Norma Código Estructural. Artículo A19.9.2.2 (6)*	Máximo: 25.2 cm Calculado: 25 cm	Cumple
Separación máxima armadura longitudinal: *Criterio de CYPE*	Máximo: 30 cm	
- Armadura superior:	Calculado: 26 cm	Cumple
- Armadura inferior:	Calculado: 26 cm	Cumple
Se cumplen todas las comprobaciones		
Información adicional:		
- Diámetro mínimo de la armadura longitudinal (Norma Código Estructural. Artículo A19.9.8.3): Mínimo: 12.0 mm, Calculado: 12.0 mm (Cumple) - No llegan estados de carga a la cimentación.		

9 ESTRUCTURA

9.1 FLECHA DE LAS BARRAS

Referencias:

- Pos.: Valor de la coordenada sobre el eje 'X' local del grupo de flecha en el punto donde se produce el valor pésimo de la flecha.
- L.: Distancia entre dos puntos de corte consecutivos de la deformada con la recta que une los nudos extremos del grupo de flecha.

Flechas								
Grupo	Flecha máxima absoluta xy Flecha máxima relativa xy		Flecha máxima absoluta xz Flecha máxima relativa xz		Flecha activa absoluta xy Flecha activa relativa xy		Flecha activa absoluta xz Flecha activa relativa xz	
	Pos. (m)	Flecha (mm)	Pos. (m)	Flecha (mm)	Pos. (m)	Flecha (mm)	Pos. (m)	Flecha (mm)
N1/N2	3.700 3.700	2.09 L/(>1000)	1.850 1.850	1.42 L/(>1000)	4.070 3.700	2.62 L/(>1000)	1.850 1.850	2.59 L/(>1000)
N3/N4	3.700 3.700	2.09 L/(>1000)	1.850 1.850	1.42 L/(>1000)	4.070 3.700	2.61 L/(>1000)	1.850 1.850	2.59 L/(>1000)
N2/N5	9.287 9.287	1.98 L/(>1000)	2.476 2.476	1.82 L/(>1000)	9.287 9.287	3.76 L/(>1000)	2.476 2.476	3.01 L/(>1000)
N4/N5	9.287 9.287	1.98 L/(>1000)	2.476 2.476	1.82 L/(>1000)	9.287 9.287	3.76 L/(>1000)	2.476 2.476	3.01 L/(>1000)
N6/N7	2.590 1.480	0.94 L/(>1000)	2.590 2.590	2.06 L/(>1000)	1.850 1.480	1.59 L/(>1000)	3.330 2.590	3.57 L/(>1000)
N8/N9	2.590 1.480	0.95 L/(>1000)	2.590 2.590	2.07 L/(>1000)	1.850 1.480	1.60 L/(>1000)	3.330 2.590	3.58 L/(>1000)
N7/N10	9.372 9.372	3.32 L/(>1000)	6.187 6.187	16.85 L/742.7	9.372 9.372	3.67 L/(>1000)	6.187 6.187	21.18 L/742.7
N9/N10	9.372 9.372	3.31 L/(>1000)	6.187 6.187	16.85 L/742.4	9.372 9.372	3.66 L/(>1000)	6.187 6.187	21.20 L/743.2
N11/N12	2.398 2.398	1.05 L/(>1000)	5.276 5.756	8.18 L/686.1	2.398 2.398	2.08 L/(>1000)	4.796 5.756	8.90 L/696.6
N13/N14	2.398 2.398	1.05 L/(>1000)	5.276 5.756	8.19 L/685.9	2.398 2.398	2.08 L/(>1000)	4.796 5.756	8.91 L/696.2
N12/N15	8.132	7.09	7.507	31.13	7.507	7.19	7.507	38.60

Flechas								
Grupo	Flecha máxima absoluta xy Flecha máxima relativa xy		Flecha máxima absoluta xz Flecha máxima relativa xz		Flecha activa absoluta xy Flecha activa relativa xy		Flecha activa absoluta xz Flecha activa relativa xz	
	Pos. (m)	Flecha (mm)	Pos. (m)	Flecha (mm)	Pos. (m)	Flecha (mm)	Pos. (m)	Flecha (mm)
	2.503	L/(>1000)	7.507	L/401.9	2.503	L/(>1000)	7.507	L/406.0
N14/N15	8.132	7.08	7.507	31.21	7.507	7.19	7.507	38.67
	8.758	L/(>1000)	7.507	L/400.8	8.758	L/(>1000)	7.507	L/403.6
N16/N17	2.398	1.09	5.276	9.11	2.398	2.07	4.796	9.88
	2.398	L/(>1000)	5.756	L/602.3	2.398	L/(>1000)	5.756	L/611.7
N18/N19	2.398	1.10	5.276	9.28	2.398	2.08	4.796	10.08
	2.398	L/(>1000)	5.756	L/604.3	2.398	L/(>1000)	5.756	L/614.3
N17/N20	8.758	1.46	7.507	33.37	8.758	1.75	7.507	41.47
	8.758	L/(>1000)	7.507	L/374.9	8.758	L/(>1000)	7.507	L/379.0
N19/N20	8.132	1.91	7.507	34.20	8.132	2.17	7.507	42.27
	8.132	L/(>1000)	7.507	L/365.8	8.132	L/(>1000)	7.507	L/372.2
N21/N22	2.398	1.18	1.919	6.63	2.398	2.15	1.919	8.82
	2.398	L/(>1000)	1.919	L/670.9	2.398	L/(>1000)	1.919	L/682.8
N23/N24	2.398	1.17	5.276	8.91	2.398	2.14	4.796	9.69
	2.398	L/(>1000)	5.756	L/649.0	2.398	L/(>1000)	5.756	L/659.0
N22/N25	8.132	4.17	7.507	38.28	8.132	5.23	6.881	44.80
	8.132	L/(>1000)	7.507	L/326.8	8.132	L/(>1000)	6.881	L/330.5
N24/N25	8.132	4.23	7.507	31.25	8.132	5.29	7.507	38.80
	8.132	L/(>1000)	7.507	L/400.4	8.132	L/(>1000)	7.507	L/405.9
N26/N27	2.398	1.22	5.276	4.43	2.398	2.24	5.276	4.55
	2.398	L/(>1000)	5.756	L/(>1000)	2.398	L/(>1000)	5.756	L/(>1000)

Flechas								
Grupo	Flecha máxima absoluta xy Flecha máxima relativa xy		Flecha máxima absoluta xz Flecha máxima relativa xz		Flecha activa absoluta xy Flecha activa relativa xy		Flecha activa absoluta xz Flecha activa relativa xz	
	Pos. (m)	Flecha (mm)	Pos. (m)	Flecha (mm)	Pos. (m)	Flecha (mm)	Pos. (m)	Flecha (mm)
N28/N29	2.398	1.19	5.276	4.50	2.398	2.22	4.317	4.64
	2.398	L/(>1000)	5.756	L/(>1000)	2.398	L/(>1000)	5.756	L/(>1000)
N27/N30	10.010	2.93	6.505	21.20	9.053	3.57	6.505	25.38
	10.010	L/(>1000)	6.505	L/590.1	10.010	L/(>1000)	6.824	L/600.4
N29/N30	10.010	2.60	6.505	21.56	9.053	3.25	6.505	25.68
	10.010	L/(>1000)	6.505	L/580.2	10.010	L/(>1000)	6.824	L/593.5
N31/N32	4.317	4.80	1.919	1.56	4.796	6.92	1.919	2.98
	4.317	L/(>1000)	1.919	L/(>1000)	4.317	L/(>1000)	1.919	L/(>1000)
N33/N34	4.317	4.80	1.919	1.52	4.796	6.93	1.919	3.02
	4.317	L/(>1000)	1.919	L/(>1000)	4.317	L/(>1000)	1.919	L/(>1000)
N32/N35	9.287	1.99	2.476	2.08	9.287	3.80	2.476	3.16
	9.287	L/(>1000)	2.476	L/(>1000)	9.287	L/(>1000)	2.476	L/(>1000)
N34/N35	9.287	1.98	2.476	2.17	9.287	3.78	2.476	3.19
	9.287	L/(>1000)	2.476	L/(>1000)	9.287	L/(>1000)	2.476	L/(>1000)
N36/N37	7.521	2.29	5.559	10.52	7.711	3.45	5.929	15.67
	7.521	L/(>1000)	5.559	L/931.8	7.521	L/(>1000)	5.559	L/991.3
N38/N35	5.559	2.23	6.553	16.57	5.559	4.36	6.830	26.91
	1.112	L/(>1000)	6.553	L/695.9	1.112	L/(>1000)	6.553	L/740.2
N39/N40	7.521	2.22	5.559	10.50	7.711	3.42	5.929	15.65
	7.521	L/(>1000)	5.559	L/933.5	7.521	L/(>1000)	5.559	L/992.8
N41/N42	2.520	1.16	3.240	9.21	2.520	2.22	3.240	9.66

Flechas								
Grupo	Flecha máxima absoluta xy Flecha máxima relativa xy		Flecha máxima absoluta xz Flecha máxima relativa xz		Flecha activa absoluta xy Flecha activa relativa xy		Flecha activa absoluta xz Flecha activa relativa xz	
	Pos. (m)	Flecha (mm)	Pos. (m)	Flecha (mm)	Pos. (m)	Flecha (mm)	Pos. (m)	Flecha (mm)
	2.520	L/(>1000)	3.240	L/625.0	2.520	L/(>1000)	2.880	L/640.2
N43/N41	3.240	1.16	2.520	9.17	3.240	2.23	2.520	9.64
	3.240	L/(>1000)	2.520	L/628.2	3.240	L/(>1000)	2.880	L/643.6
N44/N45	6.001	2.41	5.180	10.57	6.001	4.71	5.550	15.80
	6.001	L/(>1000)	5.180	L/926.1	6.001	L/(>1000)	5.180	L/928.2
N46/N5	6.276	3.54	6.552	13.96	6.276	7.08	6.828	25.78
	6.276	L/(>1000)	6.552	L/825.3	6.276	L/(>1000)	6.552	L/862.8
N47/N48	6.001	2.40	5.180	10.58	6.001	4.71	5.550	15.80
	6.001	L/(>1000)	5.180	L/925.4	6.001	L/(>1000)	5.180	L/927.3
N49/N50	4.672	1.20	4.313	1.16	4.672	1.68	4.313	2.21
	4.672	L/(>1000)	4.672	L/(>1000)	4.672	L/(>1000)	4.672	L/(>1000)
N51/N49	1.440	0.66	4.320	0.90	1.440	1.28	4.320	1.58
	1.440	L/(>1000)	4.680	L/(>1000)	1.440	L/(>1000)	4.680	L/(>1000)
N52/N51	4.320	0.66	1.440	0.90	4.320	1.29	1.440	1.58
	4.320	L/(>1000)	1.080	L/(>1000)	4.320	L/(>1000)	1.080	L/(>1000)
N53/N52	1.078	1.20	1.438	1.16	1.078	1.68	1.438	2.21
	1.078	L/(>1000)	1.078	L/(>1000)	1.078	L/(>1000)	1.078	L/(>1000)
N54/N55	4.712	1.24	4.350	1.75	4.712	1.71	4.350	3.01
	4.712	L/(>1000)	4.350	L/(>1000)	4.712	L/(>1000)	4.350	L/(>1000)
N56/N54	1.465	0.66	1.831	0.73	1.465	1.27	1.465	1.12
	1.465	L/(>1000)	1.831	L/(>1000)	1.465	L/(>1000)	1.465	L/(>1000)

Flechas								
Grupo	Flecha máxima absoluta xy Flecha máxima relativa xy		Flecha máxima absoluta xz Flecha máxima relativa xz		Flecha activa absoluta xy Flecha activa relativa xy		Flecha activa absoluta xz Flecha activa relativa xz	
	Pos. (m)	Flecha (mm)	Pos. (m)	Flecha (mm)	Pos. (m)	Flecha (mm)	Pos. (m)	Flecha (mm)
N57/N56	4.395	0.66	4.029	0.73	4.395	1.27	4.395	1.12
	4.395	L/(>1000)	4.029	L/(>1000)	4.395	L/(>1000)	4.395	L/(>1000)
N58/N57	1.087	1.24	1.450	1.75	1.087	1.71	1.450	3.00
	1.087	L/(>1000)	1.450	L/(>1000)	1.087	L/(>1000)	1.450	L/(>1000)
N59/N57	4.070	7.43	1.480	1.11	4.070	7.99	1.480	2.15
	4.070	L/661.4	1.480	L/(>1000)	4.070	L/666.0	1.480	L/(>1000)
N60/N56	4.070	7.98	1.480	1.12	4.440	8.84	1.480	2.24
	4.070	L/579.2	1.480	L/(>1000)	4.070	L/582.8	1.480	L/(>1000)
N61/N54	4.070	7.43	1.480	1.11	4.070	7.99	1.480	2.15
	4.070	L/661.5	1.480	L/(>1000)	4.070	L/666.0	1.480	L/(>1000)
N50/N55	1.185	0.13	2.370	3.60	1.185	0.17	2.666	3.59
	1.185	L/(>1000)	2.370	L/(>1000)	1.185	L/(>1000)	2.370	L/(>1000)
N49/N54	1.202	0.15	2.706	11.95	1.202	0.25	2.706	12.35
	1.202	L/(>1000)	2.706	L/402.4	1.202	L/(>1000)	2.706	L/409.5
N51/N56	1.202	0.01	2.706	12.32	1.202	0.03	2.405	13.07
	1.202	L/(>1000)	2.706	L/390.4	1.202	L/(>1000)	2.706	L/391.8
N52/N57	1.202	0.15	2.706	11.96	1.202	0.25	2.706	12.35
	1.202	L/(>1000)	2.706	L/402.3	1.202	L/(>1000)	2.706	L/409.4
N53/N58	1.185	0.13	2.370	3.60	1.185	0.17	2.666	3.59
	1.185	L/(>1000)	2.370	L/(>1000)	1.185	L/(>1000)	2.370	L/(>1000)
N2/N7	1.778	0.83	1.481	0.44	2.666	0.90	1.185	0.83

Flechas								
Grupo	Flecha máxima absoluta xy Flecha máxima relativa xy		Flecha máxima absoluta xz Flecha máxima relativa xz		Flecha activa absoluta xy Flecha activa relativa xy		Flecha activa absoluta xz Flecha activa relativa xz	
	Pos. (m)	Flecha (mm)	Pos. (m)	Flecha (mm)	Pos. (m)	Flecha (mm)	Pos. (m)	Flecha (mm)
	1.778	L/(>1000)	0.889	L/(>1000)	2.074	L/(>1000)	1.185	L/(>1000)
N7/N12	3.851	3.67	2.074	0.68	3.851	4.37	3.555	0.94
	3.851	L/660.4	3.555	L/(>1000)	3.851	L/677.0	2.963	L/(>1000)
N12/N17	1.185	1.06	1.185	0.48	3.555	1.29	1.185	0.81
	3.555	L/(>1000)	3.555	L/(>1000)	3.555	L/(>1000)	0.889	L/(>1000)
N17/N22	3.555	1.14	1.185	0.48	3.259	1.36	3.555	0.85
	3.555	L/(>1000)	3.851	L/(>1000)	3.555	L/(>1000)	3.851	L/(>1000)
N22/N27	1.185	3.49	1.185	0.57	0.889	4.08	3.555	0.94
	1.185	L/710.7	1.185	L/(>1000)	0.889	L/728.6	3.851	L/(>1000)
N27/N32	2.963	1.28	2.963	1.85	2.963	1.55	2.963	2.28
	3.259	L/(>1000)	2.963	L/(>1000)	3.259	L/(>1000)	3.259	L/(>1000)
N62/N40	1.830	1.75	2.745	3.59	2.745	3.05	2.745	6.90
	1.830	L/(>1000)	2.745	L/(>1000)	2.440	L/(>1000)	2.745	L/(>1000)
N30/N35	2.135	0.21	3.050	5.03	2.135	0.32	3.050	8.32
	2.135	L/(>1000)	3.050	L/969.9	1.830	L/(>1000)	3.050	L/977.7
N29/N34	3.259	1.13	2.963	1.85	3.259	1.41	2.963	2.29
	3.259	L/(>1000)	2.963	L/(>1000)	3.259	L/(>1000)	3.259	L/(>1000)
N24/N29	0.889	2.33	1.185	0.58	0.889	2.95	3.851	0.92
	0.889	L/(>1000)	1.185	L/(>1000)	1.185	L/(>1000)	1.185	L/(>1000)
N19/N24	2.963	0.56	1.185	0.50	1.778	0.84	3.851	0.84
	3.555	L/(>1000)	3.851	L/(>1000)	3.555	L/(>1000)	3.851	L/(>1000)

Flechas								
Grupo	Flecha máxima absoluta xy Flecha máxima relativa xy		Flecha máxima absoluta xz Flecha máxima relativa xz		Flecha activa absoluta xy Flecha activa relativa xy		Flecha activa absoluta xz Flecha activa relativa xz	
	Pos. (m)	Flecha (mm)	Pos. (m)	Flecha (mm)	Pos. (m)	Flecha (mm)	Pos. (m)	Flecha (mm)
N14/N19	3.555	1.18	1.185	0.48	3.555	1.41	1.185	0.82
	3.555	L/(>1000)	0.889	L/(>1000)	3.555	L/(>1000)	0.889	L/(>1000)
N9/N14	3.851	3.68	2.074	0.68	3.851	4.37	3.555	0.94
	3.851	L/662.0	3.555	L/(>1000)	3.851	L/678.6	2.963	L/(>1000)
N4/N9	1.778	0.83	1.481	0.44	2.666	0.90	1.185	0.83
	1.778	L/(>1000)	0.889	L/(>1000)	2.074	L/(>1000)	0.889	L/(>1000)
N63/N37	2.440	1.69	2.745	3.59	2.745	3.03	2.745	6.94
	2.440	L/(>1000)	2.745	L/(>1000)	2.440	L/(>1000)	2.440	L/(>1000)
N48/N64	3.355	1.39	2.135	3.51	2.135	2.53	2.135	5.29
	1.220	L/(>1000)	2.135	L/(>1000)	0.915	L/(>1000)	2.135	L/(>1000)
N5/N10	2.745	0.17	2.440	4.97	2.745	0.33	2.135	7.94
	2.745	L/(>1000)	2.440	L/982.7	2.745	L/(>1000)	2.440	L/(>1000)
N10/N15	4.063	1.46	1.250	4.71	4.063	2.92	1.250	4.92
	4.063	L/(>1000)	1.250	L/636.3	4.063	L/(>1000)	1.250	L/653.9
N15/N20	4.063	0.36	2.188	5.79	4.063	0.57	1.875	5.31
	4.063	L/(>1000)	2.188	L/863.9	4.063	L/(>1000)	1.875	L/941.4
N20/N25	0.938	0.62	3.125	6.06	0.938	0.70	3.125	6.02
	0.938	L/(>1000)	3.125	L/824.9	0.938	L/(>1000)	3.125	L/832.7
N25/N30	0.938	1.82	1.250	3.30	0.938	2.82	3.750	3.64
	0.938	L/(>1000)	1.250	L/846.6	0.938	L/(>1000)	1.250	L/877.5
N45/N65	3.355	1.39	2.135	3.51	2.135	2.53	2.135	5.30

Flechas								
Grupo	Flecha máxima absoluta xy Flecha máxima relativa xy		Flecha máxima absoluta xz Flecha máxima relativa xz		Flecha activa absoluta xy Flecha activa relativa xy		Flecha activa absoluta xz Flecha activa relativa xz	
	Pos. (m)	Flecha (mm)	Pos. (m)	Flecha (mm)	Pos. (m)	Flecha (mm)	Pos. (m)	Flecha (mm)
	1.220	L/(>1000)	2.135	L/(>1000)	0.915	L/(>1000)	2.135	L/(>1000)
N1/N58	6.753 -	0.00 L/(>1000)	6.753 -	0.00 L/(>1000)	6.753 -	0.00 L/(>1000)	6.753 -	0.00 L/(>1000)
N58/N2	2.832 -	0.00 L/(>1000)	4.405 -	0.00 L/(>1000)	1.573 -	0.00 L/(>1000)	4.405 -	0.00 L/(>1000)
N2/N64	4.930 -	0.00 L/(>1000)	6.901 -	0.00 L/(>1000)	4.930 -	0.00 L/(>1000)	6.901 -	0.00 L/(>1000)
N64/N5	1.008 -	0.00 L/(>1000)	5.543 -	0.00 L/(>1000)	6.047 -	0.00 L/(>1000)	3.023 -	0.00 L/(>1000)
N65/N5	1.008 -	0.00 L/(>1000)	7.054 -	0.00 L/(>1000)	1.008 -	0.00 L/(>1000)	5.039 -	0.00 L/(>1000)
N4/N65	3.944 -	0.00 L/(>1000)	6.408 -	0.00 L/(>1000)	3.944 -	0.00 L/(>1000)	6.408 -	0.00 L/(>1000)
N55/N4	2.517 -	0.00 L/(>1000)	4.090 -	0.00 L/(>1000)	2.517 -	0.00 L/(>1000)	4.090 -	0.00 L/(>1000)
N8/N50	6.271 -	0.00 L/(>1000)	7.236 -	0.00 L/(>1000)	4.824 -	0.00 L/(>1000)	5.789 -	0.00 L/(>1000)
N50/N9	0.944 -	0.00 L/(>1000)	1.888 -	0.00 L/(>1000)	0.944 -	0.00 L/(>1000)	2.517 -	0.00 L/(>1000)
N3/N55	6.753 -	0.00 L/(>1000)	6.753 -	0.00 L/(>1000)	5.306 -	0.00 L/(>1000)	6.753 -	0.00 L/(>1000)

Flechas								
Grupo	Flecha máxima absoluta xy Flecha máxima relativa xy		Flecha máxima absoluta xz Flecha máxima relativa xz		Flecha activa absoluta xy Flecha activa relativa xy		Flecha activa absoluta xz Flecha activa relativa xz	
	Pos. (m)	Flecha (mm)	Pos. (m)	Flecha (mm)	Pos. (m)	Flecha (mm)	Pos. (m)	Flecha (mm)
N9/N45	7.394 -	0.00 L/(>1000)	7.394 -	0.00 L/(>1000)	7.394 -	0.00 L/(>1000)	7.394 -	0.00 L/(>1000)
N45/N10	5.543 -	0.00 L/(>1000)	5.543 -	0.00 L/(>1000)	5.543 -	0.00 L/(>1000)	7.054 -	0.00 L/(>1000)
N48/N10	5.543 -	0.00 L/(>1000)	4.535 -	0.00 L/(>1000)	5.543 -	0.00 L/(>1000)	6.551 -	0.00 L/(>1000)
N7/N48	3.944 -	0.00 L/(>1000)	6.901 -	0.00 L/(>1000)	4.930 -	0.00 L/(>1000)	6.901 -	0.00 L/(>1000)
N53/N7	2.517 -	0.00 L/(>1000)	4.405 -	0.00 L/(>1000)	4.090 -	0.00 L/(>1000)	4.405 -	0.00 L/(>1000)
N6/N53	5.306 -	0.00 L/(>1000)	4.342 -	0.00 L/(>1000)	7.236 -	0.00 L/(>1000)	4.824 -	0.00 L/(>1000)
N26/N32	8.778 -	0.00 L/(>1000)	7.607 -	0.00 L/(>1000)	8.778 -	0.00 L/(>1000)	7.607 -	0.00 L/(>1000)
N32/N62	6.901 -	0.00 L/(>1000)	6.901 -	0.00 L/(>1000)	6.901 -	0.00 L/(>1000)	6.901 -	0.00 L/(>1000)
N62/N35	5.543 -	0.00 L/(>1000)	5.543 -	0.00 L/(>1000)	5.543 -	0.00 L/(>1000)	0.504 -	0.00 L/(>1000)
N63/N35	6.047 -	0.00 L/(>1000)	6.047 -	0.00 L/(>1000)	6.047 -	0.00 L/(>1000)	6.047 -	0.00 L/(>1000)
N34/N63	6.408	0.00	5.915	0.00	6.901	0.00	6.408	0.00

Flechas								
Grupo	Flecha máxima absoluta xy Flecha máxima relativa xy		Flecha máxima absoluta xz Flecha máxima relativa xz		Flecha activa absoluta xy Flecha activa relativa xy		Flecha activa absoluta xz Flecha activa relativa xz	
	Pos. (m)	Flecha (mm)	Pos. (m)	Flecha (mm)	Pos. (m)	Flecha (mm)	Pos. (m)	Flecha (mm)
	-	L/(>1000)	-	L/(>1000)	-	L/(>1000)	-	L/(>1000)
N28/N34	7.022	0.00	7.607	0.00	5.267	0.00	7.607	0.00
	-	L/(>1000)	-	L/(>1000)	-	L/(>1000)	-	L/(>1000)
N33/N29	5.852	0.00	8.193	0.00	5.852	0.00	5.267	0.00
	-	L/(>1000)	-	L/(>1000)	-	L/(>1000)	-	L/(>1000)
N29/N37	5.915	0.00	6.408	0.00	5.915	0.00	6.408	0.00
	-	L/(>1000)	-	L/(>1000)	-	L/(>1000)	-	L/(>1000)
N37/N30	7.054	0.00	5.543	0.00	7.558	0.00	5.039	0.00
	-	L/(>1000)	-	L/(>1000)	-	L/(>1000)	-	L/(>1000)
N40/N30	6.551	0.00	7.558	0.00	4.031	0.00	7.054	0.00
	-	L/(>1000)	-	L/(>1000)	-	L/(>1000)	-	L/(>1000)
N27/N40	4.437	0.00	6.408	0.00	0.986	0.00	6.408	0.00
	-	L/(>1000)	-	L/(>1000)	-	L/(>1000)	-	L/(>1000)
N31/N27	7.022	0.00	7.022	0.00	7.022	0.00	7.607	0.00
	-	L/(>1000)	-	L/(>1000)	-	L/(>1000)	-	L/(>1000)

9.2 COMPROBACIONES ELU (RESUMIDO)

COMPROBACIONES (CTE DB SE-A)															
$\bar{\lambda}$	λ_w	N_t	N_c	M_Y	M_Z	V_Z	V_Y	M_YV_Z	M_ZV_Y	NM_YM_Z	$NM_YM_ZV_YV_Z$	M_t	M_tV_Z	M_tV_Y	ESTADO
$\bar{\lambda}$ < 2.0 Cumple	$\lambda_w \leq \lambda_{w,máx}$ Cumple	x: 5.919 m η = 0.6	x: 0 m η = 2.5	x: 0 m η = 21.3	x: 0 m η = 13.5	x: 0 m η = 3.6	x: 0 m η = 1.1	η < 0.1	η < 0.1	x: 0 m η = 29.9	η < 0.1	η = 0.1	x: 0 m η = 3.6	x: 0 m η = 1.1	**CUMPLE η = 29.9**
$\bar{\lambda}$ < 2.0 Cumple	$\lambda_w \leq \lambda_{w,máx}$ Cumple	x: 1.673 m η = 0.4	x: 0.08 m η = 0.9	x: 1.674 m η = 13.0	x: 0.08 m η = 8.7	x: 0.08 m η = 3.3	η = 0.5	η < 0.1	η < 0.1	x: 1.674 m η = 13.9	η < 0.1	η = 0.7	x: 0.08 m η = 3.3	η = 0.5	**CUMPLE η = 13.9**
$\bar{\lambda}$ < 2.0 Cumple	$\lambda_w \leq \lambda_{w,máx}$ Cumple	x: 5.919 m η = 0.6	x: 0 m η = 2.5	x: 0 m η = 21.3	x: 0 m η = 13.6	x: 0 m η = 3.6	x: 0 m η = 1.1	η < 0.1	η < 0.1	x: 0 m η = 30.0	η < 0.1	η = 0.1	x: 0 m η = 3.6	x: 0 m η = 1.1	**CUMPLE η = 30.0**
$\bar{\lambda}$ < 2.0 Cumple	$\lambda_w \leq \lambda_{w,máx}$ Cumple	x: 1.673 m η = 0.4	x: 0.08 m η = 0.9	x: 1.674 m η = 13.0	x: 0.08 m η = 8.7	x: 0.08 m η = 3.3	η = 0.5	η < 0.1	η < 0.1	x: 1.674 m η = 13.9	η < 0.1	η = 0.7	x: 0.08 m η = 3.3	η = 0.5	**CUMPLE η = 13.9**
x: 0.138 m $\bar{\lambda}$ < 2.0 Cumple	x: 0.138 m $\lambda_w \leq \lambda_{w,máx}$ Cumple	x: 6.325 m η = 0.5	x: 2.616 m η = 1.3	x: 0.138 m η = 10.7	x: 6.325 m η = 2.4	x: 6.325 m η = 3.4	x: 6.325 m η = 0.1	η < 0.1	η < 0.1	x: 6.325 m η = 11.6	η < 0.1	x: 2.616 m η = 0.9	x: 6.325 m η = 3.4	x: 6.325 m η = 0.1	**CUMPLE η = 11.6**
x: 6.198 m $\bar{\lambda}$ < 2.0 Cumple	x: 6.198 m $\lambda_w \leq \lambda_{w,máx}$ Cumple	x: 3.72 m η = 1.8	x: 0 m η = 1.6	x: 0 m η = 6.2	x: 6.198 m η = 5.3	x: 0 m η = 2.0	x: 0 m η = 0.3	η < 0.1	η < 0.1	x: 0 m η = 9.7	η < 0.1	x: 3.722 m η = 1.1	x: 0 m η = 2.0	x: 0 m η = 0.3	**CUMPLE η = 9.7**
x: 0.138 m $\bar{\lambda}$ < 2.0 Cumple	x: 0.138 m $\lambda_w \leq \lambda_{w,máx}$ Cumple	x: 6.325 m η = 0.5	x: 2.616 m η = 1.3	x: 0.138 m η = 10.7	x: 6.325 m η = 2.4	x: 6.325 m η = 3.4	x: 6.325 m η = 0.1	η < 0.1	η < 0.1	x: 6.325 m η = 11.6	η < 0.1	x: 2.616 m η = 0.9	x: 6.325 m η = 3.4	x: 6.325 m η = 0.1	**CUMPLE η = 11.6**

COMPROBACIONES (CTE DB SE-A)															
$\bar{\lambda}$	λ_w	N_t	N_c	M_Y	M_Z	V_Z	V_Y	M_YV_Z	M_ZV_Y	NM_YM_Z	$NM_YM_ZV_YV_Z$	M_t	M_tV_Z	M_tV_Y	ESTADO
x: 6.198 m $\bar{\lambda}$ < 2.0 Cumple	x: 6.198 m $\lambda_w \leq \lambda_{w,máx}$ Cumple	x: 3.72 m η = 1.8	x: 0 m η = 1.6	x: 0 m η = 6.2	x: 6.198 m η = 5.3	x: 0 m η = 2.0	x: 0 m η = 0.3	η < 0.1	η < 0.1	x: 0 m η = 9.7	η < 0.1	x: 3.722 m η = 1.1	x: 0 m η = 2.0	x: 0 m η = 0.3	**CUMPLE η = 9.7**
$\bar{\lambda}$ < 2.0 Cumple	$\lambda_w \leq \lambda_{w,máx}$ Cumple	x: 5.919 m η = 1.1	x: 0 m η = 3.8	x: 0 m η = 21.6	x: 0 m η = 7.9	x: 0 m η = 4.6	η = 0.2	η < 0.1	η < 0.1	x: 0 m η = 25.1	η < 0.1	η < 0.1	x: 0 m η = 4.6	η = 0.2	**CUMPLE η = 25.1**
$\bar{\lambda}$ < 2.0 Cumple	$\lambda_w \leq \lambda_{w,máx}$ Cumple	x: 1.673 m η = 0.8	x: 0.08 m η = 2.0	x: 1.674 m η = 20.8	x: 0.08 m η = 8.8	η = 8.2	η = 0.6	η < 0.1	η < 0.1	x: 1.674 m η = 22.6	η < 0.1	η = 0.6	η = 8.3	η = 0.6	**CUMPLE η = 22.6**
$\bar{\lambda}$ < 2.0 Cumple	$\lambda_w \leq \lambda_{w,máx}$ Cumple	x: 5.919 m η = 1.1	x: 0 m η = 3.8	x: 0 m η = 21.6	x: 0 m η = 7.9	x: 0 m η = 4.5	η = 0.2	η < 0.1	η < 0.1	x: 0 m η = 25.0	η < 0.1	η < 0.1	x: 0 m η = 4.5	η = 0.2	**CUMPLE η = 25.0**
$\bar{\lambda}$ < 2.0 Cumple	$\lambda_w \leq \lambda_{w,máx}$ Cumple	x: 1.673 m η = 0.8	x: 0.08 m η = 2.0	x: 1.674 m η = 20.8	x: 0.08 m η = 8.8	η = 8.2	η = 0.6	η < 0.1	η < 0.1	x: 1.674 m η = 22.6	η < 0.1	η = 0.6	η = 8.3	η = 0.6	**CUMPLE η = 22.6**
x: 0.138 m $\bar{\lambda}$ < 2.0 Cumple	x: 0.138 m $\lambda_w \leq \lambda_{w,máx}$ Cumple	x: 6.325 m η = 0.8	x: 2.639 m η = 4.6	x: 0.138 m η = 16.3	x: 0.138 m η = 4.0	x: 0.138 m η = 4.6	x: 2.639 m η = 0.1	η < 0.1	η < 0.1	x: 0.138 m η = 20.4	η < 0.1	x: 2.639 m η = 1.3	x: 0.138 m η = 4.6	x: 2.641 m η = 0.1	**CUMPLE η = 20.4**
x: 6.325 m $\bar{\lambda}$ < 2.0 Cumple	x: 6.325 m $\lambda_w \leq \lambda_{w,máx}$ Cumple	x: 3.823 m η = 2.1	x: 0 m η = 6.4	x: 6.325 m η = 16.2	x: 6.325 m η = 9.0	x: 6.325 m η = 4.6	x: 0 m η = 0.3	η < 0.1	η < 0.1	x: 6.325 m η = 24.6	η < 0.1	x: 3.823 m η = 1.9	x: 6.325 m η = 4.6	x: 3.823 m η = 0.3	**CUMPLE η = 24.6**
x: 0.138 m $\bar{\lambda}$ < 2.0 Cumple	x: 0.138 m $\lambda_w \leq \lambda_{w,máx}$ Cumple	x: 6.325 m η = 0.8	x: 2.639 m η = 4.6	x: 0.138 m η = 16.3	x: 0.138 m η = 4.0	x: 0.138 m η = 4.6	x: 2.639 m η = 0.1	η < 0.1	η < 0.1	x: 0.138 m η = 20.4	η < 0.1	x: 2.639 m η = 1.3	x: 0.138 m η = 4.6	x: 2.641 m η = 0.1	**CUMPLE η = 20.4**
x: 6.325 m $\bar{\lambda}$ < 2.0 Cumple	x: 6.325 m $\lambda_w \leq \lambda_{w,máx}$ Cumple	x: 3.823 m η = 2.1	x: 0 m η = 6.4	x: 6.325 m η = 16.2	x: 6.325 m η = 9.0	x: 6.325 m η = 4.6	x: 0 m η = 0.3	η < 0.1	η < 0.1	x: 6.325 m η = 24.6	η < 0.1	x: 3.823 m η = 1.9	x: 6.325 m η = 4.6	x: 3.823 m η = 0.3	**CUMPLE η = 24.6**
$\bar{\lambda}$ < 2.0 Cumple	$\lambda_w \leq \lambda_{w,máx}$ Cumple	x: 7.673 m η = 0.7	x: 0 m η = 3.5	x: 7.674 m η = 69.5	x: 0 m η = 5.6	x: 0 m η = 9.2	η = 0.1	η < 0.1	η < 0.1	x: 7.674 m η = 73.6	η < 0.1	η = 0.2	x: 0 m η = 9.2	η = 0.1	**CUMPLE η = 73.6**
$\bar{\lambda}$ < 2.0 Cumple	$\lambda_w \leq \lambda_{w,máx}$ Cumple	x: 7.673 m η = 0.7	x: 0 m η = 3.5	x: 7.674 m η = 69.4	x: 0 m η = 5.6	x: 0 m η = 9.2	η = 0.1	η < 0.1	η < 0.1	x: 7.674 m η = 73.5	η < 0.1	η = 0.2	x: 0 m η = 9.2	η = 0.1	**CUMPLE η = 73.5**
x: 2.639 m $\bar{\lambda}$ < 2.0 Cumple	x: 0.138 m $\lambda_w \leq \lambda_{w,máx}$ Cumple	x: 10.148 m η = 1.3	x: 2.639 m η = 6.5	x: 0.138 m η = 68.0	x: 10.148 m η = 6.9	x: 2.327 m η = 8.9	x: 2.639 m η = 0.1	η < 0.1	η < 0.1	x: 0.138 m η = 73.2	η < 0.1	x: 10.148 m η = 2.5	x: 2.327 m η = 8.9	x: 10.148 m η = 0.1	**CUMPLE η = 73.2**
x: 2.639 m $\bar{\lambda}$ < 2.0 Cumple	x: 0.138 m $\lambda_w \leq \lambda_{w,máx}$ Cumple	x: 10.148 m η = 1.3	x: 2.639 m η = 6.5	x: 0.138 m η = 67.8	x: 10.148 m η = 6.8	x: 2.327 m η = 8.9	x: 2.639 m η = 0.1	η < 0.1	η < 0.1	x: 0.138 m η = 73.0	η < 0.1	x: 10.148 m η = 2.5	x: 2.327 m η = 8.9	x: 10.148 m η = 0.1	**CUMPLE η = 73.0**
$\bar{\lambda}$ < 2.0 Cumple	$\lambda_w \leq \lambda_{w,máx}$ Cumple	x: 7.673 m η = 0.5	x: 0 m η = 3.8	x: 7.674 m η = 80.1	x: 0 m η = 5.7	x: 0 m η = 10.3	η = 0.1	η < 0.1	η < 0.1	x: 7.674 m η = 84.3	η < 0.1	η = 0.1	x: 0 m η = 10.3	η = 0.1	**CUMPLE η = 84.3**
$\bar{\lambda}$ < 2.0 Cumple	$\lambda_w \leq \lambda_{w,máx}$ Cumple	x: 7.673 m η = 0.5	x: 0 m η = 3.8	x: 7.674 m η = 79.2	x: 0 m η = 5.6	x: 0 m η = 10.1	η = 0.1	η < 0.1	η < 0.1	x: 7.674 m η = 83.2	η < 0.1	η = 0.1	x: 0 m η = 10.1	η = 0.1	**CUMPLE η = 83.2**
x: 2.639 m $\bar{\lambda}$ < 2.0 Cumple	x: 0.138 m $\lambda_w \leq \lambda_{w,máx}$ Cumple	x: 10.148 m η = 1.1	x: 2.639 m η = 7.3	x: 0.138 m η = 78.7	x: 12.649 m η = 2.0	x: 2.327 m η = 9.9	x: 2.639 m η < 0.1	η < 0.1	η < 0.1	x: 0.138 m η = 83.1	η < 0.1	x: 10.148 m η = 0.5	x: 2.327 m η = 9.9	x: 2.639 m η < 0.1	**CUMPLE η = 83.1**
x: 2.639 m $\bar{\lambda}$ < 2.0 Cumple	x: 0.138 m $\lambda_w \leq \lambda_{w,máx}$ Cumple	x: 10.148 m η = 1.1	x: 2.639 m η = 7.2	x: 0.138 m η = 77.7	x: 10.148 m η = 1.5	x: 2.327 m η = 9.9	x: 2.639 m η < 0.1	η < 0.1	η < 0.1	x: 0.138 m η = 81.5	η < 0.1	x: 10.148 m η = 0.4	x: 2.327 m η = 9.9	x: 2.639 m η < 0.1	**CUMPLE η = 81.5**
$\bar{\lambda}$ < 2.0 Cumple	$\lambda_w \leq \lambda_{w,máx}$ Cumple	x: 7.673 m η = 0.7	x: 0 m η = 3.5	x: 7.674 m η = 62.5	x: 0 m η = 5.6	x: 0 m η = 9.0	η = 0.1	η < 0.1	η < 0.1	x: 7.674 m η = 65.8	η < 0.1	η = 0.2	x: 0 m η = 9.0	η = 0.1	**CUMPLE η = 65.8**
$\bar{\lambda}$ < 2.0 Cumple	$\lambda_w \leq \lambda_{w,máx}$ Cumple	x: 7.673 m η = 0.7	x: 0 m η = 3.6	x: 7.674 m η = 72.6	x: 0 m η = 5.6	x: 0 m η = 9.4	η = 0.1	η < 0.1	η < 0.1	x: 7.674 m η = 76.0	η < 0.1	η = 0.2	x: 0 m η = 9.4	η = 0.1	**CUMPLE η = 76.0**
x: 2.639 m $\bar{\lambda}$ < 2.0 Cumple	x: 0.138 m $\lambda_w \leq \lambda_{w,máx}$ Cumple	x: 10.148 m η = 1.3	x: 2.639 m η = 6.4	x: 0.138 m η = 61.0	x: 10.146 m η = 3.5	x: 2.327 m η = 8.7	x: 2.639 m η = 0.1	η < 0.1	η < 0.1	x: 0.138 m η = 65.0	η < 0.1	x: 10.148 m η = 1.6	x: 2.327 m η = 8.7	x: 2.639 m η = 0.1	**CUMPLE η = 65.0**
x: 2.639 m $\bar{\lambda}$ < 2.0 Cumple	x: 0.138 m $\lambda_w \leq \lambda_{w,máx}$ Cumple	x: 10.148 m η = 1.3	x: 2.639 m η = 6.6	x: 0.138 m η = 71.0	x: 10.146 m η = 3.5	x: 2.327 m η = 9.2	x: 2.639 m η = 0.1	η < 0.1	η < 0.1	x: 0.138 m η = 75.1	η < 0.1	x: 10.148 m η = 1.6	x: 2.327 m η = 9.2	x: 2.639 m η = 0.1	**CUMPLE η = 75.1**
$\bar{\lambda}$ < 2.0 Cumple	$\lambda_w \leq \lambda_{w,máx}$ Cumple	x: 7.673 m η = 0.6	x: 0 m η = 2.4	x: 7.674 m η = 33.6	x: 0 m η = 5.4	x: 0 m η = 5.6	η = 0.1	η < 0.1	η < 0.1	x: 7.674 m η = 35.6	η < 0.1	η = 0.2	x: 0 m η = 5.6	η = 0.1	**CUMPLE η = 35.6**
$\bar{\lambda}$ < 2.0 Cumple	$\lambda_w \leq \lambda_{w,máx}$ Cumple	x: 7.673 m η = 0.6	x: 0 m η = 2.4	x: 7.674 m η = 33.2	x: 0 m η = 5.4	x: 0 m η = 5.6	η = 0.1	η < 0.1	η < 0.1	x: 7.674 m η = 35.3	η < 0.1	η = 0.2	x: 0 m η = 5.6	η = 0.1	**CUMPLE η = 35.3**
x: 0.138 m $\bar{\lambda}$ < 2.0 Cumple	x: 0.138 m $\lambda_w \leq \lambda_{w,máx}$ Cumple	x: 6.325 m η = 1.2	x: 2.639 m η = 4.0	x: 0.138 m η = 18.3	x: 0.138 m η = 3.7	x: 2.327 m η = 5.1	x: 2.639 m η = 0.1	η < 0.1	η < 0.1	x: 0.138 m η = 21.9	η < 0.1	x: 2.639 m η = 1.9	x: 2.327 m η = 5.2	x: 2.639 m η = 0.1	**CUMPLE η = 21.9**
x: 6.325 m $\bar{\lambda}$ < 2.0 Cumple	x: 6.325 m $\lambda_w \leq \lambda_{w,máx}$ Cumple	x: 3.823 m η = 2.4	x: 0 m η = 5.9	x: 0.319 m η = 14.9	x: 6.325 m η = 7.8	x: 6.325 m η = 4.3	x: 0 m η = 0.2	η < 0.1	η < 0.1	x: 0.319 m η = 19.9	η < 0.1	x: 3.823 m η = 1.7	x: 6.325 m η = 4.3	x: 3.823 m η = 0.2	**CUMPLE η = 19.9**
x: 0.138 m $\bar{\lambda}$ < 2.0 Cumple	x: 0.138 m $\lambda_w \leq \lambda_{w,máx}$ Cumple	x: 6.325 m η = 1.2	x: 2.639 m η = 4.0	x: 0.138 m η = 18.0	x: 0.138 m η = 2.9	x: 2.327 m η = 5.1	x: 2.639 m η = 0.1	η < 0.1	η < 0.1	x: 0.138 m η = 21.0	η < 0.1	x: 2.639 m η = 1.8	x: 2.327 m η = 5.1	x: 2.639 m η = 0.1	**CUMPLE η = 21.0**
x: 6.325 m $\bar{\lambda}$ < 2.0 Cumple	x: 6.325 m $\lambda_w \leq \lambda_{w,máx}$ Cumple	x: 3.823 m η = 2.4	x: 0 m η = 5.9	x: 0.319 m η = 15.0	x: 6.325 m η = 7.3	x: 6.325 m η = 4.3	x: 0 m η = 0.2	η < 0.1	η < 0.1	x: 0.319 m η = 19.9	η < 0.1	x: 3.823 m η = 1.6	x: 6.325 m η = 4.3	x: 3.823 m η = 0.2	**CUMPLE η = 19.9**
$\bar{\lambda}$ < 2.0 Cumple	$\lambda_w \leq \lambda_{w,máx}$ Cumple	x: 7.673 m η = 0.5	x: 0 m η = 1.6	x: 0 m η = 20.5	x: 0 m η = 21.4	x: 0 m η = 3.9	x: 0 m η = 1.5	η < 0.1	η < 0.1	x: 0 m η = 41.9	η < 0.1	η = 0.2	x: 0 m η = 3.9	x: 0 m η = 1.5	**CUMPLE η = 41.9**
$\bar{\lambda}$ < 2.0 Cumple	$\lambda_w \leq \lambda_{w,máx}$ Cumple	x: 7.673 m η = 0.5	x: 0 m η = 1.6	x: 0 m η = 20.8	x: 0 m η = 21.4	x: 0 m η = 4.0	x: 0 m η = 1.5	η < 0.1	η < 0.1	x: 0 m η = 42.4	η < 0.1	η = 0.2	x: 0 m η = 4.0	x: 0 m η = 1.5	**CUMPLE η = 42.4**
x: 0.138 m $\bar{\lambda}$ < 2.0 Cumple	x: 0.138 m $\lambda_w \leq \lambda_{w,máx}$ Cumple	x: 6.325 m η = 0.5	x: 2.614 m η = 0.7	x: 6.325 m η = 11.5	x: 6.325 m η = 2.5	x: 6.325 m η = 3.8	x: 0.138 m η = 0.1	η < 0.1	η < 0.1	x: 6.325 m η = 13.3	η < 0.1	x: 2.616 m η = 0.6	x: 6.325 m η = 3.8	x: 0.138 m η = 0.1	**CUMPLE η = 13.3**
x: 6.198 m $\bar{\lambda}$ < 2.0 Cumple	x: 6.198 m $\lambda_w \leq \lambda_{w,máx}$ Cumple	x: 3.72 m η = 2.0	x: 0 m η = 0.4	x: 0 m η = 7.7	x: 6.198 m η = 5.4	x: 0 m η = 2.4	x: 0 m η = 0.3	η < 0.1	η < 0.1	x: 0 m η = 8.5	η < 0.1	x: 3.722 m η = 1.2	x: 0 m η = 2.4	x: 0 m η = 0.3	**CUMPLE η = 8.5**
x: 0.138 m $\bar{\lambda}$ < 2.0 Cumple	x: 0.138 m $\lambda_w \leq \lambda_{w,máx}$ Cumple	x: 6.325 m η = 0.5	x: 2.614 m η = 0.7	x: 6.325 m η = 11.8	x: 6.325 m η = 2.5	x: 6.325 m η = 3.8	x: 0.138 m η = 0.1	η < 0.1	η < 0.1	x: 6.325 m η = 13.5	η < 0.1	x: 2.616 m η = 0.6	x: 6.325 m η = 3.8	x: 0.138 m η = 0.1	**CUMPLE η = 13.5**
x: 6.198 m $\bar{\lambda}$ < 2.0 Cumple	x: 6.198 m $\lambda_w \leq \lambda_{w,máx}$ Cumple	x: 3.72 m η = 2.0	x: 0 m η = 0.4	x: 0 m η = 7.7	x: 6.198 m η = 5.4	x: 0 m η = 2.4	x: 0 m η = 0.3	η < 0.1	η < 0.1	x: 0 m η = 8.5	η < 0.1	x: 3.722 m η = 1.2	x: 0 m η = 2.4	x: 0 m η = 0.3	**CUMPLE η = 8.5**
$\bar{\lambda}$ < 2.0 Cumple	$\lambda_w \leq \lambda_{w,máx}$ Cumple	x: 5.929 m η = 0.3	x: 0 m η = 4.0	x: 0 m η = 30.9	x: 0 m η = 10.3	x: 0 m η = 8.6	η = 0.2	η < 0.1	η < 0.1	x: 0 m η = 42.6	η < 0.1	η = 0.4	x: 0 m η = 8.6	η = 0.2	**CUMPLE η = 42.6**
$\bar{\lambda}$ < 2.0 Cumple	$\lambda_w \leq \lambda_{w,máx}$ Cumple	x: 3.872 m η = 0.4	x: 0.07 m η = 1.5	x: 0.26 m η = 17.9	x: 0.07 m η = 14.5	x: 3.873 m η = 4.5	η = 0.5	η < 0.1	η < 0.1	x: 1.401 m η = 20.4	η < 0.1	η = 0.2	x: 3.873 m η = 4.5	η = 0.5	**CUMPLE η = 20.4**
$\bar{\lambda}$ < 2.0 Cumple	$\lambda_w \leq \lambda_{w,máx}$ Cumple	x: 5.929 m η = 0.4	x: 0 m η = 8.9	x: 0 m η = 35.8	x: 0 m η = 12.9	x: 0 m η = 8.5	η = 0.4	η < 0.1	η < 0.1	x: 0 m η = 50.1	η < 0.1	η < 0.1	x: 0 m η = 8.5	η = 0.4	**CUMPLE η = 50.1**
$\bar{\lambda}$ < 2.0 Cumple	$\lambda_w \leq \lambda_{w,máx}$ Cumple	x: 5.602 m η = 0.6	x: 0.07 m η = 4.6	x: 1.177 m η = 20.1	x: 5.603 m η = 5.5	x: 5.603 m η = 4.6	η = 0.1	η < 0.1	η < 0.1	x: 0.623 m η = 23.2	η < 0.1	η < 0.1	x: 5.603 m η = 4.6	η = 0.1	**CUMPLE η = 23.2**
$\bar{\lambda}$ < 2.0 Cumple	$\lambda_w \leq \lambda_{w,máx}$ Cumple	x: 5.929 m η = 0.3	x: 0 m η = 4.0	x: 0 m η = 31.0	x: 0 m η = 10.5	x: 0 m η = 8.6	η = 0.3	η < 0.1	η < 0.1	x: 0 m η = 42.3	η < 0.1	η = 0.4	x: 0 m η = 8.6	η = 0.3	**CUMPLE η = 42.3**
$\bar{\lambda}$ < 2.0 Cumple	$\lambda_w \leq \lambda_{w,máx}$ Cumple	x: 3.872 m η = 0.4	x: 0.07 m η = 1.5	x: 0.26 m η = 17.8	x: 0.07 m η = 14.6	x: 3.873 m η = 4.5	η = 0.6	η < 0.1	η < 0.1	x: 1.401 m η = 20.3	η < 0.1	η = 0.2	x: 3.873 m η = 4.5	η = 0.6	**CUMPLE η = 20.3**

COMPROBACIONES (CTE DB SE-A)															
$\bar{\lambda}$	λ_w	N_t	N_c	M_Y	M_Z	V_Z	V_Y	M_YV_Z	M_ZV_Y	NM_YM_Z	$NM_YM_ZV_YV_Z$	M_t	M_tV_Z	M_tV_Y	ESTADO
$\bar{\lambda}$ < 2.0 Cumple	$\lambda_w \le \lambda_{w,máx}$ Cumple	η = 0.3	η = 0.5	x: 0.12 m η = 53.2	x: 0.12 m η = 2.9	x: 0.12 m η = 17.3	η < 0.1	η < 0.1	η < 0.1	x: 0.12 m η = 53.9	η < 0.1	η = 0.2	x: 0.12 m η = 2.0	η < 0.1	**CUMPLE η = 53.9**
$\bar{\lambda}$ < 2.0 Cumple	$\lambda_w \le \lambda_{w,máx}$ Cumple	η = 0.3	η = 0.5	x: 5.88 m η = 52.7	x: 5.88 m η = 2.9	x: 5.88 m η = 17.2	η < 0.1	η < 0.1	η < 0.1	x: 5.88 m η = 53.5	η < 0.1	η = 0.2	x: 0.12 m η = 2.0	η < 0.1	**CUMPLE η = 53.5**
$\bar{\lambda}$ < 2.0 Cumple	$\lambda_w \le \lambda_{w,máx}$ Cumple	x: 5.919 m η = 0.4	x: 0 m η = 4.9	x: 0 m η = 31.7	x: 0 m η = 12.4	x: 0 m η = 8.6	η = 0.3	η < 0.1	η < 0.1	x: 0 m η = 45.7	η < 0.1	η = 0.1	x: 0 m η = 8.6	η = 0.3	**CUMPLE η = 45.7**
$\bar{\lambda}$ < 2.0 Cumple	$\lambda_w \le \lambda_{w,máx}$ Cumple	x: 3.872 m η = 0.5	x: 0.08 m η = 1.5	x: 0.291 m η = 16.0	x: 3.873 m η = 6.4	x: 3.873 m η = 4.4	η = 0.1	η < 0.1	η < 0.1	x: 0.712 m η = 19.5	η < 0.1	η = 0.6	x: 3.873 m η = 4.4	η = 0.1	**CUMPLE η = 19.5**
$\bar{\lambda}$ < 2.0 Cumple	$\lambda_w \le \lambda_{w,máx}$ Cumple	x: 5.919 m η = 1.0	x: 0 m η = 7.6	x: 0 m η = 35.3	x: 0 m η = 12.8	x: 0 m η = 8.4	η = 0.4	η < 0.1	η < 0.1	x: 0 m η = 50.6	η < 0.1	η < 0.1	x: 0 m η = 8.4	η = 0.4	**CUMPLE η = 50.6**
$\bar{\lambda}$ < 2.0 Cumple	$\lambda_w \le \lambda_{w,máx}$ Cumple	x: 5.602 m η = 1.1	x: 0.08 m η = 4.2	x: 1.185 m η = 17.9	x: 0.08 m η = 3.4	x: 5.603 m η = 4.4	η = 0.1	η < 0.1	η < 0.1	x: 1.185 m η = 21.6	η < 0.1	η < 0.1	x: 5.603 m η = 4.4	η = 0.1	**CUMPLE η = 21.6**
$\bar{\lambda}$ < 2.0 Cumple	$\lambda_w \le \lambda_{w,máx}$ Cumple	x: 5.919 m η = 0.4	x: 0 m η = 4.9	x: 0 m η = 31.7	x: 0 m η = 12.4	x: 0 m η = 8.6	η = 0.3	η < 0.1	η < 0.1	x: 0 m η = 45.6	η < 0.1	η = 0.1	x: 0 m η = 8.6	η = 0.3	**CUMPLE η = 45.6**
$\bar{\lambda}$ < 2.0 Cumple	$\lambda_w \le \lambda_{w,máx}$ Cumple	x: 3.872 m η = 0.5	x: 0.08 m η = 1.5	x: 0.291 m η = 16.0	x: 3.873 m η = 6.4	x: 3.873 m η = 4.4	η = 0.1	η < 0.1	η < 0.1	x: 0.712 m η = 19.5	η < 0.1	η = 0.6	x: 3.873 m η = 4.4	η = 0.1	**CUMPLE η = 19.5**
$\bar{\lambda}$ < 2.0 Cumple	$\lambda_w \le \lambda_{w,máx}$ Cumple	η = 2.2	η = 2.1	x: 5.87 m η = 16.6	x: 5.87 m η = 5.7	x: 5.87 m η = 1.5	η = 0.1	η < 0.1	η < 0.1	x: 5.87 m η = 22.5	η < 0.1	M_{Ed} = 0.00 N.P.(1)	N.P.(2)	N.P.(2)	**CUMPLE η = 22.5**
$\bar{\lambda}$ < 2.0 Cumple	$\lambda_w \le \lambda_{w,máx}$ Cumple	η = 2.1	η = 1.2	x: 5.88 m η = 13.4	x: 0.12 m η = 3.2	x: 5.88 m η = 1.3	η < 0.1	η < 0.1	η < 0.1	x: 5.88 m η = 17.3	η < 0.1	M_{Ed} = 0.00 N.P.(1)	N.P.(2)	N.P.(2)	**CUMPLE η = 17.3**
$\bar{\lambda}$ < 2.0 Cumple	$\lambda_w \le \lambda_{w,máx}$ Cumple	η = 2.1	η = 1.2	x: 0.12 m η = 13.4	x: 5.88 m η = 3.2	x: 0.12 m η = 1.3	η < 0.1	η < 0.1	η < 0.1	x: 0.12 m η = 17.3	η < 0.1	M_{Ed} = 0.00 N.P.(1)	N.P.(2)	N.P.(2)	**CUMPLE η = 17.3**
$\bar{\lambda}$ < 2.0 Cumple	$\lambda_w \le \lambda_{w,máx}$ Cumple	η = 2.2	η = 2.1	x: 0.13 m η = 16.6	x: 0.13 m η = 5.7	x: 0.13 m η = 1.5	η = 0.1	η < 0.1	η < 0.1	x: 0.13 m η = 22.6	η < 0.1	M_{Ed} = 0.00 N.P.(1)	N.P.(2)	N.P.(2)	**CUMPLE η = 22.6**
$\bar{\lambda}$ < 2.0 Cumple	$\lambda_w \le \lambda_{w,máx}$ Cumple	η = 8.8	η = 5.6	x: 5.87 m η = 16.4	x: 5.87 m η = 5.7	x: 5.87 m η = 1.4	η = 0.1	η < 0.1	η < 0.1	x: 5.87 m η = 26.5	η < 0.1	η = 0.7	x: 5.87 m η = 0.6	η < 0.1	**CUMPLE η = 26.5**
$\bar{\lambda}$ < 2.0 Cumple	$\lambda_w \le \lambda_{w,máx}$ Cumple	η = 8.7	η = 5.6	x: 0.07 m η = 9.1	x: 0.07 m η = 3.2	x: 0.07 m η = 0.9	η < 0.1	η < 0.1	η < 0.1	x: 0.07 m η = 16.8	η < 0.1	M_{Ed} = 0.00 N.P.(1)	N.P.(2)	N.P.(2)	**CUMPLE η = 16.8**
$\bar{\lambda}$ < 2.0 Cumple	$\lambda_w \le \lambda_{w,máx}$ Cumple	η = 8.7	η = 5.6	x: 5.93 m η = 9.1	x: 5.93 m η = 3.2	x: 5.93 m η = 0.9	η < 0.1	η < 0.1	η < 0.1	x: 5.93 m η = 16.8	η < 0.1	M_{Ed} = 0.00 N.P.(1)	N.P.(2)	N.P.(2)	**CUMPLE η = 16.8**
$\bar{\lambda}$ < 2.0 Cumple	$\lambda_w \le \lambda_{w,máx}$ Cumple	η = 8.8	η = 5.6	x: 0.13 m η = 16.4	x: 0.13 m η = 5.7	x: 0.13 m η = 1.4	η = 0.1	η < 0.1	η < 0.1	x: 0.13 m η = 26.5	η < 0.1	η = 0.7	x: 0.13 m η = 0.6	η < 0.1	**CUMPLE η = 26.5**
$\bar{\lambda}$ < 2.0 Cumple	$\lambda_w \le \lambda_{w,máx}$ Cumple	N_{Ed} = 0.00 N.P.(3)	x: 0 m η = 9.7	x: 0 m η = 10.3	x: 5.92 m η = 27.6	η = 1.0	η = 0.4	η < 0.1	η < 0.1	x: 5.92 m η = 40.5	η < 0.1	M_{Ed} = 0.00 N.P.(1)	N.P.(2)	N.P.(2)	**CUMPLE η = 40.5**
$\bar{\lambda}$ < 2.0 Cumple	$\lambda_w \le \lambda_{w,máx}$ Cumple	x: 5.919 m η = 0.1	x: 0 m η = 9.8	x: 0 m η = 9.4	x: 5.92 m η = 28.7	η = 0.9	η = 0.4	η < 0.1	η < 0.1	x: 5.92 m η = 41.6	η < 0.1	M_{Ed} = 0.00 N.P.(1)	N.P.(2)	N.P.(2)	**CUMPLE η = 41.6**
$\bar{\lambda}$ < 2.0 Cumple	$\lambda_w \le \lambda_{w,máx}$ Cumple	N_{Ed} = 0.00 N.P.(3)	x: 0 m η = 9.7	x: 0 m η = 10.3	x: 5.92 m η = 27.6	η = 1.0	η = 0.4	η < 0.1	η < 0.1	x: 5.92 m η = 40.5	η < 0.1	M_{Ed} = 0.00 N.P.(1)	N.P.(2)	N.P.(2)	**CUMPLE η = 40.5**
$\bar{\lambda}$ < 2.0 Cumple	$\lambda_w \le \lambda_{w,máx}$ Cumple	η = 0.5	η = 4.2	x: 4.87 m η = 26.2	x: 0.13 m η = 1.4	x: 4.87 m η = 11.2	η < 0.1	η < 0.1	η < 0.1	x: 4.87 m η = 26.9	η < 0.1	η = 0.2	x: 0.13 m η = 1.6	η < 0.1	**CUMPLE η = 26.9**
$\bar{\lambda}$ < 2.0 Cumple	$\lambda_w \le \lambda_{w,máx}$ Cumple	η = 0.1	η = 0.3	x: 0.12 m η = 72.5	x: 0.12 m η = 1.9	x: 0.12 m η = 26.2	η < 0.1	η < 0.1	η < 0.1	x: 0.12 m η = 73.1	η < 0.1	η = 0.1	x: 0.12 m η = 1.1	η < 0.1	**CUMPLE η = 73.1**
$\bar{\lambda}$ < 2.0 Cumple	$\lambda_w \le \lambda_{w,máx}$ Cumple	η = 0.1	η = 0.3	x: 0.12 m η = 71.6	x: 0.12 m η = 0.2	x: 0.12 m η = 26.1	η < 0.1	η < 0.1	x: 0.12 m η < 0.1	x: 0.12 m η = 72.1	η < 0.1	M_{Ed} = 0.00 N.P.(1)	N.P.(2)	N.P.(2)	**CUMPLE η = 72.1**
$\bar{\lambda}$ < 2.0 Cumple	$\lambda_w \le \lambda_{w,máx}$ Cumple	η = 0.1	η = 0.3	x: 0.12 m η = 72.4	x: 0.12 m η = 1.9	x: 0.12 m η = 26.2	η < 0.1	η < 0.1	η < 0.1	x: 0.12 m η = 73.0	η < 0.1	η = 0.1	x: 0.12 m η = 1.1	η < 0.1	**CUMPLE η = 73.0**
$\bar{\lambda}$ < 2.0 Cumple	$\lambda_w \le \lambda_{w,máx}$ Cumple	η = 0.5	η = 4.2	x: 4.87 m η = 26.3	x: 0.13 m η = 1.4	x: 4.87 m η = 11.2	η < 0.1	η < 0.1	η < 0.1	x: 4.87 m η = 26.9	η < 0.1	η = 0.2	x: 0.13 m η = 1.6	η < 0.1	**CUMPLE η = 26.9**
$\bar{\lambda}$ < 2.0 Cumple	$\lambda_w \le \lambda_{w,máx}$ Cumple	η = 0.5	η = 15.7	x: 0.13 m η = 7.2	x: 0.13 m η = 4.3	x: 0.13 m η = 1.1	η = 0.1	η < 0.1	η < 0.1	x: 4.87 m η = 20.9	η < 0.1	η = 0.2	x: 4.87 m η = 1.0	η = 0.1	**CUMPLE η = 20.9**
$\bar{\lambda}$ < 2.0 Cumple	$\lambda_w \le \lambda_{w,máx}$ Cumple	η = 6.0	η = 5.1	x: 0.13 m η = 7.6	x: 0.13 m η = 31.4	x: 0.13 m η = 1.2	η = 0.7	η < 0.1	η < 0.1	x: 0.13 m η = 38.5	η < 0.1	η = 0.6	x: 0.13 m η = 1.2	η = 0.7	**CUMPLE η = 38.5**
$\bar{\lambda}$ < 2.0 Cumple	$\lambda_w \le \lambda_{w,máx}$ Cumple	η = 6.2	η = 4.5	x: 0.13 m η = 8.5	x: 0.13 m η = 7.5	x: 0.13 m η = 1.3	η = 0.2	η < 0.1	η < 0.1	x: 0.13 m η = 14.8	η < 0.1	M_{Ed} = 0.00 N.P.(1)	N.P.(2)	N.P.(2)	**CUMPLE η = 14.8**
$\bar{\lambda}$ < 2.0 Cumple	$\lambda_w \le \lambda_{w,máx}$ Cumple	η = 6.3	η = 5.4	x: 4.87 m η = 8.2	x: 4.87 m η = 6.4	x: 4.87 m η = 1.2	η = 0.1	η < 0.1	η < 0.1	x: 4.87 m η = 14.1	η < 0.1	η = 0.4	x: 4.87 m η = 1.2	η = 0.1	**CUMPLE η = 14.1**
$\bar{\lambda}$ < 2.0 Cumple	$\lambda_w \le \lambda_{w,máx}$ Cumple	η = 6.2	η = 6.1	x: 4.87 m η = 8.7	x: 0.13 m η = 28.1	x: 4.87 m η = 1.3	η = 0.6	η < 0.1	η < 0.1	x: 4.87 m η = 38.0	η < 0.1	η = 0.5	x: 4.87 m η = 1.3	η = 0.6	**CUMPLE η = 38.0**
$\bar{\lambda}$ < 2.0 Cumple	$\lambda_w \le \lambda_{w,máx}$ Cumple	η = 1.8	η = 16.5	x: 4.87 m η = 10.8	x: 4.87 m η = 6.8	x: 0.13 m η = 1.4	η = 0.1	η < 0.1	η < 0.1	x: 0.13 m η = 20.7	η < 0.1	η = 0.5	x: 0.13 m η = 1.4	η = 0.1	**CUMPLE η = 20.7**
$\bar{\lambda}$ < 2.0 Cumple	$\lambda_w \le \lambda_{w,máx}$ Cumple	η = 0.2	η = 21.1	x: 4.88 m η = 14.4	x: 4.88 m η = 6.9	x: 4.88 m η = 1.3	η = 0.1	η < 0.1	η < 0.1	x: 4.88 m η = 31.9	η < 0.1	η = 0.4	x: 4.88 m η = 1.3	η = 0.1	**CUMPLE η = 31.9**
$\bar{\lambda}$ < 2.0 Cumple	$\lambda_w \le \lambda_{w,máx}$ Cumple	η = 2.3	η = 39.4	x: 4.88 m η = 22.1	x: 0 m η = 0.5	x: 0 m η = 2.2	η < 0.1	η < 0.1	η < 0.1	x: 0 m η = 46.8	η < 0.1	η = 0.4	x: 0 m η = 2.2	η < 0.1	**CUMPLE η = 46.8**
$\bar{\lambda}$ < 2.0 Cumple	$\lambda_w \le \lambda_{w,máx}$ Cumple	η = 1.8	η = 16.5	x: 4.87 m η = 10.8	x: 4.87 m η = 7.1	x: 0.13 m η = 1.4	η = 0.1	η < 0.1	η < 0.1	x: 0.13 m η = 20.9	η < 0.1	η = 0.5	x: 0.13 m η = 1.4	η = 0.1	**CUMPLE η = 20.9**
$\bar{\lambda}$ < 2.0 Cumple	$\lambda_w \le \lambda_{w,máx}$ Cumple	η = 6.1	η = 6.1	x: 4.87 m η = 8.6	x: 4.87 m η = 20.9	x: 4.87 m η = 1.3	η = 0.4	η < 0.1	η < 0.1	x: 4.87 m η = 30.6	η < 0.1	η = 0.4	x: 4.87 m η = 1.3	η = 0.4	**CUMPLE η = 30.6**
$\bar{\lambda}$ < 2.0 Cumple	$\lambda_w \le \lambda_{w,máx}$ Cumple	η = 6.2	η = 5.4	x: 4.87 m η = 8.2	x: 4.87 m η = 2.7	x: 4.87 m η = 1.2	η = 0.1	η < 0.1	η < 0.1	x: 4.87 m η = 11.6	η < 0.1	M_{Ed} = 0.00 N.P.(1)	N.P.(2)	N.P.(2)	**CUMPLE η = 11.6**
$\bar{\lambda}$ < 2.0 Cumple	$\lambda_w \le \lambda_{w,máx}$ Cumple	η = 6.2	η = 4.5	x: 0.13 m η = 8.4	x: 4.87 m η = 6.9	x: 0.13 m η = 1.3	η = 0.1	η < 0.1	η < 0.1	x: 0.13 m η = 13.9	η < 0.1	η = 0.1	x: 0.13 m η = 0.6	η = 0.1	**CUMPLE η = 13.9**
$\bar{\lambda}$ < 2.0 Cumple	$\lambda_w \le \lambda_{w,máx}$ Cumple	η = 6.0	η = 5.1	x: 0.13 m η = 7.6	x: 0.13 m η = 31.2	x: 0.13 m η = 1.2	η = 0.7	η < 0.1	η < 0.1	x: 0.13 m η = 38.4	η < 0.1	η = 0.6	x: 0.13 m η = 1.2	η = 0.7	**CUMPLE η = 38.4**
$\bar{\lambda}$ < 2.0 Cumple	$\lambda_w \le \lambda_{w,máx}$ Cumple	η = 0.5	η = 15.7	x: 0.13 m η = 7.2	x: 0.13 m η = 4.3	x: 0.13 m η = 1.1	η = 0.1	η < 0.1	η < 0.1	x: 4.87 m η = 20.9	η < 0.1	η = 0.2	x: 4.87 m η = 1.0	η = 0.1	**CUMPLE η = 20.9**
$\bar{\lambda}$ < 2.0 Cumple	$\lambda_w \le \lambda_{w,máx}$ Cumple	η = 0.2	η = 21.0	x: 4.88 m η = 14.5	x: 4.88 m η = 6.7	x: 4.88 m η = 1.3	η = 0.1	η < 0.1	η < 0.1	x: 4.88 m η = 31.6	η < 0.1	η = 0.4	x: 4.88 m η = 1.3	η = 0.1	**CUMPLE η = 31.6**
$\bar{\lambda}$ < 2.0 Cumple	$\lambda_w \le \lambda_{w,máx}$ Cumple	η = 0.2	η = 19.1	x: 0.12 m η = 13.0	x: 0.12 m η = 7.4	x: 5 m η = 1.1	η = 0.1	η < 0.1	η < 0.1	x: 0.12 m η = 27.9	η < 0.1	η = 0.2	x: 0.12 m η = 1.0	η = 0.1	**CUMPLE η = 27.9**
$\bar{\lambda}$ < 2.0 Cumple	$\lambda_w \le \lambda_{w,máx}$ Cumple	η = 2.2	η = 37.6	x: 5 m η = 21.4	x: 5 m η = 0.5	x: 5 m η = 2.8	η < 0.1	η < 0.1	η < 0.1	x: 5 m η = 49.8	η < 0.1	η = 0.3	x: 5 m η = 2.8	η < 0.1	**CUMPLE η = 49.8**
$\bar{\lambda}$ < 2.0 Cumple	$\lambda_w \le \lambda_{w,máx}$ Cumple	η = 6.0	η = 40.9	x: 0 m η = 42.4	x: 5 m η = 16.0	x: 0 m η = 4.5	η = 0.3	η < 0.1	η < 0.1	x: 0 m η = 70.0	η < 0.1	η = 0.2	x: 0 m η = 3.8	η = 0.3	**CUMPLE η = 70.0**
$\bar{\lambda}$ < 2.0 Cumple	$\lambda_w \le \lambda_{w,máx}$ Cumple	η = 6.0	η = 42.5	x: 0 m η = 16.0	x: 5 m η = 3.5	x: 5 m η = 1.6	η = 0.1	η < 0.1	η < 0.1	x: 0 m η = 54.8	η < 0.1	M_{Ed} = 0.00 N.P.(1)	N.P.(2)	N.P.(2)	**CUMPLE η = 54.8**
$\bar{\lambda}$ < 2.0 Cumple	$\lambda_w \le \lambda_{w,máx}$ Cumple	η = 6.0	η = 42.9	x: 5 m η = 20.6	x: 0 m η = 4.5	x: 0 m η = 2.1	η = 0.1	η < 0.1	η < 0.1	x: 5 m η = 63.3	η < 0.1	η = 0.1	x: 0 m η = 1.2	η = 0.1	**CUMPLE η = 63.3**
$\bar{\lambda}$ < 2.0 Cumple	$\lambda_w \le \lambda_{w,máx}$ Cumple	η = 6.0	η = 42.1	x: 5 m η = 30.9	x: 0 m η = 17.3	x: 5 m η = 3.7	η = 0.3	η < 0.1	η < 0.1	x: 5 m η = 69.9	η < 0.1	η = 0.2	x: 5 m η = 3.0	η = 0.3	**CUMPLE η = 69.9**
$\bar{\lambda}$ < 2.0 Cumple	$\lambda_w \le \lambda_{w,máx}$ Cumple	η = 0.2	η = 19.1	x: 0.12 m η = 13.1	x: 0.12 m η = 7.4	x: 5 m η = 1.1	η = 0.1	η < 0.1	η < 0.1	x: 0.12 m η = 27.9	η < 0.1	η = 0.2	x: 0.12 m η = 1.0	η = 0.1	**CUMPLE η = 27.9**

COMPROBACIONES (CTE DB SE-A)														ESTADO
$\bar{\lambda}$	N_t	N_c	M_Y	M_Z	V_Z	V_Y	M_YV_Z	M_ZV_Y	NM_YM_Z	$NM_YM_ZV_YV_Z$	M_t	M_tV_Z	M_tV_Y	
$\bar{\lambda} \le$ 4.0 Cumple	η = 60.5	N_{Ed} = 0.00 N.P.(4)	M_{Ed} = 0.00 N.P.(5)	M_{Ed} = 0.00 N.P.(5)	V_{Ed} = 0.00 N.P.(6)	V_{Ed} = 0.00 N.P.(6)	N.P.(7)	N.P.(7)	N.P.(8)	N.P.(9)	M_{Ed} = 0.00 N.P.(1)	N.P.(2)	N.P.(2)	**CUMPLE η = 60.5**
$\bar{\lambda} \le$ 4.0 Cumple	η = 34.2	N_{Ed} = 0.00 N.P.(4)	M_{Ed} = 0.00 N.P.(5)	M_{Ed} = 0.00 N.P.(5)	V_{Ed} = 0.00 N.P.(6)	V_{Ed} = 0.00 N.P.(6)	N.P.(7)	N.P.(7)	N.P.(8)	N.P.(9)	M_{Ed} = 0.00 N.P.(1)	N.P.(2)	N.P.(2)	**CUMPLE η = 34.2**
$\bar{\lambda} \le$ 4.0 Cumple	η = 25.6	N_{Ed} = 0.00 N.P.(4)	M_{Ed} = 0.00 N.P.(5)	M_{Ed} = 0.00 N.P.(5)	V_{Ed} = 0.00 N.P.(6)	V_{Ed} = 0.00 N.P.(6)	N.P.(7)	N.P.(7)	N.P.(8)	N.P.(9)	M_{Ed} = 0.00 N.P.(1)	N.P.(2)	N.P.(2)	**CUMPLE η = 25.6**
$\bar{\lambda} \le$ 4.0 Cumple	η = 30.7	N_{Ed} = 0.00 N.P.(4)	M_{Ed} = 0.00 N.P.(5)	M_{Ed} = 0.00 N.P.(5)	V_{Ed} = 0.00 N.P.(6)	V_{Ed} = 0.00 N.P.(6)	N.P.(7)	N.P.(7)	N.P.(8)	N.P.(9)	M_{Ed} = 0.00 N.P.(1)	N.P.(2)	N.P.(2)	**CUMPLE η = 30.7**
$\bar{\lambda} \le$ 4.0 Cumple	η = 30.7	N_{Ed} = 0.00 N.P.(4)	M_{Ed} = 0.00 N.P.(5)	M_{Ed} = 0.00 N.P.(5)	V_{Ed} = 0.00 N.P.(6)	V_{Ed} = 0.00 N.P.(6)	N.P.(7)	N.P.(7)	N.P.(8)	N.P.(9)	M_{Ed} = 0.00 N.P.(1)	N.P.(2)	N.P.(2)	**CUMPLE η = 30.7**
$\bar{\lambda} \le$ 4.0 Cumple	η = 25.6	N_{Ed} = 0.00 N.P.(4)	M_{Ed} = 0.00 N.P.(5)	M_{Ed} = 0.00 N.P.(5)	V_{Ed} = 0.00 N.P.(6)	V_{Ed} = 0.00 N.P.(6)	N.P.(7)	N.P.(7)	N.P.(8)	N.P.(9)	M_{Ed} = 0.00 N.P.(1)	N.P.(2)	N.P.(2)	**CUMPLE η = 25.6**
$\bar{\lambda} \le$ 4.0 Cumple	η = 34.2	N_{Ed} = 0.00 N.P.(4)	M_{Ed} = 0.00 N.P.(5)	M_{Ed} = 0.00 N.P.(5)	V_{Ed} = 0.00 N.P.(6)	V_{Ed} = 0.00 N.P.(6)	N.P.(7)	N.P.(7)	N.P.(8)	N.P.(9)	M_{Ed} = 0.00 N.P.(1)	N.P.(2)	N.P.(2)	**CUMPLE η = 34.2**
$\bar{\lambda} \le$ 4.0 Cumple	η = 57.5	N_{Ed} = 0.00 N.P.(4)	M_{Ed} = 0.00 N.P.(5)	M_{Ed} = 0.00 N.P.(5)	V_{Ed} = 0.00 N.P.(6)	V_{Ed} = 0.00 N.P.(6)	N.P.(7)	N.P.(7)	N.P.(8)	N.P.(9)	M_{Ed} = 0.00 N.P.(1)	N.P.(2)	N.P.(2)	**CUMPLE η = 57.5**
$\bar{\lambda} \le$ 4.0 Cumple	η = 30.6	N_{Ed} = 0.00 N.P.(4)	M_{Ed} = 0.00 N.P.(5)	M_{Ed} = 0.00 N.P.(5)	V_{Ed} = 0.00 N.P.(6)	V_{Ed} = 0.00 N.P.(6)	N.P.(7)	N.P.(7)	N.P.(8)	N.P.(9)	M_{Ed} = 0.00 N.P.(1)	N.P.(2)	N.P.(2)	**CUMPLE η = 30.6**
$\bar{\lambda} \le$ 4.0 Cumple	η = 60.5	N_{Ed} = 0.00 N.P.(4)	M_{Ed} = 0.00 N.P.(5)	M_{Ed} = 0.00 N.P.(5)	V_{Ed} = 0.00 N.P.(6)	V_{Ed} = 0.00 N.P.(6)	N.P.(7)	N.P.(7)	N.P.(8)	N.P.(9)	M_{Ed} = 0.00 N.P.(1)	N.P.(2)	N.P.(2)	**CUMPLE η = 60.5**
$\bar{\lambda} \le$ 4.0 Cumple	η = 36.6	N_{Ed} = 0.00 N.P.(4)	M_{Ed} = 0.00 N.P.(5)	M_{Ed} = 0.00 N.P.(5)	V_{Ed} = 0.00 N.P.(6)	V_{Ed} = 0.00 N.P.(6)	N.P.(7)	N.P.(7)	N.P.(8)	N.P.(9)	M_{Ed} = 0.00 N.P.(1)	N.P.(2)	N.P.(2)	**CUMPLE η = 36.6**
$\bar{\lambda} \le$ 4.0 Cumple	η = 16.9	N_{Ed} = 0.00 N.P.(4)	M_{Ed} = 0.00 N.P.(5)	M_{Ed} = 0.00 N.P.(5)	V_{Ed} = 0.00 N.P.(6)	V_{Ed} = 0.00 N.P.(6)	N.P.(7)	N.P.(7)	N.P.(8)	N.P.(9)	M_{Ed} = 0.00 N.P.(1)	N.P.(2)	N.P.(2)	**CUMPLE η = 16.9**
$\bar{\lambda} \le$ 4.0 Cumple	η = 17.0	N_{Ed} = 0.00 N.P.(4)	M_{Ed} = 0.00 N.P.(5)	M_{Ed} = 0.00 N.P.(5)	V_{Ed} = 0.00 N.P.(6)	V_{Ed} = 0.00 N.P.(6)	N.P.(7)	N.P.(7)	N.P.(8)	N.P.(9)	M_{Ed} = 0.00 N.P.(1)	N.P.(2)	N.P.(2)	**CUMPLE η = 17.0**
$\bar{\lambda} \le$ 4.0 Cumple	η = 36.8	N_{Ed} = 0.00 N.P.(4)	M_{Ed} = 0.00 N.P.(5)	M_{Ed} = 0.00 N.P.(5)	V_{Ed} = 0.00 N.P.(6)	V_{Ed} = 0.00 N.P.(6)	N.P.(7)	N.P.(7)	N.P.(8)	N.P.(9)	M_{Ed} = 0.00 N.P.(1)	N.P.(2)	N.P.(2)	**CUMPLE η = 36.8**
$\bar{\lambda} \le$ 4.0 Cumple	η = 30.6	N_{Ed} = 0.00 N.P.(4)	M_{Ed} = 0.00 N.P.(5)	M_{Ed} = 0.00 N.P.(5)	V_{Ed} = 0.00 N.P.(6)	V_{Ed} = 0.00 N.P.(6)	N.P.(7)	N.P.(7)	N.P.(8)	N.P.(9)	M_{Ed} = 0.00 N.P.(1)	N.P.(2)	N.P.(2)	**CUMPLE η = 30.6**
$\bar{\lambda} \le$ 4.0 Cumple	η = 57.5	N_{Ed} = 0.00 N.P.(4)	M_{Ed} = 0.00 N.P.(5)	M_{Ed} = 0.00 N.P.(5)	V_{Ed} = 0.00 N.P.(6)	V_{Ed} = 0.00 N.P.(6)	N.P.(7)	N.P.(7)	N.P.(8)	N.P.(9)	M_{Ed} = 0.00 N.P.(1)	N.P.(2)	N.P.(2)	**CUMPLE η = 57.5**
$\bar{\lambda} \le$ 4.0 Cumple	η = 50.9	N_{Ed} = 0.00 N.P.(4)	M_{Ed} = 0.00 N.P.(5)	M_{Ed} = 0.00 N.P.(5)	V_{Ed} = 0.00 N.P.(6)	V_{Ed} = 0.00 N.P.(6)	N.P.(7)	N.P.(7)	N.P.(8)	N.P.(9)	M_{Ed} = 0.00 N.P.(1)	N.P.(2)	N.P.(2)	**CUMPLE η = 50.9**
$\bar{\lambda} \le$ 4.0 Cumple	η = 21.0	N_{Ed} = 0.00 N.P.(4)	M_{Ed} = 0.00 N.P.(5)	M_{Ed} = 0.00 N.P.(5)	V_{Ed} = 0.00 N.P.(6)	V_{Ed} = 0.00 N.P.(6)	N.P.(7)	N.P.(7)	N.P.(8)	N.P.(9)	M_{Ed} = 0.00 N.P.(1)	N.P.(2)	N.P.(2)	**CUMPLE η = 21.0**
$\bar{\lambda} \le$ 4.0 Cumple	η = 34.4	N_{Ed} = 0.00 N.P.(4)	M_{Ed} = 0.00 N.P.(5)	M_{Ed} = 0.00 N.P.(5)	V_{Ed} = 0.00 N.P.(6)	V_{Ed} = 0.00 N.P.(6)	N.P.(7)	N.P.(7)	N.P.(8)	N.P.(9)	M_{Ed} = 0.00 N.P.(1)	N.P.(2)	N.P.(2)	**CUMPLE η = 34.4**
$\bar{\lambda} \le$ 4.0 Cumple	η = 34.0	N_{Ed} = 0.00 N.P.(4)	M_{Ed} = 0.00 N.P.(5)	M_{Ed} = 0.00 N.P.(5)	V_{Ed} = 0.00 N.P.(6)	V_{Ed} = 0.00 N.P.(6)	N.P.(7)	N.P.(7)	N.P.(8)	N.P.(9)	M_{Ed} = 0.00 N.P.(1)	N.P.(2)	N.P.(2)	**CUMPLE η = 34.0**
$\bar{\lambda} \le$ 4.0 Cumple	η = 20.9	N_{Ed} = 0.00 N.P.(4)	M_{Ed} = 0.00 N.P.(5)	M_{Ed} = 0.00 N.P.(5)	V_{Ed} = 0.00 N.P.(6)	V_{Ed} = 0.00 N.P.(6)	N.P.(7)	N.P.(7)	N.P.(8)	N.P.(9)	M_{Ed} = 0.00 N.P.(1)	N.P.(2)	N.P.(2)	**CUMPLE η = 20.9**
$\bar{\lambda} \le$ 4.0 Cumple	η = 50.8	N_{Ed} = 0.00 N.P.(4)	M_{Ed} = 0.00 N.P.(5)	M_{Ed} = 0.00 N.P.(5)	V_{Ed} = 0.00 N.P.(6)	V_{Ed} = 0.00 N.P.(6)	N.P.(7)	N.P.(7)	N.P.(8)	N.P.(9)	M_{Ed} = 0.00 N.P.(1)	N.P.(2)	N.P.(2)	**CUMPLE η = 50.8**
$\bar{\lambda} \le$ 4.0 Cumple	η = 51.0	N_{Ed} = 0.00 N.P.(4)	M_{Ed} = 0.00 N.P.(5)	M_{Ed} = 0.00 N.P.(5)	V_{Ed} = 0.00 N.P.(6)	V_{Ed} = 0.00 N.P.(6)	N.P.(7)	N.P.(7)	N.P.(8)	N.P.(9)	M_{Ed} = 0.00 N.P.(1)	N.P.(2)	N.P.(2)	**CUMPLE η = 51.0**

COMPROBACIONES (CTE DB SE-A)														ESTADO
$\bar{\lambda}$	N_t	N_c	M_Y	M_Z	V_Z	V_Y	M_YV_Z	M_ZV_Y	NM_YM_Z	$NM_YM_ZV_YV_Z$	M_t	M_tV_Z	M_tV_Y	
$\bar{\lambda} \leq 4.0$ Cumple	η = 39.6	N_{Ed} = 0.00 N.P.(4)	M_{Ed} = 0.00 N.P.(5)	M_{Ed} = 0.00 N.P.(5)	V_{Ed} = 0.00 N.P.(6)	V_{Ed} = 0.00 N.P.(6)	N.P.(7)	N.P.(7)	N.P.(8)	N.P.(9)	M_{Ed} = 0.00 N.P.(1)	N.P.(2)	N.P.(2)	**CUMPLE η = 39.6**
$\bar{\lambda} \leq 4.0$ Cumple	η = 17.2	N_{Ed} = 0.00 N.P.(4)	M_{Ed} = 0.00 N.P.(5)	M_{Ed} = 0.00 N.P.(5)	V_{Ed} = 0.00 N.P.(6)	V_{Ed} = 0.00 N.P.(6)	N.P.(7)	N.P.(7)	N.P.(8)	N.P.(9)	M_{Ed} = 0.00 N.P.(1)	N.P.(2)	N.P.(2)	**CUMPLE η = 17.2**
$\bar{\lambda} \leq 4.0$ Cumple	η = 17.4	N_{Ed} = 0.00 N.P.(4)	M_{Ed} = 0.00 N.P.(5)	M_{Ed} = 0.00 N.P.(5)	V_{Ed} = 0.00 N.P.(6)	V_{Ed} = 0.00 N.P.(6)	N.P.(7)	N.P.(7)	N.P.(8)	N.P.(9)	M_{Ed} = 0.00 N.P.(1)	N.P.(2)	N.P.(2)	**CUMPLE η = 17.4**
$\bar{\lambda} \leq 4.0$ Cumple	η = 39.9	N_{Ed} = 0.00 N.P.(4)	M_{Ed} = 0.00 N.P.(5)	M_{Ed} = 0.00 N.P.(5)	V_{Ed} = 0.00 N.P.(6)	V_{Ed} = 0.00 N.P.(6)	N.P.(7)	N.P.(7)	N.P.(8)	N.P.(9)	M_{Ed} = 0.00 N.P.(1)	N.P.(2)	N.P.(2)	**CUMPLE η = 39.9**
$\bar{\lambda} \leq 4.0$ Cumple	η = 51.1	N_{Ed} = 0.00 N.P.(4)	M_{Ed} = 0.00 N.P.(5)	M_{Ed} = 0.00 N.P.(5)	V_{Ed} = 0.00 N.P.(6)	V_{Ed} = 0.00 N.P.(6)	N.P.(7)	N.P.(7)	N.P.(8)	N.P.(9)	M_{Ed} = 0.00 N.P.(1)	N.P.(2)	N.P.(2)	**CUMPLE η = 51.1**

Notación:

- $\bar{\lambda}$: Limitación de esbeltez
- λ_w: Abolladura del alma inducida por el ala comprimida
- N_t: Resistencia a tracción
- N_c: Resistencia a compresión
- M_Y: Resistencia a flexión eje Y
- M_Z: Resistencia a flexión eje Z
- V_Z: Resistencia a corte Z
- V_Y: Resistencia a corte Y
- M_YV_Z: Resistencia a momento flector Y y fuerza cortante Z combinados
- M_ZV_Y: Resistencia a momento flector Z y fuerza cortante Y combinados
- NM_YM_Z: Resistencia a flexión y axil combinados
- $NM_YM_ZV_YV_Z$: Resistencia a flexión, axil y cortante combinados
- M_t: Resistencia a torsión
- M_tV_Z: Resistencia a cortante Z y momento torsor combinados
- M_tV_Y: Resistencia a cortante Y y momento torsor combinados
- x: Distancia al origen de la barra
- η: Coeficiente de aprovechamiento (%)
- N.P.: No procede

Comprobaciones que no proceden (N.P.):

- (1) La comprobación no procede, ya que no hay momento torsor.
- (2) No hay interacción entre momento torsor y esfuerzo cortante para ninguna combinación. Por lo tanto, la comprobación no procede.
- (3) La comprobación no procede, ya que no hay axil de tracción.
- (4) La comprobación no procede, ya que no hay axil de compresión.
- (5) La comprobación no procede, ya que no hay momento flector.
- (6) La comprobación no procede, ya que no hay esfuerzo cortante.
- (7) No hay interacción entre momento flector y esfuerzo cortante para ninguna combinación. Por lo tanto, la comprobación no procede.
- (8) No hay interacción entre axil y momento flector ni entre momentos flectores en ambas direcciones para ninguna combinación. Por lo tanto, la comprobación no procede.
- (9) No hay interacción entre momento flector, axil y cortante para ninguna combinación. Por lo tanto, la comprobación no procede.

10 UNIONES

10.1 COMPROBACIÓN DE LAS PLACAS DE ANCLAJE

En cada placa de anclaje se realizan las siguientes comprobaciones (asumiendo la hipótesis de placa rígida):

Hormigón sobre el que apoya la placa

- Se comprueba que la tensión de compresión en la interfaz placa de anclaje-hormigón es menor a la tensión admisible del hormigón según la naturaleza de cada combinación.

Pernos de anclaje

- *Resistencia del material de los pernos*: Se descomponen los esfuerzos actuantes sobre la placa en axiles y cortantes en los pernos y se comprueba que ambos esfuerzos, por separado y con interacción entre ellos (tensión de Von Mises), producen tensiones menores a la tensión límite del material de los pernos.
- *Anclaje de los pernos*: Se comprueba el anclaje de los pernos en el hormigón de tal manera que no se produzca el fallo de deslizamiento por adherencia, arrancamiento del cono de rotura o fractura por esfuerzo cortante (aplastamiento).
- *Aplastamiento*: Se comprueba que en cada perno no se supera el cortante que produciría el aplastamiento de la placa contra el perno.

Placa de anclaje

- *Tensiones globales*: En placas con vuelo, se analizan cuatro secciones en el perímetro del perfil, y se comprueba en todas ellas que las tensiones de Von Mises sean menores que la tensión límite según la norma.
- *Flechas globales relativas*: Se comprueba que en los vuelos de las placas no aparezcan flechas mayores que 1/250 del vuelo.
- *Tensiones locales*: Se comprueban las tensiones de Von Mises en todas las placas locales en las que tanto el perfil como los rigidizadores dividen a la placa de anclaje propiamente dicha. Los esfuerzos en cada una de las subplacas se obtienen a partir de las tensiones de contacto con el hormigón y los axiles de los pernos. El modelo generado se resuelve por diferencias finitas.

NOTA: Únicamente se va a exponer la comprobación de un tipo de nudo y un tipo de placa de anclaje para no alargar en exceso el Anejo

10.1.1 PLACA DE ANCLAJE TIPO 1

10.1.1.1 DETALLE

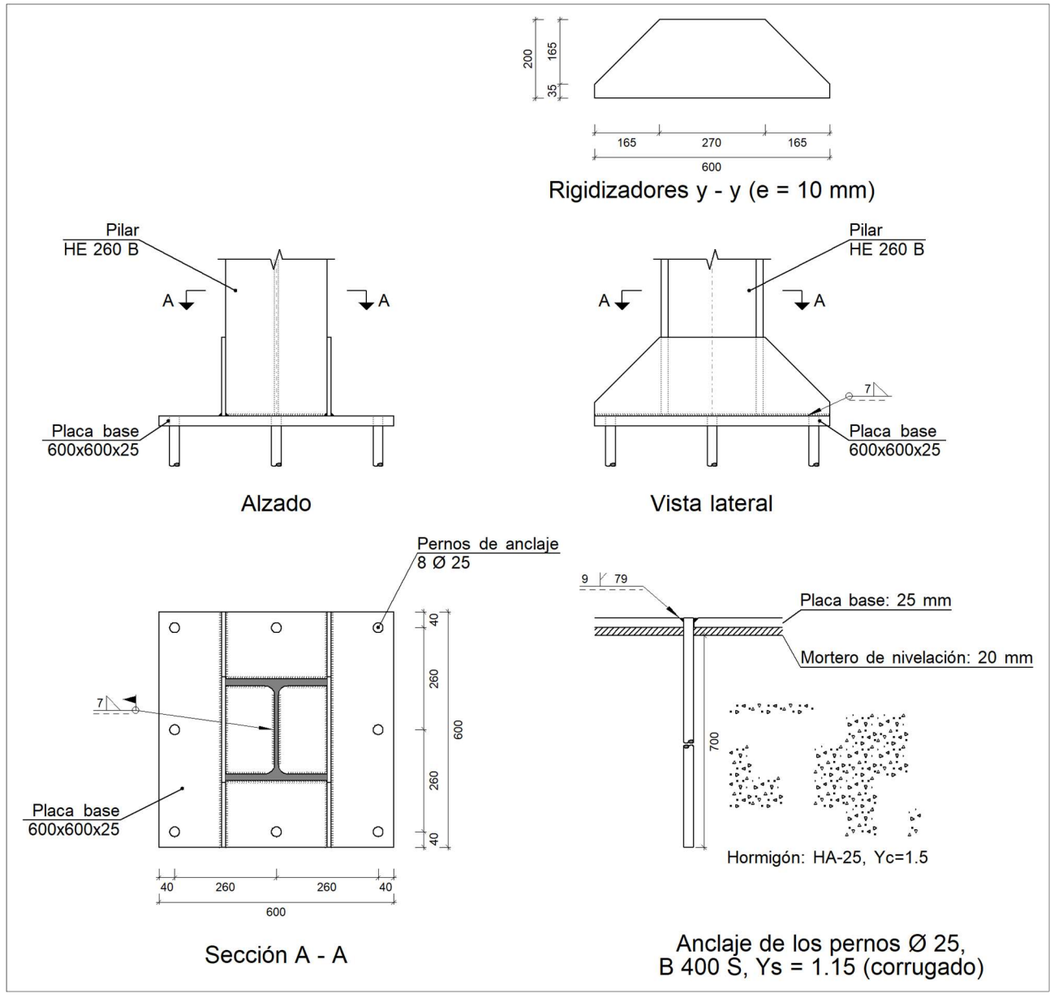

10.1.1.2 DESCRIPCIÓN DE LOS COMPONENTES DE LA UNIÓN

Elementos complementarios											
Pieza	Geometría				Taladros				Acero		
	Esquema	Ancho (mm)	Canto (mm)	Espesor (mm)	Cantidad	Diámetro exterior (mm)	Diámetro interior (mm)	Bisel (mm)	Tipo	f_y (kp/cm²)	f_u (kp/cm²)
Placa base	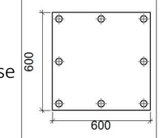	600	600	25	8	43	27	9	S275	2803.3	4179.4
Rigidizador	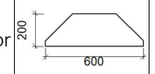	600	200	10	-	-	-	-	S275	2803.3	4179.4

10.1.1.3 COMPROBACIÓN PILAR HE 260 B

Comprobaciones geométricas					
Ref.	Tipo	a (mm)	l (mm)	t (mm)	Ángulo (grados)
Soldadura perimetral a la placa	En ángulo	7	1278	10.0	90.00
a: Espesor garganta *l: Longitud efectiva* *t: Espesor de piezas*					

Comprobación de resistencia									
Ref.	Tensión de Von Mises					Tensión normal		f_u (N/mm²)	β_w
	$\sigma_\perp$ (N/mm²)	$\tau_\perp$ (N/mm²)	$\tau_{\parallel}$ (N/mm²)	Valor (N/mm²)	Aprov. (%)	$\sigma_\perp$ (N/mm²)	Aprov. (%)		
Soldadura perimetral a la placa	La comprobación no procede.							410.0	0.85

10.1.1.4 COMPROBACIÓN DE LA PLACA DE ANCLAJE

Referencia:		
Comprobación	Valores	Estado
Separación mínima entre pernos: *3 diámetros*	Mínimo: 75 mm Calculado: 261 mm	Cumple
Separación mínima pernos-borde: *1.5 diámetros*	Mínimo: 37 mm Calculado: 40 mm	Cumple
Esbeltez de rigidizadores: - Paralelos a Y:	Máximo: 50 Calculado: 45.5	Cumple
Longitud mínima del perno: *Se calcula la longitud de anclaje necesaria por adherencia.*	Mínimo: 29 cm Calculado: 70 cm	Cumple
Anclaje perno en hormigón: - Tracción: - Cortante: - Tracción + Cortante:	 Máximo: 15.248 t Calculado: 13.041 t Máximo: 10.674 t Calculado: 0.798 t Máximo: 15.248 t Calculado: 14.181 t	 Cumple Cumple Cumple
Tracción en vástago de pernos:	Máximo: 16.016 t Calculado: 11.752 t	Cumple
Tensión de Von Mises en vástago de pernos:	Máximo: 3883.31 kp/cm² Calculado: 2409.85 kp/cm²	Cumple
Aplastamiento perno en placa: *Límite del cortante en un perno actuando contra la placa*	Máximo: 33.372 t Calculado: 0.716 t	Cumple
Tensión de Von Mises en secciones globales:	Máximo: 2669.77 kp/cm²	

Referencia:		
Comprobación	Valores	Estado
- Derecha:	Calculado: 1426.62 kp/cm²	Cumple
- Izquierda:	Calculado: 1625.87 kp/cm²	Cumple
- Arriba:	Calculado: 1837.58 kp/cm²	Cumple
- Abajo:	Calculado: 1802.92 kp/cm²	Cumple
Flecha global equivalente: *Limitación de la deformabilidad de los vuelos*	Mínimo: 250	
- Derecha:	Calculado: 528.261	Cumple
- Izquierda:	Calculado: 597.317	Cumple
- Arriba:	Calculado: 5236.81	Cumple
- Abajo:	Calculado: 5127.01	Cumple
Tensión de Von Mises local: *Tensión por tracción de pernos sobre placas en voladizo*	Máximo: 2669.77 kp/cm² Calculado: 2186.85 kp/cm²	Cumple
Se cumplen todas las comprobaciones		
Información adicional:		
- Relación rotura pésima sección de hormigón: 0.182 - Punto de tensión local máxima: (-0.13, -0.3)		

10.1.1.5 COMPROBACIÓN CORDONES DE SOLDADURA

Comprobaciones geométricas						
Ref.	Tipo	a (mm)	Preparación de bordes (mm)	l (mm)	t (mm)	Ángulo (grados)
Rigidizador y-y (x = -135): Soldadura a la placa base	En ángulo	7	--	600	10.0	90.00
Rigidizador y-y (x = 135): Soldadura a la placa base	En ángulo	7	--	600	10.0	90.00
Soldadura de los pernos a la placa base	De penetración parcial	--	9	79	25.0	90.00

a: Espesor garganta

l: Longitud efectiva

t: Espesor de piezas

Comprobación de resistencia									
Ref.	Tensión de Von Mises					Tensión normal		f_u (N/mm²)	β_w
	$\sigma_\perp$ (N/mm²)	$\tau_\perp$ (N/mm²)	$\tau_{\parallel}$ (N/mm²)	Valor (N/mm²)	Aprov. (%)	$\sigma_\perp$ (N/mm²)	Aprov. (%)		
Rigidizador y-y (x = -135): Soldadura a la placa base	La comprobación no procede.							410.0	0.85
Rigidizador y-y (x = 135): Soldadura a la placa base	La comprobación no procede.							410.0	0.85
Soldadura de los pernos a la placa base	0.0	0.0	209.7	363.2	94.12	0.0	0.00	410.0	0.85

10.1.2 NUDO TIPO 4

10.1.2.1 DETALLE

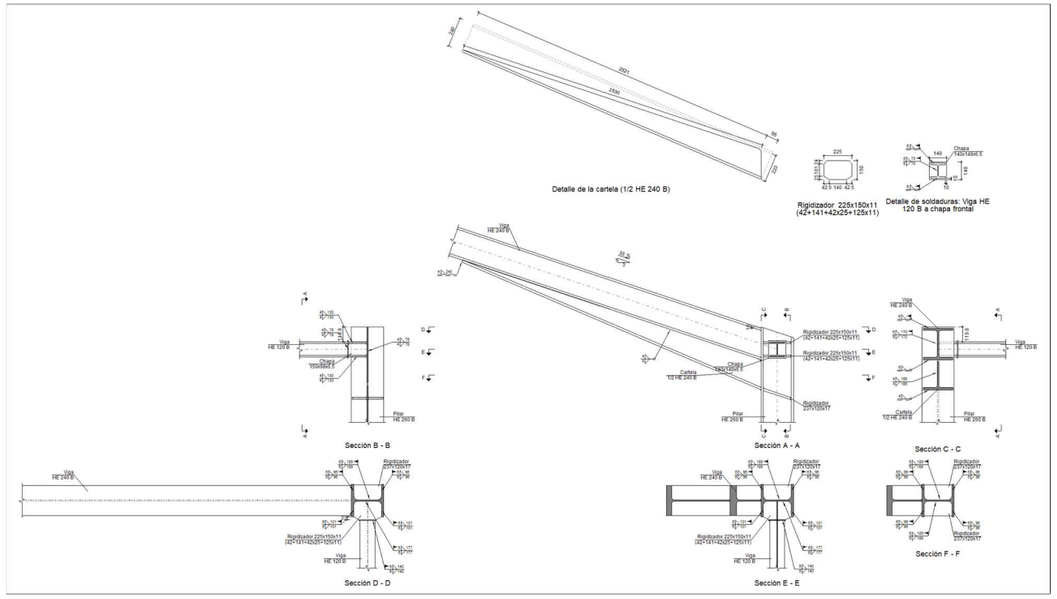

10.1.2.2 DESCRIPCIÓN DE LOS COMPONENTES DE LA UNIÓN

Perfiles									
Pieza	Descripción	Geometría					Acero		
		Esquema	Canto total (mm)	Ancho del ala (mm)	Espesor del ala (mm)	Espesor del alma (mm)	Tipo	f_y (kp/cm²)	f_u (kp/cm²)
Pilar	HE 260 B	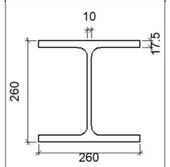	260	260	17.5	10	S275	2803.3	4179.4
Viga	HE 120 B	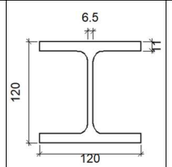	120	120	11	6.5	S275	2803.3	4179.4

Perfiles									
Pieza	Descripción	Geometría					Acero		
		Esquema	Canto total (mm)	Ancho del ala (mm)	Espesor del ala (mm)	Espesor del alma (mm)	Tipo	f_y (kp/cm²)	f_u (kp/cm²)
Viga	HE 240 B	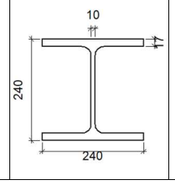	240	240	17	10	S275	2803.3	4179.4

Elementos complementarios							
Pieza	Geometría				Acero		
	Esquema	Ancho (mm)	Canto (mm)	Espesor (mm)	Tipo	f_y (kp/cm²)	f_u (kp/cm²)
Rigidizador	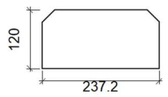	237.2	120	17	S275	2803.3	4179.4
Rigidizador	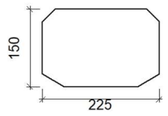	225	150	11	S275	2803.3	4179.4
Chapa de apoyo de la viga Viga HE 120 B	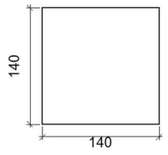	140	140	6.5	S275	2803.3	4179.4
Chapa vertical de la viga Viga HE 120 B	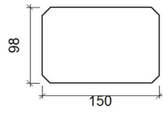	150	98	6.5	S275	2803.3	4179.4

10.1.2.3 COMRPOBACIÓN PILAR HE 260 B

Comprobaciones de resistencia					
Componente	Comprobación	Unidades	Pésimo	Resistente	Aprov. (%)
Panel	Esbeltez	--	--	--	34.77
	Cortante	kN	169.17	732.82	23.08
Rigidizador inferior	Tensión de Von Mises	N/mm²	28.06	261.90	10.71
Rigidizador superior	Tensión de Von Mises	N/mm²	59.53	261.90	22.73
Rigidizador intermedio	Tensión de Von Mises	N/mm²	57.06	261.90	21.79
Rigidizador inferior	Tensión de Von Mises	N/mm²	25.29	261.90	9.65
Chapa frontal [Viga HE 120 B]	Interacción flexión - cortante	--	--	--	0.00
	Deformación admisible	mRad	--	2	0.00
Chapa vertical [Viga HE 120 B]	Cortante	kN	31.90	76.66	41.61
Ala	Desgarro	N/mm²	39.57	261.90	15.11
	Cortante	N/mm²	38.91	261.90	14.86
	Tracción por flexión	kN	52.67	833.67	6.32
Alma	Flexión transversal	kNm	0.59	1.08	54.80
	Compresión transversal	kN	52.67	312.27	16.87
	Cargas concentradas	kN	52.67	641.12	8.22
	Tracción	kN	78.80	312.27	25.24

Cordones de soldadura

Comprobaciones geométricas					
Ref.	Tipo	a (mm)	l (mm)	t (mm)	Ángulo (grados)
Soldadura del rigidizador inferior a las alas	En ángulo	6	96	17.0	71.57
Soldadura del rigidizador inferior al alma	En ángulo	6	189	10.0	90.00

Comprobaciones geométricas					
Ref.	Tipo	a (mm)	l (mm)	t (mm)	Ángulo (grados)
Soldadura del rigidizador superior a las alas	En ángulo	6	101	11.0	90.00
Soldadura del rigidizador superior al alma	En ángulo	6	177	10.0	90.00
Soldadura del rigidizador superior a la chapa frontal	En ángulo	6	140	6.5	90.00
Soldadura del rigidizador intermedio a las alas	En ángulo	6	101	11.0	90.00
Soldadura del rigidizador intermedio al alma	En ángulo	6	177	10.0	90.00
Soldadura del rigidizador inferior a la chapa frontal	En ángulo	6	140	6.5	90.00
Soldadura del rigidizador inferior a las alas	En ángulo	6	96	17.0	71.57
Soldadura del rigidizador inferior al alma	En ángulo	6	189	10.0	90.00
Soldadura de la chapa vertical al alma	En ángulo	4	78	6.5	90.00
Soldadura de la chapa vertical a la chapa frontal	En ángulo	4	78	6.5	90.00
Soldadura de la chapa vertical al rigidizador superior	En ángulo	4	130	6.5	90.00
Soldadura de la chapa vertical al rigidizador inferior	En ángulo	4	130	6.5	90.00
a: Espesor garganta *l: Longitud efectiva* *t: Espesor de piezas*					

Comprobación de resistencia									
Ref.	Tensión de Von Mises					Tensión normal		f_u (N/mm²)	β_w
	$\sigma_\perp$ (N/mm²)	$\tau_\perp$ (N/mm²)	$\tau_{\parallel}$ (N/mm²)	Valor (N/mm²)	Aprov. (%)	$\sigma_\perp$ (N/mm²)	Aprov. (%)		
Soldadura del rigidizador inferior a las alas	23.2	32.2	1.0	60.5	15.67	23.2	7.08	410.0	0.85
Soldadura del rigidizador inferior al alma	0.0	0.0	21.3	36.9	9.55	0.0	0.00	410.0	0.85
Soldadura del rigidizador superior a las alas	0.0	0.0	31.5	54.6	14.14	0.0	0.00	410.0	0.85
Soldadura del rigidizador superior al alma	0.0	0.0	8.1	14.1	3.65	0.0	0.00	410.0	0.85
Soldadura del rigidizador superior a la chapa frontal	17.0	17.0	0.1	34.1	8.83	17.0	5.19	410.0	0.85

Comprobación de resistencia									
Ref.	Tensión de Von Mises					Tensión normal		f_u (N/mm²)	β_w
	$\sigma_\perp$ (N/mm²)	$\tau_\perp$ (N/mm²)	$\tau_{\parallel}$ (N/mm²)	Valor (N/mm²)	Aprov. (%)	$\sigma_\perp$ (N/mm²)	Aprov. (%)		
Soldadura del rigidizador intermedio a las alas	0.0	0.0	30.2	52.3	13.56	0.0	0.00	410.0	0.85
Soldadura del rigidizador intermedio al alma	0.0	0.0	8.2	14.1	3.66	0.0	0.00	410.0	0.85
Soldadura del rigidizador inferior a la chapa frontal	25.0	25.0	0.2	50.1	12.97	25.0	7.63	410.0	0.85
Soldadura del rigidizador inferior a las alas	20.9	29.0	0.8	54.5	14.12	20.9	6.38	410.0	0.85
Soldadura del rigidizador inferior al alma	0.0	0.0	19.1	33.1	8.58	0.0	0.00	410.0	0.85
Soldadura de la chapa vertical al alma	0.0	0.0	51.1	88.6	22.95	0.0	0.00	410.0	0.85
Soldadura de la chapa vertical a la chapa frontal	0.0	0.0	51.1	88.6	22.95	0.0	0.00	410.0	0.85
Soldadura de la chapa vertical al rigidizador superior	0.0	0.0	49.0	84.9	21.99	0.0	0.00	410.0	0.85
Soldadura de la chapa vertical al rigidizador inferior	0.0	0.0	49.0	84.9	21.99	0.0	0.00	410.0	0.85

10.1.2.4 COMRPOBACIÓN VIGA HE 240 B

Comprobaciones de resistencia					
Componente	Comprobación	Unidades	Pésimo	Resistente	Aprov. (%)
Ala	Anchura eficaz	mm	180.50	168.00	93.07
Alma	Cargas concentradas en el alma	kN	8.01	551.48	1.45

Cordones de soldadura

Comprobaciones geométricas					
Ref.	Tipo	a (mm)	l (mm)	t (mm)	Ángulo (grados)
Soldadura del ala superior	En ángulo	6	240	17.0	71.57
Soldadura del alma	En ángulo	6	170	10.0	90.00

Comprobaciones geométricas					
Ref.	Tipo	a (mm)	l (mm)	t (mm)	Ángulo (grados)
Soldadura del ala inferior	En ángulo	6	240	17.0	71.57
Soldadura del alma de la cartela	En ángulo	4	201	10.0	90.00
Soldadura del ala de la cartela	En ángulo	4	240	17.0	66.89
Soldadura del alma de la cartela al ala inferior	En ángulo	4	2530	10.0	90.00
Soldadura del ala de la cartela al ala inferior	En ángulo	4	240	17.0	85.33

a: Espesor garganta
l: Longitud efectiva
t: Espesor de piezas

Comprobación de resistencia									
Ref.	Tensión de Von Mises					Tensión normal		f_u (N/mm²)	β_w
	$\sigma_\perp$ (N/mm²)	$\tau_\perp$ (N/mm²)	$\tau_{\parallel}$ (N/mm²)	Valor (N/mm²)	Aprov. (%)	$\sigma_\perp$ (N/mm²)	Aprov. (%)		
Soldadura del ala superior	24.8	34.5	0.5	64.7	16.76	38.0	11.59	410.0	0.85
Soldadura del alma	23.9	23.9	5.6	48.7	12.62	23.9	7.27	410.0	0.85
Soldadura del ala inferior	0.0	0.0	4.9	8.5	2.19	0.0	0.00	410.0	0.85
Soldadura del alma de la cartela	29.8	29.8	5.6	60.4	15.64	29.8	9.08	410.0	0.85
Soldadura del ala de la cartela	31.2	47.3	0.1	87.7	22.72	43.8	13.37	410.0	0.85
Soldadura del alma de la cartela al ala inferior	0.0	0.0	4.6	8.0	2.07	0.1	0.02	410.0	0.85
Soldadura del ala de la cartela al ala inferior	La comprobación no procede.							410.0	0.85

Rigidez rotacional inicial	Plano xz (t·m/rad)
Calculada para momentos positivos	4838.35
Calculada para momentos negativos	4838.35

Rigidez rotacional inicial	Plano xz (t·m/rad)

Comportamiento de la unión para flexión simple en el plano xz

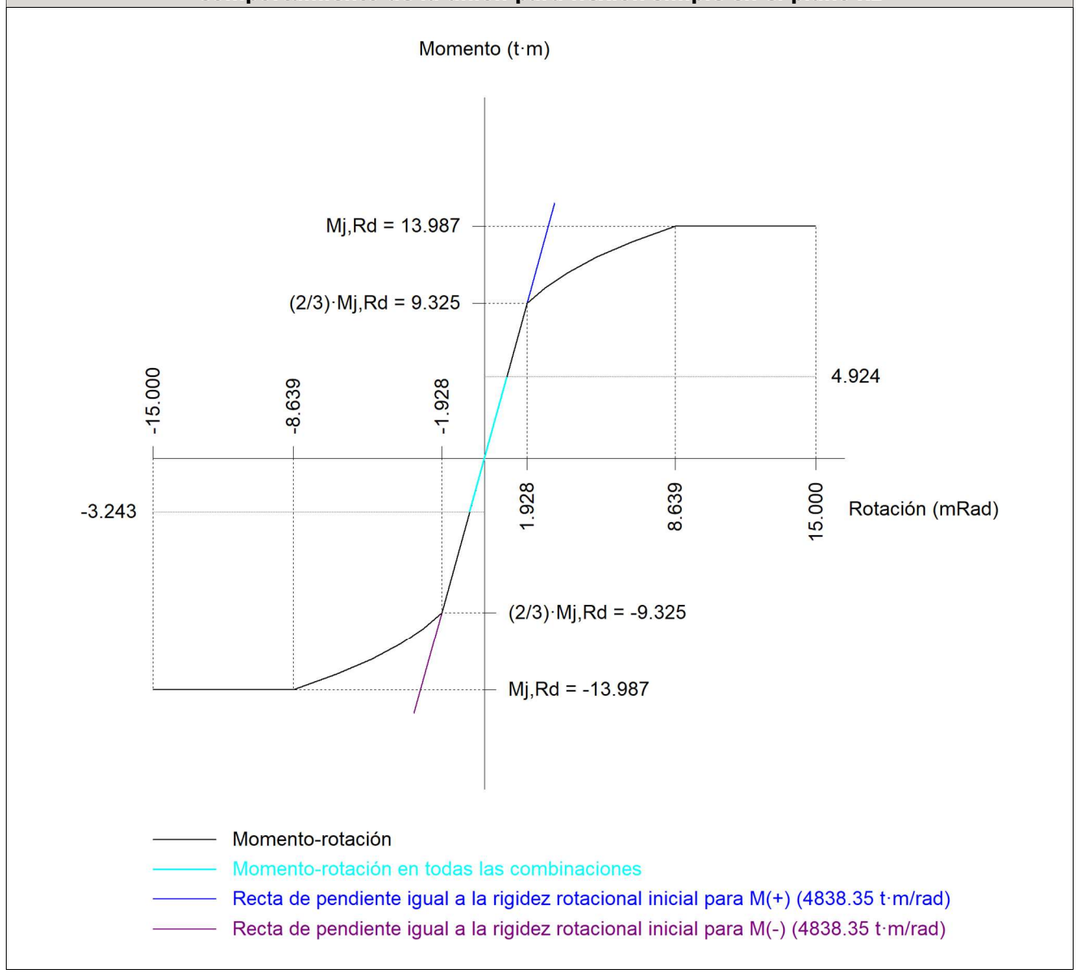

Comprobación	Unidades	Pésimo	Resistente	Aprov. (%)
Momento resistente	kNm	48.31	137.21	35.21

10.1.2.5 VIGA HE 120 B

Cordones de soldadura

Comprobaciones geométricas					
Ref.	Tipo	a (mm)	l (mm)	t (mm)	Ángulo (grados)
Soldadura del ala superior	En ángulo	6	120	6.5	90.00
Soldadura del alma	En ángulo	6	75	6.5	90.00
Soldadura del ala inferior	En ángulo	6	120	6.5	90.00

a: Espesor garganta
l: Longitud efectiva
t: Espesor de piezas

Comprobación de resistencia									
Ref.	Tensión de Von Mises					Tensión normal		f_u (N/mm²)	β_w
	$\sigma_\perp$ (N/mm²)	$\tau_\perp$ (N/mm²)	$\tau_{\parallel}$ (N/mm²)	Valor (N/mm²)	Aprov. (%)	$\sigma_\perp$ (N/mm²)	Aprov. (%)		
Soldadura del ala superior	36.9	36.9	0.1	73.7	19.11	36.9	11.24	410.0	0.85
Soldadura del alma	0.0	0.0	35.4	61.4	15.91	0.0	0.00	410.0	0.85
Soldadura del ala inferior	46.1	46.1	0.2	92.1	23.88	46.1	14.04	410.0	0.85

VALENCIA, A 25 DE AGOSTO DE 2022

FDO. D. SERGIO OLMOS VILA

INGENIERO CIVIL

DOCUMENTO Nº2: PLANOS

ÍNDICE

1 PLANO Nº1: UBICACIÓN DE LOS TRABAJOS 1
2 PLANO Nº2: UBICACIÓN EN PARCELA 2
3 PLANO Nº3: ESTRUCTURA 3D 3
4 PLANO Nº4: PLANTA DE CIMENTACIÓN 4
5 PLANO Nº5: DESPIECE DE ZAPATAS 5
6 PLANO Nº6: DESPIECE DE VIGAS 6
7 PLANO Nº7: DESPIECE UNIÓN TIPO 1 7
8 PLANO Nº8: DESPIECE UNIÓN TIPO 2 8
9 PLANO Nº9: DESPIECE UNIÓN TIPO 3 9
10 PLANO Nº10: FACHADA Y UBICACIÓN DE HUECOS 10
11 PLANO Nº11: CUBIERTA Y DETALLE DE PANEL SÁNDWICH 11
12 PLANO Nº12: DISTRIBUCIÓN Y DETALLE DE CORREAS 12
13 PLANO Nº13: PÓRTICOS INTERMEDIOS 13
14 PLANO Nº14: PÓRTICO FRONTAL 14
15 PLANO Nº15: PÓRTICO TRASERO 15
16 PLANO Nº16: PÓRTICO DE APOYO DEL FORJADO 16
17 PLANO Nº17: FORJADO Y DETALLES DEL FORJADO 17
18 PLANO Nº18: DESPIECE UNIÓN TIPO 4 18
19 PLANO Nº19: DESPIECE UNIÓN TIPO 5 19
20 PLANO Nº20: DESPIECE UNIÓN TIPO 6 20
21 PLANO Nº21: DESPIECE UNIÓN TIPO 7 21
22 PLANO Nº22: DESPIECE UNIÓN TIPO 8 22
23 PLANO Nº23: DESPIECE UNIÓN TIPO 9 23
24 PLANO Nº24: DESPIECE UNIÓN TIPO 10 24
25 PLANO Nº25: DESPIECE UNIÓN TIPO 11 25
26 PLANO Nº26: DESPIECE UNIÓN TIPO 12 26
27 PLANO Nº27: DESPIECE UNIÓN TIPO 13 27
28 PLANO Nº28: DESPIECE UNIÓN TIPO 14 28
29 PLANO Nº29: DESPIECE UNIÓN TIPO 15 29

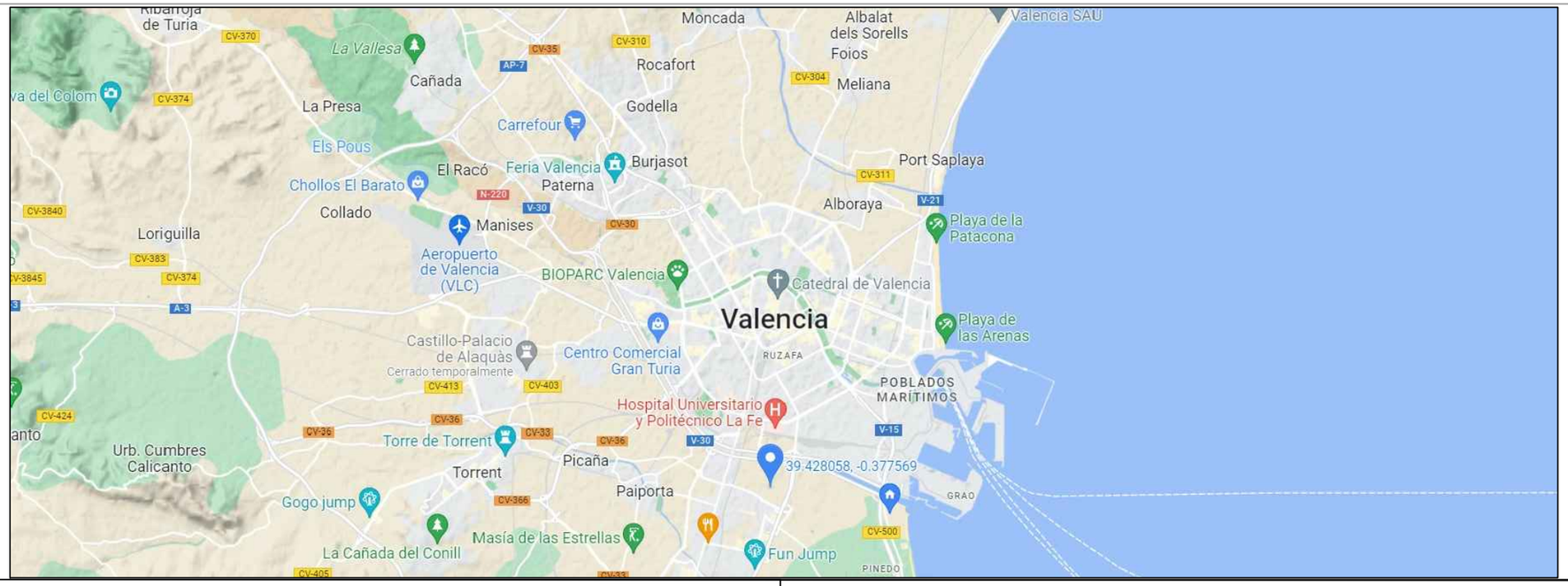

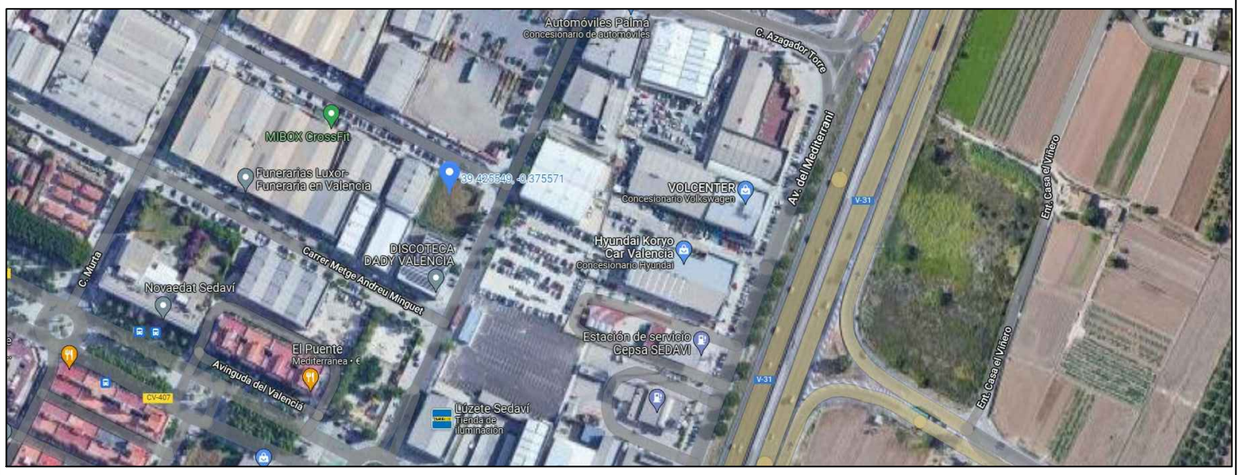

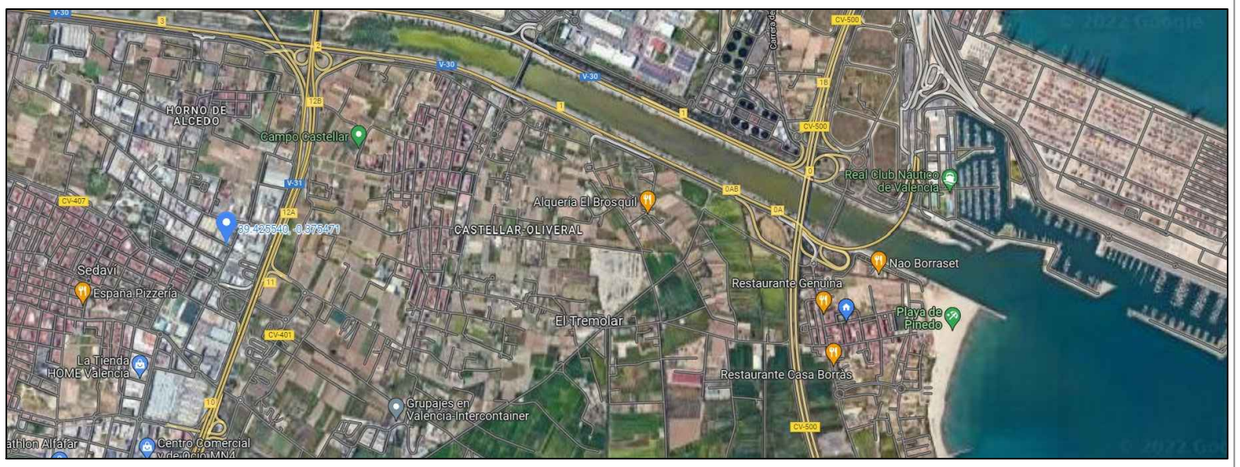

NOTAS:

La ubicación se indica con un marcador de aguja azul junto con las coordenadas aproximadas de la parcela.

TÍTULO DEL TRABAJO	Memoria valorada del diseño y cálculo de la estructura metálica de un almacén de tableros de madera

UNIVERSITAT POLITÈCNICA DE VALÈNCIA

Escuela Técnica Superior de Ingeniería de Caminos, Canales y Puertos

Nº PLANO	ESCALA	FECHA
1 de 29	N/P	JULIO 2022

AUTOR DEL TRABAJO

SERGIO OLMOS VILA

INGENIERO CIVIL

DESIGNACIÓN DEL PLANO

UBICACIÓN DE LOS TRABAJOS

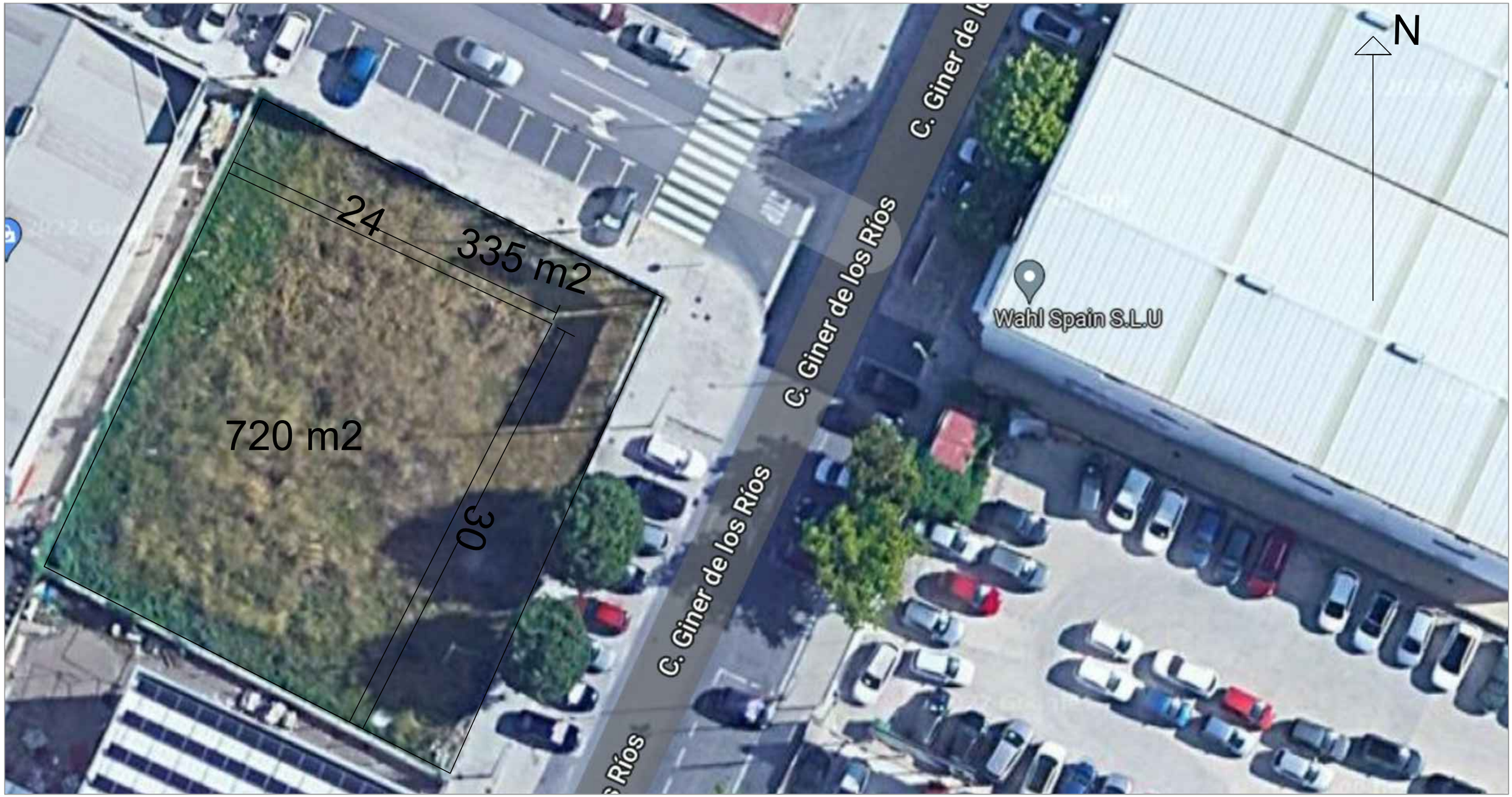

TÍTULO DEL TRABAJO	Memoria valorada del diseño y cálculo de la estructura metálica de un almacén de tableros de madera		
Nº PLANO	ESCALA	FECHA	AUTOR DEL TRABAJO
2 de 29	1:250	JULIO 2022	SERGIO OLMOS VILA INGENIERO CIVIL

DESIGNACIÓN DEL PLANO

UBICACIÓN EN PARCELA

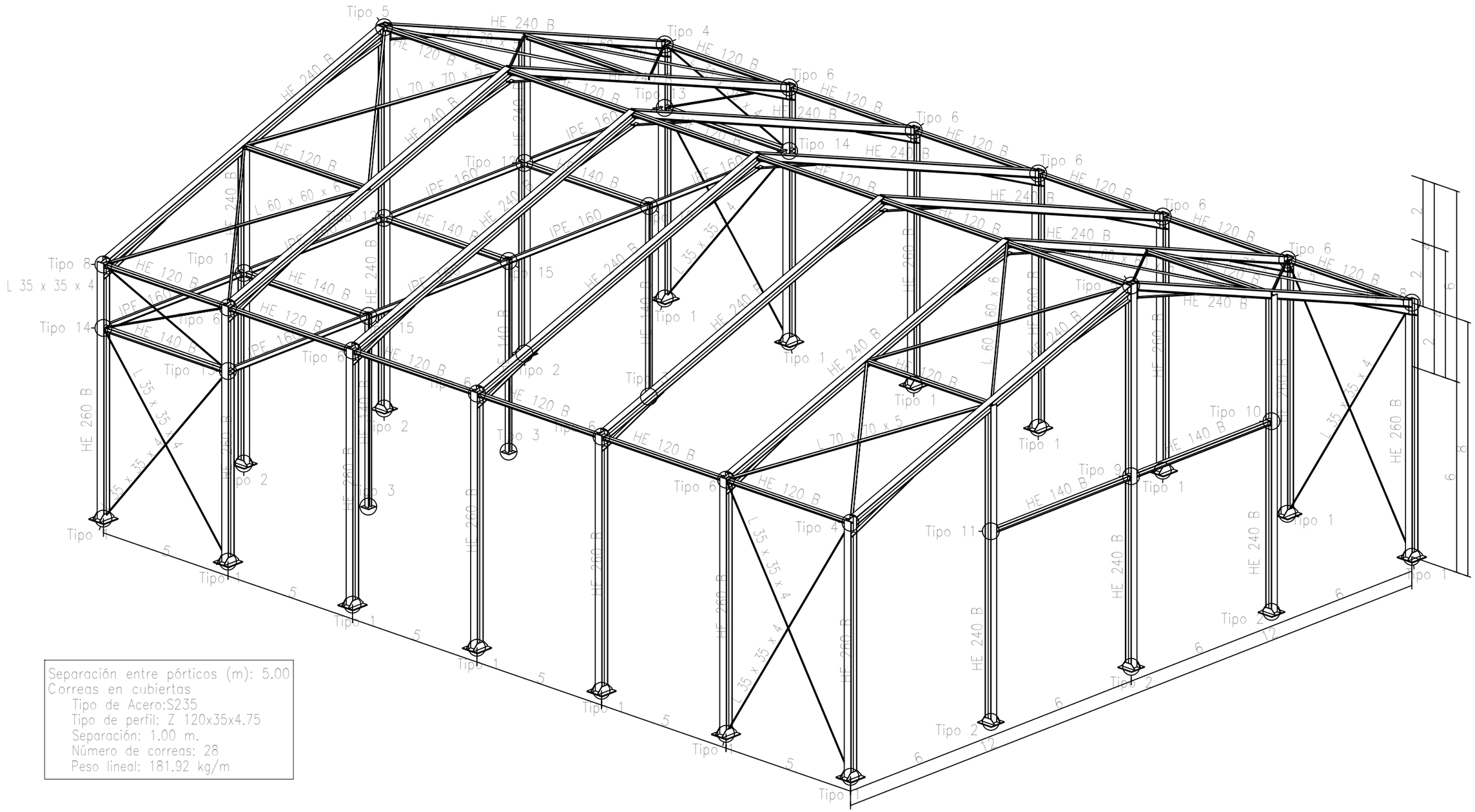

MATERIAL	γ SEG.	RESISTENCIA (MPa)	NIVEL DE CONTROL
HA-25/P/20	1,5	25	ESTADÍSTICO
S 275 JR	1,15	275	INTENSO
S 235 JR	1,15	235	NORMAL
B 500 S	1,15	500	NORMAL

TÍTULO DEL TRABAJO

Memoria valorada del diseño y cálculo de la estructura metálica de un almacén de tableros de madera

UNIVERSITAT POLITÈCNICA DE VALÈNCIA

Escuela Técnica Superior de Ingeniería de Caminos, Canales y Puertos

Nº PLANO	ESCALA	FECHA
3 de 29	1:150	JULIO 2022

DESIGNACIÓN DEL PANO

ESTRUCTURA 3D

AUTOR DEL TRABAJO

SERGIO OLMOS VILA

INGENIERO CIVIL

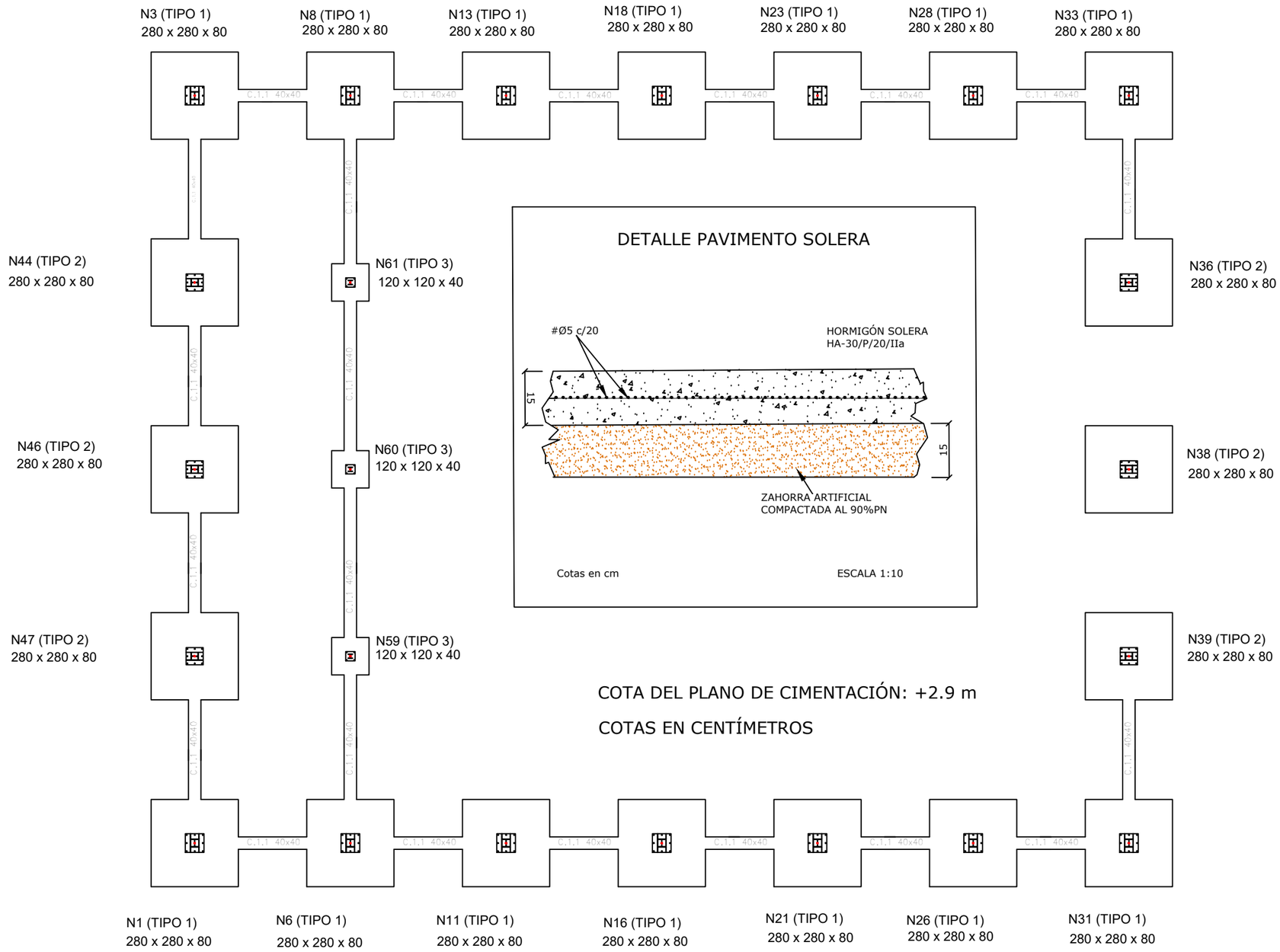

MATERIAL	γ SEG.	RESISTENCIA (MPa)	NIVEL DE CONTROL
HA-25/P/20	1,5	25	ESTADÍSTICO
S 275 JR	1,15	275	INTENSO
S 235 JR	1,15	235	NORMAL
B 500 S	1,15	500	NORMAL

CUADRO DE VIGAS DE ATADO

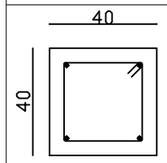

C.1.1
Arm. sup.: 2ø12
Arm. inf.: 2ø12
Estribos: 1xø8c/25

Cuadro de arranques		
Referencias	Pernos de Placas de Anclaje	Dimensión de Placas de Anclaje
N3, N8, N13, N18, N23, N28, N33, N31, N26, N21, N16, N11, N6 y N1	8 Pernos ø 25	Placa base (600x600x25)
N36, N38, N39, N44, N46 y N47	8 Pernos ø 25	Placa base (550x550x20)
N59, N60 y N61	4 Pernos ø 14	Placa base (300x300x14)

TÍTULO DEL TRABAJO

Memoria valorada del diseño y cálculo de la estructura metálica de un almacén de tableros de madera

UNIVERSITAT POLITÈCNICA DE VALÈNCIA

Escuela Técnica Superior de Ingeniería de Caminos, Canales y Puertos

Nº PLANO	ESCALA	FECHA
4 de 29	1:150	JULIO 2022

AUTOR DEL TRABAJO

SERGIO OLMOS VILA
INGENIERO CIVIL

DESIGNACIÓN DEL PLANO

PLANTA DE CIMENTACIÓN

N3, N8, N13, N18, N23, N28, N33, N36, N38, N39, N31, N26, N21, N16, N11, N6, N44, N46, N47 y N1

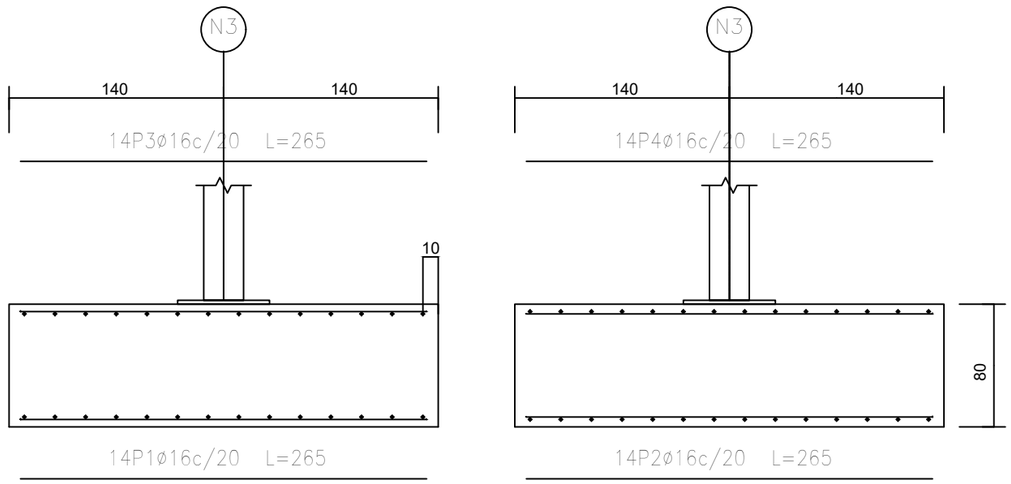

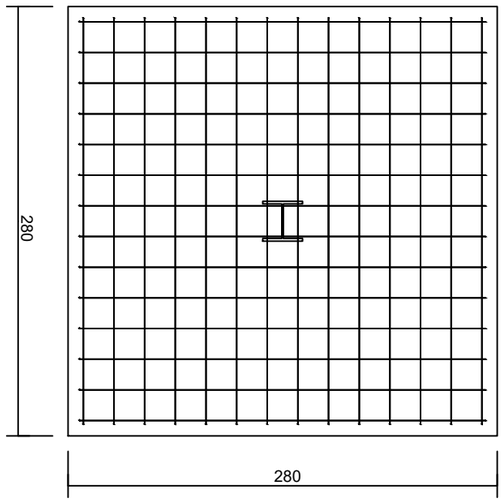

N59, N60 y N61

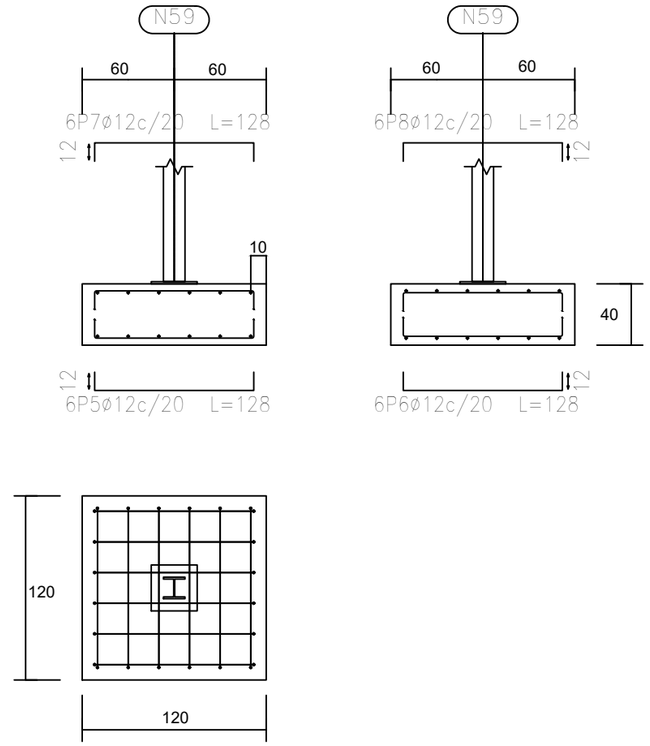

MATERIAL	γ SEG.	RESISTENCIA (MPa)	NIVEL DE CONTROL
HA-25/P/20	1,5	25	ESTADÍSTICO
S 275 JR	1,15	275	INTENSO
S 235 JR	1,15	235	NORMAL
B 500 S	1,15	500	NORMAL

Elemento	Pos.	Diám.	No.	Long. (cm)	Total (cm)	B 500 S, Ys=1.15 (kg)
N3=N8=N13=N18=N23=N28 N33=N36=N38=N39=N31=N26 N21=N16=N11=N6=N44=N46 N47=N1	1	ø16	14	265	3710	58,6
	2	ø16	14	265	3710	58,6
	3	ø16	14	265	3710	58,6
	4	ø16	14	265	3710	58,6
					Total+10%:	257,8
					(x20):	5156,0
N59=N60=N61	5	ø12	6	128	768	6,8
	6	ø12	6	128	768	6,8
	7	ø12	6	128	768	6,8
	8	ø12	6	128	768	6,8
					Total+10%:	29,9
					(x3):	89,7
					ø12:	89,7
					ø16:	5156,0
					Total:	5245,7

TÍTULO DEL TRABAJO

Memoria valorada del diseño y cálculo de la estructura metálica de un almacén de tableros de madera

UNIVERSITAT POLITÈCNICA DE VALÈNCIA

Escuela Técnica Superior de Ingeniería de Caminos, Canales y Puertos

Nº PLANO	ESCALA	FECHA
5 de 29	1:40	JULIO 2022

AUTOR DEL TRABAJO

SERGIO OLMOS VILA

INGENIERO CIVIL

DESIGNACIÓN DEL PLANO

DESPIECE DE ZAPATAS

C [N3-N8], C [N8-N13], C [N13-N18], C [N18-N23], C [N23-N28], C [N28-N33], C [N31-N26], C [N26-N21], C [N21-N16], C [N16-N11], C [N11-N6] y C [N6-N1]

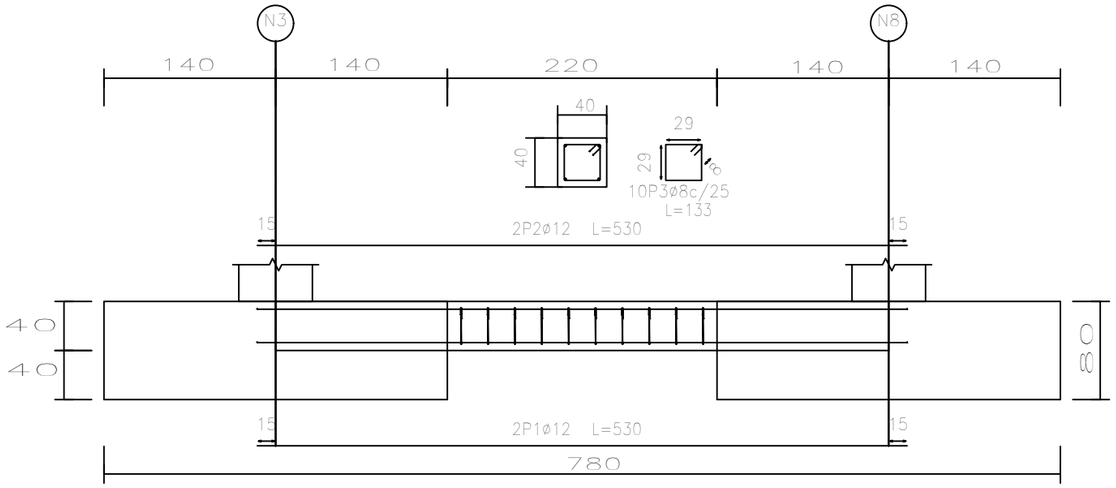

C [N33-N36], C [N39-N31], C [N1-N47], C [N47-N46], C [N46-N44], C [N44-N3], C [N8-N61], C [N61-N60], C [N60-N59] y C [N59-N6]

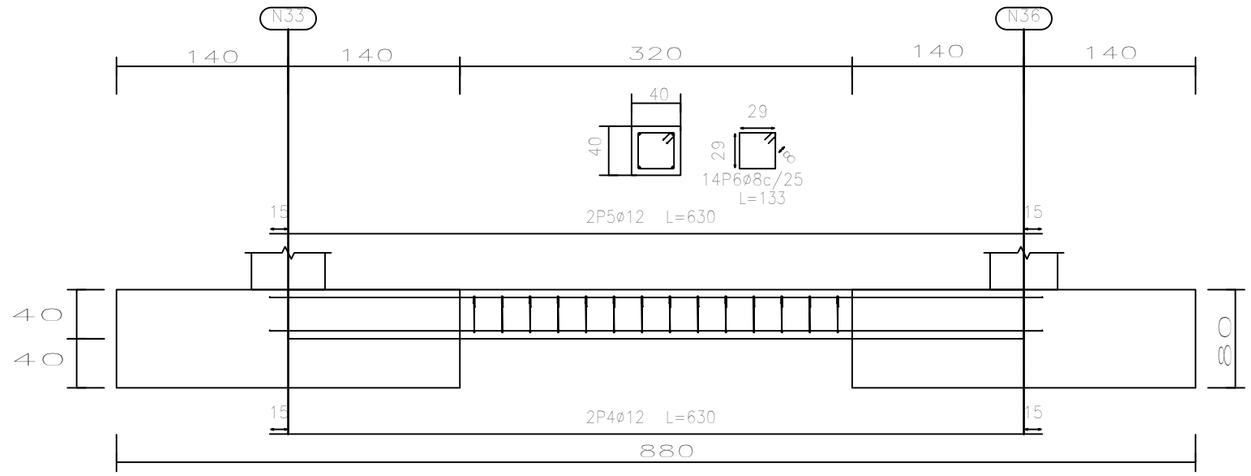

MATERIAL	γ SEG.	RESISTENCIA (MPa)	NIVEL DE CONTROL
HA-25/P/20	1,5	25	ESTADÍSTICO
S 275 JR	1,15	275	INTENSO
S 235 JR	1,15	235	NORMAL
B 500 S	1,15	500	NORMAL

Elemento	Pos.	Diám.	No.	Long. (cm)	Total (cm)	B 500 S, Ys=1.15 (kg)
C [N3-N8]=C [N8-N13] C [N13-N18]=C [N18-N23] C [N23-N28]=C [N28-N33] C [N31-N26]=C [N26-N21] C [N21-N16]=C [N16-N11] C [N11-N6]=C [N6-N1]	1 2 3	ø12 ø12 ø8	2 2 10	530 530 133	1060 1060 1330	9.4 9.4 5.2
					Total+10%: (x12):	26.4 316.8
C [N33-N36]=C [N39-N31] C [N1-N47]=C [N47-N46] C [N46-N44]=C [N44-N3] C [N8-N61]=C [N61-N60] C [N60-N59]=C [N59-N6]	4 5 6	ø12 ø12 ø8	2 2 14	630 630 133	1260 1260 1862	11.2 11.2 7.3
					Total+10%: (x10):	32.7 327.0
					ø8: ø12: Total:	149.4 494.4 643.8

TÍTULO DEL TRABAJO

Memoria valorada del diseño y cálculo de la estructura metálica de un almacén de tableros de madera

UNIVERSITAT POLITÈCNICA DE VALÈNCIA

Escuela Técnica Superior de Ingeniería de Caminos, Canales y Puertos

Nº PLANO	ESCALA	FECHA
6 de 29	1:50	JULIO 2022

AUTOR DEL TRABAJO

SERGIO OLMOS VILA

INGENIERO CIVIL

DESIGNACIÓN DEL PLANO

DESPIECE DE VIGAS

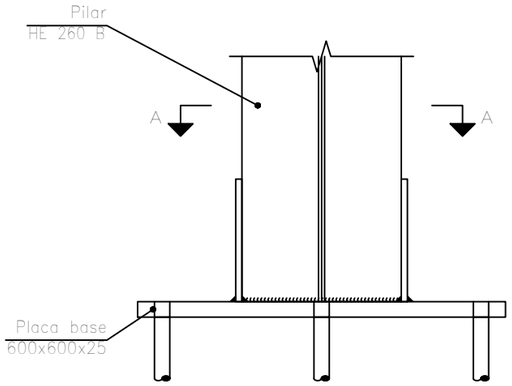

Alzado

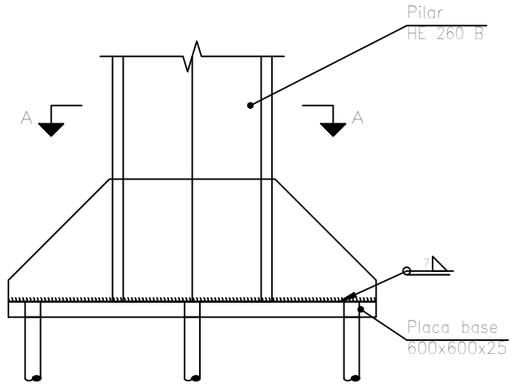

Vista lateral

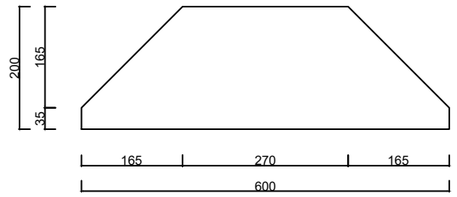

Rigidizadores y – y (e = 10 mm)

Designación	Ilustración	Símbolo
Soldadura en ángulo		
Soldadura a tope en 'V' simple (con chaflán)		
Soldadura a tope en bisel simple		
Soldadura a tope en bisel doble		
Soldadura a tope en bisel simple con talón de raíz amplia		
Soldadura combinada a tope en bisel simple y en ángulo		
Soldadura a tope en bisel simple con lado curvo		

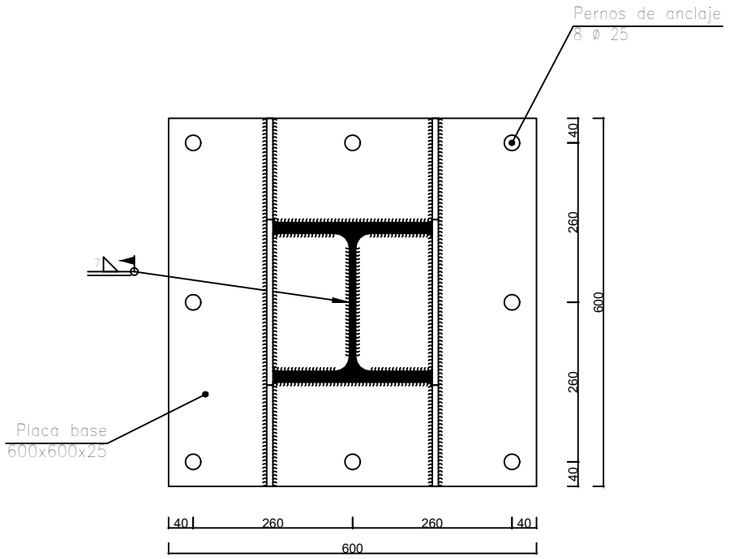

Sección A – A

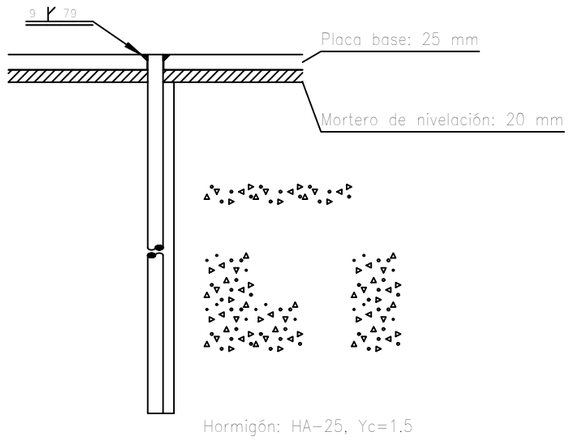

Anclaje de los pernos ø 25,
B 500 S, Ys = 1.15 (corrugado)

MATERIAL	γ SEG.	RESISTENCIA (MPa)	NIVEL DE CONTROL
HA-25/P/20	1,5	25	ESTADÍSTICO
S 275 JR	1,15	275	INTENSO
S 235 JR	1,15	235	NORMAL
B 500 S	1,15	500	NORMAL

El cordón de soldadura que se detalla se encuentra en el lado de la flecha.

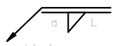

El cordón de soldadura que se detalla se encuentra en el lado opuesto al de la flecha.

Representación	Descripción
	Soldadura realizada en todo el perímetro de la pieza
	Soldadura realizada en taller
	Soldadura realizada en el lugar de montaje

TÍTULO DEL TRABAJO

Memoria valorada del diseño y cálculo de la estructura metálica de un almacén de tableros de madera

UNIVERSITAT POLITÈCNICA DE VALÈNCIA

Escuela Técnica Superior de Ingeniería de Caminos, Canales y Puertos

Nº PLANO	ESCALA	FECHA
7 de 29	1:10	JULIO 2022

AUTOR DEL TRABAJO

SERGIO OLMOS VILA

INGENIERO CIVIL

DESIGNACIÓN DEL PLANO

DESPIECE UNIÓN TIPO 1

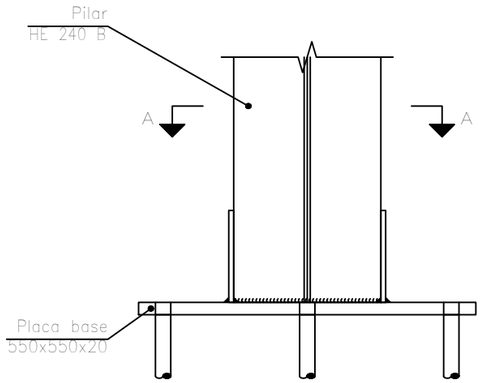

Alzado

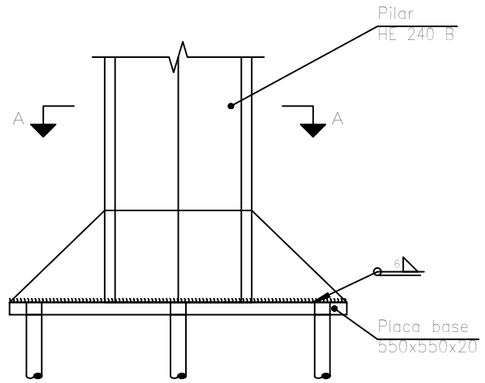

Vista lateral

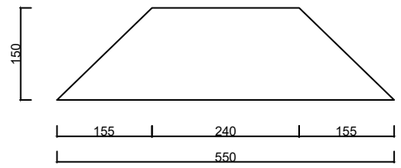

Rigidizadores y – y (e = 8 mm)

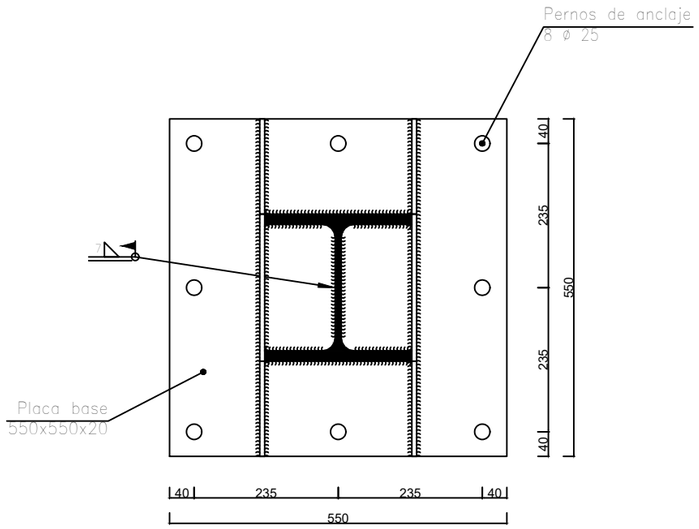

Sección A – A

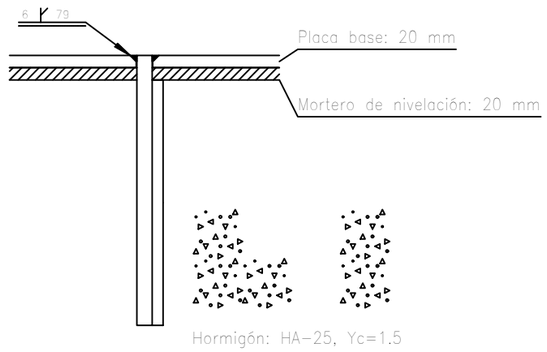

Anclaje de los pernos Ø 25,
B 500 S, Ys = 1.15 (corrugado)

Designación	Ilustración	Símbolo
Soldadura en ángulo		
Soldadura a tope en 'V' simple (con chaflán)		
Soldadura a tope en bisel simple		
Soldadura a tope en bisel doble		
Soldadura a tope en bisel simple con talón de raíz amplia		
Soldadura combinada a tope en bisel simple y en ángulo		
Soldadura a tope en bisel simple con lado curvo		

MATERIAL	γ SEG.	RESISTENCIA (MPa)	NIVEL DE CONTROL
HA-25/P/20	1,5	25	ESTADISTICO
S 275 JR	1,15	275	INTENSO
S 235 JR	1,15	235	NORMAL
B 500 S	1,15	500	NORMAL

El cordón de soldadura que se detalla se encuentra en el lado de la flecha.

El cordón de soldadura que se detalla se encuentra en el lado opuesto al de la flecha.

Representación	Descripción
	Soldadura realizada en todo el perímetro de la pieza
	Soldadura realizada en taller
	Soldadura realizada en el lugar de montaje

TÍTULO DEL TRABAJO

Memoria valorada del diseño y cálculo de la estructura metálica de un almacén de tableros de madera

UNIVERSITAT POLITÈCNICA DE VALÈNCIA

Escuela Técnica Superior de Ingeniería de Caminos, Canales y Puertos

Nº PLANO	ESCALA	FECHA
8 de 29	1:10	JULIO 2022

AUTOR DEL TRABAJO

SERGIO OLMOS VILA

INGENIERO CIVIL

DESIGNACIÓN DEL PLANO

DESPIECE UNIÓN TIPO 2

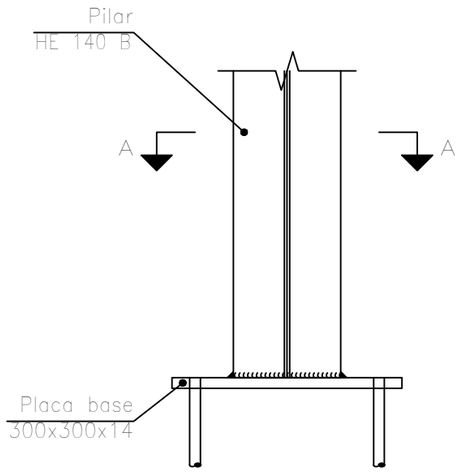

Alzado

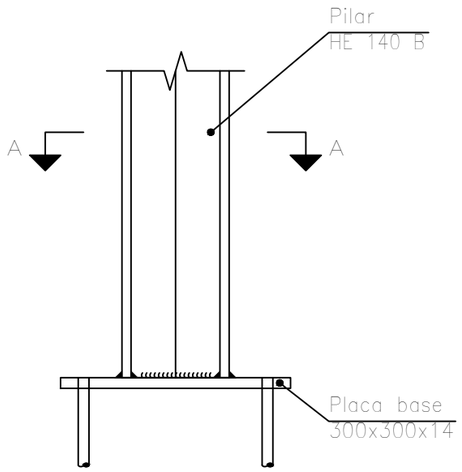

Vista lateral

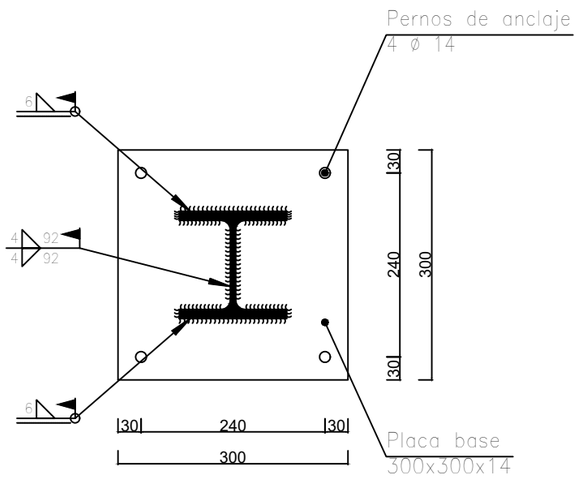

Sección A – A

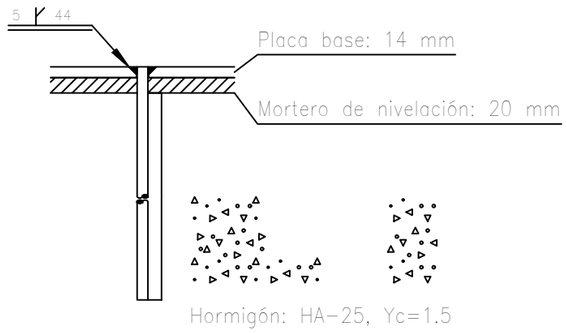

Anclaje de los pernos ø 14,
B 500 S, Ys = 1.15 (corrugado)

Designación	Ilustración	Símbolo
Soldadura en ángulo		
Soldadura a tope en 'V' simple (con chaflán)		
Soldadura a tope en bisel simple		
Soldadura a tope en bisel doble		
Soldadura a tope en bisel simple con talón de raíz amplia		
Soldadura combinada a tope en bisel simple y en ángulo		
Soldadura a tope en bisel simple con lado curvo		

MATERIAL	γ SEG.	RESISTENCIA (MPa)	NIVEL DE CONTROL
HA-25/P/20	1,5	25	ESTADÍSTICO
S 275 JR	1,15	275	INTENSO
S 235 JR	1,15	235	NORMAL
B 500 S	1,15	500	NORMAL

El cordón de soldadura que se detalla se encuentra en el lado de la flecha.

El cordón de soldadura que se detalla se encuentra en el lado opuesto al de la flecha.

Representación	Descripción
	Soldadura realizada en todo el perímetro de la pieza
	Soldadura realizada en taller
	Soldadura realizada en el lugar de montaje

TÍTULO DEL TRABAJO

Memoria valorada del diseño y cálculo de la estructura metálica de un almacén de tableros de madera

UNIVERSITAT POLITÈCNICA DE VALÈNCIA

Escuela Técnica Superior de Ingeniería de Caminos, Canales y Puertos

Nº PLANO	ESCALA	FECHA
9 de 29	1:8	JULIO 2022

AUTOR DEL TRABAJO

SERGIO OLMOS VILA

INGENIERO CIVIL

DESIGNACIÓN DEL PLANO

DESPIECE UNIÓN TIPO 3

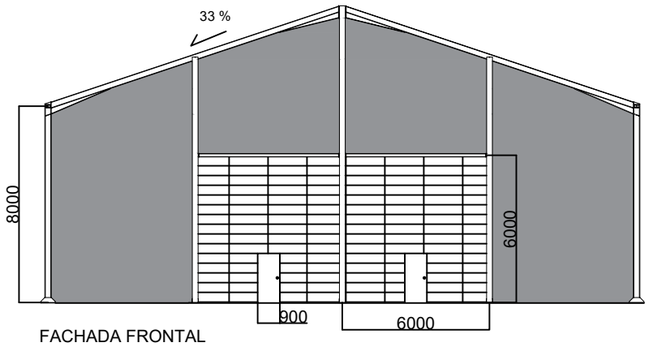

FACHADA FRONTAL

DOS PUERTAS BASCULANTES CON PUERTA PARA ACCESO DE PEATONES EN SU INTERIOR

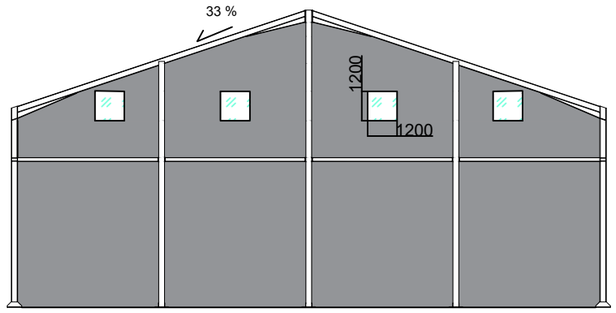

FACHADA TRASERA

VENTANAS DE 120 X 120 CM CENTRADAS EN LOS HUECOS

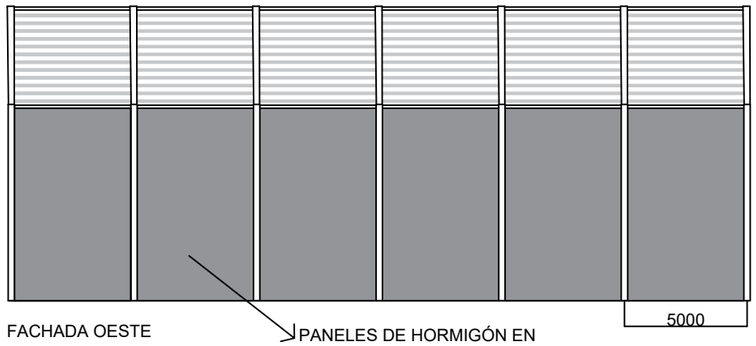

FACHADA OESTE

PANELES DE HORMIGÓN EN MÓDULOS DE 5 X 1 METROS

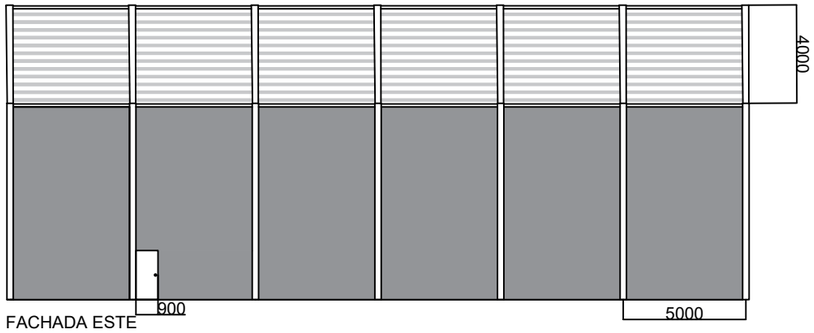

FACHADA ESTE

PUERTA PARA ACCESO DE PEATONES DESDE EL APARCAMIENTO

MATERIAL	γ SEG.	RESISTENCIA (MPa)	NIVEL DE CONTROL
HA-25/P/20	1,5	25	ESTADÍSTICO
S 275 JR	1,15	275	INTENSO
S 235 JR	1,15	235	NORMAL
B 500 S	1,15	500	NORMAL

TÍTULO DEL TRABAJO

Memoria valorada del diseño y cálculo de la estructura metálica de un almacén de tableros de madera

UNIVERSITAT POLITÈCNICA DE VALÈNCIA

Escuela Técnica Superior de Ingeniería de Caminos, Canales y Puertos

Nº PLANO	ESCALA	FECHA
10 de 29	1:250	JULIO 2022

AUTOR DEL TRABAJO

SERGIO OLMOS VILA

INGENIERO CIVIL

DESIGNACIÓN DEL PLANO

FACHADA Y UBICACIÓN DE HUECOS

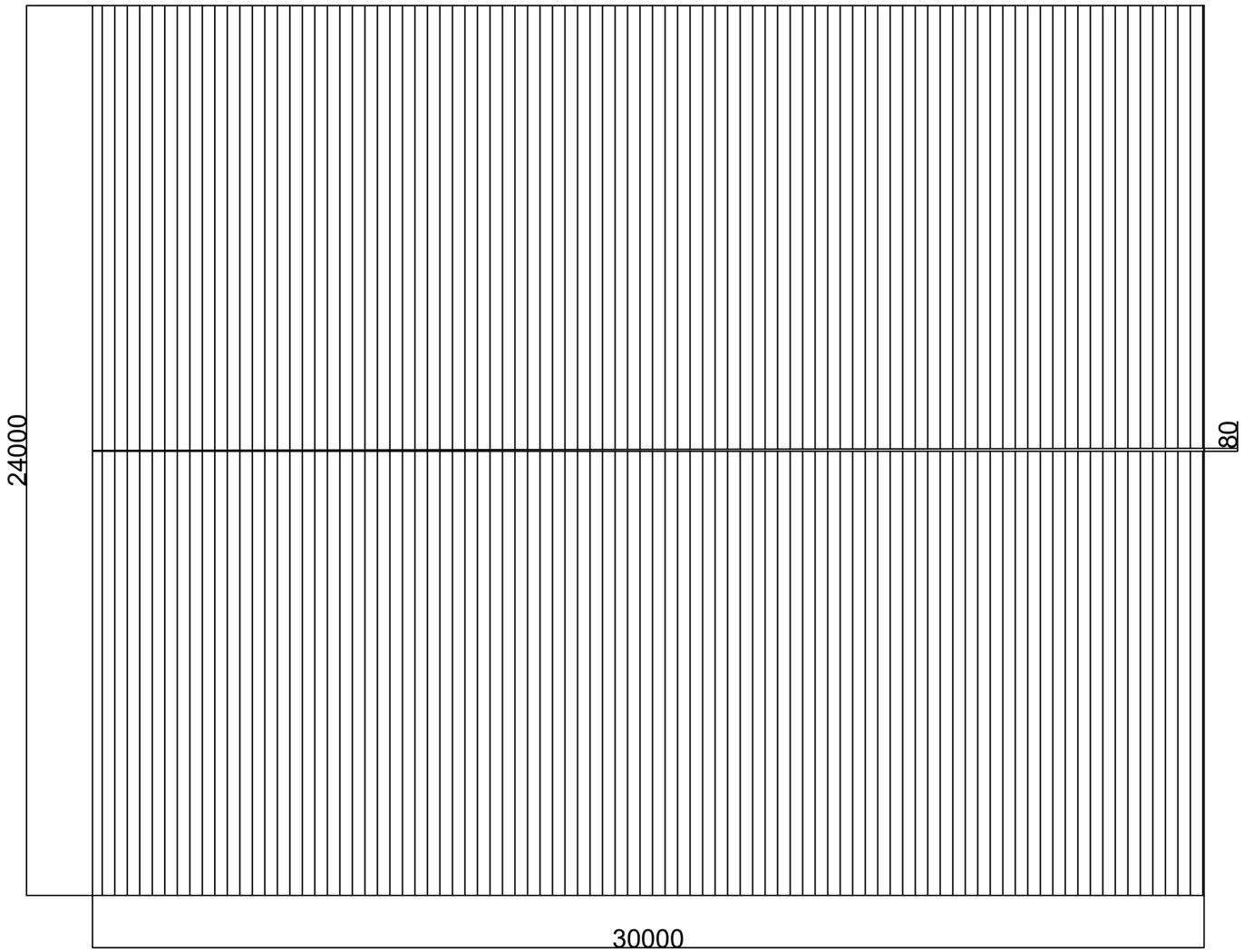

MATERIAL	γ_{SEG}	RESISTENCIA (MPa)	NIVEL DE CONTROL
HA-25/P/20	1,5	25	ESTADISTICO
S 275 JR	1,15	275	INTENSO
S 235 JR	1,15	235	NORMAL
B 500 S	1,15	500	NORMAL

DETALLE PANEL SANDWICH

Estilo Nilho 600 de 40 mm de espesor o similar

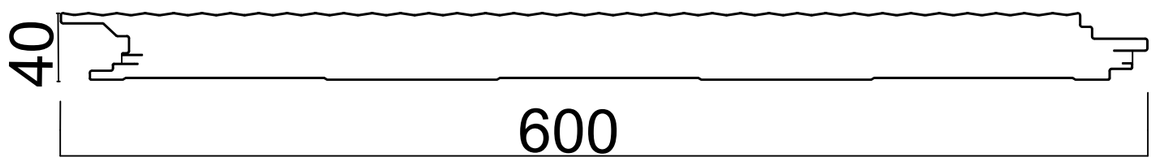

TÍTULO DEL TRABAJO

Memoria valorada del diseño y cálculo de la estructura metálica de un almacén de tableros de madera

UNIVERSITAT POLITÈCNICA DE VALÈNCIA

Escuela Técnica Superior de Ingeniería de Caminos, Canales y Puertos

Nº PLANO	ESCALA	FECHA
11 de 29	1:150	JULIO 2022

AUTOR DEL TRABAJO

SERGIO OLMOS VILA

INGENIERO CIVIL

DESIGNACIÓN DEL PLANO

CUBIERTA Y DETALLE PANEL SÁNDWICH

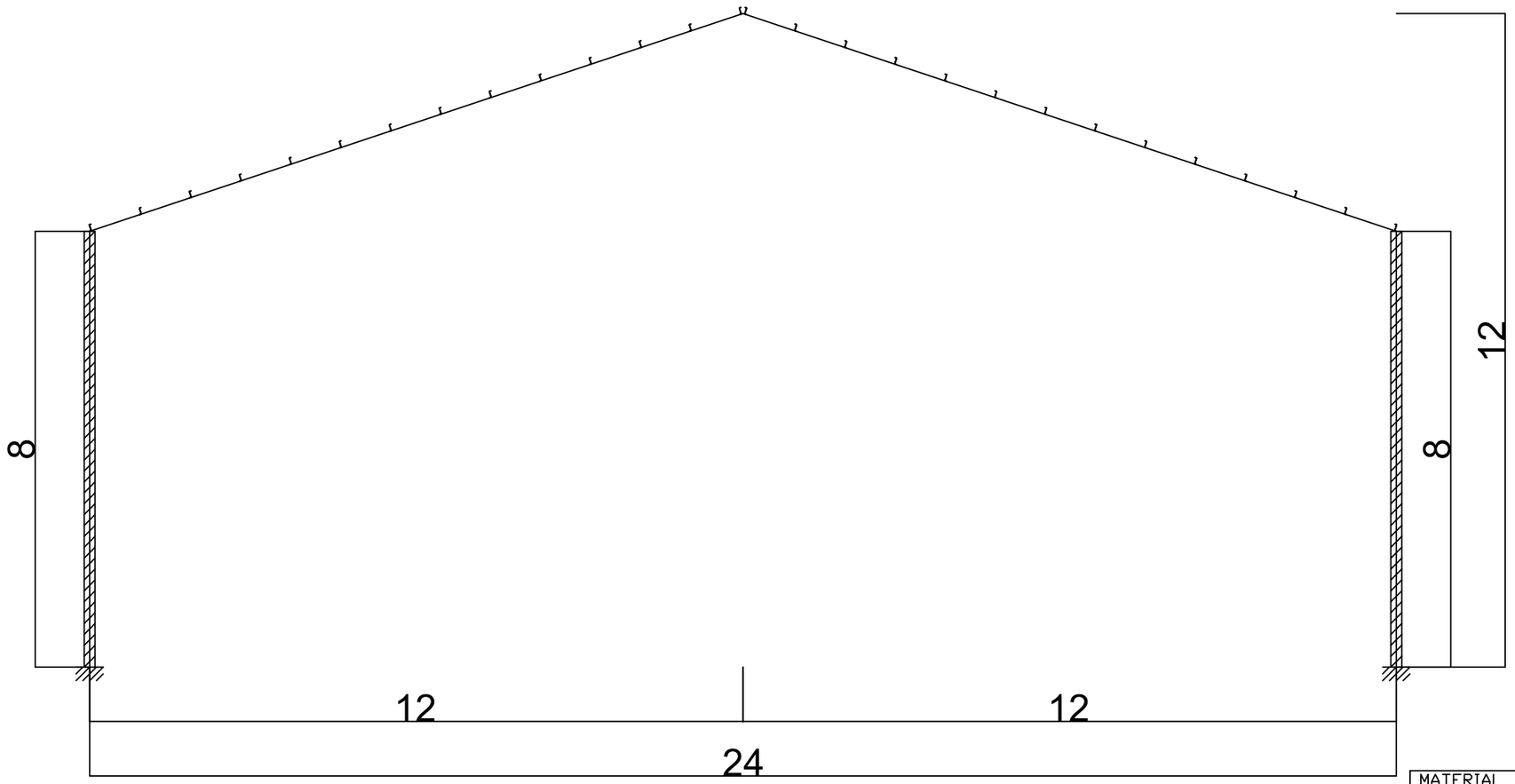

Separación entre pórticos (m): 5.00
Correas en cubiertas
Tipo de Acero:S235
Tipo de perfil: Z 120x35x4.75
Separación: 1.00 m.
Número de correas: 28
Peso lineal: 181.92 kg/m

MATERIAL	γ SEG.	RESISTENCIA (MPa)	NIVEL DE CONTROL
HA-25/P/20	1,5	25	ESTADÍSTICO
S 275 JR	1,15	275	INTENSO
S 235 JR	1,15	235	NORMAL
B 500 S	1,15	500	NORMAL

Tipo de perfil: Z 120x35x4.75

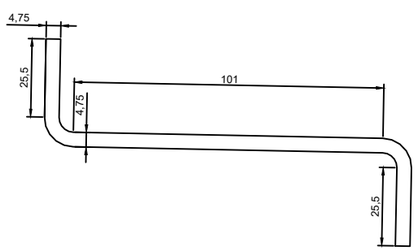

Detalle de correa

Escala 1:2

TÍTULO DEL TRABAJO

Memoria valorada del diseño y cálculo de la estructura metálica de un almacén de tableros de madera

UNIVERSITAT POLITÈCNICA DE VALÈNCIA

Escuela Técnica Superior de Ingeniería de Caminos, Canales y Puertos

Nº PLANO	ESCALA	FECHA
12 de 29	1:100	JULIO 2022

AUTOR DEL TRABAJO

SERGIO OLMOS VILA

INGENIERO CIVIL

DESIGNACIÓN DEL PLANO

DISTRIBUCIÓN Y DETALLE DE CORREAS

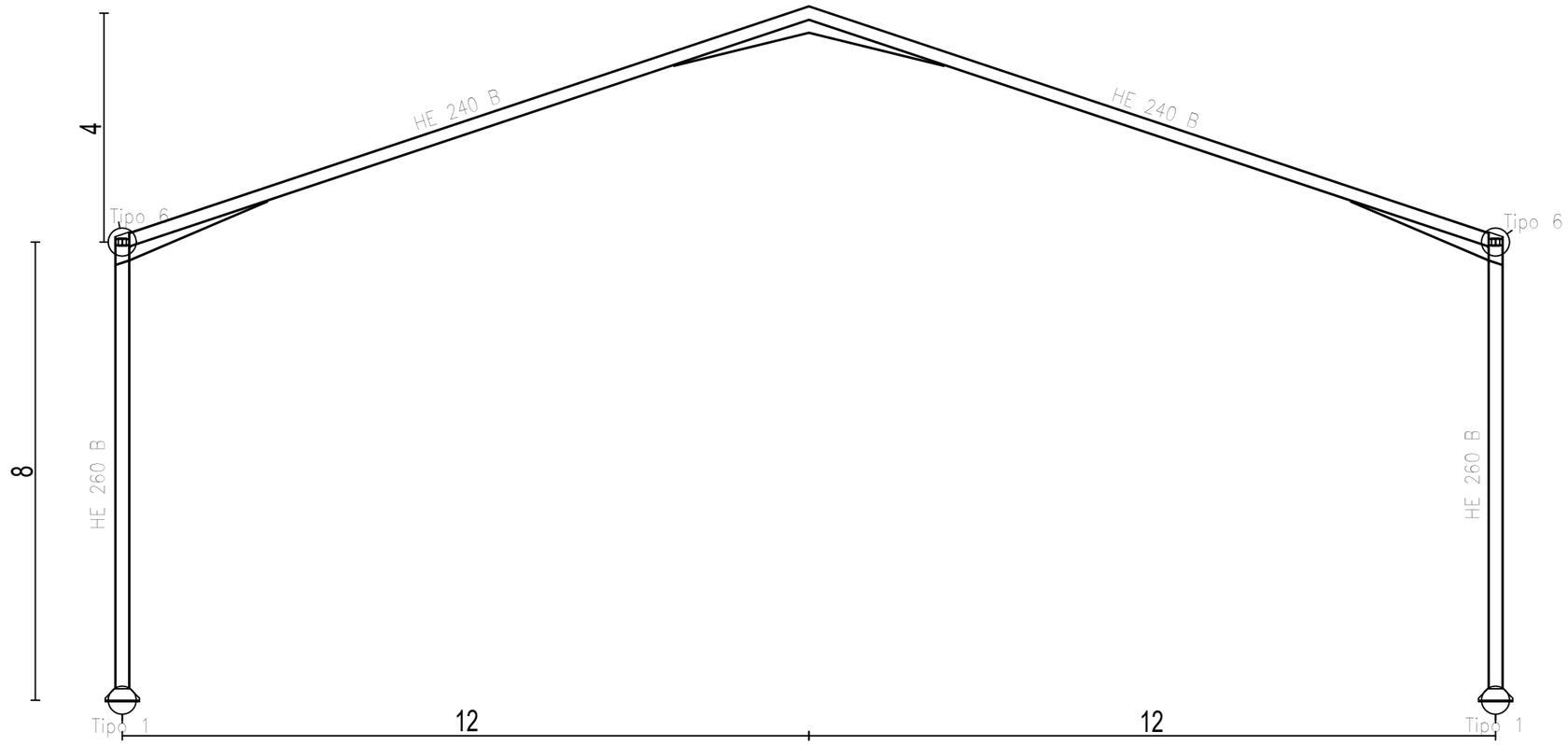

MATERIAL	γ SEG.	RESISTENCIA (MPa)	NIVEL DE CONTROL
HA-25/P/20	1,5	25	ESTADÍSTICO
S 275 JR	1,15	275	INTENSO
S 235 JR	1,15	235	NORMAL
B 500 S	1,15	500	NORMAL

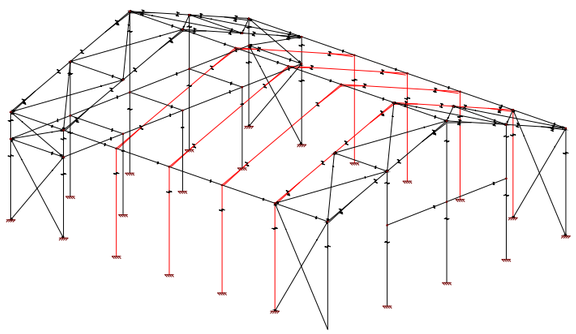

PARTES DEFINIDAS EN EL PLANO PRINCIPAL

TÍTULO DEL TRABAJO

Memoria valorada del diseño y cálculo de la estructura metálica de un almacén de tableros de madera

UNIVERSITAT POLITÈCNICA DE VALÈNCIA

Escuela Técnica Superior de Ingeniería de Caminos, Canales y Puertos

Nº PLANO	ESCALA	FECHA
13 de 29	1:100	JULIO 2022

AUTOR DEL TRABAJO

SERGIO OLMOS VILA

INGENIERO CIVIL

DESIGNACIÓN DEL PLANO

PÓRTICOS INTERMEDIOS

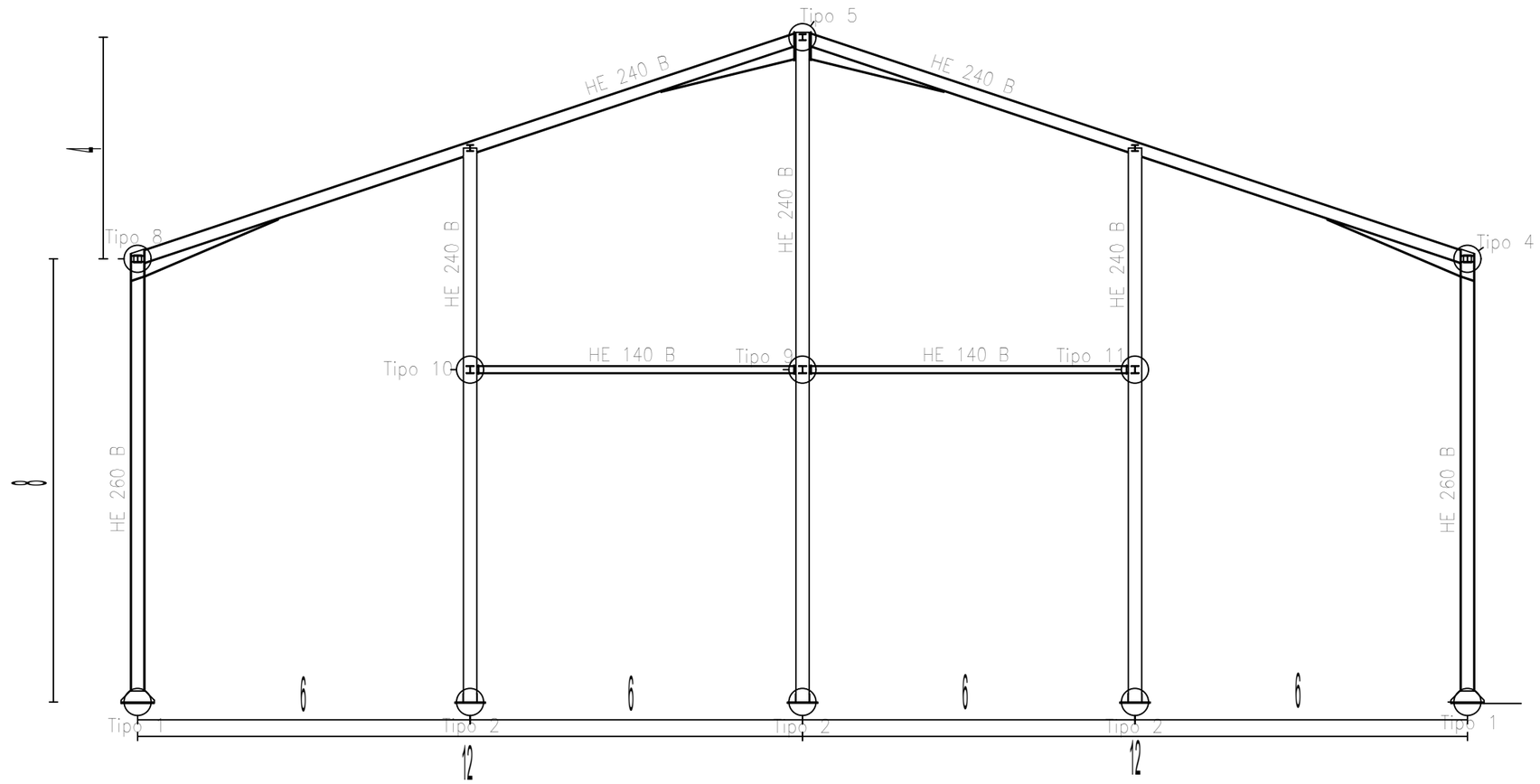

MATERIAL	γ SEG.	RESISTENCIA (MPa)	NIVEL DE CONTROL
HA-25/P/20	1,5	25	ESTADÍSTICO
S 275 JR	1,15	275	INTENSO
S 235 JR	1,15	235	NORMAL
B 500 S	1,15	500	NORMAL

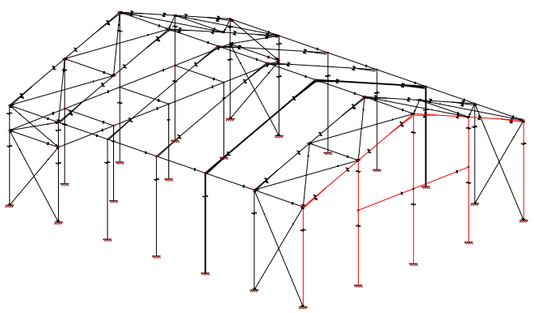

PARTES DEFINIDAS EN EL PLANO PRINCIPAL

TÍTULO DEL TRABAJO

Memoria valorada del diseño y cálculo de la estructura metálica de un almacén de tableros de madera

UNIVERSITAT POLITÈCNICA DE VALÈNCIA

Escuela Técnica Superior de Ingeniería de Caminos, Canales y Puertos

Nº PLANO	ESCALA	FECHA
14 de 29	1:100	JULIO 2022

AUTOR DEL TRABAJO

SERGIO OLMOS VILA

INGENIERO CIVIL

DESIGNACIÓN DEL PLANO

PÓRTICO FRONTAL

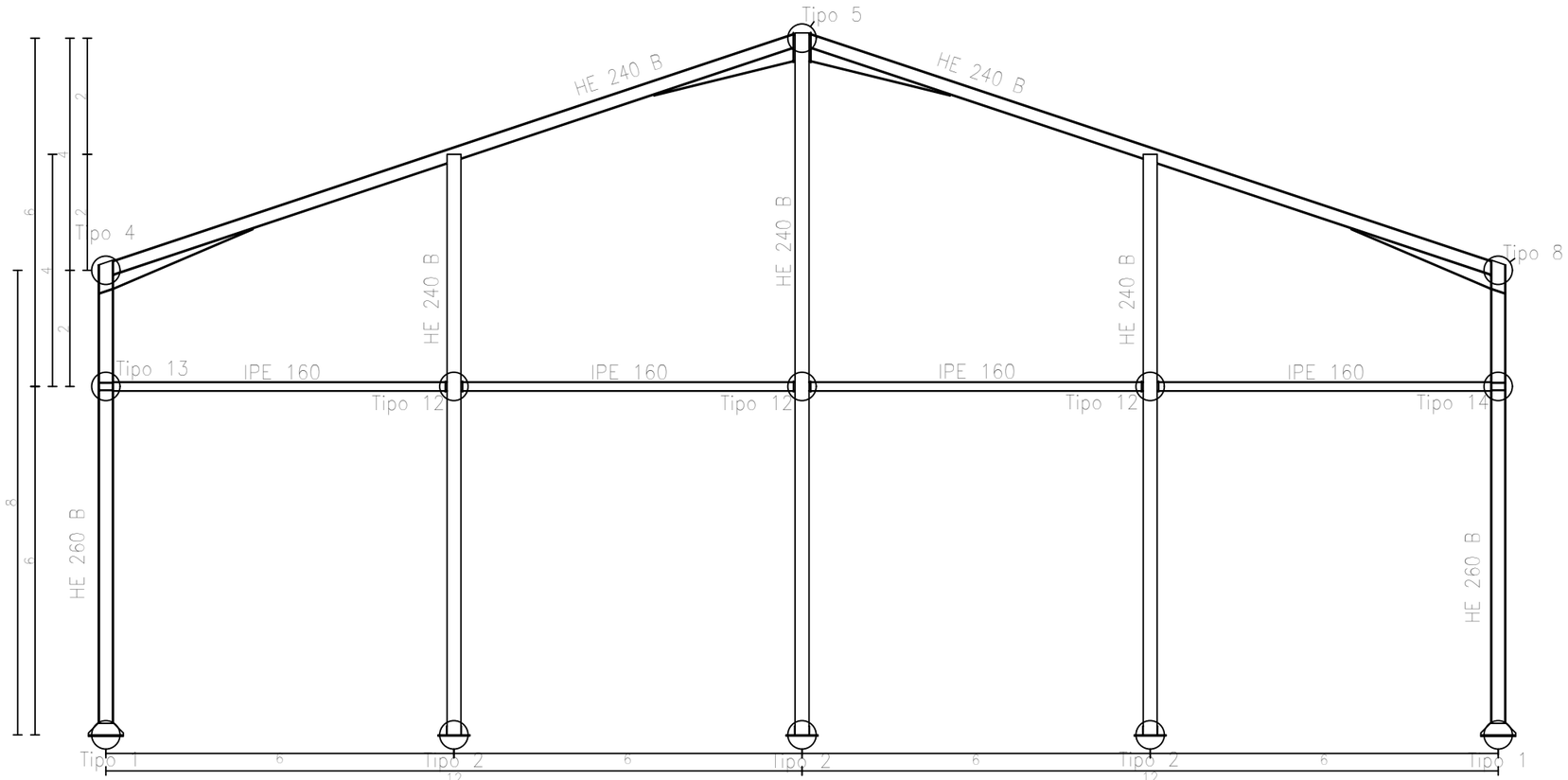

MATERIAL	γ SEG.	RESISTENCIA (MPa)	NIVEL DE CONTROL
HA-25/P/20	1,5	25	ESTADÍSTICO
S 275 JR	1,15	275	INTENSO
S 235 JR	1,15	235	NORMAL
B 500 S	1,15	500	NORMAL

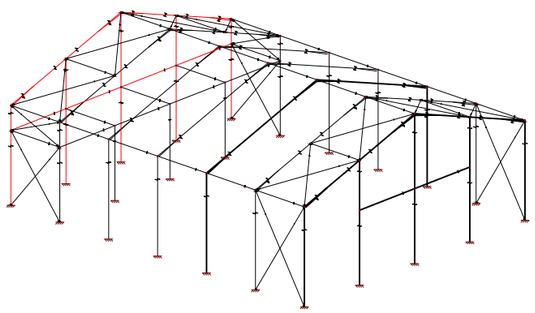

PARTES DEFINIDAS EN EL PLANO PRINCIPAL

TÍTULO DEL TRABAJO

Memoria valorada del diseño y cálculo de la estructura metálica de un almacén de tableros de madera

UNIVERSITAT POLITÈCNICA DE VALÈNCIA

Escuela Técnica Superior de Ingeniería de Caminos, Canales y Puertos

Nº PLANO	ESCALA	FECHA
15 de 29	1:100	JULIO 2022

AUTOR DEL TRABAJO

SERGIO OLMOS VILA

INGENIERO CIVIL

DESIGNACIÓN DEL PLANO

PÓRTICO TRASERO

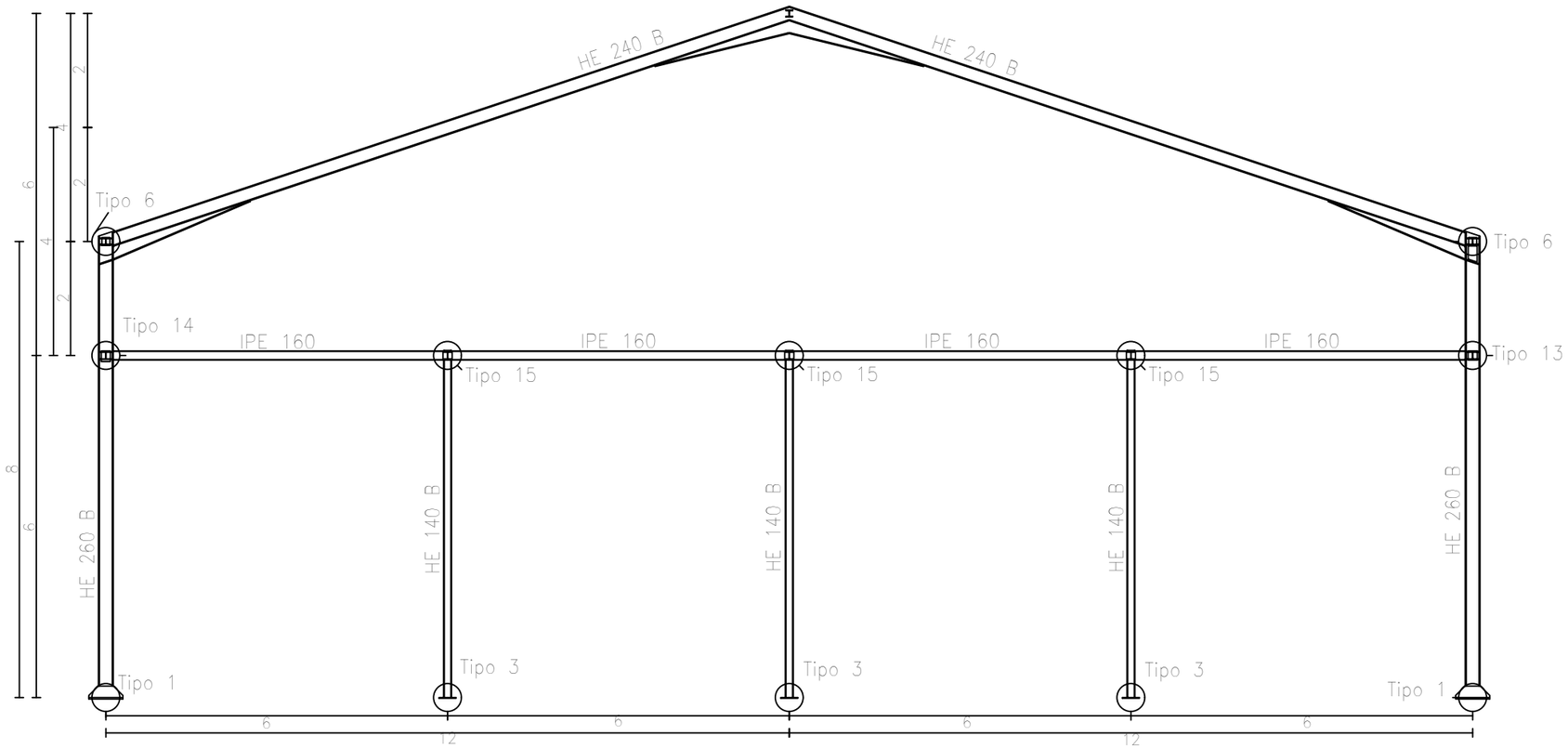

MATERIAL	γ SEG.	RESISTENCIA (MPa)	NIVEL DE CONTROL
HA-25/P/20	1,5	25	ESTADÍSTICO
S 275 JR	1,15	275	INTENSO
S 235 JR	1,15	235	NORMAL
B 500 S	1,15	500	NORMAL

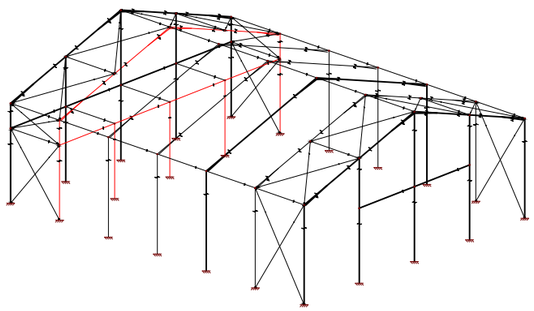

PARTES DEFINIDAS EN EL PLANO PRINCIPAL

TÍTULO DEL TRABAJO

Memoria valorada del diseño y cálculo de la estructura metálica de un almacén de tableros de madera

UNIVERSITAT POLITÈCNICA DE VALÈNCIA

Escuela Técnica Superior de Ingeniería de Caminos, Canales y Puertos

Nº PLANO	ESCALA	FECHA
16 de 29	1:100	JULIO 2022

AUTOR DEL TRABAJO

SERGIO OLMOS VILA

INGENIERO CIVIL

DESIGNACIÓN DEL PLANO

PÓRTICO DE APOYO DEL FORJADO

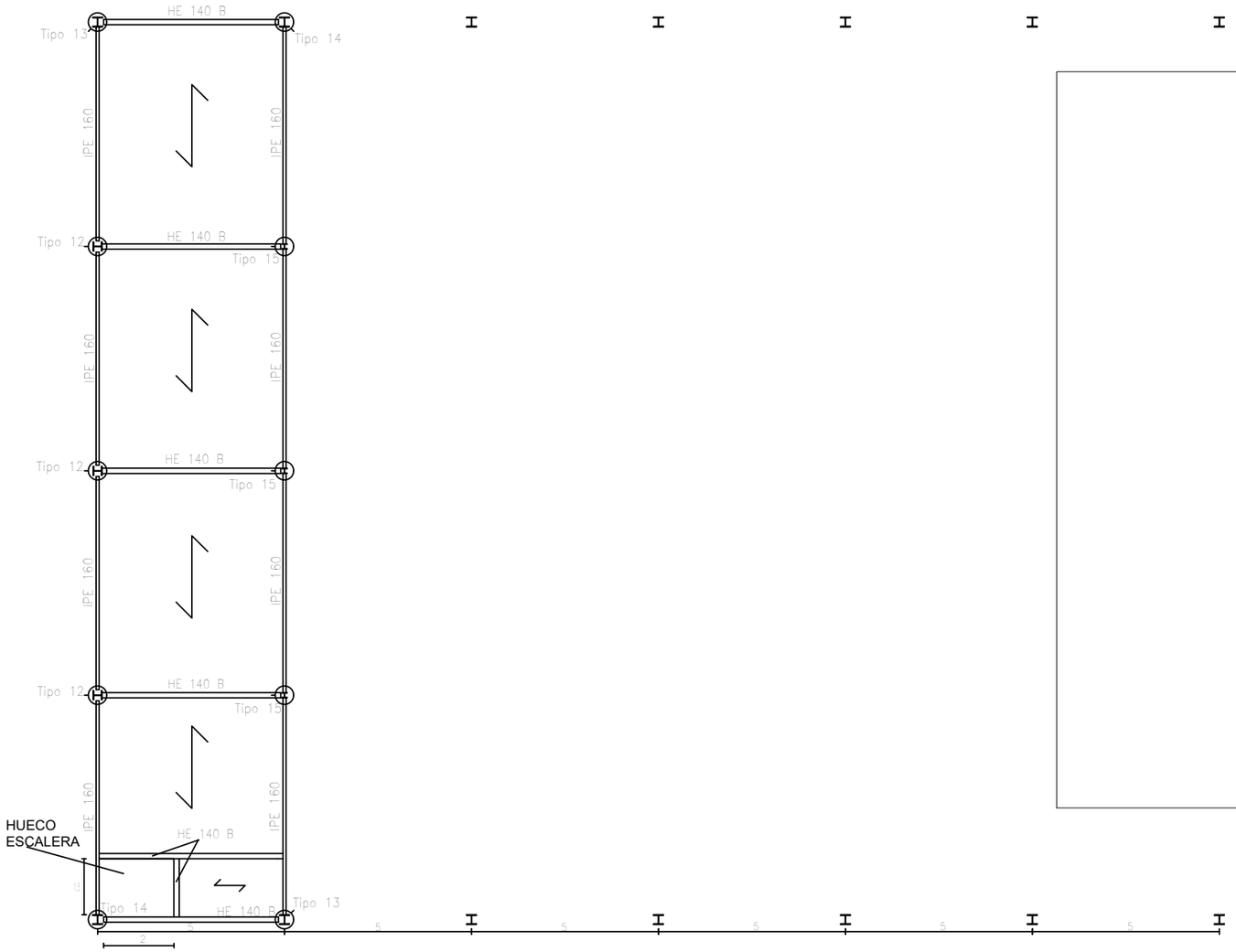

Apoyo en extremo de vano con forjado embebido en viga metálica descolgada.
Forjado unidireccional.
Viguetas metálicas.

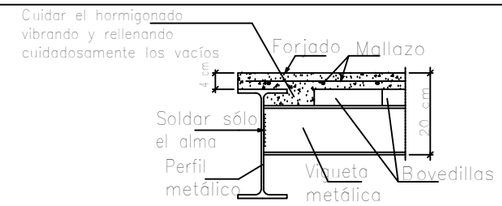

Apoyo entre vanos con forjado embebido en viga metálica de canto inferior.
Forjado unidireccional.
Viguetas metálicas.

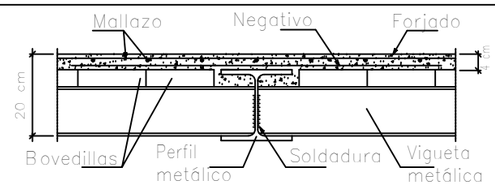

Escala 1:15

MATERIAL	γ SEG.	RESISTENCIA (MPa)	NIVEL DE CONTROL
HA-25/P/20	1,5	25	ESTADISTICO
S 275 JR	1,15	275	INTENSO
S 235 JR	1,15	235	NORMAL
B 500 S	1,15	500	NORMAL

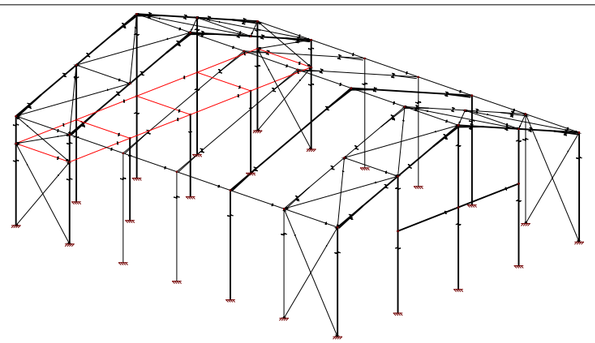

PARTES DEFINIDAS EN EL PLANO PRINCIPAL

TÍTULO DEL TRABAJO

Memoria valorada del diseño y cálculo de la estructura metálica de un almacén de tableros de madera

UNIVERSITAT POLITÈCNICA DE VALÈNCIA

Escuela Técnica Superior de Ingeniería de Caminos, Canales y Puertos

Nº PLANO	ESCALA	FECHA
17 de 29	1:150	JULIO 2022

AUTOR DEL TRABAJO

SERGIO OLMOS VILA

INGENIERO CIVIL

DESIGNACIÓN DEL PLANO

FORJADO Y DETALLES DEL FORJADO

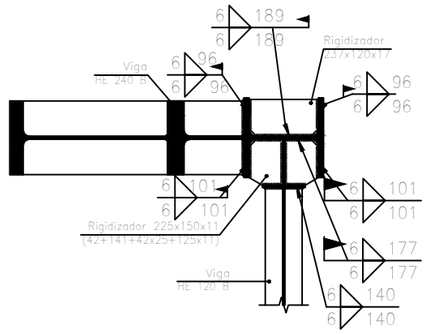

Sección E – E

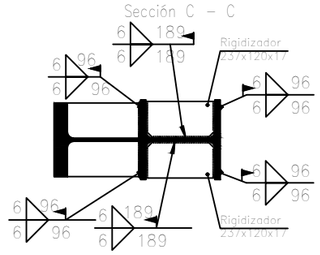

Sección C – C

Sección F – F

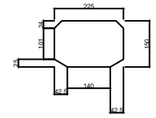

Rigidizador 225x150x11
(42+141+42x25+125x11)

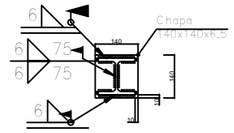

Detalle de soldaduras: Viga HE 120 B a chapa frontal

MATERIAL	γ SEG.	RESISTENCIA (MPa)	NIVEL DE CONTROL
HA-25/P/20	1,5	25	ESTADÍSTICO
S 275 JR	1,15	275	INTENSO
S 235 JR	1,15	235	NORMAL
B 500 S	1,15	500	NORMAL

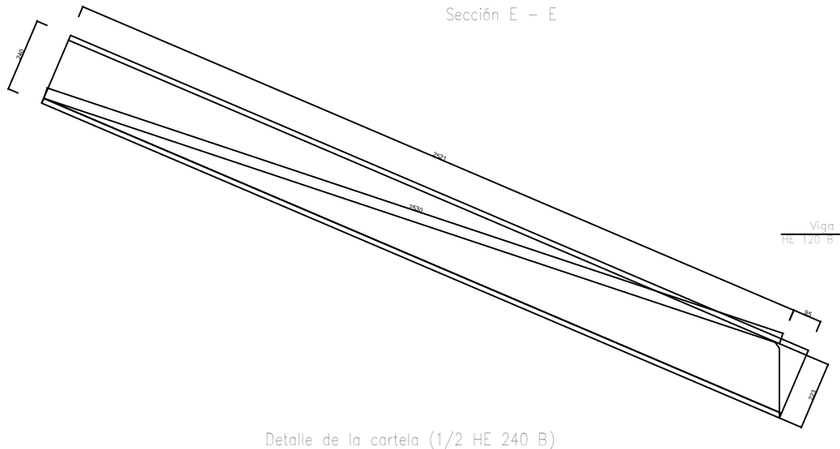

Detalle de la cartela (1/2 HE 240 B)

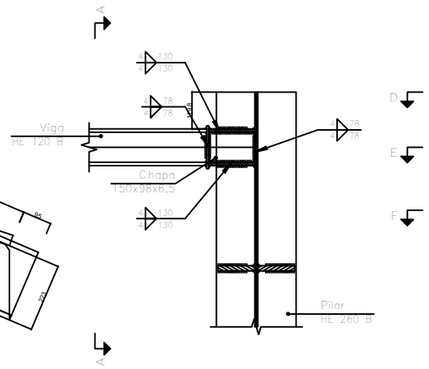

Sección B – B

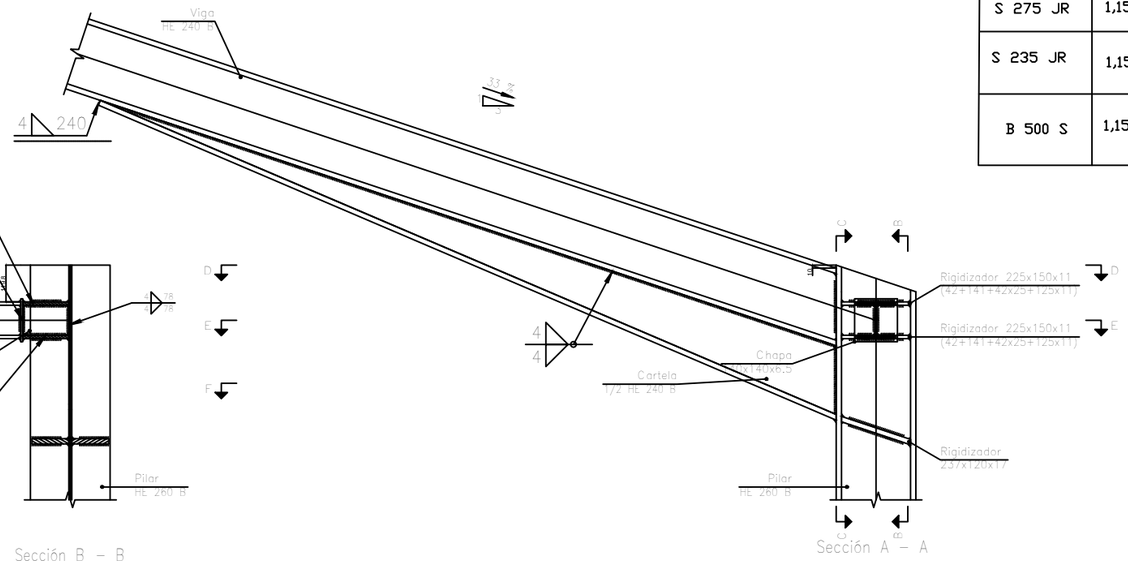

Sección A – A

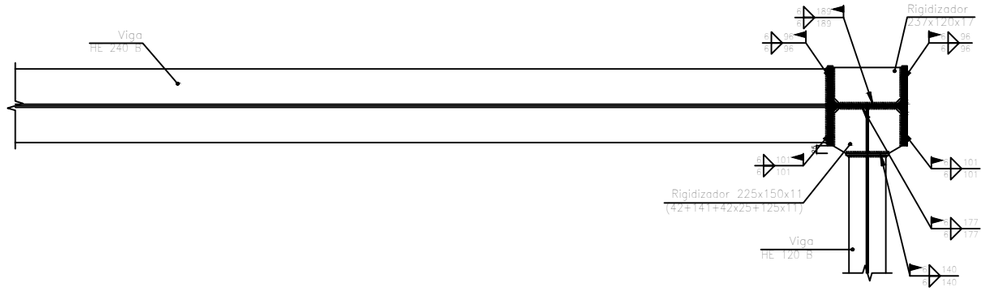

Sección D – D

Designación	Ilustración	Símbolo
Soldadura en ángulo		
Soldadura a tope en 'V' simple (con chaflán)		
Soldadura a tope en bisel simple		
Soldadura a tope en bisel doble		
Soldadura a tope en bisel simple con talón de raíz amplio		
Soldadura combinada a tope en bisel simple y en ángulo		
Soldadura a tope en bisel simple con lado curvo		

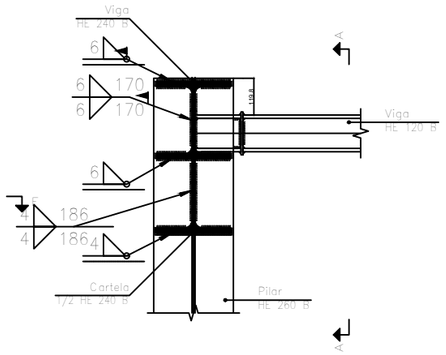

El cordón de soldadura que se detalla se encuentra en el lado de la flecha.

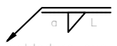

El cordón de soldadura que se detalla se encuentra en el lado opuesto al de la flecha.

Representación	Descripción
	Soldadura realizada en todo el perímetro de la pieza
	Soldadura realizada en taller
	Soldadura realizada en el lugar de montaje

TÍTULO DEL TRABAJO

Memoria valorada del diseño y cálculo de la estructura metálica de un almacén de tableros de madera

UNIVERSITAT POLITÈCNICA DE VALÈNCIA

Escuela Técnica Superior de Ingeniería de Caminos, Canales y Puertos

Nº PLANO	ESCALA	FECHA
18 de 29	1:20	JULIO 2022

AUTOR DEL TRABAJO

SERGIO OLMOS VILA

INGENIERO CIVIL

DESIGNACIÓN DEL PLANO

DESPIECE UNIÓN TIPO 4

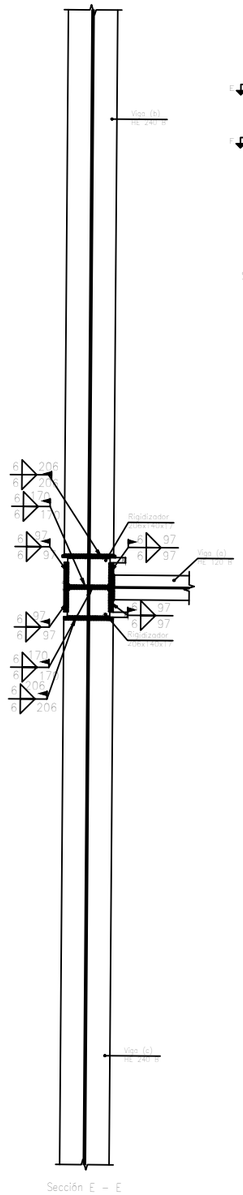

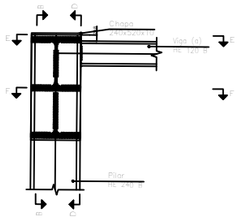

Designación	Ilustración	Símbolo
Soldadura en ángulo		
Soldadura a tope en 'V' simple (con chaflán)		
Soldadura a tope en bisel simple		
Soldadura a tope en bisel doble		
Soldadura a tope en bisel simple con talón de raíz amplio		
Soldadura combinada a tope en bisel simple y en ángulo		
Soldadura a tope en bisel simple con lado curvo		

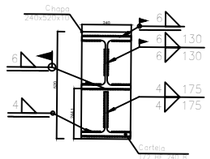

Detalle de soldaduras: Viga (c) HE 240 B a chapa frontal

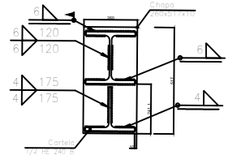

Detalle de soldaduras: Viga (b) HE 240 B a chapa frontal

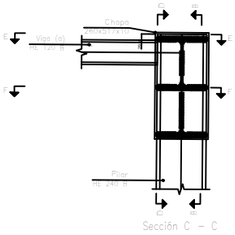

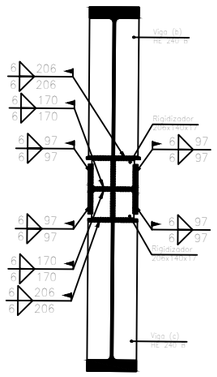

MATERIAL	γ SEG.	RESISTENCIA (MPa)	NIVEL DE CONTROL
HA-25/P/20	1,5	25	ESTADÍSTICO
S 275 JR	1,15	275	INTENSO
S 235 JR	1,15	235	NORMAL
B 500 S	1,15	500	NORMAL

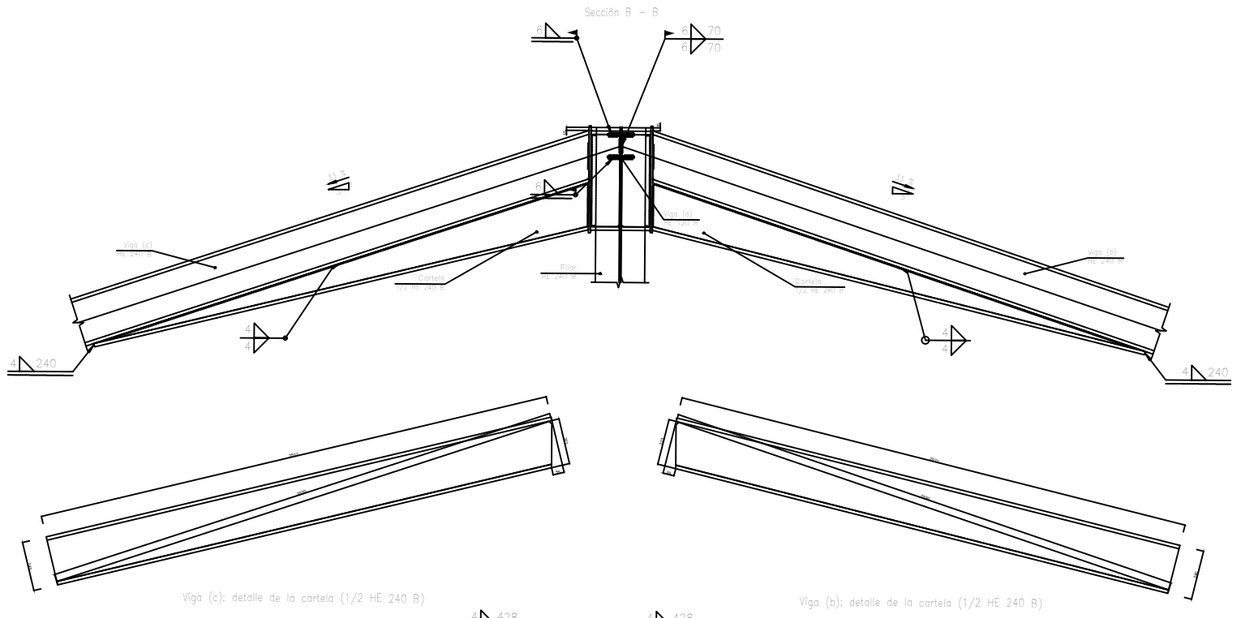

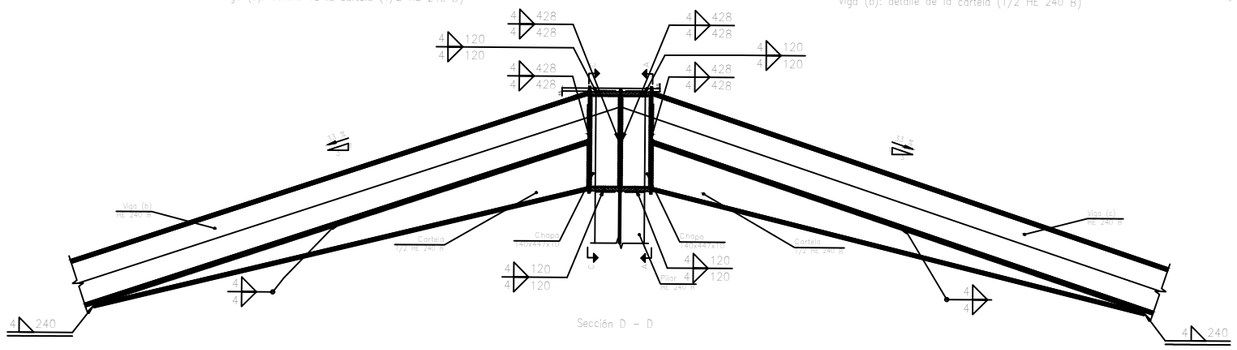

El cordón de soldadura que se detalla se encuentra en el lado de la flecha.

El cordón de soldadura que se detalla se encuentra en el lado opuesto al de la flecha.

Representación	Descripción
	Soldadura realizada en todo el perímetro de la pieza
	Soldadura realizada en taller
	Soldadura realizada en el lugar de montaje

TÍTULO DEL TRABAJO

Memoria valorada del diseño y cálculo de la estructura metálica de un almacén de tableros de madera

UNIVERSITAT POLITÈCNICA DE VALÈNCIA

Escuela Técnica Superior de Ingeniería de Caminos, Canales y Puertos

Nº PLANO	ESCALA	FECHA
19 de 29	1:30	JULIO 2022

AUTOR DEL TRABAJO

SERGIO OLMOS VILA

INGENIERO CIVIL

DESIGNACIÓN DEL PLANO

DESPIECE UNIÓN TIPO 5

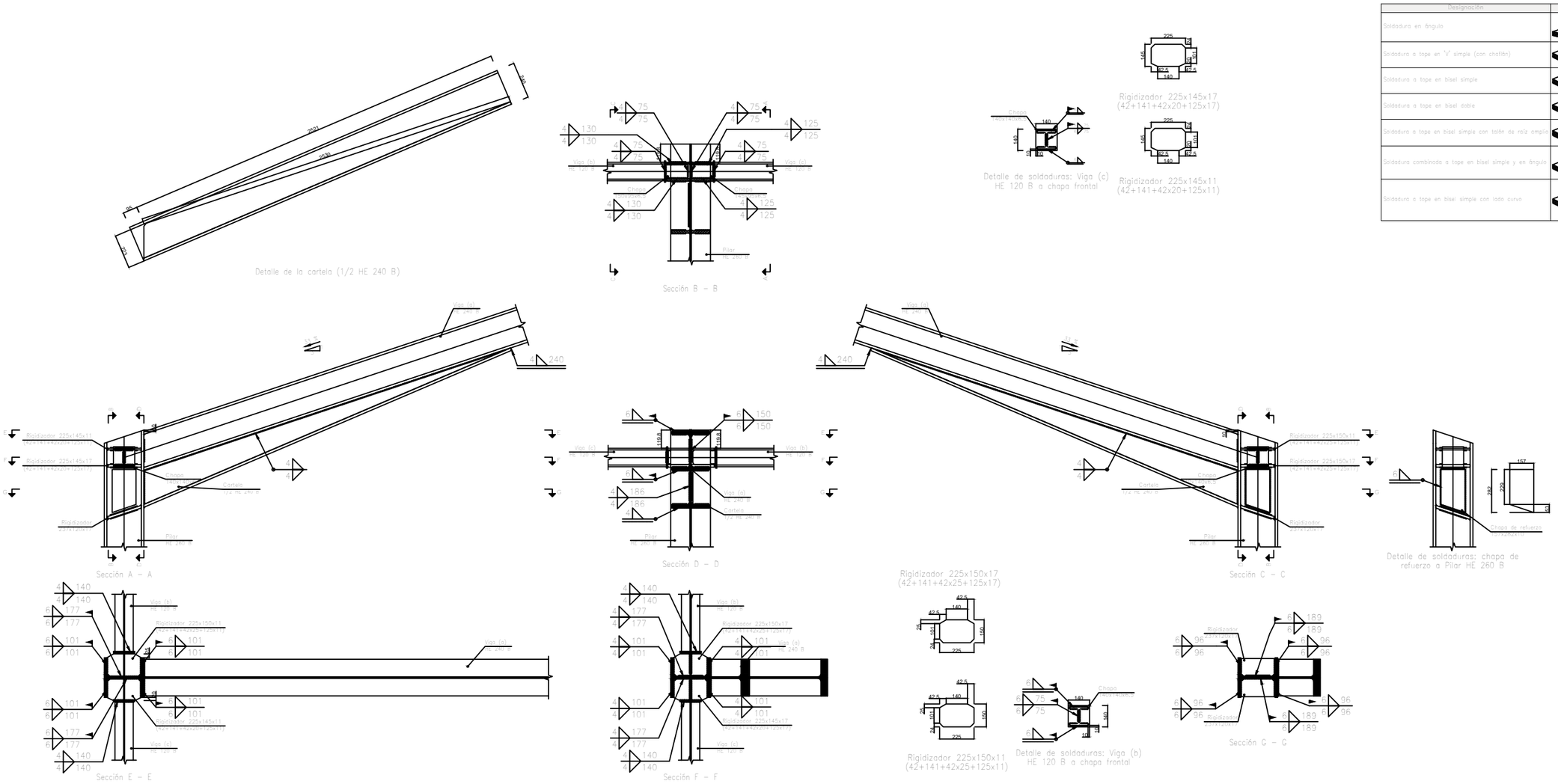

Designación	Ilustración	Símbolo
Soldadura en ángulo		
Soldadura a tope en "V" simple (con chaflán)		
Soldadura a tope en bisel simple		
Soldadura a tope en bisel doble		
Soldadura a tope en bisel simple con talón de raíz simple		
Soldadura combinada a tope en bisel simple y en ángulo		
Soldadura a tope en bisel simple con lado curvo		

MATERIAL	γ sec.	RESISTENCIA (MPa)	NIVEL DE CONTROL
HA-25/P/20	1,5	25	ESTADISTICO
S 275 JR	1,15	275	INTENSO
S 235 JR	1,15	235	NORMAL
B 500 S	1,15	500	NORMAL

El cordón de soldadura que se detalla se encuentra en el lado de la flecha.

El cordón de soldadura que se detalla se encuentra en el lado opuesto al de la flecha.

Representación	Descripción
	Soldadura realizada en todo el perímetro de la pieza
	Soldadura realizada en taller
	Soldadura realizada en el lugar de montaje

TÍTULO DEL TRABAJO

Memoria valorada del diseño y cálculo de la estructura metálica de un almacén de tableros de madera

UNIVERSITAT POLITÈCNICA DE VALÈNCIA

Escuela Técnica Superior de Ingeniería de Caminos, Canales y Puertos

Nº PLANO	ESCALA	FECHA
20 de 29	1:30	JULIO 2022

AUTOR DEL TRABAJO

SERGIO OLMOS VILA

INGENIERO CIVIL

DESIGNACIÓN DEL PLANO

DESPIECE UNIÓN TIPO 6

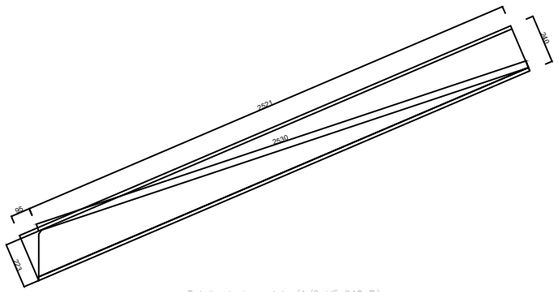

Detalle de la cartela (1/2 HE 240 B)

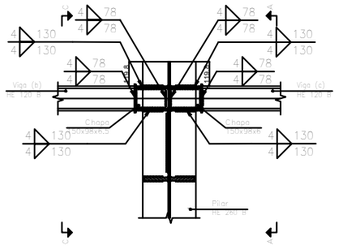

Sección B – B

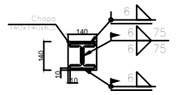

Detalle de soldaduras: Viga (c)
HE 120 B a chapa frontal

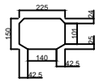

Rigidizador 225x150x11
(42+141+42x25+125x11)

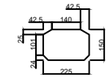

Rigidizador 225x150x11
(42+141+42x25+125x11)

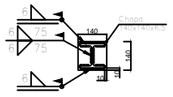

Detalle de soldaduras: Viga (b)
HE 120 B a chapa frontal

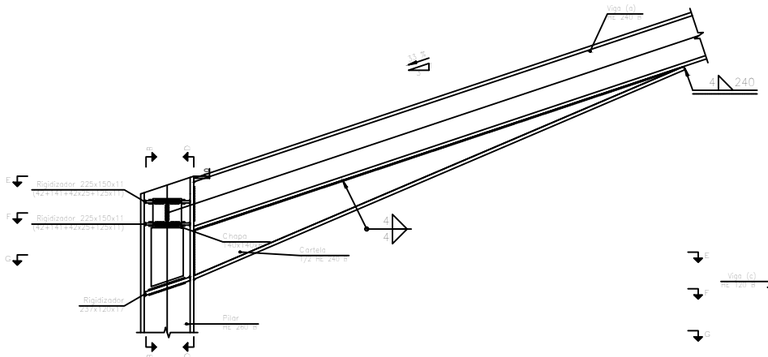

Sección A – A

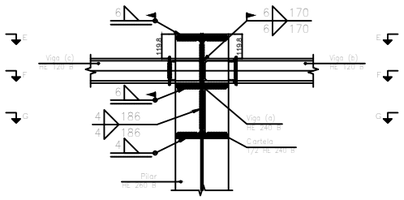

Sección D – D

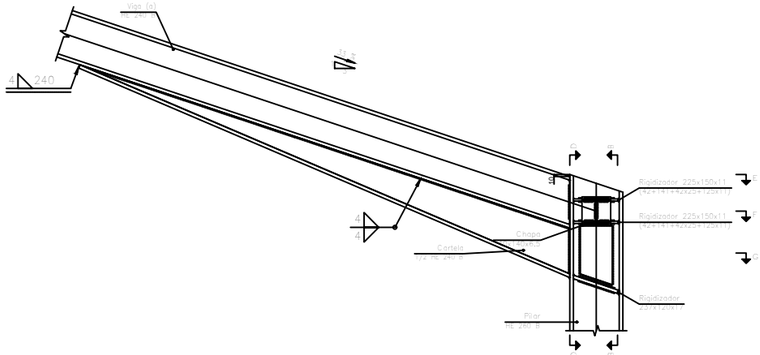

Sección C – C

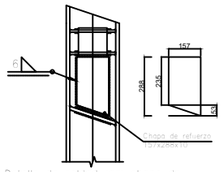

Detalle de soldaduras: chapa de refuerzo a Pilar HE 260 B

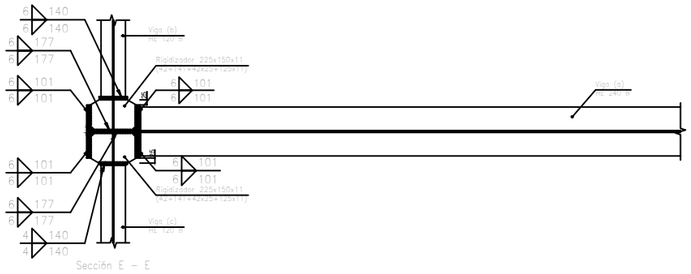

Sección E – E

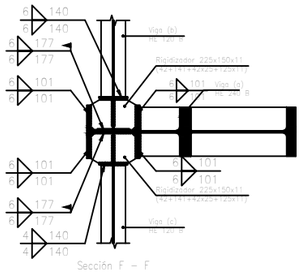

Sección F – F

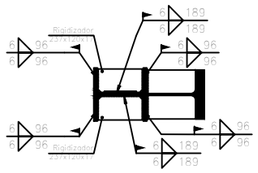

Sección G – G

Designación	Ilustración	Símbolo
Soldadura en ángulo		
Soldadura a tope en "V" simple (con chaflán)		
Soldadura a tope en bisel simple		
Soldadura a tope en bisel doble		
Soldadura a tope en bisel simple con talón de raíz simple		
Soldadura combinada a tope en bisel simple y en ángulo		
Soldadura a tope en bisel simple con lado curvo		

MATERIAL	γ sec.	RESISTENCIA (MPa)	NIVEL DE CONTROL
HA-25/P/20	1,5	25	ESTADISTICO
S 275 JR	1,15	275	INTENSO
S 235 JR	1,15	235	NORMAL
B 500 S	1,15	500	NORMAL

El cordón de soldadura que se detalla se encuentra en el lado de la flecha.

El cordón de soldadura que se detalla se encuentra en el lado opuesto al de la flecha.

Representación	Descripción
	Soldadura realizada en todo el perímetro de la pieza
	Soldadura realizada en taller
	Soldadura realizada en el lugar de montaje

TÍTULO DEL TRABAJO

Memoria valorada del diseño y cálculo de la estructura metálica de un almacén de tableros de madera

UNIVERSITAT POLITÈCNICA DE VALÈNCIA

Escuela Técnica Superior de Ingeniería de Caminos, Canales y Puertos

Nº PLANO	ESCALA	FECHA
21 de 29	1:30	JULIO 2022

AUTOR DEL TRABAJO

SERGIO OLMOS VILA

INGENIERO CIVIL

DESIGNACIÓN DEL PLANO

DESPIECE UNIÓN TIPO 7

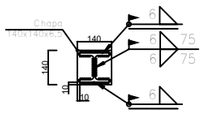

Detalle de soldaduras: Viga HE 120 B a chapa frontal

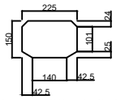

Rigidizador 225x150x11
(42+141+42x25+125x11)

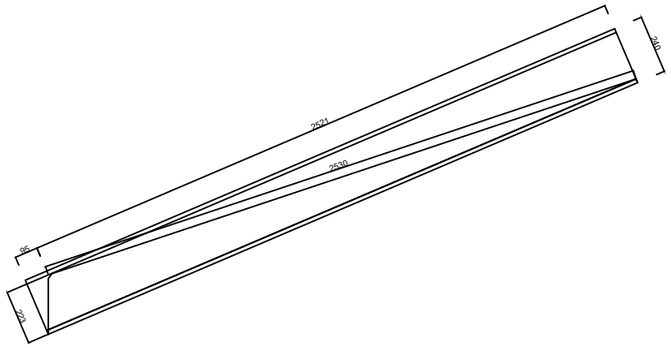

Designación	Ilustración	Símbolo
Soldadura en ángulo		
Soldadura a tope en 'V' simple (con chaflán)		
Soldadura a tope en bisel simple		
Soldadura a tope en bisel doble		
Soldadura a tope en bisel simple con talón de raíz amplio		
Soldadura combinada a tope en bisel simple y en ángulo		
Soldadura a tope en bisel simple con lado curvo		

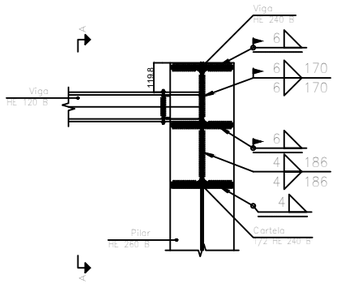

Sección C – C

Detalle de la cartela (1/2 HE 240 B)

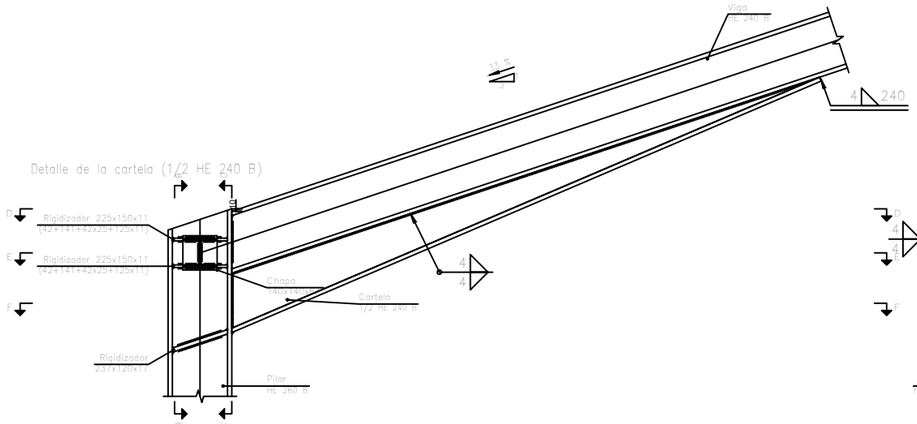

Sección A – A

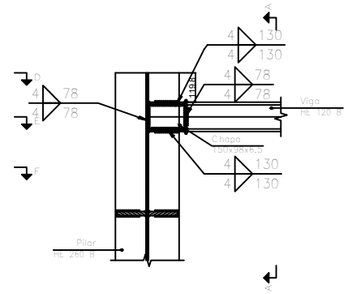

Sección B – B

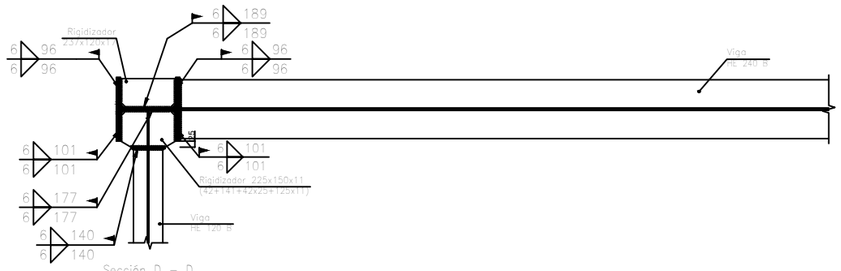

Sección D – D

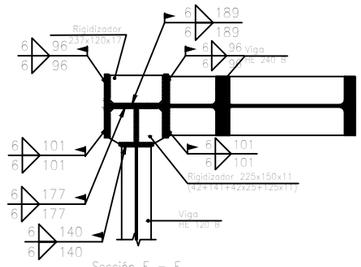

Sección E – E

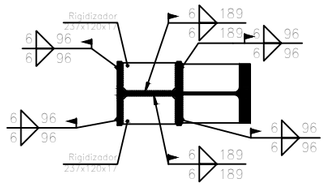

Sección F – F

MATERIAL	γ SEG.	RESISTENCIA (MPa)	NIVEL DE CONTROL
HA-25/P/20	1,5	25	ESTADISTICO
S 275 JR	1,15	275	INTENSO
S 235 JR	1,15	235	NORMAL
B 500 S	1,15	500	NORMAL

El cordón de soldadura que se detalla se encuentra en el lado de la flecha.

El cordón de soldadura que se detalla se encuentra en el lado opuesto al de la flecha.

Representación	Descripción
	Soldadura realizada en todo el perímetro de la pieza
	Soldadura realizada en taller
	Soldadura realizada en el lugar de montaje

TÍTULO DEL TRABAJO

Memoria valorada del diseño y cálculo de la estructura metálica de un almacén de tableros de madera

UNIVERSITAT POLITÈCNICA DE VALÈNCIA

Escuela Técnica Superior de Ingeniería de Caminos, Canales y Puertos

Nº PLANO	ESCALA	FECHA
22 de 29	1:25	JULIO 2022

AUTOR DEL TRABAJO

SERGIO OLMOS VILA

INGENIERO CIVIL

DESIGNACIÓN DEL PLANO

DESPIECE UNIÓN TIPO 8

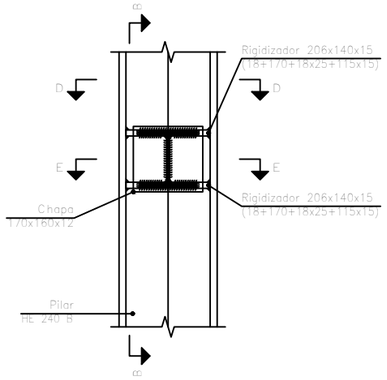

Sección A – A

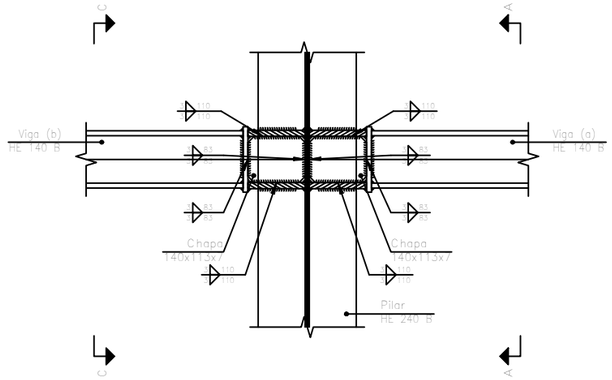

Sección B – B

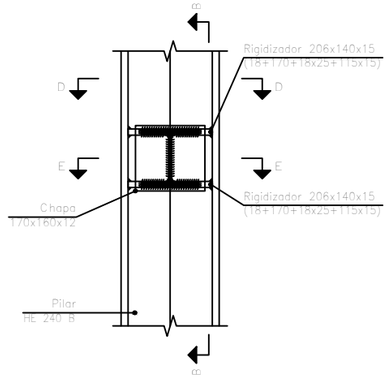

Sección C – C

Designación	Ilustración	Símbolo
Soldadura en ángulo		
Soldadura a tope en 'V' simple (con chaflán)		
Soldadura a tope en bisel simple		
Soldadura a tope en bisel doble		
Soldadura a tope en bisel simple con talón de raíz amplio		
Soldadura combinada a tope en bisel simple y en ángulo		
Soldadura a tope en bisel simple con lado curvo		

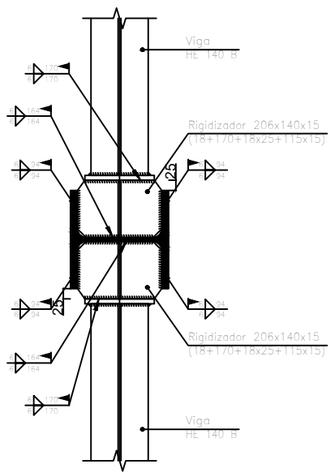

Sección D – D

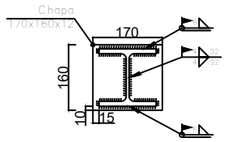

Detalle de soldaduras: Viga (a)
HE 140 B a chapa frontal

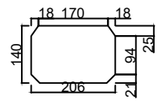

Rigidizador 206x140x15
(18+170+18x25+115x15)

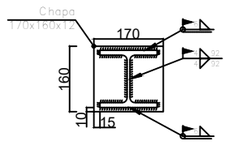

Detalle de soldaduras: Viga (b)
HE 140 B a chapa frontal

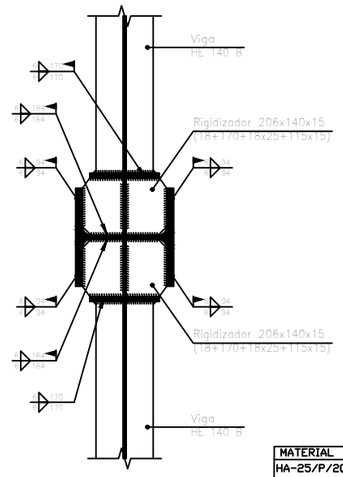

Sección E – E

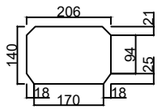

Rigidizador 206x140x15
(18+170+18x25+115x15)

MATERIAL	γ SEG.	RESISTENCIA (MPa)	NIVEL DE CONTROL
HA-25/P/20	1,5	25	ESTADÍSTICO
S 275 JR	1,15	275	
S 235 JR	1,15	235	NORMAL
B 500 S	1,15	500	NORMAL

El cordón de soldadura que se detalla se encuentra en el lado de la flecha.

El cordón de soldadura que se detalla se encuentra en el lado opuesto al de la flecha.

Representación	Descripción
	Soldadura realizada en todo el perímetro de la pieza
	Soldadura realizada en taller
	Soldadura realizada en el lugar de montaje

TÍTULO DEL TRABAJO

Memoria valorada del diseño y cálculo de la estructura metálica de un almacén de tableros de madera

UNIVERSITAT POLITÈCNICA DE VALÈNCIA

Escuela Técnica Superior de Ingeniería de Caminos, Canales y Puertos

Nº PLANO	ESCALA	FECHA
23 de 29	1:15	JULIO 2022

AUTOR DEL TRABAJO

SERGIO OLMOS VILA

INGENIERO CIVIL

DESIGNACIÓN DEL PLANO

DESPIECE UNIÓN TIPO 9

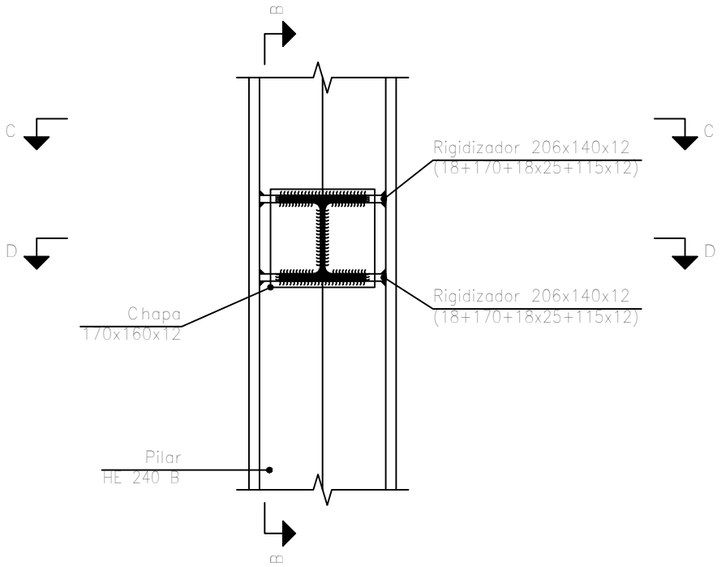

Sección A – A

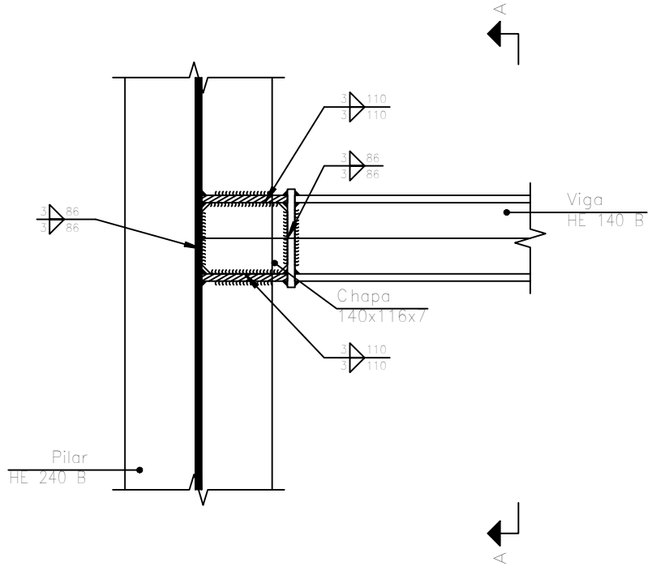

Sección B – B

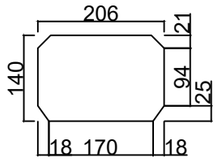

Rigidizador 206x140x12
(18+170+18x25+115x12)

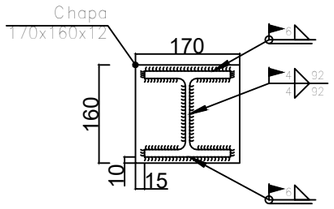

Detalle de soldaduras: Viga HE 140 B a chapa frontal

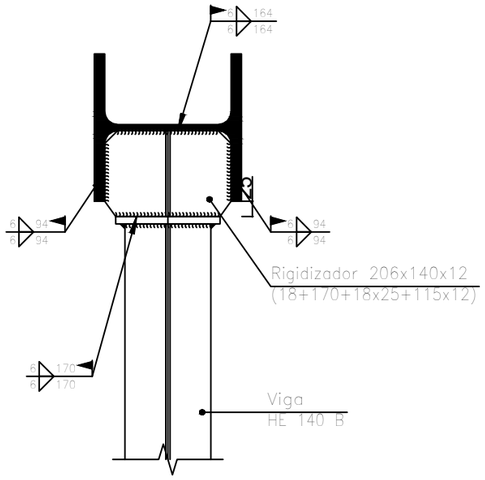

Sección C – C

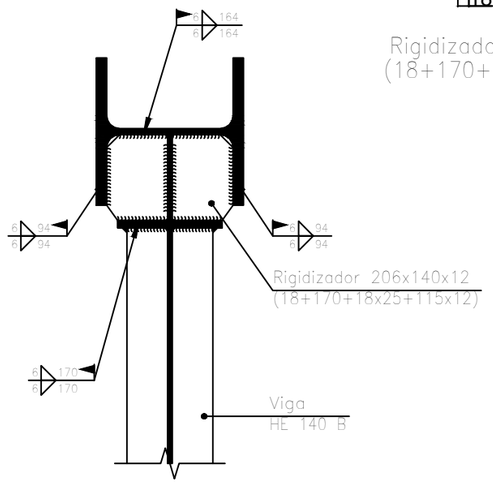

Sección D – D

Designación	Ilustración	Símbolo
Soldadura en ángulo		
Soldadura a tope en 'V' simple (con chaflán)		
Soldadura a tope en bisel simple		
Soldadura a tope en bisel doble		
Soldadura a tope en bisel simple con talón de raíz amplio		
Soldadura combinada a tope en bisel simple y en ángulo		
Soldadura a tope en bisel simple con lado curvo		

MATERIAL	γ SEG.	RESISTENCIA (MPa)	NIVEL DE CONTROL
HA-25/P/20	1,5	25	ESTADÍSTICO
S 275 JR	1,15	275	
S 235 JR	1,15	235	NORMAL
B 500 S	1,15	500	NORMAL

El cordón de soldadura que se detalla se encuentra en el lado de la flecha.

El cordón de soldadura que se detalla se encuentra en el lado opuesto al de la flecha.

Representación	Descripción
	Soldadura realizada en todo el perímetro de la pieza
	Soldadura realizada en taller
	Soldadura realizada en el lugar de montaje

TÍTULO DEL TRABAJO

Memoria valorada del diseño y cálculo de la estructura metálica de un almacén de tableros de madera

UNIVERSITAT POLITÈCNICA DE VALÈNCIA

Escuela Técnica Superior de Ingeniería de Caminos, Canales y Puertos

Nº PLANO	ESCALA	FECHA
24 de 29	1:10	JULIO 2022

AUTOR DEL TRABAJO

SERGIO OLMOS VILA

INGENIERO CIVIL

DESIGNACIÓN DEL PLANO

DESPIECE UNIÓN TIPO 10

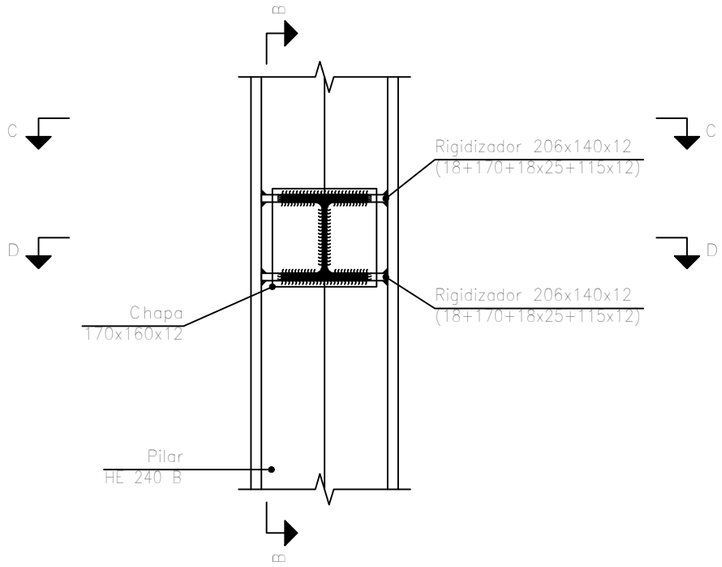

Sección A – A

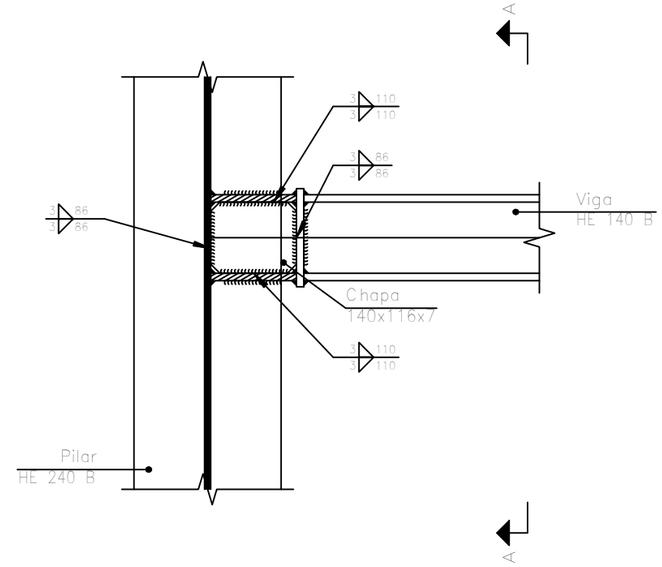

Sección B – B

Designación	Ilustración	Símbolo
Soldadura en ángulo		
Soldadura a tope en 'V' simple (con chaflán)		
Soldadura a tope en bisel simple		
Soldadura a tope en bisel doble		
Soldadura a tope en bisel simple con talón de raíz amplio		
Soldadura combinada a tope en bisel simple y en ángulo		
Soldadura a tope en bisel simple con lado curvo		

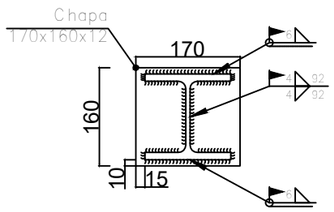

Detalle de soldaduras: Viga HE 140 B a chapa frontal

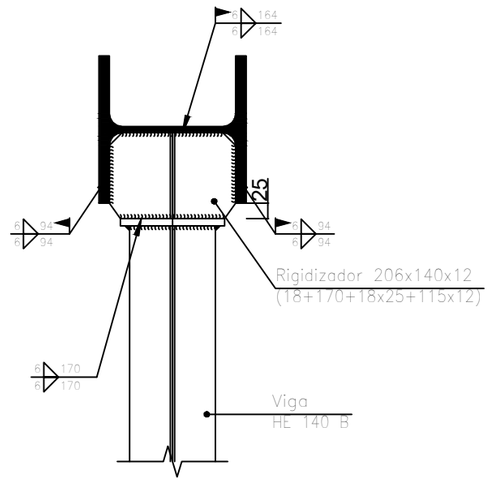

Sección C – C

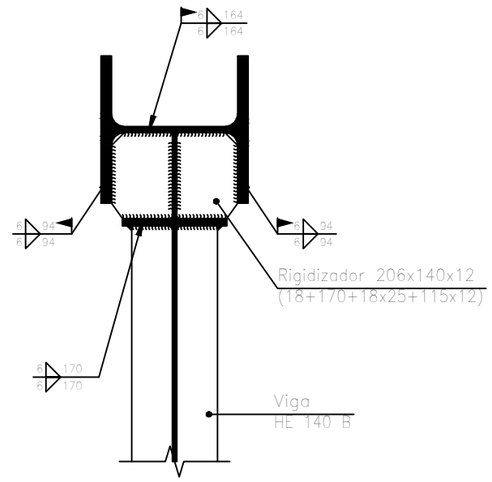

Sección D – D

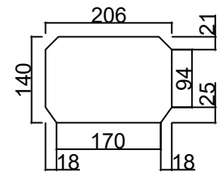

Rigidizador 206x140x12
(18+170+18x25+115x12)

MATERIAL	γ SEG.	RESISTENCIA (MPa)	NIVEL DE CONTROL
HA-25/P/20	1,5	25	ESTADÍSTICO
S 275 JR	1,15	275	
S 235 JR	1,15	235	NORMAL
B 500 S	1,15	500	NORMAL

El cordón de soldadura que se detalla se encuentra en el lado de la flecha.

El cordón de soldadura que se detalla se encuentra en el lado opuesto al de la flecha.

Representación	Descripción
	Soldadura realizada en todo el perímetro de la pieza
	Soldadura realizada en taller
	Soldadura realizada en el lugar de montaje

TÍTULO DEL TRABAJO

Memoria valorada del diseño y cálculo de la estructura metálica de un almacén de tableros de madera

UNIVERSITAT POLITÈCNICA DE VALÈNCIA

Escuela Técnica Superior de Ingeniería de Caminos, Canales y Puertos

Nº PLANO	ESCALA	FECHA
25 de 29	1:10	JULIO 2022

AUTOR DEL TRABAJO

SERGIO OLMOS VILA

INGENIERO CIVIL

DESIGNACIÓN DEL PLANO

DESPIECE UNIÓN TIPO 11

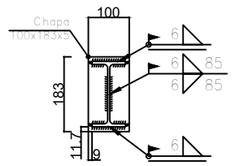

Detalle de soldaduras: Viga (c) IPE 160 a chapa frontal

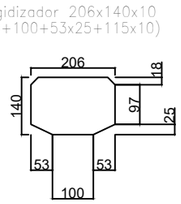

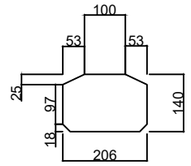

Rigidizador 206x140x10 (53+100+53x25+115x10)

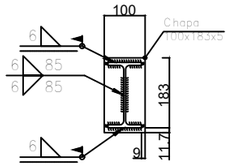

Detalle de soldaduras: Viga (b) IPE 160 a chapa frontal

Designación	Ilustración	Símbolo
Soldadura en ángulo		
Soldadura a tope en 'V' simple (con chaflán)		
Soldadura a tope en bisel simple		
Soldadura a tope en bisel doble	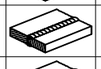	
Soldadura a tope en bisel simple con talón de raíz amplio	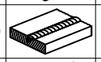	
Soldadura combinada a tope en bisel simple y en ángulo	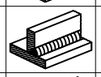	
Soldadura a tope en bisel simple con lado curvo	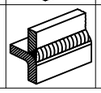	

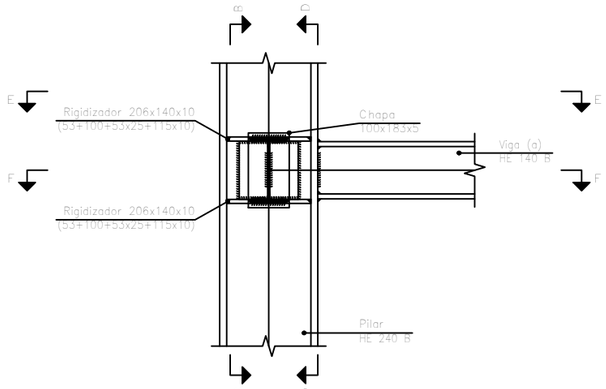

Sección A – A

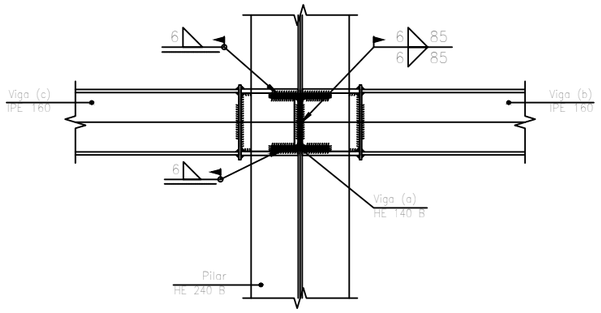

Sección D – D

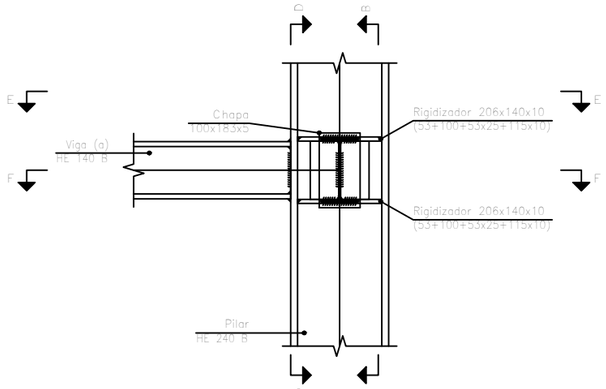

Sección C – C

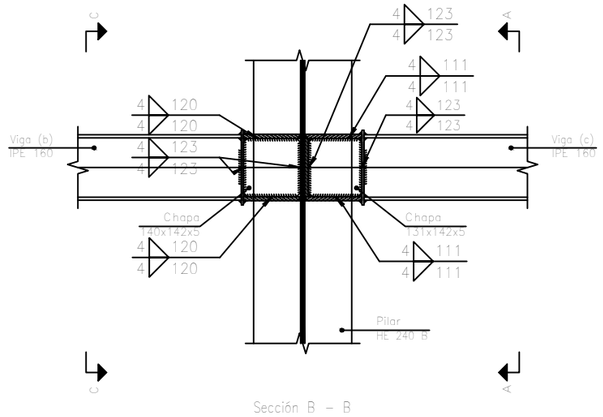

Sección B – B

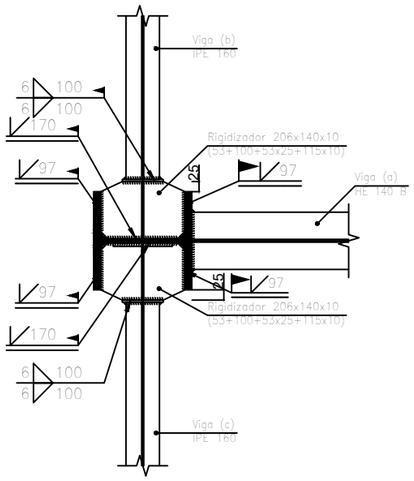

Sección E – E

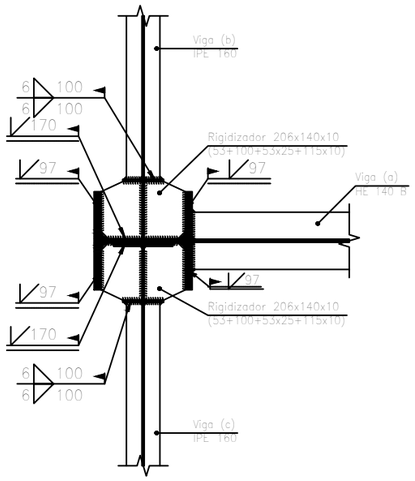

Sección F – F

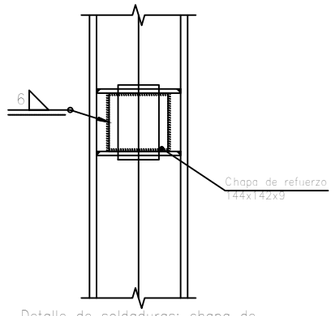

Detalle de soldaduras: chapa de refuerzo a Pilar HE 240 B

MATERIAL	γ SEG.	RESISTENCIA (MPa)	NIVEL DE CONTROL
HA-25/P/20	1,5	25	ESTADÍSTICO
S 275 JR	1,15	275	
S 235 JR	1,15	235	NORMAL
B 500 S	1,15	500	NORMAL

El cordón de soldadura que se detalla se encuentra en el lado de la flecha.

El cordón de soldadura que se detalla se encuentra en el lado opuesto al de la flecha.

Representación	Descripción
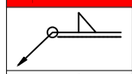	Soldadura realizada en todo el perímetro de la pieza
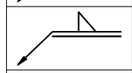	Soldadura realizada en taller
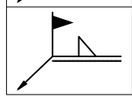	Soldadura realizada en el lugar de montaje

TÍTULO DEL TRABAJO

Memoria valorada del diseño y cálculo de la estructura metálica de un almacén de tableros de madera

UNIVERSITAT POLITÈCNICA DE VALÈNCIA

Escuela Técnica Superior de Ingeniería de Caminos, Canales y Puertos

Nº PLANO	ESCALA	FECHA
26 de 29	1:15	JULIO 2022

AUTOR DEL TRABAJO

SERGIO OLMOS VILA

INGENIERO CIVIL

DESIGNACIÓN DEL PLANO

DESPIECE UNIÓN TIPO 12

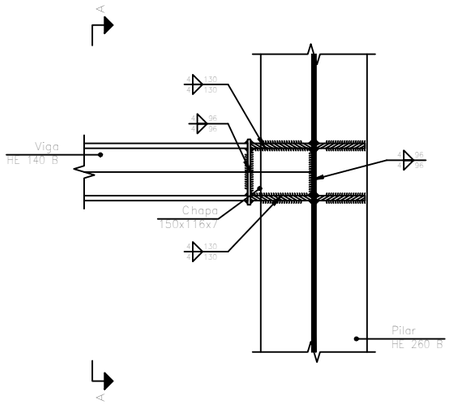

Sección B – B

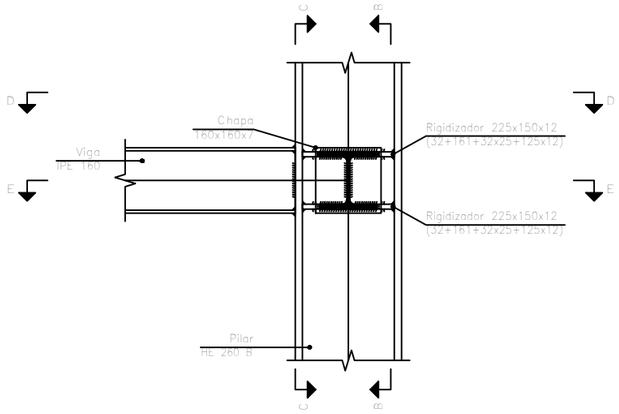

Sección A – A

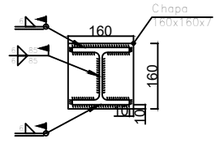

Detalle de soldaduras: Viga HE 140 B a chapa frontal

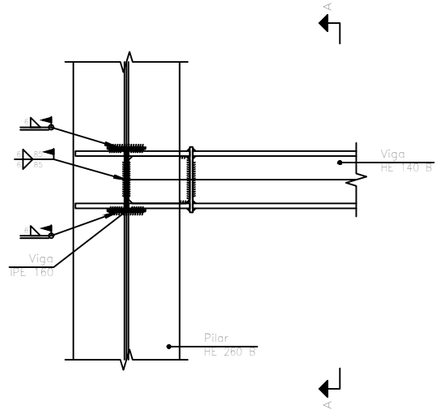

Sección C – C

Designación	Ilustración	Símbolo
Soldadura en ángulo		
Soldadura a tope en 'V' simple (con chaflán)	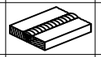	
Soldadura a tope en bisel simple	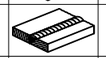	
Soldadura a tope en bisel doble	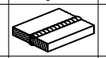	
Soldadura a tope en bisel simple con talón de raíz amplio	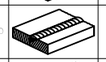	
Soldadura combinada a tope en bisel simple y en ángulo	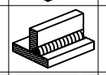	
Soldadura a tope en bisel simple con lado curvo	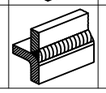	

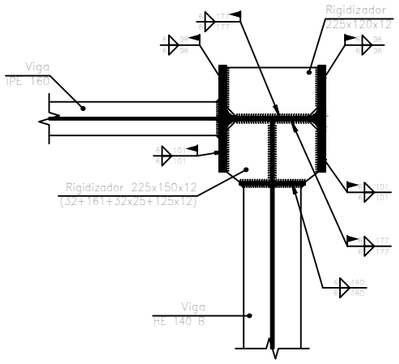

Sección E – E

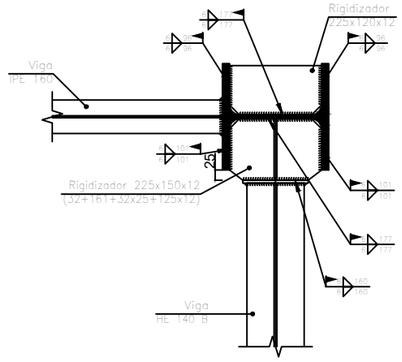

Sección D – D

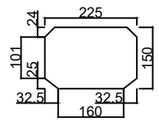

Rigidizador 225x150x12
(32+161+32x25+125x12)

MATERIAL	γ SEG.	RESISTENCIA (MPa)	NIVEL DE CONTROL
HA-25/P/20	1,5	25	ESTADÍSTICO
S 275 JR	1,15	275	
S 235 JR	1,15	235	NORMAL
B 500 S	1,15	500	NORMAL

El cordón de soldadura que se detalla se encuentra en el lado de la flecha.

El cordón de soldadura que se detalla se encuentra en el lado opuesto al de la flecha.

Representación	Descripción
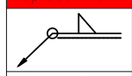	Soldadura realizada en todo el perímetro de la pieza
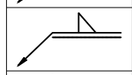	Soldadura realizada en taller
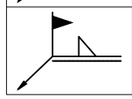	Soldadura realizada en el lugar de montaje

TÍTULO DEL TRABAJO

Memoria valorada del diseño y cálculo de la estructura metálica de un almacén de tableros de madera

UNIVERSITAT POLITÈCNICA DE VALÈNCIA

Escuela Técnica Superior de Ingeniería de Caminos, Canales y Puertos

Nº PLANO	ESCALA	FECHA
27 de 29	1:15	JULIO 2022

AUTOR DEL TRABAJO

SERGIO OLMOS VILA

INGENIERO CIVIL

DESIGNACIÓN DEL PLANO

DESPIECE UNIÓN TIPO 13

Designación	Ilustración	Símbolo
Soldadura en ángulo		
Soldadura a tope en 'V' simple (con chaflán)		
Soldadura a tope en bisel simple		
Soldadura a tope en bisel doble		
Soldadura a tope en bisel simple con talón de raíz amplio		
Soldadura combinada a tope en bisel simple y en ángulo		
Soldadura a tope en bisel simple con lado curvo		

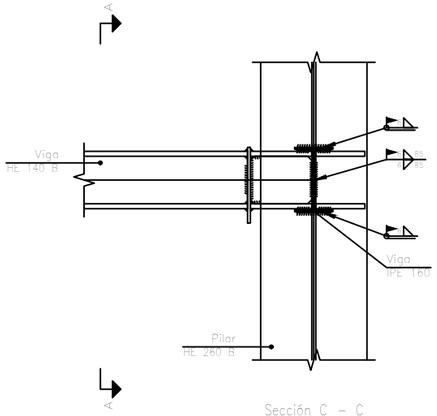

Sección C – C

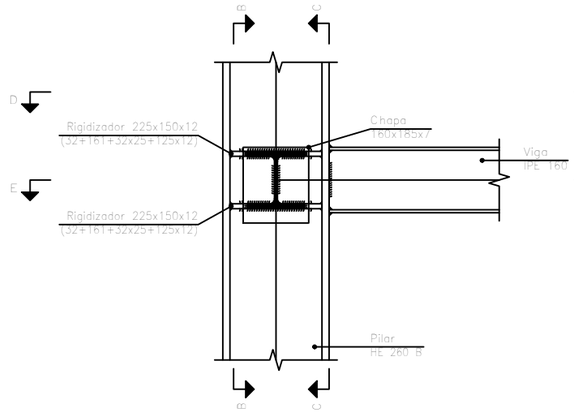

Sección A – A

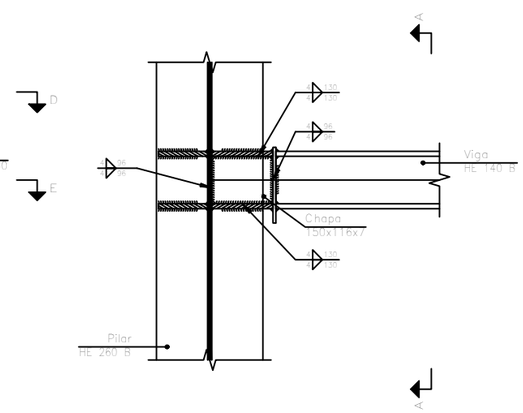

Sección B – B

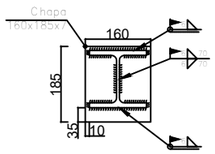

Detalle de soldaduras: Viga HE 140 B a chapa frontal

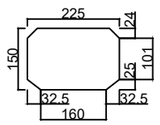

Rigidizador 225x150x12
(32+161+32x25+125x12)

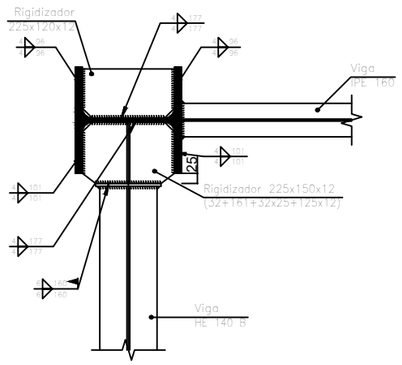

Sección D – D

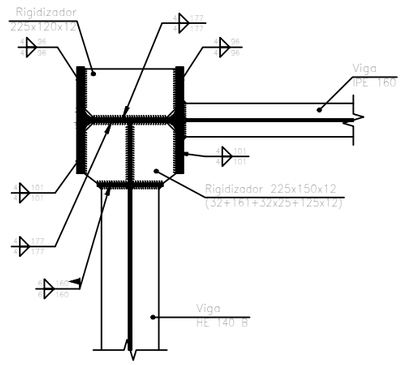

Sección E – E

MATERIAL	γ SEG.	RESISTENCIA (MPa)	NIVEL DE CONTROL
HA-25/P/20	1,5	25	ESTADÍSTICO
S 275 JR	1,15	275	
S 235 JR	1,15	235	NORMAL
B 500 S	1,15	500	NORMAL

El cordón de soldadura que se detalla se encuentra en el lado de la flecha.

El cordón de soldadura que se detalla se encuentra en el lado opuesto al de la flecha.

Representación	Descripción
	Soldadura realizada en todo el perímetro de la pieza
	Soldadura realizada en taller
	Soldadura realizada en el lugar de montaje

TÍTULO DEL TRABAJO

Memoria valorada del diseño y cálculo de la estructura metálica de un almacén de tableros de madera

UNIVERSITAT POLITÈCNICA DE VALÈNCIA

Escuela Técnica Superior de Ingeniería de Caminos, Canales y Puertos

Nº PLANO	ESCALA	FECHA
28 de 29	1:15	JULIO 2022

AUTOR DEL TRABAJO

SERGIO OLMOS VILA

INGENIERO CIVIL

DESIGNACIÓN DEL PLANO

DESPIECE UNIÓN TIPO 14

Designación	Ilustración	Símbolo
Soldadura en ángulo		
Soldadura a tope en 'V' simple (con chaflán)		
Soldadura a tope en bisel simple		
Soldadura a tope en bisel doble		
Soldadura a tope en bisel simple con talón de raíz amplia	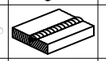	
Soldadura combinada a tope en bisel simple y en ángulo	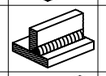	
Soldadura a tope en bisel simple con lado curvo	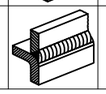	

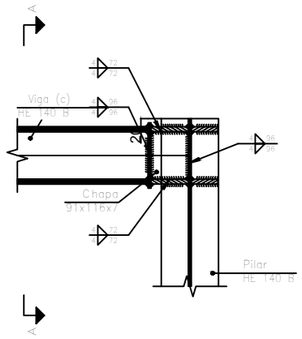

Sección B – B

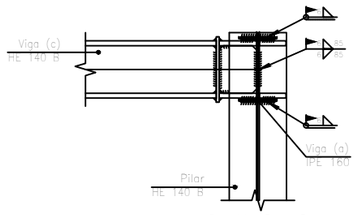

Sección D – D

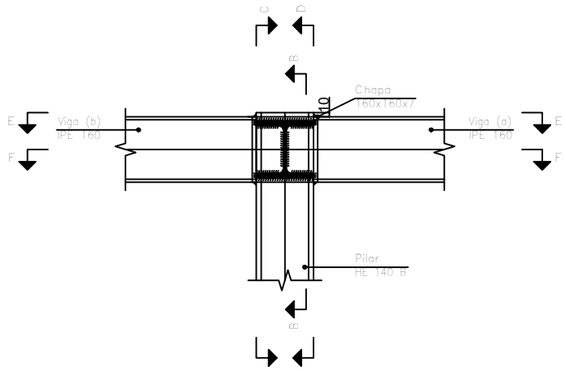

Sección A – A

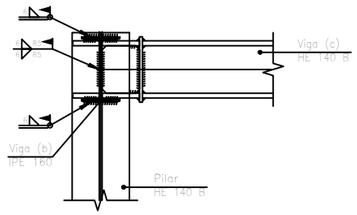

Sección C – C

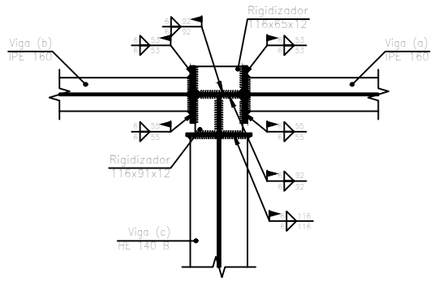

Sección F – F

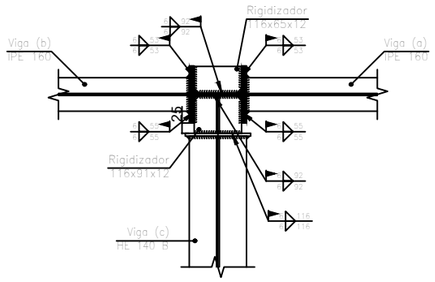

Sección E – E

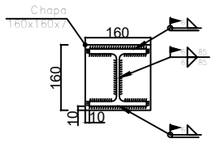

Detalle de soldaduras: Viga (c)
HE 140 B a chapa frontal

MATERIAL	γ SEG.	RESISTENCIA (MPa)	NIVEL DE CONTROL
HA-25/P/20	1,5	25	ESTADÍSTICO
S 275 JR	1,15	275	
S 235 JR	1,15	235	NORMAL
B 500 S	1,15	500	NORMAL

El cordón de soldadura que se detalla se encuentra en el lado de la flecha.

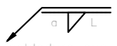

El cordón de soldadura que se detalla se encuentra en el lado opuesto al de la flecha.

Representación	Descripción
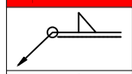	Soldadura realizada en todo el perímetro de la pieza
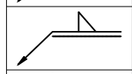	Soldadura realizada en taller
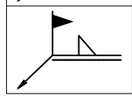	Soldadura realizada en el lugar de montaje

TÍTULO DEL TRABAJO

Memoria valorada del diseño y cálculo de la estructura metálica de un almacén de tableros de madera

UNIVERSITAT POLITÈCNICA DE VALÈNCIA

Escuela Técnica Superior de Ingeniería de Caminos, Canales y Puertos

Nº PLANO	ESCALA	FECHA
29 de 29	1:15	JULIO 2022

AUTOR DEL TRABAJO

SERGIO OLMOS VILA

INGENIERO CIVIL

DESIGNACIÓN DEL PLANO

DESPIECE UNIÓN TIPO 15

DOCUMENTO Nº3: PRESUPUESTO

ÍNDICE

1 MEDICIONES AUXILIARES 1
1.1 ESTRUCTURA 1
1.2 CORREAS 1
1.3 CUBIERTA 1
1.4 PANELES DE CERRAMIENTO 1
1.5 CARPINTERÍA METÁLICA 1
1.6 HORMIGÓN 1
1.6.1 HORMIGÓN PARA CIMENTACIONES Y DE LIMPIEZA 1
1.6.2 HORMIGÓN DE LA SOLERA 1
1.7 MOVIMIENTO DE TIERRAS 1
1.8 ACERO CORRUGADO PARA ARMADURAS 1
1.8.1 DESGLOSE DE ZAPATAS DE LOS PILARES EXTERIORES 2
1.8.2 DESGLOSE DE ZAPATAS DE LOS PILARES INTERIORES 2
1.8.3 DESGLOSE DE LAS VIGAS DE ATADO 2
1.8.4 MALLAZO DE SOLERA 2
1.8.5 MALLAZO DEL FORJADO 2
1.9 PINTURAS 2
1.9.1 PINTURA INTUMESCENTE PARA PROTECCIÓN FRENTE AL FUEGO 2
1.10 OPERACIONES PREVIAS 2
1.11 FORJADO 2
1.11.1 VIGUETAS Y BOVEDILLAS 2
1.11.2 CAPA DE COMPRESIÓN 2
1.12 UNIONES 3
1.12.1 PLACAS DE ANCLAJE 3
1.12.2 NUDOS 3
1.12.3 SOLDADURAS 3
2 PRESUPUESTO DE EJECUCIÓN MATERIAL POR CAPÍTULOS 3
2.1 OPERACIONES PREVIAS 3
2.2 MOVIMIENTO DE TIERRAS 4
2.3 CIMENTACIÓN 4
2.4 ESTRUCTURA 4
2.5 CUBIERTA 4
2.6 FORJADO 4
2.7 CARPINTERÍA METÁLICA 5
2.8 MUROS PERIMETRALES 5
2.9 PINTURAS 5
2.10 PAVIMENTOS 6
3 PRESUPUESTO TOTAL 6

1 MEDICIONES AUXILIARES

1.1 ESTRUCTURA

Resumen de medición												
Material		Serie	Perfil	Longitud			Volumen			Peso		
Tipo	Designación			Perfil (m)	Serie (m)	Material (m)	Perfil (m³)	Serie (m³)	Material (m³)	Perfil (kg)	Serie (kg)	Material (kg)
			HE 260 B	112.000			1.326			10409.73		
			HE 240 B, Simple con cartelas	177.088			2.964			17576.34		
			HE 240 B	64.000			0.678			5325.44		
			HE 140 B	55.000			0.236			1856.53		
			HE 120 B	110.000			0.374			2935.90		
		HEB			518.088			5.579			38103.93	
			IPE 160	48.000			0.096			757.37		
		IPE			48.000			0.096			757.37	
			L 35 x 35 x 4	90.518			0.024			189.72		
			L 60 x 60 x 6	64.498			0.045			349.86		
			L 70 x 70 x 5	64.498			0.044			346.32		
		L			219.514			0.113			885.90	
Acero laminado	S275					785.601			5.789			39747.20

1.2 CORREAS

Medición de correas			
Tipo de correas	Nº de correas	Peso lineal kg/m	Peso superficial kg/m²
Correas de cubierta	28	181.92	7.58

Total => 28 correas de 10 m x 181,92 kg/m = 53.737,6 kg

1.3 CUBIERTA

Longitud del dintel: 12,65 m x 30 m de longitud de nave x 2 aguas = 759 m^2

1.4 PANELES DE CERRAMIENTO

6 vanos de 5 m (cada lado) y 8 m de altura = 240 m^2 (cada lateral)

Paneles de pórticos hastiales:

- Trasero: 2 x (6 x 6 + 0,5 x 2 x 2) + (10 x 6 + 2 x 0,5 x 2 x 3) – 3 x (1,2 x 1,2) = 137,68 m^2
- Frontal: 2 x (6 x 6 + 0,5 x 2 x 2) + (10 x 6 + 2 x 0,5 x 2 x 3) – 2 x (6 x 6) = 70 m^2
- Total: 240 x 2 + 137,68 + 70 = 687,68 m^2

1.5 CARPINTERÍA METÁLICA

- Dos puertas basculantes para acceso de camiones.
- Dos puertas para acceso de peatones al interior de la nave y a la zona de oficinas respectivamente.
- Muro cortina: 2 x 24 + 2 x 0,5 x 12 x 4 = 97 m^2
- Una Escalera de caracol para acceso a zona de oficinas. (2 unidades de 3 m c.u.)
- Tres ventanas de 120 cm x 120 cm para la zona de oficinas, ubicadas en la fachada trasera.

1.6 HORMIGÓN

1.6.1 HORMIGÓN PARA CIMENTACIONES Y DE LIMPIEZA

Elemento	Hormigón (m³)	
	HA-25, Yc=1.5	Limpieza
Referencias: N3, N8, N13, N18, N23, N28, N33, N36, N38, N39, N31, N26, N21, N16, N11, N6, N44, N46, N47 y N1	20x6.27	20x0.78
Referencias: N59, N60 y N61	3x0.58	3x0.14
Totales	127.17	16.11

Elemento	Hormigón (m³)	
	HA-25, Yc=1.5	Limpieza
Referencias: C [N3-N8], C [N8-N13], C [N13-N18], C [N18-N23], C [N23-N28], C [N28-N33], C [N31-N26], C [N26-N21], C [N21-N16], C [N16-N11], C [N11-N6] y C [N6-N1]	12x0.35	12x0.09
Referencias: C [N33-N36], C [N39-N31], C [N1-N47], C [N47-N46], C [N46-N44], C [N44-N3], C [N8-N61], C [N61-N60], C [N60-N59] y C [N59-N6]	10x0.51	10x0.13
Totales	9.34	2.34

1.6.2 HORMIGÓN DE LA SOLERA

1055 m^2 de solera de 30 cm de espesor = 316,5 m^3.

1.7 MOVIMIENTO DE TIERRAS

- Retirada de la capa de tierra vegetal en toda la parcela (1055 m^2 x 1,7 m de espesor de estrato = 1793,5 m^3).
- Vaciado para cimentaciones (155 m^3)
- Nivelación y refino (1055 m^2)

1.8 ACERO CORRUGADO PARA ARMADURAS

Elemento	B 500 S, Ys=1.15 (kg)		
	Ø12	Ø16	Total
Referencias: N3, N8, N13, N18, N23, N28, N33, N36, N38, N39, N31, N26, N21, N16, N11, N6, N44, N46, N47 y N1		20x257.66	5153.20
Referencias: N59, N60 y N61	3x30.01		90.03
Totales	90.03	5153.20	5243.23

Elemento	B 500 S, Ys=1.15 (kg)		
	Ø8	Ø12	Total
Referencias: C [N3-N8], C [N8-N13], C [N13-N18], C [N18-N23], C [N23-N28], C [N28-N33], C [N31-N26], C [N26-N21], C [N21-N16], C [N16-N11], C [N11-N6] y C [N6-N1]	12x5.78	12x20.70	317.76
Referencias: C [N33-N36], C [N39-N31], C [N1-N47], C [N47-N46], C [N46-N44], C [N44-N3], C [N8-N61], C [N61-N60], C [N60-N59] y C [N59-N6]	10x8.08	10x24.62	327.00
Totales	150.16	494.60	644.76

1.8.1 DESGLOSE DE ZAPATAS DE LOS PILARES EXTERIORES

Referencias: N3, N8, N13, N18, N23, N28, N33, N36, N38, N39, N31, N26, N21, N16, N11, N6, N44, N46, N47 y N1		B 500 S, Ys=1.15	Total
Nombre de armado		Ø16	
Parrilla inferior - Armado X	Longitud (m) Peso (kg)	14x2.65 14x4.18	37.10 58.56
Parrilla inferior - Armado Y	Longitud (m) Peso (kg)	14x2.65 14x4.18	37.10 58.56
Parrilla superior - Armado X	Longitud (m) Peso (kg)	14x2.65 14x4.18	37.10 58.56
Parrilla superior - Armado Y	Longitud (m) Peso (kg)	14x2.65 14x4.18	37.10 58.56
Totales	Longitud (m) Peso (kg)	148.40 234.24	234.24
Total con mermas (10.00%)	Longitud (m) Peso (kg)	163.24 257.66	257.66

*CADA ZAPATA

1.8.2 DESGLOSE DE ZAPATAS DE LOS PILARES INTERIORES

Referencias: N59, N60 y N61		B 500 S, Ys=1.15	Total
Nombre de armado		Ø12	
Parrilla inferior - Armado X	Longitud (m) Peso (kg)	6x1.28 6x1.14	7.68 6.82
Parrilla inferior - Armado Y	Longitud (m) Peso (kg)	6x1.28 6x1.14	7.68 6.82
Parrilla superior - Armado X	Longitud (m) Peso (kg)	6x1.28 6x1.14	7.68 6.82
Parrilla superior - Armado Y	Longitud (m) Peso (kg)	6x1.28 6x1.14	7.68 6.82
Totales	Longitud (m) Peso (kg)	30.72 27.28	27.28
Total con mermas (10.00%)	Longitud (m) Peso (kg)	33.79 30.01	30.01

*CADA ZAPATA

1.8.3 DESGLOSE DE LAS VIGAS DE ATADO

Referencias: C [N3-N8], C [N8-N13], C [N13-N18], C [N18-N23], C [N23-N28], C [N28-N33], C [N31-N26], C [N26-N21], C [N21-N16], C [N16-N11], C [N11-N6] y C [N6-N1]		B 500 S, Ys=1.15		Total
Nombre de armado		Ø8	Ø12	
Armado viga - Armado inferior	Longitud (m) Peso (kg)		2x5.30 2x4.71	10.60 9.41
Armado viga - Armado superior	Longitud (m) Peso (kg)		2x5.30 2x4.71	10.60 9.41
Armado viga - Estribo	Longitud (m) Peso (kg)	10x1.33 10x0.52		13.30 5.25
Totales	Longitud (m) Peso (kg)	13.30 5.25	21.20 18.82	24.07
Total con mermas (10.00%)	Longitud (m) Peso (kg)	14.63 5.78	23.32 20.70	26.48

*CADA VIGA

Referencias: C [N33-N36], C [N39-N31], C [N1-N47], C [N47-N46], C [N46-N44], C [N44-N3], C [N8-N61], C [N61-N60], C [N60-N59] y C [N59-N6]		B 500 S, Ys=1.15		Total
Nombre de armado		Ø8	Ø12	
Armado viga - Armado inferior	Longitud (m) Peso (kg)		2x6.30 2x5.59	12.60 11.19
Armado viga - Armado superior	Longitud (m) Peso (kg)		2x6.30 2x5.59	12.60 11.19
Armado viga - Estribo	Longitud (m) Peso (kg)	14x1.33 14x0.52		18.62 7.35
Totales	Longitud (m) Peso (kg)	18.62 7.35	25.20 22.38	29.73
Total con mermas (10.00%)	Longitud (m) Peso (kg)	20.48 8.09	27.72 24.61	32.70

*(CADA VIGA)

1.8.4 MALLAZO DE SOLERA

1055 m^2 de mallazo (se armará la solera de toda la parcela por igual).

1.8.5 MALLAZO DEL FORJADO

120 m^2 de mallazo para la capa de compresión.

1.9 PINTURAS

1.9.1 PINTURA INTUMESCENTE PARA PROTECCIÓN FRENTE AL FUEGO

Acero laminado: Medición de las superficies a pintar				
Serie	Perfil	Superficie unitaria (m²/m)	Longitud (m)	Superficie (m²)
HEB	HE 260 B	1.540	112.000	172.480
	HE 240 B, Simple con cartelas	1.704	177.088	301.757
	HE 240 B	1.420	64.000	90.880
	HE 140 B	0.826	55.000	45.430
	HE 120 B	0.707	110.000	77.770
IPE	IPE 160	0.638	48.000	30.624
L	L 35 x 35 x 4	0.140	90.518	12.672
	L 60 x 60 x 6	0.240	64.498	15.480
	L 70 x 70 x 5	0.280	64.498	18.059
			Total	**765.153**

1.10 OPERACIONES PREVIAS

Desbroce, mediante medios mecánicos, de toda la parcela (1055 m^2).

1.11 FORJADO

1.11.1 VIGUETAS Y BOVEDILLAS

5 m X 24 m = 120 m^2 de superficie a cubrir

1.11.2 CAPA DE COMPRESIÓN

120 m^2 x 4 cm de espesor de capa = 4,8 m^3 de hormigón.

1.12 UNIONES

1.12.1 PLACAS DE ANCLAJE

Placas de anclaje				
Material	Elementos	Cantidad	Dimensiones (mm)	Peso (kg)
S275	Placa base	3	300x300x14	29.67
		6	550x550x20	284.96
		14	600x600x25	989.10
	Rigidizadores pasantes	12	550/240x150/0x8	44.65
		28	600/270x200/35x10	203.92
			Total	1552.30
B 400 S, Ys = 1.15 (corrugado)	Pernos de anclaje	12	Ø 14 - L = 348	5.05
		48	Ø 25 - L = 465	86.01
		112	Ø 25 - L = 770	332.31
			Total	423.37

1.12.2 NUDOS

Chapas				
Material	Tipo	Cantidad	Dimensiones (mm)	Peso (kg)
S275	Rigidizadores	12	206x140x10 (53+100+53x25+115x10)	25.92
		21	225x150x11 (42+141+42x25+125x11)	59.27
		9	225x145x11 (42+141+42x20+125x11)	24.69
		6	116x65x12	4.26
		8	225x150x12 (32+161+32x25+125x12)	24.82
		8	225x120x12	20.35
		6	116x91x12	6.00
		4	206x140x12 (18+170+18x25+115x12)	10.70
		4	206x140x15 (18+170+18x25+115x15)	13.37
		9	225x150x17 (42+141+42x25+125x17)	39.26
		9	225x145x17 (42+141+42x20+125x17)	38.16
		8	206x140x17	30.79
		28	237x120x17	106.35
	Chapas	6	100x183x5	4.31
		3	140x142x5	2.35
		3	131x142x5	2.20
		1	150x98x6	0.69
		9	150x95x6.5	6.54
		9	145x95x6.5	6.33
		24	140x140x6.5	24.00
		5	150x98x6.5	3.75
		2	160x185x7	3.25
		4	150x116x7	3.82
		3	91x116x7	1.75
		2	140x113x7	1.74
		2	140x116x7	1.78
		5	160x160x7	7.03
		3	144x142x9	4.35
		1	157x288x10	3.55
		9	157x282x10	31.28
		2	260x517x10	21.10
		4	140x447x10	19.69
		2	240x520x10	19.59
		4	170x160x12	10.25
			Total	583.32

1.12.3 SOLDADURAS

Soldaduras				
f_u (kp/cm²)	Ejecución	Tipo	Espesor de garganta (mm)	Longitud de cordones (mm)
4179.4	En taller	En ángulo	3	3112
			4	180199
			6	33499
			7	32620
		A tope en bisel simple con talón de raíz amplio	5	528
			6	3770
			9	8796
	En el lugar de montaje	En ángulo	4	1288
			6	128581
			7	24996
		A tope en bisel simple	10	4368

2 PRESUPUESTO DE EJECUCIÓN MATERIAL POR CAPÍTULOS

2.1 OPERACIONES PREVIAS

Capítulo nº 1 OPERACIONES PREVIAS

Nº	Ud	Descripción	Medición	Precio	Importe
1.1	M2	Desbroce y limpieza superficial del terreno por medios mecánicos, sin carga ni transporte al vertedero y con p.p. de medios auxilares.			
		Total m2 :	1.055,000	0,33 €	348,15 €
1.2	M3	Transporte de tierras al vertedero, a una distancia menor de 10 km., considerando ida y vuelta, con camión basculante cargado a máquina, canon de vertedero, y con p.p. de medios auxiliares, considerando también la carga.			
		Total m3 :	105,500	3,01 €	317,56 €
		Parcial nº 1 OPERACIONES PREVIAS :			665,71 €

2.2 MOVIMIENTO DE TIERRAS

Capítulo nº 2 MOVIMIENTO DE TIERRAS

Nº	Ud	Descripción	Medición	Precio	Importe
2.1	M2	Retirada y apilado de capa de tierra vegetal superficial, por medios mecánicos, sin carga ni transporte al vertedero y con p.p. de medios auxilares.			
		Total m2 :	1.055,000	0,59 €	622,45 €
2.2	M2	Explanación, refino y nivelación de terrenos, por medios mecánicos, en terrenos limpiados superficialmente con máquinas, con p.p. de medios auxiliares.			
		Total m2 :	1.055,000	0,25 €	263,75 €
2.3	M3	Excavación a cielo abierto, en terrenos de consistencia floja, por medios mecánicos, en vaciados, con carga directa sobre camión basculante, incluso transporte de tierras al vertedero a una distancia menor de 10 km., considerando ida y vuelta incluso canon de vertido y p.p. de medios auxiliares.			
		Total m3 :	155,000	4,28 €	663,40 €
2.4	M3	Transporte de tierras al vertedero, a una distancia menor de 10 km., considerando ida y vuelta, con camión basculante cargado a máquina, canon de vertedero, y con p.p. de medios auxiliares, considerando también la carga.			
		Total m3 :	1.793,500	3,01 €	5.398,44 €
		Parcial nº 2 MOVIMIENTO DE TIERRAS :			**6.948,04 €**

2.3 CIMENTACIÓN

Capítulo nº 3 CIMENTACIÓN

Nº	Ud	Descripción	Medición	Precio	Importe
3.1	M3	Hormigón en masa HL-150/B/30, de 30 N/mm2., consistencia blanda, y contenido de cemento de 150 kg/m3. elaborado en obra para limpieza y nivelado de fondos de cimentación, incluso vertido con grúa, vibrado y colocación. Según EHE.			
		Total m3 :	18,450	63,11 €	1.164,38 €
3.2	Kg	Acero corrugado B 500 S, cortado, doblado, armado y colocado en obra, incluso p.p. de despuntes. Según EHE.			
		Total kg :	5.243,230	1,91 €	10.014,57 €
3.3	M3	Hormigón para armar HA-25/B/20/IIa, de 25 N/mm2., consistencia blanda, Tmáx.20, ambiente humedad alta, elaborado en central en relleno de zapatas y zanjas de cimentación, incluso vertido con grúa, vibrado, curado y colocado. Según normas EHE.			
		Total m3 :	136,510	68,68 €	9.375,51 €
3.4	Kg	Acero E 275(A 42b), en placas de anclaje para cimentación y muros, de 20 mm. de espesor, con cuatro garrotas de acero corrugado de 20 mm. de diámetro y 45 cm. de longitud total, soldadas, i/taladro central de 5 cm., elaborado, montado , p.p. de piezas especiales, totalmente colocada.			
		Total kg :	583,320	1,50 €	874,98 €
		Parcial nº 3 CIMENTACIÓN :			**21.429,44 €**

2.4 ESTRUCTURA

Capítulo nº 4 ESTRUCTURA

Nº	Ud	Descripción	Medición	Precio	Importe
4.1	Kg	Acero laminado E 275(A 42b), en perfiles laminados en caliente para vigas, pilares, zunchos y correas, mediante uniones soldadas; i/p.p. de soldaduras, cortes, piezas especiales, despuntes y dos manos de imprimación con pintura de minio de plomo, totalmente montado y colocado.			
		Total kg :	39.747,200	2,15 €	85.456,48 €
		Parcial nº 4 ESTRUCTURA :			**85.456,48 €**

2.5 CUBIERTA

Capítulo nº 5 CUBIERTA

Nº	Ud	Descripción	Medición	Precio	Importe
5.1	M.	Correa realizada con chapa conformada en frío tipo Z, i/p.p. de despuntes y piezas especiales. Totalmente montada y colocada			
		Total m. :	280,000	9,37 €	2.623,60 €
5.2	M2	Cubierta formada por panel de chapa de acero en perfil comercial, prelacada la cara exterior y galvanizada la cara interior de 0,5 mm. con núcleo de poliestireno expandido de 20 kg/m3. con un espesor de 40 mm., clasificado M-1 en su reacción al fuego, colocado sobre correas metálicas, i/p.p. de solapes, tapajuntas, accesorios de fijación, juntas de estanqueidad, medios auxiliares y elementos de seguridad, medida en verdadera magnitud.			
		Total m2 :	759,000	25,74 €	19.536,66 €
		Parcial nº 5 CUBIERTA :			**22.160,26 €**

2.6 FORJADO

Capítulo nº 6 FORJADO

Nº	Ud	Descripción	Medición	Precio	Importe
6.1	M2	Forjado 16+4 cm. formado por vigueta de acero laminado IPN-120 separadas 60 cm. entre ejes, bovedilla cerámica de 60x25x16 cm. y capa de compresión de 4 cm. de hormigón HA-25/B/20/I, de 25 N/mm2., consistencia blanda, Tmáx.20 mm. y ambiente normal, elaborado en central, i/armadura ME 20x30 A Ø 5-5 B 500 T 6x2,2, totalmente terminado. (Carga total 650 kg/m2). Según normas EF-96 y EHE.			
		Total m2 :	120,000	62,36 €	7.483,20 €
		Parcial nº 6 FORJADO :			**7.483,20 €**

2.7 CARPINTERÍA METÁLICA

Capítulo nº 7 CARPINTERÍA METÁLICA

Nº	Ud	Descripción	Medición	Precio	Importe
7.1	Ud	Ventana practicable de 2 hojas de aluminio lacado blanco, de 120x120 cm. de medidas totales, compuesta por cerco, hojas y herrajes de colgar y de seguridad, totalmente instalada sobre precerco de aluminio, sellado de juntas y limpieza, incluso con p.p. de medios auxiliares.			
		Total ud :	3,000	122,63 €	367,89 €
7.2	M2	Puerta basculante plegable accionada manualmente compensada por muelles helicoidales de acero, hoja ciega con bastidor y refuerzos de hoja formados por tubos huecos rectangulares de acero laminado en frío y chapa formando cuarterones; con cerco de angular metálico, provisto de una garra para anclaje a obra por metro lineal, guías, cierre, cerradura y demás accesorios, totalmente instalada, incluso acabado de capa de pintura epoxi polimerizada al horno. (incluso recibido de albañilería).			
		Total m2 :	72,000	120,36 €	8.665,92 €
7.3	Ud	Escalera metálica helicoidal modular, para una planta de altura libre de 3,00 m. y diámetro 1,50 m., realizada con perfiles de acero laminado E 275(A 42b), formando un árbol central, peldaño de chapa de acero lagrimado de 3 mm. de espesor, barandilla perimetral, realizada en taller y montaje en obra, incluso pintura antioxidante, resistente al fuego M-0, según NTE-CPI-96 (incluso ayudas de albañilería).			
		Total ud :	2,000	1.962,80 €	3.925,60 €
7.4	Ud	Puerta de chapa lisa de 1 hoja de 90x200 cm., realizada con doble chapa de acero galvanizado de 1 mm. de espesor y panel intermedio, rigidizadores con perfiles de acero conformado en frío, herrajes de colgar, cerradura con manillón de nylón, cerco de perfil de acero conformado en frío con garras para recibir a la obra, acabado con capa de pintura epoxi polimerizada al horno, elaborada en taller, ajuste y fijación en obra. (sin incluir recibido de albañilería).			
		Total ud :	2,000	179,45 €	358,90 €
7.5	M2	Muro cortina de PVC formado por montantes estructurales longitudinales de acero galvanizado 100x30x3 mm., con separación entre montantes de hasta 2,00 m. entre ejes y bastidores fijos de perfiles de PVC con refuerzo interior de acero galvanizado de hasta 3,00 m. de altura, i/ montaje en obra, anclajes para sujeción de montantes con regulación tridimensional y p.p. medios auxiliares, sin incluir acristalamiento.			
		Total m2 :	97,000	207,18 €	20.096,46 €

Parcial nº 7 CARPINTERÍA METÁLICA : 33.414,77 €

2.8 MUROS PERIMETRALES

Capítulo nº 8 MUROS PERIMETRALES

Nº	Ud	Descripción	Medición	Precio	Importe
8.1	M2	Cerramiento con placa alveolar horizontal de longitud máxima 6 m. y altura de placa de 1.0 m., compuesta por placa alveolar pretensada de 14 cm. de espesor, ancho 100 cm. y 8 alveolos. Peso de placa 256 kg./ml., realizada en hormigón H-30 de resistencia característica 30 N/mm.2, acero pretensado AH-1765-R2 de resistncia característica 1.530 N/mm2. Incluido formación de huecos de ventanas y puertas con alturas multiplos de 1.0 m. Terminación lisa en hormigón gris para pintar.			
		Total m2 :	687,680	30,27 €	20.816,07 €

Parcial nº 8 MUROS PERIMETRALES : 20.816,07 €

2.9 PINTURAS

Capítulo nº 9 PINTURAS

Nº	Ud	Descripción	Medición	Precio	Importe
9.1	M2	Pintura intumescente de resinas de polimerización especial para una resistencia al fuego de noventa minutos, con un espesor mínimo de 1.100 micras.			
		Total m2 :	765,160	22,00 €	16.833,52 €
9.2	M.	Marcado de plaza de garaje con pintura al clorocaucho, con una anchura de línea de 10 cm., i/limpieza de superficies, neutralización, replanteo y encintado.			
		Total m. :	30,000	2,06 €	61,80 €
9.3	M2	Revestimiento liso calidad extra, aplicado con pistola, en paramentos verticales y horizontales de fachada, i/limpieza de superficie, mano de fondo con plástico diluido y acabado con dos manos.			
		Total m2 :	687,680	5,39 €	3.706,60 €

Parcial nº 9 PINTURAS : 20.601,92 €

2.10 PAVIMENTOS

Capítulo nº 10 PAVIMENTOS

Nº	Ud	Descripción	Medición	Precio	Importe
10.1	M2	Hormigón armado HA-30/B/20/I, de 30 N/mm2., consistencia blanda, Tmáx.20 mm. y ambiente normal, elaborado en central, en losas inclinadas, de 0,3 m. de espesor, i/p.p. de armadura (85 kg/m3), encofrado de madera y desencofrado, vertido con pluma-grúa, vibrado, curado y colocado. Según EHE.			
		Total m2 :	1.055,000	53,38 €	56.315,90 €
10.2	M3	Relleno extendido y apisonado con tierras de préstamo a cielo abierto, por medios mecánicos, en tongadas de 30 cm. de espesor, hasta conseguir un grado de compactación del 95% del proctor normal, con aporte de tierras, incluso regado de las mismas y refino de taludes, y con p.p. de medios auxiliares.			
		Total m3 :	316,500	8,01 €	2.535,17 €
		Parcial nº 10 PAVIMENTOS :			58.851,07 €

Presupuesto de ejecución material

1 OPERACIONES PREVIAS	665,71	€
2 MOVIMIENTO DE TIERRAS	6.948,04	€
3 CIMENTACIÓN	21.429,44	€
4ESTRUCTURA	85.456,48	€
5 CUBIERTA	22.160,26	€
6FORJADO	7.483,20	€
7 CARPINTERÍA METÁLICA	33.414,77	€
8MUROSPERIMETRALES	20.816,07	€
9 PINTURAS	20.601,92	€
10PAVIMENTOS	58.851,07	€
Total .....:	277.826,96	€

Total DOSCIENTOS SETENTA Y SIETE MIL OCHOCIENTOS VEINTISEIS EUROS CON NOVENTA Y SEIS CÉNTIMOS.

3 PRESUPUESTO TOTAL

CAPÍTULO	IMPORTE (€)
1.OPERACIONES PREVIAS	665,71
2.MOVIMIENTO TIERRAS	6.948,04
3.CIMENTACIÓN	21.429,44
4.ESTRUCTURA	85.456,48
5.CUBIERTA	22.160,26
6.FORJADO	7.483,20
7.CARPINTERÁ METÁLICA	33.414,77
8.MUROS PERIMETRALES	20.816,07
9.PINTURAS	20.601,92
10.PAVIMENTOS	58.851,07

Presupuesto de ejecución material (PEM).....277.826,96€

13% de gastos generales.....36.117,51€

6% de beneficio industrial.....16.669,62€

Presupuesto de ejecución por contrata (PEC).....330.614,09€

21% de IVA.....69.428,96€

Presupuesto de ejecución por contrata con IVA.....400.043,05€

Asciende el presupuesto de ejecución por contrata más IVA a la expresada cantidad de CUATROCIENTOS MIL CUARENTA Y TRES EUROS CON CINCO CÉNTIMOS (400.043,05€).

VALENCIA, A 25 DE AGOSTO DE 2022

FDO. D. SERGIO OLMOS VILA

INGENIERO CIVIL